

International Nonproprietary Names for Pharmaceutical Substances (INN)

RECOMMENDED International Nonproprietary Names: List 89

Notice is hereby given that, in accordance with paragraph 7 of the Procedure for the Selection of Recommended International Nonproprietary Names for Pharmaceutical Substances [*Off. Rec. Wld Health Org.*, 1955, **60**, 3 (Resolution EB15.R7); 1969, **173**, 10 (Resolution EB43.R9); Resolution EB115.R4 (EB115/2005/REC/1)], the following names are selected as Recommended International Nonproprietary Names. The inclusion of a name in the lists of Recommended International Nonproprietary Names does not imply any recommendation of the use of the substance in medicine or pharmacy.

Lists of Proposed (1–117) and Recommended (1–78) International Nonproprietary Names can be found in *Cumulative List No. 17, 2017* (available in CD-ROM only).

Dénominations communes internationales des Substances pharmaceutiques (DCI)

Dénominations communes internationales RECOMMANDÉES: Liste 89

Il est notifié que, conformément aux dispositions du paragraphe 7 de la Procédure à suivre en vue du choix de Dénominations communes internationales recommandées pour les Substances pharmaceutiques [Actes off. Org. mond. Santé, 1955, **60**, 3 (résolution EB15.R7); 1969, **173**, 10 (résolution EB43.R9); résolution EB115.R4 (EB115/2005/REC/1)] les dénominations ci-dessous sont choisies par l'Organisation mondiale de la Santé en tant que dénominations communes internationales recommandées. L'inclusion d'une dénomination dans les listes de DCI recommandées n'implique aucune recommandation en vue de l'utilisation de la substance correspondante en médecine ou en pharmacie.

On trouvera d'autres listes de Dénominations communes internationales proposées (1–117) et recommandées (1–78) dans la *Liste récapitulative No. 17, 2017* (disponible sur CD-ROM seulement).

Denominaciones Comunes Internacionales para las Sustancias Farmacéuticas (DCI)

Denominaciones Comunes Internacionales RECOMENDADAS: Lista 89

De conformidad con lo que dispone el párrafo 7 del Procedimiento de Selección de Denominaciones Comunes Internacionales Recomendadas para las Sustancias Farmacéuticas [Act. Of. Mund. Salud, 1955, **60**, 3 (Resolución EB15.R7); 1969, **173**, 10 (Resolución EB43.R9); Résolution EB115.R4 (EB115/2005/REC/1) EB115.R4 (EB115/2005/REC/1)], se comunica por el presente anuncio que las denominaciones que a continuación se expresan han sido seleccionadas como Denominaciones Comunes Internacionales Recomendadas. La inclusión de una denominación en las listas de las Denominaciones Comunes Recomendadas no supone recomendación alguna en favor del empleo de la sustancia respectiva en medicina o en farmacia.

Las listas de Denominaciones Comunes Internacionales Propuestas (1–117) y Recomendadas (1–78) se encuentran reunidas en *Cumulative List No. 17, 2017* (disponible sólo en CD-ROM).

Latin , English, French, Spanish: Recommended INN	<i>Chemical name or description; Molecular formula; Graphic formula</i>
DCI Recommandée	<i>Nom chimique ou description; Formule brute; Formule développée</i>
DCI Recomendada	<i>Nombre químico o descripción; Fórmula molecular; Fórmula desarrollada</i>

acetylcysteine zidrimerum

acetylcysteine zidrimer

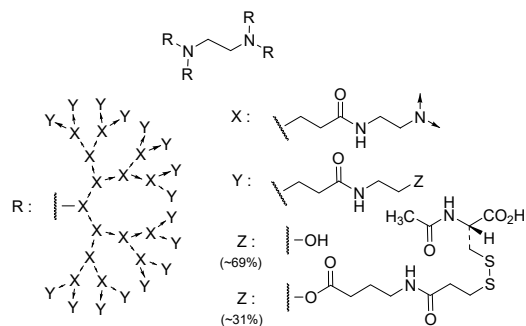
N-acetyl-L-cysteine conjugate with regular dendrimer; $\alpha,\alpha',\alpha'',\alpha'''$ -(ethane-1,2-diyl)dinitrilo)tetraakis(ω -hexadecakis{3-[(2-hydroxyethyl)amino]-3-oxopropyl}-dendroG4-[{(3-oxopropane-1,3-diy)azanediylethylenenitrilo}) with about 31% of hydroxy groups substituted with 4-{[(*N*-acetyl-L-cystein-S-yl)sulfanyl]propanamido}butanoyl group

acétylcystéine zidrimère

N-acétyl-L-cystéine conjuguée avec un dendrimère régulier; $\alpha,\alpha',\alpha'',\alpha'''$ -(éthane-1,2-diyl)dinitrilo)tétrakis(ω -hexadécakis{3-[(2-hydroxyéthyl)amino]-3-oxopropyl}-dendroG4-[{(3-oxopropane-1,3-diy)azanediylethylénénitrilo}) avec 31% des groupes hydroxy substitués avec un groupe 4-{[(*N*-acétyl-L-cystéin-S-yl)sulfanyl]propanamido}butanoyle

acetilcisteína zidrímero

N-acetil-L-cisteína conjugada con un dendrímero regular; $\alpha,\alpha',\alpha'',\alpha'''$ -(etano-1,2-diildinitrilo)tetraakis(ω -hexadecakis{3-[(2-hidroxietil)amino]-3-oxopropil}-dendroG4-[{(3-oxopropano-1,3-dii)azanediiletenenitrilo}) con 31% de los grupos hidroxi substituidos con un grupo 4-{[(*N*-acetil-L-cistein-S-il)sulfanil]propanamido}butanoilo



acidum deulinoleicum

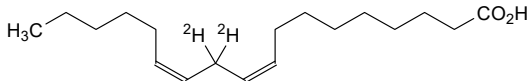
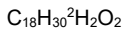
deulinoleic acid

(9Z,12Z)-(11,11- H_2)octadeca-9,12-dienoic acid

acide deulinoléique

acide (9Z,12Z)-(11,11- H_2)octadéca-9,12-diénoïque

ácido deulinoleico

ácido (9Z,12Z)-(11,11- H_2)octadeca-9,12-dienoico**acidum dimebuticum**

dimebutic acid

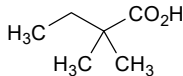
2,2-dimethylbutanoic acid

acide dimébutique

acide 2,2-diméthylbutanoïque

ácido dimebutico

ácido 2,2-dimetilbutanoico

**acloproxalapum**

acloproxalap

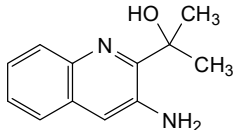
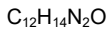
2-(3-aminoquinolin-2-yl)propan-2-ol

acloproxalap

2-(3-aminoquinoléin-2-yl)propan-2-ol

acloproxalap

2-(3-aminoquinolein-2-il)propan-2-ol

**acoltremonum**

acoltremon

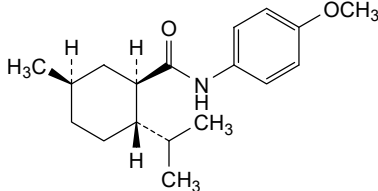
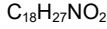
(1R,2S,5R)-N-(4-methoxyphenyl)-5-methyl-2-(propan-2-yl)cyclohexane-1-carboxamide

acoltrémon

(1R,2S,5R)-N-(4-méthoxyphényl)-5-méthyl-2-(propan-2-yl)cyclohexane-1-carboxamide

acoltremón

(1R,2S,5R)-5-metil-N-(4-metoxifenil)-2-(propan-2-il)ciclohexano-1-carboxamida



adalimumab fosimdesonide #

adalimumab fosimdesonide

immunoglobulin G1-kappa, anti-[*Homo sapiens* TNF (tumor necrosis factor (TNF) superfamily member 2, TNFSF2, TNF-alpha, TNFA)], *Homo sapiens* monoclonal antibody, conjugated to a derivative of the glucocorticoid receptor modulator (GRM) *désонide* (24)(12) via a (cystein-S-yl)acetyl-Gly-Glu link; gamma1 heavy chain *Homo sapiens* (1-450) [VH (*Homo sapiens*IGHV3-9*01 (93.9%) -(IGHD) - IGHJ4*01 (92.9%)) CDR-IMGT [8.8.14] (26-33.51-58.97-110) (1-121) -*Homo sapiens*IGHG1*01 (100%) G1m17,1 (CH1 K120 (218) (122-219), hinge 1-15 (220-234), CH2 (235-344), CH3 D12 (360), L14 (362) (345-449), CHS K>del (450)) (122-450)], (224-214')-disulfide with kappa light chain *Homo sapiens* (1'-214') [V-KAPPA (*Homo sapiens*IGKV1-27*01 (95.8%) - IGDJ2*01 (91.7%) L124>V (104)) CDR-IMGT [6.3.9] (27-32.50-52.89-97) (1'-107') -*Homo sapiens*IGKC*01 (100%) Km3 A45.1 (153), V101 (191) (108'-214')]; dimer (230-230":233-233")-bisdisulfide, produced in Chinese hamster ovary (CHO) cells, derived from the cell line CHO-K1, glycoform alfa; conjugated at the S atoms of the reduced cysteinyl 224, 214', 224" and 214"" with four 2-{[2-((2S)-4-carboxy-1-[4-(4-[11 β -hydroxy-3,20-dioxo-21-(phosphonoxy)-2'H,16 β H-[1,3]dioxolo[4',5':16,17]pregna-1,4-dien-2' α -yl]phenyl)methyl]anilino]-1-oxobutan-2-yl}amino)-2-oxoethyl]amino}-2-oxoethyl (*fosimdesonide*) groups

adalimumab fosimdésonide

immunoglobuline G1-kappa, anti-[*Homo sapiens* TNF (membre 2 de la superfamille du facteur de nécrose tumorale (TNF), TNFSF2, TNF-alpha, TNFA)], anticorps monoclonal *Homo sapiens*, conjugué au dérivé du modulateur des récepteurs des glucocorticoïdes (GRM) *désонide* (24)(12), via un lien (cystéin-S-yl)acétyl-Gly-Glu; chaîne lourde gamma1 *Homo sapiens* (1-450) [VH (*Homo sapiens*IGHV3-9*01 (93.9%) -(IGHD) - IGHJ4*01 (100%)) CDR-IMGT [8.8.14] (26-33.51-58.97-110) (1-121) -*Homo sapiens*IGHG1*01 (100%) G1m17,1 (CH1 K120 (218) (122-219), charnière 1-15 (220-234), CH2 (235-344), CH3 D12 (360), L14 (362) (345-449), CHS K>del (450)) (122-450)], (224-214')-disulfure avec la chaîne légère kappa *Homo sapiens* (1'-214') [V-KAPPA (*Homo sapiens*IGKV1-27*01 (95.8%) -IGDJ2*01 (91.7%) L124>V (104)) CDR-IMGT [6.3.9] (27-32.50-52.89-97) (1'-107') -*Homo sapiens*IGKC*01 (100%) Km3 A45.1 (153), V101 (191) (108'-214')]; dimère (230-230":233-233")-bisdisulfure, produit dans des cellules ovariennes de hamster chinois (CHO), dérivant de la lignée cellulaire CHO-K1, glycoforme alfa; conjugué aux atomes S des cysteinyl réduits 224, 214', 224" et 214"" avec quatre groupes 2-{[2-((2S)-4-carboxy-1-[4-(4-[11 β -hydroxy-3,20-dioxo-21-(phosphonoxy)-2'H,16 β H-[1,3]dioxolo[4',5':16,17]pregna-1,4-dien-2' α -yl]phényle)méthyl]anilino]-1-oxobutan-2-yl}amino)-2-oxoethyl]amino}-2-oxoéthyle (*fosimdésonide*)

adalimumab fosimdesonida

inmunoglobulina G1-kappa, anti-[*Homo sapiens* TNF (factor de necrosis tumoral miembro 2 de la superfamilia del TNF, TNFSF2, TNF-alfa, TNFA)], anticuerpo monoclonal *Homo sapiens*, conjugado con el derivado del modulador del los receptores de los glucocorticoides (GRM) *desonida* (24)(12), mediante un conector (cisteína-S-yl)acétيل-Gly-Glu; cadena pesada gamma1 *Homo sapiens* (1-450) [VH (*Homo sapiens*IGHV3-9*01 (93.9%) -(IGHD) -IGHJ4*01 (100%)) CDR-IMGT [8.8.14] (26-33.51-58.97-110) (1-121) -*Homo sapiens*IGHG1*01 (100%) G1m17,1 (CH1 K120 (218) (122-219), bisagra 1-15 (220-234), CH2 (235-344), CH3 D12 (360), L14 (362) (345-449), CHS K>del (450)) (122-450), (224-214')-disulfuro con la cadena ligera kappa *Homo sapiens* (1'-214') [V-KAPPA (*Homo sapiens*IGKV1-27*01 (95.8%) -IGKJ2*01 (91.7%) L124>V (104)) CDR-IMGT [6.3.9] (27-32.50-52.89-97) (1'-107') -*Homo sapiens*IGKC*01 (100%) Km3 A45.1 (153), V101 (191) (108'-214')]; dímero (230-230"-233-233")-bisdisulfuro, producido en las células ováricas de hámster chino (CHO), línea celular derivada de CHO-K1, forma glicosilada alfa; conjugado en los átomos S de los cisteínilos reducidos 224, 214', 224" y 214'" con cuatro grupos 2-[(2-((2S)-4-carboxi-1-[4-(4-[21-(fosfonooxi)-11β-hidroxi-3,20-dioxo-2'H,16βH-[1,3]dioxolo[4',5':16,17]pregna-1,4-dien-2'-α-ii]fenil)metyl)anilino]-1-oxobutan-2-il]amino)-2-oxoetilo (*fosimdesonida*)

Heavy chain / Chaîne lourde / Cadena pesada

EVQLVESGGG LVQPGRSLRL SCAASGFTFD DYAMHWVRQA PGKGLEWVSA 50
ITWNSGHIDY ADSVEGRETI SRDNAKNSLY LQMNLSRAED TAVYYCAKVS 100
YLSTASSLDY WGQQGLTVTSV SASTKGPSVF PLAPSSKSTS GGTAALGCLV 150
KDYFPEPVTV SWNSGLTSG VHTTPAVLQS SGLYSLSSVV TVPSSSLGTQ 200
TYICNVNHKP SNTKVDKKVE PKSCDKTHTC PCCPAPELLG GSVFVLFPK 250
PKDTMISRT PEVTCVVVDV SHEDPEVKFN WYVDGVVEVHN AKTPKEEQY 300
NSTYRVRSV TLVLHQDWLNG KEYKCKVSNK ALPAPIEKTI SKAKGQPREP 350
QVYTLPSSRD ELTKNQVSLT CLVKGFYPSD IAVEWESNGQ PENNYKTTPF 400
VLDSDGSFL YSKLTVDKSR WQQGNVFSCS VMHEALHNHY TQKSLSLSPG 450

Light chain / Chaîne légère / Cadena ligera

DIQMTQSPSS LSASVGRDVT ITCRASQGIR NYLAWYQQQP GKAPKLLIYA 50
ASTLQSGVPVS RFSGSGSGTD FTFTISSLQP EDVATYVQR YNRAPYTFQG 100
GTKVEIKRTV AAASFVIFIPPP SDEQLKSGTA SVCLLNFFY PREAKVQWKV 150
DNALQSGNSQ ESVTEQDSKD STYSLLSSTLT LSKADYEKKH VYACEVTTHQG 200
LSSPVTKSFN RGECE 214

Post-translational modifications

Disulfide bridges location / Position des ponts disulfure / Posiciones de los puentes disulfuro

Intra-H (C23-C104) 22-96 148-204 265-325 371-429

22"-96" 148"-204" 265"-325" 371"-429"

Intra-L (C23-C104) 23"-88" 134"-194"

23"-88" 134"-194"

Inter-H-L (h 5-CL 126)* 224-214' 224"-214"

Inter-H-H (h 11, h 14) 230-230" 233-233"

* The two inter-H-L disulfide bridges are not present, an average of 4 cysteinyl being conjugated each via a thioether bond to a drug linker. *Les deux ponts disulfures inter-H-L ne sont pas présents, 4 cystéinyl en moyenne étant chacun conjugué via une liaison thioéther à un linker-principe actif. *Dos puentes disulfuro inter-H-L no están presentes, una media de 4 cisteínil está conjugada a conectores de principio activo.

N-glycosylation sites / Sites de N-glycosylation / Posiciones de N-glicosilación

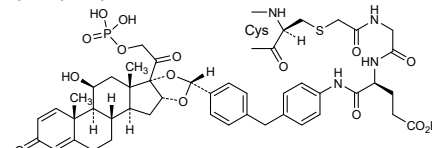
H CH2 N84:4;

301, 301"

Fucosylated complex bi-antennary CHO-type glycans / glycanes de type CHO bi-antennaires complexes fucosylés / glicanos de tipo CHO biantenarios complejos fucosilados.

Conjugation sites / Sites de conjugaison / Posiciones de conjugación:

C224, C224", C214', C214"



alnugranogenum aldeparvovecum #

alnugranogene aldeparvovect

recombinant, non-replicating adeno-associated virus serotype 1 (AAV1) vector encoding codon-optimised human progranulin (PGRN, granulin precursor), under control of a cytomegalovirus immediate early enhancer/chicken β-actin promoter (the CB7 promoter) plus a chimeric intron, consisting of a chicken β-actin splice donor and a rabbit β-globin (rBG) splice acceptor, terminated with a rabbit β-globin polyadenylation signal, flanked by adeno-associated virus 2 (AAV2) inverted terminal repeats (ITRs).

alnugranogène aldéparvovect

vecteur recombinant et non répliquant du virus adéno-associé de sérotype 1 (AAV1) codant la progranuline humaine (PGRN, précurseur de la granuline) aux codons optimisés, sous le contrôle d'un amplificateur précoce immédiat du cytomégavirus/promoteur de la β-actine de poulet (promoteur CB7) plus un intron chimérique consistant d'un donneur d'épissage de la β-actine de poulet et un accepteur d'épissage de la β-globine de lapin (rBG), terminé par un signal de polyadénylation de la β-globine de lapin, flanqué de répétitions terminales inversées (ITR) du virus adéno-associé 2 (AAV2).

alnugranogén aldeparvovect

vector de virus adenoasociado recombinante del serotipo 1 (AAV1), no replicativo, que codifica, con codones optimizados, para la progranulina humana (PGRN, precursor de granulina), bajo el control de un potenciador inmediato temprano del citomegalovirus/promotor de la β-actina de pollo (el promotor CB7) más un intrón químérico que consta del sitio donante del procesamiento de la β-actina de pollo y el acceptor del procesamiento de la β-globina de conejo (rBG), terminado con una señal de poliadenilación de la β-globina de conejo, flanqueado por las repeticiones terminales invertidas (ITRs) del virus adenoasociado 2 (AAV2).

alpibectirum

alpibectir

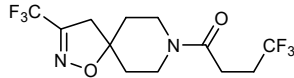
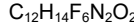
4,4,4-trifluoro-1-[3-(trifluoromethyl)-1-oxa-2,8-diazaspiro[4.5]dec-2-en-8-yl]butan-1-one

alpibectir

4,4,4-trifluoro-1-[3-(trifluorométhyl)-1-oxa-2,8-diazaspiro[4.5]déc-2-én-8-yl]butan-1-one

alpibectir

4,4,4-trifluoro-1-[3-(trifluorometil)-1-oxa-2,8-diazaspiro[4.5]dec-2-en-8-il]butan-1-ona



alvamemugenum sulseparvovec #

alvamemugene sulseparvovec

recombinant, non-replicating adeno-associated virus (rAAV) vector with a liver-trophic LK03 capsid, encoding codon-optimised human methylmalonyl-CoA mutase (MMUT, also referred to as MUT), preceded by the self-cleaving 2A-peptide of porcine teschovirus 1, bordered by human albumin (ALB) homology arms, and all flanked by AAV2 inverted terminal repeats (ITRs).

alvamémugène sulséparvovec

vecteur de virus adéno-associé (rAAV) recombinant et non répliquant, avec une capsïde LK03 hépatotrophique, codant la méthylmalonyl-CoA mutase (MMUT, également appelée MUT) humaine aux codons optimisés, précédée par le peptide 2A auto-sécable du teschovirus 1 porcin, bordée par des bras homologues à l'albumine humaine (ALB), et tous flanqués de répétitions terminales inversées (ITR) d'AAV2.

alvamemugén sulseparvovec

vector de virus adenoasociado recombinante (rAAV), no replicativo, con una cápsida LK03 trópica para el hígado, que codifica, con codones optimizados, para la metilmalonil-CoA mutasa humana (MMUT, también referida como MUT), precedido de un péptido de autoescisión 2A del teschovirus porcino 1, bordeado por brazos de homología de la albúmina humana, y todo flanqueado por repeticiones terminales invertidas (ITRs) de AAV2.

amelenodorum

amelenodor

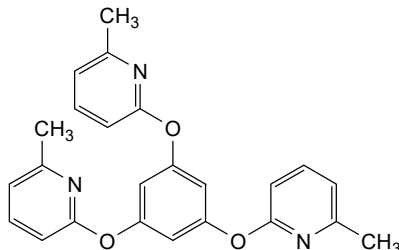
2,2',2''-[benzene-1,3,5-triyltris(oxy)]tris(6-methylpyridine)

amélénodor

2,2',2''-[benzène-1,3,5-triyltris(oxy)]tris(6-méthylpyridine)

amelenodor

2,2',2''-[benceno-1,3,5-triyltris(oxi)]tris(6-metilpiridina)

 $C_{24}H_{21}N_3O_3$ **anbalcabtagenum autoleucelum #**

anbalcabtagene autoleucel

autologous T lymphocytes obtained from peripheral blood mononuclear cells by leukapheresis, transduced with a self-inactivating, non-replicating lentiviral vector, encoding a chimeric antigen receptor (CAR) targeting CD19, plus two short hairpin RNAs (shRNA) directed against two immune checkpoint regulators,

programmed cell death protein 1 (PD-1) and T-cell immunoreceptor with Ig and ITIM domains (TIGIT). The expressed transgene comprises a CD8α leader sequence, a murine anti-CD19 single chain variable fragment (scFv) (derived from the mouse hybridoma FMC63), a CD8α hinge and transmembrane region, and a 4-1BB (CD137) and CD3ζ (CD247) intracellular signalling domain, and is under control of the elongation factor 1 alpha (EF1α) promoter. The short hairpin RNA shPD-1 targets the 3' untranslated region part of PD-1 mRNA and is under control of a human U6 promoter. The short hairpin RNA shTIGIT targets a coding sequence part of TIGIT mRNA and is under control of a mouse U6 promoter. The construct is flanked by 5' and 3' long terminal repeats (LTRs) and also contains an HIV-1 ψ packaging signal, a Rev response element (RRE), a central polypurine tract (cPPT) and a Woodchuck hepatitis virus posttranscriptional regulatory element (WPRE). The leukapheresis material is enriched for CD4/CD8 T lymphocytes by positive immunoselection, activated by CD3 and CD28 agonists and transduced with the vector. The cells are then expanded in media containing serum replacement and interleukin 2 (IL-2). The T lymphocytes ($\geq 97.8\%$) are positive for the transgene ($\geq 11.0\%$ CAR positive), secrete interferon gamma, and demonstrate knockdown of PD-1 ($\geq 33.7\%$) or TIGIT ($\geq 83.5\%$).

anbalcabtagène autoleucel

lymphocytes T autologues obtenus à partir de cellules mononucléaires de sang périphérique par leucaphérèse, transduits avec un vecteur lentiviral auto-inactivant et non répliquant, codant un récepteur antigénique chimérique (CAR) ciblant CD19, plus deux ARN courts en épingle à cheveux (shRNA) dirigés contre deux régulateurs de point de contrôle immunitaire, la protéine de mort cellulaire programmée 1 (PD-1) et l'immunorécepteur des cellules T avec les domaines Ig et ITIM (TIGIT). Le transgène exprimé comprend une séquence de tête CD8α, un fragment variable à chaîne unique (scFv) anti-CD19 murin (dérivé de l'hybride de souris FMC63), une région charnière et transmembranaire CD8α, ainsi qu'un domaine de signalisation intracellulaire 4-1BB (CD137) et CD3ζ (CD247), qui est sous le contrôle du promoteur du facteur d'elongation 1 alpha (EF1α). L'ARN court en épingle à cheveux shPD-1 cible la partie de la région non traduite en 3' de l'ARNm PD-1 et est sous le contrôle du promoteur U6 humain. L'ARN court en épingle à cheveux shTIGIT cible une partie de la séquence codante de l'ARNm TIGIT et est sous le contrôle du promoteur U6 de souris. La construction est flanquée de longues répétitions terminales (LTR) en 5' et 3' et contient également un signal d'encapsidation du VIH-1 ψ, un élément de réponse Rev (RRE), un tractus polypurine central (cPPT) et un élément de régulation post-transcriptionnel du virus de l'hépatite de marmotte (WPRE). Le matériel de leucaphérèse est enrichi en lymphocytes T CD4/CD8 par immunosélection positive, activé par des agonistes CD3 et CD28 et transduit par le vecteur. Les cellules sont ensuite amplifiées dans un milieu de remplacement du sérum et de l'interleukine 2 (IL-2). Les lymphocytes T ($\geq 97.8\%$) sont positifs pour le transgène ($\geq 11.0\%$ CAR positif), sécrètent de l'interféron gamma et présentent un knockdown de PD-1 ($\geq 33.7\%$) ou de TIGIT ($\geq 83.5\%$).

anbalcabtagén autoleucel

linfocitos T autólogos obtenidos de células mononucleares de sangre periférica mediante leucaféresis, transducidos con un vector lentiviral auto inactivante, no replicativo, que codifica para un receptor de antígenos quimérico (CAR) dirigido a CD19, más dos RNAs en horquilla cortos (shRNA) dirigidos contra dos reguladores de punto de control inmune, la proteína de muerte celular programada 1 (PD-1) y un inmunorreceptor de linfocitos T con dominios Ig e ITIM (TIGIT). El transgén expresado contiene una secuencia líder de CD8α, un fragmento variable de cadena sencilla (scFv) anti-CD19 (derivado del hibridoma de ratón FMC63), una región bisagra y transmembrana de CD8α, y un dominio 4-1BB (CD137) y otro CD3ζ (CD247) de señalización intracelular, y está bajo el control del promotor del factor de elongación 1 alfa (EF1α). El RNA en horquilla corto shPD-1 se dirige a la parte de la región 3' no traducida del mRNA de PD-1 y está bajo el control de un promotor U6 humano. El RNA en horquilla corto shTIGIT se dirige a la parte de la secuencia codificante del mRNA de TIGIT y está bajo el control de un promotor U6 de ratón. El constructo está flanqueado por repeticiones terminales largas (LTRs) en 5' y 3' y también contiene una señal de empaquetamiento ψ del HIV, un elemento de respuesta Rev (RRE), un tracto de poli-purina central (cPPT) y un elemento regulador post-transcripcional del virus de la hepatitis de la marmota (WPRE).

El material de leucoaféresis se enriquece para linfocitos T CD4/CD8 mediante inmunoselección positiva, se activa mediante agonistas de CD3 y CD28 y se transduce con el vector. Las células son después expandidas en medio con un substituto de suero e interleuquina 2 (IL-2). Los linfocitos T ($\geq 97.8\%$) son positivos para el transgén ($\geq 11.0\%$ CAR positivo), secretan interferón gamma y demuestran reducción de PD-1 ($\geq 33.7\%$) o TIGIT ($\geq 83.5\%$).

anizatrectinibum**anizatrectinib**

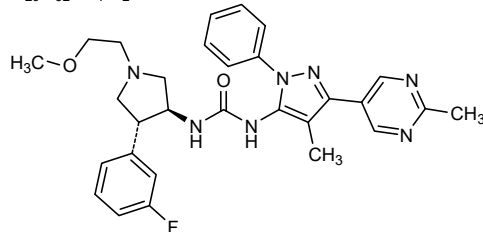
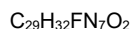
N-[(3*S*,4*R*)-4-(3-fluorophenyl)-1-(2-methoxyethyl)pyrrolidin-3-yl]-*N'*-[4-methyl-3-(2-methylpyrimidin-5-yl)-1-phenyl-1*H*-pyrazol-5-yl]urea

anizatrectinib

N-[(3*S*,4*R*)-4-(3-fluorophényl)-1-(2-méthoxyéthyl)pyrrolidin-3-yl]-*N'*-[4-méthyl-3-(2-méthylpyrimidin-5-yl)-1-phényl-1*H*-pyrazol-5-yl]urée

anizatrectinib

N-[(3*S*,4*R*)-4-(3-fluorofenil)-1-(2-metoxietil)pirrolidin-3-il]-*N'*-[4-metil-3-(2-metilpirimidin-5-il)-1-fenil-1*H*-pirazol-5-il]urea



anrikefonum

anrikefon

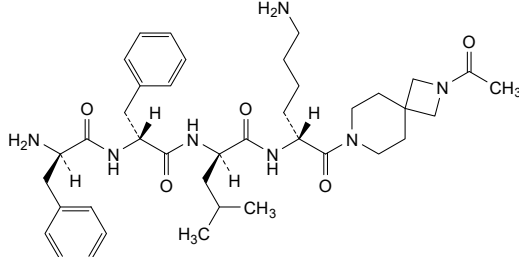
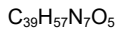
1-[7-(D-phenylalanyl-D-phenylalanyl-D-leucyl-D-lysyl)-2,7-diazaspiro[3.5]nonan-2-yl]ethan-1-one

anrikéfon

1-[7-(D-phénylalanyl-D-phénylalanyl-D-leucyl-D-lysyl)-2,7-diazaspiro[3.5]nonan-2-yl]éthan-1-one

anrikefón

1-[7-(D-fenilalanil-D-fenilalanil-D-leucil-D-lisil)-2,7-diazaspiro[3.5]nonan-2-il]etan-1-ona

**ansornitinibum**

ansornitinib

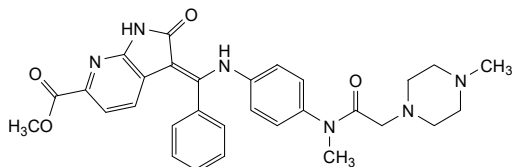
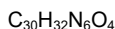
methyl (3Z)-3-[(4-[N-methyl-2-(4-methylpiperazin-1-yl)acetamido]anilino)(phenyl)methylidene]-2-oxo-2,3-dihydro-1H-pyrrolo[2,3-b]pyridine-6-carboxylate

ansornitinib

(3Z)-3-[(4-[N-méthyl-2-(4-méthylpipérazin-1-yl)acétamido]anilino)(phénylméthylidène)-2-oxo-2,3-dihydro-1H-pyrrolo[2,3-b]pyridine-6-carboxylate de méthyle

ansornitinib

(3Z)-3-(fenil{4-[N-metil-2-(4-metilpiperazin-1-il)acetamido]anilino}metilideno)-2-oxo-2,3-dihidro-1H-pyrrolo[2,3-b]piridina-6-carboxilato de metilo

**anvatabartum opadotinum #**

anvatabart opadotin

immunoglobulin G1-kappa, anti-[*Homo sapiens* ERBB2 (epidermal growth factor receptor 2, receptor tyrosine-protein kinase erbB-2, EGFR2, HER2, HER-2, p185c-erbB2, NEU, CD340)], humanized monoclonal antibody; conjugated at two engineered sites via a stable covalent linker with the microtubule-disrupting agent *opadotin*; gamma1 heavy chain humanized (1-449) [VH humanized (*Homo sapiens* IGHV3-66*01 (81.6%) - (IGHD) -IGHJ4*01 (100%), CDR-IMGT [8.8.13] (26-33.51-58.97-109)) (1-120) -*Homo sapiens* IGHG1*01,

G1m17,1 (CH1 A1.4>F (pAF) (121), K120 (217) (121-218), hinge 1-15 (219-233), CH2 (234-343), CH3 D12 (359), L14 (361) (344-448), CHS K2>del (449)) (121-449)], (223-214')-disulfide with kappa light chain humanized (1'-214') [V-KAPPA (*Homo sapiens* IGKV1-39*01 (86.3%) - IGKJ1*01 (100%), CDR-IMGT [6.3.9] (27-32.50-52.89-97)) (1'-107') - *Homo sapiens* IGKC*01 (100%), Km3 A45.1 (153), V101 (191) (108'-214')]; dimer (229-229":232-232")-bisdisulfide, produced in Chinese hamster ovary (CHO) cells, cell line CHO-K1, glycoform alfa; substituted at C-4 of Phe121 and Phe121" with two (1Z)-N-{{(1S,16S,19S,20R)-19-[(2S)-butan-2-yl]-22-[(2S)-{(1R,2R)-3-[(1S)-1-carboxy-2-phenylethyl]amino}-1-methoxy-2-methyl-3-oxopropyl]pyrrolidin-1-yl]-20-methoxy-12,18-dimethyl-14,17,22-trioxo-13,16-di(propan-2-yl)-3,6,9-trioxa-12,15,18-triazadocosan-1-yl]oxy}ethanimidoyl (*opadotin*) groups

anvatabart opadotine	immunoglobuline G1-kappa, anti-ERBB2 (récepteur 2 du facteur de croissance épidermique, récepteur tyrosine-protéine kinase erbB2, EGFR2, HER2, HER-2, p185c-erbB2, NEU, CD340)], anticorps monoclonal humanisé; conjugué à deux sites modifiés via un lieu covalent stable avec l'agent de perturbation des microtubules <i>opadotine</i> ; chaîne lourde gamma1 humanisée (1-449) [VH humanisé (<i>Homo sapiens</i> IGHV3-66*01 (81.6%) -(IGHD)-IGHJ4*01 (100%), CDR-IMGT [8.8.13] (26-33.51-58.97-109)) (1-120) - <i>Homo sapiens</i> IGHG1*01, G1m17,1 (CH1 A1.4>F (pAF) (121), K120 (217) (121-218), charnière 1-15 (219-233), CH2 (234-343), CH3 D12 (359), L14 (361) (344-448), CHS K2>del (449)) (121-449)], (223-214')-disulfure avec la chaîne légère kappa humanisée (1'-214') [V-KAPPA (<i>Homo sapiens</i> IGKV1-39*01 (86.3%) -IGKJ1*01 (100%), CDR-IMGT [6.3.9] (27-32.50-52.89-97)) (1'-107') - <i>Homo sapiens</i> IGKC*01 (100%), Km3 A45.1 (153), V101 (191) (108'-214')]; dimère (229-229":232-232")-bisdisulfure, produit dans des cellules ovariennes de hamster chinois (CHO), lignée cellulaire CHO-K1, glycoforme alfa substitué en C-4 de Phe121 et Phe121" avec deux groupes (1Z)-N-{{(1S,16S,19S,20R)-19-[(2S)-butan-2-yl]-22-[(2S)-{(1R,2R)-3-[(1S)-1-carboxy-2-phenylethyl]amino}-1-méthoxy-2-méthyl-3-oxopropyl]pyrrolidin-1-yl]-20-méthoxy-12,18-diméthyl-14,17,22-trioxo-13,16-di(propan-2-yl)-3,6,9-trioxa-12,15,18-triazadocosan-1-yl]oxy}éthanimidoyle (<i>opadotine</i>)
----------------------	--

anvatabart opadotina	inmunoglobulina G1-kappa, anti-ERBB2 (receptor 2 del factor de crecimiento epidémico, receptor tirosina-proteína kinasa erbB2, EGFR2, HER2, HER-2, p185c-erbB2, NEU, CD340)], anticuerpo monoclonal humanizado; conjugado en 2 sitios modificados a través de un enlace covalente con el agente disruptor del microtúbulo <i>opadotina</i> ; cadena pesada gamma1 humanizada (1-449) [VH humanizado (<i>Homo sapiens</i> IGHV3-66*01 (81.6%) -(IGHD)-IGHJ4*01 (100%), CDR-IMGT [8.8.13] (26-33.51-58.97-109)) (1-120) - <i>Homo sapiens</i> IGHG1*01, G1m17,1 (CH1 A1.4>F (pAF) (121), K120 (217) (121-218), bisagra 1-15 (219-233), CH2 (234-343), CH3 D12 (359), L14 (361) (344-448), CHS K2>del (449)) (121-449)], (223-214')-disulfuro con la cadena ligera kappa humanizada (1'-214') [V-KAPPA (<i>Homo sapiens</i> IGKV1-39*01 (86.3%) -IGKJ1*01 (100%), CDR-IMGT [6.3.9] (27-32.50-52.89-97)) (1'-107') - <i>Homo sapiens</i> IGKC*01 (100%), Km3 A45.1 (153), V101 (191) (108'-214')]; dimero (229-229":232-232")-bisdisulfuro; producido en células ováricas de hámster Chino (CHO), línea celular CHO-K1, glicoforma alfa; substituido en C-4 de Phe121 y Phe121" con dos grupos (1Z)-N-{{(1S,16S,19S,20R)-19-[(2S)-butan-2-yl]-22-[(2S)-{(1R,2R)-3-[(1S)-1-carboxi-2-feniletil]amino}-1-metoxi-2-metil-3-oxopropil]pirrolidin-1-yl]-20-metoxi-12,18-dimetil-14,17,22-trioxo-13,16-di(propan-2-yl)-3,6,9-trioxa-12,15,18-triazadocosan-1-yl]oxi}etanimidoil (<i>opadotina</i>)
----------------------	--

Heavy chain / Chaîne lourde / Cadena pesada

EVQLVESGGG LVQPGGSLRL SCAASGFNIK DTYIHWRQA PGKGLEWVAR 50
 IYPTNGYTRY ADSVKGRFTI SADESKNTAY LQMNSLRAED TAVYYCWSRGW 100
 GDGFYAMDYV GQGTLVTVSS EESTKGPSVFP LAPSSKSTSG GTAALGCLVK 150
 DYFPEPVTVS WNSGALTSGV HTFFAVLQSS GLYSLSSVVT VPSSSLGTQ 200
 YICNVNHPKS NTKVDKKVEP KSCDKTHTCP PCPAPELLGG PSVPLFPKP 250
 KDTLMISRTP EVTCCVVVDVS HEDPEVKENW YVDGVEVHNA KTKPREEQYN 300
 STYRVVSVLT VLHQDWLNRE EYCKVVSNAK LPAPIEKTS KAKGQPREGQ 350
 VYTLPPSRDE LTKNQVSLTC LVKGFYPSDI AVEWESNGQP ENNYKTTPV 400
 LDSDGSFFLY SKLTVDKSRW QQGNVPSCSV MHEALHNHYT QKSLSLSPG 449
E indicates non-natural amino acid *p*-acetylphenylalanine (pAF)

Light chain / Chaîne légère / Cadena ligera

DIQMTQSPSS LSASVGDRVT ITCRASQDVN TAVAWYQQKP GKAPKLLIYS 50
 ASFLYSGVP S RFGSRSGTA F TLTISSLQP EDFATYYCQQ HYTTPPTFGQ 100
 GTKVEIKRTV AAPSVFIFPP SDEQLKSGTA SVVCLNNFY PREAKVQWKV 150
 DNALQSGNSQ E S VTEQDSDK STYSLSSLT LSKADYEKHK VYACEVTHQG 200
 LSSPVTKFSN RGEC 214

Post-translational modifications

Disulfide bridges location / Position des ponts disulfure / Posiciones de los puentes disulfuro
 Intra-H (C23-C104) 22-96 147-203 264-324 370-428
 22"-96" 147"-203" 264"-324" 370"-428"
 Intra-L (C23-C104) 23"-88" 134"-194"
 23"-88" 134"-194"
 Inter-H-L (h 5-CL 126) 223-214" 223"-214"
 Inter-H-H (h 11, h 14) 229-229" 232-232"

N-glycosylation sites / Sites de N-glycosylation / Posiciones de N-glicosilación

H CH2 N84.4:

300, 300"

Fucosylated complex bi-antennary CHO-type glycans / glycanes de type CHO bi-antennaires complexes fucosylés / glicanos de tipo CHO biantenarios complejos fucosilados.

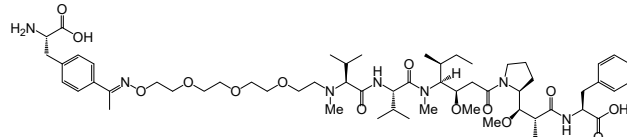
Conjugation site / Site de conjugation / Posicion de conjugación

E: *p*-acetylphenylalanine (pAF) used as conjugation specific site

E: *p*-acetylphenylalanine (pAF) utilisé comme site spécifique de conjugaison

E: *p*-acetilfenilalanina (pAF) utilizada como sitio específico de conjugación

H CH1 A1.4>**E** 121, 121" (~2.0 opadotin groups per antibody)

**anvatabartum pactium #**

anvatabart pactil

immunoglobulin G1-kappa, anti-[*Homo sapiens* ERBB2 (epidermal growth factor receptor 2, receptor tyrosine-protein kinase erbB-2, EGFR2, HER2, HER-2, p185c-erbB2, NEU, CD340)], humanized monoclonal antibody, conjugated at two engineered phenylalanine sites with *p*-acetyl groups;

gamma1 heavy chain humanized (1-449) [VH humanized (*Homo sapiens* IGHV3-66*01 (81.6%) -(IGHD) -IGHJ4*01 (100%), CDR-IMGT [8.8.13] (26-33.51-58.97-109)) (1-120) -*Homo sapiens* IGHG1*01, G1m17.1 (CH1 A1.4>F (pAF) (121), K120 (217) (121-218), hinge 1-15 (219-233), CH2 (234-343), CH3 D12 (359), L14 (361) (344-448), CHS K2>del (449)) (121-449)], (223-214')-disulfide with kappa light chain

humanized (1'-214') [V-KAPPA (*Homo sapiens* IGKV1-39*01 (86.3%) -IGKJ1*01 (100%), CDR-IMGT [6.3.9] (27-32.50-52.89-97)) (1'-107') -*Homo sapiens* IGKC*01 (100%), Km3 A45.1 (153), V101 (191) (108'-214')]; dimer (229-229":232-232")-bisdisulfide, produced in Chinese hamster ovary (CHO) cells, cell line CHO-K1, glycoform alfa; substituted with two acetyl groups at C-4 of Phe121 and Phe121"

anvatabart pactil

immunoglobuline G1-kappa, anti-ERBB2 (récepteur 2 du facteur de croissance épidermique, récepteur tyrosine-protéine kinase erbB2, EGFR2, HER2, HER-2, p185c-erbB2, NEU, CD340)], anticorps monoclonal humanisé; conjugué à deux sites phénylalanine modifiés avec des groupes *p*-acétyle chaîne lourde gamma1 humanisée (1-449) [VH humanisé (*Homo sapiens* IGHV3-66*01 (81.6%) - (IGHD) -IGHJ4*01 (100%), CDR-IMGT [8.8.13] (26-33.51-58.97-109)) (1-120) -*Homo sapiens* IGHG1*01, G1m17.1 (CH1 A1.4>F (pAF) (121), K120 (217) (121-218), charnière 1-15 (219-233), CH2 (234-343), CH3 D12 (359), L14 (361) (344-448), CHS K2>del (449)) (121-449)], (223-214')-disulfure avec la chaîne légère kappa humanisée (1'-214') [V-KAPPA (*Homo sapiens* IGKV1-39*01 (86.3%) -IGKJ1*01 (100%), CDR-IMGT [6.3.9] (27-32.50-52.89-97)) (1'-107') -*Homo sapiens* IGKC*01 (100%), Km3 A45.1 (153), V101 (191) (108'-214')]; dimère (229-229":232-232")-bisdisulfure, produit dans des cellules ovarianes de hamster chinois (CHO), lignée cellulaire CHO-K1, glicoforme alfa, substitué par deux groupes acétyle en C-4 de Phe121 et Phe121"

anvatabart pactil

imunoglobulina G1-kappa, anti-ERBB2 (receptor 2 del factor de crecimiento epidémico, receptor tirosina-proteína kinasa erbB2, EGFR2, HER2, HER-2, p185c-erbB2, NEU, CD340)], anticuerpo monoclonal humanizado; conjugado en 2 sitios modificados de fenilalanina con grupos *p*-acetil; cadena pesada gamma1 humanizada (1-449) [VH humanizado (*Homo sapiens* IGHV3-66*01 (81.6%) - (IGHD) -IGHJ4*01 (100%), CDR-IMGT [8.8.13] (26-33.51-58.97-109)) (1-120) -*Homo sapiens* IGHG1*01, G1m17.1 (CH1 A1.4>F (pAF) (121), K120 (217) (121-218), bisagra 1-15 (219-233), CH2 (234-343), CH3 D12 (359), L14 (361) (344-448), CHS K2>del (449)) (121-449)], (223-214')-disulfuro con la cadena ligera kappa humanizada (1'-214') [V-KAPPA (*Homo sapiens* IGKV1-39*01 (86.3%) -IGKJ1*01 (100%), CDR-IMGT [6.3.9] (27-32.50-52.89-97)) (1'-107') -*Homo sapiens* IGKC*01 (100%), Km3 A45.1 (153), V101 (191) (108'-214')]; dímero (229-229":232-232")-bisdisulfuro, producido en las células ováricas de hámster chino (CHO), línea celular CHO-K1, glicoforma alfa; substituido con dos grupo acetil en C-4 de Phe121 y Phe121"

Heavy chain / Chaîne lourde / Cadena pesada

EVQLVESGGG LVQPGGSRLR SCAASGFNIK DTYIHWVRQA PGKGLEWVAR 50
 IYPTNGYTRY ADSVKGRTI SADTSKNTAY LQMNSLRAED TAVYYCSRWG 100
 GDGFYAMDWY QGQTLLTVSS E_{ST}TKGSPVFP LAPSSKSTSG GTAALGCLVK 150
 DYFPEFVTVS WNSGALTSGV HTFPFAVLQSS GLYSLSVVVT VFSSSLGTQ 200
 YICCNVNHKPS NTKVDDKKVEP KSCDKTHTCP PCPAPELLGG PSVFLFFPKP 250
 KDTLMISRTP ETVCTVVVDVS HEDPEVKFNNA YVDGVEVHNA KTKPREEQYN 300
 STYRVSLSLT VLHQDWLNKG EYCKKVSNKA LPAPIEKTIS KAKQCPREPQ 350
 VYTLLPPSRDE LTQNQVSLSLT LVKGFYPSDI AVEWESNQQP ENNYKTTTPV 400
 LDSDGSFFLY SKLTIVDKSRW QQGNVFSCSV MHEALHNHYT QKSLSLSPG 449

E indicates the non-natural amino acid *p*-acetylphenylalanine (pAF)

Light chain / Chaîne légère / Cadena ligera

DIQMTQSPSS LSASVGRDVT ITCRASQDVN TAVAWYQQKP GKAPKLLIYS 50
 ASFLYSGVPS RFSGRSRCTD FTLTISLLQP EDFATYYCQQ HYTPPPTFQG 100
 GTKVEIKRTV AAPSVFIFPP SDEQLKSFTA SVVCLLNNFY PREAKVQMRV 150
 DNALQSGNSQ ESVTQDSKD STYSLSSLT LSKADYEKKH VYACEVTHQG 200
 LSSPVTKSFN RGECE 214

Post-translational modifications

Disulfide bridges location / Position des ponts disulfure / Posiciones de los puentes disulfuro
 Intra-H (C23-C104) 22-96 147-203 264-324 370-428
 22"-96" 147"-203" 264"-324" 370"-428"
 Intra-L (C23-C104) 23"-88" 134"-194"
 23"-88" 134"-194"
 Inter-H-L (h 5-CL 126) 223-214" 223"-214"
 Inter-H-H (h 11, h 14) 229-229" 232-232"

N-glycosylation sites / Sites de N-glycosylation / Posiciones de N-glicosilación

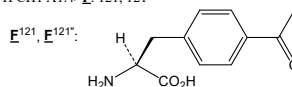
H CH2 N84.4:

300, 300"

Fucosylated complex bi-antennary CHO-type glycans / glycanes de type CHO bi-antennaires complexes fucosylés / glicanos de tipo CHO biantenarios complejos fucosilados.

Conjugation site / Site de conjugation / Posición de conjugación

E: *p*-acetylphenylalanine (pAF) used as conjugation site
 E: *p*-acétylphénylalanine (pAF) utilisé comme site spécifique de conjugaison
 E: *p*-acetilfenilalanina (pAF) utilizada como sitio específico de conjugación
 H CH1 A1.4>E: 121, 121"



anzurstobartum

anzurstobart

immunoglobulin G1-kappa, anti-[*Homo sapiens* SIRPA (signal regulatory protein alpha, SHPS1, protein tyrosine phosphatase non-receptor type substrate 1, PTPNS1, SIRP, SIRP alpha, CD172a)], *Homo sapiens* monoclonal antibody; gamma1 heavy chain *Homo sapiens* (1-450) [VH (*Homo sapiens*IGHV1-18*01 (95.9%)-(IGHD)-IGHJ2*01 (94.1%), CDR-IMGT [8.8.13](26-33.51-58.97-109)) (1-120) -*Homo sapiens*IGHG1*03v, G1m3>G1m17, nG1m1, G1v20 CH2 A105 (CH1 R120>K (217) (121-218), hinge 1-15 (219-233), CH2 K105>A (325) (234-343), CH3 E12 (359), M14 (361) (344-448), CHS (449-450)) (121-450)], (223-214')-disulfide with kappa light chain *Homo sapiens* (1'-214') [V-KAPPA (*Homo sapiens*IGKV1-12*01 (96.8%) - IGKJ4*01 (91.7%), CDR-IMGT [6.3.9] (27-32.50-52.89-97)) (1'-107') -*Homo sapiens*IGKC*01 (100%), Km3, A45.1 (153), V101 (191) (108'-214')]; dimer (229-229":232-232")-bisdisulfide, produced in Chinese hamster ovary (CHO) cells, derived from the cell line CHO-K1, glycoform alfa

anzurstobart

immunoglobuline G1-kappa, anti-[SIRPA (protéine alpha régulatrice du signal, SHPS1, substrat 1 de protéine tyrosine phosphatase de type non-récepteur, PTPNS1, SIRP, SIRP alpha, CD172a)], anticorps monoclonal *Homo sapiens*;

chaîne lourde gamma1 *Homo sapiens* (1-450) [VH (*Homo sapiens* IGHV1-18*01 (95.9%) -(IGHD) -IGHJ2*01 (94.1%), CDR-IMGT [8.8.13] (26-33.51-58.97-109)) (1-120) -*Homo sapiens* IGHG1*03v, G1m3>G1m17, nG1m1, G1v20 CH2 A105 (CH1 R120>K (217) (121-218), charnière 1-15 (219-233), CH2 K105>A (325) (234-343), CH3 E12 (359), M14 (361) (344-448), CHS (449-450)) (121-450)], (223-214')-disulfure avec la chaîne légère kappa *Homo sapiens* (1'-214') [V-KAPPA (*Homo sapiens* IGKV1-12*01 (96.8%) -IGKJ4*01 (91.7%), CDR-IMGT [6.3.9] (27-32.50-52.89-97)) (1'-107) -*Homo sapiens* IGKC*01 (100%), Km3, A45.1 (153), V101 (191) (108'-214')]; dimère (229-229":232-232")-bisdisulfure, produit dans des cellules ovarianes de hamster chinois (CHO), dérivant de la lignée cellulaire CHO-K1, glycoforme alfa

anzurstobart

inmunoglobulina G1-kappa, anti-[SIRPA (proteína alfa de regulación del señal, SHPS1, sustrato 1 de proteína tirosina fosfatasa de tipo no receptor, PTPNS1, SIRP, SIRP alfa, CD172a)], anticuerpo monoclonal *Homo sapiens*; cadena pesada gamma1 *Homo sapiens* (1-450) [VH (*Homo sapiens* IGHV1-18*01 (95.9%) -(IGHD) -IGHJ2*01 (94.1%), CDR-IMGT [8.8.13] (26-33.51-58.97-109)) (1-120) -*Homo sapiens* IGHG1*03v, G1m3>G1m17, nG1m1, G1v20 CH2 A105 (CH1 R120>K (217) (121-218), bisagra 1-15 (219-233), CH2 K105>A (325) (234-343), CH3 E12 (359), M14 (361) (344-448), CHS (449-450)) (121-450)], (223-214')-disulfuro con la cadena ligera kappa *Homo sapiens* (1'-214') [V-KAPPA (*Homo sapiens* IGKV1-12*01 (96.8%) -IGKJ4*01 (91.7%), CDR-IMGT [6.3.9] (27-32.50-52.89-97)) (1'-107) -*Homo sapiens* IGKC*01 (100%), Km3, A45.1 (153), V101 (191) (108'-214')]; dímero (229-229":232-232")-bisdisulfuro, producido en las células ováricas de hámster chino (CHO), línea celular derivada de CHO-K1, forma glicosilada alfa

Heavy chain / Chaîne lourde / Cadena pesada

QVQLVQSGAE VRKPGASVKV SCKASGYTFR GYGISWVRQA PGQGLEWMGW 50
TSAYGEGTNY AQKLQGRVRTM TTDSTSTATA MEIERSLRSDDT TAVYYCAREA 100
GSSWYDFDLW GRGTLVTVSS ASTKGPSVFV LAPSSKSTSG GTAALGLCLVK 150
DYFPEPVWS NSNGALTGVGP HTFPAVLQSS GLYSLLSSVVV VFSSLTGQT 200
YICNVNHPKS NTKVVDKTKVGP KSCDKTHHTCP PCPAPELLGG PSVFLFPKP 250
KDTLMSRTP EVTCKVVDVS HEDEPVFKFN P YVDGVEVHNK KTKPREEQYN 300
STYRVSVLT VLHQDWLNHG EYKCAVSNKA LPAPIEKTIS KAKGQPREQP 350
VVTLPSPREE MTKNQVSLTC LVKGFYPSDI AVWEWSNGQP ENNYKTTPPV 400
LDSQGSFFLY SKLTIVDKSRW QQGNVFCSV SVHEALHNHYT QKSLSLSPGK 450

Light chain / Chaîne légère / Cadena ligera

D1QMTQSPSS VSASVGDRTV ITCRASQGQS SWLAWYQQKP GKAKPLLIYA 50
ASNQLSGVPVS RFSGSGSGTD FTLTISLQP EDFATYYCQQ GASFPITFGG 100
GTVKEIKRTV AAPSVFIFPP SDEQLKSGTA SVVCLLNNFY PREAKVQKV 150
DNAQSGNSQ ESVTBQDSKD STYSLSSLT LSKADYEKHK VYACEVTHQG 200
LSSPVTKSFN RGECA 214

Post-translational modifications

Disulfide bridges location / Position des ponts disulfure / Posiciones de los puentes disulfuro
Intra-H (C23-C104) 22-96 147-203 264-324 370-428
22"-96" 147"-203" 264"-324" 370"-428"
Intra-L (C23-C104) 23-88 134"-194"
23"-88" 134""-194""
Inter-H-L (h 5-CL 126) 223-214" 223"-214"
Inter-H-H (h 11, h 14) 229-229" 232-232"

N-terminal glutaminyl cyclization / Cyclisation du glutaminyle N-terminal / Ciclación del glutaminilo N-terminal
Q > pyroglutamyl (pE, 5-oxopropyl) / pyroglutamyle (pE, 5-oxopropyle) / piroglutamilo (pE, 5-oxopropilo)
H VH Q1; 1, 1"

N-glycosylation sites / Sites de N-glycosylation / Posiciones de N-glicosilación
H CH2 N84.4: 300, 300"
Fucosylated complex bi-antennary CHO-type glycans / glycanes de type CHO bi-antennaires complexes fucosylés / glicanos de tipo CHO biantenarios complejos fucosilados.

C-terminal lysine clipping / Coupe de la lysine C-terminale / Recorte de lisina C-terminal
H CHS K2: 450, 450"

apinocaltamidum

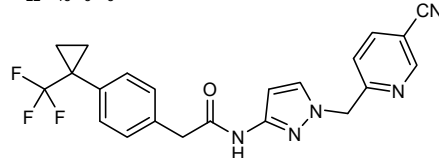
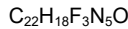
apinocaltamide

N-{1-[{(5-cyanopyridin-2-yl)methyl]-1*H*-pyrazol-3-yl}-2-{4-[1-(trifluoromethyl)cyclopropyl]phenyl}acetamide

apinocaltamide

N-{1-[{(5-cyanopyridin-2-yl)méthyl]-1*H*-pyrazol-3-yl}-2-{4-[1-(trifluorométhyl)cyclopropyl]phényl}acetamide

apinocaltamida

N-{1-[{(5-cianopiridin-2-il)metyl]-1*H*-pirazol-3-il}-2-{4-[1-(trifluorometil)ciclopropil]fenil}acetamida**aroxybutynium**

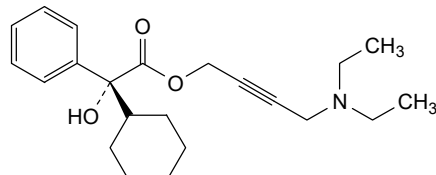
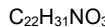
aroxybutyn

4-(diethylamino)but-2-yn-1-yl (*R*)-cyclohexyl(hydroxy)(phenyl)acetate

aroxybutynine

(*R*)-cyclohexyl(hydroxy)(phényl)acétate de 4-(diéthylamino)but-2-yn-1-yle

aroxibutinina

(*R*)-ciclohexil(fenil)(hidroxi)acetato de 4-(dietilamino)but-2-in-1-ilo**asnuciclibum**

asnuciclib

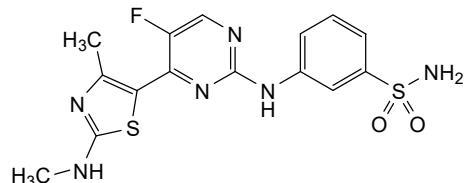
3-({5-fluoro-4-[4-methyl-2-(methylamino)-1,3-thiazol-5-yl]pyrimidin-2-yl}amino)benzene-1-sulfonamide

asnuciclib

3-({5-fluoro-4-[4-méthyl-2-(méthylamino)-1,3-thiazol-5-yl]pyrimidin-2-yl}amino)benzène-1-sulfonamide

asnuciclib

3-({5-fluoro-4-[4-metil-2-(metilamino)-1,3-tiazol-5-il]pirimidin-2-il}amino)benceno-1-sulfonamida



atisnolerbartum #

atisnolerbart

immunoglobulin G4-kappa, anti-[Bet v 1 (*Betula alleghaniensis* (yellow birch) pollen allergen 1], *Homo sapiens* monoclonal antibody; gamma4 heavy chain *Homo sapiens* (1-447) [VH (*Homo sapiens* IGHV1-8*03 (86.7%) -(IGHD) - IGHJ4*01 (93.3%), CDR-IMGT [8.8.13] (26-33.51-58.97-109)) (1-120)-*Homo sapiens*IGHG4*01, G4v5 h P10, nG4m(a) CH2 L92 (CH1 (121-218), hinge 1-12 S10>P (228) (219-230), CH2 L92 (309) (231-340), CH3 (341-445), CHS (446-447)) (121-447)], (134-215')-disulfide with kappa light chain *Homo sapiens* (1'-215') [V-KAPPA (*Homo sapiens* IGKV3-20*01 (100%) -IGKJ1*01 (100%), CDR-IMGT [7.3.9] (27-33.51-53.90-98)) (1'-108') -*Homo sapiens* IGKC*01 (100%), Km3 A45.1 (154), V101 (192) (109'-215')]; dimer (226-226":229-229")-bisdisulfide, produced in Chinese hamster ovary (CHO) cells, glycoform alfa

atisnolerbart

immunoglobuline G4-kappa, anti-[Bet v 1 (allergène 1 du pollen de *Betula alleghaniensis* (bouleau jaune)], anticorps monoclonal *Homo sapiens*; chaîne lourde gamma4 *Homo sapiens* (1-447) [VH (*Homo sapiens* IGHV1-8*03 (86.7%) -(IGHD) - IGHJ4*01 (93.3%), CDR-IMGT [8.8.13] (26-33.51-58.97-109)) (1-120)-*Homo sapiens*IGHG4*01, G4v5 h P10, nG4m(a) CH2 L92 (CH1 (121-218), charnière 1-12 S10>P (228) (219-230), CH2 L92 (309) (231-340), CH3 (341-445), CHS (446-447)) (121-447)], (134-215')-disulfure avec la chaîne légère kappa *Homo sapiens* (1'-215') [V-KAPPA (*Homo sapiens* IGKV3-20*01 (100%) -IGKJ1*01 (100%), CDR-IMGT [7.3.9] (27-33.51-53.90-98)) (1'-108') -*Homo sapiens* IGKC*01 (100%), Km3 A45.1 (154), V101 (192) (109'-215')]; dimère (226-226":229-229")-bisdisulfure, produit dans des cellules ovaries de hamster chinois (CHO), glycoforme alfa

atisnolerbart

inmunoglobulina G4-kappa, anti-[Bet v 1 (alérgeno 1 del polen de *Betula alleghaniensis* (abedul amarillo)], anticuerpo monoclonal *Homo sapiens*; cadena pesada gamma4 *Homo sapiens* (1-447) [VH (*Homo sapiens* IGHV1-8*03 (86.7%) -(IGHD) - IGHJ4*01 (93.3%), CDR-IMGT [8.8.13] (26-33.51-58.97-109)) (1-120)-*Homo sapiens*IGHG4*01, G4v5 h P10, nG4m(a) CH2 L92 (CH1 (121-218), bisagra 1-12 S10>P (228) (219-230), CH2 L92 (309) (231-340), CH3 (341-445), CHS (446-447)) (121-447)], (134-215')-disulfuro con la cadena ligera kappa *Homo sapiens* (1'-215') [V-KAPPA (*Homo sapiens* IGKV3-20*01 (100%) -IGKJ1*01 (100%), CDR-IMGT [7.3.9] (27-33.51-53.90-98)) (1'-108') -*Homo sapiens* IGKC*01 (100%), Km3 A45.1 (154), V101 (192) (109'-215')]; dímero (226-226":229-229")-bisdisulfuro, producido en las células ováricas de hámster chino (CHO), forma glicosilada alfa

Heavy chain / Chaîne lourde / Cadena pesada

QVQLVQSGAE VKKPGASVKV SKKASGYTFI SYNIFWVRQA TGQLDWMGW 50
 MNPFRRNAGY AKQFQGRVTV TWDTSTISTAV MELSSLSED TAIYYCAREH 100
 GSSWNGFDYW GGGLTVTVSS ASTKGSVFP LAPCSRSTSE STAALGCLVK 150
 DYEPEPRTDVS NNSGALTSGV HTRPAVLOSS GLYSLSSVVT VPSSSLGCKT 200
 YTCONVDHKPS NTKVUDKRAVES KYGPPCPFCP APEFLGGPSV FLFPKPDKT 250
 LMSRTPEVTV CVVUDVQSQED PEVQFNWVVD GVEVHNNAKTK PRBEQFNSTY 300
 RVSVSLTVLR QDWLNLGKEYK CKVSNKGLPS SIEKTISAK GQPREPQVYT 350
 LPFSQEMTK NQVSLTCIVK GFYFSDIAVE WESNGQFENN YKTTFPVLDS 400
 DGSFFFLMYSRL TVDKSRWQEG NVFSCSVMHE ALHNHYTQRK LSLSLGK 447

Light chain / Chaîne légère / Cadena ligera

EIVLITQSPGF ECLSPGERAT LSCRASQSVS SSYLAVWQQK PGQAPRLLIY 50
 GAASSRATGIP DRFSGGSGT DFITLTISBLL PEDFAVYICQ QIGSSPWTFG 100
 QGTKEWEIKRT VAAPSVFIP PPSDEQLKSQT ASVVCLLNNF YPREAKVQWN 150
 VDNALQSGNS QESVTEQDSK DSTYSLSSST TLSKADYEKHK KVYACEVTHQ 200
 GLSSPVTKSF NRGEK 215

Post-translational modifications

Disulfide bridges location / Posición de los puentes disulfuro / Posiciones de los puentes disulfuro

Intra-H (C23- \bar{C} 104) 22°-96° 147°-203° 261°-321° 367°-425°
 Intra-L (C23-C104) 22°-96° 147°-203° 261°-321° 367°-425°
 Inter-H-L (CH1 10-CL 126) 134°-215° 134°-215°
 Inter-H-H (h 8, h 11) 226°-226° 229°-229°

N-terminal glutaminyl cyclization / Cyclisation du glutaminyle N-terminal / Ciclación del glutamínico N-terminal
 Q > pyroglutamyl (pE, 5-oxoprolyl) / pyroglutamyl (pE, 5-oxoprolile) / piroglutamilo (pE, 5-oxoprolilo)
 H VH Q1: 1, 1"

N-glycosylation sites / Sites de N-glycosylation / Posiciones de N-glicosilación
 H CH2 N84: 297, 297"
 Fucosylated complex bi-antennary CHO-type glycans / glycanes de tipo CHO bi-antennarios complejos fucosilados.

C-terminal lysine clipping / Coupe de la lysine C-terminale / Recorte de lisina C-terminal
 H CHS K2: 447, 447"

azenosertibum

azenosertib

1-[(7*R*)-7-ethyl-7-hydroxy-6,7-dihydro-5*H*-cyclopenta[*b*]pyridin-2-yl]-6-[4-(4-methylpiperazin-1-yl)anilino]-2-(prop-2-en-1-yl)-1,2-dihydro-3*H*-pyrazolo[3,4-*d*]pyrimidin-3-one

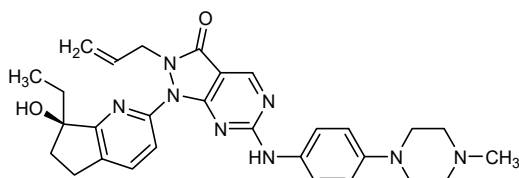
azénosertib

1-[(7*R*)-7-éthyl-7-hydroxy-6,7-dihydro-5*H*-cyclopenta[*b*]pyridin-2-yl]-6-[4-(4-méthylpipérazin-1-yl)anilino]-2-(prop-2-én-1-yl)-1,2-dihydro-3*H*-pyrazolo[3,4-*d*]pyrimidin-3-one

azenosertib

1-[(7*R*)-7-etyl-7-hidroxi-6,7-dihidro-5*H*-ciclopenta[*b*]piridin-2-il]-6-[4-(4-metilpiperazin-1-il)anilino]-2-(prop-2-en-1-il)-1,2-dihidro-3*H*-pirazolo[3,4-*d*]pirimidin-3-ona

C₂₉H₃₄N₈O₂



basroparibum

basroparib

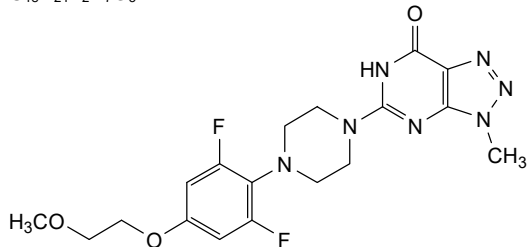
5-{4-[2,6-difluoro-4-(2-methoxyethoxy)phenyl]piperazin-1-yl}-3-methyl-3,6-dihydro-7*H*-[1,2,3]triazolo[4,5-*d*]pyrimidin-7-one

basroparib

5-{4-[2,6-difluoro-4-(2-méthoxyéthoxy)phényl]pipérazin-1-yl}-3-méthyl-3,6-dihydro-7*H*-[1,2,3]triazolo[4,5-*d*]pyrimidin-7-one

basroparib

5-{4-[2,6-difluoro-4-(2-metoxietoxi)fenil]piperazin-1-il}-3-metil-3,6-dihidro-7H-[1,2,3]triazolo[4,5-d]pirimidin-7-ona

 $C_{18}H_{21}F_2N_7O_3$ **batoprotafibum**

batoprotafib

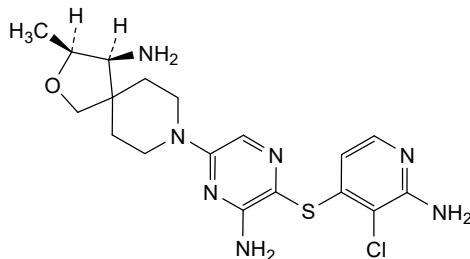
(3S,4S)-8-{6-amino-5-[(2-amino-3-chloropyridin-4-yl)sulfanyl]pyrazin-2-yl}-3-methyl-2-oxa-8-azaspiro[4.5]decan-4-amine

batoprotafib

(3S,4S)-8-{6-amino-5-[(2-amino-3-chloropyridin-4-yl)sulfanyl]pyrazin-2-yl}-3-méthyl-2-oxa-8-azaspiro[4.5]décane-4-amine

batoprotafib

(3S,4S)-8-{6-amino-5-[(2-amino-3-cloropiridin-4-yl)sulfanil]pirazin-2-il}-3-metil-2-oxa-8-azaspiro[4.5]decan-4-amina

 $C_{18}H_{24}ClN_7OS$ **becatatugum #**

becatatug

immunoglobulin G1-kappa, anti-[*Homo sapiens* EGFR (epidermal growth factor receptor, receptor tyrosine-protein kinase erbB-1, ERBB1, HER1, HER-1, ERBB)], humanized monoclonal antibody; gamma1 heavy chain humanized (1-449) [VH (*Homo sapiens* IGHV4-4*08 (79.4%) - (IGHD) - IGHJ4*01 (92.9%), CDR-IMGT [8.7.13] (26-33.51-57.96-108)) (1-119) - *Homo sapiens* IGHG1*03, G1m3, nG1m1 (CH1 R120 (216) (120-217), hinge 1-15 (218-232), CH2 (233-342), CH3 E12 (358), M14 (360) (343-447), CHS (448-449)) (120-449)], (222-214')-disulfide with kappa light chain humanized (1'-214') [V-KAPPA (*Homo sapiens* IGKV6-21*02 (89.5%) - IGKJ2*03 (100%), CDR-IMGT [6.3.9] (27-32.50-52.89-97)) (1'-107') - *Homo sapiens* IGKC*01 (100%), Km3 A45.1 (153), V101 (191) (108'-214')]; dimer (228-228": 231-231")-bisdisulfide, produced in Chinese hamster ovary (CHO) cells, cell line CHO-S, glycoform alfa

bécotatug	immunoglobuline G1-kappa, anti-[<i>Homo sapiens</i> EGFR (récepteur du facteur de croissance épidermique, récepteur tyrosine-protéine kinase erbB1, ERBB1, HER1, HER-1, ERBB)], anticorps monoclonal humanisé; chaîne lourde gamma1 humanisée (1-449) [VH (<i>Homo sapiens</i> IGHV4-4*08 (79.4%) -(IGHD) - IGHJ4*01 (92.9%), CDR-IMGT [8.7.13] (26-33.51-57.96-108)) (1-119) - <i>Homo sapiens</i> IGHG1*03, G1m3, nG1m1 (CH1 R120 (216) (120-217), charnière 1-15 (218-232), CH2 (233-342), CH3 E12 (358), M14 (360) (343-447), CHS (448-449)) (120-449)], (222-214')-disulfure avec la chaîne légère kappa humanisée(1'-214') [V-KAPPA (<i>Homo sapiens</i> IGKV6-21*02 (89.5%) -IGKJ2*03 (100%), CDR-IMGT [6.3.9] (27-32.50-52.89-97)) (1'-107') - <i>Homo sapiens</i> IGKC*01 (100%), Km3 A45.1 (153), V101 (191) (108'-214')]; dimère (228-228": 231-231")-bisdisulfure, produit dans des cellules ovaries de hamster chinois (CHO), lignée cellulaire CHO-S, glycoforme alfa
becotatug	inmunoglobulina G1-kappa, anti-[<i>Homo sapiens</i> EGFR (receptor del factor de crecimiento epidérmico, receptor tirosina-proteína kinasa erbB1, ERBB1, HER1, HER-1, ERBB)], anticuerpo monoclonal humanizado; cadena pesada gamma1 humanizada (1-449) [VH (<i>Homo sapiens</i> IGHV4-4*08 (79.4%) -(IGHD) - IGHJ4*01 (92.9%), CDR-IMGT [8.7.13] (26-33.51-57.96-108)) (1-119) - <i>Homo sapiens</i> IGHG1*03, G1m3, nG1m1 (CH1 R120 (216) (120-217), bisagra 1-15 (218-232), CH2 (233-342), CH3 E12 (358), M14 (360) (343-447), CHS (448-449)) (120-449)], (222-214')-disulfuro con la cadena ligera kappa humanizada (1'-214') [V-KAPPA (<i>Homo sapiens</i> IGKV6-21*02 (89.5%) -IGKJ2*03 (100%), CDR-IMGT [6.3.9] (27-32.50-52.89-97)) (1'-107') - <i>Homo sapiens</i> IGKC*01 (100%), Km3 A45.1 (153), V101 (191) (108'-214')]; dímero (228-228": 231-231")-bisdisulfuro, producido en las células ováricas de hámster chino (CHO), línea celular CHO-S, forma glicosilada alfa

Heavy chain / Chaîne lourde / Cadena pesada

QVQLQEESPGC LVKSESETLSL TCTVSGFSL NYDVHNVVRQA PGKGLENLGV 50
 INSGGGNTDYN TPFTPSRLTIS VDTSKNQFSL KLSSVTAADT AVYYCARALD 100
 YYDYEFEAWG QGTLVTVVSSA STKGPSVFPL APSSKKSTSGG TAALGCLVKD 150
 YPFPEPVTWSW NSGALIISGVH TFPFAVLQSG LYSLSSVVTVV PSSSLGTQTY 200
 ICNVNHHKPSN TKVDRKVEPK SCDKTHTCPP CPAPFELLGGP SVFLFPPPKPK 250
 DTLMSRTPTE VTCVVDVSHV EDPEVKFNWY VGDPGEVHNAK TKPREEQYNS 300
 TXRVVSVLTW LRQDWLNGKE YKCKVSNKAL PAPIEKTISK AKGQPREPQV 350
 YTLPFSRSEEM TRKQVSLTC E VKGFYVPDSDIA VEWESENNGQFE NNIKKTTPPV 400
 DSDGSFFLYS KLTVDKSLRWI QGNVFSCVM HEALHHHTQ KSLSLSPGK 449

Light chain / Chaîne légère / Cadena ligera

EVLVLTQSPDFQ QSVTPKEKVIT ITCRASQISIG TNIIHWYQQKPQ DQSPKLLIKY 50
 ASESIISGIPS RFGSSGSGTD FTTLTINSLEA EDAATYYCQQ NNEWPSTSFGQ 100
 GSKLEIHKRTV AAPSVFIPPP SDEQLKSGTA SVVCLLNNFY PREAKVQWKV 150
 DNAIQLQSGSQ ESVTEQDSSK STYSLSSLTLSKADYEKHK VYACEVTHHQ 200
 LSSPVTKSFWN RGEC 214

Post-translational modifications

Disulfide bridges location / Position des ponts disulfure / Posiciones de los puentes disulfuro

Intra-H (C23-C104) 22"-95" 146"-202" 263"-323" 369"-427"

Intra-L (C23-C104) 23"-88" 146"-202" 263"-323" 369"-427"

Inter-H-L (h 5-CL 126) 222-214" 222"-214"

Inter-H-H (h 11, h 14) 228-228" 231-231"

N-terminal glutaminyl cyclization / Cyclisation du glutaminyle N-terminal / Ciclación del glutamínico N-terminal

Q > pyroglutamyl (pE, 5-oxoprolyl) / pyroglutamyl (pE, 5-oxoprolile) / piroglutamilo (pE, 5-oxoprolilo)

H VH Q1: 1, 1"

N-glycosylation sites / Sites de N-glycosylation / Posiciones de N-glicosilación

H CH2 N84.4: 299, 299"

Fucosylated complex bi-antennary CHO-type glycans / glycane de type CHO bi-antennaires complexes fucosylés / glicanos de tipo CHO biantenarios complejos fucosilados.

C-terminal lysine clipping / Coupe de la lysine C-terminale / Recorte de lisina C-terminal

H CHS K2: 449, 449"

belrestotug #

belrestotug

immunoglobulin G1-kappa, anti-[*Homo sapiens* TIGIT (T-cell immunoreceptor with Ig domain and ITIM, V-set Ig member 9, VSIG9, V-set and transmembrane member 3, VSTM3)], *Homo sapiens* antibody; gamma1 heavy chain *Homo sapiens* (1-451) [VH (*Homo sapiens* IGHV1-46*01 (95.9%) -(IGHD) - IGHJ1*01 (90.9%), CDR-IMGT [8.8.14] (26-33.51-58.97-110)) (1-121) -*Homo sapiens* IGHG1*01, G1m17,1 (CH1 K120 (218) (122-219), hinge 1-15 (220-234), CH2 (235-344), CH3 D12 (360), L14 (362) (345-449), CHS (450-451)) (122-451)], (224-215')-disulfide with kappa light chain *Homo sapiens* (1'-215') [V-KAPPA (*Homo sapiens* IGKV3-20*01 (96.9%) -IGKJ4*01 (100%), CDR-IMGT [7.3.9] (27-33.51-53.90-98)) (1'-108') -*Homo sapiens* IGKC*01 (100%), Km3, A45.1 (154), V101 (192) (109'-215')]; dimer (230-230":233-233")-bisdisulfide, produced in Chinese hamster ovary (CHO) cells, cell line CHO-K1, glycoform alfa

belrestotug

immunoglobuline G1-kappa, anti-[*Homo sapiens* TIGIT (immunorécepteur des lymphocytes T avec domaine Ig et ITIM, membre 9 de l'Ig V-set, VSIG9, membre 3 de l'Ig V-set et région transmembranaire, VSTM3)], anticorps monoclonal *Homo sapiens*; chaîne lourde gamma1 *Homo sapiens* (1-451) [VH (*Homo sapiens* IGHV1-46*01 ((95.9%) -(IGHD) - IGHJ1*01 (90.9%), CDR-IMGT [8.8.14] (26-33.51-58.97-110)) (1-121) -*Homo sapiens* IGHG1*01, G1m17,1 (CH1 K120 (218) (122-219), charnière 1-15 (220-234), CH2 (235-344), CH3 D12 (360), L14 (362) (345-449), CHS (450-451)) (122-451)], (224-215')-disulfure avec la chaîne légère kappa *Homo sapiens* (1'-215') [V-KAPPA (*Homo sapiens* IGKV3-20*01 (96.9%) -IGKJ4*01 (100%), CDR-IMGT[7.3.9] (27-33.51-53.90-98)) (1'-108') -*Homo sapiens* IGKC*01 (100%), Km3, A45.1 (154), V101 (192) (109'-215')]; dimère (230-230":233-233")-bisdisulfure, produit dans des cellules ovariennes de hamster chinois (CHO), lignée cellulaire CHO-K1, glycoforme alfa

belrestotug

inmunoglobulina G1-kappa, anti-[*Homo sapiens* TIGIT (inmunoreceptor de los linfocitos T con dominio Ig e ITIM, miembro 9 de la Ig V-set, VSIG9, miembro 3 de la Ig V-set y región transmembranaria, VSTM3)], anticuerpo monoclonal *Homo sapiens*; cadena pesada gamma1 *Homo sapiens* (1-451) [VH (*Homo sapiens* IGHV1-46*01 ((95.9%) -(IGHD) - IGHJ1*01 (90.9%), CDR-IMGT [8.8.14] (26-33.51-58.97-110)) (1-121) -*Homo sapiens* IGHG1*01, G1m17,1 (CH1 K120 (218) (122-219), bisagra 1-15 (220-234), CH2 (235-344), CH3 D12 (360), L14 (362) (345-449), CHS (450-451)) (122-451)], (224-215')-disulfuro con la cadena ligera kappa *Homo sapiens* (1'-215') [V-KAPPA (*Homo sapiens* IGKV3-20*01 (96.9%) -IGKJ4*01 (100%), CDR-IMGT [7.3.9] (27-33.51-53.90-98))(1'-108') -*Homo sapiens* IGKC*01(100%), Km3, A45.1 (154), V101 (192) (109'-215')]; dímero (230-230":233-233")-bisdisulfuro, producido en las células ováricas de hámster chino (CHO), línea celular CHO-K1, forma glicosilada alfa

Heavy chain / Chaîne lourde / Cadena pesada

```

QVQLVQSGAE VKKPGASVKV SCKASGYIFT SYYMHWVRQA PGQGLEWMGV 50
IGPAGASTSV AQQFQGRVIL TRDTSTVY MELSSLRSED TAVYYCARDF 100
SDYWGSIMEV WGQGTTVTVS SASTKGPSVE PLAPSSKSTS GGTAAALGCLV 150
KDYFPEPVTV SWNSGALTSG VHTFFPAVLQG SGLYSLSSVV TVPSSSLGTQ 200
TYICVNHHKPK SNTKVDKKVE PKSCDKTHTC PFCPAPELLG GPSVFLFFPK 250
PKDTLMISRT PEVTCVVVDV SHEDPEVKFN WYVGVEVHN AKTKPREEQY 300
NSTYRVSVL TLVHQDWLNG KEYKCKVSNK ALPAPIEKTI SAKAQPREP 350
QVVTLPSPRD ELTNQWQLST CLVKGFYPSD IAVEWESNQ PENNYKTTPP 400
VLDSGSFFY YSKLTVDKSR WQQGNVFSCS VMHEALHNHY TQKSLSLSPG 450
K
      
```

Light chain / Chaîne légère / Cadena ligera

```

EIVLTQSPGT LSLSPERAT LSCRASQSQSR SSYLAWSYQQK PGQAPRLLIY 50
GASSRATGIP DRFSQSGSGT DFTLTISSRL PEDFPAVYQCY QYFSPPWTFG 100
GGTKVEIKRT VAAPSFIFP PSDEQLKSGT ASVVCCLNNF YPREAKVQWKL 150
VDNALQSGNS QESVTEQDSK DSTYSLSSTL TLSKADYEKH KVYACEVTHQ 200
GLSSPVTKSF NRGECA
      
```

Post-translational modifications

Disulfide bridges location / Position des ponts disulfure / Posiciones de los puentes disulfuro

Intra-H (C23-C104)	22°-96°	148°-204°	265°-325°	371°-429°
	22°-96°	148°-204°	265°-325°	371°-429°
Intra-L (C23-C104)	23°-89°	135°-195°		
Inter-H-L (h 5-CL 126)	224°-215°	224°-215°		
Inter-H-H (h 11, h 14)	230°-230°	233°-233°		

N-terminal glutaminyl cyclization / Cyclisation du glutaminy N-terminal / Ciclación del glutamino N-terminal
Q> pyroglutamyl (pE, 5-oxoprolyl) / pyroglutamyle (pE, 5-oxoprolile) / piroglutamilo (pE, 5-oxoprotílo)
H VH Q1: 1, 1"

N-glycosylation sites / Sites de N-glycosylation / Posiciones de N-glicosilación
H CH2 N84:4- 301, 301"
Fucosylated complex bi-antennary CHO-type glycans / glycanes de tipo CHO bi-antennaires
complexes fucosyles / glicanos de tipo CHO biantenarios complejos fucosilados.

C-terminal lysine clipping / Coupe de la lysine C-terminale / Recorte de lisina C-terminal
H CHS K2: 451, 451"

bemdaneprocum bemdaneprocel

allogenic dopaminergic neural progenitor cells derived from the WA09 human embryonic stem cell (hESC) working cell bank (WCB). The cells are expanded and differentiated on plates coated with a basement membrane extract. Cells are initially grown in a xeno-free and feeder-free medium supplemented with a Rho-associated protein kinase (ROCK) inhibitor. The cells are then replated into polyornithine, laminin, and fibronectin coated flasks to undergo multiple maturation/differentiation steps in neurobasal media containing: bone morphogenetic protein (BMP) inhibitor, anaplastic lymphoma kinase (ALK) inhibitor, sonic hedgehog, glycogen synthase kinase (GSK) 3 inhibitor, brain-derived neurotrophic factor (BDNF), glial cell line-derived neurotrophic factor (GDNF), cAMP, transforming growth factor beta-3 (TGFB3), and a γ -secretase inhibitor. The major cell population consists of midbrain dopamine neuron progenitor cells indicated by the dopamine neuron precursor marker forkhead box protein A2 (FOXA2, >85%), the midbrain dopamine cell markers LIM homeobox transcription factor 1-alpha (LMX1A; <20.95 quantification cycle (Cq)) and pituitary homeobox 3 (PITX3; <28.23 Cq) and the dopaminergic cell marker tyrosine hydroxylase (TH; <24.70 Cq). The final substance also contains a minor cell population of forebrain cells (paired box protein (PAX6); <5%), but no detectable pluripotent stem cells indicated by the absence of the homeobox protein NANOG (<0.2%) and low levels of the octamer-binding transcription factor 4 (OCT4; >26.95 Cq).

bemdanéprocel	<p>cellules progénitrices neurales dopaminergiques allogéniques provenant des cellules souches embryonnaires humaines WA09 (hESC) de la banque cellulaire de travail (WCB). Les cellules sont développées et différencierées sur des plaques recouvertes d'un extrait de membrane basale. Les cellules sont initialement cultivées dans un milieu non-xéno et non-nourricier, complémenté par un inhibiteur de la protéine kinase associée à Rho (ROCK). Les cellules sont ensuite remises en culture dans des flacons recouverts de polyornithine, de laminine et de fibronectine et subissent de nombreuses étapes de maturation/différenciation dans un milieu neurobasal contenant: un inhibiteur de la protéine osseuse morphogénétique (BMP), un inhibiteur de la kinase du lymphome anaplasique (ALK), sonic hedgehog, un inhibiteur de la glycogène synthase kinase 3 (GSK) 3, le facteur neurotrophique dérivé du cerveau (BDNF), le facteur neurotrophique dérivé de la glie (GDNF), l'AMPc, le facteur de croissance transformant bêta-3 (TGFB3) et un inhibiteur de la γ-sécrétase. La population cellulaire principale consiste en des cellules progénitrices de neurones dopaminergiques du mésencéphale indiquées par la présence de la protéine de la boîte à tête de fourche (forkhead box protein) A2 (FOXA2, >85%) marquant les précurseurs des neurones dopaminergiques, le facteur de transcription 1-alpha des boîtes homéotiques LIM (LMX1A; <20,95 cycle de quantification (Cq)) et la boîte homéotique 3 pituitaire (PITX3; <28,23 Cq) marquant les cellules dopaminergiques du mésencéphale et la tyrosine hydroxylase (TH; <24,70 Cq) marquant les cellules dopaminergiques. La substance finale contient également une population mineure de cellules du prosencéphale (protéine de la boîte à paire (paired box protein)(PAX6; <5%), mais aucune cellule souche pluripotente n'est détectable comme l'indique l'absence de la boîte homéotique NANOG (<0,2%) et les faibles taux du facteur de transcription 4 se liant à l'octamère (OCT4; >26,95 Cq).</p>
bemdaneprocel	<p>células progenitoras neuronales dopaminérgicas alogénicas derivadas del banco de células de trabajo (WCB) WA09 de células madre embrionarias humanas (hESC). Las células se expanden y diferencian en placas forradas con un extracto de membrana basal. Las células se crecen inicialmente en un medio sin alimentadoras ni componentes xenogénicos (xeno-free y feeder-free) suplementado con un inhibidor de la proteína quinasa asociada a Rho (ROCK). Las células se re siembran en frascos forrados de poliornitina, laminina y fibronectina para someterse a múltiples pasos de maduración/diferenciación en medios neurobasales que contienen inhibidor de la proteína morfogenética (NMP), inhibidor de la quinasa del linfoma anaplásico (ALK), sonic hedgehog, inhibidor de la glucógeno quinasa sintasa (GSK) 3, factor neurotrófico derivado de cerebro (BDNF), factor neurotrófico derivado de una línea celular de glia (GDNF), cAMP, factor de crecimiento transformante beta-3 (TGFB3) y un inhibidor de γ-secretasa.</p> <p>La población celular principal consiste en células progenitoras de neuronas de dopamina del cerebro medio indicadas por el marcador de precursores de neuronas de dopamina proteína FOXA2 (FOXA2, >85%), los marcadores de células de dopamina del cerebro medio factor de transcripción homeobox LIM 1-alfa (LMX1A; <20.95 ciclo de cuantificación (Cq)) y homeobox de pituitaria 3 (PITX3; <28.23 Cq) y el marcador de células dopaminérgicas tirosina hidroxilasa (TH; <24.70 Cq). La substancia final también contiene una población menor de células del cerebro anterior proteína de caja apareada (PAX6; <5%), pero no células madre pluripotentes detectables por la ausencia de homeobox NANOG (<0.2%) y bajos niveles de factor de transcripción de unión al octámero 4 (OCT4; >26.95 Cq).</p>

bempikibartum #

bempikibart

immunoglobulin G1-kappa, anti-[*Homo sapiens* IL7R (interleukin 7 receptor, IL7RA, CD127)], *Homo sapiens* antibody; gamma1 heavy chain *Homo sapiens* (1-450) [VH (*Homo sapiens*IGHV3-9*01 (96%) -(IGHD) -IGHJ1*01 (90.9%), CDR-IMGT [8.8.14] (26-33.51-58.97-110)) (1-121) -*Homo sapiens* IGHG1*03, G1m3, nG1m1, G1v43 CH2 A1.3, E1.2, A1 (CH1 R120 (218) (122-219), hinge 1-15 (220-234), CH2 L1.3>A (238), L1.2>E (239), G1>A (241) (235-344), CH3 E12 (360), M14 (362) (345-449), CHS K2>del (450)) (122-450)], (224-216')-disulfide with kappa light chain *Homo sapiens* (1'-216') [V-KAPPA (*Homo sapiens* IGKV1-13*02 (100%) -IGKJ5*01 (100%), CDR-IMGT [6.3.11] (27-32.50-52.89-99)) (1'-109') -*Homo sapiens* IGKC*01 (100%), Km3, A45.1 (155), V101 (193) (110'-216')]; dimer(230-230":233-233")-bisdisulfide, produced in Chinese hamster ovary (CHO) cells, derived from the cell line CHO-K1, glycoform alfa

bempikibart

immunoglobuline G1-kappa, anti-[*Homo sapiens* IL7R (récepteur de l'interleukine 7, CD127, IL7RA)], anticorps monoclonal *Homo sapiens*; chaîne lourde gamma1 *Homo sapiens* (1-450) [VH (*Homo sapiens*IGHV3-9*01 (96%) -(IGHD) -IGHJ1*01 (90.9%), CDR-IMGT [8.8.14] (26-33.51-58.97-110)) (1-121) -*Homo sapiens* IGHG1*03, G1m3, nG1m1, G1v43 CH2 A1.3, E1.2, A1 (CH1 R120 (218) (122-219), charnière 1-15 (220-234), CH2 L1.3>A (238), L1.2>E (239), G1>A (241) (235-344), CH3 E12 (360), M14 (362) (345-449), CHS K2>del (450)) (122-450)], (224-216')-disulfure avec la chaîne légère kappa *Homo sapiens*(1'-216') [V-KAPPA (*Homo sapiens* IGKV1-13*02 (100%) -IGKJ5*01 (100%), CDR-IMGT [6.3.11] (27-32.50-52.89-99)) (1'-109') -*Homo sapiens* IGKC*01 (100%), Km3,A45.1 (155), V101 (193) (110'-216')]; dimère (230-230":233-233")-bisdisulfure, produit dans des cellules ovarianes de hamster chinois (CHO), dérivant de la lignée cellulaire CHO-K1, glycoforme alfa

bempikibart

inmunoglobulina G1-kappa, anti-[*Homo sapiens* IL7R (receptor de la interleukina 7, CD127, IL7RA)], anticuerpo monoclonal *Homo sapiens*; cadena pesada gamma1 *Homo sapiens* (1-450) [VH (*Homo sapiens*IGHV3-9*01 (96%) -(IGHD) -IGHJ1*01 (90.9%), CDR-IMGT [8.8.14] (26-33.51-58.97-110)) (1-121) -*Homo sapiens* IGHG1*03, G1m3, nG1m1, G1v43 CH2 A1.3, E1.2, A1 (CH1 R120 (218) (122-219), bisagra 1-15 (220-234), CH2 L1.3>A (238), L1.2>E (239), G1>A (241) (235-344), CH3 E12 (360), M14 (362) (345-449), CHS K2>del (450)) (122-450)], (224-216')-disulfuro con la cadena ligera kappa *Homo sapiens* (1'-216') [V-KAPPA (*Homo sapiens* IGKV1-13*02 (100%) -IGKJ5*01 (100%), CDR-IMGT [6.3.11] (27-32.50-52.89-99)) (1'-109') -*Homo sapiens* IGKC*01 (100%), Km3, A45.1 (155), V101 (193) (110'-216')]; dímero (230-230":233-233")-bisdisulfuro, producido en las células ováricas de hámster chino (CHO), línea celular derivada de CHO-K1, forma glicosilada alfa

Heavy chain / Chaîne lourde / Cadena pesada
EVQLVESGGG LVQPGRSRL SCAASGFTFD DHAMHWVRQA PGKGLEWVG 50
ISWNSNRIGY ADHSVGRFTI FRDNAKNSLY LQMNLSRAED TALYVCAKDE 100
YSGGYVVLDV WCQGTTVTS SASTKGPSVE PLAPSSKSNTS GGTAALGCLV 150
KDYFFPEVTV SWNSGALTSG VHTTPAVLQS SGYLSSLSVV TVPSSLGLTQ 200
TYICNWNHKH SNTKVKDRVRV PKSCDKTHTC PPCPAPAEAG APSVFLPPK 250
PKDTLMISR T PEVCVWVDY SHEDPEVFN WYDGVVEHNN ARTKTKREEQY 300
NSTYRVVSVL TLVLQWMLNG KEYKCKVSNA ALAPIEKTI SKARGQREP 350
QVITLPLFSRE ENTRNQSLT CLVKGFYPSD IAVEWESNQ PENNYKTTFP 400
VLDSGSFFL YSKLTVDKSR WQQQNVNFSCS VMHEALHNHY TQQLSLSLSG 450

Light chain / Chaîne légère / Cadena ligera
AIQLTQSPSS LSASVGRVRT ITCRASQGIS SALAWYQQKP GKAPKLLIYD 50
ASSLESQVES RFGSGGSGTD FTLTISLQP EDFATYYCQO FNSYPLMIF 100
GQGTTRLEIKR TVAAPSQVIF PPSDEQELKSG TASVCLLNF FYPREAKVQW 150
KVDNALQSGSR SQESVTEQDS KDSTYSLSS TLTLSKADYEK HKVYACEVTH 200
QGLSSPVTKR FNNGEC 216

Post-translational modifications

Disulfide bridges location / Position des ponts disulfure / Posiciones de los puentes disulfuro

Intra-H (C23-C104) 22°-96° 148°-204° 265°-325° 371°-429°
22°-96° 148°-204° 265°-325° 371°-429°
Intra-L (C23-C104) 23°-88° 136°-196°
23°-88° 136°-196°

Inter-H-L (h 5-CL 126) 224-216° 224°-216°

Inter-H-H (h 11, h 14) 230-230° 233-233°

N-glycosylation sites / Sites de N-glycosylation / Posiciones de N-glicosilación
H CH2 N84; 4, 301, 301*

Fucosylated complex bi-antennary CHO-type glycans / glycanes de tipo CHO bi-antennaires complexes fucosylés / glicanos de tipo CHO biantenarios complejos fucosilados

berberini ursodeoxycholas

berberine ursodeoxycholate

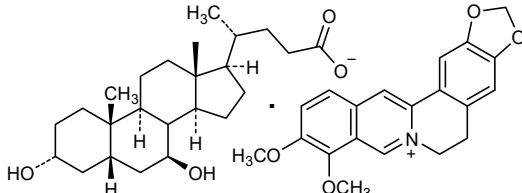
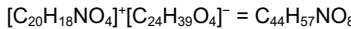
9,10-dimethoxy-5,6-dihydro-2*H*,8*H*-[1,3]dioxolo[4,5-*g*]isoquinolino[3,2-*a*]isoquinolin-8-ylium 3*a*,7*β*-dihydroxy-5*β*-cholan-24-oate

ursodésoxycholate de berbérine

9,10-diméthoxy-5,6-dihydro-2*H*,8*H*-[1,3]dioxolo[4,5-*g*]isoquinoléino[3,2-*a*]isoquinoléin-8-ylium 3*a*,7*β*-dihydroxy-5*β*-cholan-24-oate

ursodesoxicolo de berberina

9,10-dimetoxi-5,6-dihidro-2*H*,8*H*-[1,3]dioxolo[4,5-*g*]isoquinoleino[3,2-*a*]isoquinolein-8-ilium 3*a*,7*β*-dihidroxi-5*β*-cholan-24-oato

**bezeparsenum**

bezeparsen

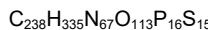
*all-P-ambo-5'-O-(28-[(2-acetamido-2-deoxy-β-D-galactopyranosyl)oxy]-16,16-bis[[3-((6-[(2-acetamido-2-deoxy-β-D-galactopyranosyl)oxy]hexyl)amino)-3-oxopropoxy)methyl]-1-hydroxy-1,10,14,21-tetraoxo-2,18-dioxa-9,15,22-triaza-1λ⁵-phosphoactacosan-1-yl]-2'-O,4'-C-[(1*S*)-ethane-1,1-diyl]-*P*-thioadenylyl-(3'→5')-2'-O,4'-C-[(1*S*)-ethane-1,1-diyl]-5-methyl-*P*-thiouridylyl-(3'→5')-2'-deoxy-*P*-thioadenylyl-(3'→5')-2'-deoxy-*P*-thioadenylyl-(3'→5')-2'-deoxy-5-methyl-*P*-thiocytidyllyl-(3'→5')-*P*-thiocytidyllyl-(3'→5')-2'-deoxy-5-methyl-*P*-thiocytidyllyl-(3'→5')-2'-deoxy-*P*-thioguanilyl-(3'→5')-*P*-thioguanilyl-(3'→5')-2'-deoxy-*P*-thioguanilyl-(3'→5')-2'-O,4'-C-[(1*S*)-ethane-1,1-diyl]-5-methyl-*P*-thiocytidyllyl-(3'→5')-2'-O,4'-C-[(1*S*)-ethane-1,1-diyl]-*P*-thioadenylyl-(3'→5')-2'-O,4'-C-[(1*S*)-ethane-1,1-diyl]-5-methyl-*P*-thiocytidyllyl-(3'→5')-2'-O,4'-C-[(1*S*)-ethane-1,1-diyl]-5-methyl-*P*-thiocytidyllyl-(3'→5')-2'-O,4'-C-[(1*S*)-ethane-1,1-diyl]-5-methyl-*P*-thiocytidyllyl-(3'→5')-2'-O,4'-C-[(1*S*)-ethane-1,1-diyl]-5-methyl-*P*-thiocytidyllyl-(3'→5')-2'-O,4'-C-[(1*S*)-ethane-1,1-diyl]-5-methyl-*P*-thiocytidyllyl-(3'→5')-2'-O,4'-C-[(1*S*)-ethane-1,1-diyl]-5-methyl-*P*-thiocytidyllyl-(3'→5')*

bézéparsen

tout-P-ambo-5'-O-(28-[(2-acétamido-2-désoxy-β-D-galactopyranosyl)oxy]-16,16-bis{[3-({6-[(2-acétamido-2-désoxy-β-D-galactopyranosyl)oxy]hexyl}amino)-3-oxopropoxy]méthyl}-1-hydroxy-1,10,14,21-tétraoxo-2,18-dioxa-9,15,22-triaza-1λ⁵-phosphoactacosan-1-il}-2'-O,4'-C-[(1S)-éthane-1,1-diyl]-P-thioadénylyl-(3'→5')-2'-O,4'-C-[(1S)-éthane-1,1-diyl]-P-thioadénlyl-(3'→5')-2'-O,4'-C-[(1S)-éthane-1,1-diyl]-5-méthyl-P-thiouridyllyl-(3'→5')-2'-désoxy-P-thioadénlyl-(3'→5')-2'-désoxy-P-thioadénlyl-(3'→5')-P-thiothymidylyl-(3'→5')-2'-désoxy-5-méthyl-P-thiocytidylyl-(3'→5')-P-thiocytidylyl-(3'→5')-2'-désoxy-P-thioadénlyl-(3'→5')-P-thiothymidylyl-(3'→5')-2'-désoxy-P-thioguananyllyl-(3'→5')-P-thiothymidylyl-(3'→5')-2'-O,4'-C-[(1S)-éthane-1,1-diyl]-5-méthyl-P-thiocytidylyl-(3'→5')-2'-O,4'-C-[(1S)-éthane-1,1-diyl]-P-thioadénlyl-(3'→5')-2'-O,4'-C-[(1S)-éthane-1,1-diyl]guanosine

bezeparsén

todo-P-ambo-5'-O-(28-[(2-acetamido-2-desoxi-β-D-galactopiranosil)oxi]-16,16-bis{[3-({6-[(2-acetamido-2-desoxi-β-D-galactopiranosil)oxi]hexil}amino)-3-oxopropoxi]metil}-1-hidroxi-1,10,14,21-tetraoxo-2,18-dioxa-9,15,22-triaza-1λ⁵-fosfaactacosan-1-il}-2'-O,4'-C-[(1S)-etano-1,1-diil]-P-tioadenilil-(3'→5')-2'-O,4'-C-[(1S)-etano-1,1-diil]-P-tioadenilil-(3'→5')-2'-O,4'-C-[(1S)-etano-1,1-diil]-5-metil-P-tiouridillil-(3'→5')-2'-desoxi-P-tioadenilil-(3'→5')-2'-desoxi-P-tioadenilil-(3'→5')-P-tiotimidillil-(3'→5')-2'-desoxi-5-metil-P-tiocitidillil-(3'→5')-P-tiotimidillil-(3'→5')-2'-desoxi-5-metil-P-tiocitidillil-(3'→5')-2'-desoxi-P-tioadenilil-(3'→5')-P-tiotimidillil-(3'→5')-2'-O,4'-C-[(1S)-etano-1,1-diil]-5-metil-P-tiocitidillil-(3'→5')-2'-O,4'-C-[(1S)-etano-1,1-diil]-P-tioadenilil-(3'→5')-2'-O,4'-C-[(1S)-etano-1,1-diil]guanosine



(3'-5') R1-A=A=U=d (A=A=T=C=T=C=A=T=G=T=) C=A=G

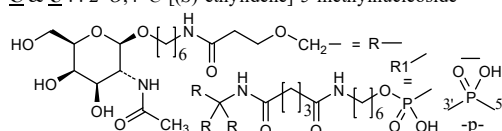
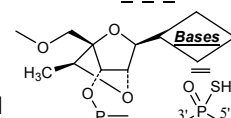
Legend:

A , G & T : deoxynucleoside

C : 2'-deoxy-5-methylcytidine

A & G : 2'-O,4'-C-[*(S*-ethylidene]nucleoside

C & U : 2'-O,4'-C-[*(S*-ethylidene]-5-methylnucleoside



bizaxofuspum #

bizaxofusp

L-methionyl-human interleukin 4 (IL4) C-terminal fragment (38-129, 2-93 in the current sequence) variant ($N^{38}>D^2$), fused via the peptide linker ${}^{94}\text{GGNGG}^{98}$ to human interleukin 4 (IL4) N-terminal fragment (1-37, 99-135 in the current sequence) fused via the peptide linker ${}^{136}\text{ASGG}^{139}$ to *Pseudomonas aeruginosa* exotoxin A fragment (251-613, 140-485 in the current sequence) engineered variant (${}^{364}\text{SADVVSLLTCPVAAGECA}^{380}>\text{N}^{253}, \text{I}^{407}>\text{V}^{280}, \text{G}^{515}>\text{S}^{388}, {}^{609}\text{REDLK}^{613}>{}^{482}\text{KDEL}^{485}$), non-glycosylated, produced in *Escherichia coli*; fusion protein of a circularly permuted human interleukin 4 and an engineered construct of fused *Pseudomonas aeruginosa* exotoxin A fragments: L-methionyl (1)-[$N^{38}>D^2$]-human interleukin 4 (IL4) C-terminal (38-129)-fragment (2-93) fused via a GGNGG linker (94-98) with the human interleukin 4 (IL4) N-terminal (1-37)-fragment (99-135) and via an ASGG linker (136-139) with the [${}^{364}\text{SADVVSLLTCPVAAGECA}^{380}>\text{N}^{253}, \text{I}^{407}>\text{V}^{280}, \text{G}^{515}>\text{S}^{388}, {}^{609}\text{REDLK}^{613}>{}^{482}\text{KDEL}^{485}$]-251-613)-fragment of exotoxin A (*Pseudomonas aeruginosa*) (140-485), non-glycosylated, produced in *Escherichia coli*

bizaxofusp

variant ($N^{38}>D^2$) du fragment C-terminal de l'interleukine 4 (IL4) humaine L-méthionyl (38-129, 2-93 dans la séquence actuelle), fusionné via la liaison peptidique ${}^{94}\text{GGNGG}^{98}$ au fragment N-terminal de l'interleukine 4 (IL4) humaine (1-37, 99-135 dans la séquence actuelle) fusionné via la liaison peptidique ${}^{136}\text{ASGG}^{139}$ au fragment de l'exotoxine A de *Pseudomonas aeruginosa* (251-613, 140-485 dans la séquence actuelle), variant modifié (${}^{364}\text{SADVVSLLTCPVAAGECA}^{380}>\text{N}^{253}, \text{I}^{407}>\text{V}^{280}, \text{G}^{515}>\text{S}^{388}, {}^{609}\text{REDLK}^{613}>{}^{482}\text{KDEL}^{485}$), non glycosylé, produit chez *Escherichia coli*; protéine de fusion d'une interleukine 4 humaine à permutation circulaire et d'une construction modifiée de fragments d'exotoxine A de *Pseudomonas aeruginosa* fusionnés: L-méthionyl (1)-fragment C-terminal (38-129) de la [$N^{38}>D^2$]-interleukine 4 (IL4) humaine (2-93) fusionné via le peptide liant GGNGG (94-98) avec le fragment N-terminal (1-37) de l'interleukine 4 (IL4) humaine (99-135) et via le peptide liant ASGG (136-139) avec le [${}^{364}\text{SADVVSLLTCPVAAGECA}^{380}>\text{N}^{253}, \text{I}^{407}>\text{V}^{280}, \text{G}^{515}>\text{S}^{388}, {}^{609}\text{REDLK}^{613}>{}^{482}\text{KDEL}^{485}$]-fragment 251-613 d'exotoxine A (*Pseudomonas aeruginosa*) (140-485), non glycosylé, produit chez *Escherichia coli*

bizaxofusp

L-metionil-humana interleukina 4 (IL4) fragmento C-terminal (38-129, 2-93 en la secuencia actual) variante ($N^{38}>D^2$), fusionada a través del enlace peptídico ${}^{94}\text{GGNGG}^{98}$ a la interleukina 4 humana (IL4) fragmento N-terminal (1-37, 99-135 en la secuencia actual) fusionado a través del enlace peptídico ${}^{136}\text{ASGG}^{139}$ al fragmento de exotoxina A de *Pseudomonas aeruginosa* (251-613, 140-485 en la secuencia actual) variante diseñada (${}^{364}\text{SADVVSLLTCPVAAGECA}^{380}>\text{N}^{253}, \text{I}^{407}>\text{V}^{280}, \text{G}^{515}>\text{S}^{388}, {}^{609}\text{REDLK}^{613}>{}^{482}\text{KDEL}^{485}$), no glicosilada, producida por *Escherichia coli*; proteína de fusión de una interleukina 4 humana permutada circularmente y una construcción diseñada de fragmentos fusionados de exotoxina A de *Pseudomonas aeruginosa*: L-metionil (1)-fragmento C-terminal (38-129) de la [$N^{38}>D^2$]-interleukina 4 (IL4) humana (2-93) fusionado mediante el enlace peptídico GGNGG (94-98) con el fragmento N-terminal (1-37) de la interleukina 4 (IL4) humana (99-135) y mediante el enlace peptídico ASGG (136-139) con el [${}^{364}\text{SADVVSLLTCPVAAGECA}^{380}>\text{N}^{253}, \text{I}^{407}>\text{V}^{280}, \text{G}^{515}>\text{S}^{388}, {}^{609}\text{REDLK}^{613}>{}^{482}\text{KDEL}^{485}$]-fragmento 251-613 de exotoxina A (*Pseudomonas aeruginosa*) (140-485), no glicosilado, producido por *Escherichia coli*

Sequence / Séquence / Secuencia

MD TTEKETFC RAATVLRQFY SHHEKDTRCL GATAQQFHRH KQLIRFLKRL	50
DRNLWGLAGL NSCPVKEANQ STLENFLERL KTIMREKYSK CSS GGNGGG H	100
CDITLQEIIK TLNSLTEQKT LCTELTVTDI FAASK ASGGP EGGSLAALTA	150
HQACHLPLET FTRHRQPRGW EQLEQCGYFP QRQLVALYLAR RLSWNQDVQ	200
IRNALASPGS GGDGEAIRE QPEQARLAIT LAAEESERFV RQGTGNDDEAG	250
AANGPADSGD ALLERNYPTG AEFELGDGGD V SFSTRGTQNW TVERLLQAHR	300
QLEERGYFVF GYHGTGLEAA QSIVFGGVRA RSQDLDIAW E GFYIAQDPMAL	350
AYGYAQDQEP DARGRIRNGA LLRVYYVRSS LPGFYRTSLT LAAPEAAGEV	400
ERLIGHPLPL RLDAITGPEE EGGRLETFW WPLAERTVVVI PSAIPTDPRN	450
VGGDLDPSSI PDKEQAISAL FDYASQPQGPK P KDEL	485

Peptide linkers / Peptides liants / Péptidos de unión
GGNGG 94-98, **ASGG** 136-139

Mutation / Mutation / Mutación
N-4-methionyl added (**M^t**), N³⁸>**D²**
253**SADVVVSLLTCPVAAGECA**²⁶⁹>**N⁵³**, I²⁸⁰>**V**, G³⁸⁸>**S**, REDLK⁴⁸²⁻⁴⁸⁶>**KDEL**⁴⁸²⁻⁴⁸⁵

Post-translational modifications

Disulfide bridges location / Position des ponts disulfure / Posiciones de los puentes disulfuro

Intra-IL4 10-63, 29-122, 91-101

Intra-toxin 154-176

N-glycosylation sites / Sites de N-glycosylation / Posiciones de N-glicosilación

none / aucun / ninguna

bofutrelvirum

bofutrelvir

N-((*S*)-3-cyclohexyl-1-oxo-1-(((*S*)-1-oxo-3-((*S*)-2-oxopyrrolidin-3-yl)-propan-2-yl)amino)propan-2-yl)-1*H*-indole-2-carboxamide

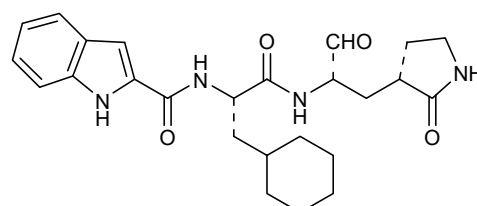
bofutrelvir

N-((*S*)-3-cyclohexyl-1-oxo-1-(((*S*)-1-oxo-3-((*S*)-2-oxopyrrolidin-3-yl)-propan-2-yl)amino)propan-2-yl)-1*H*-indole-2-carboxamide

bofutrelvir

N-((*S*)-3-ciclohexil-1-oxo-1-(((*S*)-1-oxo-3-((*S*)-2-oxopirrolidin-3-yl)-propan-2-yl)amino)propan-2-yl)-1*H*-indol-2-carboxamida

C₂₅H₃₂N₄O₄



boserolimabum

boserolimab

immunoglobulin G1-kappa, anti-[*Homo sapiens* CD27 (TNFRSF7, tumor necrosis factor receptor (TNFR) superfamily member 7)], monoclonal antibody; gamma1 heavy chain (1-446) [VH (*Homo sapiens* IGHV1-2*02 (79.6%) -IGHD) -IGHJ6*01 (100%), CDR-IMGT [8.8.9] (26-33.51-58.97-105)) (1-116) -*Homo sapiens* IGHG1*01, G1m17,1 (CH1 K120 (213) (117-214), hinge 1-15 (215-229), CH2 (230-339), CH3 D12 (355), L14 (357) (340-444), CHS (445-446)) (117-446)], (219-213')-disulfide with kappa light chain (1'-213') [V-KAPPA Musnus/Homsap (*Mus musculus* IGKV4-59*01 (80.9%) -IGKJ4*01 (91.7%) S120>Q (104)/*Homo sapiens* IGKV3-11*01 (80.0%) -IGKJ2*02 (100%), CDR-IMGT [5.3.9] (27-31.49-51.88-96)) (1'-106') -*Homo sapiens* IGKC*01 (100%), Km3 A45.1 (152), V101 (190) (107-213')]; dimer (225-225":228-228")-bisdisulfide, produced in Chinese hamster ovary (CHO) cells, derived from the cell line CHO-K1, glycoform alfa

bosérolimab

immunoglobuline G1-kappa, anti-[*Homo sapiens* CD27 (TNFRSF7, membre 7 de la superfamille des récepteurs du facteur de nécrose tumorale)], anticorps monoclonal; chaîne lourde gamma1 (1-446) [VH (*Homo sapiens*IGHV1-2*02 (79.6%) -(IGHD)-IGHJ6*01 (100%), CDR-IMGT [8.8.9] (26-33.51-58.97-105)) (1-116) -*Homo sapiens*IGHG1*01, G1m17.1 (CH1 K120 (213) (117-214), charnière 1-15 (215-229), CH2 (230-339), CH3 D12 (355), L14 (357) (340-444), CHS (445-446)) (117-446)], (219-213')-disulfure avec la chaîne légère kappa (1'-213') [V-KAPPA Musmus/Homsap (*Mus musculus* IGKV4-59*01 (80.9%) -IGKJ4*01 (91.7%) S120>Q (104)/*Homo sapiens* IGKV3-11*01 (80.0%) -IGKJ2*02 (100%), CDR-IMGT [5.3.9] (27-31.49-51.88-96)) (1'-106') -*Homo sapiens* IGKC*01 (100%), Km3 A45.1 (152), V101 (190) (107'-213')]; dimère (225-225":228-228")-bisdisulfure, produit dans des cellules ovariennes de hamster chinois (CHO), dérivant de la lignée cellulaire CHO-K1, glycoforme alfa

boserolimab

inmunoglobulina G1-kappa, anti-[*Homo sapiens* CD27 (TNFRSF7, miembro 7 de la superfamilia de los receptores del factor de necrosis tumoral)], anticuerpo monoclonal; cadena pesada gamma1 (1-446) [VH (*Homo sapiens*IGHV1-2*02 (79.6%) -(IGHD)-IGHJ6*01 (100%), CDR-IMGT [8.8.9] (26-33.51-58.97-105)) (1-116) -*Homo sapiens*IGHG1*01, G1m17.1 (CH1 K120 (213) (117-214), bisagra 1-15 (215-229), CH2 (230-339), CH3 D12 (355), L14 (357) (340-444), CHS (445-446)) (117-446)], (219-213')-disulfuro con la cadena ligera kappa (1'-213') [V-KAPPA Musmus/Homsap (*Mus musculus* IGKV4-59*01 (80.9%) -IGKJ4*01 (91.7%) S120>Q (104)/*Homo sapiens* IGKV3-11*01 (80.0%) -IGKJ2*02 (100%), CDR-IMGT [5.3.9] (27-31.49-51.88-96)) (1'-106') -*Homo sapiens* IGKC*01 (100%), Km3 A45.1 (152), V101 (190) (107'-213')]; dímero (225-225":228-228")-bisdisulfuro, producido en las células ováricas de hámster chino (CHO), derivada de la línea celular CHO-K1, forma glicosilada alfa

Heavy chain / Chaîne lourde / Cadena pesada
 EIQLVQSGAE VKKPGASVVKV SCKASGYTFT NYGMNNWVKQA PGQGLKWMGW 50
 INTNTGEPTY AEEFKGRFTF TLDTISIAY MELSSLRSED TAVYYCAREG 100
 DAMDYWGQQT TVTVSSASTK GPSVFFPLAPS SKSTSGGTTAA LGCLVKDYFP 150
 EPVTVWSNSG ALTSGVHFTP AVLQSSGGLYS LSSVVTVPFSS SLGTOTYICH 200
 VNHKPSNTKV DKKVEPKSCD KTHTCPPCPA PELLGGPSVF LFPPKPKDTL 250
 MISRTPEVTC VVVDVSHEDP EVKFVNWWYDVA VEVHNAKTKP REEQYNSTYR 300
 VVSVLTVLHQ DWLNKGKEYKCV KVSNKALPAP IEGTISKAKG QPRERPVVTL 350
 PPSRDELTKN QVSLTCLVKKG FYPSDIAVEV ESNQGPENNY KTPPPVLDSD 400
 GSFFLYSKLT VDKSRWQQGN VFSCSVMHEA LHNHYTQKSL SLSPGK 446

Light chain / Chaîne légère / Cadena ligera
 EIVLTQSPAT LSLSPGERAT LSCSASSSVS YMHWYQQKPG QAPKRWIYDT 50
 SKLASGVPAR FGSSGSGTDY SLITISSLEPE DFAVYYCQW NSYPFTFGQG 100
 TKLEIKRTVA APSPVIFPPS DEQLKSGTAS VVCLLNNFYP REAKVQWKVD 150
 NALQSGNSQE SVTEQDSKDS TYSSLSTLTL SKADYEKHKV YACEVTHQGL 200
 SSPVTKSFRN GEC 213

Post-translational modifications

Disulfide bridges location / Posición de los puentes disulfuro / Posiciones de los puentes disulfuro

Intra-H (C23-C104) 22-96 143-199 260-320 366-424

22"-96" 143"-199" 260"-320" 366"-424"

Intra-L (C23-C104) 23"-87" 133"-193"

23"-87" 133"-193"

Inter-H-L (h 5-CL 126) 219-213" 219"-213"

Inter-H-H (h 11, h 14) 225-225" 228-228"

N-glycosylation sites / Sites de N-glycosylation / Posiciones de N-glicosilación
 H CH2 N84.4: 296, 296"
 Fucosylated complex bi-antennary CHO-type glycans / glycanes de type CHO bi-antennaires complexes fucosylés / glicanos de tipo CHO biantenarios complejos fucosilados.

C-terminal lysine clipping / Coupe de la lysine C-terminale / Recorte de lisina C-terminal
 H CHS K2: 446, 446"

bremzalerbartum #

bremzalerbart

immunoglobulin G4-kappa, anti-[Bet v 1 (*Betula alleghaniensis* (yellow birch) pollen allergen 1)], *Homo sapiens* monoclonal antibody; gamma4 heavy chain *Homo sapiens* (1-443) [VH (*Homo sapiens*IGHV4-59*01 (88.5%) -(IGHD) - IGHJ6*01 (94.4%), CDR-IMGT [8.7.10] (26-33.51-57.96-105)) (1-116)-*Homo sapiens*IGHG4*01, G4v5 h P10, nG4m(a) CH2 L92 (CH1 (117-214), hinge 1-12 S10>P (224) (215-226), CH2 L92 (305) (227-336), CH3 (337-441), CHS (442-443)) (117-443)], (130-214')-disulfide with kappa light chain *Homo sapiens* (1'-214') [V-KAPPA (*Homo sapiens*IGKV3-11*01 (90.5%) -IGKJ3*01 (100%), CDR-IMGT [6.3.9] (27-32.50-52.89-97)) (1'-107') -*Homo sapiens*IGKC*01 (100%), Km3 A45.1 (153), V101 (191) (108'-214')]; dimer (222-222":225-225")-bisdisulfide, produced in Chinese hamster ovary (CHO) cells, glycoform alfa

bremzalerbart

immunoglobuline G4-kappa, anti-[Bet v 1 (allergène 1 du pollen de *Betula alleghaniensis* (bouleau jaune)], anticorps monoclonal *Homo sapiens*; chaîne lourde gamma4 *Homo sapiens* (1-443) [VH (*Homo sapiens*IGHV4-59*01 (88.5%) -(IGHD) - IGHJ6*01 (94.4%), CDR-IMGT [8.7.10] (26-33.51-57.96-105)) (1-116)-*Homo sapiens*IGHG4*01, G4v5 h P10, nG4m(a) CH2 L92 (CH1 (117-214), charnière 1-12 S10>P (224) (215-226), CH2 L92 (305) (227-336), CH3 (337-441), CHS (442-443)) (117-443)], (130-214')-disulfure avec la chaîne légère kappa *Homo sapiens* (1'-214') [V-KAPPA (*Homo sapiens*IGKV3-11*01 (90.5%) -IGKJ3*01 (100%), CDR-IMGT [6.3.9] (27-32.50-52.89-97)) (1'-107') -*Homo sapiens*IGKC*01 (100%), Km3 A45.1 (153), V101 (191) (108'-214')]; dimère (222-222":225-225")-bisdisulfure, produit dans des cellules ovaries de hamster chinois (CHO), glycoforme alfa

bremzalerbart

inmunoglobulina G4-kappa, anti-[Bet v 1 (alérgeno 1 del polen de *Betula alleghaniensis* (abedul amarillo)], anticuerpo monoclonal *Homo sapiens*; cadena pesada gamma4 *Homo sapiens* (1-443) [VH (*Homo sapiens*IGHV4-59*01 (88.5%) -(IGHD) - IGHJ6*01 (94.4%), CDR-IMGT [8.7.10] (26-33.51-57.96-105)) (1-116)-*Homo sapiens*IGHG4*01, G4v5 h P10, nG4m(a) CH2 L92 (CH1 (117-214), bisagra 1-12 S10>P (224) (215-226), CH2 L92 (305) (227-336), CH3 (337-441), CHS (442-443)) (117-443)], (130-214')-disulfuro con la cadena ligera kappa *Homo sapiens* (1'-214') [V-KAPPA (*Homo sapiens*IGKV3-11*01 (90.5%) -IGKJ3*01 (100%), CDR-IMGT [6.3.9] (27-32.50-52.89-97)) (1'-107') -*Homo sapiens*IGKC*01 (100%), Km3 A45.1 (153), V101 (191) (108'-214')]; dímero (222-222":225-225")-bisdisulfuro, producido en las células ováricas de hámster chino (CHO), forma glicosilada alfa

Heavy chain / Chaîne lourde / Cadena pesada
 QVQLQESPGV LVPKSETLSL TCSVGGGSIT NYFWTIWIRQS PGKGLEWIGY 50
 IYYSGGNTYNM PSLKSRVTIS IDTSKNQFSL NMNSVTAADT AVYVCAEGYY 100
 YGVDVWGGGT TVTVSSASTK GPSPVFPLAC SRSTSEATAA LGCLVKRDYFP 150
 EPVTVSNWSG ALTSGVHTFP AVLQQSFLGLYS LSSVVTVPSS SLGCKTYTCN 200
 VDHKPSNTKV DKRVESKYGP PWPCCPAPEF LGGPSVFLPF PKPKDTLMIS 250
 RTPEVTCVVF DVSQEDPEVQ FNWYVVGVEV HNAKTKPREE QFNSTYRVVS 300
 VLTVLHQDWL NGKEYKCKVS NKGLPSSIEEN TISAKAKQPR EPQVYTLPLS 350
 QEEMTKNQVS LTCLVKGFYYP SDIAVEWESL QOPENNYKTT PPVILDSDFSF 400
 FLYSLRTVDE SRWQEGNVFS CSVMHEALHN HTQKSLSSLs LG 443

Light chain / Chaîne légère / Cadena ligera
 EIVLQTSPAT LSLSPERAT LSCRASQSIK SFLAWYRQKP GQAPRLLIYD 50
 ASNRPPTGIPKA RFSGSGSGTD FTILTINSLS EDFAVYFCQG RNNWPFPTFGP 100
 GTKVDIKRTV AAPSVFIFPP SDEQLKSGTA SVVCLLNFFY PREAKVQNVK 150
 DNALQSGNSQ ESVTEQDQSKD STYSLSSSTL LSKADYEKHK VYACEVTHQG 200
 LSSPVTKSFN RGEC 214

Post-translational modifications

Disulfide bridges location / Positions des ponts disulfure / Posiciones de los puentes disulfuro

Intra-H (C23-C104) 22.-95° 143.-199° 257.-317° 363.-421°
22°.-95° 143°.-199° 257°.-317° 363°.-421°Intra-L (C23-C104) 23.-88° 134°.-194°
23°.-88° 134°.-194°Inter-H-L (CH1 10-CL 126) 130.-214° 130°.-214°
222.-222° 225.-225°

N-terminal glutaminyl cyclization / Cyclisation du glutaminyle N-terminal / Ciclación del

glutamínico N-terminal

Q > pyroglutamyl (pE, 5-oxoprolyl) / pyroglutamyle (pE, 5-oxoprolyle) / piroglutamilo
(pE, 5-oxoprolilo)

H VH Q1: 1, 1"

N-glycosylation sites / Sites de N-glycosylation / Posiciones de N-glicosilación

H CH2 N84:4; 293, 293"

Fucosylated complex bi-antennary CHO-type glycans / glycanes de tipo CHO bi-antennarios complejos fucosilados.

C-terminal lysine clipping / Coupe de la lysine C-terminale / Recorte de lisina C-terminal

H CHS K2: 443, 443"

brogidirsenum

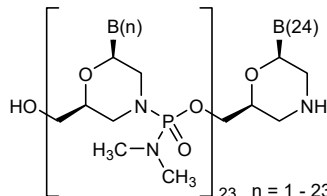
brogidirsen

all-P-ambo-[2',3'-azanediyl-P,2',3'-trideoxy-P-(dimethylamino)-2',3'-seco](2'-N→5')(T-T-G-T-G-T-C-T-T-C-T-C-T-G-T-T-A-G-C-C-A-C)

brogidirsen

tout-P-ambo-[2',3'-azanediyl-P,2',3'-tridesoxy-P-(diméthylamino)-2',3'-séco](2'-N→5')(T-T-G-T-G-T-C-T-T-C-T-C-T-G-T-T-A-G-C-C-A-C)

brogidirsén

todo-P-ambo-[2',3'-azanodiil-P,2',3'-tridesoxi-P-(dimetilamino)-2',3'-seco](2'-N→5')(T-T-G-T-G-T-C-T-T-C-T-C-T-G-T-T-A-G-C-C-A-C)

B(1-24) : T-T-G-T-G-T-C-T-T-C-T-T-C-T-G-T-T-A-G-C-C-A-C

buloxibutidum

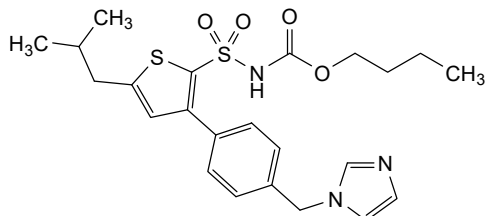
buloxibutid

butyl [3-{4-[(1*H*-imidazol-1-yl)methyl]phenyl}-5-(2-methylpropyl)thiophene-2-sulfonyl]carbamate

buloxibutid

[3-{4-[(1*H*-imidazol-1-yl)méthyl]phényl}-5-(2-méthylpropyl)thiophène-2-sulfonyl]carbamate de butyle

buloxibutid

[3-{4-[(1*H*-imidazol-1-il)metil]fenil}-5-(2-metilpropil)tofeno-2-sulfonil]carbamato de butilo**buntanetapum**

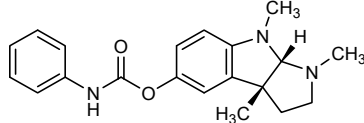
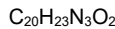
buntanetap

(3a*R*,8a*S*)-1,3a,8-trimethyl-1,2,3,3a,8,8a-hexahdropirrolo[2,3-*b*]indol-5-yl phenylcarbamate

buntanetap

phénylcarbamate de (3a*R*,8a*S*)-1,3a,8-triméthyl-1,2,3,3a,8,8a-hexahdropirrolo[2,3-*b*]indol-5-ylo

buntanetap

fenilcarbamato de (3a*R*,8a*S*)-1,3a,8-trimétil-1,2,3,3a,8,8a-hexahidropirrolo[2,3-*b*]indol-5-ilo**cadisegliatinum**

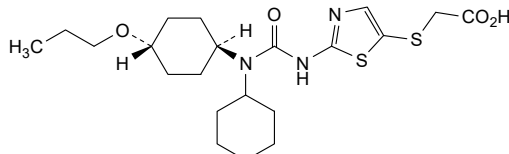
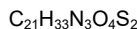
cadisegliatin

[(2-{{[cyclohexyl(*trans*-4-propoxycyclohexyl)carbamoyl]amino}-1,3-thiazol-5-yl}sulfanyl]acetic acid

cadiségliatine

acide [(2-{{[cyclohexyl(*trans*-4-propoxycyclohexyl)carbamoyl]amino}-1,3-thiazol-5-yl}sulfanyl)acétique

cadisegliatina

ácido [(2-{{[ciclohexil(*trans*-4-propoxiciclohexil)carbamoil]amino}-1,3-tiazol-5-yl}sulfanil)acético**calpurbatugum #**

calpurbatug

immunoglobulin G1-kappa, anti-[bacteria proteins HU (histone-like protein, nucleoid-associated protein, HLP) and IHF (integration host factor) conserved epitopes], *Homo sapiens* antibody;

	gamma1 heavy chain <i>Homo sapiens</i> (1-451) [VH (<i>Homo sapiens</i> IGHV4-4*08 (79.4%) -(IGHD) - IGHJ3*01 (90.9%), CDR-IMGT [8.7.13] (28-35.53-59.98-110)) (1-121)- <i>Homo sapiens</i> IGHG1*01,G1m17,1 (CH1 K120 (218) (122-219), hinge 1-15 (220-234), CH2 (235-344), CH3 D12 (360), L14 (362) (345-449), CHS (450-451)) (122-451)], (224-215')-disulfide with kappa light chain <i>Homo sapiens</i> (1'-215') [V-KAPPA (<i>Homo sapiens</i> IGKV3-20*01 (78.1%) -IGKJ2*01 (83.3%), CDR-IMGT [7.3.9] (27-33.51-53.90-98)) (1'-108') - <i>Homo sapiens</i> IGKC*01 (100%), Km3, A45.1 (154), V101 (192) (109'-215')]; dimer (230-230":233-233")-bisdisulfide, produced in Chinese hamster ovary (CHO) cells, glycoform alpha
calpurbatug	immunoglobuline G1-kappa, anti-[épitopes conservés des protéins bactériennes HU (protéine histone-like, protéine nucléoïde-like, HLP) et IHF (facteur d'intégration de l'hôte)], <i>Homo sapiens</i> antibody; chaîne lourde gamma1 <i>Homo sapiens</i> (1-451) [VH (<i>Homo sapiens</i> IGHV4-4*08 (79.4%) -(IGHD) - IGHJ3*01 (90.9%), CDR-IMGT [8.7.13] (28-35.53-59.98-110)) (1-121) - <i>Homo sapiens</i> IGHG1*01, G1m17,1 (CH1 K120 (218) (122-219), charnière 1-15 (220-234), CH2 (235-344), CH3 D12 (360), L14 (362) (345-449), CHS (450-451)) (122-451)], (224-215')-disulfure avec la chaîne légère kappa <i>Homo sapiens</i> (1'-215') [V-KAPPA (<i>Homo sapiens</i> IGKV3-20*01 (78.1%) -IGKJ2*01 (83.3%), CDR-IMGT [7.3.9] (27-33.51-53.90-98)) (1'-108') - <i>Homo sapiens</i> IGKC*01 (100%), Km3, A45.1 (154), V101 (192) (109'-215')]; dimère (230-230":233-233")-bisdisulfure, produit dans des cellules ovaries de hamster chinois (CHO), glycoforme alfa
calpurbatug	inmunoglobulina G1-kappa, anti-[epítopos conservados de proteínas bacterianas HU (proteína tipo histona, proteína tipo nucleoide, HLP) y IHF (factor de integración del hospedador)], <i>Homo sapiens</i> anticuerpo; cadena pesada gamma1 <i>Homo sapiens</i> (1-451) [VH (<i>Homo sapiens</i> IGHV4-4*08 (79.4%) -(IGHD) - IGHJ3*01 (90.9%), CDR-IMGT [8.7.13] (28-35.53-59.98-110)) (1-121) - <i>Homo sapiens</i> IGHG1*01, G1m17,1 (CH1 K120 (218) (122-219), bisagra 1-15 (220-234), CH2 (235-344), CH3 D12 (360), L14 (362) (345-449), CHS (450-451)) (122-451)], (224-215')-disulfuro con la cadena ligera kappa <i>Homo sapiens</i> (1'-215') [V-KAPPA (<i>Homo sapiens</i> IGKV3-20*01 (78.1%) -IGKJ2*01 (83.3%), CDR-IMGT [7.3.9] (27-33.51-53.90-98)) (1'-108') - <i>Homo sapiens</i> IGKC*01 (100%), Km3, A45.1 (154), V101 (192) (109'-215')]; dímero (230-230":233-233")-bisdisulfuro, producido en las células ováricas de hámster chino (CHO), forma glicosilada alfa

Heavy chain / Chaîne lourde / Cadena pesada
 QSQVQLVESG PGLVKPSETL SLTCRVSGLS NRPSYWSWIR QAPGKAMEWI 50
 GYYVDGVTI YNPSLKGRTV ISLDTSKTRF SLKLTSVIAA DTAVYYCARE 100
 RFDRTSYKSV WQGQTQTVS SASTKGPSVF PLAPSSKSTS GTAAALGCLV 150
 KDYFPEPVTV SWNSGALTSG VHTFPAVLQS SGLYSLSSV TVPSSSLGTQ 200
 TYICVNHHK VSNTKVDKKVE PKSCDKTHTC PPCPAPELILQ GPSVFLFPK 250
 PKDTLMISRT PEVTCVVVDV SHEDPEVKEN WYVDGVEVHN AKTKPREEQY 300
 NSTYRVSVL TVLHQDWLNG KEYKCKVSNN ALPAPIEKTI SKARGOPREP 350
 QVVTLPSPSRV ELTNKNQVSLT CLVKGFYPSD IAVEWESNGQ PENNYKTPP 400
 VLDSDGSSFEL YSKLTVDKSR WQQGNVFSCS VMHEALHNHY TQKSLSLSPG 450
 K

Light chain / Chaîne légère / Cadena ligera
 DIVLTQAPGT LSLSPGDRAT LSCRASQRLG GTSLAWYQHRS SGQAPRLLILY 50
 GTSNRATDTP DRFGSGSSGT DFVLTISLLE PEDFAVYCYQ QYGSPPYTFG 100
 QGTTLDIKRT VAAPSVIFIP PSDEQLKSGT ASVVCILNNF YPREAKVQWK 150
 VDNALQSGNS QSEVTEQDSK DSTYSLSSTL TLSKADIEKH KVYACEVTHQ 200
 GLSSPVTKSE NRGEQ 215

Post-translational modifications

Disulfide bridges location / Position des ponts disulfure / Posiciones de los puentes disulfuro
 Intra-H (C23-C104) 24°-97° 148-204° 265-325° 371-429°

24°-97° 148°-204° 265°-325° 371°-429°

Intra-L (C23-C104) 23°-89° 135°-195°

23°-89° 135°-195°

Inter-H-L (h 5-CL 126) 224-215° 224°-215°

Inter-H-H (h 11, h 14) 230-230° 233-233°

N-terminal glutaminyl cyclization / Cyclisation du glutaminyle N-terminal / Ciclación del glutamínico N-terminal

Q > pyroglutamyl (pE, 5-oxoprolyl) / pyroglutamyle (pE, 5-oxoprolile) / piroglutamilo (pE, 5-oxoprolilo)

H VH Q1: 1, 1"

N-glycosylation sites / Sites de N-glycosylation / Posiciones de N-glicosilación

H CH2 N84:4: 301, 301"

Fucosylated complex bi-antennary CHO-type glycans / glycanes de tipo CHO bi-antennaires complexes fucosylés / glicanos de tipo CHO biantenarios complejos fucosilados

C-terminal lysine clipping / Coupe de la lysine C-terminale / Recorte de lisina C-terminal
 H CHS K2: 451, 451"

camlipixantum

camlipixant

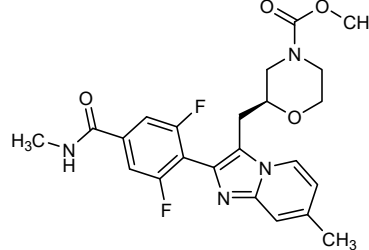
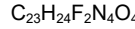
methyl (2S)-2-((2-[2,6-difluoro-4-(methylcarbamoyl)phenyl]-7-methylimidazo[1,2-a]pyridin-3-yl)methyl)morpholine-4-carboxylate

camlipixant

(2S)-2-((2-[2,6-difluoro-4-(methylcarbamoyl)phényl]-7-méthylimidazo[1,2-a]pyridin-3-yl)méthyl)morpholine-4-carboxylate de méthyle

camlipixant

(2S)-2-((2-[2,6-difluoro-4-(methylcarbamoyl)fenil]-7-metilimidazo[1,2-a]piridin-3-il)metil)morfolina-4-carboxilato de metilo



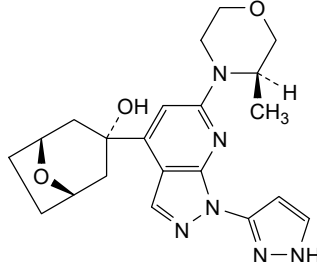
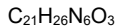
camonsertibum

camonsertib

(1*R*,3*r*,5*S*)-3-{6-[(3*R*)-3-methylmorpholin-4-yl]-1-(1*H*-pyrazol-3-yl)-1*H*-pyrazolo[3,4-*b*]pyridin-4-yl}-8-oxabicyclo[3.2.1]octan-3-ol

camonsertib
 $(1R,3r,5S)$ -3-{6-[$(3R)$ -3-méthylmorpholin-4-yl]-1-(1*H*-pyrazol-3-yl)-1*H*-pyrazolo[3,4-*b*]pyridin-4-yl}-8-oxabicyclo[3.2.1]octan-3-ol

camonsertib
 $(1R,3r,5S)$ -3-{6-[$(3R)$ -3-metilmorfolin-4-il]-1-(1*H*-pirazol-3-il)-1*H*-pirazolo[3,4-*b*]piridin-4-il}-8-oxabicielo[3.2.1]octan-3-ol

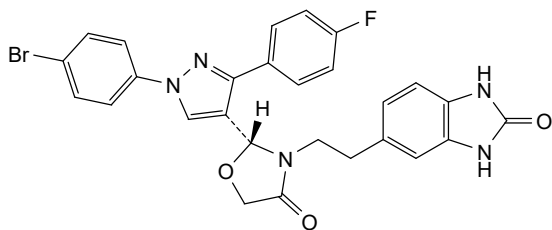


canocapavirum

canocapavir
 5 -($(2R)$ -2-[1-(4-bromophenyl)-3-(4-fluorophenyl)-1*H*-pyrazol-4-yl]-4-oxo-1,3-oxazolidin-3-yl)ethyl)-1,3-dihydro-2*H*-benzimidazol-2-one

canocapavir
 5 -($(2R)$ -2-[1-(4-bromophényle)-3-(4-fluorophényle)-1*H*-pyrazol-4-yl]-4-oxo-1,3-oxazolidin-3-il)éthyl)-1,3-dihydro-2*H*-benzimidazol-2-one

canocapavir
 5 -($(2R)$ -2-[1-(4-bromofenil)-3-(4-fluorofenil)-1*H*-pirazol-4-il]-4-oxo-1,3-oxazolidin-3-il)etyl)-1,3-dihidro-2*H*-benzimidazol-2-ona



carcovateinum

carcovatein
 severe acute respiratory syndrome coronavirus 2 (SARS-CoV-2) Spike (S) glycoprotein (S glycoprotein, UniProt P0DTC2), stable prefusion conformation variant ($R^{669}>G$, $R^{670}>S$, $R^{672}>S$, $K^{973}>P$, $V^{974}>P$), C-terminal transmembrane domain (1196-1260) deleted and replaced with the $^{1196}GSGYIPEAPRDGQAYVRKDGEWVLLSTFLGRSLEVLFQ$ peptide containing the enterobacteria phage T4 fibrin C-terminal foldon domain fragment $^{458}GYIPEAPRDGQAYVRKDGEWVLLSTFL$ ⁴⁸⁴, followed by the remnant of a human rhinovirus (HRV) 3C protease cleavage sequence ($^{1228}LEVLFQ^{1233}$), trimer, produced in Chinese hamster ovary (CHO) cells, cell line CHO-S, glycoform alfa

carcovatéine glycoprotéine du spicule (S) du coronavirus 2 du syndrome respiratoire aigu sévère (SRAS-CoV-2) (glycoprotéine S, UniProt P0DT2), variant de conformation de préfusion stable ($R^{669}>G$, $R^{670}>S$, $R^{672}>S$, $K^{973}>P$, $V^{974}>P$), domaine transmembranaire C-terminal (1196-1260) supprimé et remplacé par le peptide
 $^{1196}\text{GSGYIPEAPRDGQAYVRKDGEVLLSTFLGRSLEVLFQ}^{1233}$
contenant le fragment $^{458}\text{GYIPEAPRDGQAYVRKDGEVLLSTFL}^{484}$ du domaine foldon C-terminal de la fibrine du phage T4 des entérobactéries, suivi du reste d'une séquence de clivage par la protéase d'un rhinovirus humain (HRV) 3C ($^{1228}\text{LEVLFQ}^{1233}$), trimère, produit dans des cellules ovarianes de hamster chinois (CHO), lignée cellulaire CHO-S, glicoforme alfa

carcovateína glicoproteína de la espícula (S) del síndrome respiratorio severo agudo del coronavirus 2 (SARS-CoV-2) (glicoproteína S, UniProt P0DT2), variante de conformación estable de perfusión ($R^{669}>G$, $R^{670}>S$, $R^{672}>S$, $K^{973}>P$, $V^{974}>P$), dominio transmembrana C-terminal (1196-1260) eliminado y reemplazado con el péptido
 $^{1196}\text{GSGYIPEAPRDGQAYVRKDGEVLLSTFLGRSLEVLFQ}^{1233}$ que contiene el fragmento del dominio foldon C-terminal de la fibrina del fago T4 de las enterobacterias, seguido del resto de una secuencia de escisión de la proteasa de uno rinovirus humano (HRV) 3C ($^{1228}\text{LEVLFQ}^{1233}$), trímero, producido en células ováricas de hámster Chino (CHO), línea celular CHO-S, glicoforma alfa

Monomer / Monomère / Monomeric
QCVNLTTTQT LPPAYTNSFT RGVYPDPDKVF RSSVLHSTQD LFLLFFSVNT 50
WFHAIHVSGT NGTKRFDNPV LPFNDGVYFA STEKSNNIIRG WIFGTTLDSK 100
TQSLLVNNNA TNVVIKVCCEF QFCNDPFLVG YYHKNNNSKSWA ESEFRVYSSA 150
NNCTFEVYSQ PFLMLEGKQ GNFKNLREFV FKNIDGYPKV YSKHTPINLV 200
RDLPQGFSAL EPLVLVPIGI NITRFTQLLA LHSYLTTPGD SSSGWTAGAA 250
AYIVGYLQPR TFLLYKNENQ TTDAVDCAAL DPLSETKCTL KSFTVERGYI 300
QTSNFRVPQT ESIVRFPNIT NLCPGEVEFN ATRFASVYAR NKRKRSNCVA 350
DYSVLYNSAS FSTFKCYGVFS PTKLNDLCLFT NVYADSFVIR GDEVRQIAPG 400
QTGKIADYNNS KLPDDFTGCV IAWNSNNLDS KVGGNNYNYL RLFRKSNLKP 450
FERDISTEYI QAGSTPCNGV EGFCNYCFLQ SYGFQPTNGV QYQPYRVVVV 500
SFELLHPAT VCGPKPKSTNI VKNKCVNPNF NGLTGTGVLT ESNKKFLPFQ 550
QFGRDIADTT DAVRPQPTLE ILDITPCPSG GFSVITPGTH TSNQAVAVLYQ 600
DVNCTEPVPA IHADQLPTW RVYSTSNSVNF QTRAGCLIGA EHVNNSYECD 650
IPIGAGICAS YQTQTNNSP GS ASVASQNSII AYTMSLGAEN SVAYSNNNSIA 700
IPTNTFTSVT TEILEVFSMTE TSVDCTMYC GDSTECNSNL QLYGSFCTQL 750
NRALTJIAVE QDKNTQEVFA QVKQYIKTPP IKDFGGFFNFS QILDPPSKPS 800
KRSFIEDLLF NKVTIADAFG IKQYGDCLGD IAARDLICAQ KFNGLTVLPP 850
LLTDEMAIQY TSALLAGGIT SGWTFGAGAA LQIPFAMQMA YRFNGIGVQT 900
NVLYENQKLI ANQFNSAIGE IQDSLSSTAS ALGKLQDGVN QNAQALNTLV 950
KQLSNFNGAI SSVLNDLSSR LDPEPEAEVQI DRLITGRLQS LQTVXTQQLI 1000
RAAEIRASAN LAATKMSCTV LGQSKRVDIF GKYGHLMSPF QSAPHGVVFL 1050
HVTYVPAQEK NFPTTAPQICH DGKAHFREG VFVSNGTHWF VJQRNFYEQP 1100
IITTDTNTFVGS GNCDVVGIVG NNTVYDPLQP ELDSSKEELD KYFKNHNTSPD 1150
VDLGDISGIN ASVNIQUEI DRINVEAKNL NESLIDLQEL GKYEQGSGYI 1200
PEAPRDGQAY VRKDGEVLL STFLGRSLEV LFQ 1233

Mutation / Mutation / Mutación
 $R^{669}>\text{G}$, $R^{670}>\Delta$, $R^{672}>\underline{S}$, $K^{973}>\underline{P}$, $V^{974}>\underline{P}$

Peptide linker / Peptide liant / Péptido de unión
GS 1196-1197 GRS 1225-1227

Foldon domain / Foldon domaine / Foldon dominio
GYIPEAPRDG QAYVRKDGEV VLLSTFL 1198-1224

Post-translational modifications

Disulfide bridges location / Position des ponts disulfure / Posiciones de los puentes disulfuro
Intra-chain: 2-123, 118-153, 278-288, 323-348, 366-419, 378-512, 467-475, 525-577,
604-636, 649-658, 725-747, 730-736, 827-838, 1019-1030, 1069-1113

N-glycosylation sites / Sites de N-glycosylation / Posiciones de N-glicosilación
N4, N48, N61, N109, N136, N152, N221, N269, N318, N330, N590, N603, N644, N696,
N704, N788, N1061, N1085, N1121, N1145, N1160, N1181

N-terminal glutaminyl cyclization / Cyclisation du glutaminyl N-terminal / Ciclación del glutamínico N-terminal
Q1 > pyroglutamyl (pE, 5-oxopropyl)

casdozokitug #

casdozokitug

immunoglobulin G1-kappa, anti-[IL27 (interleukin 27, IL27p28, IL27A)], *Homo sapiens* monoclonal antibody; gamma1 heavy chain *Homo sapiens* (1-456) [VH (*Homo sapiens*IGHV3-21*01 (95.9%) -(IGHD) - IGHJ5*02 (100%), CDR-IMGT [8.8.19] (26-33.51-58.97-115)) (1-126)-*Homo sapiens*IGHG1*01, G1m17,1 (CH1 K120 (223) (127-224), hinge 1-15 (225-239), CH2 (240-349), CH3 D12 (365), L14 (367) (350-454), CHS (455-456)) (127-456)], (229-220')-disulfide with kappa light chain *Homo sapiens* (1'-220') [V-KAPPA (*Homo sapiens*IGKV4-1*01 (96%) - IGKJ4*01 (100%), CDR-IMGT [12.3.9] (27-38.56-58.95-103)) (1'-113') -*Homo sapiens*IGKC*01 (100%), Km3 A45.1 (159), V101 (197) (114'-220')]; dimer (235-235":238-238")-bisdisulfide, produced in Chinese hamster ovary (CHO) cells, cell line CHO-K1, glycoform alfa

casdozokitug

immunoglobuline G1-kappa, anti-[IL27 (interleukine 27, IL27p28, IL27A)], anticorps monoclonal *Homo sapiens*; chaîne lourde gamma1 *Homo sapiens* (1-456) [VH (*Homo sapiens*IGHV3-21*01 (95.9%) -(IGHD) - IGHJ5*02 (100%), CDR-IMGT [8.8.19] (26-33.51-58.97-115)) (1-126)-*Homo sapiens*IGHG1*01, G1m17,1 (CH1 K120 (223) (127-224), charnière 1-15 (225-239), CH2 (240-349), CH3 D12 (365), L14 (367) (350-454), CHS (455-456)) (127-456)], (229-220')-disulfure avec la chaîne légère kappa *Homo sapiens* (1'-220') [V-KAPPA (*Homo sapiens*IGKV4-1*01 (96%) -IGKJ4*01 (100%), CDR-IMGT [12.3.9] (27-38.56-58.95-103)) (1'-113') -*Homo sapiens*IGKC*01 (100%), Km3 A45.1 (159), V101 (197) (114'-220')]; dimère (235-235":238-238")-bisdisulfure, produit dans des cellules ovariennes de hamster chinois (CHO), lignée cellulaire CHO-K1, glycoforme alfa

casdozokitug

inmunoglobulina G1-kappa, anti-[IL27 (interleukina 27, IL27p28, IL27A)], anticuerpo monoclonal *Homo sapiens*; cadena pesada gamma1 *Homo sapiens* (1-456) [VH (*Homo sapiens*IGHV3-21*01 (95.9%) -(IGHD) - IGHJ5*02 (100%), CDR-IMGT [8.8.19] (26-33.51-58.97-115)) (1-126)-*Homo sapiens*IGHG1*01, G1m17,1(CH1 K120 (223) (127-224), bisagra 1-15 (225-239), CH2 (240-349), CH3 D12 (365), L14 (367) (350-454), CHS (455-456)) (127-456)], (229-220')-disulfuro con la cadena ligera kappa *Homo sapiens* (1'-220') [V-KAPPA (*Homo sapiens*IGKV4-1*01 (96%) -IGKJ4*01 (100%), CDR-IMGT [12.3.9] (27-38.56-58.95-103)) (1'-113') -*Homo sapiens*IGKC*01 (100%), Km3 A45.1 (159), V101 (197) (114'-220')]; dímero (235-235":238-238")-bisdisulfuro, producido en las células ováricas de hámster chino (CHO), línea celular CHO-K1, forma glicosilada alfa

Heavy chain / Chaîne lourde / Cadena pesada

```

EVQLVESGG LVKPGGLRL SCAASGFTFR SYGMNNWRQA PGKGLEWVSG 50
ISSSGSYIYY ADSVKGRFTI SRDNARKNSLY LQMNSLRAED TAVYVCARDG 100
GRTSYTATAAP NWDFPWQQT LVTVSSASTK GPSVPFLAPS SKSTSGTTAA 150
LGCLVKDVFV EPVTWSWNNG ALTSGVHTFP AVLQSSGLYS LSVVTVPPS 200
SLGTQTYICH VNHKPSNTKV DDKVEPKSCD KTHTCPPCPA PELLGGPSVF 250
LFPPKPKDTL MISRTPEVTC VVVDVSHEDP EVKFNWVYDQ VEVHNAKTRP 300
REEQYNSTYK VVSILTVLHQ DWLNKEKEYR KVSNKALAP EIKETISKARG 350
QPREPVQVTLI PPSRDELTKN QVSLTCLVKA FYPSDIAVEH ESNQCPENNY 400
KTPPPVLDSD GSFLYSLKT VDKSRWQGN VFSCSVMHEA LHNHYTQKSL 450
SLSPGK

```

Light chain / Chaîne légère / Cadena ligera

```

DIVMTQSPDS LAVSLGERAT INCKSSQSVL FSSNNKNYLA WYQQKPGQPP 50
KLLIYWASTR ESGVPDRESG SGSGTDFLTQ ISSLQAEVDA VVYCQGHASA 100
PPTFFGGTKV EIKRTVAAPs VFIFPPSDEQ LKSGTAGSVC LLNNFYPREA 150
KVQWKVDNAL QSGNSQESVT EQDSKDDSTY LSSTLTLASKA DYEKHKVYAC 200
EVTHQLSSP VTKEFNRGEC 220

```

Post-translational modifications

Disulfide bridges location / Position des ponts disulfure / Posiciones de los puentes disulfuro

Intra-H (C23-C104) 22-96 153-209 270-330 376-434

22°-96° 153°-209° 270°-330° 376°-434°

Intra-L (C23-C104) 23-94° 140-200°

23°-94° 140°-200°

Inter-H-L (h 5-CL 126) 229-220° 229°-220°

Inter-H-H (h 11, h 14) 235-235° 238-238°

N-glycosylation sites / Sites de N-glycosylation / Posiciones de N-glicosilación

H CH₂ N84:4: 306, 306°

Fucosylated complex bi-antennary CHO-type glycans / glycanes de tipo CHO bi-antennaires complexes fucosylés / glicanos de tipo CHO biantenarios complejos fucosilados.

C-terminal lysine clipping / Coupure de la lysine C-terminale / Recorte de lisina C-terminal
H CHS K2: 456, 456°

cavutilidum

cavutilide

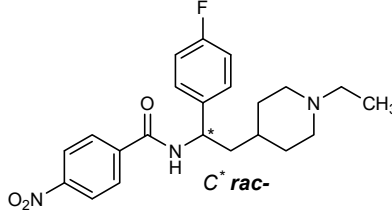
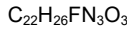
rac-N-[(1*R*)-2-(1-ethylpiperidin-4-yl)-1-(4-fluorophenyl)ethyl]-4-nitrobenzamide

cavutilide

rac-N-[(1*R*)-2-(1-éthylpipéridin-4-yl)-1-(4-fluorophényl)éthyl]-4-nitrobenzamide

cavutilida

rac-N-[(1*R*)-2-(1-etylpiriperidin-4-il)-1-(4-fluorofenil)etyl]-4-nitrobenzamida



cebsulfasum alfa

cebsulfase alfa

human cerebroside-sulfatase (cerebroside-3-sulfate 3-sulfohydrolase, arylsulfatase A, ARSA, ASA, EC:3.1.6.8), produced in Chinese hamster ovary (CHO) cells, cell line CHO-K1, glycoform alfa

cébsulfase alfa

cérabroside-sulfatase humaine (cérabroside-3-sulfate 3-sulfohydrolase, arylsulfatase A, ARSA, ASA, EC:3.1.6.8), produite dans des cellules ovariennes de hamster chinois (CHO), lignée cellulaire CHO-K1, glycoforme alfa

cebsulfasa alfa

cerebrósido-sulfatasa humana (cerebrósido-3-sulfato 3-sulfohidrolasa, arilsulfatasa A, ARSA, ASA, EC: 3.1.6.8), producido en las células ováricas de hamster Chino (CHO), línea celular CHO-K1, glicoforma alfa

Sequence / Séquence / Secuencia

```

RPPNIVLIFA DDLGYGDLGC YGHPSSTTPN LDQLAAGGLR FTDYVPVSL 50
XTPSRAALLT GRLPVRMGMY PGVLVSSRG GLPLEEVTVVA EVAARGYLT 100
GMAGKWHLGV GPEGAFLLPPH QGFHFRFLGP YSHDQGPCQN LTCFPATPC 150
DGGCDQGLVP IPLLNLNSVE AQPWLPLGE ARYMAFAHDL MADAQRDRP 200
FFLYYASHHTY HYPQFSQSF AERSGRGFGD DLSMELDAAV GTLMTAIGDL 250
GILLETLVIF TADNGPETMR MSRGGCGSLR RCKGKTTYEG GVREPALAFW 300
PGHIAPGVTH ELASSLDLLP TLALAGAPL PNVTLDGFDL SPILLGTGKS 350
PRQSLFFYPS YFDEVRGVFA VRTGKYKAHF FTQGSAHSDT TADPACHASS 400
SITAHEPPLI YDLSKDFGEN YNLLGGVAGA TPEVLQALRK LQLKAQQLDA 450
AVTEFGPSQVA RGEDPALQCIC CHPGCTPRPA CCHCPDPHA 489

```

Post-translational modifications

Disulfide bridges location / Position des ponts disulfure / Posiciones de los puentes disulfuro
 138-154, 143-150, 282-396, 470-482, 471-484, 475-481
 Cys-SH: C20, C276

N-glycosylation sites / Sites de N-glycosylation / Posiciones de N-glicosilación
 N140, N332: high mannose glycans with terminal mannose 6-phosphate (M6P)
 N166: complex hybrid sialylated glycans

Other modified site / Autre site modifié / Otro sitio modificado
 X⁵¹: Cys51modified to 3-oxo-Ala ("formylglycine", Fgl) (>70%)

cenzileucelum

cenzileucel

human culture-expanded activated autologous T lymphocytes for cell-based immunotherapy. The cells are mechanically and enzymatically isolated from resected tumour biopsy of patients with metastatic melanoma and cultured in media containing recombinant interleukin 2 (IL-2) and foetal bovine serum (FBS). The cells are activated using an anti-CD3 antibody and irradiated allogeneic peripheral-blood mononuclear cells (PBMCs) in media supplemented with human AB donor derived serum and IL-2. The T lymphocytes (>80%) are a heterogeneous mixture of CD4+ and CD8+ tumour-infiltrating lymphocytes (TIL) predominantly with effector memory and central memory cell subsets. The T lymphocytes demonstrate the ability to kill and impede tumour growth in a co-culture based cytotoxicity assay.

cenzileucel

lymphocytes T autologues humains, activés et amplifiés pour l'immunothérapie cellulaire. Les cellules sont isolées mécaniquement et enzymatiquement à partir de biopsies de tumeurs réséquées de patients atteints de mélanome métastatique et cultivées dans un milieu contenant de l'interleukine 2 recombinante (IL-2) et du sérum bovin fœtal (FBS). Les cellules sont activées à l'aide d'anticorps anti-CD3 et de cellules mononucléaires de sang périphérique (PBMC) allogéniques irradiées dans un milieu complémenté avec du sérum humain dérivé de donneurs AB et de l'IL-2. Les lymphocytes T (>80%) sont un mélange hétérogène de lymphocytes CD4+ et CD8+ infiltrant les tumeurs (TIL), avec principalement des sous-populations de cellules à mémoire effectrice et centrale. Les lymphocytes T démontrent leur capacité à tuer et à entraver la croissance tumorale dans un test de cytotoxicité en co-culture.

cenzileucel

linfocitos T autólogos humanos, activados y expandidos en cultivo para inmunoterapia basada en células. Las células se aislan mecánica y enzimáticamente a partir de biopsias de tumor

resecado de pacientes con melanoma metastásico y se cultivan en medio que contiene interleuquina 2 (IL-2) recombinante y suero bovino foetal (FBS). Las células se activan usando un anticuerpo anti-CD3 y células mononucleares de sangre periférica (PBMCs) alogénicas irradiadas en medio suplementado con suero humano AB de donantes e IL-2. Los linfocitos T (>80%) son una mezcla heterogénea de linfocitos infiltrantes del tumor (TIL) CD4+ y CD8+ predominantemente con subtipos de células de memoria efectoras y de memoria central. Los linfocitos T demuestran su capacidad para matar e impedir el crecimiento del tumor en un ensayo de citotoxicidad basado en un co-cultivo.

certepetidum

certepetide

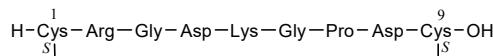
$S^1, S^9\text{-cyclo}(N\text{-acetyl-L-cysteinyl-L-arginylglycyl-L-}\alpha\text{-aspartyl-L-lysylglycyl-L-prolyl-L-}\alpha\text{-aspartyl-L-cysteinamide})$

certépéptide

$S^1, S^9\text{-cyclo}(N\text{-acetyl-L-cystéinyl-L-arginylglycyl-L-}\alpha\text{-aspartyl-L-lysylglycyl-L-prolyl-L-}\alpha\text{-aspartyl-L-cystéinamide})$

certepetida

$S^1, S^9\text{-ciclo}(N\text{-acetil-L-cisteinil-L-arginilglicil-L-}\alpha\text{-aspartil-L-lisilglicil-L-prolil-L-}\alpha\text{-aspartil-L-cisteinamida})$



ciduvectamig #

ciduvectamig

immunoglobulin G4-kappa/lambda2, anti-[*Homo sapiens* TMEFF2 (transmembrane protein with EGF like and two follistatin like domains 2, cancer/testis antigen family 120 member 2, CT120.2, tomoréguline)] and anti-[*Homo sapiens* CD3E (CD3e, CD3 epsilon)], monoclonal antibody, bispecific; gamma4 heavy chain anti-TMEFF2 (1-445) [VH anti-TMEFF2 (*Homo sapiens* IGHV3-23*01 (94.9%) - (IGHD) -IGHJ4*01 (100%), CDR-IMGT [8.8.11] (26-33.51-58.97-107)) (1-118)-*Homo sapiens* IGHG4*01, G4v5 h P10, G4v4 CH2 A1.3, A1.2, nG4m(a) CH2 L92 (CH1 (119-216), hinge 1-12 S10>P (226) (217-228), CH2 F1.3>A (232), L1.2>A (233), L92 (307) (229-338), CH3 (339-443), CHS (444-445)) (119-445)], (132-214')-disulfide with kappa light chain anti-TMEFF2 (1'-214') [V-KAPPA anti-TMEFF2 (*Homo sapiens* IGKV1-6*01 (100%) -IGKJ4*01 (100%), CDR-IMGT [6.3.9] (27-32.51-53.89-97)) (1'-117') -*Homo sapiens* IGKC*01 (100%), Km3 A45.1 (153), V101 (191) (108'-214')];

	gamma4 heavy chain anti-CD3E (1"-447") [VH anti-CD3E (<i>Homo sapiens</i> IGHV6-1*01 (88.1%) -(IGHD) -IGHJ4*01 (100%), CDR-IMGT [10.9.10] (26-35.53-61.100-109)) (1"-120")- <i>Homo sapiens</i> IGHG4*01, G4v5 h P10, G4v4 CH2 A1.3, A1.2, nG4m(a) CH2 L92 (CH1 (121"-218"), hinge 1-12 S10>P (228) (219"-230"), CH2 F1.3>A (234), L1.2>A (235), L92 (309) (231"-340"), CH3 F85.1>L (405), R88>K (409) (341"-445"), CHS (446"-447")) (121"-447")], (134"-215")-disulfide with lambda2 light chain anti-CD3E (1""-216") [V-LAMBDA anti-CD3E (<i>Homo sapiens</i> IGLV2-23*02 (84.8%) -IGLJ2*01 (90.9%), CDR-IMGT [9.3.10] (26-34.52-54.91-100)) (1"-110") - <i>Homo sapiens</i> IGLC2*01 (100%) (111"-216")]; dimer (224-226":227-229")-bisdisulfide, produced in Chinese hamster ovary (CHO) cells, glycoform alfa
ciduvectamig	immunoglobuline G4-kappa/lambda2, anti-[<i>Homo sapiens</i> TMEFF2 (protéine transmembranaire avec domaine de type EGF et deux domaines de type follistatine 2, membre 2 de la famille 120 des antigènes cancer/ testicule, CT120.2, tomoréguline)] et anti-[<i>Homo sapiens</i> CD3E (CD3e, CD3 epsilon)], anticorps monoclonal, bispécifique; chaîne lourde gamma4 anti-TMEFF2 (1-445) [VH anti-TMEFF2 (<i>Homo sapiens</i> IGHV3-23*01 (94.9%) -(IGHD) -IGHJ4*01 (100%), CDR-IMGT [8.8.11] (26-33.51-58.97-107)) (1-118)- <i>Homo sapiens</i> IGHG4*01, G4v5 h P10, G4v4 CH2 A1.3, A1.2 (CH1 (119-216), charnière 1-12 S10>P (226) (217-228), CH2 F1.3>A (232), L1.2>A (233) (229-338), CH3 (339-443), CHS (444-445)) (119-445)], (132-214')-disulfure avec la chaîne légère kappa anti-TMEFF2 (1'-214') [V-KAPPA anti- TMEFF2 (<i>Homo sapiens</i> IGKV1-6*01 (100%) -IGKJ4*01 (100%), CDR-IMGT [6.3.9] (27-32.51-53.89-97)) (1'-117') - <i>Homo sapiens</i> IGKC*01 (100%), Km3 A45.1 (153), V101 (191) (108'-214')]; chaîne lourde gamma4 anti-CD3E (1"-447") [VH anti-CD3E (<i>Homo sapiens</i> IGHV6-1*01 (88.1%) -(IGHD) -IGHJ4*01 (100%), CDR-IMGT [10.9.10] (26-35.53-61.100-109)) (1"-120")- <i>Homo sapiens</i> IGHG4*01, G4v5 h P10, G4v4 CH2 A1.3, A1.2 (CH1 (121"-218"), charnière 1-12 S10>P (228) (219"-230"), CH2 F1.3>A (234), L1.2>A (235) (231"-340"), CH3 F85.1>L (405), R88>K (409) (341"-445"), CHS (446"-447")) (121"-447")], (134"-215")-disulfure avec la chaîne légère lambda2 anti-CD3E (1"-216") [V-LAMBDA anti-CD3E (<i>Homo sapiens</i> IGLV2-23*02 (84.8%) -IGLJ2*01 (90.9%), CDR-IMGT [9.3.10] (26-34.52-54.91-100)) (1"-110") - <i>Homo sapiens</i> IGLC2*01 (100%) (111"-216")]; dimère (224-226":227-229")-bisdisulfure, produit dans des cellules ovarianas de hamster chino (CHO), glycoforme alfa
ciduvectamig	inmunoglobulina G4-kappa/lambda2, anti-[<i>Homo sapiens</i> TMEFF2 (proteína transmembranaria con el dominio tipo EGF y dos dominios de tipo folistatina 2, miembro 2 de la familia 120 de los antígenos cáncer/ testículo, CT120.2, tomoregulina)] y anti-[<i>Homo sapiens</i> CD3E (CD3e, CD3 epsilon)], anticuerpo monoclonal, biespecífico; cadena pesada gamma4 anti-TMEFF2 (1-445) [VH anti-TMEFF2 (<i>Homo sapiens</i> IGHV3-23*01 (94.9%) -(IGHD) -IGHJ4*01 (100%), CDR-IMGT [8.8.11] (26-33.51-58.97-107)) (1-118)- <i>Homo sapiens</i> IGHG4*01, G4v5 h P10, G4v4 CH2 A1.3, A1.2 (CH1 (119-216), bisagra 1-12 S10>P (226) (217-228), CH2 F1.3>A (232), L1.2>A (233) (229-338), CH3 (339-443), CHS (444-445)) (119-445)], (132-214')-disulfuro con la cadena ligera kappa anti-TMEFF2(1'-214') [V-KAPPA anti- TMEFF2 (<i>Homo sapiens</i> IGKV1-6*01 (100%) -IGKJ4*01 (100%), CDR-IMGT [6.3.9] (27-32.51-53.89-97)) (1'-117') - <i>Homo sapiens</i> IGKC*01 (100%), Km3 A45.1 (153), V101 (191) (108'-214')];

cadena pesada gamma4 anti-CD3E (1"-447") [VH anti-CD3E (*Homo sapiens* IGHV6-1*01 (88.1%) -(IGHD) -IGHJ4*01 (100%), CDR-IMGT [10.9.10] (26-35.53-61.100-109)) (1"-120") -*Homo sapiens* IGHG4*01, G4v5 h P10, G4v4 CH2 A1.3, A1.2 (CH1 (121"-218"), bisagra 1-12 S10>P (228) (219"-230"), CH2 F1.3>A (234), L1.2>A (235) (231"-340"), CH3 F85.1>L (405), R88>K (409) (341"-445"), CHS (446"-447")) (121"-447")], (134"-215")-disulfuro con la cadena ligera lambda2 anti-CD3E (1"-216") [V-LAMBDA anti-CD3E (*Homo sapiens* IGLV2-23*02 (84.8%) -IGLJ2*01 (90.9%), CDR-IMGT [9.3.10] (26-34.52-54.91-100)) (1""-110") -*Homo sapiens* IGLC2*01 (100%) (111"-216"]); dímero (224-226":227-229")-bisdisulfuro, producido en las células ováricas de hámster chino (CHO), forma glicosilada alfa

Heavy chain / Chaîne lourde / Cadena pesada: anti-TMEFF2 (H)
 EVQLLESGGG LVQPGGSRLR SCAASGFTFS SYSMSWVRQA PGKGLEWVSV 50
 ISGGGGFVADSVKGRFTI SRDONSKNLYT LQMNSLRAED TAVYYCARMP 100
 LNSPHDYWQQ CTLTVTVSSAS TKKGPSVFLA PCSRSSTSEST AALGCLVKDY 150
 FPEPPTVTSWN SGALTSGVHT FPAVLQSSGL YSSLSSVVTVP SSSLGTTKTYT 200
 CNVDHKPSNT VKDVKRVEVKY GPPCPCCPAP EAAGGPPSVFL FPPPKPKDTLM 250
 ISRTPEVTCV VVDDVSQEDPE VQFNWYVDPGV EVHNAAKTPK EEQFNSTYRV 300
 VSVLTVLQWD WLNGKEYKCK VSNKGLPSSI EKTISKAKGQ PREPQVYTLT 350
 PSQEEMTKNQ VSLTCLVKGF YPSDIAVEWE SNGQPENNYK TTPFPVLDSDG 400
 SFFLYSRSLTV DKSRRWQEGNT FSCSVMHEAL HNHHTQKSLS LSLGK 445

Light chain / Chaîne légère / Cadena ligera: anti-TMEFF2 (L')
 DIQMTQSPSS LSASVGDRVT ITCRASQGIR NDLGWYQQKPG KAKPILLIYA 50
 ASSLGSGVPS RFSGSGSGSTD FTTLTISSLSR QFTLQLNSVT PDETALYCA 100
 GTKVEIKRTV AAPSVFVIFPP SDEQLKSGTA SVVCLLNFFV PREAKVQWKV 150
 DNALQSGNSQ ESVTEQDSKD STYSLSSLT LSKADYEHKK VYACEVTHQG 200
 LSSPVTKSFN RGEc 214

Heavy chain / Chaîne lourde / Cadena pesada: anti-CD3E (H")
 QVQLQQSGPQR LVRPSQTLSL TCAISGDSVF NNNAAWSWIR QSPSRGELWL 50
 GRTYYRSKWL YDYAVSVKSR ITVNPDTSRN QFTLQLNSVT PDETALYCA 100
 RGYSSSFVDYQ GQGTLTVSS ASTKGPSVFL LAPCSRSTSE STAAALGCLVK 150
 DYFPEPVTVS WNSGALTQSSV HTTFPAVLQSS GLYSLSSVVT VPSSSLGTTK 200
 YTCAVNDHKPS KTDVKRVEKS YKGPPCPCCP APEAAGGPPSV FLFPPPKDKT 250
 LMISRTPEVT CVVVDVQSED PEVQFNWYVVD GVEVHNAAKTPK PREEQFNSTY 300
 RVVSVLTVLH QDWLNGKEYK CKVSNKGLPS SIEKTISKAK GQPREPQVYT 350
 LPPSQEEMTK NQVSLLTCLVK GFYPSDIAVE WEWSNGQPFENN YKTPPPVLDs 400
 DGSSFLYSLK TVDKSRWQEGN NVFCSCVMHE ALHNHYTQKS LSLSLGK 447

Light chain / Chaîne légère / Cadena ligera: anti-CD3E (L")
 QSALTQPAVS SGSPGQSITI SCTGTSSNIG TYKFVSNYQQ HPDKAPKVLL 50
 YEVSFGSGVPSV SSRFGSGKSG NTASLTIISL QAEDQADYHC VSYAGSGTLL 100
 FGGGTKLTVL GQPKAAHSVLT LFPFSSSELQ ANKATLVCCLI SDFYPGAVTV 150
 AWKADSSFPVK AGVETTTFSK QSNNKYAASS YLSLTPEQWK SHRSYSCQVT 200
 HEGSTVEKTV APTECS 216

Post-translational modifications

Disulfide bridges location / Position des ponts disulfure / Posiciones de los puentes disulfuro

Intra-H (C23-C104) 22-96 145-201 259-319 365-423

22"-99" 147"-203" 261"-321" 367"-425"

Intra-L (C23-C104) 23-88 134"-194"

22"-90" 138"-197"

Inter-H-L (CH1 10-CL 126) 132-214" 134"-215"

Inter-H-H (h 8, h 11) 224-226" 227-229"

N-terminal glutaminyl cyclization / Cyclisation du glutaminyle N-terminal / Ciclación del glutamínico N-terminal

Q> pyroglutamyl (pE, 5-oxoprolyl) / pyroglutamyle (pE, 5-oxoprolyle) / piroglutamilo (pE, 5-oxoprolilo)

H VH Q1: 1"

L VL Q1: 1"

N-glycosylation sites / Sites de N-glycosylation / Posiciones de N-glicosilación
 H C12 N844: 295, 297"

Fucosylated complex bi-antennary CHO-type glycans / glycanes de type CHO bi-antennaires complexes fucosyles / glicanos de tipo CHO biantenarios complejos fucosilados.

C-terminal lysine clipping / Coupure de la lysine C-terminale / Recorte de lisina C-terminal
 H CHS K2: 445, 447"

cofrogliptinum

cofrogliptin

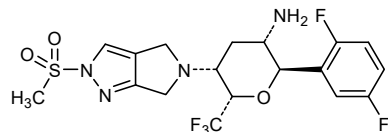
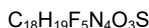
(2R,3S,5R,6S)-2-(2,5-difluorophenyl)-5-[2-(methanesulfonyl)-2,6-dihdropyrido[3,4-c]pyrazol-5(4H)-yl]-6-(trifluoromethyl)oxan-3-amine

cofrogliptine

(2R,3S,5R,6S)-2-(2,5-difluorophényle)-5-[2-(méthanesulfonyl)-2,6-dihdropyrido[3,4-c]pyrazol-5(4H)-yl]-6-(trifluorométhyl)oxan-3-amine

cofrogliptina

(2R,3S,5R,6S)-2-(2,5-difluorofenil)-5-[2-(metanosulfonil)-2,6-dihidropirrolo[3,4-c]pirazol-5(4H)-il]-6-(trifluorometil)oxan-3-amina

**cretostimogenum grenadenorepvecum #**

cretostimogene grenadenorepvec

recombinant conditionally replication-competent oncolytic adenovirus type 5 (Ad5) in which the endogenous E1A promoter has been replaced with the human E2F-1 promoter (also known as retinoblastoma-associated protein 1), with the E3 19 kDa glycoprotein (gp19kD)-coding region replaced with a human granulocyte-macrophage colony-stimulating factor (GM-CSF) cDNA sequence, and with a simian virus 40 (SV40) late polyadenylation signal inserted upstream of the E2F-1 promoter.

crétostimogène grenadénorepvec

adénovirus oncolytique de type 5 (Ad5) recombinant conditionnellement compétent à la réPLICATION dans lequel le promoteur E1A endogène a été remplacé par le promoteur E2F-1 humain (également connu sous le nom de protéine 1 associée au rétinoblastome), avec la région codant la glicoprotéine E3 de 19 kDa (gp19kD) est remplacée par une séquence d'ADNc du facteur humain de stimulation des colonies de granulocytes et de macrophages (GM-CSF), et un signal de polyadénylation tardif du virus simien 40 (SV40) inséré en amont du promoteur E2F-1.

cretostimogén grenadenorepvec

adenovirus tipo 5 (Ad5) recombinante oncolítico condicionalmente competente para replicación en el que el promotor endógeno E1A se ha reemplazado por el promotor E2F-1 humano (también conocido como proteína asociada a retinoblastoma 1), con la región que codifica para la glicoproteína de 19 kDa (gp18kD) E3 reemplazada por una secuencia de cDNA del factor estimulador de colonias de granulocitos-macrófagos (GM-CSF) humano, y con una secuencia de poliadenilación tardía del virus de simio 40 (SV40) insertada delante del promotor E2F-1.

crosigalcogenum omlixparvovecum #

crosigalcogene omlixparvovect

recombinant, non-replicating adeno-associated virus serotype hu68 (AAVhu68) vector encoding codon-optimised human galactosylceramidase (GALC), under control of a cytomegalovirus immediate early enhancer/chicken β-actin promoter (the CB7 promoter) plus a chimeric intron, consisting of a chicken β-actin splice donor and a rabbit β-globin splice acceptor, terminated with a rabbit β-globin polyadenylation signal, flanked by adeno-associated virus 2 (AAV2) inverted terminal repeats (ITRs).

crosigalcogène omlixparvovect

vecteur recombinant et non répliquant du virus adéno-associé de sérotype hu68 (AAVhu68) codant la galactosylcéramidase humaine (GALC) aux codons optimisés, sous le contrôle de l'amplificateur précoce immédiat du cytomégalovirus/et du promoteur de la β-actine de poulet (promoteur CB7) plus un intron chimérique consistant en un donneur d'épissage de la β-actine de poulet et un accepteur d'épissage de la β-globine de lapin, terminé par un signal de polyadénylation de la β-globine de lapin, flanqué de répétitions terminales inversées (ITR) du virus adéno-associé 2 (AAV2).

crosigalcogén omlixparvovect

vector de virus adenoasociado recombinante del serotipo hu68 (AAVhu68), no replicativo, que codifica, con codones optimizados, para la galactosilceramidasa humana (GALC), bajo el control de un potenciador inmediato temprano del citomegalovirus/promotor de la β-actina de pollo (el promotor CB7) más un intrón químérico que consta del sitio donante del procesamiento de la β-actina de pollo y el aceptor del procesamiento de la β-globina de conejo, terminado con una señal de poliadenilación de la β-globina de conejo, flanqueado por las repeticiones terminales invertidas (ITRs) del virus adenoasociado 2 (AAV2).

crozbaciclibum

crozbaciclib

5-fluoro-4-(7'-fluoro-2'-methylspiro[cyclopentane-1,3'-indol]-5'-yl)-N-[5-(1-methylpiperidin-4-yl)pyridin-2-yl]pyrimidin-2-amine

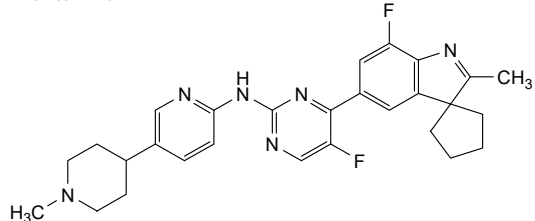
crozbaciclib

5-fluoro-4-(7'-fluoro-2'-méthylspiro[cyclopentane-1,3'-indol]-5'-yl)-N-[5-(1-méthylpipéridin-4-yl)pyridin-2-yl]pyrimidin-2-amine

crozbaciclib

5-fluoro-4-(7'-fluoro-2'-metilspiro[ciclopentano-1,3'-indol]-5'-il)-N-[5-(1-metilpiperidin-4-il)piridin-2-il]pirimidin-2-amina

$C_{28}H_{30}F_2N_6$

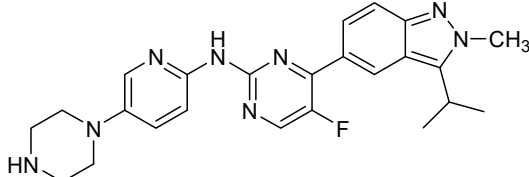
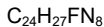


culmerciclibum

culmerciclib 5-fluoro-4-[2-methyl-3-(propan-2-yl)-2H-indazol-5-yl]-N-[5-(piperazin-1-yl)pyridin-2-yl]pyrimidin-2-amine

culmerciclib 5-fluoro-4-[2-méthyl-3-(propan-2-yl)-2H-indazol-5-yl]-N-[5-(pipérazin-1-yl)pyridin-2-yl]pyrimidin-2-amine

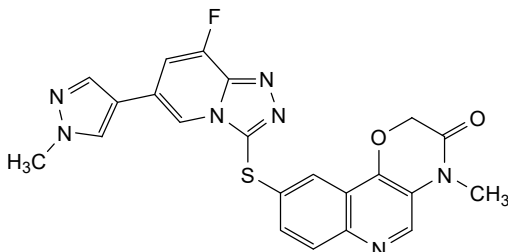
culmerciclib 5-fluoro-4-[2-metil-3-(propan-2-il)-2H-indazol-5-il]-N-[5-(piperazin-1-il)piridin-2-il]pirimidin-2-amina

**dalmelitinibum**

dalmelitinib 9-{{[8-fluoro-6-(1-methyl-1*H*-pyrazol-4-yl)[1,2,4]triazolo[4,3-*a*]pyridin-3-yl]sulfanyl}-4-methyl-2*H*-[1,4]oxazino[3,2-*c*]quinolin-3(4*H*)-one

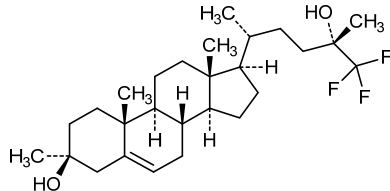
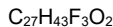
dalmélitinib 9-{{[8-fluoro-6-(1-méthyl-1*H*-pyrazol-4-yl)[1,2,4]triazolo[4,3-*a*]pyridin-3-yl]sulfanyl}-4-méthyl-2*H*-[1,4]oxazino[3,2-*c*]quinoléin-3(4*H*)-one

dalmelitinib 9-{{[8-fluoro-6-(1-metil-1*H*-pirazol-4-il)[1,2,4]triazolo[4,3-*a*]piridin-3-il]sulfanil}-4-metil-2*H*-[1,4]oxazino[3,2-*c*]quinolein-3(4*H*)-ona

**dalnicastobartum #**

dalnicastobart immunoglobulin G1-kappa, anti-[*Homo sapiens* CD40 (tumor necrosis factor receptor superfamily member 5, TNFRSF5, p50)], *Homo sapiens* monoclonal antibody; gamma1 heavy chain *Homo sapiens* (1-454) [VH (*Homo sapiens* IGHV1-2*02 (98.0%) -(IGHD) -IGHJ4*01 (100%), CDR-IMGT [8.8.19] (26-33.51-58.97-115)) (1-126) -*Homo sapiens*IGHG1*03v, G1m3>G1m17, nG1m1, G1v47CH2 G1.1.del (CH1 R120>K (223) (127-224), hinge 1-15 (225-239), CH2 G1.1>del (240-348), CH3 E12 (364), M14 (366) (349-453), CHS K2>del (454)) (127-454)], (229-214')-disulfide with kappa light chain *Homo sapiens* (1'-214') [V-KAPPA (*Homo sapiens* IGKV1-12*01 (94.7%) -IGKJ4*01 (100%), CDR-IMGT [6.3.9] (27-32.50-52.89-97)) (1'-107') -*Homo sapiens* IGKC*01 (100%), Km3, A45.1 (153), V101 (191) (108'-214')]; dimer (235-235":238-238")-bisdisulfide, produced in Chinese hamster ovary (CHO) cells, derived from cell line CHO-K1, lacking the glutamine synthetase (GS-KO) gene, glycoform alfa

dalnicastobart	immunoglobuline G1-kappa, anti-[<i>Homo sapiens</i> CD40 (membre 5 de la superfamille TNFRSF des récepteurs des facteurs de nécrose tumorale, TNFRSF5, p50)], anticorps monoclonal <i>Homo sapiens</i> ; chaîne lourde gamma1 <i>Homo sapiens</i> (1-454) [VH (<i>Homo sapiens</i> IGHV1-2*02 (98.0%) -(IGHD) -IGHJ4*01 (100%), CDR-IMGT [8.8.19] (26-33.51-58.97-115)) (1-126) - <i>Homo sapiens</i> IGHG1*03v, G1m3>G1m17, nG1m1, G1v47 CH2 G1.1del (CH1 R120>K (223) (127-224), charnière 1-15 (225-239), CH2 G1.1>del (240-348), CH3 E12 (364), M14 (366) (349-453), CHS K2>del (454)) (127-454)], (229-214')-disulfure avec la chaîne légère kappa <i>Homo sapiens</i> (1'-214') [V-KAPPA (<i>Homo sapiens</i> IGKV1-12*01 (94.7%) -IGKJ4*01 (100%), CDR-IMGT [6.3.9] (27-32.50-52.89-97)) (1'-107') - <i>Homo sapiens</i> IGKC*01(100%), Km3, A45.1 (153), V101 (191) (108'-214')]; dimère (235-235":238-238")-bisdisulfure, produit dans des cellules ovariennes de hamster chinois (CHO), dérivant de la lignée cellulaire CHO-K1, ne présentant pas le gène de la glutamine synthétase (GS-KO), glycoformé alfa
dalnicastobart	inmunoglobulina G1-kappa, anti-[<i>Homo sapiens</i> CD40 (miembro 5 de la superfamilia TNFRSF de los receptores de los factores de necrosis tumoral, TNFRSF5, p50)], anticuerpo monoclonal <i>Homo sapiens</i> ; cadena pesada gamma1 <i>Homo sapiens</i> (1-454) [VH (<i>Homo sapiens</i> IGHV1-2*02 (98.0%) -(IGHD) -IGHJ4*01 (100%), CDR-IMGT [8.8.19] (26-33.51-58.97-115)) (1-126) - <i>Homo sapiens</i> IGHG1*03v, G1m3>G1m17, nG1m1, G1v47 CH2 G1.1del (CH1 R120>K (223) (127-224), bisagra 1-15 (225-239), CH2 G1.1>del (240-348), CH3 E12 (364), M14 (366) (349-453), CHS K2>del (454)) (127-454)], (229-214')-disulfuro con la cadena ligera kappa <i>Homo sapiens</i> (1'-214') [V-KAPPA (<i>Homo sapiens</i> IGKV1-12*01 (94.7%) -IGKJ4*01 (100%), CDR-IMGT [6.3.9] (27-32.50-52.89-97)) (1'-107') - <i>Homo sapiens</i> IGKC*01(100%), Km3, A45.1 (153), V101 (191) (108'-214')]; dímero (235-235":238-238")-bisdisulfuro, producido en las células ováricas de hámster chino (CHO), línea celular derivada de CHO-K1, en ausencia del gen glutamina sintetasa (GS-KO), forma glicosilada alfa
Heavy chain / Chaîne lourde / Cadena pesada	
QVQLVQSGAE VKKPGASVKV SCKASCYPTF GYYMHWVRQA PGQQGLEWMGW 50 INPDGGTNY AQQFGQRVTM TRDTTSIATY MELNRLRSDD TAVVYCARDQ 100 PLGYCTNGVC SYFDYWQGQT LVTVSSASTK GPSVPFLAPS SKTSGGTTAA 150 LGLCLVKDYPF EPVTVSNWSG ALTSGVHTFP AVLQSSGGLYS LLSVSVTPSS 200 SLGTQTYICN VNHKPSNTKV DKKVEPKSCD KTHTCPPCPA FELLGPSVPL 250 FPFPKPDKTLM ISRTPETVTC VUDVSHEDPE VKFNWNVYDVG EVHNNAKTPR 300 EEQYQNSTYRV VSVLTVLHQD WLNGKEYKCK VSNSKALPAPI EKTISAKKGQ 350 PREPVQYTLT PSEREEMTKNQ VSILTCLVKGF YPSDIAWEWE SNGQPENNYK 400 TTPPVLDSDG SFFLYSLKLTV DKSRWQQGNV FSCSMHEAL NHNYTQKSL 450 LSPG 454	
Light chain / Chaîne légère / Cadena ligera	
DIQMTQSPSS VSASVGRVTT ITCCRASQGYI SWLAWYQQKPK GKAQNLLIYT 50 ASTLQSGVPS RFSGSGSGTD FTLTISSLQP EDFATYYCQQ ANIPPLTFGG 100 GTVKEIKRTV AAPSFVIFPPE SDEQLKSGTA SVVCLLNFFY PREAKVQWKV 150 DNALQSGNSQ ESVTREQDSKD STYSLSSLT LSKADYEKHK VYACEVTHQG 200 LSSPVTKFSN RGEc 214	
Post-translational modifications	
Disulfide bridges location / Position des ponts disulfure / Posiciones de los puentes disulfuro	
Intra-H (C23-C104) 22'-96" 153-209" 269-329" 375-433" 22"-96" 153"-209" 269"-329" 375"-433"	
Intra-L (C23-C104) 23"-88" 134"-194" 23"-88" 134"-194"	
Inter-H-L (h 5-CL 126) 229-214" 229"-214" Inter-H-H (h 11, h 14) 235-235" 238-238"	
N-terminal glutaminyl cyclization / Cyclisation du glutaminyle N-terminal / Ciclación del glutamínico N-terminal	
Q-> pyroglutamyl (pE, 5-oxopropyl) / pyroglutamyle (pE, 5-oxopropólico) / piroglutamilo (pE, 5-oxopropilo) H VH Q1: 1, 1"	
N-glycosylation sites / Sites de N-glycosylation / Posiciones de N-glicosilación	
H CH2 N84 4; 305, 305" Fucosylated complex bi-antennary CHO-type glycans / glycanes de type CHO bi-antennaires complexes fucosylés / glicanos de tipo CHO biantenarios complejos fucosilados.	

dalzanemdorumdalzanemdor (25S)-26,26,26-trifluoro-3 α -methyl-24-norcholest-5-ene-3 β ,25-dioldalzanemdor (25S)-26,26,26-trifluoro-3 α -méthyl-24-norcholest-5-ène-3 β ,25-dioldalzanemdor (25S)-26,26,26-trifluoro-3 α -metil-24-norcolest-5-eno-3 β ,25-diol**danburstotugum #**

danburstotug immunoglobulin G1-lambda, anti-[*Homo sapiens* CD274 (programmed cell death 1 ligand 1, PDL1, PD-L1, B7 homologue 1, B7H1)], *Homo sapiens* monoclonal antibody; gamma1 heavy chain *Homo sapiens* (1-451) [VH (*Homo sapiens*IGHV1-69*01 (96.9%) -(IGHD) -IGHJ4*01 (92.9%)) [8.8.14] (26-33.51-58.97-110) (1-121) -*Homo sapiens*IGHG1*01, G1m17,1 (CH1 K120 (218) (122-219), hinge 1-15 (220-234), CH2 (235-344), CH3 CH3 D12 (360), L14 (362) (345-449), CHS (450-451)) (122-451)], (224-213')-disulfide with lambda light chain *Homo sapiens* (1'-214') [V-LAMBDA (*Homo sapiens*IGLV3-21*01 (93.8%) -IGLJ2*01 (90.9%)) [6.3.11] (26-31.49-51.88-98) (1'-108') -*Homo sapiens*IGLC2*01 (100%) (109'-214')]; dimer (230-230":233-233")-bisdisulfide, produced in Chinese hamster ovary (CHO) cells, cell line CHO-K1, glycoform alfa

danburstotug immunoglobuline G1-lambda, anti-[*Homo sapiens* CD274 (ligand 1 de mort programmée, PDL1, PD-L1, homologue 1 de B7, B7H1)], anticorps monoclonal *Homo sapiens*; chaîne lourde gamma1 *Homo sapiens* (1-451) [VH (*Homo sapiens*IGHV1-69*01 (96.9%) -(IGHD) -IGHJ4*01 (92.9%)) [8.8.14] (26-33.51-58.97-110) (1-121) -*Homo sapiens*IGHG1*01, G1m17,1 (CH1 K120 (218) (122-219), charnière 1-15 (220-234), CH2 (235-344), CH3 D12 (360), L14 (362) (345-449), CHS (450-451)) (122-451)], (224-213')-disulfure avec la chaîne légère lambda *Homo sapiens* (1'-214') [V-LAMBDA (*Homo sapiens*IGLV3-21*01 (93.8%) -IGLJ2*01 (90.9%)) [6.3.11] (26-31.49-51.88-98) (1'-108') -*Homo sapiens*IGLC2*01 (100%) (109'-214')]; dimère (230-230":233-233")-bisdisulfure, produit dans des cellules ovaries de hamster chinois (CHO), lignée cellulaire CHO-K1, glicoforme alfa

danburstotug inmunoglobulina G1-lambda, anti-[*Homo sapiens* CD274 (ligando 1 de muerte programada, PDL1, PD-L1, homólogo 1 de B7, B7H1)], anticuerpo monoclonal *Homo sapiens*; cadena pesada gamma1 *Homo sapiens* (1-451) [VH (*Homo sapiens*IGHV1-69*01 (96.9%) -(IGHD) -IGHJ4*01 (92.9%)) [8.8.14] (26-33.51-58.97-110) (1-121) -*Homo sapiens*IGHG1*01, G1m17,1 (CH1 K120 (218) (122-219), bisagra 1-15 (220-234), CH2 (235-344), CH3 D12 (360), L14 (362) (345-449), CHS (450-451)) (122-451)], (224-213')-disulfuro con la cadena ligera lambda *Homo sapiens* (1'-214') [V-LAMBDA (*Homo sapiens*IGLV3-21*01 (93.8%) -IGLJ2*01 (90.9%)) [6.3.11] (26-31.49-51.88-98) (1'-108') -*Homo sapiens*IGLC2*01 (100%) (109'-214')]; dímero (230-230":233-233")-bisdisulfuro, producido en las células ováricas de hámster chino (CHO), línea celular CHO-K1, forma glicosilada alfa

Heavy chain / Chaîne lourde / Cadena pesada

QMLVQSGAE	VKKPGSSVKV	SCKASGCFPS	SYAYSWVRQAA	PQGCLEWMGG	50
IIPSGFTANY	AQKFGRVVTI	TADESTSTAY	MELSSLRSED	TAVYVARGCRP	100
IVATITPLDY	WGQCLVTVS	SASTKGPSVF	PLAPGSKSTS	GCTAALCCLV	150
KDVFPEPVTV	SWNSCALTSC	VHFFPNVQLS	SCLYSLSSVV	TVPSSLLCTQ	200
TYICVNHHKP	SNTKVDKVKE	PKSCDKTHTC	PPCPAPELLG	GPSVFLFPK	250
PKDTLMSRT	PEVTCVVVDV	SHDPEPVKFN	WVIVDGVEVHN	AKTKPREEQY	300
NSTYRVSVL	TVLHQDWLNG	KEYTKCVSNK	ALPAPIEKTII	SKAKGQPREP	350
QVTLPPSRD	ELTRNQVSLT	CLVKGFYPSD	IAVEWESNQ	PENNYKTTTP	400
VLDSDGSFL	YSKLTVDKSR	WQQGNVFSCS	VMHEALTHNHY	TQKSLSLSPG	450
					451

Light chain / Chaîne légère / Cadena ligera

SYVLQPPSV	SVAPGKTATI	ACCGENIGRK	TVHWYQQKPG	QAPVLVIYYD	50
SDRPSPIPER	FSGNSGNTA	TLTISRVEAG	DEADYYCLWV	DSSSDHRIFG	100
GGTKLTVLGQ	PKAAPSVTLP	PPSSEELQAN	KATLVCLSID	FYPGAVTVAW	150
KADSSPVKAG	VEETTPSKQS	NNKYAAASSYL	SILTPEQWKSH	RSYSCQVTHE	200
VLDSDGSFL					214

Post-translational modifications

Disulfide bridges location / Position des ponts disulfure / Posiciones de los puentes disulfuro
 Intra-H (C23-C104) 22-96 148-204 265-325 371-429
 22"-96" 148"-204" 265"-325" 371"-429"
 Intra-L (C23-C104) 22-87 136"-195"
 22"-87" 136"-195"
 Inter-H-L (h 5-CL 126) 224-213¹ 224"-213"
 Inter-H-H (h 11, h 14) 230-230¹ 233-233"

N-terminal glutaminyl cyclization / Cyclisation du glutaminy N-terminal / Ciclación del glutamínico N-terminal
 Q > pyroglutamyl (pE, 5-oxoprolyl) / pyroglutamyle (pE, 5-oxoprolyle) / piroglutamilo (pE, 5-oxoprolilo)
 H VH Q1: 1, 1"

N-glycosylation sites / Sites de N-glycosylation / Posiciones de N-glicosilación
 H CH2 N84: 301, 301"
 Fucosylated complex bi-antennary CHO-type glycans / glycanes de tipo CHO bi-antennaires complejos fucosyles / glicanos de tipo CHO biantenarios complejos fucosilados

C-terminal lysine clipping / Coupe de la lysine C-terminale / Recorte de lisina C-terminal
 H CHS K2: 451, 451"

danvilostomigum

danvilostomig

immunoglobulin G1-kappa_scFv, anti-[*Homo sapiens* CTLA4 (cytotoxic T-lymphocyte-associated antigen 4, cytotoxic T-lymphocyte-associated protein 4, CTLA-4, CD152)], each heavy chain being fused to a scFv anti-[*Homo sapiens* PDCD1 (programmed cell death 1, PD1, PD-1, CD279)], *Homo sapiens* and humanized monoclonal antibody, tetravalent, bispecific; gamma1 heavy chain anti-CTLA4 *Homo sapiens* fused to scFv anti-PDCD1 humanized (1-701) [gamma1 heavy chain anti-CTLA4 *Homo sapiens* (1-447) (*Homo sapiens* IGHV3-30*01 (94.9%) - (IGHD) - IGHJ4*01 (100%), CDR-IMGT [8.8.11] (26-33.51-58.97-107)) (1-118) -*Homo sapiens*IGHG1*01v, G1m17,1>G1m3,1, G1v14-1 CH2 A1.3, A1.2, A1, G1v20 CH2 A105 (CH1 K120>R (215) (119-216), hinge 1-15 (217-231), CH2 L1.3>A (235), L1.2>A (236), G1>A (238), K105>A (323) (232-341), CH3 D12 (357), L14 (359) (342-446), CHS (447) (119-447)] -10-mer bis(tetraglycyl-seryl) linker (448-457) -scFv-VH-V-KAPPA anti-PDCD1 (458-701) [VH (*Homo sapiens* IGHV3-64*04 (76.5%) -(IGHD) -IGHJ4*01 (86.7%), CDR-IMGT [8.7.9] (483-490.508-514.553-561)) (458-572) -20-mer tetrakis(tetraglycyl-seryl) linker (573-592) -V-KAPPA (*Homo sapiens* IGKV1-27*01 (88.0%) -IGKJ4*01 (100%), CDR-IMGT [6.3.11] (619-624.642-644.681-691) (593-701)], (221-215')-disulfide with kappa light chain anti-CTLA4 *Homo sapiens* (1'-215') [V-KAPPA (*Homo sapiens* IGKV3-20*01(97.9%) -IGKJ1*01 (100%), CDR-IMGT [7.3.9] (27-33.51-53.90-98)) (1'-108') -*Homo sapiens* IGKC*01 (100%), Km3 A45.1 (154), V101 (192) (109'-215')]; dimer (227-227":230-230")-bisdisulfide, produced in Chinese hamster ovary (CHO) cells, glycoform alfa

danvilostomig

immunoglobuline G1-kappa_scFv, anti-[*Homo sapiens* CTLA4 (antigène 4 associé aux lymphocytes T cytotoxiques, protéine 4 associée aux lymphocytes T cytotoxiques, CTLA-4, CD152)], chaîne lourde lourde étant fusionnée à un scFv anti-[*Homo sapiens* PDCD1 (protéine 1 de mort cellulaire programmée, PD1, PD-1, CD279)], anticorps monoclonal *Homo sapiens* et humanisé, tétravalent, bispécifique; chaîne lourde gamma1 anti-CTLA4 *Homo sapiens* fusionnée à un scFv anti-PDCD1 humanisé (1-701) [chaîne lourde gamma1 anti-CTLA4 *Homo sapiens* (1-447) [VH (*Homo sapiens*IGHV3-30*01 (94.9%) -(IGHD) - IGHJ4*01 (100%), CDR-IMGT [8.8.11] (26-33.51-58.97-107)) (1-118) -*Homo sapiens*IGHG1*01v, G1m17,1>G1m3,1, G1v14-1 CH2 A1.3, A1.2, A1, G1v20 CH2 A105 (CH1 K120>R (215) (119-216), charnière 1-15 (217-231), CH2 L1.3>A (235), L1.2>A (236), G1>A (238), K105>A (323) (232-341), CH3 D12 (357), L14 (359) (342-446), CHS (447)) (119-447)] - 10-mer bis(tétraglycyl-séryl) linker (448-457) -scFv-VH-V-KAPPA anti-PDCD1 (458-701) [VH (*Homo sapiens*IGHV3-64*04 (76.5%) -(IGHD) -IGHJ4*01 (86.7%), CDR-IMGT [8.7.9] (483-490.508-514.553-561)) (458-572) -20-mer tétrakis(tétraglycyl-séryl) linker (573-592) -V-KAPPA (*Homo sapiens*IGKV1-27*01 (88.0%) -IGKJ4*01 (100%), CDR-IMGT [6.3.11] (619-624.642-644.681-691)) (593-701)], (221-215')-disulfure avec la chaîne légère kappa anti-CTLA4 *Homo sapiens* (1'-215') [V-KAPPA (*Homo sapiens*IGKV3-20*01(97.9%) -IGKJ1*01 (100%), CDR-IMGT [7.3.9] (27-33.51-53.90-98)) (1'-108') -*Homo sapiens*IGKC*01 (100%), Km3 A45.1 (154), V101 (192) (109'-215')]; dimère (227-227":230-230")-bisdisulfuro, produit dans des cellules ovaries de hamster chinois (CHO), glycoforme alfa

danvilostomig

inmunoglobulina G1-kappa_scFv, anti-[*Homo sapiens* CTLA4 (antígeno 4 asígeno asociado con los linfocitos T citotóxicos, proteína 4 asociada con los linfocitos T citotóxicos, CTLA-4, CD152)], cada cadena pesada estando fusionada con un scFv anti-[*Homo sapiens* PDCD1 (proteína 1 de muerte celular programada, PD1, PD-1, CD279)], anticuerpo monoclonal *Homo sapiens* y humanizado, tetravalente, biespecífico; cadena pesada gamma1 anti-CTLA4 *Homo sapiens* fusionada con un scFv anti-PDCD1 humanizado (1-701) [cadena pesada gamma1 anti-CTLA4 *Homo sapiens* (1-447) [VH (*Homo sapiens*IGHV3-30*01 (94.9%) -(IGHD) - IGHJ4*01 (100%), CDR-IMGT [8.8.11] (26-33.51-58.97-107)) (1-118) -*Homo sapiens*IGHG1*01v, G1m17,1>G1m3,1, G1v14-1 CH2 A1.3, A1.2, A1, G1v20 CH2 A105 (CH1 K120>R (215) (119-216), bisagra 1-15 (217-231), CH2 L1.3>A (235), L1.2>A (236), G1>A (238), K105>A (323) (232-341), CH3 D12 (357), L14 (359) (342-446), CHS (447)) (119-447)] -10-mer bis(tetraglicil-séril) enlace 448-457) -scFv-VH-V-KAPPA anti-PDCD1 (458-701) [VH (*Homo sapiens*IGHV3-64*04 (76.5%) -(IGHD) -IGHJ4*01 (86.7%), CDR-IMGT [8.7.9] (483-490.508-514.553-561)) (458-572) -20-mer tetrakis(tetraglicil-séril) enlace (573-592) -V-KAPPA (*Homo sapiens*IGKV1-27*01 (88.0%) -IGKJ4*01 (100%), CDR-IMGT [6.3.11] (619-624.642-644.681-691)) (593-701)], (221-215')-disulfuro con la cadena ligera kappa anti-CTLA4 *Homo sapiens* (1'-215') [V-KAPPA (*Homo sapiens*IGKV3-20*01(97.9%) -IGKJ1*01 (100%), CDR-IMGT [7.3.9] (27-33.51-53.90-98)) (1'-108') -*Homo sapiens*IGKC*01 (100%), Km3 A45.1 (154), V101 (192) (109'-215')]; dímero (227-227":230-230")-bisdisulfuro, producido en las células ováricas de hámster chino (CHO), forma glicosilada alfa

Heavy chain / Chaîne lourde / Cadena pesada

```

QVOLVESGGGVVOPGRSLRL SCAASGFTFS SYTMHWVRQA PGKGLEWVTF 50
ISYDGDNKYY ADSVKGFTI SRDNKNTLY LQMSLRAED TAYYCARTG 100
WLGPFDYNGQ GTLVTVTSSAS TKGPSVFLA PSSKSTSGGT AALGCLVKDY 150
FPERPVTSWNN SGALTSGVHT FPAVLOSSGL YSLSVVUTP SSSLGFTQYI 200
CNVNHKPSWN KVDKRVEPKS CDKTHTCPCP PAPAEAAGAPS VFLFPKPKD 250
TLMISPTEV TCVVVDVSH EPEVKPNWYV DOVEVHNART KPEEQYNSP 300
YRVUVSVLTVL HDWLNCKEY KCAVSNKYY APIEKTISSKA KGQPREGPVY 350
TLPPSPRDELIA KNQVSLPLCIV KGFPYPSDIAV EMESNCOPEN NYTTTPVYLD 400
SDGSFPLYSK LDVQKSEWQQ GNVFQPSVSMW EALHNNHYTQK SLISLSPGGGG 450
GSGGGCGSEHQ LVBSGGLVQ FGGSRLSCT ASGFSLSSVA MSWVROAFSK 500
GLEYVIGGD TTGIAYAWNA RGRFTILSKDN TKNTVTDLQMN SLEAEDTAVGK 550
YCARGWSLID IKGGQTLVIV SSGGGGSSGG GSAGGGGGGG GSALJWMTQSP 600
SSLSASVGDR VITTCQASQN IYSNLAWIQQ KFGKRPKLLI YQASTLASGV 650
PSRFSGGSYG TDFTLTISSL QPEDVATIYC QGGYISAALN TFGGGTKEV 700
K

```

Light chain / Chaîne légère / Cadena ligera

```

BIVLTQSPGT LSLSRGERAT LSCRASQSVG SSYLAWSYQQK PGQAPRLLIY 50
GAESRATGIP DRPGSGSSGT DFTLITISRL PEDFAVVYCO QYQSSPWTFG 100
QGIKVIEKRT VAAPSVFIFP PSDEQIKSGT ASVCLLNNNF YPREAKVQWK 150
VDNALQSGNSN QESVTEQDSK DSTYLSLSTL TLSKADYEKH KVFACEVTHQ 200
GLSSPVTKSF NRGEK 215

```

Post-translational modifications

Disulfide bridges location / Postes des ponts disulfure / Posiciones de los puentes disulfuro

Intra-H (C23-C104)	23"-96"	145"-201"	262"-322"	368"-426"	479"-552"	615"-680"
	22"-96"	145"-201"	262"-322"	368"-426"	479"-552"	615"-680"
Intra-L (C23-C104)	23"-89"	135"-195"				
	23"-89"	135"-195"				
Inter-H-L (h 5-CL 126)	221"-215"	221"-215"				
Inter-H-H (h 11, h 14)	227"-227"	230"-230"				

N-terminal glutaminyl cyclization / Cyclisation du glutaminyle N-terminal / Ciclación del glutaminilo N-terminal

Q > pyroglutamyl (pE, 5-oxopropyl) / pyroglutamyl (pE, 5-oxopropyle) / piroglutamilo (pE, 5-oxopropilo)

H VH Q1: 1, 1"

N-glycosylation sites / Sites de N-glycosylation / Posiciones de N-glicosilación

H CH2 N84.4: 298, 298"

Fucosylated complex bi-antennary CHO-type glycans / glycanes de tipo CHO bi-antennaires complexes fucosyles / glicanos de tipo CHO biantenarios complejos fucosilados.

dargistotugum

dargistotug

immunoglobulin G1-kappa, anti-[*Homo sapiens* TIGIT (T-cell immunoreceptor with Ig domain and ITIM, V-set Ig member 9, VSIG9, V-set and transmembrane member 3, VSTM3)], *Homo sapiens* monoclonal antibody;
 gamma1 heavy chain *Homo sapiens* (1-450) [VH (*Homo sapiens* IGHV7-4-1*02 (99%) -(IGHD) -IGHJ3*01 (93.3%), CDR-IMGT [8.8.15] (26-33.51-58.97-111)) (1-122)-*Homo sapiens* IGHG1*03, G1m3, nG1m1 (CH1 R120 (219) (123-220), hinge 1-15 (221-235), CH2 (236-345), CH3 E12 (361), M14 (363) (346-450), CHS K2>del (451)) (123-451)], (225-213')-disulfide with kappa light chain *Homo sapiens* (1'-213') [V-KAPPA (*Homo sapiens* IGKV1-9*01 (98.9%)-IGKJ4*01 (100%), CDR-IMGT [6.3.8] (27-32.50-52.89-96)) (1'-106') -*Homo sapiens* IGKC*01 (100%), Km3, A45.1 (152), V101 (190) (107'-213')]; dimer (231-231":234-234")-bisdisulfide, produced in Chinese hamster ovary (CHO) cells, cell line CHO-K1SV, glycoform alfa

dargistotug

immunoglobuline G1-kappa, anti-[*Homo sapiens* TIGIT (immunorécepteur des lymphocytes T avec domaine Ig et ITIM, membre 9 de l'Ig V-set, VSIG9, membre 3 de l'Ig V-set et région transmembranaire, VSTM3)], anticorpus monoclonal *Homo sapiens*; chaîne lourde gamma1 *Homo sapiens* (1-451) [VH (*Homo sapiens* IGHV7-4-1*02 (99%) -(IGHD) -IGHJ3*01 (93.3%), CDR-IMGT [8.8.15] (26-33.51-58.97-111)) (1-122)-*Homo sapiens* IGHG1*03, G1m3, nG1m1 (CH1 R120 (219) (123-220), charnière 1-15 (221-235), CH2 (236-345), CH3 E12 (361), M14 (363) (346-450), CHS K2>del (451)) (123-451)], (225-213')-disulfure avec la chaîne légère kappa *Homo sapiens* (1'-213') [V-KAPPA (*Homo sapiens* IGKV1-9*01 (98.9%) -IGKJ4*01 (100%), CDR-IMGT [6.3.8] (27-32.50-52.89-96)) (1'-106') -*Homo sapiens* IGKC*01(100%), Km3, A45.1 (152), V101 (190) (107'-213')]; dimère (231-231":234-234")-bisdisulfure, produit dans des cellules ovarianes de hamster chinois (CHO), lignée cellulaire CHO-K1SV, glycoforme alfa

dargistotug

inmunoglobulina G1-kappa, anti-[*Homo sapiens* TIGIT (inmunoreceptor de los linfocitos T con dominio Ig e ITIM, miembro 9 de la Ig V-set, VSIG9, miembro 3 de la Ig V-set y región transmembranaria, VSTM3)], anticuerpo monoclonal *Homo sapiens*; cadena pesada gamma1 *Homo sapiens* (1-451) [VH (*Homo sapiens* IGHV7-4-1*02 (99%) - (IGHD) - IGHJ3*01 (93.3%), CDR-IMGT [8.8.15] (26-33.51-58.97-111)) (1-122) - *Homo sapiens* IGHG1*03, G1m3, nG1m1 (CH1 R120 (219) (123-220), bisagra 1-15 (221-235), CH2 (236-345), CH3 E12 (361), M14 (363) (346-450), CHS K2>del (451)) (123-451)], (225-213')-disulfuro con la cadena ligera kappa *Homo sapiens* (1'-213') [V-KAPPA (*Homo sapiens* IGKV1-9*01 (98.9%) - IGKJ4*01 (100%), CDR-IMGT [6.3.8] (27-32.50-52.89-96)) (1'-106') - *Homo sapiens* IGKC*01(100%), Km3, A45.1 (152), V101 (190) (107'-213')]; dímero (231-231":234-234")-bisdisulfuro, producido en las células ováricas de hámster chino (CHO), línea celular CHO-K1SV, forma glicosilada alfa

Heavy chain / Chaîne lourde / Cadena pesada
 QVQLVQSSLE LAKPGASVKV SKKASGYIFTT SYPNNWWVRQA PGQGLEWMGW 50
 INTNTGNPTV AGQFTGRGVFV SLDTSVSTAV LQISSLKAED TAVYVYCARVG 100
 GYSVDEYAFD VMGGQTIVTVV SSASTKGPSV FFLAPSSKST SGGAALGCL 150
 VDKYFFPEPVV PSWNSGALTSLV EHTVTFAVLQ SSGLYSLSSV VTVFSSSLGT 200
 QTYICNVNHHPSNPKVDKRV EPKSCDKTHQ CPCCPAPELL GGFPSVFLFP 250
 KPKDTLMISR TPEVTCVVVD VSHEDEPEVKV NWYVDGVEVH NAKTPKREEQ 300
 YNSTYRKVVSV LTVLHQDWLN GKKEYKCKVSL KALPAPIEKRT ISAKAKQPRE 350
 PQVYTLPPSV EEMTKNQVSL TCLVKGFYPS DIAVEWESNG QPENNYKTP 400
 PVLDSDGSFF LYSLKLTVDRS RWQQGNVFSC SVMHEALHNH YTQKSLSLSP 450
 G

Light chain / Chaîne légère / Cadena ligera
 DIQLTQSPSF LSAVGDRVT 1TCRASQGIS SYLAWSQQKP GKAPKLLIYA 50
 ASTLQSGVPS RFSGSGSGTE FTLTISQQP EDFATYYCQQ LSSYPTFGGG 100
 TKVEIKRTVA APBSFIPPPS DEQLKSGTAS VVCLLNNFYF REAKVQWKVD 150
 NALQSGNSQEV STQECDSKDS TYLSLSSLTQ SKADYERKHV YACEVTHQGL 200
 SSPVTKSFNIGRC 213

Post-translational modifications
 Disulfide bridges location / Position des ponts disulfure / Posiciones de los puentes disulfuro
 Intra-H (C23-C104) 22.-96 149.-205 266.-326 372.-430
 22"-96" 149"-205" 266"-326" 372"-430"
 Intra-L (C23-C104) 23"-88" 133"-193"
 Inter-H-L (h 5-CL 126) 225-213" 225"-213"
 Inter-H-H (h 11, h 14) 231-231" 234-234"

N-terminal glutamyl cyclization / Cyclisation du glutaminyle N-terminal / Ciclación del glutamínico N-terminal
 Q > pyroglutamyl (pE, 5-oxoprolyl) / pyroglutamyle (pE, 5-oxoprolyle) / piroglutamilo (pE, 5-oxoprolilo)
 H VH Q1: 1, 1"

N-glycosylation sites / Sites de N-glycosylation / Posiciones de N-glicosilación
 H CH2 N84.4: 302, 302"
 Fucosylated complex bi-antennary CHO-type glycans / glycanes de type CHO bi-antennaires complexes fucosylés / glicanos de tipo CHO biantenarios complejos fucosilados.

dazdotuftidum

dazdotuftide

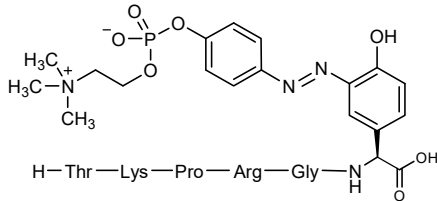
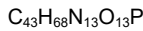
L-threonyl-L-lysyl-L-prolyl-L-arginylglycyl-3-{(E)-[4-({oxido[2-(trimethylazaniumyl)ethoxy]phosphoryl}oxy)phenyl]diazenyl]-L-tyrosine}

dazdotuftide

L-threonyl-L-lysyl-L-prolyl-L-arginylglycyl-3-{(E)-[4-({oxido[2-(triméthylazaniumyl)éthoxy]phosphoryl}oxy)phenyl]diazenyl]-L-tyrosine}

dazdotuftida

L-treonil-L-lisil-L-prolil-L-arginilglicil-3-{(E)-[4-({oxido[2-(trimetilazaniumil)etoxi]fosforil}oxi)fenil]diazenil]-L-tyrosina}

**delpacibartum #**

delpacibart

immunoglobulin G1-kappa, anti-[*Homo sapiens* TFRC (transferrin receptor, TfR1)], humanized monoclonal antibody; gamma1 heavy chain humanized (1-445) [VH (*Homo sapiens*IGHV1-2*06 (87.8%) -(IGHD) -IGHJ4*01 (100%), CDR-IMGT [8.8.9] (26-33.51-58.97-105)) (1-116) -*Homo sapiens*IGHG1*03, G1m3, nG1m1, G1v14 CH2 A1.3, A1.2, G1v48 CH2 R113 (CH1 R120 (213) (117-214), hinge 1-15 (215-229), CH2 L1.3>A (233), L1.2>A (234), L113>R (327) (230-339), CH3 E12 (355), M14 (357) (340-444), CHS K2>del (445)) (117-445)], (219-214)-disulfide with kappa light chain humanized (1'-214')[V-KAPPA (*Homo sapiens*IGKV1-NL1*01 (84.2%) -IGKJ4*01 (100%), CDR-IMGT [6.3.9] (27-32.50-52.89-97)) (1'-107') -*Homo sapiens*IGKC*01 (100%), Km3 A45.1 (153), V101 (191) (108'-214')]; dimer (225-225": 228-228")-bisdisulfide, produced in Chinese hamster ovary (CHO) cells, glycoform alfa

delpacibart

immunoglobuline G1-kappa, anti-[*Homo sapiens* TFRC (récepteur de la transferrine, TfR1)], anticorps monoclonal humanisé; chaîne lourde gamma1 humanisée (1-445 [VH (*Homo sapiens*IGHV1-2*06 (87.8%) -(IGHD) -IGHJ4*01 (100%), CDR-IMGT [8.8.9] (26-33.51-58.97-105)) (1-116) -*Homo sapiens*IGHG1*03, G1m3, nG1m1, G1v14 CH2 A1.3, A1.2, G1v48 CH2 R113 (CH1 R120 (213) (117-214), charnière 1-15 (215-229), CH2 L1.3>A (233), L1.2>A (234), L113>R (230-339), CH3 E12 (355), M14 (357) (340-444), CHS K2>del (445)) (117-445)], (219-214')-disulfure avec la chaîne légère kappa humanisée (1'-214') [V-KAPPA (*Homo sapiens*IGKV1-NL1*01 (84.2%) -IGKJ4*01 (100%), CDR-IMGT [6.3.9] (27-32.50-52.89-97)) (1'-107') -*Homo sapiens*IGKC*01 (100%), Km3 A45.1 (153), V101 (191) (108'-214')]; dimère (225-225": 228-228")-bisdisulfure, produit dans des cellules ovarianes de hamster chinois (CHO), glycoforme alfa

delpacibart

inmunoglobulina G1-kappa, anti-[*Homo sapiens* TFRC (receptor de la transferrina, TfR1)], anticuerpo monoclonal humanizado;

cadena pesada gamma1 humanizada (1-445 [VH (*Homo sapiens* IGHV1-2*06 (87.8%) -(IGHD) -IGHJ4*01 (100%), CDR-IMGT [8.8.9] (26-33.51-58.97-105)) (1-116) -*Homo sapiens*IGHG1*03, G1m3, nG1m1, G1v14 CH2 A1.3, A1.2, G1v48 CH2 R113 (CH1 R120 (213) (117-214), bisagra 1-15 (215-229), CH2 L1.3>A (233), L1.2>A (234), L113>R (230-339), CH3 E12 (355), M14 (357) (340-444), CHS K2>del (445)) (117-445)], (219-214')-disulfuro con la cadena ligera kappa humanizada (1'-214') [V-KAPPA (*Homo sapiens* IGKV1-NL1*01 (84.2%) -IGKJ4*01 (100%), CDR-IMGT [6.3.9] (27-32.50-52.89-97)) (1'-107) -*Homo sapiens* IGKC*01 (100%), Km3 A45.1 (153), V101 (191) (108'-214')]; dímero (225-225": 228-228")-bisdisulfuro, producido en las células ováricas de hámster chino (CHO), forma glicosilada alfa

Heavy chain / Chaîne lourde / Cadena pesada
 QVQLVQSGAE VKKPGAVKV SCKASCYTFTE NYWMHWVRQA PGQGLEWIGE 50
 INPTNGRSNY AAKFQGRVTI TVDTSSSTAY MELSRLRSDD TAVYYCARGT 100
 RAMHYWGGQT LVTVVSASAKT GPSVFFPLAFS SKSTSCTGAA LGCLVKDYFV 150
 EPVTVWSWNST ALTGSVHTFP AVLQSSGLYS LSSVVTVPPSS SLGTTQTYICN 200
 VNHKPSNTKV DKRVEPKSCD KTHTCPPCPA PEAAGGPPSV LFPPKPKDYL 250
 MISRTEPVTE VVVDVSHEDP EVKFNYYVGD VEVHNATKTK REEQYNSTYR 300
 VVSVLTVLHQ DWLNKGKEYKC KVSNKARAP IEKTTSKAKG QPREPVQVTL 350
 PPSREEMTKN QVSLTCLVKG FYPSPDIAVEN ESNQOPENNY KTPPPVLDSD 400
 GSFFLISKLT VDKSRWQZQGN VFSCSVMHEA LHNNHTQKSL SLSPG 445

Light chain / Chaîne légère / Cadena ligera
 DIQMTQSPSS LSASVGDRTV ITCTRSSENYY NNLLAWYQQKP GKSPKLIIYA 50
 ATNLADGVFS RFSGSGGSTD YTLLTISSLPQ EDFATYQCH FWGTPFLFGG 100
 GTKVELKRTV AAAPSVFIFPP SDEQLKSGTA SVVCLLNNFY PREAKVQWKV 150
 DNAIQSQGNSQ ESVTQDQSKD STYSLSSITL LSKADYEKHH VYACEVTHQG 200
 LSSPVTKFSFN RGEC 214

Post-translational modifications

Disulfide bridges location / Position des ponts disulfure / Posiciones de los puentes disulfuro
 Intra-H (C23-C104) 22"-96" 143-199" 260-320" 366-424"
 22"-96" 143"-199" 260"-320" 366"-424"
 Intra-L (C23-C104) 23"-88" 134"-194"
 23"-88" 134"-194"
 Inter-H-L (h 5-CL 126) 219-214" 219"-214"
 Inter-H-H (h 11, h 14) 225-225" 228-228"

N-terminal glutaminyl cyclization / Cyclisation du glutaminy N-terminal / Ciclación del glutamínico N-terminal
 Q>pyroglutamyl (pE, 5-oxoprolyl) / pyroglutamyle (pE, 5-oxoprolyle) / piroglutamilo (pE, 5-oxoprolilo)
 H VH Q1: 1, 1"

N-glycosylation sites / Sites de N-glycosylation / Posiciones de N-glicosilación
 H CH2 N84.4: 296, 296"
 Fucosylated complex bi-antennary CHO-type glycans / glycanes de type CHO bi-antennaires
 complejos fucosylés / glicanos de tipo CHO biantenarios complejos fucosilados.

delpacibartum etedesiranum

delpacibart etedesiran

immunoglobulin G1-kappa, anti-[*Homo sapiens* TFRC (transferrin receptor, TfR1)], humanized monoclonal antibody; conjugated via a 4-(maleimidomethyl)cyclohexanecarboxamide (MCC) linker with a double-stranded small interfering RNA (siRNA) which causes cleavage of the mRNA that encodes myotinin-protein kinase (MT-PK, myotonic dystrophy 1 protein kinase, DM1 protein kinase, DMPK, DM-kinase, DMK, EC:2.7.11.1); gamma1 heavy chain humanized (1-445) [VH (*Homo sapiens* IGHV1-2*06 (87.8%) -(IGHD) -IGHJ4*01 (100%), CDR-IMGT [8.8.9] (26-33.51-58.97-105)) (1-116) -*Homo sapiens*IGHG1*03, G1m3, nG1m1, G1v14 CH2 A1.3, A1.2, G1v48 CH2R113 (CH1 R120 (213) (117-214), hinge 1-15 (215-229), CH2 L1.3>A (233), L1.2>A (234), L113>R (327) (230-339), CH3 E12 (355), M14 (357) (340-444), CHS K2>del (445)) (117-445)], (219-214')-disulfide with kappa light chain humanized (1'-214') [V-KAPPA (*Homo sapiens* IGKV1-NL1*01 (84.2%) -IGKJ4*01 (100%), CDR-IMGT [6.3.9] (27-32.50-52.89-97)) (1'-107) -*Homo sapiens* IGKC*01 (100%), Km3 A45.1 (153), V101 (191) (108'-214')]; dimer (225-225": 228-228")-bisdisulfide, produced in Chinese hamster ovary (CHO) cells, glycoform alfa; substituted on

average at one sulfur atom of a reduced cysteine residue 219, 225, 214', 219", 225", or 214"" with an *all-P-ambo*-2'-O-methyl-*P-thiouridylyl*-(3'→5')-2'-deoxy-2'-fluoro-*P-thiouridylyl*-(3'→5')-2'-O-methylcytidylyl-(3'→5')-2'-O-methylguanylyl-(3'→5')-2'-O-methyladenylyl-(3'→5')-2'-deoxy-2'-fluoroadenyllyl-(3'→5')-2'-O-methylguanylyl-(3'→5')-2'-O-methyladenylyl-(3'→5')-2'-O-methylcytidylyl-(3'→5')-2'-O-methyladenylyl-(3'→5')-2'-O-methylguanylyl-(3'→5')-2'-O-methyluridyllyl-(3'→5')-2'-O-methyluridyllyl-(3'→5')-2'-O-methyluridine duplex with *all-P-ambo*- (3RS)-1-((*cis*- or *trans*-4-[(6-{[2'-O-methyl-*P-thioadenylyl*-(5'→3')-2'-O-methyl-*P-thioadenylyl*-(5'→3')-2'-O-methylcytidylyl-(5'→3')-2'-O-methyluridyllyl-(5'→3')-2'-O-methylguanylyl-(5'→3')-2'-O-methyluridyllyl-(5'→3')-2'-O-methyluridine]-oxy]hexyl)carbamoyl]cyclohexyl)methyl)-2,5-dioxopyrrolidin-3-yl (*etedesiran*) group

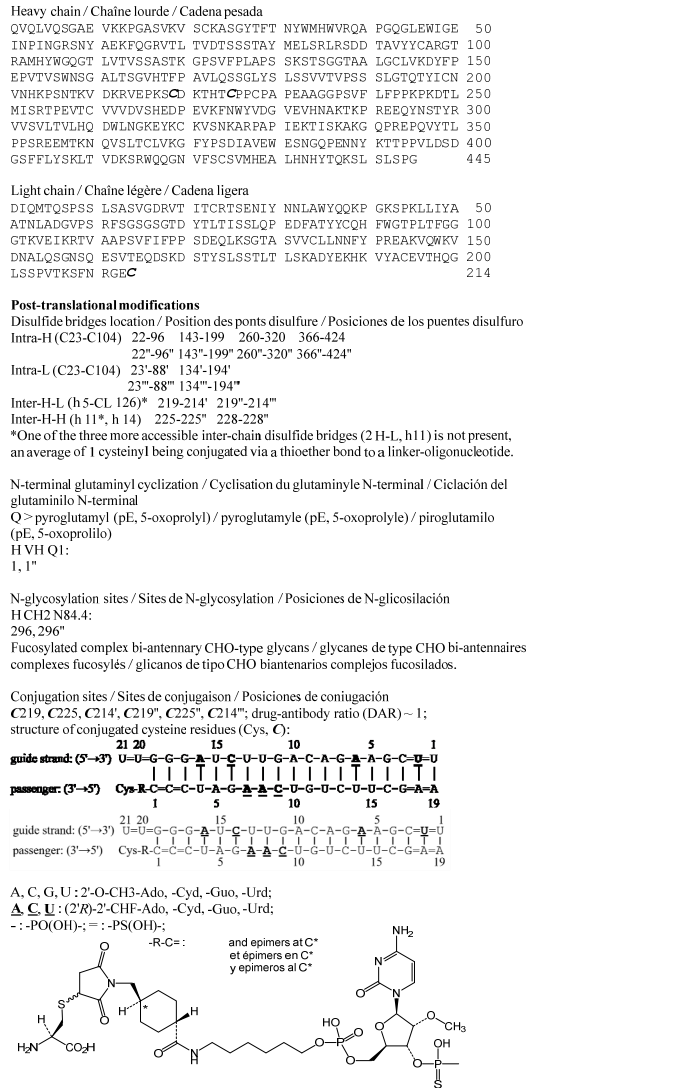
delpacibart étédésiran

immunoglobuline G1-kappa, anti-[*Homo sapiens* TFRC (récepteur de la transferrine, TfR1)], anticorps monoclonal humanisé; conjugué via un linker 4-(maléimidométhyl)cyclohexanecarboxamide (MCC) avec un petit ARN différent (siARN) double brin qui provoque le clivage de l'ARNm qui code la myotonine protéine kinase (MT-PK, dystrophie myotonique 1 protéine kinase, DM1 protéine kinase, DMPK, DM-kinase, DMK, EC:2.7.11.1); chaîne lourde gamma1 humanisée (1-445 [VH (*Homo sapiens*IGHV1-2*06 (87.8%) -(IGHD) - IGHJ4*01 (100%), CDR-IMGT [8.8.9] (26-33.51-58.97-105)) (1-116) -*Homo sapiens*IGHG1*03, G1m3, nG1m1, G1v14 CH2 A1.3, A1.2, G1v48 CH2R113 (CH1 R120 (213) (117-214), charnière 1-15 (215-229), CH2 L1.3>A (233), L1.2>A (234), L113>R (230-339), CH3 E12 (355), M14 (357) (340-444), CHS K2>del (445)) (117-445)], (219-214')-disulfure avec la chaîne légère kappa humanisée (1'-214') [V-KAPPA (*Homo sapiens*IGKV1-NL1*01 (84.2%) -IGKJ4*01 (100%), CDR-IMGT [6.3.9] (27-32.50-52.89-97)) (1'-107') -*Homo sapiens*IGKC*01 (100%), Km3 A45.1 (153), V101 (191) (108'-214')]; dimère (225-225"- 228-228")-bisdisulfure, produit dans des cellules ovariennes de hamster chinois (CHO), glycoforme alfa; substitué en moyenne à un atome de soufre d'un résidu réduit de cystéine 219, 225, 214', 219", 225" ou 214"" par un groupe *tout-P-ambo*-2'-O-méthyl-*P-thiouridylyl*-(3'→5')-2'-désoxy-2'-fluoro-*P-thiouridylyl*-(3'→5')-2'-O-méthylcytidylyl-(3'→5')-2'-O-méthylguanylyl-(3'→5')-2'-O-méthyladenylyl-(3'→5')-2'-désoxy-2'-fluoroadénlyl-(3'→5')-2'-O-méthylguanylyl-(3'→5')-2'-O-méthyluridyllyl-(3'→5')-2'-O-méthyluridyllyl-(3'→5')-2'-désoxy-2'-fluorocytidyllyl-(3'→5')-2'-O-méthyluridyllyl-(3'→5')-2'-désoxy-2'-fluoroadenyllyl-(3'→5')-2'-O-méthylguanylyl-(3'→5')-2'-O-méthyluridyllyl-(3'→5')-2'-O-méthyluridine duplex avec *tout-P-ambo*- (3RS)-1-((*cis*- ou *trans*-4-[(6-{[2'-O-méthyl-*P-thioadenylyl*-(5'→3')-2'-O-méthyl-*P-thioadenylyl*-(5'→3')-2'-O-méthylcytidylyl-(5'→3')-2'-O-méthyluridyllyl-(5'→3')-2'-O-méthylcytidylyl-(5'→3')-2'-O-méthyluridyllyl-(5'→3')-2'-O-méthyluridyllyl-(5'→3')-2'-O-méthyluridine]-oxy]hexyl)carbamoyl]cyclohexyl)methyl)-2,5-dioxopyrrolidin-3-yl (*etedesiran*) group

méthylguanylyl-(5'→3')-2'-O-méthyluridylyl-(5'→3')-2'-désoxy-2'-fluorocytidylyl-(5'→3')-2'-désoxy-2'-fluoroadénlyl-(5'→3')-2'-désoxy-2'-fluoroadénlyl-(5'→3')-2'-O-méthylguanylyl-(5'→3')-2'-O-méthyladénlyl-(5'→3')-2'-O-méthyluridylyl-(5'→3')-2'-O-méthyl-P-thiocytidylyl-(5'→3')-2'-O-méthyl-P-thiocytidylyl-(5'→3')-2'-O-méthyl-5'-cytidylyl]oxy]hexyl]carbamoyl]cyclohexyl)méthyl)-2,5-dioxopirrolidin-3-yile (étédésiran)

delpacibart etedesirán

inmunoglobulina G1-kappa, anti-[*Homo sapiens* TFRC (receptor de la transferrina, TfR1)], anticuerpo monoclonal humanizado; conjugado mediante un conector de 4-(maleimidometil)ciclohexanocarboxamida (MCC) con un ARN interferente pequeño (ARNip) bicatenario que causa la escisión del ARNm que codifica miotonina-proteína quinasa (MT-PK, distrofia miotónica 1 proteína quinasa, proteína quinasa DM1, DMPK, DM-quinasa, DMK, EC:2.7.11.1); cadena pesada gamma1 humanizada (1-445 [VH (*Homo sapiens* IGHV1-2*06 (87.8%) -IGHD -IGHJ4*01 (100%), CDR-IMGT [8.8.9] (26-33.51-58.97-105)) (1-116) -*Homo sapiens*IGHG1*03, G1m3, nG1m1, G1v14 CH2 A1.3, A1.2, G1v48 CH2R113 (CH1 R120 (213) (117-214), bisagra 1-15 (215-229), CH2 L1.3>A (233), L1.2>A (234), L113>R (230-339), CH3 E12 (355), M14 (357) (340-444), CHS K2>del (445)) (117-445)], (219-214')-disulfuro con la cadena ligera kappa humanizada (1'-214') [V-KAPPA (*Homo sapiens* IGKV1-NL1*01 (84.2%) -IGKJ4*01 (100%), CDR-IMGT [6.3.9] (27-32.50-52.89-97)) (1'-107') -*Homo sapiens* IGKC*01 (100%), Km3 A45.1 (153), V101 (191) (108'-214')]; dímero (225-225": 228-228")-bisdisulfuro; producido en las células ováricas de hámster chino (CHO), forma glicosilada alfa; sustituido en promedio en un átomo de azufre de un residuo reducido de cisteína 219, 225, 214', 219", 225" o 214" con un grupo *todo-P-ambo-2'-O-metil-P-touridilil-(3'→5')-2'-desoxi-2'-fluoro-P-touridilil-(3'→5')-2'-O-metilcitidilil-(3'→5')-2'-O-metilguanilil-(3'→5')-2'-O-metiladenilil-(3'→5')-2'-desoxi-2'-fluoroadenilil-(3'→5')-2'-O-metilguanilil-(3'→5')-2'-O-metiladenilil-(3'→5')-2'-O-metilguanilil-(3'→5')-2'-O-metiladenilil-(3'→5')-2'-O-metiladenilil-(3'→5')-2'-O-metilguanilil-(3'→5')-2'-O-metiluridilil-(3'→5')-2'-O-metiluridilil-(3'→5')-2'-desoxi-2'-fluorocitidilil-(3'→5')-2'-O-metiluridilil-(3'→5')-2'-desoxi-2'-fluoroadenilil-(3'→5')-2'-O-metilguanilil-(3'→5')-2'-O-metiluridilil-(3'→5')-2'-O-metilguanilil-(3'→5')-2'-O-metiladenilil-(3'→5')-2'-O-metiluridilil-(3'→5')-2'-O-metiluridilil-(3'→5')-2'-O-metilguanilil-(5'→3')-2'-O-metiluridilil-(3'→5')-2'-O-metiluridilil-(5'→3')-2'-O-metilguanilil-(5'→3')-2'-O-metiluridilil-(5'→3')-2'-O-metiluridilil-(5'→3')-2'-O-metilguanilil-(5'→3')-2'-O-metiluridilil-(5'→3')-2'-O-metilguanilil-(5'→3')-2'-O-metiladenilil-(5'→3')-2'-O-metiluridilil-(5'→3')-2'-O-metilguanilil-(5'→3')-2'-O-metiluridilil-(5'→3')-2'-O-metil-P-tiocitidilil-(5'→3')-2'-O-metil-P-tiocitidilil-(5'→3')-2'-O-metil-5'-citidilil]oxi]hexyl]carbamoyl]cyclohexyl)methyl)-2,5-dioxopirrolidin-3-ilo (etedesiran)*



denecimigum # denecimig

immunoglobulin G4-kappa, anti-[F9 (coagulation factor 9, coagulation factor IX) activated form and F10 (coagulation factor 10, coagulation factor X)], *Homo sapiens* monoclonal antibody, bispecific, bivalent; gamma4 heavy chain anti-F9 *Homo sapiens*(1-448) [VH (*Homo sapiens* IGHV3-9*01 (89.8%) -(IGHD) -IGHJ5*01 (93.8%), CDR-IMGT [8.8.15] (26-33.51-58.97-111)) (1-122)-*Homo sapiens* IGHG4*01, G4v5 h P10, nG4m(a) CH2 L92 (CH1 (123-220), hinge 1-12 S10>P (230) (221-232), CH2 L92 (311) (233-342), CH3 (343-447), CHS K2>del (448) (123-448)], (136-214')-disulfide with kappa light chain anti-F9 *Homo sapiens* (1'-214') [V-KAPPA (*Homo sapiens* IGKV1-5*03 (91.5%) -IGKJ1*01 (100%), CDR-IMGT [6.3.9](27-32.50-52.89-97)) (1'-107')-*Homo sapiens* IGKC*01 (100%), Km3 A45.1 (153), V101 (191)(108'-214')];

	gamma4 heavy chain anti-F10 <i>Homo sapiens</i> (1"-446") [VH (<i>Homo sapiens</i> IGHV5-10-1*01 (92.9%) -(IGHD) -IGHJ4*01 (92.9%), CDR-IMGT [8.8.13] (26-33.51-58.97-109)) (1"-120")- <i>Homo sapiens</i> IGHG4*01, G4v5 h P10, nG4m(a) CH2 L92 (CH1 (121"-218"), hinge 1-12 S10>P (228) (219"-230"), CH2 L92 (309) (231"-340"), CH3 F85.1>L (405), R88>K (409) (341"-445"), CHS K2>del (446")) (121"-446")], (134"-216")-disulfide with kappa light chain anti-F10 <i>Homo sapiens</i> (1"-216") [V-KAPPA (<i>Homo sapiens</i> IGKV3-20*01 (94.7%) -IGKJ2*02 (100%), CDR-IMGT [7.3.10] (27-33.51-53.90-99)) (1"-109")- <i>Homo sapiens</i> IGKC*01 (100%), Km3 A45.1 (155), V101 (193) (110"-216")]; dimer (228-226":231-229")-bisdisulfide, produced in Chinese hamster ovary (CHO)-K1SV cell line lacking the glutamine synthetase gene (GS-KO), glycoform alfa
dénécimig	immunoglobuline G4-kappa, anti-[F9 (facteur de coagulation F9, facteur de coagulation IX) forme activée et anti-[<i>Homo sapiens</i> F10 (facteur de coagulation 10, facteur de coagulation X)], anticorps monoclonal <i>Homo sapiens</i> , bispécifique, bivalent; chaîne lourde gamma4 anti-F9 <i>Homo sapiens</i> (1-448) [VH (<i>Homo sapiens</i> IGHV3-9*01 (89.8%) -(IGHD) -IGHJ5*01 (93.8), CDR-IMGT [8.8.15] (26-33.51-58.97-111)) (1-122)- <i>Homo sapiens</i> IGHG4*01, G4v5 h P10, nG4m(a) CH2 L92 (CH1 (123-220), charnière 1-12 S10>P (230) (221-232), CH2 L92 (311) (233-342), CH3 (343-447), CHS K2>del (448)) (123-448")], (136-214')-disulfure avec la chaîne légère kappa anti-F9 <i>Homo sapiens</i> (1'-214') [V-KAPPA (<i>Homo sapiens</i> IGKV1-5*03 (91.5%) -IGKJ1*01 (100%), CDR-IMGT [6.3.9] (27-32.50-52.89-97)) (1'-107")- <i>Homo sapiens</i> IGKC*01 (100%), Km3 A45.1 (153), V101 (191) (108'-214')]; chaîne lourde gamma4 anti-F10 <i>Homo sapiens</i> (1"-446") [VH (<i>Homo sapiens</i> IGHV5-10-1*01 (92.9%) -(IGHD) -IGHJ4*01 (92.9), CDR-IMGT [8.8.13] (26-33.51-58.97-109)) (1"-120")- <i>Homo sapiens</i> IGHG4*01, G4v5 h P10, nG4m(a) CH2 L92 (CH1 (121"-218"), charnière 1-12 S10>P (228) (219"-230"), CH2 L92 (309) (231"-340"), CH3 F85.1>L (405), R88>K (409) (341"-445"), CHS K2>del (446")) (121"-446")], (134"-216")-disulfure avec la chaîne légère kappa anti-F10 <i>Homo sapiens</i> (1"-216") [V-KAPPA (<i>Homo sapiens</i> IGKV3-20*01 (94.7%) -IGKJ2*02 (100%), CDR-IMGT [7.3.10] (27-33.51-53.90-99)) (1"-109")- <i>Homo sapiens</i> IGKC*01 (100%), Km3 A45.1 (155), V101 (193) (110"-216")]; dimère (228-226":231-229")-bisdisulfure, produit dans des cellules ovaries de hamster chinois (CHO) lignée cellulaire CHO-K1SV ne présentant pas le gène de la glutamine synthétase (GS-KO), glycoforme alfa
denecimig	inmunoglobulina G4-kappa, anti-[F9 (factor de coagulación F9, factor de coagulación IX) forma activada y anti-[<i>Homo sapiens</i> F10 (factor de coagulación 10, factor de coagulación X)], anticuerpo monoclonal <i>Homo sapiens</i> , biespecífico, bivalente; cadena pesada gamma4 anti-F9 <i>Homo sapiens</i> (1-448) [VH (<i>Homo sapiens</i> IGHV3-9*01 (89.8%) -(IGHD) -IGHJ5*01 (93.8), CDR-IMGT [8.8.15] (26-33.51-58.97-111)) (1-122)- <i>Homo sapiens</i> IGHG4*01, G4v5 h P10, nG4m(a) CH2 L92 (CH1 (123-220), bisagra 1-12 S10>P (230) (221-232), CH2 L92 (311) (233-342), CH3 (343-447), CHS K2>del (448)) (123-448")], (136-214')-disulfuro con la cadena ligera kappa anti-F9 <i>Homo sapiens</i> (1'-214') [V-KAPPA (<i>Homo sapiens</i> IGKV1-5*03 (91.5%) -IGKJ1*01 (100%), CDR-IMGT [6.3.9] (27-32.50-52.89-97)) (1'-107")- <i>Homo sapiens</i> IGKC*01 (100%), Km3 A45.1 (153), V101 (191) (108'-214')];

cadena pesada gamma4 anti-F10 *Homo sapiens* (1"-446") [VH (*Homo sapiens*IGHV5-10-1*01 (92.9%) -(IGHD)-IGHJ4*01 (92.9), CDR-IMGT [8.8.13] (26-33.51-58.97-109)) (1"-120")-*Homo sapiens*IGHG4*01, G4v5 h P10, nG4m(a) CH2 L92 (CH1 (121"-218"), bisagra 1-12 S10>P (228) (219"-230"), CH2 L92 (309) (231"-340"), CH3 F85.1>L (405), R88>K (409) (341"-445"), CHS K2>del (446")) (121"-446")], (134"-216")-disulfuro con la cadena ligera kappa anti-F10 *Homo sapiens*(1"-216") [V-KAPPA (*Homo sapiens*IGKV3-20*01 (94.7%) -IGKJ2*02 (100%), CDR-IMGT [7.3.10] (27-33.51-53.90-99)) (1"-109") -*Homo sapiens*IGKC*01 (100%), Km3 A45.1 (155), V101 (193) (110"-216")]; dímero (228-226".231-229")-bisdisulfuro, producido en las células ováricas de hámster chino (CHO) línea celular CHO-K1SV en ausencia del gen glutamina sintetasa (GS-KO), forma glicosilada alfa

Heavy chain / Chaîne lourde / Cadena pesada : anti-F9 (H)

EVQVEESGGG LVPGPRSLRLR SCAASCTFH DIAMMIVVRQV PGKGLEWWSG 50
ISGRGCGGG VKSGKGTTI SRDNAKNQYI LQMNSLRAED TALYYCVKSY 100
GSSGFYNAFD SWQGQSLIVV SSACTKGPSF FFPLACPSRST SESTAAIGCL 150
VKDXYPPEPVYI VSKWPSGALTS VVHPHPPAVLO SGGSPLSLSV SVVESSLGLT 200
KTKDVFVNDHK PSMTKVDRV ESKYIGCCEP CPAPAEFLGGE SVVLFPPKPK 250
DTLMISRTPE ITCVUVUDSO EDPPVQFNWV DGVEVEMAK ITRPBEEQFNS 300
TVRUVSVLIV LHQDWLNKPE YKCHVANIKGL PSSIEKTIKS AKQQPFEPQV 350
YTLPPSQEEM TNQVSLTCI VKGFPSPDIA VEWESENQGPE NNRTTPPPVFL 400
DSDGSSFLYLS RLTVDKSRWSQ EGUNFSCSVM HEALHNHYTQ KSLSLSLG 448

Light chain / Chaîne légère / Cadena ligera : anti-F9 (L)

DIQMTQSPST LSASVGDRVT ITCPAGQSIS SWLANYQQKP GKAPKFLIYK 50
ASKLERGPTS RFSGSGSCTE FSLTISLQP DDFATYCYCLE YSSYIRTFGQ 100
GTVKEIKRTV AAESPVFIFPDE SDEQLSKGTQ SVVCLNNFYF PREAKVQWKV 150
DNALQSGNSQ ESVTEQDSKD STYLSLSTL LSKADYEKKH VYACEVTHQG 200
LSSPFVTRSEF RGEC 214

Heavy chain / Chaîne lourde / Cadena pesada : anti-F10 (H')

EVQLVQSGAE VKPGESLR1 SCKGSGYSFS TSIVWWRQW PGKGLEWMGM 50
IDPSQDSTSY SPSPQGHVTI SADRSISTAY LQWSSLKASD TAMVYCARLH 100
YINSEEFWDW GQGTIVTVV ASTRGPSVP LAPCRSSTERE STAALCILVK 150
DIFFEFPVTVS WNGALTSGV HFTPPAVLQSS GLYSLSSTV VPSSSLGTTK 200
YTCVNHDHKPS NTRVDRKRVES KYGPPCPFCP AAPEFLLGPSPV FLFFPKPKDT 250
LM1SRTPEVII CVVVDVQSED PEVQFQNWYD GVEVHNNAKTR FREEQFNSTY 300
RVVSVLTVLH QDWLNGKEYR CKVSNKGLP SIEKTISKAK QGPREFQVYT 350
LPPSVEEMTK NQVSITCLVR YKFPYPSDIA WESENQGPE NNRTTPPVFLS 400
DGSFLLYSLR TVDKSRWQEG NVFSCSVM ALHNHYTQKS LSLSLG 446

Light chain / Chaîne légère / Cadena ligera : anti-F10 (L')

EIVLTQSPGT LSLSLGERAT LSCRAQSWSV SSYLAWSYQK PGQAPRLLIY 50
GQSSRTKRGIP DRFSQSGSGGT DFTLTISRLR PEDFAVYYCQ PGFDGSLQFTF 100
GGGFKLEIKR TAAFPVFIFPDE PSDEQLKRSG TASVCLLNN PYPREAKVQW 150
KVDNAQLSGN SQESVTEQDS KDSTYSLST LTLSRADYEK HKVYACEVTH 200
QGLSSPVTKS FNRECG 216

Post-translational modifications

Disulfide bridges location / Position des ponts disulfure / Posiciones de los puentes disulfuro

Intra-H (C23-C104) 22"-96" 149"-205" 263"-323" 369"-427"

22"-96" 147"-203" 261"-321" 367"-425"

Intra-L (C22-C104) 23"-88" 134"-194"

23"-89" 136"-196"

Inter-H-L (CH1 10-CL 126) 136-214" 134"-216"

Inter-H-H (h 8, h 11) 228-226" 231-229"

N-glycosylation sites / Sites de N-glycosylation / Posiciones de N-glicosilación

H CH2 N84.4: 294", 297"

Fucosylated complex bi-antennary CHO-type glycans / glycanes de type CHO bi-antennaires complexes fucosylés / glicanos de tipo CHO biantenarios complejos fucosilados.

denfavantinib

denfavantinib

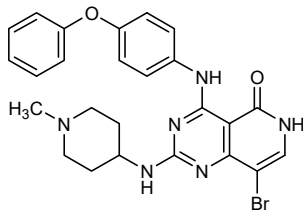
$^{3^8}\text{bromo-1}^1\text{-methyl-6-oxa-2,4-diaza-3(2,4)-pyrido[4,3-d]pyrimidina-1(4)-piperidina-5(1,4),7(1)-dibenzenaheptaphan-3}^5(3^6\text{H})\text{-one}$

denfavantinib

$^{3^8}\text{bromo-1-méthyl-6-oxa-2,4-diaza-3(2,4)-pyrido[4,3-d]pyrimidina-1(4)-piperidina-5(1,4),7(1)-dibenzénahéptaphan-3}^5(3^6\text{H})\text{-one}$

denfavantinib

$^{3^8}\text{bromo-1-metil-6-oxa-2,4-diaza-3(2,4)-pirido[4,3-d]pirimidina-1(4)-piperidina-5(1,4),7(1)-dibencenahéptafan-3}^5(3^6\text{H})\text{-ona}$

**depulfavirinum**

depulfavirine

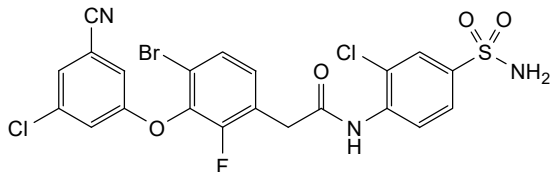
2-[4-bromo-3-(3-chloro-5-cyanophenoxy)-2-fluorophenyl]-N-(2-chloro-4-sulfamoylphenyl)acetamide

dépulfavirine

2-[4-bromo-3-(3-chloro-5-cyanophenoxy)-2-fluorophényle]-N-(2-chloro-4-sulfamoylphényle)acetamide

depulfavirina

2-[4-bromo-3-(3-ciano-5-clorofenoxy)-2-fluorofenil]-N-(2-cloro-4-sulfamoilfenil)acetamida

**devextinetugum #**

devextinetug

immunoglobulin G2-kappa, anti-[(+)-metamphetamine]], chimeric monoclonal antibody; gamma2 heavy chain chimeric (1-443) [VH (*Mus musculus* IGHV1S135*01 (87.6%) -(IGHD) -IGHJ2*01 (92.9%), CDR-IMGT [8.8.10] (26-33.51-58.97-106)) (1-117) -*Homo sapiens*IGHG2*06, G2m.. (CH1 (118-215), hinge 1-12 (216-227), CH2 V45.1 (278) (228-336), CH3 (337-441), CHS (442-443)) (118-443)], (131-215')-disulfide with kappa light chain chimeric (1'-215') [V-KAPPA (*Mus musculus* IGKV4-79*01 (93.8%) -IGKJ4*01 (100%), CDR-IMGT [7.3.9] (27-33.51-53.90-98)) (1'-108') -*Homo sapiens*IGKC*01 (100%), Km3 A45.1 (154), V101(192) (109'-215')]; tetramer (219-219": 220-220": 223-223": 226-226") tetrakisdisulfide, produced in Chinese hamster ovary (CHO) cells, glycoform alfa

dévextinetug

immunoglobuline G2-kappa, anti-[(+)-méthamphétamine]], anticorps monoclonal chimérique;

chaîne lourde gamma2 chimérique (1-443) [VH (*Mus musculus* IGHV1S135*01 (87.6%) -(IGHD) -IGHJ2*01 (92.9%), CDR-IMGT [8.8.10] (26-33.51-58.97-106)) (1-117) -*Homo sapiens* IGHG2*06, G2m.. (CH1 (118-215), charnière 1-12 (216-227), CH2 V45.1 (278) (228-336), CH3 (337-441), CHS (442-443)) (118-443)], (131-215')-disulfure avec la chaîne légère kappa chimérique (1'-215') [V-KAPPA (*Mus musculus* IGKV4-79*01 (93.8%) -IGKJ4*01 (100%), CDR-IMGT [7.3.9] (27-33.51-53.90-98)) (1'-108') -*Homo sapiens* IGKC*01 (100%), Km3 A45.1 (154), V101 (192) (109'-215')]; tétramère (219-219": 220-220": 223-223": 226-226")-tétrakisdisulfure, produit dans des cellules ovariennes de hamster chinois (CHO), glycoforme alfa

devextinetug

inmunoglobulina G2-kappa, anti-[(+)-metanfetamina]], anticuerpo monoclonal químérico; cadena pesada gamma2 químérica (1-443) [VH (*Mus musculus* IGHV1S135*01 (87.6%) -(IGHD) -IGHJ2*01 (92.9%), CDR-IMGT [8.8.10] (26-33.51-58.97-106)) (1-117) -*Homo sapiens* IGHG2*06, G2m.. (CH1 (118-215), bisagra 1-12 (216-227), CH2 V45.1 (278) (228-336), CH3 (337-441), CHS (442-443)) (118-443)], (131-215')-disulfuro con la cadena ligera kappa químérica (1'-215') [V-KAPPA (*Mus musculus* IGKV4-79*01 (93.8%) -IGKJ4*01 (100%), CDR-IMGT [7.3.9] (27-33.51-53.90-98)) (1'-108') -*Homo sapiens* IGKC*01 (100%), Km3 A45.1 (154), V101 (192) (109'-215')]; trámero (219-219": 220-220": 223-223": 226-226")-tetrakisdisulfuro, producido en las células ováricas de hámster chino (CHO), forma glicosilada alfa

Heavy chain / Chaîne lourde / Cadena pesada

EIQLQSGSPE LGKGPGASVKV SCRAQSFSFA DYIYLWVKQG HGKSLELIGY 50
IDPFDFNGDTY NQIKFKGATL TVDKSSSTAF MYLNSLTSED SAVYYCAAFR 100
NPSPFDWGQG TTTLTVSSA ST KGPSPFLAP CSRSTSESTA ALGCLVKDYF 150
PEPVTVSWSNS GALTSGVHTP PAVLQLQSGLY SLSSVVTVPs SNFGTQTYTC 200
NVDHKBSNTHS VDKTKVERKCC VECPPCPAPP VAGPSVFLFP PKPKDTLMIS 250
RTEPEVTCVVV DVSHEDPEVQ FQNWYVDGVEV HNAKTKPREE QFNSTFRVVS 300
VLTVVHQDWL NGKEVKCKVS NKGLPAPIEK TISKTKGQPR EPOVVTLPs 350
REEMTKRNQVS LTCIVKGFYFP SDISVWEWSN QQPENNYKTT PPMLSDGDS 400
FLYSKLTVDR SRWQGQNVFS CSVMEHALHN HYTQKSLSLIS PGK 443

Light chain / Chaîne légère / Cadena ligera

QIVLTIQSPPI MSASPGEKUT LTCSASSSSV SRYLYWYQQK PGSSPKLWIY 50
GTSNLASQVP ARFGSGSGT SFSLTISSME AEDAASYFCH QWSSPFTFG 100
SGTKLEIKRS VAAAPSVFIIFP PSDEQIKSGT ASVVCILNNF YPREAKVQWK 150
GLDNALQSGNS QESTVQECDSK DSTYLSSSLT TLSKADYERKH KVIACEVTHQ 200
GLSSPVTKSE NRGC 215

Post-translational modifications

Disulfide bridges location / Position des ponts disulfure / Posiciones de los puentes disulfuro
Intra-H (C23-C104) 22-96 144-200 257-317 363-421
227-96" 144"-200" 257"-317" 363"-421"
Intra-L (C23-C104) 23-89" 131"-195"
Inter-H-L (CH1 10-CL (26) 131-215" 131"-215"
Inter-H-H (h 4, h 5, h 8, h11) 219-219" 220-220" 223-223" 226-226"

N-terminal glutaminyl cyclization / Cyclisation du glutaminyle N-terminal / Ciclación del glutamínico N-terminal
Q > pyroglutamyl (pE, 5-oxoprolyl) / pyroglutamile (pE, 5-oxoprolyle) / piroglutamilo (pE, 5-oxoprolilo)
L VL Q1: 1, I"

N-glycosylation sites / Sites de N-glycosylation / Posiciones de N-glicosilación
H CH2 N84.4: 293, 293"
Fucosylated complex bi-antennary CHO-type glycans and high mannose forms / glicanos de tipo CHO bi-antennarios complejos fucosilados y formas ricas en manosa / glicanos de tipo CHO biantenarios complejos fucosilados y formas ricas en manosa.

C-terminal lysine clipping / Coupe de la lysine C-terminale / Recorte de lisina C-terminal
H CHS K2: 443, 443"

dimdazenilum

dimdazenil

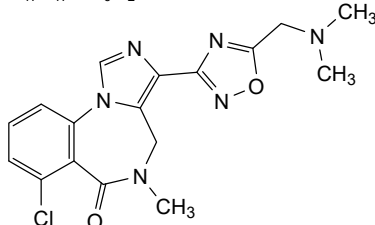
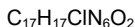
7-chloro-3-{5-[(dimethylamino)methyl]-1,2,4-oxadiazol-3-yl}-5-methyl-4,5-dihydro-6*H*-imidazo[1,5-*a*][1,4]benzodiazepin-6-one

dimdazénil

7-chloro-3-{5-[(diméthylamino)méthyl]-1,2,4-oxadiazol-3-yl}-5-méthyl-4,5-dihydro-6*H*-imidazo[1,5-*a*][1,4]benzodiazépin-6-one

dimdazenil

7-cloro-3-{5-[(dimetilamino)metil]-1,2,4-oxadiazol-3-il}-5-metil-4,5-dihidro-6*H*-imidazo[1,5-*a*][1,4]benzodiazepin-6-ona

**divarasibum**

divarasib

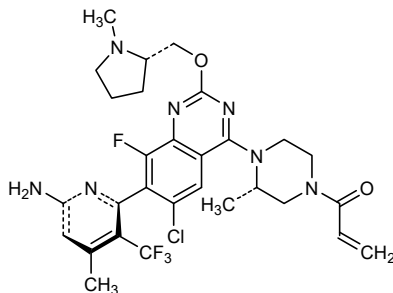
1-{(3*S*)-4-[(7*M*)-7-[6-amino-4-methyl-3-(trifluoromethyl)pyridin-2-yl]-6-chloro-8-fluoro-2-[(2*S*)-1-methylpyrrolidin-2-yl]methoxy}quinazolin-4-yl]-3-methylpiperazin-1-yl}prop-2-en-1-one

divarasib

1-{(3*S*)-4-[(7*M*)-7-[6-amino-4-méthyl-3-(trifluorométhyl)pyridin-2-yl]-6-chloro-8-fluoro-2-[(2*S*)-1-méthylpyrrolidin-2-yl]méthoxy}quinazolin-4-yl]-3-méthyl(pipérazin-1-yl)prop-2-én-1-one

divarasib

1-{(3*S*)-4-[(7*M*)-7-[6-amino-4-metil-3-(trifluorometil)piridin-2-il]-6-cloro-8-fluoro-2-[(2*S*)-1-metilpirrolidin-2-il]metoxi}quinazolin-4-il]-3-metilpiperazin-1-il}prop-2-en-1-ona

**dordavipronum**

dordaviprone

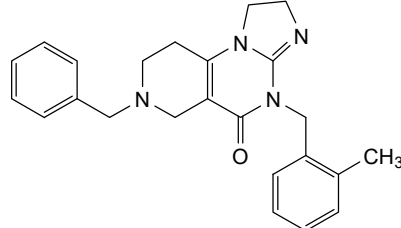
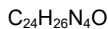
7-benzyl-4-[(2-methylphenyl)methyl]-2,4,6,7,8,9-hexahydroimidazo[1,2-*a*]pyrido[3,4-*e*]pyrimidin-5(1*H*)-one

dordaviprone

7-benzyl-4-[(2-méthylphényl)méthyl]-2,4,6,7,8,9-hexahydroimidazo[1,2-a]pyrido[3,4-e]pyrimidin-5(1H)-one

dordaviprona

7-bencil-4-[(2-metilfenil)metil]-2,4,6,7,8,9-hexahidroimidazo[1,2-a]pirido[3,4-e]pirimidin-5(1H)-ona

**dovramilastum**

dovramilast

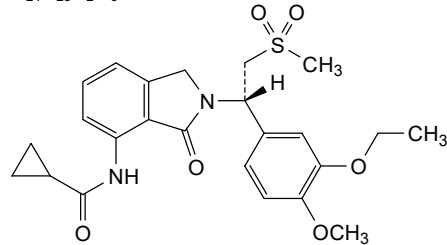
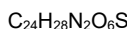
N-{2-[(1*S*)-1-(3-ethoxy-4-methoxyphenyl)-2-(methanesulfonyl)ethyl]-3-oxo-2,3-dihydro-1*H*-isoindol-4-yl}cyclopropanecarboxamide

dovramilast

N-{2-[(1*S*)-1-(3-éthoxy-4-méthoxyphényl)-2-(méthanesulfonyl)éthyl]-3-oxo-2,3-dihydro-1*H*-isoindol-4-yl}cyclopropanecarboxamide

dovramilast

N-{2-[(1*S*)-1-(3-etoxy-4-metoxifenil)-2-(metanosulfoni)etil]-3-oxo-2,3-dihidro-1*H*-isoindol-4-il)ciclopropanocarboxamida

**eciskafuspum alfa #**

eciskafusp alfa

humanized immunoglobulin G1-kappa anti-(human PDCD1 (programmed cell death protein 1, PD-1, CD279)) fused at the C-terminus of one heavy chain (1-449), variant (L237>A, L238>A, P332>G, S357>C, T369>W, C-terminal K⁴⁵⁰ deleted), via the peptide linker ⁴⁵⁰GGGGSGGGGGSGGGGS⁴⁶⁴, to human interleukin 2 (IL2) (465-597), variant (T³>A⁴⁶⁷, F⁴²>A⁵⁰⁶, Y⁴⁵>A⁵⁰⁹, L⁷²>G⁵³⁶, C¹²⁵>A⁵⁸⁹), disulfide bridged to gamma1 heavy chain (1-450), variant (L237>A, L238>A, P332>G, Y352>C, T369>S, L371>A, Y410>V) with each gamma1 chain disulfide bridged to the same kappa light chain, heterodimer, produced in Chinese hamster ovary (CHO) cells, glycoform alfa;

humanized immunoglobulin G1-kappa, anti-[*Homo sapiens* PDCD1 (programmed cell death protein 1, PD-1, PD1, CD279)], fused at the C-terminus of one heavy chain, via a (G₄S)₃ peptide linker with one interleukin 2 mutant chain, glycoform alfa: gamma1 heavy chain (1-449) [VH (*Homo sapiens* IGHV3-23*01 -(IGHD) -IGHJ5*01, CDR-Kabat [5.17.11] (31-35.50-66.99-109)) (1-120) -*Homo sapiens* IGHG1*01 CH1 (121-218), hinge (219-233), CH2 L^{237>A}, L^{238>A}, P^{332>G}, (234-343), CH3 S^{357>C}, T^{369>W} (344-448), CHS K^{450>del} (449)] fused via a (G₄S)₃ peptide linker (450-464) with interleukin 2 (IL2, human), [T^{3>A}⁴⁶⁷, F^{42>A}⁵⁰⁶, Y^{45>A}⁵⁰⁹, L^{72>G}⁵³⁶, C^{125>A}⁵⁸⁹]-mutant (465-597), (223-218')-disulfide with kappa light chain (1'-218') [V-KAPPA (*Homo sapiens* IGKV4-1*01 -IGKJ1*01, CDR-Kabat [15.7.9] (24'-38'.54'-60'.93'-101')) (1'-111') -*Homo sapiens* IGKC*01 (112'-218')], (229-229":232-232", 357-352")-trisdisulfide heterodimer with gamma1 heavy chain (1"-450") [VH (*Homo sapiens* IGHV3-23*01 -(IGHD) -IGHJ5*01, CDR-Kabat [5.17.11] (31"-35".50"-66".99"-109")) (1"-120") -*Homo sapiens* IGHG1*01 CH1 (121"-218"), hinge (219"-233"), CH2 L^{237>A}, L^{238>A}, P^{332>G} (234"-343"), CH3 Y^{352>C}, T^{369>S}, L^{371>A}, Y^{410>V} (344"-448") CHS (449"-450")], (223"-218")-disulfide with kappa light chain (1"--218") [V-KAPPA (*Homo sapiens* IGKV4-1*01 -IGKJ1*01, CDR-Kabat [15.7.9] (24"--38".54"--60"--93"--101")) (1"--111") -*Homo sapiens* IGKC*01 (112"--218")], produced in Chinese hamster ovary (CHO) cells, glycoform alfa

éciskafusp alfa

immunoglobuline G1-kappa humanisée anti-(PDCD1 humaine (protéine de mort cellulaire programmée 1, PD-1, CD279)) fusionnée à l'extrémité C-terminale d'une chaîne lourde (1-449), variante (L237>A, L238>A, P332>G, S357>C, T369>W, K⁴⁵⁰ C-terminal supprimé), via la liaison peptidique ⁴⁵⁰GGGGSGGGGGSGGGGS⁴⁶⁴, à l'interleukine 2 (IL2) humaine (465-597), variante (T^{3>A}⁴⁶⁷, F^{42>A}⁵⁰⁶, Y^{45>A}⁵⁰⁹, L^{72>G}⁵³⁶, C^{125>A}⁵⁸⁹), pont disulfure attaché à la chaîne lourde gamma1 (1-450), variant (L237">A, L238">A, P332">G, Y352">C, T369">S, L371">A, Y410">V) avec chaque chaîne gamma1 attachée par un pont disulfure à la même chaîne légère kappa, hétérodimère, produit dans des cellules ovarianes de hamster chinois (CHO), glycoforme alfa; immunoglobuline G1-kappa humanisée, anti-[*Homo sapiens* PDCD1 (protéine de mort cellulaire programmée 1, PD-1, PD1, CD279)], fusionnée à l'extrémité C-terminale d'une chaîne lourde, via la liaison peptidique (G₄S)₃, avec une chaîne mutante d'interleukine 2, glycoforme alfa: chaîne lourde gamma1 (1-449) [VH (*Homo sapiens* IGHV3-23*01 -(IGHD) -IGHJ5*01, CDR-Kabat [5.17.11] (31-35.50-66.99-109)) (1-120) -*Homo sapiens* IGHG1*01 CH1 (121-218), charnière (219-233), CH2 L^{237>A}, L^{238>A}, P^{332>G}, (234-343), CH3 S^{357>C}, T^{369>W} (344-448), CHS K^{450>del} (449)] fusionnée via la liaison peptidique (G₄S)₃ (450-464) avec l'interleukine 2 (IL2, humaine), [T^{3>A}⁴⁶⁷, F^{42>A}⁵⁰⁶, Y^{45>A}⁵⁰⁹, L^{72>G}⁵³⁶, C^{125>A}⁵⁸⁹]-mutant (465-597), (223-218')-disulfure avec la chaîne légère kappa (1'-218') [V-KAPPA (*Homo sapiens* IGKV4-1*01 -IGKJ1*01, CDR-Kabat [15.7.9] (24'-38'.54'-60'.93'-101')) (1'-111') -*Homo sapiens* IGKC*01 (112'-218")], hétérodimère (229-229":232-232", 357-352")-trisdisulfure

avec la chaîne lourde gamma1 (1"-450") [VH (*Homo sapiens* IGHV3-23*01 -(IGHD) -IGHJ5*01, CDR-Kabat [5.17.11] (31"-35".50"-66".99"-109")) (1"-120") -*Homo sapiens* IGHG1*01 CH1 (121"-218"), charnière (219"-233"), CH2 L²³⁷>A, L²³⁸>A, P³³²>G (234"-343"), CH3 Y³⁵²>C, T³⁶⁹>S, L³⁷¹>A, Y⁴¹⁰>V (344"-448") CHS (449"-450")]. (223"-218")-disulfure avec chaîne légère kappa (1"-218") [V-KAPPA (*Homo sapiens* IGKV4-1*01 -IGKJ1*01, CDR-Kabat [15.7.9] (24"-38".54"-60".93"-101")) (1"-111") -*Homo sapiens* IGKC*01 (112"-218")], produit dans des cellules ovariennes de hamsters chinois (CHO), glycoforme alfa

eciskafusp alfa

inmunoglobulina G1-kappa humanizada anti-(PDCD1 humano (proteína 1 de muerte celular programada, PD-1, CD279)) fusionada en el C-terminal de una cadena pesada (1-449), variante (L237>A, L238>A, P332>G, S357>C, T369>W, C-terminal K⁴⁵⁰ eliminada), a través de un enlace peptídico ⁴⁵⁰GGGGSGGGGGSGGGGS⁴⁶⁴, a la interleukina 2 humana (IL2) (465-597), variante (T³>A⁴⁶⁷, F⁴²>A⁵⁰⁶, Y⁴⁵>A⁵⁰⁹, L⁷²>G⁵³⁶, C¹²⁵>A⁵⁸⁹), disulfuro unido a la cadena pesada gamma1 (1-450), variante (L237>A, L238>A, P332>G, Y352>C, T369>S, L371>A, Y410>V) con cada cadena gamma1 disulfuro unida a la misma cadena ligera kappa, heterodímero, producida en células ováricas de hámster Chino (CHO), glicoforma alfa; inmunoglobulina G1-kappa humanizada, anti-[*Homo sapiens* PDCD1 (proteína de muerte celular programada 1, PD-1, PD1, CD279)], fusionada en el extremo C-terminal de una cadena pesada, a través de un enlace peptídico (G₄S)₃ con una cadena mutante de interleukina 2, glicoforma alfa: cadena pesada gamma1 (1-449) [VH (*Homo sapiens* IGHV3-23*01 -(IGHD) -IGHJ5*01, CDR-Kabat [5.17.11] (31-35.50-66.99-109)) (1-120") -*Homo sapiens* IGHG1*01 CH1 (121-218), bisagra (219-233), CH2 L²³⁷>A, L²³⁸>A, P³³²>G, (234-343), CH3 S³⁵⁷>C, T³⁶⁹>W (344-448), CHS K⁴⁵⁰>del (449)] fusionada mediante un enlace peptídico (G₄S)₃ (450-464) con interleukina 2 (IL2, humana), [T³>A⁴⁶⁷, F⁴²>A⁵⁰⁶, Y⁴⁵>A⁵⁰⁹, L⁷²>G⁵³⁶, C¹²⁵>A⁵⁸⁹]-mutante (465-597), (223-218')-disulfuro con cadena ligera kappa (1"-218") [V-KAPPA (*Homo sapiens* IGKV4-1*01 -IGKJ1*01, CDR-Kabat [15.7.9] (24"-38".54"-60".93"-101')) (1"-111") -*Homo sapiens* IGKC*01 (112"-218")], heterodímero (229-229":232-232", 357-352")-trisdisulfuro con cadena pesada gamma1 (1"-450") [VH (*Homo sapiens* IGHV3-23*01 -(IGHD) -IGHJ5*01, CDR-Kabat [5.17.11] (31"-35".50"-66".99"-109")) (1"-120") -*Homo sapiens* IGHG1*01 CH1 (121"-218"), bisagra (219"-233"), CH2 L²³⁷>A, L²³⁸>A, P³³²>G (234"-343"), CH3 Y³⁵²>C, T³⁶⁹>S, L³⁷¹>A, Y⁴¹⁰>V (344"-448") CHS (449"-450")], (223"-218")-disulfuro con cadena ligera kappa (1"-218") [V-KAPPA (*Homo sapiens* IGKV4-1*01 -IGKJ1*01, CDR-Kabat [15.7.9] (24"-38".54"-60".93"-101")) (1"-111") -*Homo sapiens* IGKC*01 (112"-218")], producido en las células ováricas de hámster Chino (CHO), glicoforma alfa

Heavy chains / Chaines lourdes / Cadenas pesadas

H: IgG1-yL2

EVQLLESGGG LVQPGGSLRL SCAASGFSFS SYTMSWVRQA PGKGLEWVAT 50
 ISGGGRDIYY PDVKGRFTI SRDNNSKNTLY LQMNSLRAED TAVYCVCLIT 100
 GRVYFALDSW GGGTLVTVSS ASTKGPSVP LAPSSKSTSG GTAALGCLVK 150
 DYFFPEPVTVS WNSGALTSGV HTFPFAVLQS GLYSLSVVTT VPSSSLGTQT 200
 YICNVNHHKPS NTKVDAKKVEP KSCDKTHTCP PCPAPE~~AAGG~~ PSVFLFPKP 250
 KDTLMISRTP EVTCVVVVDVS HEDPEVKFNW YVDGVEVHNA KTKPREEQYN 300
 STYRVVSVLT VLHQDWLNGK EYKCKVSNKA LG~~A~~PIEKTIIS KAKGQPREPQ 350
 VYTLPPCRD~~E~~ LTQNQVSLW~~C~~ LVKGFYPSDI AVEWESNGQ~~E~~ ENNYKTTTPV 400
 LDSDGFFFFLY SKLTVDKSRW QQGNVFCSCV MHEALHNHYT QKSLSSLSPG~~G~~ 450
GGGSGGGGSG GGGSA~~PASSS~~ TKTQLQLEH LLLDLQMLN GINNYKNPKL 500
 TRMLTAKEAM PRKATELKHL QCLEEELKPL EEVNLGAQSK NFHLRPRDLI 550
 SNINVIVLE~~K~~ KGSETTFMCE YADETATIVE FLNRWIT~~AQ~~ SIISTLT 597

H": IgG1y

EVQLLESGGG LVQPGGSLRL SCAASGFSFS SYTMSWVRQA PGKGLEWVAT 50
 ISGGGRDIYY PDVKGRFTI SRDNNSKNTLY LQMNSLRAED TAVYCVCLIT 100
 GRVYFALDSW GGGTLVTVSS ASTKGPSVP LAPSSKSTSG GTAALGCLVK 150
 DYFFPEPVTVS WNSGALTSGV HTFPFAVLQS GLYSLSVVTT VPSSSLGTQT 200
 YICNVNHHKPS NTKVDAKKVEP KSCDKTHTCP PCPAPE~~AAGG~~ PSVFLFPKP 250
 KDTLMISRTP EVTCVVVVDVS HEDPEVKFNW YVDGVEVHNA KTKPREEQYN 300
 STYRVVSVLT VLHQDWLNGK EYKCKVSNKA LG~~A~~PIEKTIIS KAKGQPREPQ 350
 VCTLP~~PSR~~D~~E~~ LTQNQVSLC~~W~~ AVKGFYPSDI AVEWESNGQ~~E~~ ENNYKTTTPV 400
 LDSDGFFFFLY SKLTVDKSRW QQGNVFCSCV MHEALHNHYT QKSLSSLSPG~~G~~ 450

Light chains / Chaines légères / Cadenas ligerae: L', L"

DIVMTQSPDS LASVSLGERAT INCKASESVD TDNSNSFIHWY QQKPGQSPKL 50
 LIYRSSTLES GVPDRFGSG SGTDFTL~~T~~ ISLQAEDVAVY YCQQNYDWPV 100
 TFGQQGKVEI KRTVAAPSVF IFPPSDEQLK SGTASV~~V~~LL NNFXPYREAKV 150
 QWKVNDALQS GNSQEVS~~TE~~Q DSKDSTY~~S~~ STLTL~~S~~KADY EKHKVYACEV 200
 THQGLSSP~~V~~ KSFNRGEC 218

Mutation / Mutation / Mutación

H1:²³⁷~~A~~, L²³⁸~~A~~, P³³²~~G~~, S³⁵⁷~~C~~, T³⁶⁹~~W~~, K⁴⁵⁰~~del~~H2: T³~~A~~, F⁴²~~A~~, Y⁴⁵~~A~~, S⁵⁰⁹~~C~~, T⁵²²~~G~~, S⁵³⁶~~A~~, C¹²⁵~~A~~,⁵⁸⁹H": L²³⁷~~A~~, L²³⁸~~A~~, p³³²~~G~~, y³⁵²~~C~~, T³⁶⁹~~W~~, L³⁷¹~~A~~, Y⁴¹⁰~~V~~

Peptide linker / Peptide liant / Peptido de unión

450-464 **GGGSGGGGSGGGGS**

Post-translational modifications

Disulfide bridges location / Position des ponts disulfure / Posiciones de los puentes disulfuro

Intra-H 22-96 147-203 264-324 370-428

22"-96" 147"-203" 264"-324" 370"-428"

Intra-IL2 522-569

Intra-L 23°-92° 138°-198°

23""-92"" 138""-198""

Inter-H-L 223-218° 223°-218"

Inter-H-H 229-229° 232-232° 357-352"

N-glycosylation sites / Sites de N-glycosylation / Posiciones de N-glicosilación

H CH2 N84.4; N300, N300"

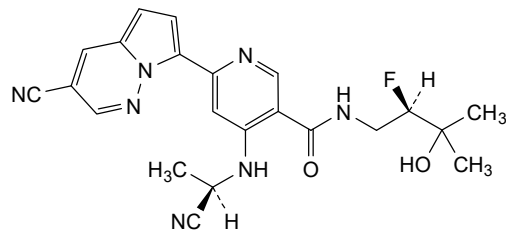
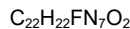
C-terminal lysine clipping / Coupe de la lysine C-terminale / Recorte de lisina C-terminal

H CHS K2: K450"

edecesertibum

edecesertib

4-{[(1*R*)-1-cyanoethyl]amino}-6-(3-cyanopyrrolo[1,2-*b*]pyridazin-7-yl)-*N*-[(2*R*)-2-fluoro-3-hydroxy-3-methylbutyl]pyridine-3-carboxamide**édecésertib**4-{[(1*R*)-1-cyanoéthyl]amino}-6-(3-cyanopyrrolo[1,2-*b*]pyridazin-7-yl)-*N*-[(2*R*)-2-fluoro-3-hydroxy-3-méthylbutyl]pyridine-3-carboxamide**edecesertib**4-{[(1*R*)-1-cianoetil]amino}-6-(3-cianopirrolo[1,2-*b*]piridazin-7-il)-*N*-[(2*R*)-2-fluoro-3-hidroxi-3-metilbutil]piridina-3-carboxamida


eglatoprugum #

eglatoprutug

immunoglobulin G1-kappa, anti-[*Homo sapiens* KIT (KIT proto-oncogene receptor tyrosine kinase, c-kit, SCFR, CD117)], humanized monoclonal antibody; gamma1 heavy chain humanized (1-446) [VH (*Homo sapiens* IGHV1-46*01 (87.8%) -(IGHD) -IGHJ6*01 (90.9%), CDR-IMGT [8.8.10] (26-33.51-58.97-106)) (1-117) -*Homo sapiens* IGHG1*01, G1m17,1 (CH1 K120 (214) (118-215), hinge 1-15 (216-230), CH2 (231-340), CH3 D12 (356), L14 (358) (341-445), CHS K2>del (446)) (118-446)], (220-218')-disulfide with kappa light chain humanized (1'-218') [V-KAPPA (*Homo sapiens* IGKV2-28*01 (80.0%) -IGKJ4*01 (100%), CDR-IMGT [10.3.9] (27-36.54-56.93-101)) (1'-111') -*Homo sapiens* IGKC*01 (100%), Km3 A45.1 (157), V101 (195) (112'-218')]; dimer (226-226": 229-229")-bisdisulfide, produced in Chinese hamster ovary (CHO) cells, cell line CHO-K1 lacking the glutamine synthetase (GS-KO) gene, glycoform alfa

églatoprutug

immunoglobuline G1-kappa, anti-[*Homo sapiens* KIT (KIT proto-oncogène récepteur tyrosine kinase, c-Kit, SCFR, CD117)], anticorps monoclonal humanisé; chaîne lourde gamma1 humanisée (1-446) [VH (*Homo sapiens* IGHV1-46*01 (87.8%) -(IGHD) -IGHJ6*01 (90.9%), CDR-IMGT [8.8.10] (26-33.51-58.97-106)) (1-117) -*Homo sapiens* IGHG1*01, G1m17,1 (CH1 K120 (214) (118-215), charnière 1-15 (216-230), CH2 (231-340), CH3 D12 (356), L14 (358) (341-445), CHS K2>del (446)) (118-446)], (220-218')-disulfure avec la chaîne légère kappa humanisée (1'-218') [V-KAPPA (*Homo sapiens* IGKV2-28*01 (80.0%) -IGKJ4*01 (100%), CDR-IMGT [10.3.9] (27-36.54-56.93-101)) (1'-111') -*Homo sapiens* IGKC*01 (100%), Km3 A45.1 (157), V101(195) (112'-218')]; dimère (226-226": 229-229")-bisdisulfure, produit dans des cellules ovariennes de hamster chinois (CHO), lignée cellulaire CHO-K1 ne présentant pas le gène de la glutamine synthétase (GS-KO), glycoforme alfa

eglatoprutug

inmunoglobulina G1-kappa, anti-[*Homo sapiens* KIT (KIT proto-oncogén receptor tirosina kinasa, c-Kit, SCFR, CD117)], anticuerpo monoclonal humanizado; cadena pesada gamma1 humanizada (1-446) [VH (*Homo sapiens* IGHV1-46*01 (87.8%) -(IGHD) -IGHJ6*01 (90.9%), CDR-IMGT [8.8.10] (26-33.51-58.97-106)) (1-117) -*Homo sapiens* IGHG1*01, G1m17,1 (CH1 K120 (214) (118-215), bisagra 1-15 (216-230), CH2 (231-340), CH3 D12 (356), L14 (358) (341-445), CHS K2>del (446)) (118-446)], (220-218')-disulfuro con la cadena ligera kappa humanizada (1'-218') [V-KAPPA (*Homo sapiens* IGKV2-28*01 (80.0%) -IGKJ4*01 (100%), CDR-IMGT [10.3.9] (27-36.54-56.93-101)) (1'-111') -*Homo sapiens* IGKC*01 (100%), Km3 A45.1 (157), V101 (195) (112'-218')]; dímero (226-226": 229-229")-bisdisulfuro

Heavy chain / Chaîne lourde / Cadena pesada

```

QVQLVQSGAE VKKPGASVKV SKKASGYFFT SYNMHHWVRQA PGQGLEWMGV 50
IYSGNGDTSY AQQFKGRVII TADKSTSTAY MELSLRSED TAVYYCARER 100
DTRFGNWQG TIIVTVSSAST KGPSVPPLAP SSKSTSGCTA ALCLCIVKYDF 150
PEPVTVSWSNS GALTSCVHPTF PAVLQSSCLY SLSKVWVVPB SSLCTQTYIC 200
NUVHXPNTK VDKKVKPEKSC DKHTKTHCPCL APPELLGGPSV FLFPKPKD 250
LMISRTEPVI CVVUDVSHED PEVKFNWYVD GVEVHNNAKTK FREEQYINSTY 300
RVVSVLTLR QDWLNGKEYK CKVSNKALPA FIEKTISAKA GQPREFQVYT 350
LPFSRDELTH NQVSLLTCLVK GFYFPSKDIAVE WESNGQFENN YKTTTPVFLDS 400
DGSGFLYSKLE TVDKSRWQOG NFVSCSVVMHE ALHNHYTQKS LSLSPG 466

```

Light chain / Chaîne légère / Cadena ligera

```

D1VMIQSPPLS LPVTPGEPAVS ISCRASESVD ITYGQSFHMHWY LQKPGQSPQL 50
LIYLASNLSE GVPDFRGSG SGTDFTLKIS RVEAEVDGVY YCQQNNEFDY 100
TFFGGTKVEI KRTVAAPSVF IFFPSDEQLK SGATASVVCLL NNFYPREAKV 150
QWKVNDAALQEQ GNSQEVSTEQ DSKDSTYSLK STTLSKADY EHKHVYACEV 200
THQQGLSSPVT KSFNRGEC 218

```

Post-translational modifications

Disulfide bridges location / Position des ponts disulfure / Posiciones de los puentes disulfuro

Intra-H (C23-C104)	22-96	144-200	261-321	367-425
	22"-96"	144"-200"	261"-321"	367"-425"
Intra-L (C23-C104)	23-92	138"-198"		
	23"-92"	138"-198"		
Inter-H-L (h 5-CL 126)	220-218"	220"-218"		
Inter-H-H (h 11, h 14)	226-226"	229-229"		

N-terminal glutaminyl cyclization / Cyclisation du glutaminyle N-terminal / Ciclación del glutaminilo N-terminal
 $\text{Q} \rightarrow$ pyroglutamyl (pE, 5-oxoprolyl) / pyroglutamyle (pE, 5-oxoprolyle) / piroglutamilo (pE, 5-oxoprolilo)
H VH Q1: 1, 1"

N-glycosylation sites / Sites de N-glycosylation / Posiciones de N-glicosilación
H CH2 N84: 297, 297"
Fucosylated complex bi-antennary CHO-type glycans / glycanes de tipo CHO bi-antennaires complejos fucosylés / glicanos de tipo CHÓ biantenares complejos fucosilados.

eldocasiranum eldocasiran

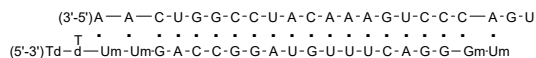
micro-ribonucleic acid miRNA-193a-3p (mature, 22 bases, miRBase: MIMAT0000459), duplex with an artificial modified passenger strand (22 bases) matching with all nucleotides of a sequence of 20 bases;
adenylyl-(3'→5')-adenylyl-(3'→5')-cytidylyl-(3'→5')-uridylyl-(3'→5')-guanylyl-(3'→5')-guanylyl-(3'→5')-cytidylyl-(3'→5')-uridylyl-(3'→5')-adenylyl-(3'→5')-cytidylyl-(3'→5')-adenylyl-(3'→5')-uridylyl-(3'→5')-adenylyl-(3'→5')-adenylyl-(3'→5')-cytidylyl-(3'→5')-guanylyl-(3'→5')-uridylyl-(3'→5')-cytidylyl-(3'→5')-uridylyl-(3'→5')-adenylyl-(3'→5')-guanylyl-(3'→5')-uridine, duplex with thymidylyl-(5'→3')-thymidylyl-(5'→3')-2'-O-methyluridylyl-(5'→3')-2'-O-methyluridylyl-(5'→3')-guanylyl-(5'→3')-adenylyl-(5'→3')-cytidylyl-(5'→3')-cytidylyl-(5'→3')-guanylyl-(5'→3')-guanylyl-(5'→3')-adenylyl-(5'→3')-uridylyl-(5'→3')-uridylyl-(5'→3')-cytidylyl-(5'→3')-adenylyl-(5'→3')-guanylyl-(5'→3')-guanylyl-(5'→3')-2'-O-methylguanylyl-(5'→3')-2'-O-methyluridine

eldocasiran

acide micro-ribonucléique miARN-193a-3p (mature, 22 bases, miRBase: MIMAT0000459), duplex avec un brin passager modifié artificiel (22 bases) correspondant à tous les nucléotides d'une séquence de 20 bases;
adénylyl-(3'→5')-adénylyl-(3'→5')-cytidylyl-(3'→5')-uridylyl-(3'→5')-guanylyl-(3'→5')-guanylyl-(3'→5')-cytidylyl-(3'→5')-uridylyl-(3'→5')-adénylyl-(3'→5')-cytidylyl-(3'→5')-adénylyl-(3'→5')-adénylyl-(3'→5')-adénylyl-(3'→5')-guanylyl-(3'→5')-uridylyl-(3'→5')-cytidylyl-(3'→5')-uridylyl-(3'→5')-adénylyl-(3'→5')-guanylyl-(3'→5')-uridine, duplex avec thymidylyl-(5'→3')-thymidylyl-(5'→3')-2'-O-méthyluridylyl-(5'→3')-2'-O-méthyluridylyl-(5'→3')-guanylyl-(5'→3')-adénylyl-(5'→3')-cytidylyl-(5'→3')-cytidylyl-(5'→3')-guanylyl-(5'→3')-uridylyl-(5'→3')-guanylyl-(5'→3')-adénylyl-(5'→3')-uridylyl-(5'→3')-uridylyl-(5'→3')-cytidylyl-(5'→3')-adénylyl-(5'→3')-guanylyl-(5'→3')-guanylyl-(5'→3')-2'-O-méthylguanylyl-(5'→3')-2'-O-méthyluridine

eldocasirán

ácido micro-ribonucleico miARN-193a-3p (maduro, 22 bases, miRBase: MIMAT0000459), dúplex con una cadena pasajera artificial modificada (22 bases) que se empareja con todos los nucleótidos de una secuencia de 20 bases; adenilil-(3'→5')-adenilil-(3'→5')-citidilil-(3'→5')-uridilil-(3'→5')-guanilil-(3'→5')-guanilil-(3'→5')-citidilil-(3'→5')-uridilil-(3'→5')-adenilil-(3'→5')-citidilil-(3'→5')-adenilil-(3'→5')-adenilil-(3'→5')-guanilil-(3'→5')-uridilil-(3'→5')-adenilil-(3'→5')-guanilil-(3'→5')-adenilil-(3'→5')-guanilil-(3'→5')-uridilil-(3'→5')-timidilil-(5'→3')-timidilil-(5'→3')-2'-O-metiluridilil-(5'→3')-2'-O-metiluridilil-(5'→3')-guanilil-(5'→3')-adenilil-(5'→3')-citidilil-(5'→3')-guanilil-(5'→3')-guanilil-(5'→3')-adenilil-(5'→3')-uridilil-(5'→3')-guanilil-(5'→3')-uridilil-(5'→3')-uridilil-(5'→3')-adenilil-(5'→3')-guanilil-(5'→3')-guanilil-(5'→3')-2'-O-metilguanilil-(5'→3')-2'-O-metiluridina



N : nucleoside / nucléoside / nucleósido
 dN : 2'-deoxy-N / 2'-désoxy-N / 2'-desoxi-N
 Nm : 2'-O-methyl-N / 2'-O-méthyl-N / 2'-O-metil-N

elebsiranum**elebsiran**

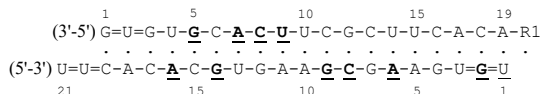
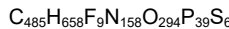
all-P-ambo-2'-O-methyl-P-thioguananyl-(3'→5')-2'-O-methyl-P-thiouridylyl-(3'→5')-2'-O-methylguanylyl-(3'→5')-2'-O-methyluridyl-(3'→5')-2'-deoxy-2'-fluoroguananyl-(3'→5')-2'-O-methylcytidyl-(3'→5')-2'-deoxy-2'-fluoroadenyl-(3'→5')-2'-deoxy-2'-fluorocytidyl-(3'→5')-2'-deoxy-2'-fluorouridyl-(3'→5')-2'-O-methyluridyl-(3'→5')-2'-O-methylcytidyl-(3'→5')-2'-O-methyluridyl-(3'→5')-2'-O-methylcytidyl-(3'→5')-2'-O-methyladenyl-(3'→5')-2'-O-methylcytidyl-(3'→5')-[(2S,4R)-1-{[2-acetamido-2-deoxy-β-D-galactopyranosyl]oxy}-16,16-bis{[3-[3-{[(2-acetamido-2-deoxy-β-D-galactopyranosyl)oxy]pentanamido}propyl]amino}-3-oxopropoxy]methyl]-5,11,18-trioxa-14-oxa-6,10,17-triazanonacosan-29-oyl]-4-hydroxypyrrolidin-2-yl]methyl hydrogen 2'-O-methyl-3'-adenylate, duplex with *all-P-ambo-2'-O-methyl-P-thiouridylyl-(5'→3')-2'-O-methyl-P-thiouridylyl-(5'→3')-2'-O-methylcytidyl-(5'→3')-2'-O-methyladenyl-(5'→3')-2'-O-methylcytidyl-(5'→3')-2'-deoxy-2'-fluoroadenyl-(5'→3')-2'-O-methylcytidyl-(5'→3')-2'-deoxy-2'-fluoroguananyl-(5'→3')-2'-O-methyluridyl-(5'→3')-2'-O-methylguanylyl-(5'→3')-2'-O-methyladenyl-(5'→3')-2'-O-methyladenyl-(5'→3')-2'-deoxy-2'-fluorocytidyl-(5'→3')-2'-O-methylguanylyl-(5'→3')-2'-deoxy-2'-fluoropyrophosphoryl-[(2S)-3-(6-amino-9H-purin-9-yl)-2-hydroxypropoxy]hydroxyporphoryl-(1'→3')-2'-O-methyladenyl-(5'→3')-2'-O-methyl-P-thiouridylyl-(5'→3')-2'-O-methylguanylyl-(5'→3')-2'-deoxy-2'-fluoro-P-thioguananyl-(5'→3')-2'-O-methyluridine***

élebsiran

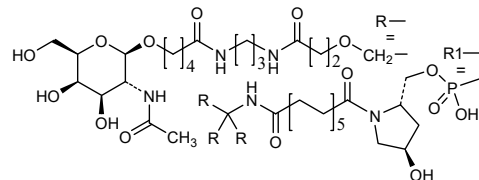
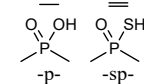
*tout-P-ambo-2'-O-méthyl-P-thioguanilyl-(3'→5')-2'-O-méthyl-P-thiouridyllyl-(3'→5')-2'-O-méthylguanillyl-(3'→5')-2'-O-méthyluridyllyl-(3'→5')-2'-désoxy-2'-fluoroguanillyl-(3'→5')-2'-O-méthylcytidyllyl-(3'→5')-2'-désoxy-2'-fluoroadénillyl-(3'→5')-2'-désoxy-2'-fluorouridyllyl-(3'→5')-2'-O-méthyluridyllyl-(3'→5')-2'-O-méthylcytidyllyl-(3'→5')-2'-O-méthylguanillyl-(3'→5')-2'-O-méthylcytidyllyl-(3'→5')-2'-O-méthyluridyllyl-(3'→5')-2'-O-méthyluridyllyl-(3'→5')-2'-O-méthylcytidyllyl-(3'→5')-2'-O-méthylcytidyllyl-(3'→5')-hydrogénô-2'-O-méthyl-3'-adénylate de [(2S,4R)-1-{1-[(2-acétamido-2-désoxy- β -D-galactopyranosyl)oxy]-16,16-bis({3-[{3-[5-[(2-acétamido-2-désoxy- β -D-galactopyranosyl)oxy]pentanamido}propyl]amino}-3-oxopropoxy)méthyl}-5,11,18-trioxo-14-oxa-6,10,17-triazanonacosan-29-oyl}-4-hydroxypyrrrolidin-2-yl]méthyle, duplex avec *tout-P-ambo-2'-O-méthyl-P-thiouridyllyl-(5'→3')-2'-O-méthyl-P-thiouridyllyl-(5'→3')-2'-O-méthylcytidyllyl-(5'→3')-2'-O-méthyladénillyl-(5'→3')-2'-O-méthylcytidyllyl-(5'→3')-2'-désoxy-2'-fluoroadénillyl-(5'→3')-2'-O-méthylcytidyllyl-(5'→3')-2'-désoxy-2'-fluoroguanillyl-(5'→3')-2'-O-méthyluridyllyl-(5'→3')-2'-O-méthylguanillyl-(5'→3')-2'-O-méthyladénillyl-(5'→3')-2'-désoxy-2'-fluoroguanillyl-(5'→3')-2'-désoxy-2'-fluorocytidyllyl-(5'→3')-2'-O-méthylguanillyl-(5'→3')-2'-O-méthyluridyllyl-(5'→3')-2'-O-méthyladénillyl-(5'→3')-2'-désoxy-2'-fluorocytidyllyl-(5'→3')-2'-O-méthylguanillyl-(5'→3')-2'-O-méthyluridyllyl-(5'→3')-2'-O-méthyl-P-thiouridyllyl-(5'→3')-2'-désoxy-2'-fluoro-P-thioguanillyl-(5'→3')-2'-O-méthyluridine**

elebsirán

*todo-P-ambo-2'-O-metil-P-tioguanilil-(3'→5')-2'-O-metil-P-tiouridilil-(3'→5')-2'-O-metilguanilil-(3'→5')-2'-O-metiluridilil-(3'→5')-2'-desoxi-2'-fluoroguanilil-(3'→5')-2'-O-metilcitidilil-(3'→5')-2'-desoxi-2'-fluorocitidilil-(3'→5')-2'-desoxi-2'-fluorouridilil-(3'→5')-2'-O-metiluridilil-(3'→5')-2'-O-metilguanilil-(3'→5')-2'-O-metiluridilil-(3'→5')-2'-O-metiluridilil-(3'→5')-2'-O-metilcitidilil-(3'→5')-2'-O-metilguanilil-(3'→5')-2'-O-metiluridilil-(3'→5')-2'-O-metiluridilil-(3'→5')-2'-O-metiladenilil-(3'→5')-2'-O-metilcitidilil-(3'→5')-2'-O-metilcitidilil-(3'→5')-hidrógeno-2'-O-metil-3'-adenilato de [(2S,4R)-1-{1-[(2-acetamido-2-desoxi- β -D-galactopiranosil)oxi]-16,16-bis({3-[{3-[5-[(2-acetamido-2-desoxi- β -D-galactopiranosil)oxi]pentanamido}propil]amino}-3-oxopropoxi)métil}-5,11,18-trioxo-14-oxa-6,10,17-triazanonacosan-29-oil}-4-hidroxipirrolidin-2-il]métilo, dúplex con *todo-P-ambo-2'-O-metil-P-tiouridilil-(5'→3')-2'-O-metil-P-tiouridilil-(5'→3')-2'-O-metilcytidilil-(5'→3')-2'-O-metiladenilil-(5'→3')-2'-O-metilcitidilil-(5'→3')-2'-desoxi-2'-fluoroadenilil-(5'→3')-2'-O-metilcitidilil-(5'→3')-2'-desoxi-2'-fluoroguanilil-(5'→3')-2'-O-metiluridilil-(5'→3')-2'-O-metilguanilil-(5'→3')-2'-O-metiladenilil-(5'→3')-2'-desoxi-2'-fluorocitidilil-(5'→3')-2'-O-metilguanilil-(5'→3')-2'-O-metiladenilil-(5'→3')-2'-desoxi-2'-fluoroguanilil-(5'→3')-2'-O-metiluridilil-(5'→3')-2'-O-metilguanilil-(5'→3')-2'-O-metiladenilil-(5'→3')-2'-desoxi-2'-fluorocytidilil-(5'→3')-2'-O-metilguanilil-(5'→3')-2'-O-metiluridilil-(5'→3')-2'-O-metil-P-tiouridilil-(5'→3')-2'-desoxi-2'-fluoro-P-thioguanilil-(5'→3')-2'-O-metiluridina**

Legend

$\underline{\text{X}}$: 2'-deoxy-2'-fluoronucleotide
 X : 2'-O-methylnucleotide

**empasiprubartum #**

empasiprubart

immunoglobulin G1-kappa, anti-[*Homo sapiens* C2 (complement 2)], humanized monoclonal antibody; gamma1 heavy chain humanized (1-447) [VH humanized (*Homo sapiens*IGHV1-8*01 (82.7%) -(IGHD) -IGHJ4*01 (92.9%), CDR-IMGT [8.8.11] (26-33.51-58.97-107))(1-118) -*Homo sapiens*IGHG1*01, G1m17,1, G1v14 CH2 A1.3, A1.2, G1v46 CH3 K113, F114 (CH1 K120 (215)(119-216), hinge 1-15 (217-231), CH2 L1.3>A (235), L1.2>A (236) (232-341), CH3 D12 (357), L14 (359), H113>K (434), N114>F (435) (342-446), CHS K2>del (447)) (119-447)], (221-218")-disulfide with kappa light chain humanized (1'-218') [V-KAPPA (*Homo sapiens*IGKV4-1*01 (74.3%) -IGKJ2*01 (100%), CDR-IMGT[10.3.9] (27-36.54-56.93-101))(1'-111') -*Homo sapiens*IGKC*01 (100%), Km3, A45.1 (157), V101 (195) (112'-218")]; dimer (227-227":230-230")-bisdisulfide, produced in Chinese hamster ovary (CHO) cells, cell line CHO-K1SV lacking the glutamine synthetase (GS-KO) gene, glycoform alfa

empasiprubart

immunoglobuline G1-kappa, anti-[*Homo sapiens* C2 (complément 2)], anticorps monoclonal humanisé; chaîne lourde gamma1 humanisée (1-447) [VH humanisé (*Homo sapiens*IGHV1-8*01 (82.7%) -(IGHD) -IGHJ4*01 (92.9%), CDR-IMGT [8.8.11] (26-33.51-58.97-107))(1-118) -*Homo sapiens*IGHG1*01, G1m17,1, G1v14 CH2 A1.3, A1.2, G1v46 CH3 K113, F114 (CH1 K120 (215) (119-216), charnière 1-15 (217-231), CH2 L1.3>A (235), L1.2>A (236) (232-341), CH3 D12 (357), L14 (359), H113>K (434), N114>F (435) (342-446), CHS K2>del (447)) (119-447)], (221-218")-disulfure avec la chaîne légère kappa humanisée (1'-218') [V-KAPPA (*Homo sapiens*IGKV4-1*01 (74.3%) -IGKJ2*01 (100%), CDR-IMGT [10.3.9] (27-36.54-56.93-101))(1'-111') -*Homo sapiens*IGKC*01 (100%), Km3, A45.1 (157), V101 (195) (112'-218")]; dimère (227-227":230-230")-bisdisulfure, produit dans des cellules ovariennes de hamster chinois (CHO), lignée cellulaire CHO-K1SV ne présentant pas le gène de la glutamine synthétase (GS-KO), glycoforme alfa

empasiprabart

inmunoglobulina G1-kappa, anti-[*Homo sapiens* C2 (complemento 2)], anticuerpo monoclonal humanizado; cadena pesada gamma1 humanizada (1-447) [VH humanizado (*Homo sapiens*IGHV1-8*01 (82.7%) - (IGHD)-IGHJ4*01 (92.9%), CDR-IMGT [8.8.11] (26-33.51-58.97-107)) (1-118) -*Homo sapiens*IGHG1*01, G1m17.1, G1v14 CH2 A1.3, A1.2, G1v46 CH3 K113, F114 (CH1 K120 (215) (119-216), charnière 1-15 (217-231), CH2 L1.3>A (235), L1.2>A (236) (232-341), CH3 D12 (357), L14 (359), H113>K (434), N114>F (435) (342-446), CHS K2>del (447)) (119-447)], (221-218')-disulfuro con la cadena ligera kappa humanizada (1'-218') [V-KAPPA (*Homo sapiens*IGKV4-1*01 (74.3%) - IGKJ2*01 (100%), CDR-IMGT [10.3.9] (27-36.54-56.93-101)) (1'-111') -*Homo sapiens*IGKC*01 (100%), Km3, A45.1 (157), V101 (195) (112'-218')]; dímero (227-227":230-230")-bisdisulfuro, producido en las células ováricas de hámster chino (CHO), línea celular CHO-K1SV en ausencia del gen glutamina sintetasa (GS-KO), forma glicosilada alfa

Heavy chain / Chaîne lourde / Cadena pesada
 EVOLVESGG LVQPGSRLR SCAASGTSFS NYGMKWIRQA PGKGLEWVSS 50
 ISRSSTYIYY ADTVKGRFTI SRDN SKNRTLIS LQMN SLSRAED TAVYVCAAII 100
 STPFYWPYDFE WGQTLVTVS SASTKGPSVF PLAPSKSTS GTTAA LGCLV 150
 KDYFPEPVTV SWNSGALTSG VHHTFPAVLQS SGLYSLSSVV TVPSSL LGTQ 200
 TYICVNHHKP SNTVKVDRKEV PKSCD KHTC PPCPAP EAAG GPSVFLFPK 250
 PKDTLMISRT PEVTCVVVDV SHEDPEVKEN WYVDGVEVHN AKTKP RPEQY 300
 NSTYRVSVL TLVHQDWLNG KEYKCKVSNK ALPAPI EKTI SKAKG QPREP 350
 QVVTLPSSRE EMTKNQVS LT CLVKGF YPSD IAVEWE SNQ PENNYK TTP 400
 VLDSDG SFPL YSKLTVDKSR WQQQNVFSCS VMHEALHNHY TQKSL SLSFG 450
 K 451

Light chain / Chaîne légère / Cadena ligera
 EIVLTQSPGT LSLS PGERAT LSCLASSVTS YMTWYQ KPC QSPR LNIY GT 50
 S NLASGV PDR FSGSGSGTDF TL TIS RLPE DF AVY CLHL TS YPYTF QG 100
 GTKV EIKR AVAP SVFIF PFP SDEQ LKS GTA SVU CLLNN FFY FREAK VQ KRV 150
 DNAL QSG NSQ ES VT EQDS KTD ST YLS S LTL LSKAD YEK HK VYACEV THQ G 200
 LSSP VTKS FN R GEC 214

Post-translational modifications

Disulfide bridges location / Position des ponts disulfure / Posiciones de los puentes disulfuro
 Intra-H (C23-C104) 22-96 148-204 265-325 371-429
 22"-96" 148"-204" 265"-325" 371"-429"
 Intra-L (C23-C104) 23-87" 134"-194"
 23"-87" 134"-194"
 Inter-H-L (h-CL 126) 224-214" 224"-214"
 Inter-H-H (h 5-CL 11, h 14) 230-230" 233-233"

N-glycosylation sites / Sites de N-glycosylation / Posiciones de N-glicosilación
 H CH2 N84.4: 301, 301"
 Fucosylated complex bi-antennary CHO-type glycans / glycanes de type CHO bi-antennaires complexes fucosylés / glicanos de tipo CHO biantenarios complejos fucosilados.

C-terminal lysine clipping / Coupe de la lysine C-terminale / Recorte de lisina C-terminal
 H CHS K2: 451, 451"

emrusolminum

emrusolmin

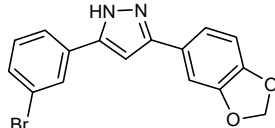
3-(2*H*-1,3-benzodioxol-5-yl)-5-(3-bromophenyl)-1*H*-pyrazole

emrusolmine

3-(2*H*-1,3-benzodioxol-5-yl)-5-(3-bromophényl)-1*H*-pyrazole

emrusolmina

3-(2*H*-1,3-benzodioxol-5-il)-5-(3-bromofenil)-1*H*-pirazol



eneboparatidum

eneboparatide

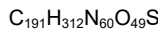
[S³>A, H⁵>I, L⁸>M, D¹⁰>Q, K¹¹>R, G¹²>A, S¹⁴>W, L¹⁸>A, F²²>A, H²⁶>K]-human parathyroid hormone-related protein [1-36] (PTHrP [1-36]):
L-alanyl-L-valyl-L-alanyl-L- α -glutamyl-L-isoleucyl-L-glutaminyl-L-leucyl-L-alanyl-L-lysyl-L-tryptophyl-L-isoleucyl-L-glutaminyl-L- α -aspartyl-L-alanyl-L-arginyl-L-arginyl-L-arginyl-L-alanyl-L-phenylalanyl-L-leucyl-L-histidyl-L-lysyl-L-leucyl-L-isoleucyl-L-alanyl-L- α -glutamyl-L-isoleucyl-L-histidyl-L-threonyl-L-alanyl-L- α -glutamyl-L-isoleucine

énéboparatide

[S³>A, H⁵>I, L⁸>M, D¹⁰>Q, K¹¹>R, G¹²>A, S¹⁴>W, L¹⁸>A, F²²>A, H²⁶>K]-protéine apparentée à l'hormone parathyroïdienne [1-36] (PTHrP [1-36]) humaine:
L-alanyl-L-valyl-L-alanyl-L- α -glutamyl-L-isoleucyl-L-glutaminyl-L-leucyl-L-alanyl-L-lysyl-L-tryptophyl-L-isoleucyl-L-glutaminyl-L- α -aspartyl-L-alanyl-L-arginyl-L-arginyl-L-arginyl-L-alanyl-L-phenylalanyl-L-leucyl-L-histidyl-L-lysyl-L-leucyl-L-isoleucyl-L-alanyl-L- α -glutamyl-L-isoleucyl-L-histidyl-L-thréonyl-L-alanyl-L- α -glutamyl-L-isoleucine

eneboparatida

[S³>A, H⁵>I, L⁸>M, D¹⁰>Q, K¹¹>R, G¹²>A, S¹⁴>W, L¹⁸>A, F²²>A, H²⁶>K]-proteína relacionada con la hormona paratiroides [1-36] (PTHrP [1-36]) humana:
L-alanil-L-valil-L-alanil-L- α -glutamil-L-isoleucil-L-glutaminil-L-leucil-L-metionil-L-histidil-L-glutaminil-L-arginil-L-alanil-L-lisil-L-triptofil-L-isoleucil-L-glutaminil-L- α -aspartil-L-alanil-L-arginil-L-arginil-L-arginil-L-alanil-L-fenilalanil-L-leucil-L-histidil-L-lisil-L-leucil-L-isoleucil-L-alanil-L- α -glutamil-L-isoleucil-L-histidil-L-treonil-L-alanil-L- α -glutamil-L-isoleucina



AVAEIQLMHQ RAKWIQDARR RAFLHKLIAE IHTAEI 36

enekinragenum inzadenovec #

enekinragene inzadenovroc

recombinant, non-replicating adenovirus type 5 (Ad5) vector encoding codon-optimised human interleukin 1 receptor antagonist (IL-1Ra) under the control of an engineered nuclear factor kappa B (NF- κ B) inducible promoter composed of five conserved NF- κ B binding motif repeats fused to a proximal promoter region of the human endothelial leukocyte adhesion molecule (ELAM) gene (NF- κ B5-ELAM), and terminated by a simian virus 40 (SV40) polyadenylation sequence. The vector genome is flanked by human Ad5 inverted terminal repeats (ITRs) and the bulk of the adenovirus genome has been replaced by a non-coding human hypoxanthine phosphoribosyltransferase (HPRT) stuffer sequence and by a human non-coding cosmid insert containing the polymorphic marker DXS455.

énékinragène inzadénovec

vecteur adénoviral de type 5 (Ad5) recombinant et non répliquant, codant l'antagoniste du récepteur de l'interleukine 1 (IL-1Ra) humaine aux codons optimisés, sous le contrôle d'un promoteur rendu inducible du facteur nucléaire kappa B (NF- κ B), composé de cinq répétitions conservées du motif de liaison au NF- κ B, fusionnées à une région promotrice proximale du gène de la molécule d'adhésion des leucocytes endothéliaux (ELAM) humains (NF- κ B5-ELAM), et terminé par une séquence de polyadénylation du virus simien 40 (SV40). Le génome du vecteur est flanqué de répétitions terminales inversées (ITR) de l'Ad5 humain et la majeure partie du génome de l'adénovirus a été remplacée par une séquence de remplissage non codante de l'hypoxanthine phosphoribosyltransférase (HPRT) humaine et par un insert cosmide non codant humain contenant le marqueur polymorphe DXS455.

enekinragén inzadenovec

adenovirus tipo 5 (Ad5) recombinante, no replicativo, que codifica, con codones optimizados, para el antagonista del receptor de interleukina 1 (IL-1Ra) humano bajo el control de un promotor inducible modificado del factor nuclear kappa B (NF- κ B) compuesto por cinco motivos repetidos de unión a NF- κ B conservados, fusionado a la región del promotor proximal del gen de la molécula de adhesión leucocitaria al endotelio (ELAM) humana (NF- κ B5-ELAM), y terminado por una secuencia de poliadenilación del virus de simio 40 (SV40). El genoma del vector está flanqueado por repeticiones terminales invertidas (ITRs) del Ad5 humano y el conjunto del genoma del adenovirus se ha reemplazado por una secuencia no codificante de relleno de la hipoxantina fosforribosiltransferasa (HPRT) y por un inserto de un cosmido humano no codificante que contiene el marcador polimórfico DXS455.

englumafuspum alfa #
englumafusp alfa

humanized immunoglobulin G1-kappa anti-(human B-lymphocyte antigen CD19) modified heterodimer where the heavy and light chain variable regions of one arm have been substituted by three subunits of human 4-1BB ligand (tumor necrosis factor ligand superfamily member 9, TNFSF9) with the following structural arrangement: human 4-1BB ligand fragment (71-248, 1-178 in the current sequence) fused via peptidyl linker ¹⁷⁹GGGGSGGGGS¹⁸⁸ to human 4-1BB ligand fragment (71-248, 189-366 in the current sequence), fused via peptidyl linker ³⁶⁷GGGGSGGGGS³⁷⁶ to immunoglobulin G1 kappa light chain constant region (377-483) variant (E³⁹²>R, Q³⁹³>K), which is linked to immunoglobulin G1 heavy chain constant region (484-710) variant (L⁴⁹⁷>A, L⁴⁹⁸>A, P⁵⁹²>G, S⁶¹⁷>C T⁶²⁹>W) and 483-291'-disulfide with human 4-1BB ligand fragment (71-248, 1'-178' in the current sequence) fused via peptidyl linker ¹⁷⁹GGGGSGGGGS^{188'} to the immunoglobulin G1 heavy chain constant region (189'-291') variant (K²¹⁸>E K²⁸⁴>E), heterodimer with humanized immunoglobulin G1 anti-(human CD19) heavy chain (1"-452") variant (L²³⁸>A, L²³⁹>A, P³³³>G, Y³⁵³>C, T³⁷⁰>S, L³⁷²>A, Y⁴¹¹>V), (224"-219"")-disulfide with immunoglobulin G1 anti-(human CD19) kappa light chain (1""-219"""), produced in Chinese hamster ovary (CHO) cells, glycoform alfa;

fusion protein with three copies of an extracellular domain fragment of the human 4-1BB ligand (tumor necrosis factor ligand superfamily member 9, TNFSF9), replacing the heavy chain and light chain variable regions of one arm of a modified humanized anti-[CD19 (B-lymphocyte antigen CD19, B-lymphocyte surface antigen B4, T-cell surface antigen Leu-12)] immunoglobulin G1 (IgG1) kappa: 4-1BB ligand (71-248)-peptide (1-178) / (G₄S)₂ linker (179-188) / 4-1BB ligand (71-248)-peptide (189-366) / (G₄S)₂ linker (367-376) / IgG1 kappa light chain constant region (377-483) [*Homo sapiens* IGKC*01 (E³⁹²>R, Q³⁹³>K)] / IgG1 heavy chain constant region (484-710) [*Homo sapiens* IGHG1*01; hinge: 484-493; CH2: 494-603 (L⁴⁹⁷>A, L⁴⁹⁸>A, P⁵⁹²>G), CH3: 604-708 (S⁶¹⁷>C, T⁶²⁹>W); CHS: 709-710] fusion protein, (483-291')-disulfide with 4-1BB ligand (71-248)-peptide (1'-178') / (G₄S)₂ linker (179'-188') / IgG1 gamma-1 heavy chain constant region (189'-291') [*Homo sapiens* IGHG1*01; CH1: 189-286 (K²¹⁸>E, K²⁸⁴>E)] fusion protein; heterodimer (489-230":492-233":617-353")-trisulfide with humanized anti-CD19 IgG1 heavy chain (""-452") [*Homo sapiens* IGHV1-2*02; *Homo sapiens*IGHJ4*01; *Homo sapiens* IGHG1*01; VH: 1-121; CH1: 122-219; hinge: 220-234; CH2: 235-344 (L²³⁸>A, L²³⁹>A, P³³³>G); CH3: 345-449 (Y³⁵³>C, T³⁷⁰>S, L³⁷²>A, Y⁴¹¹>V); CHS: 450-451; CDR Kabat H1: DYIMH (31-35); CDR Kabat H2: YINPYNDGSKYTEKFQG (50-66); CDR Kabat H3: GTYYYGPQLFDY (99-110)], (224"-219")-disulfide with humanized anti-CD19 IgG1 kappa light chain (""-219") [*Homo sapiens* IGKV2-29*02; *Homo sapiens* IGKJ2*01; *Homo sapiens* IGKC*01; VL: 1-112; CL: 113-219; CDR Kabat L1: KSSQSLETSTGTTYN (24-39); CDR Kabat L2: RVSKRFS (55-61); CDR Kabat L3: LQLLEDPYT (94-102)], produced in Chinese hamster ovary (CHO) cells, glycoform alfa

englumafusp alfa

hétérodimère modifié de l'immunoglobuline G1-kappa anti-(antigène de lymphocyte B humain CD19) humanisée dont les régions variables des chaînes lourdes et légères d'un bras ont été substituées par trois sous-unités du ligand 4-1BB humain (membre de la superfamille des ligands du facteur de nécrose tumorale 9, TNFSF9) avec l'arrangement structural suivant: fragment du ligand 4-1BB humain (71-248, 1-178 dans la séquence actuelle) fusionné par l'intermédiaire de la liaison peptidique ¹⁷⁹GGGGSGGGGS¹⁸⁸ au fragment du ligand 4-1BB humain (71-248, 189-366 dans la séquence actuelle), fusionné par l'intermédiaire de la liaison peptidique ³⁶⁷GGGGSGGGGS³⁷⁶ au variant (377-483) de la région constante de la chaîne légère kappa de l'immunoglobuline G1 (E³⁹²>R, Q³⁹³>K), qui est lié au variant (484-710) de la région constante de la chaîne lourde de l'immunoglobuline G1 (L⁴⁹⁷>A, L⁴⁹⁸>A, P⁵⁹²>G, S⁶¹⁷>C T⁶²⁹>W) et 483-291'-disulfure avec le fragment du ligand 4-1BB humain (71-248, 1'-178' dans la séquence actuelle) fusionné par l'intermédiaire d'une liaison peptidique ¹⁷⁹GGGGSGGGGS¹⁸⁸ au variant (189'-291') de la région constante de la chaîne lourde de l'immunoglobuline G1 (K²¹⁸>E K²⁸⁴>E), hétérodimère avec le variant (1"-452") de l'immunoglobuline G1 humanisée anti-(CD19 humain) de la chaîne lourde (L²³⁸>A, L²³⁹>A, P³³³>G, Y³⁵³>C, T³⁷⁰>S, L³⁷²>A, Y⁴¹¹>V), disulfure (224"-219") avec la chaîne légère kappa de l'immunoglobuline G1 anti-(CD19 humain) (1"-219"), glycoforme alfa, produit dans des cellules ovariennes de hamster chinois (CHO); protéine de fusion avec trois copies d'un fragment du domaine extracellulaire du ligand 4-1BB humain (membre 9 de la superfamille des ligands du facteur de nécrose tumorale, TNFSF9) remplaçant les régions variables des chaînes lourdes et légères d'un bras de l'immunoglobuline G1 (IgG1) kappa humanisée modifiée anti-[CD19 (antigène CD19 des lymphocytes B, antigène B4 de surface des lymphocytes B, antigène Leu-12 de surface des lymphocytes T):]

protéine de fusion de peptide 71-248 du ligand 4-1BB (1-178) / peptide ($G_4S)_2$ de liaison (179-188) / peptide 71-248 du ligand 4-1BB (189-366) / peptide ($G_4S)_2$ de liaison (367-376) / région constante de la chaîne légère kappa de l'IgG1 (377-483) [*Homo sapiens* IGKC*01 ($E^{392}>R, Q^{393}>K$)] / région constante de la chaîne lourde de l'IgG1 [$L^{497}>A, L^{498}>A, P^{592}>G$] (484-710), [*Homo sapiens*IGHG1*01; charnière: 484-493; CH2: 494-603 ($L^{497}>A, L^{498}>A, P^{592}>G$), CH3: 604-708 ($S^{617}>C, T^{629}>W$); CHS: 709-710] (483-291')-disulfure avec le peptide 71-248 du ligand 4-1BB (1'-178') / peptide ($G_4S)_2$ de liaison (179'-188') / région constante CH1 de la chaîne lourde gamma-1 de l'IgG1 (189'-291') [*Homo sapiens* IGHG1*01; CH1: 189-286 ($K^{218}>E, K^{284}>E$)]; hétérodimère (489-230"-492-233"-617-353")-trisdisulfure avec la chaîne lourde de l'IgG1 anti-CD19 humanisée [$L^{238}>A, L^{239}>A, P^{333}>G$] (1"-452") [*Homo sapiens*IGHV1-2*02; *Homo sapiens*IGHJ4*01; *Homo sapiens*IGHG1*01; VH: 1-121; CH1: 122-219; charnière: 220-234; CH2: 235-344 ($L^{238}>A, L^{239}>A, P^{333}>G$); CH3: 345-449 ($Y^{353}>C, T^{370}>S, L^{372}>A, Y^{411}>V$); CHS: 450-451; CDR Kabat H1: DYIMH (31-35); CDR Kabat H2: YINPYNDGSKYTEKFQG (50-66); CDR Kabat H3: GTYYYGPQLFDY (99-110)], (224"-219")-disulfure avec la chaîne légère kappa de l'IgG1 anti-CD19 humanisée (1""-219") [*Homo sapiens*IGKV2-29*02; *Homo sapiens*IGKJ2*01; *Homo sapiens*IGKC*01; VL: 1-112; CL: 113-219; CDR Kabat L1: KSSQSLETSTGTTYLN (24-39); CDR Kabat L2: RVSKRFS (55-61); CDR Kabat L3: LQLLEDPYT (94-102)], produite dans des cellules ovarianas de hamster chino (CHO), glicoforma alfa

englumafusp alfa

inmunoglobulina humana G1-kappa anti-(antígeno CD19 humano de linfocito B) heterodímero modificado donde las regiones variables de un brazo de la cadena pesada y ligera se sustituyen por 3 subunidades del ligando humano 4-1BB (miembro 9 de la superfamilia del ligando del factor de necrosis tumoral, TNFSF9) con la siguiente conformación estructural: fragmento del ligando humano 4-1BB (71-248, 1-178 en la secuencia actual) fusionado a través del enlace peptidil $^{179}GGGGSGGGGS^{188}$ al fragmento del ligando humano 4-1BB (71-248, 189-366 en la secuencia actual), fusionado a través de un enlace peptidil $^{367}GGGGSGGGGS^{376}$ a la región constante de la cadena ligera de la inmunoglobulina G1 kappa (377-483) variante ($E^{392}>R, Q^{393}>K$), que está unida a la región constante de la cadena pesada de la inmunoglobulina G1 (484-710) variante ($L^{497}>A, L^{498}>A, P^{592}>G, S^{617}>C, T^{629}>W$) and 483-291'-disulfuro con fragmento del ligando humano 4-1BB (71-248, 1'-178' en la secuencia actual) fusionado a través del enlace peptidil $^{179}GGGGSGGGGS^{188}$ a la región constante de la cadena pesada de la inmunoglobulina G1 (189'-291') variante ($K^{218}>E, K^{284}>E$), heterodímero con inmunoglobulina humanizada G1 anti-(CD19 humana) cadena pesada (1"-452") variante ($L^{238}>A, L^{239}>A, P^{333}>G, Y^{353}>C, T^{370}>S, L^{372}>A, Y^{411}>V$), (224"-219")-disulfuro con inmunoglobulina G1 anti-(CD19 humana) cadena ligera kappa (1""-219"), producida en células ováricas de hámster chino (CHO), glicoforma alfa; proteína de fusión con tres copias de un fragmento de dominio extracelular del ligando 4-1BB humano (miembro 9 de la superfamilia del ligando del factor de necrosis tumoral, TNFSF9) que reemplaza las regiones variables de cadenas pesadas y ligeras de un brazo de una inmunoglobulina G1 (IgG1) kappa anti-[CD19 (antígeno CD19 de linfocitos B, antígeno B4 de superficie de linfocitos B, antígeno Leu-12 de superficie de linfocitos T)] humana modificada: proteína de fusión de péptido 71-248 de ligando 4-1BB (1-178) / conector peptídico ($G_4S)_2$ (179-188) / péptido 71-248 de ligando 4-1BB (189-366) / conector peptídico ($G_4S)_2$ (367-376) / región constante de cadena ligera kappa de IgG1 (377-483) [*Homo sapiens* IGKC*01 ($E^{392}>R, Q^{393}>K$)] / región constante de cadena pesada de IgG1 [$L^{497}>A, L^{498}>A, P^{592}>G$] (484-710), [*Homo sapiens*IGHG1*01; bisagra: 484-493; CH2: 494-603 ($L^{497}>A, L^{498}>A, P^{592}>G$), CH3: 604-708 ($S^{617}>C, T^{629}>W$); CHS: 709-710] (483-291')-disulfuro con la proteína de fusión de péptido 71-248 de

ligando 4-1BB (1'-178') / conector peptídico (G₄S)₂ (179'-188') / región constante CH1 de cadena pesada de IgG1 (189'-291') [*Homo sapiens* IGHG1*01; CH1: 189-286 (K²¹⁸>E, K²⁸⁴>E)]; heterodímero (489-230":492-233":617-353")-trisdisulfuro con la cadena pesada [L²³⁸>A, L²³⁹>A, P³³³>G] de IgG1 anti-CD19 humana (1"-452") [*Homo sapiens*IGHV1-2*02; *Homo sapiens*IGHJ4*01; *Homo sapiens*IGHG1*01; VH: 1-121; CH1: 122-219; bisagra: 220-234; CH2: 235-344 (L²³⁸>A, L²³⁹>A, P³³³>G); CH3: 345-449 (Y³⁵³>C, T³⁷⁰>S, L³⁷²>A, Y⁴¹¹>V); CHS: 450-451; CDR Kabat H1: DYIMH (31-35); CDR Kabat H2: YINPYNDGSKYTEKFQG (50-66); CDR Kabat H3: GTYYGGPQLFDY (99-110)], (224"-219")-disulfuro con la cadena ligera kappa de IgG1 anti-CD19 humana (1"-219") [*Homo sapiens*IGKV2-29*02; *Homo sapiens*IGKJ2*01; *Homo sapiens*IGKC*01; VL: 1-112; CL: 113-219; CDR Kabat L1: KSSQSLETSTGTTLYN (24-39); CDR Kabat L2: RVSKRFS (55-61); CDR Kabat L3: LQLLEDPTYT (94-102)], producida en las células ováricas de hámster chino (CHO), glicoforma alfa

Heavy chains / Chaînes lourdes / Cadenas pesadas

H: 4-IBBL / (G₄S)₂ / 4-IBBL / (G₄S)₂ / IgG1 γ-Fc
 REGPELSPDD PAGLLDLRQG MFAQLVAQNV LLIDGPLSWY SDPGLAGVSL 50
 TGGLSYKEDT KELVVAKAVG YYVFFQLELR RVVAGEGSGS VSLALHLQPL 100
 RSAAGAAALA LTVDLPPASS EARNSAFGQ GRILLHSAGQ RLGVHLHTEA 150
 RARHAWQLTQ GATVLGLFRV TPEIPAGL **G**GGS**GGS****G** RE GPELSPDTPA 200
 GLLLDLRQMF AQLVAQNVL IDGPLSWYD PLAGVSLTG GLSYKEDTKE 250
 LVAKAGVYY VFFQLELRV VAGEGSGSVS IALHLQPLRS AAGAALALT 300
 VDLPASSSEA RNSAFGFOGQ LLHLSAQRL GVHLHTEARA RHAWQLTQGA 350
 TVLGLFRVT EIPAGL **G**GGS**GGS****G** RTVA APSVFFPPS D**R**KLKSGTAS 400
 VVCLLNNFYP REAKVQWKVD NALQSGNSQE SVTEQDSKDS TYSLSLTL 450
 SKADYERHKV YACEVTHHQL SSPVTKSFNK GECDKTHTCP PCPAPAE**A**GG 500
 PSVFLFPKP KDTLMISRT E VTVCVVDW HEDPEVKFNW YVDGVEVHNA 550
 KTKPREQEQN YVTLPPCRDE LTKNQVSLWC LKGCFYPSDI AVENESNGQP 600
 ENNYKTPPPV LDSDGSFFLY SKLTVDKSRN QQQGNVFSCSV MHEALHNHYT 650
 QKSLSSLSPGK 700
 710

H*: anti-CD19

QVQLVQSGAE VKPGAVSVK CKASKASYTFT DYIMHWVRQA PGQQGLEWMGY 50
 INPVNDSKSY TEKFQGRVTM TSDTSISTAY MELSRLRSDD TAVVYCARGT 100
 YYYGPQLFDY WGQGTTVIVS SASTKGPSVF PLAPSSKSTS GGTAALGCIV 150
 KDYFFPEPFTV SWNSGALTSG SGTLYSLSVVW TVPSSSLGTQ 200
 TYICCNVNHKP SNTKVDKKVPS PKSCDKTHTC PCPAPAE**A**GG GPSVFLPPK 250
 PKDTLMISRT PEVTCVVVDW SHEDPEVKFNW YVDGVEVHNA ARTKPKREEQY 300
 NSTYRVVSVL TVLHQDWLNG KEYKCKVSNK AL**A**PIEKTI SRAKGQPREP 350
 QV**C**TLPSPRD ELTKNQVSL**S** CAVGCFYPSD IAVENESNGQ PENNYKTPPP 400
 VLDSDGSFFL **V**SKLTVDKSRN WQQGNVFSCSV VMHEALHNHYT QKSLSSLSPG 450
 K 451

Light chains / Chaînes légères / Cadenas ligeras

L': 4-IBBL / (G₄S)₂ / IgG1 CH1
 REGPELSPDD PAGLLDLRQG MFAQLVAQNV LLIDGPLSWY SDPGLAGVSL 50
 TGGLSYKEDT KELVVAKAVG YYVFFQLELR RVVAGEGSGS VSLALHLQPL 100
 RSAAGAAALA LTVDLPPASS EARNSAFGQ GRILLHSAGQ RLGVHLHTEA 150
 RARHAWQLTQ GATVLGLFRV TPEIPAGL **G**GGS**GGS****G** AS TKGPSVPFLA 200
 PSSKSTSGGT AALGCLV**D**Y FEEPVTVSNN SGALTSGVHT FPVALQSSGL 250
 YSLSSVVTVP SSSLTGTQIYI CNVNHKPSN KTD**E**KVEPKS C 291

L'": anti-CD19

DIVMTQTPLS LSVPQGPQAS ISCKSSQSLE TSTGTTYLW YLQKPGQSPQ 50
 LLIYRKSVRF SGVPDRFSGS GSGTDFTLKI SRVEAADGVV YYC**C**LLLED**P** 100
 YTFGGTKLIE IKRTVAAAPSV FIFPPPSDEQI KSGTASVVC1 LNNFYPREAK 150
 VQWKVNDNLQ SGNSQESVTE QDSKDSYSL SDSLTLKAD YEYKHKVACE 200
 VTHQGLSSPFV TKSFRNRC 219

Mutation sites / Sites de mutation / Posiciones de mutación

H: E392>**R**, Q393>**K**, L497>**A**, L498>**A**, P592>**G**, S617>**C**, T629>**W**
 H" anti-CD19: L238">**A**, L239">**A**, P333">**G**, Y353">**C**, T370">**S**, L372">**A**, Y411">**Y**
 L': K218>**E**, K284>**E**

Peptide linkers / Peptides liants / Peptídos de unión

179 **GGGGGGGGGS** 188 (1-10) 367 **GGGGGGGGGS** 376 (1-10)
 179' **GGGGGGGGGS** 188' (1-10)

Post-translational modifications

Disulfide bridges location / Position des ponts disulfure / Posiciones de los puentes disulfuro

Intra-H 403-463 524-584 630-688

Intra-H" 22"-96" 148"-204" 265"-325" 371"-429"

Intra-L' 215"-271"; Intra-L" 23"-93" 139"-199"

Inter-H-L' 483-291'; Inter-H-L" 224"-219"; Inter-H-H" 489-230" 492-233" 617-353"

Glycosylation sites / Sites de glycosylation / Posiciones de glicosilación

H CH2 N84.4: N560, N301"

Fucosylated complex bi-antennary CHO-type glycans

epacmarstobartum #

epacmarstobart

immunoglobulin G1-kappa, anti-[*Homo sapiens* SIRPA (signal regulatory protein alpha, SHPS1, SIRP, SIRP alpha, CD172a)], monoclonal antibody; gamma1 heavy chain (1-449) [VH (*Mus musculus*IGHV1-55*01 (85.6%) -(IGHD) -IGHJ2*01 (86.7%)/*Homo sapiens* IGHV1-2*06 (80.4%) -(IGHD) -IGHJ4*01 (100%), CDR-IMGT [8.8.13] (26-33.51-58.97-109)) (1-120) -*Homo sapiens* IGHG1*03v, G1m3>G1m17, nG1m1 (CH1 R120>K (217) (121-218), hinge 1-15 (219-233), CH2 (234-343), CH3 E12 (359), M14 (361) (344-448), CHS K2>del (449)) (121-449)], (223-214')-disulfide with kappa light chain (1'-214') [V-KAPPA (*Homo sapiens* IGKV1-39*01 (86.3%) -IGKJ2*02 (100%), CDR-IMGT [6.3.9] (27-32.50-52.89-97)) (1'-107') -*Homo sapiens* IGKC*01 (100%), Km3, A45.1 (153), V101 (191) (108'-214')]; dimer (229-229":232-232")-bisdisulfide, produced in Chinese hamster ovary (CHO) cells, cell line CHO-K1SV lacking the glutamine synthetase (GS-KO) gene, non-glycosylated

epacmarstobart

immunoglobuline G1-kappa, anti-[*Homo sapiens* SIRPA (protéine alpha régulatrice de signal, SHPS1, SIRP, SIRP alpha, CD172a)], anticorps monoclonal; chaîne lourde gamma1 (1-449) [VH (*Mus musculus* IGHV1-55*01 (85.6%) -(IGHD) -IGHJ2*01 (86.7%)/*Homo sapiens* IGHV1-2*06 (80.4%) -(IGHD) -IGHJ4*01 (100%), CDR-IMGT [8.8.13] (26-33.51-58.97-109)) (1-120) -*Homo sapiens* IGHG1*03v, G1m3>G1m17, nG1m1 (CH1 R120>K(217) (121-218), charnière 1-15 (219-233), CH2 (234-343), CH3 E12 (359), M14 (361) (344-448), CHS K2>del (449)) (121-449)], (223-214')-disulfure avec la chaîne légère kappa (1'-214') [V-KAPPA (*Homo sapiens* IGKV1-39*01 (86.3%) -IGKJ2*02 (100%), CDR-IMGT [6.3.9] (27-32.50-52.89-97)) (1'-107') -*Homo sapiens* IGKC*01 (100%), Km3, A45.1 (153), V101 (191) (108'-214')]; dimère (229-229":232-232")-bisdisulfure, produit dans des cellules ovariennes de hamster chinois (CHO), lignée cellulaire CHO-K1SV ne présentant pas le gène de la glutamine synthétase (GS-KO), non-glycosylé

epacmarstobart

inmunoglobulina G1-kappa, anti-[*Homo sapiens* SIRPA (proteína alfa reguladora de señal, SHPS1, SIRP, SIRP alfa, CD172a)], anticuerpo monoclonal; cadena pesada gamma1 (1-449) [VH (*Mus musculus* IGHV1-55*01 (85.6%) -(IGHD) -IGHJ2*01 (86.7%)/*Homo sapiens* IGHV1-2*06 (80.4%) -(IGHD) -IGHJ4*01 (100%), CDR-IMGT [8.8.13] (26-33.51-58.97-109)) (1-120) -*Homo sapiens* IGHG1*03v, G1m3>G1m17, nG1m1 (CH1 R120>K(217) (121-218), bisagra 1-15 (219-233), CH2 (234-343), CH3 E12 (359), M14 (361) (344-448), CHS K2>del (449)) (121-449)], (223-214')-disulfuro con la cadena ligera kappa (1'-214') [V-KAPPA (*Homo sapiens* IGKV1-39*01 (86.3%) -IGKJ2*02 (100%), CDR-IMGT [6.3.9] (27-32.50-52.89-97)) (1'-107') -*Homo sapiens* IGKC*01 (100%), Km3, A45.1 (153), V101 (191) (108'-214')]; dímero (229-229":232-232")-bisdisulfuro, producido en las células ováricas de hámster chino (CHO), línea celular CHO-K1SV en ausencia del gen glutamina sintetasa (GS-KO), no glicosilado

Heavy chain / Chaîne lourde / Cadena pesada

QVQLVQSGAE VKKGAGSVK VCKASGYTFT SYWITWVKQA PGQGLEWIGD 50
 IYPGGGSTNH IEKKPSKATL TVDTSISTAY MELSLRLSDD TAVYVCATGY 100
 GSSYGYFDYW QGTLTVTSS A5TKGPSVP LAPSSKSTSG GTAALGCLVK 150
 DYPPEPVTVS WNSGALTSGV HTFPAVLQSS GLYSLLSVVT VPSSSLGTQ 200
 YICNVNHNKPS NTKVDKVEP KSCDKTHTCP PCPAPELLGG PSVPLFPKP 250
 KDTLMISRTP EVTCCVVVDS HEDPEVKFKNW YVDGVEVNNA TKPKEEQYQA 300
 STYRVVSVLT VLHQDWLNKG EYKCKVSNKA LPAPIEKTIS KAKQPREPQ 350
 VYTLPPSRREE MTKNQVSLLC LVKGFYPSDI AWEWESNGQP ENNYKTPPPV 400
 LDSDGFSFLY SKLTVDKSRW QGQNVFSCSV MHEALHNHYT QKSLSLSPG 449

Light chain / Chaîne légère / Cadena ligera

DIGMTQSFSS LSAVGDRVT ITCRASENIY SYLAWYQQKP GRAPKLILTY 50
 AKTLEAGVGP RSFGSSGSTD FTLTISLQP EDFATYQCH QYGPFTTFQ 100
 GTKLEIKRTV AAPSVVIFPP SDEQLKSGTA SVVCLNNFY PREAKVQWKV 150
 DNALQSGNSQ ESVTEQDSDK STYSLSTL LSKADYEKHK VYACEVTHQG 200
 LSSPVTKFSN RGECA 214

Post-translational modifications

Disulfide bridges location / Position des ponts disulfure / Posiciones de los puentes disulfuro
 Intra-H (C23-C104) 22°-96° 147°-203° 264°-324° 370°-428°
 22°-96° 147°-203° 264°-324° 370°-428°
 Intra-L (C23-C104) 23°-88° 134°-194°
 23°-88° 134°-194°
 Inter-H-L (h 5-CL 126) 223-214° 223°-214°
 Inter-H-H (h 11, h 14) 229-229° 232-232°

N-terminal glutaminyl cyclization / Cyclisation du glutaminyle N-terminal / Ciclación del glutamínico N-terminal
 Q > pyroglutamyl (pE, 5-oxoprolyl) / pyroglutamyle (pE, 5-oxoprolile) / piroglutamilo (pE, 5-oxoprolilo)
 H VH Q1: 1, 1°

No N-glycosylation sites / pas de sites de N-glycosylation / ninguna posición de N-glicosilación
 H CH2 N84.4>A: 300, 300°

equecabtagene autoleucel #

equecabtagene autoleucel

autologous T lymphocytes obtained from peripheral blood mononuclear cells by leukapheresis, transduced with a self-inactivating, non-replicating lentiviral vector encoding a chimeric antigen receptor (CAR) targeting human B cell maturation antigen (BCMA). The expressed transgene comprises a CD8α leader sequence, an anti-BCMA single chain variable fragment (scFv), a CD8α hinge and transmembrane domain, and a 4-1BB (CD137) and CD3ζ signal domain, under control of the human elongation factor 1 alpha (EF-1α) promoter. The construct is flanked by 5' and 3' long terminal repeats (LTRs) and also contains a ψ packaging signal, a Rev response element (RRE), a central polypyrimidine tract (cPPT) sequence and an optimized Woodchuck hepatitis virus posttranscriptional regulatory element (WPRE). The vector is pseudotyped with vesicular stomatitis virus (VSV) glycoprotein G.

The leukapheresis material is enriched for CD3+ T lymphocytes by positive immunoselection, activated by CD3 and CD28 agonists and transduced with the lentiviral vector before further culture and expansion in growth media containing interleukin 2 (IL-2). The cell suspension consists of T lymphocytes (>90%), with greater than 10% of the T lymphocytes expressing the CAR-BCMA transgene. The T lymphocytes secrete interferon gamma (IFN-γ) following co-culture with BCMA-expressing cells.

équécabtagène autoleucel

lymphocytes T autologues obtenus à partir de cellules mononucléaires de sang périphérique par leucaphérèse, transduits avec un vecteur lentiviral auto-inactivant et non répliquant, codant un récepteur antigénique chimérique (CAR) ciblant l'antigène de maturation des cellules B humaines (BCMA). Le transgène exprimé comprend une séquence leader CD8α, un fragment variable à chaîne unique (scFv)

anti-BCMA, un domaine charnière et transmembranaire CD8α, et un domaine signal 4-1BB (CD137) et CD3ζ, sous le contrôle du promoteur du facteur d'elongation 1 alpha (EF-1α) humain. La construction est flanquée de longues répétitions terminales (LTR) en 5' et 3' et contient également un signal d'encapsidation ψ, un élément de réponse Rev (RRE), une séquence du tractus polypurine central (cPPT) et un élément régulateur post-transcriptionnel (WPRE) optimisé du virus de l'hépatite de la marmotte. Le vecteur est pseudotypé avec la glycoprotéine G du virus de la stomatite vésiculaire (VSV). Le matériel de leucaphérèse est enrichi en lymphocytes T CD3+ par immunoélection positive, activé par des agonistes CD3 et CD28 et transduit avec le vecteur lentiviral avant d'être cultivé et amplifié dans un milieu de croissance contenant de l'interleukine 2 (IL-2). La suspension cellulaire consiste de lymphocytes T (>90%), avec plus de 10% des lymphocytes T exprimant le transgène CAR-BCMA. Les lymphocytes T sécrètent de l'interféron gamma (IFN-γ) après co-culture avec des cellules exprimant le BCMA.

equecabtagén autoleucel

linfocitos T autólogos obtenidos de células mononucleares de sangre periférica mediante leucaféresis, transducidos con un vector lentiviral auto inactivante, no replicativo, que codifica para un receptor de antígenos químérico (CAR) dirigido al antígeno de maduración de células B (BCMA) humanas. El transgén expresado contiene una secuencia líder de CD8α, un fragmento variable de cadena sencilla (scFv) anti-BCMA, un dominio bisagra y transmembrana de CD8α, y un dominio señal 4-1BB (CD137) y CD3ζ bajo el control del promotor del factor de elongación 1 alfa (EF1α). El constructo está flanqueado por repeticiones terminales largas (LTRs) en 5' y 3' y también contiene una señal de empaquetamiento ψ, un elemento de respuesta Rev (RRE), una secuencia de tracto de poli-purina central (cPPT) y un elemento regulador post-transcripcional del virus de la hepatitis de la marmota (WPRE) optimizado. El vector está seudotipado con la glicoproteína G del virus de la estomatitis vesicular (VSV). El material de leucoaféresis se enriquece para linfocitos T CD3+ mediante inmunoselección positiva, se activa mediante agonistas de CD3 y CD28 y se transduce con el vector lentiviral antes de ser adicionalmente cultivado y expandido en medio de crecimiento que contiene interleuquina 2 (IL-2). La suspensión celular consiste en linfocitos T (>90%), con más del 10% de linfocitos T que expresan el transgén del CAR-BCMA. Los linfocitos T secretan interferón gamma (IFN-γ) tras el co-cultivo con células que expresan BCMA.

erepdekinrum

erepdekinra

N-acetyl-L-valyl-L-histidyl-L-valyl-L-threonyl-L-isoleucyl-L-prolyl-L-alanyl-L- α -aspartyl-L-leucyl-L-tryptophyl-L- α -aspartyl-L-tryptophyl-L-isoleucyl-L-asparaginyl-L-lysinamide

érepdékira

N-acétyle-L-valyl-L-histidyl-L-valyl-L-thréonyl-L-isoleucyl-L-prolyl-L-alanyl-L- α -aspartyl-L-leucyl-L-tryptophyl-L- α -aspartyl-L-tryptophyl-L-isoleucyl-L-asparaginyl-L-lysinamide

erepdekinra

N-acetil-L-valil-L-histidil-L-valil-L-treonil-L-isoleucil-L-prolil-L-alanil-L- α -aspartil-L-leucil-L-triptofil-L- α -aspartil-L-triptofil-L-isoleucil-L-asparaginil-L-lisinamida

Sequence / Séquence / Secuencia

1	5	10	15
Ac-Val-His-Val-Thr-Ile-Pro-Ala-Asp-Leu-Trp-Asp-Trp-Ile-Asn-Lys-NH ₂			

esepapogenum zalarinarepvecum #

esepapogene zalarinarepvec

recombinant replication-competent attenuated arenavirus (lymphocytic choriomeningitis virus [LCMV] strain clone 13) expressing the glycoprotein of LCMV strain WE instead of its endogenous glycoprotein (alternatively designated as rCI13/WE-GP) vector with two copies of the small (S) genome segment (S RNA segment), with one encoding the viral membrane glycoprotein (GP) and one encoding the viral nucleocapsid protein (NP), and both encoding a synthetic human papillomavirus type 16 E7E6 fusion protein (with mutations of C24G, E26G and C91G in E7 and C69G and C112G in E6), and with a wild type large (L) genome segment (L RNA segment). Expression of the E7E6 fusion protein is under control of the viral expression mechanism.

ésépapogène zalarinarepvec

vecteur recombinant d'arnavirus atténue compétent à la réplication (clone 13 de la souche du virus de la chorio-méningite lymphocytaire [LCMV]) exprimant la glicoprotéine de la souche WE du LCMV au lieu de sa glicoprotéine endogène (alternativement désigné sous le nom de rCI13/WE-GP) avec deux copies du petit segment génomique (S) (segment ARN S), l'une codant la glicoprotéine (GP) de la membrane virale et l'autre codant la protéine de la nucléocapside (NP) virale, et toutes deux codant une protéine de fusion synthétique E7E6 du papillomavirus humain de type 16 (avec les mutations C24G, E26G et C91G dans E7 et C69G et C112G dans E6), et avec un segment du grand génome (L) de type sauvage (segment d'ARN L). L'expression de la protéine de fusion E7E6 est sous le contrôle du mécanisme d'expression virale.

esepapogén zalarinarepvec

vector de una cepa atenuada de arenavirus (virus de la coriomeningitis linfocítica [LCMV]) clon 13 recombinante, competente para replicación, que expresa la glicoproteína de la cepa WE de LCMV en lugar de su glicoproteína endógena (designado alternativamente como rCI13/WE-GP) con dos copias

del segmento genómico pequeño (segmento RNA S), una que codifica para la glicoproteína (GP) viral de membrana y otra que codifica para la proteína de la nucleocápsida (NP) viral, y ambas codifican para una proteína de fusión E7E6 sintética del virus del papiloma humano tipo 16 (con mutaciones de C24G, E26G y C91G en E7, y C69G y C112G en E6), y con un segmento genómico grande (segmento RNA L) de tipo silvestre. La expresión de la proteína de fusión E7E6 está bajo el control del mecanismo de expresión viral.

etrinabdionum

etrinabdione

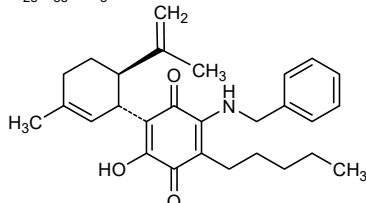
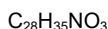
(1'R,6'R)-3-(benzylamino)-6-hydroxy-3'-methyl-4-pentyl-6'-(prop-1-en-2-yl)[1,1'-bi(cyclohexane)]-1(6),2',3-triene-2,5-dione

étrinabdione

(1'R,6'R)-3-(benzylamino)-6-hydroxy-3'-méthyl-4-pentyl-6'-(prop-1-én-2-yl)[1,1'-bi(cyclohexane)]-1(6),2',3-trène-2,5-dione

etrinabdiona

(1'R,6'R)-3-(bencilamino)-6-hidroxi-3'-metil-4-pentil-6'-(prop-1-en-2-il)[1,1'-bi(ciclohexano)]-1(6),2',3-trieno-2,5-diona

**evazarsenum**

evazarsen

all-P-ambo-5'-O-(28-[(2-acetamido-2-deoxy-β-D-galactopyranosyl)oxy]-16,16-bis{[3-((6-[(2-acetamido-2-deoxy-β-D-galactopyranosyl)oxy]hexyl)amino)-3-oxopropoxy]methyl}-1-hydroxy-1,10,14,21-tetraoxo-2,18-dioxa-9,15,22-triaza-1λ⁵-phosphoacatanosan-1-yl)-2'-O-(2-methoxyethyl)-5-methyl-P-thiocytidylyl-(3'→5')-2'-O-(2-methoxyethyl)-P-thioadenylyl-(3'→5')-2'-O-(2-methoxyethyl)-5-methyl-P-thiocytidylyl-(3'→5')-2'-O-(2-methoxyethyl)-P-thioadenylyl-(3'→5')-2'-O-(2-methoxyethyl)-P-thioadenylyl-(3'→5')-2'-deoxy-P-thioadenylyl-(3'→5')-2'-deoxy-5-methyl-P-thiocytidylyl-(3'→5')-2'-deoxy-P-thioadenylyl-(3'→5')-2'-deoxy-P-thioguanlyl-(3'→5')-2'-deoxy-5-methyl-P-thiocytidylyl-(3'→5')-thiothymidylyl-(3'→5')-2'-deoxy-P-thioguanlyl-(3'→5')-2'-deoxy-P-thioguanlyl-(3'→5')-P-thiothymidylyl-(3'→5')-2'-O-(2-methoxyethyl)-5-methyl-P-thiocytidylyl-(3'→5')-2'-O-(2-methoxyethyl)-P-thioguanlyl-(3'→5')-2'-O-(2-methoxyethyl)-5-methyl-P-thiouridylyl-(3'→5')-2'-O-(2-methoxyethyl)-5-methyluridine

évazarsen

*tout-P-ambo-5'-O-(28-[(2-acétamido-2-désoxy-β-D-galactopyranosyl)oxy]-16,16-bis[3-(6-[(2-acétamido-2-désoxy-β-D-galactopyranosyl)oxy]hexyl)amino]-3-oxopropoxy)méthyl)-1-hydroxy-1,10,14,21-téraoxy-2,18-dioxa-9,15,22-triaza-1Λ⁵-fosphaoctacosan-1-yl)-2'-O-(2-méthoxyéthyl)-5-méthyl-*P*-thiocytidylyl-(3'→5')-2'-O-(2-méthoxyéthyl)-5-méthyl-*P*-thiocytidylyl-(3'→5')-2'-O-(2-méthoxyéthyl)-*P*-thiocytidyl-(3'→5')-2'-désoxy-*P*-thiocytidyl-(3'→5')-2'-désoxy-5-méthyl-*P*-thiocytidyl-(3'→5')-2'-désoxy-*P*-thiocadénlyl-(3'→5')-2'-désoxy-*P*-thiocadénlyl-(3'→5')-2'-désoxy-5-méthyl-*P*-thiocytidyl-(3'→5')-2'-désoxy-*P*-thioguananyl-(3'→5')-2'-désoxy-5-méthyl-*P*-thiocytidyl-(3'→5')-*P*-thiethylmidyl-(3'→5')-2'-désoxy-*P*-thioguananyl-(3'→5')-2'-désoxy-*P*-thioguananyl-(3'→5')-2'-O-(2-méthoxyéthyl)-5-méthyl-*P*-thiocytidyl-(3'→5')-2'-O-(2-méthoxyéthyl)-*P*-thioguananyl-(3'→5')-2'-O-(2-méthoxyéthyl)-5-méthyl-*P*-thiouridylyl-(3'→5')-2'-O-(2-méthoxyéthyl)-5-méthyluridine*

evazarsén

*todo-P-ambo-5'-O-(28-[(2-acetamido-2-desoxi-β-D-galactopiranosil)oxi]-16,16-bis[3-(6-[(2-acetamido-2-desoxi-β-D-galactopiranosil)oxi]hexyl)amino]-3-oxopropoxi]metil)-1-hidroxi-1,10,14,21-téraoxy-2,18-dioxa-9,15,22-triaza-1Λ⁵-fosphaoctacosan-1-il)-5-metil-2'-O-(2-metoxietil)-*P*-tiocitidilil-(3'→5')-2'-O-(2-metoxietil)-*P*-tioadenilil-(3'→5')-5-metil-2'-O-(2-metoxietil)-*P*-tioadenilil-(3'→5')-2'-O-(2-metoxietil)-*P*-tioadenilil-(3'→5')-2'-desoxi-*P*-tioadenilil-(3'→5')-2'-desoxi-5-metil-*P*-tiocitidilil-(3'→5')-2'-desoxi-*P*-tioadenilil-(3'→5')-2'-desoxi-*P*-tioadenilil-(3'→5')-2'-desoxi-5-metil-*P*-tiocitidilil-(3'→5')-2'-desoxi-*P*-tioguanilil-(3'→5')-2'-desoxi-*P*-tioadenilil-(3'→5')-2'-desoxi-*P*-tioadenilil-(3'→5')-2'-desoxi-*P*-tioguanilil-(3'→5')-2'-desoxi-5-metil-*P*-tiocitidilil-(3'→5')-2'-desoxi-*P*-tioguanilil-(3'→5')-5-metil-2'-O-(2-metoxietil)-*P*-tiouridilil-(3'→5')-2'-O-(2-metoxietil)-5-metiluridina*



R1-m⁵Cmoe=Amoe=m⁵Cmoe=Amoe=Amoe=dA=m⁵C_d=dA=dA=dG=m⁵C_d=dT=dG=dG=dT=m⁵Cmoe=Gmoe=Gmoe=m⁵Umoe=m⁵Umoe

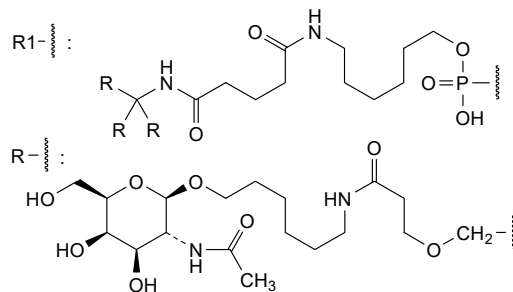
= : -PS(OH)-

N : nucleoside / nucléoside / nucleósido

dN & N_d : 2'-deoxy-N / 2'-désoxy-N / 2'-desoxi-N

Nmoe : 2'-O-(2-methoxyethyl)-N / 2'-O-(2-méthoxyéthyl)-N / 2'-O-(2-metoxietil)-N

m⁵N : 5-methyl-N / 5-méthyl-N / 5-metil-N



evunzekibartum #

evunzekibart

immunoglobulin G4-kappa, anti-[TNFRSF9 (tumor necrosis factor receptor (TNFR) superfamily member 9, 4-1BB, CD137)], *Homo sapiens* monoclonal antibody;
 gamma4 heavy chain *Homo sapiens* (1-445) [VH (*Homo sapiens*IGHV3-23*03 (88.8%)-(IGHD)-IGHJ4*01 (100%), CDR-IMGT [8.8.11] (26-33.51-58.97-107)) (1-118)-*Homo sapiens* IGHG4*01, G4v5 h P10, nG4m(a) CH2 L92 (CH1 (119-216), hinge 1-12 S10>P (226) (217-228), CH2 L92 (307) (229-338), CH3 (339-443), CHS (444-445)) (119-445)], (132-215')-disulfide with kappa light chain *Homo sapiens* (1'-215') [V-KAPPA (*Homo sapiens*IGKV1-39*01 (94.6%) -IGKJ2*02 (100%), CDR-IMGT [6.3.10] (27-32.50-52.89-98)) (1'-108') -*Homo sapiens* IGKC*01 (100%), Km3 A45.1 (154), V101 (192) (109'-215')]; dimer (224-224":227-227")-bisdisulfide, produced in Chinese hamster ovary (CHO) cells, cell line CHO-DG44, glycoform alfa

évnunzékibart

immunoglobuline G4-kappa, anti-[TNFRSF9 (membre 9 de la superfamille des récepteurs du facteur de nécrose tumorale, 4-1BB, CD137)], anticorps monoclonal *Homo sapiens*;
 chaîne lourde gamma4 *Homo sapiens* (1-445) [VH (*Homo sapiens*IGHV3-23*03 (88.8%)-(IGHD)-IGHJ4*01 (100%), CDR-IMGT [8.8.11] (26-33.51-58.97-107)) (1-117)-*Homo sapiens* IGHG4*01, G4v5 h P10, nG4m(a) CH2 L92 (CH1 (119-216), charnière 1-12 S10>P (226) (217-228), CH2 L92 (307) (229-338), CH3 (339-443), CHS (444-445)) (119-445)], (132-215')-disulfure avec la chaîne légère kappa *Homo sapiens* (1'-215') [V-KAPPA (*Homo sapiens*IGKV1-39*01 (94.6%) -IGKJ2*02 (100%), CDR-IMGT [6.3.10] (27-32.50-52.89-98)) (1'-108') -*Homo sapiens* IGKC*01 (100%), Km3 A45.1 (154), V101 (192) (109'-215')]; dimère (224-224":227-227")-bisdisulfure, produit dans des cellules ovariennes de hamster chinois (CHO), lignée cellulaire CHO-DG44, glycoforme alfa

evunzekibart

imunoglobulina G4-kappa, anti-[TNFRSF9 (miembro 9 de la superfamilia de los receptores del factor de necrosis tumoral, 4-1BB, CD137)], anticuerpo monoclonal *Homo sapiens*;
 cadena pesada gamma4 *Homo sapiens* (1-445) [VH (*Homo sapiens*IGHV3-23*03 (88.8%)-(IGHD)-IGHJ4*01 (100%), CDR-IMGT [8.8.11] (26-33.51-58.97-107)) (1-117)-*Homo sapiens* IGHG4*01, G4v5 h P10, nG4m(a) CH2 L92 (CH1 (119-216), bisagra 1-12 S10>P (226) (217-228), CH2 L92 (307) (229-338), CH3 (339-443), CHS (444-445)) (119-445)], (132-215')-disulfuro con la cadena ligera kappa *Homo sapiens* (1'-215') [V-KAPPA (*Homo sapiens*IGKV1-39*01 (94.6%) -IGKJ2*02 (100%), CDR-IMGT [6.3.10] (27-32.50-52.89-98)) (1'-108') -*Homo sapiens* IGKC*01 (100%), Km3 A45.1 (154), V101 (192) (109'-215')]; dímero (224-224":227-227")-bisdisulfuro, producido en las células ováricas de hámster chino (CHO), línea celular CHO-DG44, forma glicosilada alfa

Heavy chain / Chaîne lourde / Cadena pesada

EVQLLESGGG LVQPGGSRLR SCAASGFNPG YSYMSSWVRQA PGKGLEWVSS	50
IGSTSSHTYY ADSVKGRFTI SRDNNSKNTLY LQMNSLRAED TAVYVCARVY	100
SSPGIDYWQQ GTLTVTSSAS TKGPSVFPGLA PCSRSRTSEST AALGCLVKDY	150
FPEPVTVWSW SGLTSGVHT FPAVLQSSGL YSLSSVVTVP SSSLGTTKTYT	200
CNVDHKPSSNT VDKDKVESKY GPCPCCPAP EFLGGPSVFL FPPKPKDTIM	250
ISRTPEVTCV VVDVSKQDPE VQFNWYVDGV EVHNAAKTPKPV EEEQFNSTYRV	300
VSVLTVLHQD WLNGKEYKCK VSNKGLPSSI EKTISKAGQG PREPQVVTLE	350
PSQEEMTKNQ VSLTCVKGFT YPSDIAVEWVSN SNGQPNENNY TPPVPLDSG	400
SFFLYSRLTV DKSRWQEGNV FSCSVMHEAL HNNYTKSLS LSLGK	445

Light chain / Chaîne légère / Cadena ligera

DIQMTQSPSS LSASVGRDRVIT ITCRÄQSQIG STLNWYQQKP GKAPKLLIYG	50
ASSLQSGVPS RFSGSGGSTD FTLLTISSLPQ EDFATYYCQQ YYTWPPTFVG	100
QGTKLEIKRT VAAPSVPFIF PSDEQLKSGT ASVVCILNNF YPREAKVQWK	150
VDNALQSGNS QSEVTEQDSK DSTYLSSTL TLSKADYEKH KVYACEVTHQ	200
GLSSPVTKSF NRGC	215

Post-translational modifications

Disulfide bridges location / Position des ponts disulfure / Posiciones de los puentes disulfuro
 Intra-H (C23-C104) 22"-96" 145"-201" 259"-319" 365"-423"
 22"-96" 145"-201" 259"-319" 365"-423"
 Intra-L (C23-C104) 23"-88" 135"-195"
 23"-88" 135"-195"
 Inter-H-L (CH1 10-CL 126) 132"-215" 132"-215"
 Inter-H-H (h 8, h 11) 224"-224" 227"-227"

N-glycosylation sites / Sites de N-glycosylation / Posiciones de N-glicosilación
 H CH2 N84: 295, 295"

Fucosylated complex bi-antennary CHO-type glycans / glycanes de type CHO bi-antennaires: complejos fucosylés / glicanos de tipo CHO biantenarios complejos fucosilados.

C-terminal lysine clipping / Coupe de la lysine C-terminale / Recorte de lisina C-terminal
 H CHS K2: 445, 445"

exarafenibum

exarafenib

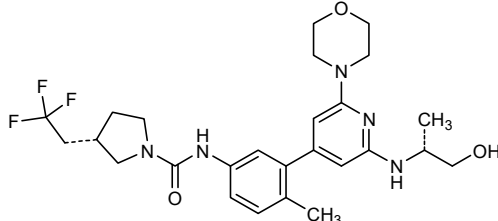
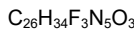
(3S)-N-(3-[2-{[(2R)-1-hydroxypropan-2-yl]amino}-6-(morpholin-4-yl)pyridin-4-yl]-4-methylphenyl)-3-(2,2,2-trifluoroethyl)pyrrolidine-1-carboxamide

exarafénib

(3S)-N-(3-[2-{[(2R)-1-hydroxypropan-2-yl]amino}-6-(morpholin-4-yl)pyridin-4-yl]-4-méthylphényl)-3-(2,2,2-trifluoroéthyl)pirrolidine-1-carboxamide

exarafenib

(3S)-N-(3-[2-{[(2R)-1-hidroxipropan-2-yl]amino}-6-(morfolin-4-yl)piridin-4-yl]-4-metilfenil)-3-(2,2,2-trifluoroetil)pirrolidina-1-carboxamida

**exlinkibartum #**

exlinkibart

immunoglobulin G1-kappa, anti-[*Homo sapiens* TNFRSF9 (tumor necrosis factor receptor (TNFR) superfamily member 9, 4-1BB, T cell antigen ILA, CD137)], humanized monoclonal antibody; gamma1 heavy chain humanized (1-444) [VH (*Homo sapiens*IGHV1-2*06 (88.8%) -(IGHD) -IGHJ4*01 (93.3%), CDR-IMGT [8.8.9] (26-33.51-58.97-105)) (1-116) -*Homo sapiens*IGHG1*03v, G1m3>G1m17, nG1m1, G1v47CH2 G1.1del, G1v35 CH2 E29 (CH1 R120>K (213) (117-214), hinge 1-15 (215-229), CH2

G1.1>del, S29>E (265) (230-338), CH3 E12 (354), M14 (356) (339-443), CHS K2>del (444)) (117-444)], (219-214')-disulfide with kappa light chain humanized (1'-214') [V-KAPPA (*Homo sapiens* IGKV1-39*01 (85.3%) -IGKJ4*01 (90.9%), CDR-IMGT [6.3.9] (27-32.50-52.89-97)) (1'-107') -*Homo sapiens* IGKC*01 (100%), Km3 A45.1 (153), V101 (191) (108'-214')]; dimer (225-225": 228-228")-bisdisulfide, produced in Chinese hamster ovary (CHO) cells, derived from cell line CHO-K1, lacking the glutamine synthetase (GS-KO) gene, glycoform alfa

exlinkibart

immunoglobuline G1-kappa, anti-[*Homo sapiens* TNFRSF9 (membre 9 de la superfamille des récepteurs du facteur de nécrose tumorale, 4-1BB, antigène ILA des cellules T, CD137)], anticorps monoclonal humanisé; chaîne lourde gamma1 humanisée (1-444) [VH (*Homo sapiens* IGHV1-2*06 (88.8%)-(IGHD) - IGHJ4*01 (93.3%), CDR-IMGT [8.8.9] (26-33.51-58.97-105)) (1-116) -*Homo sapiens* IGHG1*03v, G1m3>G1m17, nG1m1, G1v47CH2 G1.1del, G1v35 CH2 E29 (CH1 R120>K (213) (117-214), charnière 1-15 (215-229), CH2 G1.1>del, S29>E (265) (230-338), CH3 E12 (354), M14 (356) (339-443), CHS K2>del (444)) (117-444)], (219-214')-disulfure avec la chaîne légère kappa humanisée (1'-214') [V-KAPPA (*Homo sapiens* IGKV1-39*01 (85.3%) -IGKJ4*01 (90.9%), CDR-IMGT [6.3.9] (27-32.50-52.89-97)) (1'-107') -*Homo sapiens* IGKC*01 (100%), Km3 A45.1 (153), V101 (191) (108'-214')]; dimère (225-225": 228-228")-bisdisulfure, produit dans des cellules ovarianas de hamster chino (CHO), derivando de la lignée celular CHO-K1, ne presentando el gen de la glutamina sintetasa (GS-KO), glicoforma alfa

exlinkibart

immunoglobulina G1-kappa, anti-[*Homo sapiens* TNFRSF9 (miembro 9 de la superfamilia de los receptores del factor de necrosis tumoral, 4-1BB, antígeno ILA de las células T, CD137)], anticuerpo monoclonal humanizado; cadena pesada gamma1 humanizada (1-444) [VH (*Homo sapiens* IGHV1-2*06 (88.8%) -(IGHD) - IGHJ4*01 (93.3%), CDR-IMGT [8.8.9] (26-33.51-58.97-105)) (1-116) -*Homo sapiens* IGHG1*03v, G1m3>G1m17, nG1m1, G1v47 CH2 G1.1del, G1v35 CH2 E29 (CH1 R120>K (213) (117-214), bisagra 1-15 (215-229), CH2 G1.1>del, S29>E (265) (230-338), CH3 E12 (354), M14 (356) (339-443), CHS K2>del (444)) (117-444)], (219-214')-disulfuro con la cadena ligera kappa humanizada (1'-214') [V-KAPPA (*Homo sapiens* IGKV1-39*01 (85.3%) -IGKJ4*01 (90.9%), CDR-IMGT [6.3.9] (27-32.50-52.89-97)) (1'-107') -*Homo sapiens* IGKC*01 (100%), Km3 A45.1 (153), V101 (191) (108'-214')]; dímero (225-225": 228-228")-bisdisulfuro, producido en las células ováricas de hámster chino (CHO), línea celular derivada de CHO-K1, en ausencia del gen glutamina sintetasa (GS-KO), forma glicosilada alfa

Heavy chain / Chaîne lourde / Cadena pesada
 QVQLVQSGAE VKKPGASVKV SCKASGYTFA GFEMHWVRQA PGQGLEWMGA 50
 IDPKTGTDY NQKFKDRVTM TRDTSISTAY MELSLRSDD TAVYYCARDL 100
 GYFDWVGQGG LTVTSSASTK GPSVFLPLAS SKSTSGGTAA LGLCLVKDYP 150
 EPVTVSWNSG ALTSGVHTFPV AVLQSSGLYS LSSVVTVFSS SLGTQTYICN 200
 VNHKPSNTKV DKVEPKSCD KTHTCPCPA PELLGPSPVFL FPFPKPDTLM 250
 ISRTPEVTCV VVDVEHEDPE KFKNWVYDGV EVHNAKTKPR EEQYNNSTYRV 300
 VSVLTVLHQI WLNGKEYKCK VSNKALPAPI EKTISAKAGQ PREPVQVYTL 350
 PSREEMTKNQ VSLTCLVKGF YPSDIAPWEV SNGQPENNYK TPPFVLDSDG 400
 SFFFLYSKLTW DKSRRWQQGNV FSCSVMHEAS HNNHYQKSLIS LSPG 444

Light chain / Chaîne légère / Cadena ligera
 DIQMTCSPSS LSAVSGDRVT ITCRASQDIR SNLNWYQQKQP GGAVKLILYY 50
 TSRLHSVGVPD RFSGSGSGTD YTLLTISIQLP EDFATYFCQQ SEKLPLRTFGG 100
 GTKVLEIRTV AAPSFIFPPP SDEQLKSQTA SVVCLLNFFY PREAKVQWKV 150
 DNALQSGNSQ ESVTEQDSKD STYSLSSLT LSKADYEKHK VYACEVTHQG 200
 LSSPVTKSFN RGEC 214

Post-translational modifications

Disulfide bridges location / Position des ponts disulfure / Posiciones de los puentes disulfuro
 Intra-H (C23-C104) 22-96 143-199 259-319 365-423
 22"-96" 143"-199" 259"-319" 365"-423"

Intra-L (C23-C104) 23"-88" 134"-194"
 23"-88" 134"-194"

Inter-H-L (h 5-CL 126) 219-214" 219"-214"

Inter-H-H (h 11, h 14) 225-225" 228-228"

N-terminal glutaminylin cyclization / Cyclisation du glutaminyle N-terminal / Ciclación del glutaminiilo N-terminal
 Q > pyroglutamyl (pE, 5-oxoprolyl) / pyroglutamyle (pE, 5-oxoprolile) / piroglutamilo (pE, 5-oxoprolio)
 HVH Q1: 1, 1"

N-glycosylation sites / Sites de N-glycosylation / Posiciones de N-glicosilación
 H CH2 N84:4: 295, 295"
 Fucosylated complex bi-antennary CHO-type glycans / glycanes de type CHO bi-antennaires complexes fucosylés / glicanos de tipo CHO biantenarios complejos fucosilados.

famzeretcelum famzeretcel

allogeneic human retinal progenitor cells (hRPCs) derived from fetal retina (17-20 weeks gestation). The retinal tissue undergoes dissection and digestion and the obtained cells are grown on fibronectin-coated plates under hypoxic conditions in serum free high nutrient media. The final cell population is characterized by the expression of retinal specification genes (nestin, >95%; Sox2, >85%; Ki67, >50%) and as well as by evidence of differentiation into neurons (neuronal migration protein doublecortin (DCX)) and glia (glial fibrillary acidic protein (GFAP; <5%). The cells secrete osteopontin (OPN), and the secreted OPN together with other trophic factors can give protection to a human retinoblastoma (hRB) cell line treated with a histone deacetylase inhibitor.

famzéretcel

cellules progénitrices rétinienennes humaines allogéniques (hRPC) dérivées de la rétine de fœtus (17-20 semaines de gestation). Le tissu rétinien est disséqué et digéré et les cellules obtenues sont cultivées sur des plaques recouvertes de fibronectine sous condition hypoxique dans un milieu hautement nutritif sans sérum. La population cellulaire finale est caractérisée par l'expression de gènes de spécification rétinienne (nestine, >95%; Sox2, >85%; Ki67, >50%) et par des preuves de différenciation en neurones (protéine de migration neuronale doublecortine (DCX)) et en glie (protéine acide fibrillaire gliale (GFAP; <5%). Les cellules sécrètent de l'ostéopontine (OPN), et l'OPN sécrétée ainsi que d'autres facteurs trophiques peuvent protéger une lignée cellulaire de rétinoblastome humain (hRB) traitée avec un inhibiteur d'histone désacétylases.

famzeretcel

células progenitoras de retina humana (hRPCs) alogénicas derivadas de retina fetal (17-20 semanas de gestación). El tejido retinal se disecciona y digiere y las células obtenidas se crecen en placas forradas de fibronectina bajo condiciones hipóxicas en medio rico en nutrientes y libre de suero. La población celular final se caracteriza por la expresión de genes de especificación retinal (nestina, >95%; Sox2, >85%; Ki67, >50%) y también por la evidencia de diferenciación a neuronas (proteína de migración neuronal doblecortina (DCX)) y glía (proteína ácida fibrilar glial (GFAP; <5%). Las células secretan osteopontina (OPN), y la OPN secretada, junto con otros factores tróficos, da protección a la línea celular de retinoblastoma humana (hRB) tratada con un inhibidor de histona deacetilasa.

fepixnebartum #

fepixnebart

immunoglobulin G4-kappa, anti-[*Homo sapiens* TGFA (transforming growth factor alpha) and anti-EREG (epiregulin)], humanized monoclonal antibody; gamma4 heavy chain humanized (1-444) [VH humanized (*Homo sapiens*IGHV1-69*02 (83,7%) - (IGHD)-IGHJ6*01 (100%), CDR-IMGT [8.8.11] (26-33.51-58.97-107)) (1-118)-*Homo sapiens*IGHG4*01, IGHG4v5 h P10, G4v4 CH2 A1.3, A1.2, nG4m(a) CH2 L92 (CH1 (119-216), hinge 1-12 S10>P (226) (217-228), CH2 L92 (307), F1.3>A (232), L1.2>A (233) (229-338), CH3 (339-443), CHS K2>del (444)) (119-444)], (132-219')-disulfide with kappa light chain *Homo sapiens* (1'-219') [V-KAPPA *Homo sapiens* IGKV4-1*01 (81.2%) -IGKJ4*01 (100%), CDR-IMGT [11.3.9] (27-37.55-57.94-102)) (1'-112') -*Homo sapiens* IGKC*01 (100%), Km3 A45.1 (158), V101 (196) (113'-219')]; dimer (224-224"-227-227")-bisdisulfide, produced in a Chinese hamster ovary (CHO)-derived cell line transfected with the glutamine synthetase (GS) gene, glycoform alfa

fépixnebart

immunoglobuline G4-kappa, anti-[*Homo sapiens* TGFA (transforming growth factor alpha) et anti-EREG (épiréguline)], anticorps monoclonal humanisé; chaîne lourde gamma4 humanisée (1-444) [VH humanisé (*Homo sapiens*IGHV1-69*02 (83,7%) - (IGHD)-IGHJ6*01 (100%), CDR-IMGT [8.8.11] (26-33.51-58.97-107)) (1-118)-*Homo sapiens*IGHG4*01, IGHG4v5 h P10, G4v4 CH2 A1.3, A1.2, nG4m(a) CH2 L92 (CH1 (119-216), charnière 1-12 S10>P (226) (217-228), CH2 L92 (307), F1.3>A (232), L1.2>A (233) (229-338), CH3 (339-443), CHS K2>del (444)) (119-444)], (132-219')-disulfure avec la chaîne légère kappa *Homo sapiens* (1'-219') [V-KAPPA *Homo sapiens* IGKV4-1*01 (81.2%) -IGKJ4*01 (100%), CDR-IMGT [11.3.9] (27-37.55-57.94-102)) (1'-112') -*Homo sapiens* IGKC*01 (100%), Km3 A45.1 (158), V101 (196) (113'-219')]; dimère (224-224"-227-227")-bisdisulfure, produite dans une lignée cellulaire dérivée des cellules ovariennes de hamster chinois (CHO) transfectée avec le gène de la glutamine synthétase (GS), glycoforme alfa

fepixnebart

inmunoglobulina G4-kappa, anti-[*Homo sapiens* TGFA (factor de crecimiento transformante alfa) y anti-EREG (epiregulina)], anticuerpo monoclonal humanizado; cadena pesada gamma4 humanizada (1-444) [VH humanizado (*Homo sapiens*IGHV1-69*02 (83,7%) -(IGHD)-IGHJ6*01 (100%), CDR-IMGT [8.8.11] (26-33.51-58.97-107)) (1-118)-*Homo sapiens*IGHG4*01, IGHG4v5 h P10, G4v4 CH2 A1.3, A1.2, nG4m(a) CH2 L92 (CH1 (119-216), bisagra 1-12 S10>P (226) (217-228), CH2 L92 (307), F1.3>A (232), L1.2>A (233) (229-338), CH3 (339-443), CHS K2>del (444)) (119-444)], (132-219')-disulfuro con la cadena ligera kappa *Homo sapiens* (1'-219') [V-KAPPA *Homo sapiens* IGKV4-1*01 (81.2%) -IGKJ4*01 (100%), CDR-IMGT [11.3.9] (27-37.55-57.94-102)) (1'-112') -*Homo sapiens* IGKC*01 (100%), Km3 A45.1 (158), V101 (196) (113'-219')]; dímero (224-224":227-227")-bisdisulfuro, producido en una línea celular derivada de las células ováricas de hámster chino (CHO) transfectada con el gen de la glutamina sintetasa (GS), forma glicosilada alfa

Heavy chain / Chaîne lourde / Cadena pesada
 QVQLVQSGAE VKKPQGSSVVKV SCRASGYIFT DAYINWVRQA PGQGLEWMGW 50
 IWFGPVITYY NKFKEGRVTI TADKSTSTAY MELSSLRSKED TAVYYCARRE 100
 VLSPFAYWQQ GTTVTVSSAS TKGPSPVFFLA PCSRSRTSEST AALGCLVLKDY 150
 FPEPVPTVSSWN SGALTSGVHT FPAVLQSSGL YSLSSVVTVP SSSLGTKTYT 200
 CNVDHKPSNTV KVDKRVESVKY GPPCPCPCAF EAAGGPFVFL FPPPKPKDTLM 250
 ISRTPEVTCV VDVDSQEDEP VQPNWYVDPGV EVHNNAKTKP R EEFQFNSTYRV 300
 VSVLTPLHQI WLNGKEYKCK VSNKGLPVSS ERTISKAKQO PREPQVYTL 350
 PSQEEMTRNQ VSLSLCLVKGF YPSDIAVEWSE SNGQPEENSYK TPPVLDSDG 400
 SFFLYSRLTV DRSRWQEGNV FSCSVMHEAL HNHYTQKSLN LSLG 444

Light chain / Chaîne légère / Cadena ligera
 DIVMTQSPEBS LAVSMLGERAT INCRRSSQSIV HSTGNTYLEW YQQKPGQPPK 50
 LLIYKVSNRSGV SPQDPDFRSQGS GSCTGDFTLTI SSLQAEDEVAV YYCFCFHGTHPV 100
 YTFGGGTKEV IRKRTVAAPSV FIFPPFSDEQL KSGTASVCL LNNFYFPREAK 150
 VQWKVDNALQ SGNSQESVTE QDSKCDSTYSL SSTTLSKAD YEKHKVYCAE 200
 VTHQQLSSPVY TKSFNRGEC 219

Post-translational modifications

Disulfide bridge location / Position des ponts disulfure / Posiciones de los puentes disulfuro
 Intra-H (C23-C104) 22-96 145-201 259-319 365-423
 22"-96" 145"-201" 259"-319" 365"-423"
 Intra-L (C23-C104) 23"-93" 139"-199"
 23"-93" 139"-199"
 Inter-H-L (CH1 10-CL 126) 132-219" 132"-219"
 Inter-H-H (h 8, h 11) 224-224" 227-227"

N-terminal glutaminyl cyclization / Cyclisation du glutaminyle N-terminal / Ciclación del glutamínico N-terminal
 Q → pyroglutamyl (pE, 5-oxoprolyl) / pyroglutamyle (pE, 5-oxoprolile) / piroglutamilo (pE, 5-oxoprolilo)
 H VH Q1: 1, 1"

N-glycosylation sites / Sites de N-glycosylation / Posiciones de N-glicosilación
 H CH2 N84.4: 295, 295"
 Fucosylated complex bi-antennary CHO-type glycans / glycanes de type CHO bi-antennaires complexes fucosylés / glicanos de tipo CHÓ biantenarios complejos fucosilados.

fequesetidum

fequesetide

thymosin-β₄ (17-23)-peptide, non-phosphorylated;
 L-leucyl-L-lysyl-L-lysyl-L-threonyl-L-α-glutamyl-L-threonyl-L-glutamine

féquésétide

(17-23)-peptide de la thymosine-β₄, non phosphorylé;
 L-leucyl-L-lysyl-L-lysyl-L-thréonyl-L-α-glutamyl-L-thréonyl-L-glutamine

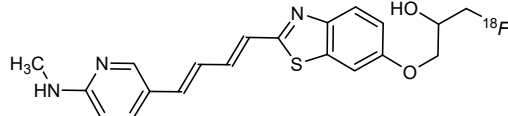
fequesetida

(17-23)-péptido de la timosina-β₄, no fosforilado;
 L-leucil-L-lisil-L-lisil-L-treonil-L-α-glutamil-L-treonil-L-glutamina



florzolotauum (¹⁸F)

- florzolotau (¹⁸F) *rac*-(2*R*)-1-(¹⁸F)fluoro-3-[(2-((1*E*,3*E*)-4-[6-(methylamino)pyridin-3-yl]buta-1,3-dien-1-yl)-1,3-benzothiazol-6-yl)oxy]propan-2-ol
- florzolotau (¹⁸F) *rac*-(2*R*)-1-(¹⁸F)fluoro-3-[(2-((1*E*,3*E*)-4-[6-(methylamino)pyridin-3-yl]buta-1,3-dien-1-yl)-1,3-benzothiazol-6-yl)oxy]propan-2-ol
- florzolotau (¹⁸F) *rac*-(2*R*)-1-(¹⁸F)fluoro-3-[(2-((1*E*,3*E*)-4-[6-(methylamino)pyridin-3-yl]buta-1,3-dien-1-yl)-1,3-benzothiazol-6-yl)oxy]propan-2-ol

C₂₀H₂₀¹⁸FN₃O₂S**forintamigum #**

forintamig

immunoglobulin G1-lambda/kappa with crossed domains, anti-[*Homo sapiens* GPRC5D (G protein-coupled receptor class C group 5 member D)] and anti-[*Homo sapiens* CD3E (CD3 epsilon, Leu-4)], humanized monoclonal antibody, bispecific, trivalent; gamma-lambda heavy chain bispecific, anti-GPRC5D and anti-CD3E (VH-CH1-V-lambda-CH1-CH2-CH3) (1-672) [humanized VH anti-GPRC5D (*Homo sapiens* IGHV3-23*03 (91.8%) -(IGHD) -IGHJ4*01 (93.3%), CDR-IMGT [8.8.10] (26-33.51-58.97-106)) (1-117) -*Homo sapiens*IGHG1*01, G1m17 (CH1 K26>E (147), K119>E (213), K120 (214) (118-215), hinge 1-6 (216-221)) (118-221) -10-mer bis(tetraglycyl-seryl) linker (222-231) -Musmus/Homsap V-LAMDDA anti-CD3E (*Mus musculus* IGLV1*01 (81.2%) -IGLJ1*01 (100%)/*Homo sapiens* IGLV7-46*01 (80.0%) -IGLJ3*02 (100%), CDR-IMGT [9.3.9] (257-265.283-285.322-330))(232-340) -2-mer biseryl linker (341-342) -*Homo sapiens* IGHG1*01, G1m17,1, G1v14-49 CH2 A1.3, A1.2, G114,G1v32 CH3 W22 (knob) (CH1 K120 (439) (343-440), hinge 1-15 (441-455), CH2 L1.3>A (459), L1.2>A (460), P114>G (554) (456-565), CH3 S10>C (579), D12 (581), L14 (583), T22>W (591) (566-670), CHS (671-672)] (343-672)], (220-218')-disulfide with kappa light chain anti-GPRC5D (1'-218') [humanized V-KAPPA (*Homo sapiens* IGKV3-20*01 (83.8%) -IGKJ5*01 (91.7%), CDR-IMGT [10.3.9] (27-36.54-56.93-101)) (1'-111') -*Homo sapiens* IGKC*01 (98.1%), E12>R (127), Q13>K (128), Km3 A45.1 (157), V101 (195) (112'-218')], (445-232'')-disulfide with light chain with crossed VH anti-CD3E (1''-232'') [humanized VH (*Homo sapiens* IGHV3-23*03 (87.0%) -IGHJ4*01 (86.7%), CDR-IMGT [8.10.16] (26-33.51-60.99-114)) (1''-125'') -*Homo sapiens* IGKC*01 (99.1%), R1.4>A (126), T1.3>S (127), Km3 A45.1 (171), V101 (209) (126''-232'')]; gamma 1 heavy chain anti-GPRC5D (1''-447'') [humanized VH (*Homo sapiens* IGHV3-23*03 (91.8%) -(IGHD) -IGHJ4*01 (93.3%), CDR-IMGT [8.8.10] (26-33.51-58.97-106)) (1''-117') -*Homo sapiens* IGHG1*01, G1m17,1, G1v14-49 CH2 A1.3, A1.2, G114, G1v33 CH3 S22, A24, V86 (hole) (CH1 K26>E (147), K119>E (213), K120(214) (118'-215'), hinge1-15 (216'-230'), CH2 L1.3>A (234), L1.2>A (235), P114>G (329) (231'-340'), CH3 Y5>C (349), D12 (356), L14 (358), T22>S (366), L24>A (368), Y86>V (407) (341'-445'), CHS (446'-447')] (118''-447''), (220''-218'')-disulfide with kappa light chain anti-GPRC5D(1'''-218'') [humanized V-KAPPA (*Homo sapiens* IGKV3-20*01 (83.8%) -IGKJ5*01 (91.7%), CDR-IMGT [10.3.9] (27-36.54-56.93-101)) (1'''-111'') -*Homo sapiens* IGKC*01 (98.1%), E12>R (127), Q13>K (128), Km3 A45.1 (157), V101 (195) (112''-218'')]; dimer (451-226':454-229':579-349')-trisdisulfide, produced in Chinese hamster ovary (CHO) cells, glycoform alfa

foramtamig	immunoglobuline G1-lambda/kappa avec domaines croisés, anti-[<i>Homo sapiens</i> GPRC5D(membre D du groupe 5 de la classe C des récepteurs couplés aux protéines G)] et anti-[<i>Homo sapiens</i> CD3E (CD3 epsilon, Leu-4)], anticorps monoclonal humanisé, biespécifique, trivalent; chaîne lourde gamma-lambda anti-GPRC5D et anti-CD3E (VH-CH1-V-lambda-CH1-CH2-CH3) (1-672) [VH anti-GPRC5D humanisé (<i>Homo sapiens</i> IGHV3-23*03 (91.8%) -(IGHD) -IGHJ4*01 (93.3%), CDR-IMGT [8.8.10] (26-33.51-58.97-106)) (1-117) - <i>Homo sapiens</i> IGHG1*01, G1m17 (CH1 K26>E (147), K119>E (213), K120(214) (118-215), charnière 1-6 (216-221)) (118-221)-10-mer bis(tétraglycyl-séryl) linker (222-231) -Musmus/Homsap V-LAMDDA anti-CD3E (<i>Mus musculus</i> IGLV1*01 (81.2%)-IGLJ1*01 (100%)/ <i>Homo sapiens</i> IGLV7-46*01 (80.0%)-IGLJ3*02 (100%), CDR-IMGT [9.3.9] (257-265.283-285.322-330))(232-340) -2-mer biséryl linker (341-342) - <i>Homo sapiens</i> IGHG1*01, G1m17,1, G1v14-49 CH2 A1.3, A1.2, G114,G1v32 CH3 W22 (knob) (CH1 K120 (439) (343-440), charnière 1-15 (441-455), CH2 L1.3>A (459), L1.2>A (460), P114>G (554) (456-565), CH3 S10>C (579), D12 (581), L14 (583), T22>W (591) (566-670), CHS (671- 672)) (343-672)], (220-218')
foramtamig	inmunoglobulina G1-lambda/kappa con dominios cruzados, anti-[<i>Homo sapiens</i> GPRC5D(miembro D del grupo 5 de la clase C de los receptores emparejados con proteínas G)] y anti-[<i>Homo sapiens</i> CD3E (CD3 epsilon, Leu-4)], anticuerpo monoclonal humanizado, biespecífico, trivalente; cadena pesada gamma-lambda anti-GPRC5D y anti-CD3E (VH-CH1-V-lambda-CH1-CH2-CH3) (1-672) [VH anti-GPRC5D humanizado (<i>Homo sapiens</i> IGHV3-23*03 (91.8%) -(IGHD) -IGHJ4*01 (93.3%), CDR-IMGT [8.8.10] (26-33.51-58.97-106)) (1-117) - <i>Homo sapiens</i> IGHG1*01, G1m17 (CH1 K26>E (147), K119>E (213), K120(214) (118-215), bisagra 1-6 (216-221)) (118-221)-10-mer bis(tetraglicil-séryl) linker (222-231) -Musmus/Homsap V-LAMDDA anti-CD3E (<i>Mus musculus</i> IGLV1*01 (81.2%)-IGLJ1*01 (100%)/ <i>Homo sapiens</i> IGLV7-46*01 (80.0%)-IGLJ3*02 (100%), CDR-IMGT [9.3.9] (257-265.283-285.322-330))(232-340) -2-mer biséryl linker (341-342) - <i>Homo sapiens</i> IGHG1*01, G1m17,1, G1v14-49 CH2 A1.3, A1.2, G114,G1v32 CH3 W22 (knob) (CH1 K120 (439) (343-440), bisagra 1-15 (441-455), CH2 L1.3>A (459), L1.2>A (460), P114>G (554) (456-565), CH3 S10>C (579), D12 (581), L14 (583), T22>W (591) (566-670), CHS (671- 672)) (220-218')

disulfuro con la cadena ligera kappa anti-GPRC5D (1'-218') [V-KAPPA humanizada (*Homo sapiens*) IGKV3-20*01 (83.8%) -IGKJ5*01 (91.7%), CDR-IMGT [10.3.9] (27-36.54-56.93-101)) (1'-111') -*Homo sapiens* IGKC*01 (98.1%), E12>R (127), Q13>K (128), Km3 A45.1 (157), V101 (195) (112'-218')], (445-232'')-disulfuro con la cadena ligera kappa con VH cruzado anti-CD3E (1''-232'') [VH humanizado (*Homo sapiens*)IGHV3-23*03 (87.0%) -IGHJ4*01 (86.7%), CDR-IMGT [8.10.16] (26-33.51-60.99-114)) (1''-125'') -*Homo sapiens* IGKC*01 (99.1%), R1.4>A (126), T1.3>S (127), Km3 A45.1 (171), V101 (209) (126''-232'')]; cadena pesada gamma1 anti-GPRC5D (1"-447") [VH humanizado (*Homo sapiens*)IGHV3-23*03 (91.8%) -(IGHD) -IGHJ4*01 (93.3%), CDR-IMGT [8.8.10] (26-33.51-58.97-106)) (1"-117'') -*Homo sapiens*IGHG1*01, G1m17.1, G1v14-49 CH2 A1.3, A1.2, G114, G1v33 CH3 S22, A24, V86 (hole)(CH1 K26>E (147), K119>E (213), K120(214) (118"-215"), bisagra1-15 (216"-230"), CH2 L1.3>A (234), L1.2>A (235), P114>G (329) (231"-340"), CH3 Y5>C (349), D12 (356), L14 (358), T22>S (366), L24>A (368), Y86>V (407) (341"-445"), CHS (446"- 447")) (118"-447")], (220"-218'')-disulfuro con la cadena ligera anti-GPRC5D(1''-218'') [V-KAPPA humanizada (*Homo sapiens*) IGKV3-20*01 (83.8%) -IGKJ5*01 (91.7%), CDR-IMGT [10.3.9] (27-36.54-56.93-101)) (1''-111'') -*Homo sapiens* IGKC*01 (98.1%), E12>R (127), Q13>K (128), Km3 A45.1 (157), V101 (195) (112''- 218'')]; dímero (451-226":454-229":579-349")-tridisulfuro, producido en una línea celular derivada de las células ováricas de hámster chino (CHO), forma glicosilada alfa

Heavy chain / Chaîne lourde / Cadena pesada:

bispecífico VH-CH1-V-lambda-CH2-CH2-CH3 (H)
EVQILLESQGG LVQPGGSSLRL SCAASGFTFS KYAMAWVRQA PGKGLEWVAS 50
1STGVNVNTY ADSVKGRFTI SRDNDSKNTLY LMQNSLRAED TAVYYCATHT 100
GDYFDYWGGQ TMVTVSSAST KGPSVFPFLAP SSKSTSGGTA ALGLCLVEDYF 150
PEPVPTWSNS GALTSSVHTP PAVLQSSGLY SLSSVVTVPs SSLGTQTYIC 200
VNHHKPSNTK VDEKEVEPKSC DCGGGGGGGG SOAVVTOEPS LTWSVPGCTV 250
LTCGSSTGAV TTTSVANWQG EKPGQAFRGL IGGTINKRASPQ TPARFGSSL 300
GCKKALTLG AQFEDBABYY CALWYSLNLWV FGCGTCKLTVL SSASTKGPSV 350
FPLAPSSKST SGTAALGCL VKDYFPEPVT VSWNSGALTS GVHTFPAVLQ 400
SSGLYSLSSV VTVPSVFLGQI QTYICCNVNHK PSNTKVDKKV EPKSCDKHT 450
CPFCPAPEAA GGSVFLPFPEPKDQTLMSIR TPEVTVCVVD VSHEDEVKF 500
NWYVDGVEVH NAKTRPREEQ INSYTRVRSV LTVLHQDWLN GKEYKCKVSN 550
KALGAPIEKT ISKARGQPRE FQVYTLPPCR DELTKRNQVSL WCLVKGFTPS 600
DIAWEWESNG QPENNYKTPF PVLDSDGSF LYSKLTVDKS RWQOGNVFSC 650
SVMEHALHNH YTQSKSLSLP GK 672

Heavy chain / Chaîne lourde / Cadena pesada: anti-GPRC5D (H")

EVQILLESQGG LVQPGGSSLRL SCAASGFTFS KYAMAWVRQA PGKGLEWVAS 50
1STGVNVNTY ADSVKGRFTI SRDNDSKNTLY LMQNSLRAED TAVYYCATHT 100
GDYFDYWGGQ TMVTVSSAST KGPSVFPFLAP SSKSTSGGTA ALGLCLVEDYF 150
PEPVPTWSNS GALTSSVHTP PAVLQSSGLY SLSSVVTVPs SSLGTQTYIC 200
VNHHKPSNTK VDEKEVEPKSC DKTHTCPCCP APEAAGGPSV FLFFPPKPDT 250
LMISRPTEV CVVVDVSHED PEVKFVNWYV GVEVINAKT PREEQINSTY 300
RVVISVLTVLH QDWLNKEYRK CRVSNKALGA PIERKTIKSAQ GQPREQVCT 350
LPPSRDELTK NQVSLSCAVR GFYPSDIKAGE WESNGQPENN YKTTPPVLDs 400
DGSPFLVLSKL TVDKSRSRQQQ NVFSCSVMHE ALHNHYTQKS LSLSPK 447

Light chain / Chaîne légère / Cadena ligera: anti-GPRC5D (L', L")

EIVLTQSPQT LSLSPGERAT LSLCRASQSVS ISGILNLMWY QKPGQQPKL 50
LIYHASILAS GIPDRFRGSSG SGDFTLITIS RLEPEDFAVY YCQQTRESP 100
TFQGQTRLEI KRTVAAPSPV IFPPSDRKLK SGTAHSVCLL NFNFYPREAKV 150
QWKVDNALQG GNSQESVTEQ DSKDSTYSLs STLTLKADY EKKHVYACEV 200
THQQLSSPVt KSFNRGEC 218

Light chain / Chaîne légère / Cadena ligera: anti-CD3E crossed VH (L")

EVQILLESQGG LVQPGGSSLRL SCAASGQFQS SYAMMWVRQA PGKGLEWVR 50
1RSKYNNYAT YYADSVKGRF TISRDDSNTY LYLNQNSLRA EDTAVYYCVR 100
HTTFPSSYYV YYGYNGQGTI VTVSSASVAA PSVFIFPPSD EQLKSGTASV 150
VCLLNNFYPR EAKVQWVKDN ALQSGNSQES VTEQDSKDST YSLSLSTLTS 200
KADYEKKHVY ACEVTHQGLS SPVTKSFNRG EC 232

Post-translational modifications

Disulfide bridges location / Position des ponts disulfure / Posiciones de los puentes disulfuro
Intra-H (C23-C104) 22"-96" 144"-200" 253"-321" 369"-425" 486"-546" 592"-650"
22"-96" 144"-200" 261"-321" 367"-425"
Intra-L (C23-C104) 23"-92" 138"-198" 23"-92" 138"-198"
22"-98" 152"-212"
Inter-H-L (h 5-CL 126) 220-218" 445-232" 220"-218"
Inter-H-H (h 11, h 14) 451-226" 454-229" 579-349"

N-glycosylation sites / Sites de N-glycosylation / Posiciones de N-glicosilación
H CH2 N84:4;
522, 297"

Fucosylated complex bi-antennary CHO-type glycans / glycanes de type CHO bi-antennaires complexes fucosylés / glicanos de tipo CHO biantenarios complejos fucosilados.

C-terminal lysine clipping / Coupe de la lysine C-terminale / Recorte de lisina C-terminal
H CHS K2:
672, 447"

fosclevudinum alafenamidum

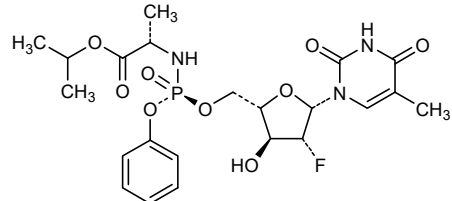
fosclevudine alafenamide

propan-2-yl *N*-[($P^5'S$)-2'-deoxy-2'-fluoro-5-methyl- O^P -phenyl- β -L-arabino-5'-uridylyl]-L-alaninate

fosclévudine alafénamide

N-[($P^5'S$)-2'-désoxy-2'-fluoro-5-méthyl- O^P -phényl- β -L-arabino-5'-uridylyl]-L-alaninate de propan-2-yle

fosclevudina alafenamida

N-[($P^5'S$)-2'-desoxi- O^P -fenil-2'-fluoro-5-metil- β -L-arabino-5'-uridilil]-L-alaninato de propan-2-ilo**freneslerbartum #**

freneslerbart

immunoglobulin G4-kappa, anti-[*Felis silvestris catus* (domestic cat) allergen 1], *Homo sapiens* monoclonal antibody;

gamma4 heavy chain *Homo sapiens* (1-446) [VH (*Homo sapiens*IGHV3-21*05 (92.9%) -(IGHD) - IGHJ6*01 (94.1%), CDR-IMGT [8.8.12] (26-33.51-58.97-108)) (1-119)-*Homo sapiens*IGHG4*01, G4v5 h P10, nG4m(a) CH2 L92 (CH1 (120-217), hinge 1-12 S10>P (227) (218-229), CH2 L92 (308) (230-339), CH3 (340-444), CHS (445-446)) (120-446)], (133-214')-disulfide with kappa light chain *Homo sapiens* (1'-214') [V-KAPPA (*Homo sapiens*IGKV1-27*01 (95.8%) -IGKJ2*01 (100%), CDR-IMGT [6.3.9] (27-32.50-52.89-97)) (1'-107') -*Homo sapiens*IGKC*01 (100%), Km3 A45.1 (153), V101 (191) (108'-214')]; dimer (225-225":228-228")-bisdisulfide, produced in Chinese hamster ovary (CHO) cells, glycoform alfa

fréneslerbart

immunoglobuline G4-kappa, anti-[*Felis silvestris catus* (chat domestique)]], anticorps monoclonal *Homo sapiens*;

chaîne lourde gamma4 *Homo sapiens* (1-446) [VH (*Homo sapiens*IGHV3-21*05 (92.9%) -(IGHD) - IGHJ6*01 (94.1%), CDR-IMGT [8.8.12] (26-33.51-58.97-108)) (1-119)-*Homo sapiens*IGHG4*01, G4v5 h P10, nG4m(a) CH2 L92 (CH1 (120-217), charnière 1-12 S10>P (227) (218-229), CH2 L92 (308) (230-339), CH3 (340-444), CHS (445-446)) (120-446)], (133-214')-disulfure avec la chaîne légère kappa *Homo sapiens* (1'-214') [V-KAPPA (*Homo sapiens*IGKV1-27*01 (95.8%) -IGKJ2*01 (100%), CDR-IMGT [6.3.9] (27-32.50-52.89-97)) (1'-107') -*Homo sapiens*IGKC*01 (100%), Km3 A45.1 (153), V101 (191) (108'-214')]; dimère (225-225":228-228")-bisdisulfure, produit dans des cellules ovariennes de hamster chinois (CHO), glycoforme alfa

freneslerbart	<p>inmunoglobulina G4-kappa, anti-[Fel d 1 (alérgeno 1 de <i>Felis silvestris catus</i> (gato doméstico))], anticuerpo monoclonal <i>Homo sapiens</i>; cadena pesada gamma4 <i>Homo sapiens</i> (1-446) [VH (<i>Homo sapiens</i> IGHV3-21*05 (92.9%) -(IGHD) -IGHJ6*01 (94.1), CDR-IMGT [8.8.12] (26-33.51-58.97-108)) (1-119)-<i>Homo sapiens</i> IGHG4*01, G4v5 h P10, nG4m(a) CH2 L92 (CH1 (120-217), bisagra 1-12 S10>P (227) (218-229), CH2 L92 (308) (230-339), CH3 (340-444), CHS (445-446)) (120-446)], (133-214')-disulfuro con la cadena ligera kappa <i>Homo sapiens</i> (1'-214') [V-KAPPA (<i>Homo sapiens</i> IGKV1-27*01 (95.8%) -IGKJ2*01 (100%), CDR-IMGT [6.3.9] (27-32.50-52.89-97)) (1'-107') -<i>Homo sapiens</i> IGKC*01 (100%), Km3 A45.1 (153), V101 (191) (108'-214')]; dímero (225-225":228-228")-bisdisulfuro, producido en las células ováricas de hamster chino (CHO), forma glicosilada alfa</p> <p>Heavy chain / Chaîne lourde / Cadena pesada EVQLVESGGV LVKPGGSLRL SCAASGFTFR NYNINWVRQAA PGKGLEWWSL 50 ISGSSSSYYI AADSVKGRFTV SRDNAKNSLY LMNSNLRAED TAVVYCARRT 100 LSYYVMDWG QCTVTWSSA STKGPSVPL APCRSRSTSES TAALGCLVKD 150 YFPEFVTVSW NSGALTSGVH TFPALVLOSSG YLSLSVUTV PSSSLGKTKY 200 TCNVDHFKSN TKVUDKRVESK YGPCCPCCPA PEFLGCPSPVLF LFFPKKKTDL 250 MISRTPEVTC VVVDVQSQEDP EVQFNWYVDG VEVNAAKTRP REEQFNSTYR 300 VVSVLTVLHQ DWLNKEYRC KVSNNGLPPS IEKTIISRAKG QPREPOVYTL 350 PPSQEEMTQN QVSLTCLVKG FYPSDIAVEP ESNQEPENNY KTTTPVLDSD 400 GSFLYRSRLT VDKSRWQEGN VFSCSMHEA LHNHYTQKSL SLSLGK 446</p> <p>Light chain / Chaîne légère / Cadena ligera DIGVQTQSPF LSASVGDRVT ITCRASQGIS NYLAWYQQKP GRVPQLLIYA 50 ASTLQSGVPS RFSGSGSGTD FTILTISIQLP EDVATYYCQK YNSAPYTFQG 100 GTLKEIKRTV AAPSFVIFPP SDEQLKSGTVA VSVCLNNFY PREAKVQWKV 150 DNALQSGNSQ ESVTEQDSKD STYSLSSHTL LSKADYEKHK VYACEVTHQG 200 LSSPVTKFSN RGECA 214</p> <p>Post-translational modifications Disulfide bridges location / Position des ponts disulfure / Posiciones de los puentes disulfuro Intra-H (C23-C104) 22.-96 146.-202 260.-320 366.-424 22"-96" 146"-202" 260"-320" 366"-424" Intra-L (C23-C104) 23"-88" 134"-194" 23"-88" 134"-194" Inter-H-L (CH1 10-CL 126) 133-214" 133"-214" Inter-H-H (h 8, h 11) 225-225" 228-228"</p> <p>N-glycosylation sites / Sites de N-glycosylation / Posiciones de N-glicosilación H CH2 N84.4: 296, 296" Fucosylated complex bi-antennary CHO-type glycans / glycanes de type CHO bi-antennaires complexes fucosylés / glicanos de tipo CHO biantenarios complejos fucosilados.</p> <p>C-terminal lysine clipping / Coupe de la lysine C-terminale / Recorte de lisina C-terminal H CHS K2: 446, 446"</p>
froniglutidum # froniglutide	[2-glycine]-human glucagon-like peptide 1(7-37) (1-31 in the actual sequence), non-phosphorylated, fused to 121 repeats of elastin-derived pentapeptides (VPGVG, VPGGG, VPGAG, and VPGWP) (32-636); fusion protein comprising [A ⁸ >G ²]-human glucagon-like peptide 1(7-37) [hGLP-1(7-37)] (1-31) and an artificial elastin-like polypeptide (ELP) (32-631) of 120 alternating pentapeptides of three types VPGVG, VPGGG, and VPGAG, and a C-terminal pentapeptide VPGWP (632-636), produced in <i>Escherichia coli</i>
froniglutide	[2-glycine]-peptide de type glucagon 1(7-37) humain (1-31 dans la séquence réelle), non phosphorylé, fusionné à 121 répétitions de pentapeptides dérivés de l'élastine (VPGVG, VPGGG, VPGAG et VPGWP) (32-636); protéine de fusion comprenant le [A ⁸ >G ²]-peptide de type glucagon 1(7-37) humain [hGLP-1(7-37)] (1-31) et un polypeptide de type élastine (ELP) artificiel (32-631) de 120 pentapeptides alternés de trois types VPGVG, VPGGG et VPGAG, et un pentapeptide C-terminal VPGWP (632-636), produit dans <i>Escherichia coli</i>

froniglutida

[2-glicina]-péptido similar al glucagón 1(7-37) humano (1-31 en la secuencia real), no fosforilado, fusionado a 121 repeticiones de pentapéptidos derivados de elastina (VPGVG, VPGGG, VPGAG y VPGWP) (32-636); proteína de fusión que comprende el [A⁸> G₂]-péptido similar al glucagón 1(7-37) humano [hGLP-1(7-37)] (1-31) y un polipéptido similar a elastina artificial (ELP) (32-631) de 120 pentapéptidos alternos de tres tipos VPGVG, VPGGG y VPGAG, y un pentapéptido C-terminal VPGWP (632-636), producida en *Escherichia coli*

Sequence / Séquence / Secuencia:

```

HEEGTFTSDV SSYLEGQAAK EFTIAWLVKGR GVPGVGVPGV GVPGGGVPGA 50
GVPGVGVG GVPGVGVPGG GVPGAGVPGG GVPGVGVPGV GVPGGGVPGA 100
GVPGVGVG GVPGVGVPGG GVPGAGVPGG GVPGVGVPGV GVPGGGVPGA 150
GVPGVGVG GVPGVGVPGG GVPGAGVPGG GVPGVGVPGV GVPGGGVPGA 200
GVPGVGVG GVPGVGVPGG GVPGAGVPGG GVPGVGVPGV GVPGGGVPGA 250
GVPGVGVG GVPGVGVPGG GVPGAGVPGG GVPGVGVPGV GVPGGGVPGA 300
GVPGVGVG GVPGVGVPGG GVPGAGVPGG GVPGVGVPGV GVPGGGVPGA 350
GVPGVGVG GVPGVGVPGG GVPGAGVPGG GVPGVGVPGV GVPGGGVPGA 400
GVPGVGVG GVPGVGVPGG GVPGAGVPGG GVPGVGVPGV GVPGGGVPGA 450
GVPGVGVG GVPGVGVPGG GVPGAGVPGG GVPGVGVPGV GVPGGGVPGA 500
GVPGVGVG GVPGVGVPGG GVPGAGVPGG GVPGVGVPGV GVPGGGVPGA 550
GVPGVGVG GVPGVGVPGG GVPGAGVPGG GVPGVGVPGV GVPGGGVPGA 600
GVPGVGVG GVPGVGVPGG GVPGAGVPGG GVPGW 636

```

Mutation / Mutation / Mutación

A²>**G**.

Structuring of the ELP / Structuration de l'ELP / Estructuración del ELP
 32-636 (605 aa) = 120 × VPGXG (with X = A, G, V) = 12 × **a**bca-bcab, with the pentapeptides **a** = VPGVG, **b** = VPGGG, and **c** = VPGAG, plus the C-terminal pentapeptide VPGWP.

Post-translational modifications / Modifications post-traductionnelles / Modificaciones posttraduccionales: none / aucune / ninguna

fulimetabantum

fulimetabant

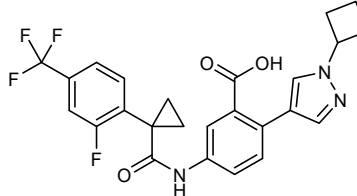
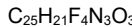
2-(1-cyclobutyl-1*H*-pyrazol-4-yl)-5-{1-[2-fluoro-4-(trifluoromethyl)phenyl]cyclopropane-1-carboxamido}benzoic acid

fulimétibant

acide 2-(1-cyclobutyl-1*H*-pyrazol-4-yl)-5-{1-[2-fluoro-4-(trifluorométhyl)phényl]cyclopropane-1-carboxamido}benzoïque

fulimetabant

ácido 2-(1-ciclobutil-1*H*-pirazol-4-il)-5-{1-[2-fluoro-4-(trifluorometil)fenil]ciclopropano-1-carboxamido}benzoico



funobactamum

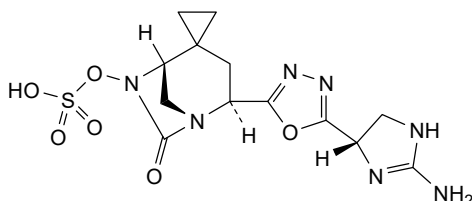
funobactam

(1*R*,4*S*,5*R*)-4-{5-[(4*S*)-2-amino-4,5-dihydro-1*H*-imidazol-4-yl]-1,3,4-oxadiazol-2-yl}-6-oxo-5,7-diazaspiro[bicyclo[3.2.1]octane-2,1'-cyclopropan]-7-yl hydrogen sulfate

funobactam

hydrogénosulfate de (1*R*,4*S*,5*R*)-4-{5-[(4*S*)-2-amino-4,5-dihydro-1*H*-imidazol-4-yl]-1,3,4-oxadiazol-2-yl}-6-oxo-5,7-diazaspiro[bicyclo[3.2.1]octane-2,1'-cyclopropan]-7-yile

funobactam

hidrogenosulfato de (1*R*,4*S*,5*R*)-4-{5-[(4*S*)-2-amino-4,5-dihydro-1*H*-imidazol-4-yl]-1,3,4-oxadiazol-2-yl}-6-oxo-5,7-diazaspiro[biciclo[3.2.1]octano-2,1'-cyclopropan]-7-ilo $C_{13}H_{17}N_7O_6S$ **golcadomidum**

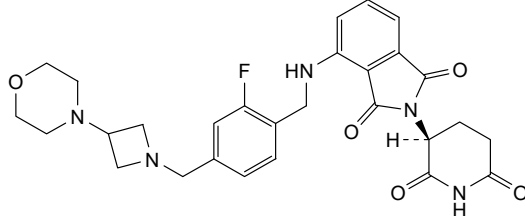
golcadomide

(8³S)-4³-fluoro-6-aza-7(4,2)-isoindola-1(4)-morpholina-8(3)-piperidina-2(3,1)-azetidina-4(1,4)-benzenaoctaphane-7¹,7³,8²,8⁶-tetrone

golcadomide

(8³S)-4³-fluoro-6-aza-7(4,2)-isoindola-1(4)-morpholina-8(3)-pipéridina-2(3,1)-azétidina-4(1,4)-benzénaoctaphane-7¹,7³,8²,8⁶-tétrone

golcadomida

(8³S)-4³-fluoro-6-aza-7(4,2)-isoindola-1(4)-morfolina-8(3)-piperidina-2(3,1)-azetidina-4(1,4)-bencenoctafano-7¹,7³,8²,8⁶-tetrona $C_{28}H_{30}FN_5O_5$ **gorivitugum #**

gorivitug

immunoglobulin G1-kappa, anti-[*Homo sapiens* severe acute respiratory syndrome coronavirus 2 (SARS-CoV-2) spike (S) protein, receptor binding domain (RBD)], *Homo sapiens* monoclonal antibody;

gamma1 heavy chain *Homo sapiens* (1-453) [VH (*Homo sapiens*IGHV3-64D*06 (94.9%) -(IGHD) - IGHJ6*01 (100%), CDR-IMGT [8.8.16] (26-33.51-58.97-112)) (1-123)-*Homo sapiens*IGHG1*01, G1m17,1 (CH1 K120 (220) (124-221), hinge 1-15 (222-236), CH2 (237-346), CH3 D12 (362), L14 (364) (347-451), CHS (452-453)) (124-453)], (226-214')-disulfide with kappa light chain *Homo sapiens* (1'-214') [V-KAPPA (*Homo sapiens*IGKV1-39*01 (96.8%) - IGKJ3*01 (100%), CDR-IMGT [6.3.9] (27-32.50-52.89-97)) (1'-107') -*Homo sapiens*IGKC*01 (100%), Km3 A45.1 (153), V101 (191) (108'-214')]; dimer (232-232":235-235")-bisdisulfide, produced in Chinese hamster ovary (CHO) cells, cell line CHO-K1, glycoform alfa

gorivitug

immunoglobuline G1-kappa, anti-[domaine de liaison au récepteur (RBD) de la glycoprotéine spike (S) du coronavirus 2 du syndrome respiratoire aigu sévère (SARS-CoV-2)], anticorps monoclonal *Homo sapiens*; chaîne lourde gamma1 *Homo sapiens* (1-453) [VH (*Homo sapiens*IGHV3-64D*06 (94.9%) -(IGHD) - IGHJ6*01 (100%), CDR-IMGT [8.8.16] (26-33.51-58.97-112)) (1-123)-*Homo sapiens*IGHG1*01, G1m17,1 (CH1 K120 (220) (124-221), charnière 1-15 (222-236), CH2 (237-346), CH3 D12 (362), L14 (364) (347-451), CHS (452-453)) (124-453)], (226-214')-disulfure avec la chaîne légère kappa *Homo sapiens* (1'-214') [V-KAPPA (*Homo sapiens*IGKV1-39*01 (96.8%) -IGKJ3*01 (100%), CDR-IMGT [6.3.9] (27-32.50-52.89-97)) (1'-107') -*Homo sapiens*IGKC*01 (100%), Km3 A45.1 (153), V101 (191) (108'-214')]; dimère (232-232":235-235")-bisdisulfure, produit dans des cellules ovaries de hamster chinois (CHO), lignée cellulaire CHO-K1, glycoforme alfa

gorivitug

imunoglobulina G1-kappa, anti-[dominio unión al receptor (RBD) de la glicoproteína de espícula (S) del coronavirus 2 del síndrome respiratorio agudo severo (SARS-CoV-2)], anticuerpo monoclonal *Homo sapiens*; cadena pesada gamma1 *Homo sapiens* (1-453) [VH (*Homo sapiens*IGHV3-64D*06 (94.9%) -(IGHD) - IGHJ6*01 (100%), CDR-IMGT [8.8.16] (26-33.51-58.97-112)) (1-123)-*Homo sapiens*IGHG1*01, G1m17,1 (CH1 K120 (220) (124-221), bisagra 1-15 (222-236), CH2 (237-346), CH3 D12 (362), L14 (364) (347-451), CHS (452-453)) (124-453)], (226-214')-disulfuro con la cadena ligera kappa *Homo sapiens* (1'-214') [V-KAPPA (*Homo sapiens*IGKV1-39*01 (96.8%) -IGKJ3*01 (100%), CDR-IMGT [6.3.9] (27-32.50-52.89-97)) (1'-107') -*Homo sapiens*IGKC*01 (100%), Km3 A45.1 (153), V101 (191) (108'-214')]; dímero (232-232":235-235")-bisdisulfuro, producido en las células ováricas de hámster chino (CHO), línea celular CHO-K1, forma glicosilada alfa

Heavy chain / Chaîne lourde / Cadena pesada

EVQLVESGGG	LVQPGGLRLR	SCSASGFTFS	RYAMYWVRQA	PGKGLEYVSA	50
ISSDDGGSTYD	ADSVKGRFTI	SRANSRNTLY	LQMSSRLRAED	TAVYYCVKGL	100
RELLYYYYGM	DWVGQGTVT	VSSASTKGP	VFFLAPSSKS	TSGGTAALGC	150
LVKDYFPEPV	TVSNWSGALT	SGVHTTPFAVS	QSSGLYSLSS	VVTVPSSLG	200
TQTYICVNVA	KPSNTKVDKK	VEPKSCDKTH	TCPCPAPEL	LGGPSVFLPF	250
PKPKDITLMIS	RTEPVTCVVV	DSHEPDCPEVK	FNWYVDGVEV	HNAKTKPREE	300
QYNSTYRVVS	LTIVLHQDWL	NGKEYKCKV	NKALPAPIEV	TISKAKGQPR	350
EPQVTLPPS	RDELTKNQVS	LTCLVKGFPY	SDIAVEWESN	GOPENNYKTT	400
PPVLDSDGSE	FLYSKLTVDK	SRWQGNVFS	CSVMEHALHN	HYTKSLSLIS	450
PGK					

Light chain / Chaîne légère / Cadena ligera

DIQMTQSPSS	LSASVGDRTV	ITCRAQGQS	SFLNWYQQKP	GKAPKLLIYA	50
ASSLQSGVPS	RFSGSGGSQTD	FTLTQSGLQP	EDFATYXQQQ	SYITPTFFGP	100
GTKVDIKRTV	AAPSVFIFPP	SDEQLKSGTA	SVVCLNNNFY	PREAKVQWKV	150
DNALQSGNSQ	ESVTEQDSKD	STYSLSSLT	LSKADYEKHK	YVACEVTHQG	200
LSSPVTKSFN	RGECE				214

Post-translational modifications

Disulfide bridges location / Position des ponts disulfure / Posiciones de los puentes disulfuro
Intra-H (C23-C104) 22-96 150-206 267-327 373-431

22"-96" 150"-206" 267"-327" 373"-431"

Intra-L (C23-C104) 23-88" 134"-194"

23"-88" 134"-194"

Inter-H-L (h 5-CL 126) 226-214" 226"-214"

Inter-H-H (h 11, h 14) 232-232" 235-235"

N-glycosylation sites / Sites de N-glycosylation / Posiciones de N-glicosilación
H CH₂ N84.4: 303, 303"

Fucosylated complex bi-antennary CHO-type glycans / glycanes de type CHO bi-antennaires
complexes fucosyles / glicanos de tipo CHO biantenarios complejos fucosilados.

C-terminal lysine clipping / Coupure de la lysine C-terminale / Recorte de lisina C-terminal
H CHS K2: 453, 453"

gumarontinib

gumarontinib

6-(1-methyl-1*H*-pyrazol-4-yl)-1-[6-(1-methyl-1*H*-pyrazol-4-yl)imidazo[1,2-*a*]pyridine-3-sulfonyl]-1*H*-pyrazolo[4,3-*b*]pyridine

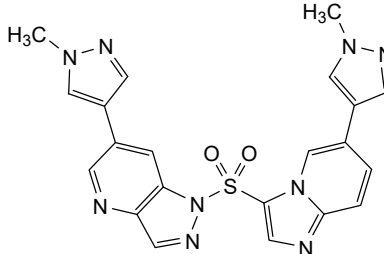
gumarontinib

6-(1-méthyl-1*H*-pyrazol-4-yl)-1-[6-(1-méthyl-1*H*-pyrazol-4-yl)imidazo[1,2-*a*]pyridine-3-sulfonyl]-1*H*-pyrazolo[4,3-*b*]pyridine

gumarontinib

6-(1-metil-1*H*-pirazol-4-il)-1-[6-(1-metil-1*H*-pirazol-4-il)imidazo[1,2-*a*]piridina-3-sulfonil]-1*H*-pirazolo[4,3-*b*]piridina

C₂₁H₁₇N₉O₂S



ibacovavecum

ibacovavec

recombinant, replication-incompetent E1-deleted adenovirus serotype 26 vector encoding a full-length pre-fusion stabilised severe acute respiratory syndrome coronavirus 2 (SARS-CoV-2) spike (S) glycoprotein (sequence based upon the original Wuhan isolate of 2019, whole genome sequence NC_045512), with two amino acid changes in the S1/S2 junction (R682S and R685G) that knock out the

furin cleavage site, and two proline substitutions in the hinge region (K986P and V987P). Expression of the transgene is under control of a synthetic human cytomegalovirus promoter with a tetracycline operon (TetO) sequence inserted upstream of the transgene and the simian virus 40 (SV40) polyadenylation (polyA) signal.

ibacovavec

vecteur adénovirus recombinant de sérotype 26, incomptént à la réplication, codant la séquence entière stabilisée par pré-fusion de la glycoprotéine de spicule (S) du coronavirus 2 du syndrome respiratoire aigu sévère (SARS-CoV-2) (séquence basée sur l'isolat original de Wuhan de 2019, séquence du génome entier NC_045512), avec deux changements d'acides aminés dans la jonction S1/S2 (R682S et R685G) qui éliminent le site de clivage de la furine, et deux substitutions de proline dans la région charnière (K986P et V987P). L'expression du transgène est sous le contrôle d'un promoteur synthétique du cytomégalovirus humain avec une séquence de l'opéron tétracycline (TetO) insérée en amont du transgène et le signal de polyadénylation (polyA) du virus simien 40 (SV40).

ibacovavec

vector de adenovirus del serotipo 26 recombinante, incompetente para la replicación, con E1 elecionado, que codifica para una forma completa, estabilizada en conformación pre-fusión, de la glicoproteína de la espícula (S) del coronavirus 2 del síndrome respiratorio agudo severo (SARS-CoV-2) (secuencia basada en el aislado original de Wuhan de 2019, secuencia genómica completa NC_045512), con dos cambios de amino ácidos en la unión S1/S2 (R682S y R685G) que desactivan el sitio de escisión de la furina, y dos sustituciones de prolina en la región bisagra (K986P y V987P). La expresión del transgén está bajo el control de un promotor sintético de citomegalovirus humano con una secuencia del operón de tetraciclina (TetO) insertada delante del transgén y la señal de poliadenilación (polyA) de SV40.

ibcasertibum

ibcasertib

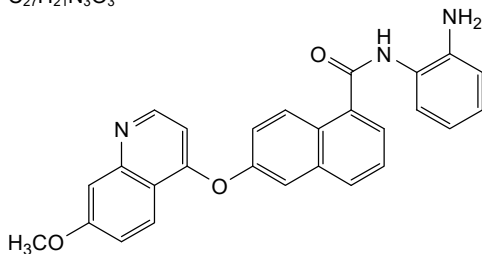
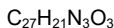
N-(2-aminophenyl)-6-[(7-methoxyquinolin-4-yl)oxy]naphthalene-1-carboxamide

ibcasertib

N-(2-aminophénol)-6-[(7-méthoxyquinoléin-4-yl)oxy]naphtalène-1-carboxamide

ibcasertib

N-(2-aminofenil)-6-[(7-metoxiquinolein-4-il)oxi]naftaleno-1-carboxamida

**icanbelimodum**

icanbelimod

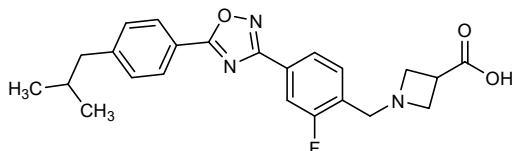
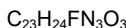
icanbélémôd

icanbelimod

1-[(2-fluoro-4-{5-[4-(2-methylpropyl)phenyl]phenyl}-1,2,4-oxadiazol-3-yl}phenyl)methyl]azetidine-3-carboxylic acid

acide 1-[(2-fluoro-4-{5-[4-(2-méthylpropyl)phényle]-1,2,4-oxadiazol-3-yl}phényle)méthyl]azétidine-3-carboxylique

ácido 1-[(2-fluoro-4-{5-[4-(2-metilpropil)fenil]-1,2,4-oxadiazol-3-il}fenil)metil]azetidina-3-carboxílico

**igrelimogenum litadenorepvecum #**

igrelimogene litadenorepvec

recombinant, replication-competent oncolytic adenovirus type 5 (Ad5) vector encoding human tumour necrosis factor α (TNF α) and human interleukin 2 (IL-2) separated by an internal ribosomal entry site (IRES), inserted into the E3 region deleted for gp19K/6.7K, and under control of the viral E3 promoter. Viral replication is under control of a tumour-selective E2F promoter that is linked to a 24-bp deletion in the adenoviral E1A region. The gene encoding the viral fiber protein is a chimera with an adenovirus (Ad) type 3 knob sequence and an Ad type 5 shaft and tail sequence.

igrélimogène litadénorepvec

vecteur adénoviral oncolytique de type 5 (Ad5) recombinant, compétent à la réplication, codant le facteur α de nécrose tumorale (TNF α) humain et l'interleukine 2 (IL-2) humaine, séparés par un site d'entrée ribosomique interne (IRES), insérés dans la région E3 dont gp19K/6.7K a été supprimé, et sous le contrôle du promoteur E3 viral. La réplication virale est sous le contrôle d'un promoteur E2F sélectif des tumeurs qui est lié à une délétion de 24 pb dans la région E1A adénovirale. Le gène codant la protéine de la fibre virale est une chimère avec une séquence de bouton adénovirus de type 3 et une séquence d'axe et de queue Ad de type 5.

igrelimogén litadenorepvec

vector de adenovirus tipo 5 (Ad5) oncolítico, recombinante, competente para la replicación que codifica para el factor de necrosis tumoral alfa (TNF- α) humano e interleuquina 2 (IL-2) humana separados por un sitio interno de entrada al ribosoma (IRES), insertado en la región *E3* delecionada por gp19K/6.7K y bajo el control del promotor viral *E3*. La replicación viral está bajo el control de un promotor E2F selectivo de tumor que está ligado a una deleción de 24 pb en la región adenoviral *E1A*. El gen que codifica para la proteína de la fibra viral es una quimera con una secuencia botón (*knob*) del Ad tipo 3 y una secuencia eje (*shaft*) y cola del Ad tipo 5.

inaleucelum

inaleucel

allogenic natural killer (NK) cells (CD56+CD3-) derived from cord blood CD34+ hematopoietic stem and progenitor cells (HSPCs). The CD34+ HSPC selected fraction is collected in growth medium containing stem cell factor (SCF), thrombopoietin (TPO), FMS-like tyrosine kinase 3 ligand (Flt3L) and interleukin 7 (IL-7). CD34+ HSPC expansion and subsequent HSPC-NK cell differentiation takes place in growth medium containing SCF, IL-7, IL-2 and IL-15. The cells express (>30%) the activating receptors NK cell receptor D (NKG2D), DNAM-1 (CD226 antigen), NKp44, and the inhibitory receptor NKG2A and show very low killer-cell immunoglobulin-like receptor (KIR) expression. The cells contain and release perforin, granzyme B and interferon gamma (IFN- γ), and exert cytotoxicity against multiple MHC class I positive and negative tumour cell lines.

inaleucel

cellules tueuses naturelles (NK) allogéniques (CD56+CD3-) dérivées de cellules souches et progénitrices hématopoïétiques (HSPC) CD34+ du sang de cordon. La fraction sélectionnée HSPC CD34+ est recueillie dans un milieu de croissance contenant du facteur de cellules souches (SCF), la thrombopoïétine (TPO), le ligand 3 de la tyrosine kinase de type FMS (Flt3L) et l'interleukine 7 (IL-7). L'expansion des HSPC CD34+ et la différenciation ultérieure des cellules HSPC-NK ont lieu dans un milieu de croissance contenant du SCF, de l'IL-7, de l'IL-2 et de l'IL-15. Les cellules expriment (>30%) les récepteurs d'activation récepteur D des cellules NK (NKG2D), DNAM-1 (antigène CD226), NKp44, et le récepteur d'inhibition NKG2A et présentent une très faible expression des récepteurs de type immunoglobuline des cellules tueuses (KIR). Les cellules contiennent et libèrent de la perforine, du granzyme B et de l'interféron gamma (IFN- γ), et exercent une cytotoxicité contre de multiples lignées de cellules tumorales positives et négatives du CMH de classe I.

inaleucel

trombopoyetina (TPO), ligando de tirosina quinasa 3 similar a FMS (Flt3L) e interleuquina 7 (IL-7). La expansión de las células HSPC CD34+ y la subsiguiente diferenciación de las células HSPC-NK tiene lugar en medio de crecimiento que contiene SCF, IL-7, IL-2 e IL-15. Las células expresan (>30%) los receptores activadores receptor D de células NK (NKG2D), DNAM-1 (antígeno CD226), NKp44 y el receptor inhibidor NKG2A y muestran muy poca expresión del receptor similar a inmunoglobulina de células asesinas (KIR). Las células contienen y liberan perforina, granzima B e interferón gamma (IFN-γ), y ejercen citotoxicidad contra múltiples líneas celulares tumorales tanto positivas como negativas para MHC de clase I.

inixacilibum

inixacilib

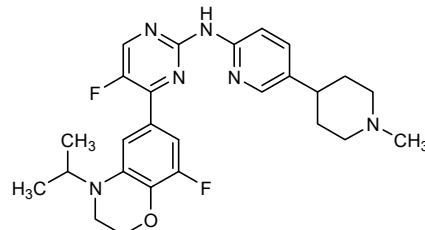
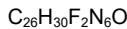
5-fluoro-4-[8-fluoro-4-(propan-2-yl)-3,4-dihydro-2H-1,4-benzoxazin-6-yl]-N-[5-(1-methylpiperidin-4-yl)pyridin-2-yl]pyrimidin-2-amine

inixacilib

5-fluoro-4-[8-fluoro-4-(propan-2-yl)-3,4-dihydro-2H-1,4-benzoxazin-6-yl]-N-[5-(1-méthylpipérnidin-4-yl)pyridin-2-yl]pyrimidin-2-amine

inixacilib

5-fluoro-4-[8-fluoro-4-(propan-2-il)-3,4-dihidro-2H-1,4-benzoxazin-6-il]-N-[5-(1-metilpiperidin-4-il)piridin-2-il]pirimidin-2-amina

**inspectamabum tazidum #**

inspectamab tazide

immunoglobulin G1-kappa [186,410-bis[4-(azidomethyl)-L-phenylalanine]], anti-[*Homo sapiens* TNFRSF17 (TNF receptor superfamily member 17, tumor necrosis factor receptor superfamily, member 17, B cell maturation antigen, BCMA, BCM, TNFRSF13A, CD269)], humanized monoclonal antibody; L-methionyl (1)-gamma1 heavy chain humanized (1-453) [VH (*Homo sapiens*IGHV3-66*01 (82.7%) - (IGHD) -IGHJ4*01 (92.9%), CDR-IMGT [8.8.15] (27-34.52-59.98-112)) (1-123) -*Homo sapiens*IGHG1*03v, G1m3>G1m17, nG1m1 (CH1 Y85.2>F (pAMF) (186), R120>K (220) (124-221), hinge 1-15 (222-236), CH2 (237-346), CH3 E12 (362), M14 (364), F85.2>F (pAMF) (410) (347-451), CHS (452-453)) (124-453)], (226-215')-disulfide with L-methionyl (1')-kappa light

	chain humanized (1'-215') [V-KAPPA (<i>Homo sapiens</i> IGKV1-39*01 (84.2%) -IGKJ1*01 (100%), CDR-IMGT [6.3.9] (28-33.51-53.90-98)) (1'-108') - <i>Homo sapiens</i> IGKC*01 (100%), Km3 A45.1 (154), V101 (192) (109'-215')]; dimer (232-232":235-235")-bisdisulfide, produced by a cell-free protein expression system based on <i>Escherichia coli</i> lysate, non-glycosylated, conjugated at C-4 of the four L-phenylalanyl residues 186, 410, 186" and 410" with azidomethyl (tazide) groups by genetically predetermined incorporation of 4-(azidomethyl)-L-phenylalanyl residues in these specific positions
ispectamab tazide	immunoglobuline G1-kappa [186,410-bis[4-(azidométhyl)-L-phénylalanine]], anti-[<i>Homo sapiens</i> TNFRSF17 (membre 17 de la superfamille des récepteurs du TNF, membre 17 de la superfamille des récepteurs du facteur de nécrose tumorale, antigène de maturation de cellule B, BCMA, BCM, TNFRSF13A, CD269)], anticorps monoclonal humanisé; L-méthionyl (1)-chaîne lourde gamma1 humanisée (1-453) [VH (<i>Homo sapiens</i> IGHV3-66*01 (82.7%) -(IGHD) -IGHJ4*01 (92.9%), CDR-IMGT [8.8.15] (27-34.52-59.98-112)) (1-123) - <i>Homo sapiens</i> IGHG1*03v, G1m3>G1m17, nG1m1 (CH1 Y85.2>F (pAMF) (186), R120>K (220) (124-221), charnière 1-15 (222-236), CH2 (237-346), CH3 E12 (362), M14 (364), F85.2>F (pAMF) (410) (347-451), CHS (452-453)) (124-453)], (226-215')-disulfure avec la L-méthionyl (1)-chaîne légère kappa humanisée (1'-215') [V-KAPPA (<i>Homo sapiens</i> IGKV1-39*01 (84.2%) -IGKJ1*01 (100%), CDR-IMGT [6.3.9] (28-33.51-53.90-98)) (1'-108') - <i>Homo sapiens</i> IGKC*01 (100%), Km3 A45.1 (154), V101 (192) (109'-215')]; dimère (232-232":235-235")-bisdisulfure, produit par un système cellulaire de l'expression des protéines à base de lysat d' <i>Escherichia coli</i> , non-glycosylé; conjugué en C-4 des quatre résidus L-phénylalanyle 186, 410, 186" et 410" avec des groupes azidométhyle (tazide) par incorporation génétiquement prédéterminée de résidus 4-(azidométhyl)-L-phénylalanyle dans ces positions spécifiques
ispectamab tazida	imunoglobulina G1-kappa [186,410-bis[4-(azidometil)-L-fenilalanina]], anti-[<i>Homo sapiens</i> TNFRSF17 (miembro 17 de la superfamilia de los receptores del TNF, miembro 17 de la superfamilia de los receptores del factor de necrosis tumoral, antígeno de maduración de célula B, BCMA, BCM, TNFRSF13A, CD269)], anticuerpo monoclonal humanizado; L-metionil (1)-cadena pesada gamma1 humanizada (1-453) [VH (<i>Homo sapiens</i> IGHV3-66*01 (82.7%) -(IGHD) -IGHJ4*01 (92.9%), CDR-IMGT [8.8.15] (27-34.52-59.98-112)) (1-123) - <i>Homo sapiens</i> IGHG1*03v, G1m3>G1m17, nG1m1 (CH1 Y85.2>F (pAMF) (186), R120>K (220) (124-221), bisagra 1-15 (222-236), CH2 (237-346), CH3 E12 (362), M14 (364), F85.2>F (pAMF) (410) (347-451), CHS (452-453)) (124-453)], (226-215')-disulfuro con la L-metionil (1)-cadena ligera kappa humanizada (1'-215') [V-KAPPA (<i>Homo sapiens</i> IGKV1-39*01 (84.2%) -IGKJ1*01 (100%), CDR-IMGT [6.3.9] (28-33.51-53.90-98)) (1'-108') - <i>Homo sapiens</i> IGKC*01 (100%), Km3 A45.1 (154), V101 (192) (109'-215')]; dímero (232-232":235-235")-bisdisulfuro, producido por un sistema de expresión de proteínas sin células basado en lisado de <i>Escherichia coli</i> , no glicosilado, conjugado en C-4 de los cuatro residuos de L-fenilalanilo 186, 410, 186" y 410" con grupos azidometilo (tazida) por incorporación genéticamente predeterminada de residuos 4-(azidometil)-L-fenilalanilo en estas posiciones específicas

Heavy chain / Chaîne lourde / Cadena pesada

MEVQLVESGG GLVPGGSLR LSCAASFNI SAPGIHWVRQ APGKGLEWVG 50
 FINPAGGYTD YADSVKGRFT ISADTSKNTA YLQMNSLRAE DTAVYV CARD 100
 YIRQWYTIVL DWQGQTLVT VSSASTKGPS VFPLAPSSKS TSGTAAALGC 150
 LVKDYFPEPV TVSNNSGALT SGVHTFPALV QSSGLF~~E~~LSS VVTVPSSSLG 200
 TQTYICNVNH KPSNTKVDKK VEPKSCDKTH TCPCPAPEL LGGPSPVFLFP 250
 PKPKDTLMIS RTPEVTCVVV DVSHEDFEVK FNWYVDGVEV HNAKTKPREE 300
 QYNSTYRVVS VLTVLHQDWL NGKEYKCKVS NRKALPAFIER TISKARGQPR 350
 EPQVYTLPPS REEMTKNQVS LTCLVKGKFYP SDIAVEWESN GQEENNYYTT 400
 FPVLDSDGSE~~E~~ FLYSKLTVDK SRWQQGNVFS CSMHEALHN HYTQKSLSLS 450
 PGK

E indicates non-natural amino acid p-azidomethyl-L-phenylalanine (pAMF)

Light chain / Chaîne légère / Cadena ligera

MDIQMTQSPS SLSASVGDRV TITCRASQDV NTAVAWYQQK PGKAKPLIY 50
 SASFLYSGVP SRFSGSRSGT DFTLTISSQ PEDFATYYCQ QHYTTTPFTG 100
 QGTKEVIKRT VAAFSVFIIFP PSDEQLKSGT ASVCLLNNF YPREAKVQWK 150
 VDNALQSGNS QESVTEQDSK DSTYSLSSTL TLSKADYEKH KVYACEVTHQ 200
 GLSSSPVTKSF NRGECA 215

Post-translational modifications

Disulfide bridges location / Position des ponts disulfure / Posiciones de los puentes disulfuro

Intra-H (C23-C104) 23-97 150-206 267-327 373-431
 23"-97" 150"-206" 267"-327" 373"-431"
 Intra-L (C23-C104) 24-89" 135"-195"
 24"-89" 135"-195"
 Inter-H-L (h 5-CL 126) 226-215" 226"-215"
 Inter-H-H (h 11, h 14) 232-232" 235-235"

N-terminal methionine / Méthionine N-terminale / Metionina N-terminal

H VH M1.1; 1, 1"

L V-KAPPA M1.1; 1", 1"

No N-terminal methionine clipping (expressed in a cell-free expression system) / Pas de coupure de la méthionine N-terminale (exprimé dans un système d'expression acellulaire / Sin recorte de metionina N-terminal (expresado en un sistema de expresión libre de células)

C-terminal lysine / Lysine C-terminale / Lisina C-terminal

H CHS K2: 453, 453"

No C-terminal lysine clipping (expressed in a cell-free expression system) / Pas de coupure de la lysine C-terminale (exprimé dans un système d'expression acellulaire / Sin recorte de lisina C-terminal (expresado en un sistema de expresión libre de células)

N-glycosylation sites / Sites de N-glycosylation / Posiciones de N-glicosilación

H CH2 N84.4: 303, 303"

Aglycosylated (expressed in a cell-free expression system) / aglycosylé (exprimé dans un système d'expression acellulaire / aglicosilado (expresado en un sistema de expresión libre de células)

Conjugation sites / Sites de conjugaison / Posiciones de conjugación

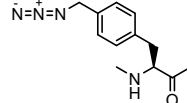
E p-azidomethyl-L-phenylalanine (pAMF) used as conjugation specific site

E p-azidomethyl-L-phenylalanine (pAMF) utilisé comme site spécifique de conjugaison

E p-azidomethyl-L-fenilalanina (pAMF) utilizada como sitio específico de conjugación

H CH1 Y85.2-**E**: 186, 186"

H CH3 F85.2-**E**: 410, 410"



ixoberogenum soroparvovecum

ixoberogene soroparvovac

recombinant, non-replicating adeno-associated virus serotype 2 (AAV2) vector, with a mutated variant of capsid protein VP1 (AAV2.7m8), encoding a codon-optimised fusion protein that consists of vascular endothelial growth factor (VEGF)-binding portions from the extracellular domains of human VEGF receptors 1 and 2 fused to the Fc portion of human IgG1, under control of a human cytomegalovirus promoter, preceded by an adenovirus tripartite leader sequence, synthetic intron and Kozak sequence, followed by a scaffold attachment region (SAR), and terminated by a human growth hormone (hGH) polyadenylation sequence, flanked by AAV2 inverted terminal repeats (ITRs). The mature expressed protein is equivalent to afibbercept (96)(57).

ixoberogène soroparvovac

vecteur recombinant et non répliquant du virus adéno-associé de sérotype 2 (AAV2), avec un variant muté de la protéine de capside VP1 (AAV2.7m8), codant

une protéine de fusion aux codons optimisés qui consiste en des portions de liaison au facteur de croissance endothélique vasculaire (VEGF) provenant des domaines extracellulaires des récepteurs 1 et 2 du VEGF humain fusionnées à la portion Fc d'une IgG1 humaine, sous le contrôle d'un promoteur du cytomégavirus humain, précédée d'une séquence de tête tripartite d'adénovirus, d'un intron synthétique et d'une séquence de Kozak, suivie d'une région structure d'attachement (SAR), et terminée par une séquence de polyadénylation de l'hormone de croissance humaine (hGH), flanquée de répétitions terminales inversées (ITR) d'AAV2. La protéine mature exprimée est équivalente à *aflibercept* (96)(57).

ixoberogén soroparvovec

vector de virus adenoasociado recombinante del serotipo 2 (AAV2), no replicativo, con una variante mutada de la proteína de la cápsida VP1 (AAV2.7m8), que codifica, con codones optimizados, para una proteína de fusión que consta de las porciones de unión al factor de crecimiento del endotelio vascular (VEGF) de los dominios extracelulares de los receptores 1 y 2 de VEGF humano fusionadas a la porción Fc de la IgG1 humana, bajo el control de un promotor de citomegalovirus humano, precedido de una secuencia líder tripartita de adenovirus, un intrón sintético y una secuencia de Kozak, seguido de una región de anclaje al andamio (SAR), y terminado por una secuencia de poliadenilación de la hormona de crecimiento humana (hGH), flanqueado por las repeticiones terminales invertidas (ITRs) de AAV2. La proteína madura expresada es equivalente a *aflibercept* (96)(57).

izeltabartum #

izeltabart

immunoglobulin G1-kappa, anti-[*Homo sapiens* ADAM9 (ADAM metallopeptidase domain 9, cone rod dystrophy 9, CORD9, meltrin gamma, MDC9, MCMP)], humanized monoclonal antibody; gamma1 heavy chain humanized (1-452) [VH humanized (*Homo sapiens*IGHV3-64*07 (81.6%) - (IGHD)-IGHJ4*01 (80%), CDR-IMGT [8.8.16](26-33.51-58.97-112))(1-123) -*Homo sapiens*IGHG1*03, G1m3, nG1m1, G1v21 CH2 Y15.1, T16, E18, G1v44 CH3 C122 (CH1 R120 (220) (124-221)), hinge 1-15 (222-236), CH2 M>Y15.1 (258), S>T16 (260), T>E18 (262)(237-346), CH3 E12 (362), M14 (364), S>C122 (448) (347-451), CHS K2>del (452)) (124-452)], (226-218')-disulfide with kappa light chain humanized (1'-218') [V-KAPPA (*Homo sapiens*IGKV4-1*01 (77.2%) - IGKJ2*02 (100%), CDR-IMGT [10.3.9](27-36.54-56.93-101)) (1'-111') -*Homo sapiens*IGKC*01 (100%), Km3, A45.1 (157), V101 (195)(112'-218')]; dimer (232-232":235-235")-bisdisulfide, produced in Chinese hamster ovary (CHO) cells, cell line CHO-S, glycoform alfa

izelabart	immunoglobuline G1-kappa, anti-[<i>Homo sapiens</i> ADAM9 (ADAM métallopeptidase domaine 9, dystrophie 9 cônes-bâtonnets, CORD9, meltrine gamma, MDC9, MCMP)], anticorps monoclonal humanisé; chaîne lourde gamma1 humanisée (1-452) [VH humanisé (<i>Homo sapiens</i> IGHV3-64*07 (81.6%) -(IGHD) -IGHJ4*01 (80%), CDR-IMGT [8.8.16] (26-33.51-58.97-112)) (1-123) - <i>Homo sapiens</i> IGHG1*03, G1m3, nG1m1, G1v21 CH2 Y15.1, T16, E18, G1v44 CH3 C122 (CH1 R120 (220)(124-221), charnière 1-15 (222-236), CH2 M>Y15.1 (258), S>T16 (260), T>E18 (262)(237-346), CH3 E12 (362), M14 (364), S>C122 (448) (347-451), CHS K2>del (452)) (124-452)], (226-218')-disulfure avec la chaîne légère kappa humanisée (1'-214') [V-KAPPA (<i>Homo sapiens</i> IGKV4-1*01 (77.2%) -IGKJ2*02 (100%), CDR-IMGT [10.3.9] (27-36.54-56.93-101)) (1'-111') - <i>Homo sapiens</i> IGKC*01 (100%), Km3, A45.1 (157), V101 (195) (112'-218')]; dimère (232-232":235-235")-bisisulfure, produit dans des cellules ovaries de hamster chinois (CHO), lignée cellulaire CHO-S, glycoforme alfa
izelabart	inmunoglobulina G1-kappa, anti-[<i>Homo sapiens</i> ADAM9 (ADAM metallopeptidasa dominio 9, distrofia 9 de conos y bastones, CORD9, meltrina gamma, MDC9, MCMP)], anticuerpo monoclonal humanizado; cadena pesada gamma1 humanizada (1-452) [VH humanizado (<i>Homo sapiens</i> IGHV3-64*07 (81.6%) -(IGHD) -IGHJ4*01 (80%), CDR-IMGT [8.8.16] (26-33.51-58.97-112)) (1-123) - <i>Homo sapiens</i> IGHG1*03, G1m3, nG1m1, G1v21 CH2 Y15.1, T16, E18, G1v44 CH3 C122 (CH1 R120 (220)(124-221), bisagra 1-15 (222-236), CH2 M>Y15.1 (258), S>T16 (260), T>E18 (262)(237-346), CH3 E12 (362), M14 (364), S>C122 (448) (347-451), CHS K2>del (452)) (124-452)], (226-218')-disulfuro con la cadena ligera kappa humanizada (1'-214') [V-KAPPA (<i>Homo sapiens</i> IGKV4-1*01 (77.2%) -IGKJ2*02 (100%), CDR-IMGT [10.3.9] (27-36.54-56.93-101)) (1'-111') - <i>Homo sapiens</i> IGKC*01 (100%), Km3, A45.1 (157), V101 (195) (112'-218')]; dímero (232-232":235-235")-bisisulfuro, producido en las células ováricas de hámster chino (CHO), línea celular CHO-S, forma glicosilada alfa
Heavy chain / Chaîne lourde / Cadena pesada	
EVQIVVESGGGVVKGGSRLR SCASAGFTFS SYWMHHWRQAF PGKGLEWVGE 50 IIPIFGHTNY NEKEFSSRTFI SLDNSKNTLY LQMGSLRAED TAVYYCARGG 100 YYYPYPROGFL DYWGQQTVTV VSSASTKGPSS VFPFLAPSSKS TSGGTAALGG 150 LVKDYFPEPV TVSNNSGALT SGVHTFPAVL QSSGLYLSSS VVTVPSSSL 200 TQTYICCNVNH KPNSNTKVDKR VEKPSCDKTH TCPCPAPEL LGGPPSVFLFP 250 PKPKDTLYIT REEPVTCVVM DVSHEDPEVIR FNWYVDGVEV HNAKTKPREE 300 QYNSTYRVVS VLTVLHQDWL NGKEYCKKVS NKALPAPIEK TISKAKGQPR 350 EPQVTLPLPS REEMTKNOVS LTCLVKGFYPS SDIAVEWESN QQPENNYKT 400 PVLDSLDSGF FLYSKLTVDK SRWQQGNVFS CSVVMHEALHN HYTQKSLCLS 450 PG 452	
Light chain / Chaîne légère / Cadena ligera	
DIVMTQSPDS LAVKLGERAT ISCKASQSVD YSGDSYMNWY QQKPGQPPKL 50 LIYAAASDLES GIPARFSGSG SLDNSKNTLY SLEPFEDATY YCQOSHEDPF 100 TGFQGTTKLEI KRTVAARSVF IFFPSDQEQLK SGTSASVCLL NNFYPPREAKV 150 QWKVDNALQSQS GNSEQEVTEQ DSKDSTYSLS STILTISKADY EKKHVYACEV 200 THQGLSSPVT KSFNRGEC 218	
Post-translational modifications	
Disulfide bridges location / Position des ponts disulfure / Posiciones de los puentes disulfuro	
Intra-H (C23-C104) 22-96 150-206 267-327 373-431 22"-96" 150"-206" 267"-327" 373"-431" Intra-L (C23-C104) 23-92 138-198 23"-92" 138"-198" Inter-H-L (h 5-CL 126) 226-218" 226"-218" Inter-H-H (h 11, h 14) 232-232" 235-235"	
N-glycosylation sites / Sites de N-glycosylation / Posiciones de N-glicosilación	
H CH2 N84.4: 303, 303" Fucosylated complex bi-antennary CHO-type glycans / glycanes de tipo CHO bi-antennaires complexes fucosylés / glicanos de tipo CHO biantenarios complejos fucosilados.	

izelabartum tapatansinum #

izelabart tapatansine

immunoglobulin G1-kappa, anti-[*Homo sapiens* ADAM9 (ADAM métallopeptidase domaine 9, dystrophie 9 cônes-bâtonnets, CORD9, meltrine gamma, MDC9, MCMP)], anticorps monoclonal humanisé, conjugué avec l'inhibiteur de tubuline N^{ω} -désacétylmaytansine via la liaison 6-(6-maléimidohexanoyl-L-alanyl-D-alanyl-L-alaninamidométhylthio)hexanoyle dans deux sites artificiels de cystéine 448 et 448"; chaîne lourde gamma1 humanisée (1-452) [VH humanisé (*Homo sapiens* IGHV3-64*07 (81.6%) -(IGHD) -IGHJ4*01 (80%), CDR-IMGT [8.8.16] (26-33.51-58.97-112)) (1-123) -*Homo sapiens* IGHG1*03, G1m3, nG1m1, G1v21 CH2 Y15.1, T16, E18, G1v44 CH3 C122 (CH1 R120 (220) (124-221), charnière 1-15 (222-236), CH2 M>Y15.1 (258), S>T16 (260), T>E18 (262)(237-346), CH3 E12 (362), M14 (364), S>C122 (448) (347-451), CHS K2>del (452)) (124-452)], (226-218')-disulfure avec chaîne légère kappa humanisée (1'-218') [V-KAPPA (*Homo sapiens* IGKV4-1*01 (77.2%) -IGKJ2*02 (100%), CDR-IMGT [10.3.9](27-36.54-56.93-101)) (1'-111') -*Homo sapiens* IGKC*01, Km3, A45.1 (157), V101 (195)(112'-218')]; dimère (232-232":235-235")-bisdisulfure, produit dans des cellules ovariennes de hamster chinois (CHO), lignée cellulaire CHO-S, glycoforme alfa, substitué sur les atomes de soufre des résidus L-cystéïnyle 448 et 448" par deux groupes (3RS)-1-[(2S,14S,17R,20S)-1-[($^{14}\text{S},1^6\text{S},2\text{R},3^2\text{S},3^3\text{S},4\text{S},10\text{E},12\text{E},14\text{R})-8^6$ -chloro-1 4 -hydroxy-8 5 ,14-diméthoxy-2,3 3 ,7,10-tétraméthyl-1 2 ,6-dioxo-7-aza-1(6,4)-[1,3]oxazinana-3(2,3)-oxirana-8(1,3)-benzénacyclotétradécaphane-10,12-dién-4-yl]oxy}-2,3,14,17,20-pentaméthyl-1,4,13,16,19,22-hexaoxo-10-thia-3,12,15,18,21-pentaazaheptacosan-27-yl]-2,5-dioxopyrrolidin-3-yl (*tapatansine*) groups

izelabart tapatansine

immunoglobuline G1-kappa, anti-[*Homo sapiens* ADAM9 (ADAM métallopeptidase domaine 9, dystrophie 9 cônes-bâtonnets, CORD9, meltrine gamma, MDC9, MCMP)], anticorps monoclonal humanisé, conjugué à l'inhibiteur de tubuline N^{ω} -désacétylmaytansine via la liaison 6-(6-maléimidohexanoyl-L-alanyl-D-alanyl-L-alaninamidométhylthio)hexanoyle dans deux sites artificiels de cystéine 448 et 448"; chaîne lourde gamma1 humanisée (1-452) [VH humanisé (*Homo sapiens* IGHV3-64*07 (81.6%) -(IGHD) -IGHJ4*01 (80%), CDR-IMGT [8.8.16] (26-33.51-58.97-112)) (1-123) -*Homo sapiens* IGHG1*03, G1m3, nG1m1, G1v21 CH2 Y15.1, T16, E18, G1v44 CH3 C122 (CH1 R120 (220)(124-221), charnière 1-15 (222-236), CH2 M>Y15.1 (258), S>T16 (260), T>E18 (262)(237-346), CH3 E12 (362), M14 (364), S>C122 (448) (347-451), CHS K2>del (452)) (124-452)], (226-218')-disulfure avec la chaîne légère kappa humanisée (1'-218') [V-KAPPA (*Homo sapiens* IGKV4-1*01 (77.2%) -IGKJ2*02 (100%), CDR-IMGT [10.3.9] (27-36.54-56.93-101)) (1'-111') -*Homo sapiens* IGKC*01, Km3, A45.1 (157), V101 (195) (112'-218')]; dimère (232-232":235-235")-bisdisulfure, produit dans des cellules ovariennes de hamster chinois (CHO), lignée cellulaire CHO-S, glycoforme alfa, substitué sur les atomes de soufre des résidus L-cystéïnyle 448 et 448" par deux groupes (3RS)-1-[(2S,14S,17R,20S)-1-[($^{14}\text{S},1^6\text{S},2\text{R},3^2\text{S},3^3\text{S},4\text{S},10\text{E},12\text{E},14\text{R})-8^6$ -chloro-1 4 -hydroxy-8 5 ,14-diméthoxy-2,3 3 ,7,10-tétraméthyl-1 2 ,6-dioxo-7-aza-1(6,4)-[1,3]oxazinana-3(2,3)-oxirana-8(1,3)-benzénacyclotétradécaphane-10,12-dién-4-yl]oxy}-2,3,14,17,20-pentaméthyl-1,4,13,16,19,22-hexaoxo-10-thia-3,12,15,18,21-pentaazaheptacosan-27-yl]-2,5-dioxopyrrolidin-3-yile (*tapatansine*)

izelabart tapatansina inmunoglobulina G1-kappa, anti-[*Homo sapiens* ADAM9 (ADAM metallopeptidasa dominio 9, distrofia 9 de conos y bastones, CORD9, meltrina gamma, MDC9, MCMP)], anticuerpo monoclonal humanizado; conjugado con el inhibidor de tubulina *N*²-desacetilmaitansina a través de un conector 6-(6-maleimidohexanoil-L-alanil-D-alanil-L-alaninamido)hexanoilo en dos sitios diseñados de cisteína 448 y 448"; cadena pesada gamma1 humanizada (1-452) [VH humanizado (*Homo sapiens* IGHV3-64*07 (81.6%) -IGHD) -IGHJ4*01 (80%), CDR-IMGT [8.8.16] (26-33.51-58.97-112)) (1-123) -*Homo sapiens*IGHG1*03, G1m3, nG1m1, G1v21 CH2 Y15.1, T16, E18, G1v44 CH3 C122 (CH1 R120 (220)(124-221), bisagra 1-15 (222-236), CH2 M>Y15.1 (258), S>T16 (260), T>E18 (262)(237-346), CH3 E12 (362), M14 (364), S>C122 (448) (347-451), CHS K2>del (452)) (124-452)], (226-218')-disulfuro con la cadena ligera kappa humanizada (1'-214') [V-KAPPA (*Homo sapiens* IGKV4-1*01 (77.2%) -IGKJ2*02 (100%), CDR-IMGT [10.3.9] (27-36.54-56.93-101)) (1'-111') -*Homo sapiens* IGKC*01, Km3, A45.1 (157), V101 (195) (112'-218')]; dímero (232-232":235-235")-bisdisulfuro; producido en las células ováricas de hámster chino (CHO), línea celular CHO-S, forma glicosilada alfa, sustituido en los átomos de azufre de los residuos de L-cisteínilo 448 y 448" con dos grupos (3RS)-1-[(2S,14S,17R,20S)-1-{{[(1⁴S,1⁶S,2R,3²S,3³S,4S,10E,12E,14R)-8⁶-cloro-1⁴-hidroxi-2,3³,7,10-tetrametil-8⁵,14-dimetoxi-1²,6-dioxo-7-aza-1(6,4)-[1,3]oxazinana-3(2,3)-oxirana-8(1,3)-bencenacicotetradecafano-10,12-dien-4-il]oxi}-2,3,14,17,20-pentametil-1,4,13,16,19,22-hexaexo-10-tia-3,12,15,18,21-pentaazaheptacosan-27-il]-2,5-dioxopirrolidin-3-ilo (*tapatansina*)

Heavy chain / Chaîne lourde / Cadena pesada

EVQLVEGGGG	LVKPGGSRL	SCAAGSFTFS	SYWMHWVRQA	PGKGLEWVGE	50
I I P I F G H T N Y	N E K F K S P R F T I	S L D N S K N T L Y	I Q M G S L R A E D	T A V Y C A R G G	100
Y Y Y Y P R Q G F L	D Y W Q G Q T V T V T	V S S A S T K G P S	V F P L A P S S K S	T S G G T A A L G C	150
L V K D Y F P E F V	T V S W N S G A L T	S G V H T P A V L	Q S S G L Y S L S S	V V T V E S S L G	200
T Q T Y I C N V N	K F S P N T K V D K R	V E P K S C D K T H	T C P C F A P E L	L G G F S V F L F P	250
P P K P D T L Y I T	R E P E V T C V V V	D V S H E D P E V E V	F N W V D V G V E V	H N A K T K P R E E	300
Q Y N S Y T R V V S	V I L T V L H Q D W L	N G K E Y K C K V S	N K A L P A P I E K	T I S K A K Q Q P R	350
E P Q V Y T L P S	R E E M T K N Q V S	L T C L V K G Y P	S D I A V E W E S N	G Q P E N N Y K T T	400
P P V L D S D G S F	F L Y S K L T V D K	S R W Q Q N V F S	C S V M H E A L H N	H T Y Q R S L C L S	450
PG					452

Light chain / Chaîne légère / Cadena ligera

D I V M T Q S P D S	L A V S L G E R A T	I S C K A S Q S V D	I Y G D S Y M N W Y	Q S Q P G Q P P K L	50
L I Y A A S D L E S	G I P A R F S G S G	S G T D F T L I T S	S L E P E D F A T Y	Y C Q Q S H E D P F	100
T F G G G T K L E I	K R T V A A P S V F	I F P P S D E Q L K	S G T A S V C L L	N N F Y F R E A K V	150
Q W K V D N A I Q S	G N S Q E S V T E Q	D S K D S T Y S L S	S T I L T S K A D Y	E K H K V Y A C E V	200
T H Q G L S S P V T	K S F N R G E C				218

Post-translational modifications

Disulfide bridge location / Position des ponts disulfure / Posiciones de los puentes disulfuro

Intra-H (C23-C104) 22-96 150-206 267-327 373-431
22"-96" 150"-206" 267"-327" 373"-431"

Intra-L (C23-C104) 23"-92" 138"-198"
23"-92" 138"-198"

Inter-H-L (h 5-CL 126) 226-218" 226"-218"

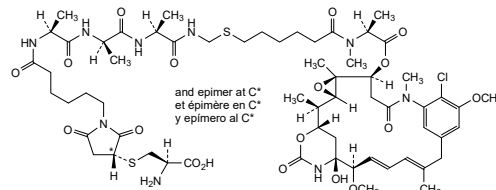
Inter-H-H (h 11, h 14) 232-232" 235-235"

N-glycosylation sites / Sites de N-glycosylation / Posiciones de N-glicosilación

H CH2 N84.4: 303, 303"

Fucosylated complex bi-antennary CHO-type glycans / glycanes de type CHO bi-antennaires complexes fucosylés / glicanos de tipo CHO biantenarios complejos fucosilados.

Potential modified residues / résidus modifiés potentiels / restos modificados potenciales
C448, C448"

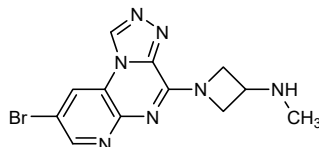
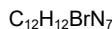


izuforantum

izuforant 1-(8-bromopyrido[2,3-e][1,2,4]triazolo[4,3-a]pyrazin-4-yl)-N-methylazetidin-3-amine

izuforant 1-(8-bromopyrido[2,3-e][1,2,4]triazolo[4,3-a]pyrazin-4-yl)-N-méthylazétidin-3-amine

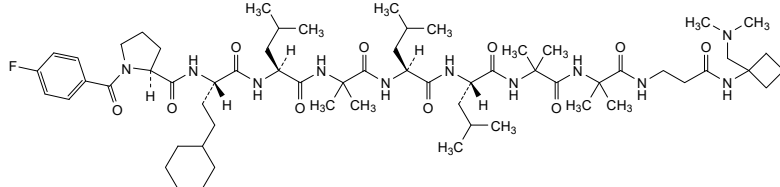
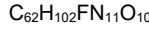
izuforant 1-(8-bromopirido[2,3-e][1,2,4]triazolo[4,3-a]pirazin-4-il)-N-metilazetidin-3-amina

**lefleugananum**

lefleuganan 1-(4-fluorobenzoyl)-L-prolyl-(2S)-2-amino-4-cyclohexylbutanoyl-L-leucyl-2-methylalanyl-L-leucyl-L-leucyl-2-methylalanyl-2-methylalanyl-N¹-{1-[(dimethylamino)methyl]cyclobutyl}-β-alaninamide

léfleuganan 1-(4-fluorobenzoyl)-L-prolyl-(2S)-2-amino-4-cyclohexylbutanoyl-L-leucyl-2-méthylalanyl-L-leucyl-L-leucyl-2-méthylalanyl-2-méthylalanyl-N¹-{1-[(diméthylamino)méthyl]cyclobutyl}-β-alaninamide

lefleuganán 1-(4-fluorobenzoil)-L-prolil-(2S)-2-amino-4-ciclohexilbutanoil-L-leucil-2-metilalanil-L-leucil-L-leucil-2-metilalanil-2-metilalanil-N¹-{1-[(dimetilamino)metil]ciclobutil}-β-alaninamida

**linavonkibartum #**

linavonkibart immunoglobulin G4-kappa, anti-[TGFB1 (transforming growth factor beta1, TGF beta)], *Homo sapiens* monoclonal antibody; gamma4 heavy chain *Homo sapiens* (1-446) [VH (*Homo sapiens* IGHV3-48*01 (92.9%) -(IGHD) -IGHJ5*02 (100%), CDR-IMGT [8.8.13] (26-33.51-58.97-109)) (1-120)-*Homo sapiens* IGHG4*01, G4v5 h P10, nG4m(a) CH2 L92 (CH1 (121-218), hinge 1-12 S10>P (228) (219-230), CH2 L92 (309) (231-340), CH3 (341-445), CHS K2>del (446))(121-446)], (134-215')-disulfide with kappa light chain *Homo sapiens* (1'-215') [V-KAPPA (*Homo sapiens* IGKV1-33*01 (96.8%) -IGKJ4*01 (100%), CDR-IMGT [6.3.10] (27-32.50-52.89-98)) (1'-108') -*Homo sapiens* IGKC*01 (100%), Km3 A45.1 (154), V101 (192)(109'-215')]; dimer (226-226"-229-229")-bisdisulfide, produced in Chinese hamster ovary (CHO) cells, glycoform alfa

linavonkibart

immunoglobuline G4-kappa, anti-[TGFB1 (facteur de croissance transformant bêta1, TGF bêta)], anticorps monoclonal *Homo sapiens*; chaîne lourde gamma4 *Homo sapiens* (1-446) [VH (*Homo sapiens*IGHV3-48*01 (92.9%) -(IGHD) -IGHJ5*02 (100%), CDR-IMGT [8.8.13] (26-33.51-58.97-109)) (1-120)-*Homo sapiens*IGHG4*01, G4v5 h P10, nG4m(a) CH2 L92 (CH1 (121-218), charnière 1-12 S10>P (228) (219-230), CH2 L92 (309) (231-340), CH3 (341-445), CHS K2>del (446)) (121-446)], (134-215')-disulfure avec la chaîne légère kappa *Homo sapiens* (1'-215') [V-KAPPA (*Homo sapiens*IGKV1-33*01 (96.8%)-IGKJ4*01 (100%), CDR-IMGT [6.3.10] (27-32.50-52.89-98)) (1'-108') -*Homo sapiens*IGKC*01 (100%), Km3A45.1 (154), V101 (192) (109'-215')]; dimère (226-226":229-229")-bisdisulfure, produit dans des cellules ovariennes de hamster chinois (CHO), glycoforme alfa

linavonkibart

inmunoglobulina G4-kappa, anti-[TGFB1 (factor de crecimiento transformante beta-1, TGF beta)], anticuerpo monoclonal *Homo sapiens*; cadena pesada gamma4 *Homo sapiens* (1-446) [VH (*Homo sapiens*IGHV3-48*01 (92.9%) -(IGHD) -IGHJ5*02 (100%), CDR-IMGT [8.8.13] (26-33.51-58.97-109)) (1-120) -*Homo sapiens*IGHG4*01, G4v5 h P10, nG4m(a) CH2 L92 (CH1 (121-218), bisagra 1-12 S10>P (228) (219-230), CH2 L92 (309) (231-340), CH3 (341-445), CHS K2>del (446)) (121-446)], (134-215')-disulfuro con la cadena ligera kappa *Homo sapiens* (1'-215') [V-KAPPA (*Homo sapiens*IGKV1-33*01 (96.8%)-IGKJ4*01 (100%), CDR-IMGT [6.3.10] (27-32.50-52.89-98)) (1'-108') -*Homo sapiens*IGKC*01 (100%), Km3 A45.1 (154), V101 (192) (109'-215')]; dímero (226-226":229-229")-bisdisulfuro, producido en las células ováricas de hámster chino (CHO), forma glicosilada alfa

Heavy chain / Chaîne lourde / Cadena pesada
 EVQLVESGGG LVQFGSLRL SCTASCGFTFS SFSDMDWVRQA PGKGLEWVSY 50
 IPSADITYYY ADSVKGRFTI SRDNNAKNTLY LQMNLSLAED TAVYVCARGV 100
 LDYGDMLMPG QGGTIVTVSS ASTKGPSVF LAPCSRSTSE STAALCIVK 150
 DYPPEPVTVS WNSGALTSGV HTFPFAVLQSS GLYSLSSVVT VFSSSLGTKT 200
 YTCNDVHKPS NTKVDDKRVES KYGPPCPCCPS APEFLGGPSV FLFFPKPKDT 250
 LMISRTPEVT CVVDVSVQED PEVQFNWVVA GVEVHNAKTK FREEQFNSTY 300
 RVVSVLTVLH QDWLNGKEYK KVSNKGLPS SIEKTISKAK QQPREFQVYT 350
 LPSSQEEMTH NQVSLTCLVK GFYPSIDAVS WESNGOPEENN YKTTPPVLDs 400
 DGSFFFLYSLR TVDKSRWQEG NVFSCSVVMHE ALHNHYTQKS LSLSLG 446

Light chain / Chaîne légère / Cadena ligera
 DIQMTQSPSS LSASVQDRVT ITQCQASQTD NYLNWYQQKP GKAPKLLIYD 50
 ASNLETGVPS RFSQGSSGGD FFTFISSQDP EDIATYYCCQ ADNHPPWTFG 100
 GGKVEIKRT VAAPSPVIFP PSDEQLKSGT ASVVCLLNNF YPREAKVWK 150
 VDNALQSGNS QESVTEQDSK DSTYSLSSLTL TLSKADYEKH KVYACEVTHQ 200
 GLSSPPVTKSF NRGEc 215

Post-translational modifications

Disulfide bridges location / Position des ponts disulfure / Posiciones de los puentes disulfuro Intra-H (C23-C104) 22-96 147-203 261-321 367-425

22"-96" 147"-203" 261"-321" 367"-425"

Intra-L (C23-C104) 23"-88" 135"-195"

23"-88" 135"-195"

Inter-H-L (CH1 10-CL 126) 134-215" 134"-215"

226-226" 229-229"

Inter-H-H (h 8, h 11)

N-glycosylation sites / Sites de N-glycosylation / Posiciones de N-glicosilación

H CH2 N84.4: 297, 297"

Fucosylated complex bi-antennary CHO-type glycans / glycanes de type CHO bi-antennaires

complexes fucosylés / glicanos de tipo CHO bianténarios complejos fucosilados.

linvekinogenum treniplasmidum #

linvekinogene treniplasmid

DNA plasmid encoding a single amino acid variant of human interleukin 10 (IL-10 F129S), under control of a human cytomegalovirus immediate early enhancer/chicken β-actin promoter, with a chicken β-actin intron, terminated by a simian virus 40 (SV40) polyadenylation signal. The plasmid also contains adeno-associated virus 2 (AAV2) inverted terminal repeats (ITRs), an f1 origin of replication, a kanamycin antibiotic resistance gene and a ColE1 origin of replication.

linvékinogéne tréniplasmide

plasmide d'ADN codant un variant à un seul acide aminé de l'interleukine 10 humaine (IL-10 F129S), sous le contrôle d'un amplificateur précoce immédiat du cytomégalovirus humain/promoteur de la β-actine de poulet, avec un intron de la β-actine de poulet, terminé par un signal de polyadénylation du virus simien 40 (SV40). Le plasmide contient également des répétitions terminales inversées (ITR) du virus adéno-associé 2 (AAV2), une origine de réPLICATION f1, un gène de résistance à l'antibiotique kanamycine et une origine de réPLICATION ColE1.

linvekinogén treniplásmido

plásmido de DNA que codifica para una variante en un único amino ácido de la interleuquina 10 humana (IL-10 F129S) bajo el control de un potenciador inmediato temprano del citomegalovirus humano/promotor de la β-actina de pollo, con un intrón de la β-actina de pollo, terminado con una señal de poliadenilación del virus de simio 40 (SV40). El plásmido también contiene repeticiones terminales invertidas (ITR) del virus adenasociado 2 (AAV2), un origen de replicación f1, un gen de resistencia al antibiótico kanamicina y un origen de replicación ColE1.

lipustobartum #

lipustobart

immunoglobulin G4-kappa, anti-[*Homo sapiens* PDCD1 (programmed cell death 1, PD1, PD-1, CD279)], humanized monoclonal antibody; gamma4 heavy chain humanized (1-447) [VH humanized (*Homo sapiens* IGHV1-46*01 (84.7%) - (IGHD) -IGHJ4*01 (92.9%), CDR-IMGT [8.8.13] (26-33.51-58.97-109)) (1-120)-*Homo sapiens* IGHG4*01,IGHG4v5 h P10, nG4m(a) CH2 L92 (CH1 (121-218), hinge 1-12 S10>P (228) (219-230), CH2 L92 (309) (231-340), CH3 (341-445), CHS (446-447)) (121-447)], (134-218')-disulfide with kappa light chain humanized (1'-218') [V-KAPPA *Homo sapiens* IGKV3D-11*01 (83.0%) -IGKJ4*01 (91.7%), CDR-IMGT [10.3.9] (27-36.54-56.93-101)) (1'-111') -*Homo sapiens* IGKC*01 (100%), Km3A45.1 (157), V101 (195) (112'-218')]; dimer (226-226":229-229")-bisdisulfide, produced in Chinese hamster ovary (CHO) cells, cell line CHO-S, glycoform alfa

lipustobart

immunoglobuline G4-kappa, anti-[*Homo sapiens* PDCD1 (protéine 1 de mort cellulaire programmée, PD-1, PD1, CD279)], anticorps monoclonal humanisé;

chaîne lourde gamma4 humanisée (1-447) [VH humanisé (*Homo sapiens* IGHV1-46*01 (84.7%) -(IGHD) -IGHJ4*01 (92.9%), CDR-IMGT [8.8.13] (26-33.51-58.97-109)) (1-120)-*Homo sapiens* IGHG4*01, IGHG4v5 h P10, nG4m(a) CH2 L92 (CH1 (121-218), charnière 1-12 S10>P (228) (219-230), CH2 L92 (309) (231-340), CH3 (341-445), CHS (446-447)) (121-447)], (134-218')-disulfure avec la chaîne légère kappa humanisée (1'-218') [V-KAPPA *Homo sapiens* IGKV3D-11*01 (83.0%) -IGKJ4*01 (91.7%), CDR-IMGT [10.3.9] (27-36.54-56.93-101)) (1'-111') -*Homo sapiens* IGKC*01 (100%), Km3 A45.1 (157), V101 (195) (112'-218')]; dimère (226-226":229-229")-bisdisulfure, produit dans des cellules ovariennes de hamster chinois (CHO), lignée cellulaire CHO-S, glycoforme alfa

lipustobart

inmunoglobulina G4-kappa, anti-[*Homo sapiens* PDCD1 (proteína 1 de muerte celular programada, PD-1, PD1, CD279)], anticuerpo monoclonal humanizado; cadena pesada gamma4 humanizada (1-447) [VH humanizado (*Homo sapiens* IGHV1-46*01 (84.7%) -(IGHD) -IGHJ4*01 (92.9%), CDR-IMGT [8.8.13] (26-33.51-58.97-109)) (1-120)-*Homo sapiens* IGHG4*01, IGHG4v5 h P10, nG4m(a) CH2 L92 (CH1 (121-218), bisagra 1-12 S10>P (228) (219-230), CH2 L92 (309) (231-340), CH3 (341-445), CHS (446-447)) (121-447)], (134-218')-disulfuro con la cadena ligera kappa humanizada (1'-218') [V-KAPPA *Homo sapiens* IGKV3D-11*01 (83.0%) -IGKJ4*01 (91.7%), CDR-IMGT [10.3.9] (27-36.54-56.93-101)) (1'-111') -*Homo sapiens* IGKC*01 (100%), Km3 A45.1 (157), V101 (195) (112'-218')]; dímero (226-226":229-229")-bisdisulfuro, producido en las células ováricas de hámster chino (CHO), línea celular CHO-S, forma glicosilada alfa

Heavy chain / Chaîne lourde / Cadena pesada

QVQLVQSGAE VKKPGASVKV SCKASGYTFT SYMMYWVRQA PQGGLEWMGG 50
VNPSNGTNF NEKFKSRVTI TADKSTSTAY MELSSLRSED TAVYYCARRD 100
YRVDMGFDW QOGTTVTVSS ASTKGPSVFP LAPCSRSLSSR STAALGCLV 150
DYPPEPVTVS WNSGALTSGV HTFPFAVLQSS GLYSLLSVVT VESSSLGTKT 200
YTCNVDHKPS NTKVADKRVES KYGPPCPCPA APEFLGGPSV FLPPPKPKDT 250
LMSRTPETV CVVUDVSQED PEVQFWNWYVD GVEVHNAKTK PREEQFNSTY 300
RVVSVLTVLH QDWLNKGKEYK CKVSNKGILPS IIEKTISKAK QPREPQVTT 350
LPFSQEEMTI NQVSLLTCLVK GFYPSDIAVE WESNGQPENN YKTTTPVLDs 400
DGSFFFLYSRL TVDKSRWQEG NVFSCSVME AHNNHYTQKS LSLSLKG 477

Light chain / Chaîne légère / Cadena ligera

EIVLTQSPAT LSLSPLGERAT ISCRASKGV S TSGYSYLHWY QQKPGQQAPRL 50
LIYIALSYLE GVPARFSGSG SGTDFTLTLIS SLEPEDFATV YCQHSRELPL 100
TFTGTGKVEI KRTVAAPSVF IFFPSDEQLK SGTAGSVCLL NNFYFREAKV 150
QWKVDNALQI GNSQSESVTEQ DSKDSTYSSL S STLTLSKADY EKHKVYACEV 200
THQGLLSPVT KSFNRNGEC 218

Post-translational modifications

Disulfide bridges location / Position des ponts disulfure / Posiciones de los puentes disulfuro
Intra-H (C23-C104) 22-96 147-203 261-321 367-425
22"-96" 147"-203" 261"-321" 367"-425"
Intra-L (C23-C104) 23"-92" 138"-198" 23"-92" 138"-198"
Inter-H-L (CH1 10-CL 126) 134-218" 134"-218"
Inter-H-H (h 8, h 11) 226-226" 229-229"

N-terminal glutaminyl cyclization / Cyclisation du glutaminyle N-terminal / Ciclación del glutamilo N-terminal

Q> pyroglutamyl (pE, 5-oxoprolyl) / pyroglutamyle (pE, 5-oxoprolyle) / piroglutamilo (pE, 5-oxoprolio)
H VH Q1: 1, 1"
N-glycosylation sites / Sites de N-glycosylation / Posiciones de N-glicosilación
H CH2 N84.4: 297, 297"
Fucosylated complex bi-antennary CHO-type glycans / glycanes de type CHO bi-antennaires complexes fucosylés / glicanos de tipo CHO biantenarios complejos fucosilados.

C-terminal lysine clipping / Coupe de la lysine C-terminale / Recorte de lisina C-terminal
H CHS K2: 447, 447"

lomvastomig #

lomvastomig

immunoglobulin G1-kappa with crossed domains, anti-[*Homo sapiens* PDCD1(programmed cell death 1, PD1, PD-1, CD279)] and anti-[*Homo sapiens* HAVCR2 (hepatitis A virus cellular receptor 2, T cell immunoglobulin and mucin domains family member 3, TIM3, TIM-3, TIMD3, CD366)], humanized monoclonal antibody, bispecific; gamma1 heavy chain with crossed V-kappa anti-PDCD1 (1-443) [V-KAPPA humanized (*Homo sapiens* IGKV4-1*01 (82.2%) -IGKJ1*01 (100%), CDR-IMGT [10.3.9] (27-36.54-56.93-101)) (1-111) -2-mer biseryl linker (112-113) -*Homo sapiens* IGHG1*01, G1m17,1, G1v14-49 CH2 A1.3, A1.2, G114, G1v32 CH3 W22 (knob) (CH1 K120 (210) (114-211), hinge 1-15 (212-226), CH2 L1.3>A (230), L1.2>A (231), P114>G (325) (227- 336), CH3 D12 (352), L14 (354), S10>C (350), T22>W (362) (337- 441), CHS (442-443)) (112-443)], (216-227')-disulfide with kappa light chain with crossed VH anti-PDCD1 (1'-227') [VH humanized (*Homo sapiens*IGHV3-23*01 (90.6%) -(IGHD) -IGHJ5*01 (92.9%)), CDR-IMGT [8.8.13] (26-33.51-58.97-109)) (1'-120') -*Homo sapiens* IGKC*01 (99.1%), R1.5>A (121), T1.4>S (122), Km3 A45.1 (166), V101 (204) (121'-227')]; gamma1 heavy chain anti-HAVCR2 (TIM3) (1"-449") [VH humanized (*Homo sapiens*IGHV3-66*01 (74.5%) -(IGHD) -IGHJ6*01 T123-L (114) (90.9%), CDR-IMGT [8.8.12] (26-33.51-58.97-108)) (1"-119") -*Homo sapiens* IGHG1*01, G1m17,1, G1v14-49 CH2 A1.3, A1.2, G114, G1v33 CH3 S22, A24, V86 (hole) (CH1 K26>E (149), K119>E (215), K120 (216) (120"-217"), hinge 1-15 (218"-232"), CH2 L1.3>A (236), L1.2>A (237), P114>G (331) (233"-342"), CH3 D12 (358), L14 (360) Y5>C (351), T22>S (368), L24>A (370), Y86>V (409) (343"-447"), CHS (448"-449") (120"-449")], (222"-214")-disulfide with kappa light chain anti-HAVCR2 (TIM3) (1"-214") [*Homo sapiens* V-KAPPA (IGKV2-28*01 (81.0%) -IGKJ2*01 (91.7%)) [6.3.9], CDR-IMGT [6.3.9] (27-32.50-52.99-107) (1"-107") -*Homo sapiens* IGKC*01 (98.1%), E12>R (123), Q13>K (124) Km3 A45.1 (153), V101 (191) (108"-214"")]; dimer (222-228":225-231":350-351")-trisdisulfide, produced in Chinese hamster ovary (CHO) cells, derived from the cell line CHO-K1, glycoform alfa

lomvastomig

immunoglobuline G1-kappa avec domaines croisés, anti-[*Homo sapiens* PDCD1 (protéine 1 de mort cellulaire programmée, PD-1, PD1, CD279)] et anti-[*Homo sapiens* HAVCR2 (récepteur cellulaire 2 du virus de l'hépatite A, membre 3 de la famille à domaines immunoglobuline et mucine des cellules T, TIM3, TIM-3, TIMD3, CD366)], anticorps monoclonal humanisé, bispécifique; chaîne lourde gamma1 à V-kappa croisé anti-PDCD1 (1-443) [V-KAPPA humanisé (*Homo sapiens* IGKV4-1*01 (82.2%) -IGKJ1*01 (100%), CDR-IMGT [10.3.9] (27-36.54-56.93-101)) (1-111) -2-mer biseryl linker (112-113) -*Homo sapiens* IGHG1*01, G1m17,1, G1v14-49 CH2 A1.3, A1.2, G114, CH2 G1v32 CH3 W22 (knob) (CH1 K120 (210) (114-211), charnière 1-15 (212-226), CH2 L1.3>A (230), L1.2>A (231), P114>G (325) (227- 336), CH3 D12 (352), L14 (354), S10>C (350), T22>W (362)] (337- 441), CHS (442-443)) (112-443)], (216-227')-disulfure avec la chaîne légère kappa à VH croisé anti-PDCD1 (1'-227') [VH humanisé (*Homo sapiens*IGHV3-23*01 (90.6%) -(IGHD) -IGHJ5*01 (92.9%)), CDR-IMGT [8.8.13] (26-32.51-58.97-109)) (1'-120') -*Homo sapiens* IGKC*01 (99.1%), R1.5>A (121), T1.4>S (122), Km3 A45.1 (166), V101 (204) (121'-227')]; chaîne lourde gamma1 anti-HAVCR2

(TIM3) (1"-449") [VH humanisé (*Homo sapiens* IGHV3-66*01 (74.5%) -(IGHD) -IGHJ6*01 T123>L (114) (90.9%), CDR-IMGT [8.8.12] (26-33.51-58.97-108 (1"-119") -*Homo sapiens* IGHG1*01, G1m17.1, G1v14-49 CH2 A1.3, A1.2, G114, G1v33 CH3 S22, A24, V86 (hole) (CH1 K26>E (149), K119>E (215), K120 (216) (120"-217"), charnière 1-15 (218"-232"), CH2 L1.3>A (236), L1.2>A (237), P114>G (331) (233"-342"), CH3 D12 (358), L14 (360) Y5>C (351), T22>S (368), L24>A (370), Y86>V (409)] (343"-447"), CHS (448"-449")) (120"-449")], (222"-214")-disulfure avec la chaîne légère kappa anti-HAVCR2 (TIM3) (1"-214") [*Homo sapiens* V-KAPPA (IGKV2-28*01 (81.0%) -IGKJ2*01 (91.7%)) [6.3.9], CDR-IMGT [6.3.9] (27-32.50-52.99-107) (1"-107") -*Homo sapiens* IGKC*01 (98.1%), E12>R (123), Q13>K (124) Km3 A45.1 (153), V101 (191) (108"-214")]; dimère (222-228":225-231":350-351")-trisdisulfure, produit dans des cellules ovarianes de hamster chinois (CHO), dérivant de la lignée cellulaire CHO-K1, glycoforme alfa

lomvastomig

inmunoglobulina G1-kappa con dominios cruzados, anti-[*Homo sapiens* PDCD1 (proteína 1 de muerte celular programada, PD-1, PD1, CD279)] y anti-[*Homo sapiens* HAVCR2 (receptor celular 2 del virus de la hepatitis A, miembro 3 de la familia con dominios de inmunoglobulina y mucina de las células T, TIM3, TIM-3, TIMD3, CD366)], anticuerpo monoclonal humanizado, biespecífico; cadena pesada gamma1 con V-kappa cruzada anti-PDCD1 (1-443) [V-KAPPA humanizado (*Homo sapiens* IGKV4-1*01 (82.2%) -IGKJ1*01 (100%), CDR-IMGT [10.3.9] (27-36.54-56.93-101) (1-111) -2-mer biserial linker (112-113) -*Homo sapiens* IGHG1*01, G1m17.1, G1v14-49 CH2 A1.3, A1.2, G114, CH2 G1v32 CH3 W22 (knob) (CH1 K120 (210) (114-211), bisagra 1-15 (212-226), CH2 L1.3>A (230), L1.2>A (231), P114>G (325) (227-336), CH3 D12 (352), L14 (354), S10>C (350), T22>W (362)] (337-441), CHS (442-443)) (112-443)], (216-227")-disulfuro con la cadena ligera kappa con VH cruzado anti-PDCD1 (1"-227") [VH humanizado (*Homo sapiens* IGHV3-23*01 (90.6%) -(IGHD) -IGHJ5*01 (92.9%), CDR-IMGT [8.8.13] (26-32.51-58.97-109) (1"-120") -*Homo sapiens* IGKC*01 (99.1%), R1.5>A (121), T1.4>S (122), Km3 A45.1 (166), V101 (204) (121"-227")]; cadena pesada gamma1 anti-HAVCR2 (TIM3) (1"-449") [VH humanizado (*Homo sapiens* IGHV3-66*01 (74.5%) -(IGHD) -IGHJ6*01 T123>L (114) (90.9%), CDR-IMGT [8.8.12] (26-33.51-58.97-108 (1"-119") -*Homo sapiens* IGHG1*01, G1m17.1, G1v14-49 CH2 A1.3, A1.2, G114, G1v33 CH3 S22, A24, V86 (hole) (CH1 K26>E (149), K119>E (215), K120 (216) (120"-217"), bisagra 1-15 (218"-232"), CH2 L1.3>A (236), L1.2>A (237), P114>G (331) (233"-342"), CH3 D12 (358), L14 (360) Y5>C (351), T22>S (368), L24>A (370), Y86>V (409)] (343"-447"), CHS (448"-449")) (120"-449")], (222"-214")-disulfuro con la cadena ligera kappa anti-HAVCR2 (TIM3) (1"-214") [*Homo sapiens* V-KAPPA (IGKV2-28*01 (81.0%) -IGKJ2*01 (91.7%)) [6.3.9], CDR-IMGT [6.3.9] (27-32.50-52.99-107) (1"-107") -*Homo sapiens* IGKC*01 (98.1%), E12>R (123), Q13>K (124) Km3 A45.1 (153), V101 (191) (108"-214")]; dímero (222-228":225-231":350-351")-trisdisulfuro, producido en las células ováricas de hámster chino (CHO), línea celular derivada de CHO-K1, forma glicosilada alfa

Heavy chain / Chaîne lourde / Cadena pesada: anti-PDCC1 crossed V-kappa (H)
 D1VMTQSPDS LAVSLGERAT INCKASESVD TSDNSFHIWY QKKEPGQSKL 50
 LIYRRSSTILES GUPDRFGSGC SCDTFLITIS SIQAEADAVY YCQQNYDVBPW 100
 TFPQCTKVEI KSSASTKGPS VFPLAPSSKS TSGCTAAALGC LVKQYPPEDW 150
 TVSWNSGALT SCVHTFPALV QSSCLYSSLSS VUTVPSSSLIC QTQYICNNNH 200
 KPSNTKVDDK VEPKSCDKTH TCPCPCEAPEA AGGPPSVFLFP FKPKDTLMIS 250
 RTPEVTCVVV DVSHEDPEVK FNWVYVGDEV HNAKTKPREE QINNSTTRVVS 300
 VLTFLHQDWI NGKEYKCKVS NKLAPAPIEK TISKAKQGPQ EPQVYTLPFC 350
 RDELTQNQVS LWCLVKGFYPS SDIAVEWESN QGPENNNYKTT FPVLDSGDF 400
 FLYSKLTVDI SRWQOGNVFS CSVMMHEALHN HTYQKSLSSLSS PGK 443

Light chain / Chaîne légère / Cadena ligera: anti-PDCC1 crossed VH (L)
 EVQLVLESSGG LVQPGSGLRL SCAASCGFNK TTYYMHWRQA PGKGLEWGR 50
 ISGGGRDIYVY PDVKGRFTI SRDNKSNLTYI LQMNLSLAED TAVYVCVLLT 100
 GRVYFALDSW QGGLTVTVAASVVA 500
 NFYPREAKVQ WKVNQNALQSG NSQEVTQED SKDSTYSLSS TLTLKSDAYE 200
 HKVYACEVVI HQGLLSPVTK SFNRGEC 227

Heavy chain / Chaîne lourde / Cadena pesada: anti-HAVCR2 (TIM3) (H")
 EVQLVLESSGG LVQPGSGLRL SCAASCGFNK TTYYMHWRQA PGKGLEWGR 50
 IDPADDNNTKVY APKFQGKATI SAADTSKNTAY LQMNLSLAED TAVYVCVLLT 100
 GYVAVFAYWG QTIVLTVSSA STKPGSVPFV AFPSKSTSGG TAALGCLVED 150
 YFFEPVTWSM NSGALTSGVH TFPAVLQSSS LYSLSVSVTV FSSSLGQTQY 200
 ICNVNHHKPSN TKVDEKEVPK SSDKTHTCPA CFAPEAAAGP SVFLFPKPK 250
 DTLMISRTPE VTCVVVDVSH EDPEVKFNWY VGDEVHNRAK TPKPREEQYNS 300
 TYRVVSVLTV LHQOWLNKE YKCKVSNKAL GAPIEKTISK AKGQPREGPV 350
 CTLPPSRDEL TKNQVSLSCA VKGFYPSDIA VEWESENQPE NYKNTTPVLI 400
 DDSGFSFLVS KLTVDKSRWQ QGNVFSCVNA HEALHNHYTQ KSLSLSPKG 449

Light chain / Chaîne légère / Cadena ligera: anti-HAVCR2 (TIM3) (L")
 D1VMTQSPDS LPVTPGEPPAS ISCRASQSDV NYVAWYLOQPK QGSFQLLIY 50
 ASNRYIGVPD RFSGSGSGTD FTIKLISRVEA EDVGVYCCQO QSFQPTFQG 100
 GTKVKEIKRTV AAPGSVFIFFFFP SDKRLKSGTA SVVCLLNNFY PREAKVQWKV 150
 DNALQSGNSQ ESVTEQDSKD STYSLSSLT LSKADYEHKH VYACEVTHQG 200
 LSSPVTKSFN RGEC 214

Post-translational modifications

Disulfide bridges location / Position des ponts disulfure / Posiciones de los puentes disulfuro
 Intra-H (C23-C104) 23-92 140-196 257-317 363-421
 22"-96" 146"-202" 263"-323" 369"-427"
 Intra-L (C23-C104) 22"-96" 147-207"
 23"-88" 134"-194"
 Inter-H-L (h 5-CL 126) 216-227" 222"-214"
 Inter-H-H (h 11, h 14) 222-228" 225-231" (engineered) 350-351"

N-glycosylation sites / Sites de N-glycosylation / Posiciones de N-glicosilación
 H CH2 N84.4: 293, 299"
 Fucosylated complex bi-antennary CHO-type glycans / glycanes de type CHO bi-antennaires
 complejos fucosylés / glicanos de tipo CHO biantenarios complejos fucosilados.

lorundrostatum

lorundrostat

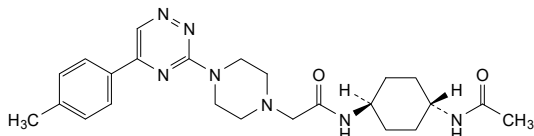
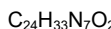
N-(trans-4-acetamidocyclohexyl)-2-{4-[5-(4-methylphenyl)-1,2,4-triazin-3-yl]piperazin-1-yl}acetamide

lorundrostat

N-(trans-4-acetamidocyclohexyl)-2-{4-[5-(4-méthylphényl)-1,2,4-triazin-3-yl]pipérazin-1-yl}acetamide

lorundrostat

N-(trans-4-acetamidociclohexil)-2-{4-[5-(4-metilfenil)-1,2,4-triazin-3-il]piperazin-1-il}acetamida



lunaxafuspum

lunaxafusp

L-methionyl-Shiga-like toxin 1 subunit A1 (2-252), variant (S⁴⁵>I⁴⁶, V⁵⁴>I⁵⁵, R⁵⁵>L⁵⁶, I⁵⁷>F⁵⁸, P⁵⁹>F⁶⁰, E⁶⁰>T⁶¹, E⁶¹>L⁶², G¹¹⁰>A¹¹¹, R¹⁸⁸>A¹⁸⁹, C²⁴²>S²⁴³, R²⁴⁸>A²⁴⁹, R²⁵¹>A²⁵²), fused via the peptide linker ²⁵³EFPKPSTPPGSSGGAP²⁶⁸ to an anti-(human ERBB2 (epidermal growth factor receptor 2, receptor tyrosine-protein kinase erbB-2, EGFR2, HER2, CD340)) murine immunoglobulin single chain variable fragment (scFv) (269-519), containing a VH region

(269-387), a ³⁸⁸GGGGSGGGGGGGGGGGGGGGGGGS⁴¹² peptide linker and a VL region (413-519), produced in *Escherichia coli*; methionyl (1)-Shiga-like toxin 1 subunit A1 (SLT-1 subunit A1, SLT-1a1, SLT-la1,sltA1, stxA1, verotoxin 1 subunit A1, verocytotoxin 1 subunit A1, rRNA N-glycosidase 1, EC:3.2.2.22) of *enterobacteria phage H19B (bacteriophage H19B)* (2-252), [S⁴⁵>I⁴⁶, V⁵⁴>I⁵⁵, R⁵⁵>L⁵⁶, I⁵⁷>F⁵⁸, P⁵⁹>F⁶⁰, E⁶⁰>T⁶¹, E⁶¹>L⁶², G¹¹⁰>A¹¹¹, R¹⁸⁸>A¹⁸⁹, C²⁴²>S²⁴³, R²⁴⁸>A²⁴⁹, R²⁵¹>A²⁵²]-mutant, fused via the 16-peptide linker EFPKPSTPPGSSGGAP (253-268), containing the murine IgG3 hinge fragment PKPSTPPGSS 255-264), to an anti-[*Homo sapiens* ERBB2 (epidermal growth factor receptor 2, receptor tyrosine-protein kinase erbB-2, EGFR2, HER2, HER-2, p185c-erbB2, NEU, CD340)] single-chain *Mus musculus* immunoglobulin Fv fragment (269-387) [VH (*Mus musculus* IGHV9-1*02 (IGHD) -IGHJ2*01, CDR-Kabat [5.17.10] (299-303.318-334.367-376))], fused via a 25-peptide linker (G₄S)₅ (388-412), to an anti-[*Homo sapiens* ERBB2 (epidermal growth factor receptor 2, receptor tyrosine-protein kinase erbB-2, EGFR2, HER2, HER-2, p185c-erbB2, NEU, CD340)] single-chain *Mus musculus* immunoglobulin Fv fragment (413-519), [VL (*Mus musculus* IGKV6-17*01 (IGHD) -IGKJ4*01, CDR-Kabat [11.7.9] (436-446.462-468.501-509))], non-glycosylated, produced in *Escherichia coli*

lunaxafusp

sous-unité A1 de la toxine 1 de type L-méthionyl-Shiga (2-252), variante (S⁴⁵>I⁴⁶, V⁵⁴>I⁵⁵, R⁵⁵>L⁵⁶, I⁵⁷>F⁵⁸, P⁵⁹>F⁶⁰, E⁶⁰>T⁶¹, E⁶¹>L⁶², G¹¹⁰>A¹¹¹, R¹⁸⁸>A¹⁸⁹, C²⁴²>S²⁴³, R²⁴⁸>A²⁴⁹, R²⁵¹>A²⁵²), fusionnée via la liaison peptidique ²⁵³EFPKPSTPPGSSGGAP²⁶⁸ à un anti-(ERBB2 humain (récepteur 2 du facteur de croissance épidermique, récepteur de la tyrosine-protéine kinase erbB-2, EGFR2, HER2, CD340)) immunoglobuline murine à fragment variable à chaîne unique (scFv) (269-519), contenant une région VH (269-387), une liaison peptidique ³⁸⁸GGGGSGGGGGGGGGGGGGGGGGGS⁴¹² et une région VL (413-519), produit chez *Escherichia coli*; méthionyl (1)-sous-unité A1 de la toxine de type Shiga 1 (sous-unité A1 de SLT-1, SLT-1a1, SLT-la1,sltA1, stxA1, sous-unité A1 de la vérotoxine 1, sous-unité A1 de la vérocytotoxine 1, ARNr N-glycosidase 1, EC:3.2.2.22) du *phage entérobactérien H19B (bacteriophage H19B)* (2-252), [S⁴⁵>I⁴⁶, V⁵⁴>I⁵⁵, R⁵⁵>L⁵⁶, I⁵⁷>F⁵⁸, P⁵⁹>F⁶⁰, E⁶⁰>T⁶¹, E⁶¹>L⁶², G¹¹⁰>A¹¹¹, R¹⁸⁸>A¹⁸⁹, C²⁴²>S²⁴³, R²⁴⁸>A²⁴⁹, R²⁵¹>A²⁵²]-mutant, fusionnée via le 16-peptide liant EFPKPSTPPGSSGGAP (253-268), contenant le fragment PKPSTPPGSS de la chaîne de la IgG3 murine 255-264), à un fragment Fv monocaténaire d'anti-[*Homo sapiens* ERBB2 (récepteur 2 du facteur de croissance épidermique, récepteur tyrosine-protéine kinase erbB-2, EGFR2, HER2, HER-2, p185c-erbB2, NEU, CD340)] immunoglobuline de *Mus musculus* (269-387) [VH (*Mus musculus* IGHV9-1*02 (IGHD) -IGHJ2*01, CDR-Kabat [5.17.10] (299-303.318-334.367-376))], fusionnée via le 25-peptide liant (G₄S)₅ (388-412), à un anti-[*Homo sapiens* ERBB2 (récepteur 2 du facteur de croissance épidermique, récepteur tyrosine-protéine kinase erbB-2, EGFR2, HER2, HER-2, p185c-erbB2, NEU, CD340)] fragment Fv de l'immunoglobuline de *Mus musculus* (413-519), [VL (*Mus musculus* IGKV6-17*01 (IGHD) -IGKJ4*01, CDR-Kabat [11.7.9] (436-446.462-468.501-509))], non glycosylée, produite chez *Escherichia coli*

lunaxafusp

subunidad A1 de la toxina 1 de tipo L-metionil-Shiga (2-252), variante ($S^{45}>I^{46}$, $V^{54}>I^{55}$, $R^{55}>L^{56}$, $I^{57}>F^{58}$, $P^{59}>F^{60}$, $E^{60}>T^{61}$, $E^{61}>L^{62}$, $G^{110}>A^{111}$, $R^{188}>A^{189}$, $C^{242}>S^{243}$, $R^{248}>A^{249}$, $R^{251}>A^{252}$), fusionada a través del enlace peptídico $^{253}EFPKPSTPPGSSGGAP^{268}$ a un fragmento variable monocatenario de la immunoglobulina murina (scFv) (receptor 2 del factor de crecimiento epidérmico, receptor de la proteína tirosina kinasa erbB-2, EGFR2, HER2, CD340)) (269-519), que contiene una región VH (269-387), un enlace peptídico $^{388}GGGGSGGGGGSGGGGSGGGGSGGGG^{412}$ y una región VL (413-519), producida por *Escherichia coli*; metionil (1)-subunidad A1 de la toxina 1 de tipo Shiga (subunidad A1 de SLT-1, SLT-1a1, SLT-1a1, sltA1, stxA1, subunidad A1 de la verotoxina 1, subunidad A1 de la verocitotoxina 1, rRNA N-glicosidasa 1, EC: 3.2.22 del fago de enterobacterias H19B (*bacteriófago H19B*) (2-252), [$S^{45}>I^{46}$, $V^{54}>I^{55}$, $R^{55}>L^{56}$, $I^{57}>F^{58}$, $P^{59}>F^{60}$, $E^{60}>T^{61}$, $E^{61}>L^{62}$, $G^{110}>A^{111}$, $R^{188}>A^{189}$, $C^{242}>S^{243}$, $R^{248}>A^{249}$, $R^{251}>A^{252}$]-mutante, fusionado mediante el conector de 16-peptido EFPKPSTPPGSSGGAP (253-268, que contiene el fragmento PKPSTPPGSS de la bisagra de la IgG3 murina 255-264), a un fragmento Fv monocatenario de la anti-[*Homo sapiens* ERBB2 (receptor 2 del factor de crecimiento epidérmico, receptor proteína tirosina kinasa erbB-2, EGFR2, HER2, HER-2, p185c-erbB2, NEU, CD340)] inmunoglobulina de *Mus musculus* (269-387) [VH (*Mus musculus* IGHV9-1*02 (IGHD) - IGHJ2*01, CDR-Kabat [5.17.10] (299-303.318-334.367-376))], fusionado mediante el enlace peptídico 25(G₄S)₅ (388-412), a un anti-[*Homo sapiens* ERBB2 (receptor 2 del factor de crecimiento epidérmico, receptor proteína tirosina kinasa erbB-2, EGFR2, HER2, HER-2, p185c-erbB2, NEU, CD340)] fragmento Fv de la inmunoglobulina de *Mus musculus* (413-519), [VL (*Mus musculus* IGKV6-17*01 (IGHD) - IGKJ4*01, CDR-Kabat [11.7.9] (436-446.462-468.501-509))], no glicosilada, producida en *Escherichia coli*

Sequence / Séquence / Secuencia

MKEFTLDST	AKTVYDSLNV	IRSAIGTPLQ	TISGGTSLL	MIDSG I GDNL	50
F A V D I L G E D E	T L G R F NN N L R L	I V ERN N LY T Y	G V N R T NN N V F	Y R F AD F SH V T	100
F PT T AV A IL V	A SS T IT I L Q R	VAG I S R TM Q	I N R H S L T S T Y	L D L M H S G T	150
L T Q S V AR A ML	R F V T T A E E AL	R F R Q I Q R G F R	T T L D D L S C A	V Y M T A E D V D L	200
T L N W G R L S S	L P D Y H G Q D S V	R V R G R I S F G S I	N A IL G S V AL I	L N S H H H A S A	250
A A E F P K P S T P	P G S S G A P Q V	QL Q Q S G P EL K	K P GET V K I C	K A S G Y P F T N Y	300
G M N W K Q A P O	Q Q L K W M G W I N	T S T G E S T F AD	D F K G R D F E S I	E T S A N T Y L Q	350
I N N L K S E D S A	T Y F C A R NE V Y	H G V P Y W GG G	T T V T V S GG G	GS G GG G GG G	400
G S G G G S G G	G S D I Q M T Q S F	S S L S A S V G D R	V T T C K A S Q D	V Y N A V Y W Q	450
K P Q S P K L I	Y S A S R Y T G	P S R E T G S G S G	P D F T F T I S S V	QA E D L V A Y F C	500
Q Q H F R T P T F	GG G T K L I K				519

Mutation / Mutation / Mutación

N-L-metionyl added (**M**'), $S^{45}>I^{46}$, $V^{54}>I^{55}$, $R^{55}>L^{56}$, $I^{57}>L^{58}$, $P^{59}>F^{60}$, $E^{60}>I^{61}$, $E^{61}>L^{62}$, $G^{110}>A^{111}$, $R^{188}>A^{189}$, $C^{242}>S^{243}$, $R^{248}>A^{249}$, $R^{251}>A^{252}$

Peptide linkers / Peptides liants / Péptidos de unión

EFPKPSTPPGSSGGAP 253-268 (**PKPSTPPGSS** 256-265: murine IgG3 hinge fragment), (G₄S)₅ 388-412

Post-translational modifications

Disulfide bridges location / Position des ponts disulfure / Posiciones de los puentes disulfuro 290-364, 435-500

N-glycosylation sites / Sites de N-glycosylation / Posiciones de N-glicosilación

none / aucun / ninguna

lusacomfarum alfa #

lusacomfar alfa

human complement factor H (CFH, H factor 1), produced in human embryonic kidney cells (HEK293), glycoform alfa

lusacomfar alfa

facteur H du complément humain (CFH, facteur H 1), produit dans des cellules rénales embryonnaires humaines (HEK293), glycoforme alfa

lusacomfar alfa

factor de complement humano H (CFH, factor H 1), producido en células renales embrionarias humanas (HEK293), glicoforma alfa

Sequence / Séquence / Secuencia	50
EDCNELPPRR NTEILCPGRR DQTYPEGTQA IYKCRPGYRS LGNVIMVCRK	50
GEWVALNPLR KCQKRCPGHP GDTPTGFTFL TGNNVFYGV KAVYTCNEGY	100
QLLGEINRYRE CDTDGWNTDI PICEVVKCLP VTAPENGKIV SSAMEPDREY	150
HFGQAVRFVC NSGYKIEGDE EMCISDDGFW SKEPKCVEL SCKSPDVING	200
SPISIQRIFYK ENERFQVKCN MGKEYSERGD AVCTESGWRP LPSCEEKSCD	250
NPYIPLNGDYS PLRIKHRTGD EITYQCRNGF YPATRGNATK CTSTGWIPAP	300
RCTILKPCDYL DIKHGGLYHE NMRRPYFPVA VGKYSSYYCD EHFFETPSGY	350
WDH1HCTQDG WSPAVPCLRK CYFPYLENG NYQNYGRKEVQ FGSIDVACHP	400
GYALPKAQTT VTCMENGWSP TPRCIRVKTC SKXSIDIENG FISESQYTYA	450
LKEEAKYQC LGYVTADGET SGSSITCGKDC WSAQPTCIKS CDIPVEMNAR	500
TKNDFTFWFKL NDTLDYECHD GYESNTGSTT GSIVCGYNGW SDLPICYERE	550
CELPKIDVHL VPDRRKDQYK VGEVLFKFSCK PGFTIVGPNS VQCYHGLSP	600
DLP1CKEQVQ SCGPPPELLN GNKEKETKKEE YGHSEEVVEYY CNPRLFLMGP	650
NKIQCVGDWEW TTLPVCIIVE STCCDIPPLE HGWqALSSPP YYVGDSVEEN	700
CSESFTMIGH RSITCIHGWN TQLPQCVAIL KLKKCKSSNL IIILEEHLNK	750
KEDFHNSNIIR YRCRGKEGWI HTWCINGRWE PEVNCSMAQT QICPPPEPIP	800
NSHNMFTTILR YRDGEKVSVL COENYLIQEF BEITCKDGRW OSIPLOVCEKI	850
PCSQPPQIEH GTINSRSSQ FSYAHGHTKLS YTCEGGFRIS EENETTCYMG	900
KWSSQPFQCEG LPCKSPPPEIS HGVAHHMSDA YQXGEFVTYK CFEGFGIDGP	950
AIAKCLGEKW SHPPSCKIDT CLSLPSFENA IPMEGKDDVY KAGEQVUTYC	1000
ATYVKKMDGAS NUTVENSWRP GRTPCBDTSC VMLPTVONAY IVSRQMSKVIP	1050
SGERVRBYQCK SPYEMFQDEE VMLGNQNWE PPQCKDSTGK CGPPPFIIDNG	1100
DITSFPLSVY APASSVEYQZ QNLQYQLEGNK RITCRNGQWS EPPFKCLHPCV	1150
ISREIMENYN IALRWTAQKQ LYSRTGESVE FVCKRGYRLS SRSHLRTTC	1200
WDGKLEYPTC ARK	1213

Post-translational modifications

Disulfide bridges location / Position des ponts disulfure / Posiciones de los puentes disulfuro
3-48, 34-62, 67-111, 96-123, 128-174,
160-192, 187-233, 219-244, 249-291, 276-302,
307-356, 339-367, 371-413, 398-424, 430-476,
459-487, 491-535, 518-546, 551-593, 579-605,
612-655, 641-666, 673-715, 701-726, 735-774,
763-785, 793-835, 821-846, 828-897, 883-908,
913-955, 941-966, 971-1014, 1000-1025, 1030-1073,
1059-1084, 1091-1134, 1120-1145, 1149-1200, 1183-1210

N-glycosylation sites / Sites de N-glycosylation / Posiciones de N-glicosilación
N511, N700, N784, N804, N864, N1011, N1077 (complex biantennary glycans)**luvixasertibum**

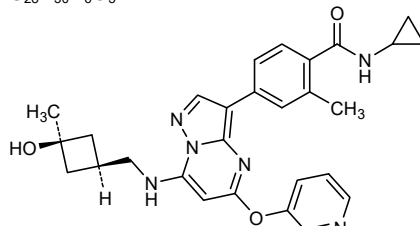
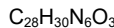
luvixasertib

N-cyclopropyl-4-{7-[(1*s*,3*s*)-3-hydroxy-3-methylcyclobutyl]methyl}amino)-5-[(pyridin-3-yl)oxy]pyrazolo[1,5-*a*]pyrimidin-3-yl}-2-methylbenzamide

luvixasertib

N-cyclopropyl-4-{7-[(1*s*,3*s*)-3-hydroxy-3-methylcyclobutyl]methyl}amino)-5-[(pyridin-3-yl)oxy]pyrazolo[1,5-*a*]pyrimidin-3-yl}-2-méthylbenzamide

luvixasertib

N-ciclopropil-4-{7-[(1*s*,3*s*)-3-hidroxi-3-metilciclobutil]metil}amino)-5-[(piridin-3-il)oxi]pirazolo[1,5-*a*]pirimidin-3-il}-2-metilbenzamida

maplirpaceptum #

maplirpacept

human signal-regulatory protein alpha (SIRPa, tyrosine-protein phosphatase non-receptor type substrate 1, inhibitory receptor SHPS-1) N-terminal fragment (1-118) variant ($L^{14}>S$, $T^{20}>S$, $T^{22}>I$, $R^{24}>H$, $A^{27}>V$, $G^{45}>A$, $D^{65}>E$, $L^{66}>S$, $N^{70}>E$, $R^{77}>S$, $G^{79}>S$, D^{101} deleted, $V^{102}>T^{101}$) fused to a human immunoglobulin G4 C-terminal Fc fragment (119-347), variant ($S^{128}>P$), disulfide bridged dimer, produced in Chinese hamster ovary (CHO), glycoform alfa;

human signal-regulatory protein alpha (SIRPa, tyrosine-protein phosphatase non-receptor type substrate 1, inhibitory receptor SHPS-1), natural [$L^{14}>S$, $T^{20}>S$, $T^{22}>I$, $R^{24}>H$, $A^{27}>V$, $G^{45}>A$, $D^{65}>E$, $L^{66}>S$, $N^{70}>E$, $R^{77}>S$, $G^{79}>S$, $D^{101}>del$, $V^{102}>T^{101}$]-variant, N-terminal (1-118)-fragment [binding domain for CD47 (inhibitor of phagocytosis by macrophages)], fused to a C-terminal Fc fragment of human immunoglobulin G4 (119-347), IGHG4*01; hinge 119-130 [$S^{128}>P$]-variant; CH2 131-240; CH3 241-345; CHS 346-347; dimer (126-126':129-129')-bisdisulfide, produced in Chinese hamster ovary (CHO) cells, glycoform alfa

maplirpacept

fragment N-terminal (1-118) de la protéine régulatrice humaine du signal alpha (SIRPa, substrat 1 de type non-récepteur de la tyrosine-protéine-phosphatase, récepteur inhibiteur SHPS-1) variant ($L^{14}>S$, $T^{20}>S$, $T^{22}>I$, $R^{24}>H$, $A^{27}>V$, $G^{45}>A$, $D^{65}>E$, $L^{66}>S$, $N^{70}>E$, $R^{77}>S$, $G^{79}>S$, D^{101} supprimé, $V^{102}>T^{101}$) fusionné à un fragment Fc C-terminal de l'immunoglobuline G4 humaine (119-347), variant ($S^{128}>P$), dimère à pont disulfure, produit dans des cellules ovariennes de hamster chinois (CHO), glycoforme alfa;

protéine régulatrice du signal alpha (SIRPa, substrat 1 de type non-récepteur de la tyrosine-protéine phosphatase, récepteur inhibiteur SHPS-1), variante naturelle [$L^{14}>S$, $T^{20}>S$, $T^{22}>I$, $R^{24}>H$, $A^{27}>V$, $G^{45}>A$, $D^{65}>E$, $L^{66}>S$, $N^{70}>E$, $R^{77}>S$, $G^{79}>S$, $D^{101}>del$, $V^{102}>T^{101}$], fragment N-terminal (1-118) [domaine de liaison au CD47 (inhibiteur de la phagocytose par les macrophages)], fusionné à un fragment Fc C-terminal de l'immunoglobuline G4 humaine (119-347), IGHG4*01; charnière 119-130 [$S^{128}>P$]-variante; CH2 131-240; CH3 241-345; CHS 346-347; dimère (126-126':129-129')-bisdisulfure, produit dans des cellules ovariennes de hamster chinois (CHO), glycoforme alfa

maplirpacept

proteína reguladora de señales alfa (SIRPa, sustrato 1 de tipo no receptor de la proteína tirosina fosfatasa, receptor inhibidor SHPS-1) fragmento N-terminal (1-118) variante ($L^{14}>S$, $T^{20}>S$, $T^{22}>I$, $R^{24}>H$, $A^{27}>V$, $G^{45}>A$, $D^{65}>E$, $L^{66}>S$, $N^{70}>E$, $R^{77}>S$, $G^{79}>S$, D^{101} eliminado, $V^{102}>T^{101}$) fusionado al fragmento Fc C-terminal de la inmunoglobulina G4 humana (119-347), variante ($S^{128}>P$), dímero unido al disulfuro, producido en células ováricas de hámster Chino (CHO), glicoforma alfa;

proteína reguladora de señales alfa (SIRPa, sustrato 1 de tipo no-receptor de la proteína tirosina fosfatasa, receptor inhibidor SHPS-1), variante natural [$L^{14}>S$, $T^{20}>S$, $T^{22}>I$, $R^{24}>H$, $A^{27}>V$, $G^{45}>A$, $D^{65}>E$, $L^{66}>S$, $N^{70}>E$, $R^{77}>S$, $G^{79}>S$, $D^{101}>\text{del}$, $V^{102}>T^{101}$], fragmento N-terminal (1-118) [dominio de unión a CD47 (inhibidor de la fagocitosis por macrófagos)], fusionado con un fragmento Fc C-terminal de inmunoglobulina G4 humana (119-347), IGHG4*01; bisagra 119-130 [$S^{128}>P$]-variante; CH2 131-240; CH3 241-345; CHS 346-347; dímero (126-126':129-129')-bisdisulfuro, producido en células ováricas de hámster Chino (CHO), forma glicosilada alfa

Sequence / Séquence / Secuencia
EELQLVQIOPD KSV₁VAAGES A₂L₃HCT₄TS₅ I₆PVGPIQWFR GAGP₇A₈REL₉IY 50
NQKEGHFPRV TTV₁₀ESTKRE NMDFSI₁₁ST₁₂N ITPADAGTY₁₃ CVKFRKGSPD 100
TEFKSGAGTE LSVRAKPS₁₄ES KYGPFPC₁₅CP APEFLGGPSV FLFFPKPKDT 150
LMSRTPEVT CVVVDVSQED PEVQFNWVD GVEVHNNAKT PREEQFNSTY 200
RVVSLTVLH QDWLN₁₆KEYK CKVSNKLGLPS SIEKTISKAK GQP₁₇REPQVYT 250
LPPSQEEMTK NQVSLTCLVK GFYPSDIAVE WESNGQPENN YKTP₁₈PPVLDS 300
DGSFFLYSRL TVDKSRWQEG NVFSCSVMHE ALHNHYTQKS LSLSLGK 347

Natural variant / Variante naturelle / Variante natural
 $L^{14}>S$, $T^{20}>S$, $T^{22}>I$, $R^{24}>H$, $A^{27}>V$, $G^{45}>A$, $D^{65}>E$, $L^{66}>S$, $N^{70}>E$, $R^{77}>S$, $G^{79}>S$,
 $D^{101}>\text{del}$, $V^{102}>T^{101}$

Mutation / Mutation / Mutación
S128,S128>P

Post-translational modifications

Disulfide bridge locations / Position des ponts disulfure / Posiciones de los puentes disulfuro
 intra-chain: 25-91, 161-221, 267-325,
 25'-91', 161'-221', 267'-325'
 inter-chain: 126-126', 129-129'

N-glycosylation sites / Sites de N-glycosylation / Posiciones de N-glicosilación
 N80, N80', N197, N197'
 C-terminal lysine clipping / Coupe de la lysine C-terminale / Recorte de lisina C-terminal

CHS K2: K347, K347"

masofanitenum

masofaniten

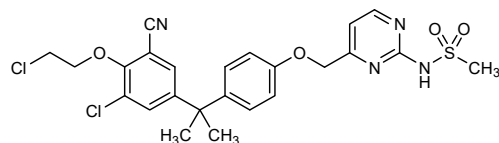
N-{4-[{(4-{[2-[3-chloro-4-(2-chloroethoxy)-5-cyanophenyl]propan-2-yl}phenoxy)methyl]pyrimidin-2-yl}methanesulfonamide

masofanitène

N-{4-[{(4-{[2-[3-chloro-4-(2-chloroéthoxy)-5-cyanophényl]propan-2-yl}phénoxy)méthyl]pyrimidin-2-yl}méthanesulfonamide

masofanitén

N-{4-[{(4-{[2-[3-ciano-5-cloro-4-(2-cloroetoxi)fenil]propan-2-yl}fenoxi)métil]pirimidin-2-yl}metanosulfonamida



mavodelparum

mavodelpar

(4-[(2*E*)-3-(4-fluorophenyl)-3-{4-[3-(morpholin-4-yl)prop-1-yn-1-yl]phenyl}prop-2-en-1-yl]oxy)-2-methylphenoxy)acetic acid

Recommended INN: List 89

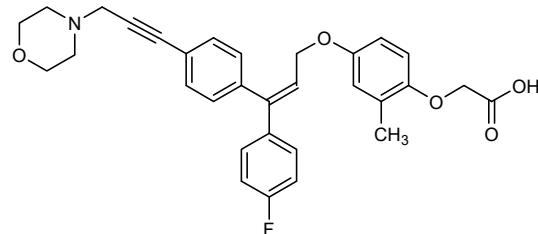
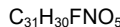
WHO Drug Information, Vol. 37, No. 1, 2023

mavodelpar

acide (4-{{(2E)-3-(4-fluorophényl)-3-{4-[3-(morpholin-4-yl)prop-1-yn-1-yl]phényl}prop-2-én-1-yl}oxy}-2-méthylphénoxy)acétique

mavodelpar

ácido (4-{{(2E)-3-(4-fluorofenil)-3-{4-[3-(morpholin-4-il)prop-1-in-1-il]fenil}prop-2-en-1-il}oxi}-2-metilfenoxi)acético

**mebufoteninum**

mebufotenin

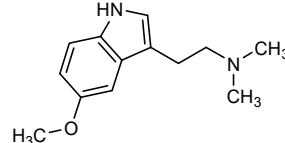
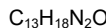
2-(5-methoxy-1*H*-indol-3-yl)-*N,N*-diméthylethan-1-amine

mébufoténine

2-(5-méthoxy-1*H*-indol-3-yl)-*N,N*-diméthyléthan-1-amine

mebufotenina

N,N-dimetil-2-(5-metoxi-1*H*-indol-3-il)etan-1-amina

**mevonlerbartum #**

mevonlerbart

immunoglobulin G4-kappa, anti-[*Fel d 1* (*Felis silvestris catus* (domestic cat) allergen 1)], *Homo sapiens* monoclonal antibody;

gamma4 heavy chain *Homo sapiens* (1-442) [VH (*Homo sapiens*IGHV3-23*04 (94.9%) -(IGHD) - IGHJ4*01 (100%), CDR-IMGT [8.8.8] (26-33.51-58.97-104)) (1-115)-*Homo sapiens*IGHG4*01, G4v5 h P10, nG4m(a) CH2 L92 (CH1 (116-213), hinge 1-12 S10>P (223) (214-225), CH2 L92 (304) (226-335), CH3 (336-440), CHS (441-442)) (116-442)], (129-214')-disulfide with kappa light chain *Homo sapiens* (1'-214') [V-KAPPA (*Homo sapiens*IGKV1-5*03 (96.8%) - IGKJ4*01 (100%), CDR-IMGT [6.3.9] (27-32.50-52.89-97)) (1'-107') -*Homo sapiens*IGKC*01 (100%), Km3 A45.1 (153), V101 (191) (108'-214')]; dimer (221-221":224-224")-bisdisulfide, produced in Chinese hamster ovary (CHO) cells, glycoform alfa

mévonlerbart

immunoglobuline G4-kappa, anti-[*Fel d 1* (allergène 1 de *Felis silvestris catus* (chat domestique))], anticorps monoclonal *Homo sapiens*;

chaîne lourde gamma4 *Homo sapiens* (1-442) [VH (*Homo sapiens* IGHV3-23*04 (94.9%) -(IGHD)- IGHJ4*01 (100%), CDR-IMGT [8.8.8] (26-33.51-58.97-104)) (1-115)-*Homo sapiens* IGHG4*01, G4v5 h P10, nG4m(a) CH2 L92 (CH1 (116-213), charnière 1-12 S10>P (223) (214-225), CH2 L92 (304) (226-335), CH3 (336-440), CHS (441-442)) (116-442)], (129-214')-disulfure avec la chaîne légère kappa *Homo sapiens* (1'-214') [V-KAPPA (*Homo sapiens* IGKV1-5*03 (96.8%) -IGKJ4*01 (100%), CDR-IMGT [6.3.9] (27-32.50-52.89-97)) (1'-107') -*Homo sapiens* IGKC*01 (100%), Km3 A45.1 (153), V101 (191) (108'-214')]; dimère (221-221":224-224")-bisdisulfure, produit dans des cellules ovarianes de hamster chinois (CHO), glycoforme alfa

mevonlerbart

inmunoglobulina G4-kappa, anti-[Fel d 1 (alérgeno 1 de *Felis silvestris catus* (gato doméstico))], anticuerpo monoclonal *Homo sapiens*; cadena pesada gamma4 *Homo sapiens* (1-442) [VH (*Homo sapiens* IGHV3-23*04 (94.9%) -(IGHD)- IGHJ4*01 (100%), CDR-IMGT [8.8.8] (26-33.51-58.97-104)) (1-115)-*Homo sapiens* IGHG4*01, G4v5 h P10, nG4m(a) CH2 L92 (CH1 (116-213), bisagra 1-12 S10>P (223) (214-225), CH2 L92 (304) (226-335), CH3 (336-440), CHS (441-442)) (116-442)], (129-214')-disulfuro con la cadena ligera kappa *Homo sapiens* (1'-214') [V-KAPPA (*Homo sapiens* IGKV1-5*03 (96.8%) -IGKJ4*01 (100%), CDR-IMGT [6.3.9] (27-32.50-52.89-97)) (1'-107') -*Homo sapiens* IGKC*01 (100%), Km3 A45.1 (153), V101 (191) (108'-214')]; dímero (221-221":224-224")-bisdisulfuro, producido en las células ováricas de hámster chino (CHO), forma glicosilada alfa

Heavy chain / Chaîne lourde / Cadena pesada

EVQLVESGG	LVQPGSGLRL	SCAASGFTFS	SYAMSWVRQA	PGKGLEWVSA	50	
ISGRGYNA	DI	ADSVKGRFTI	SRDNNSKNTLY	LQMNLSRAED	TAVYVCAKLE	100
YFDYWGQGT	TE	VTVSSASTKG	PSVFPFLAPCS	RSTSEESTAAL	GCLVKDYYFPE	150
PVTVSWSNSGA	LTSGVHTFFPA	VLQSSGGLYSL	SSVTVTPSS	LGTKTYTCNV	200	
DHKPSNTKVD	KRVEKSYKGP	CPCCPAPEFL	GGPSVFLFPP	KPKDTLMISR	250	
TEPEVTCVVVD	VSQEDEPEVQF	NWYVVDGEVHE	NAKTKPREEQ	FNSTYRVRSV	300	
LTVLHQDWLD	GKEYCKVSN	KGLPSSIEKT	ISKAKGQPRE	PQVTVLPPSQ	350	
EEMTKNQVSL	TCLVKGEYPS	DIAVEWEWSNQ	QPENNYKTTP	PVLDSGDSFF	400	
LYSRLTVDKS	RWQEENVFVSC	SVMHEHALHNH	YTQKSLSSL	GK	442	

Light chain / Chaîne légère / Cadena ligera

DIQMTQSPST	LSAVS	GDVRVT	ITCRASQSQIS	SWLAWYQQKQP	GRKAPLILYK	50
ASSLESGVPS	RFSGSGSGTD	FTLTLSSRLR	EDFATYVCQQ	YNSYPLTFGG	100	
GTKVLEIKRTV	AAPSVFIFPP	SDEQLKSGTA	SVVCLLNNFY	PREAKVQWKV	150	
DNALQSGNSQ	ESVTEQPSKD	STYSQSSLT	LSKADYEKHK	VYACEVTHHQG	200	
LLSSPVTKSFN	RGECE				214	

Post-translational modifications

Disulfide bridges location / Position des ponts disulfure / Posiciones de los puentes disulfuro
 Intra-H (C23-C104) 22"-96" 142"-198" 256"-316" 362"-420"
 22"-96" 142"-198" 256"-316" 362"-420"
 Intra-L (C23-C104) 23"-88" 134"-194"
 23"-88" 134"-194"
 Inter-H-L (CH1 10-CL 126) 129"-214" 129"-214"
 Inter-H-H (h 8, h 11) 221"-221" 224-224"

N-glycosylation sites / Sites de N-glycosylation / Posiciones de N-glicosilación

H CH2 N84.4: 292, 292"
 Fucosylated complex bi-antennary CHO-type glycans / glycanes de type CHO bi-antennaires complexes fucosylés / glicanos de tipo CHO biantenarios complejos fucosilados.

C-terminal lysine clipping / Coupe de la lysine C-terminale / Recorte de lisina C-terminal
 H CHS K2: 442, 442"

milpocitidum

milpocitide

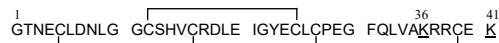
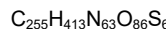
low-density lipoprotein receptor (human LDL receptor, LDLR), (293-333)-peptide fragment (EGF-like domain 1), artificial [N³⁰¹>L⁹, N³⁰⁹>R¹⁷, K³¹²>E²⁰, D³²¹>E²⁹, Q³²⁸>K³⁶, D³³³>K⁴¹]-mutant, produced in *Saccharomyces cerevisiae*, chemically converted to the N^{6,36},N^{6,41}-bis[(22S)-22,38-dicarboxy-10,19,24-trioxa-3,6,12,15-tetraoxa-9,18,23-triazaoctatriacontan-1-oyl]-derivative

milpocitide

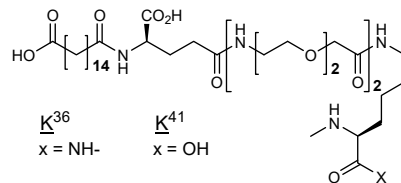
récepteur des lipoprotéines de basse densité (récepteur LDL humain, LLDLR), fragment peptidique (293-333) (domaine 1 de type EGF), mutant [N³⁰¹>L⁹, N³⁰⁹>R¹⁷, K³¹²>E²⁰, D³²¹>E²⁹, Q³²⁸>K³⁶, D³³³>K⁴¹] artificiel, produit dans *Saccharomyces cerevisiae*, converti chimiquement en dérivé N^{6,36},N^{6,41}-bis[(22S)-22,38-dicarboxy-10,19,24-trioxa-3,6,12,15-tétraoxa-9,18,23-triazaoctatriacontan-1-oyle]

milpocitida

receptor de lipoproteínas de baja densidad (receptor de LDL humano, LLDLR), fragmento de péptido (293-333) (dominio 1 similar a EGF), mutante [N³⁰¹>L⁹, N³⁰⁹>R¹⁷, K³¹²>E²⁰, D³²¹>E²⁹, Q³²⁸>K³⁶, D³³³>K⁴¹] artificial, producido en *Saccharomyces cerevisiae*, químicamente convertido en el derivado de N^{6,36},N^{6,41}-bis [(22S)-22,38-dicarboxi-10,19,24-trioxa-3,6,12,15-tetraoxa-9,18,23-triazaoctatriacontan-1-oilo]



Modified residues / Résidus modifiés /Restos modificados

**misionamidum**

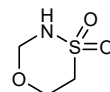
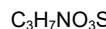
misionamide

1,4λ⁶,3-oxathiazinane-4,4-dione

misérationamide

1,4λ⁶,3-oxathiazinane-4,4-dione

misionamida

1,4λ⁶,3-oxatiazinano-4,4-diona

mizacoratum

mizacorat

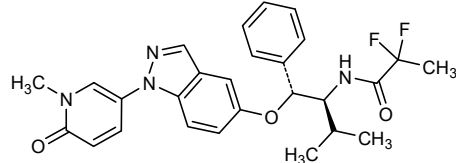
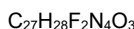
2,2-difluoro-N-[(1*R*,2*S*)-3-methyl-1-[(1-(1-methyl-6-oxo-1,6-dihydropyridin-3-yl)-1*H*-indazol-5-yl)oxy]-1-phenylbutan-2-yl]propenamide

mizacorat

2,2-difluoro-N-[(1*R*,2*S*)-3-méthyl-1-[(1-méthyl-6-oxo-1,6-dihydropyridin-3-yl)-1*H*-indazol-5-yl)oxy]-1-phénylebutan-2-yl]propenamide

mizacorat

N-[(1*R*,2*S*)-1-fenil-3-metil-1-[(1-(1-metil-6-oxo-1,6-dihidropiridin-3-il)-1*H*-indazol-5-il)oxi]butan-2-il]-2,2-difluoropropanamida

**nadrvaleucelum**

nadrvaleucel

allogeneic natural killer (NK) cells isolated from peripheral blood leukapheresis of individual donors. The cells are co-cultured in media containing interleukin 15 (IL-15) and nicotinamide (NAM, niacinamide) with expansion enhanced by the presence of feeder cells. The final cell population consists of 97-99% CD3-CD56+ NK cells, with >10% expressing CD16 (also known as Fc γ RIII) and CD62L (also known as L-selectin) and with capacity to degranulate (surface expression of CD107a [Lysosome-associated membrane glycoprotein 1]; >10%), and to kill target cells (>10%) in co-culture assays against human cancer cell lines.

nadrvaleucel

cellules tueuses naturelles (NK) allogéniques isolées à partir d'une leucaphérèse de sang périphérique de donneurs individuels. Les cellules sont co-cultivées dans un milieu contenant de l'interleukine 15 (IL-15) et de la nicotinamide (NAM, niacinamide), l'expansion étant améliorée par la présence de cellules nourricières. La population cellulaire finale consiste en 97 à 99% de cellules NK CD3-CD56+, dont >10% expriment CD16 (également connu sous le nom de Fc γ RIII) et CD62L (également connu sous le nom de L-sélectine) et ont la capacité de dégranuler (expression de surface de CD107a [glycoprotéine membranaire associée au lysosome]; >10%), et de tuer les cellules cibles (>10%) dans des tests de co-culture contre des lignées cellulaires cancéreuses humaines.

nadrvaleucel

células natural killer (NK) alogénicas aisladas de leucocitofragia de sangre periférica de donantes individuales. Las células se co-cultivan en medio que contiene interleuquina 15 (IL-15) y nicotinamida (NAM, niacinaamida) con expansión aumentada por la presencia de células alimentadoras. La población celular final consiste en un 97-99% de células NK CD3-CD56+, con >10% que expresan CD16 (también conocido como FcγRIII) y CD62L (también conocido como L-selectina) y con capacidad para desgranular (expresión en superficie de CD107α [glicoproteína de membrana 1 asociada a lisosoma]; >10%) y de matar células diana (>10%) en ensayos de co-cultivo contra líneas celulares de cáncer humanas.

narlumosbartum #

narlumosbart

immunoglobulin G4-kappa, anti-[TNFSF11 (tumor necrosis factor (TNF) superfamily member 11, osteoclast differentiation factor, ODF, OPGL, RANKL, TRANCE, CD254)], *Homo sapiens* monoclonal antibody;
 gamma4 heavy chain *Homo sapiens* (1-449) [VH (*Homo sapiens* IGHV3-23*01 (98.0%) -(IGHD) - IGHJ5*02 (93.8%), CDR-IMGT [8.8.15] (26-33.51-58.97-111)) (1-122)-*Homo sapiens* IGHG4*01, G4v5 h P10, nG4m(a) CH2 L92 (CH1 (123-220), hinge 1-12, S10>P (230) (221-232), CH2 L92 (311) (233-342), CH3 (343-447), CHS (448-449)) (123-449)], (136-215')-disulfide with kappa light chain *Homo sapiens* (1'-215') [V-KAPPA (*Homo sapiens* IGKV3-20*01 (85.8%) -IGKJ1*01 (100%), CDR-IMGT [7.3.9] (27-33.51-53.90-98)) (1'-108') -*Homo sapiens* IGKC*01 (100%), Km3 A45.1 (154), V101 (192) (109'-215')]; dimer (228-228":231-231")-bisdisulfide, producido in Chinese hamster ovary (CHO) cells, cell line CHO-S, glycoform alfa

narlumosbart

immunoglobuline G4-kappa, anti-[TNFSF11 (membre 11 de la superfamille TNFSF des facteurs de nécrose tumorale, facteur de différenciation des ostéoclastes, ODF, OPGL, RANKL, TRANCE, CD254)], anticorps monoclonal *Homo sapiens*;
 chaîne lourde gamma4 *Homo sapiens* (1-449) [VH (*Homo sapiens* IGHV3-23*01 (98.0%) -(IGHD) - IGHJ5*01 (93.8%), CDR-IMGT [8.8.15] (26-33.51-58.97-111)) (1-122)-*Homo sapiens* IGHG4*01, G4v5 h P10, nG4m(a) CH2 L92 (CH1 (123-220), charnière 1-12 S10>P (230) (221-232), CH2 L92 (311) (233-342), CH3 (343-447), CHS (448-449)) (123-449)], (136-211')-disulfure avec la chaîne légère kappa *Homo sapiens* (1'-215') [V-KAPPA (*Homo sapiens* IGKV3-20*01 (85.8%) -IGKJ1*01 (100%), CDR-IMGT [7.3.9] (27-33.51-53.90-98)) (1'-108') -*Homo sapiens* IGKC*01 (100%), Km3 A45.1 (154), V101 (192) (109'-215')]; dimère (228-228":231-231")-bisdisulfure, produit dans des cellules ovarianas de hamster chinois (CHO), lignée cellulaire CHO-S, glycoforme alfa

narlumosbart

inmunoglobulina G4-kappa, anti-[TNFSF11 (miembro 11 de la super familia TNFSF de los factores de necrosis tumoral, factor de diferenciación de los osteoclastos, ODF, OPGL, RANKL, TRANCE, CD254)], anticuerpo monoclonal *Homo sapiens*; cadena pesada gamma4 *Homo sapiens* (1-449) [VH (*Homo sapiens*IGHV3-23*01 (98.0%) -(IGHD) -IGHJ5*01 (93.8%), CDR-IMGT [8.8.15] (26-33.51-58.97-111)) (1-122)-*Homo sapiens*IGHG4*01, G4v5 h P10, nG4m(a) CH2 L92 (CH1 (123-220), bisagra 1-12 S10>P (230) (221-232), CH2 L92 (311) (233-342), CH3 (343-447), CHS (448-449)) (123-449)], (136-211')-disulfuro con la cadena ligera kappa *Homo sapiens* (1'-215') [V-KAPPA (*Homo sapiens*IGKV3-20*01 (85.8%) -IGKJ1*01 (100%), CDR-IMGT [7.3.9] (27-33.51-53.90-98)) (1'-108') -*Homo sapiens*IGKC*01 (100%), Km3 A45.1 (154), V101 (192) (109'-215')]; dímero (228-228"-231-231")-bisdisulfuro, producido en las células ováricas de hamster chino (CHO), línea celular CHO-S, forma glicosilada alfa

Heavy chain / Chaîne lourde / Cadena pesada
 EVQILLESGG LVQPGGSRLR SCAASGFTFS SYAMSWVRQAA PGKGLLEWWSG 50
 ITGSGGSTYY ADSVKGRFTI SRDN SKNTLY LQMMNSLRAED TAVYYCAKDP 100
 GTTIVMSWFDI PWGGGTLVIVV SSASTSKGPVS FFLAPCSRST SESTAALGCL 150
 KRYDYFPEEVTI VSNWNSGALTSS KVHTFPFAVLQ SSGLYLSLSSV VTVPSSLG 200
 KTYTCNVDDHK PSNTKVDKERV ESKYGPCCPP CPAPEFLGGG SVLFPPKKP 250
 DILMISRTPE VTCVVVDDVSQ EDEPVQFNWY VDGVEVHNAK TKEREEQFNS 300
 TYRVVSVLTV LHQDWLNKE YCKKVSNKGL PSSIEKTISK AKQGPREPQV 350
 YTLPSPSQEM TKNQVSLTCL VKGFVPSDIA VEWESNGQPE NNYKTTPPV 400
 DSDGSFPLYS RLTVDKSRWQ EGNFVSCSVM HEALHNHYTQ KSISLSSLGK 449

Light chain / Chaîne légère / Cadena ligera
 EIVLVTQSPGT LSLSPGERAT LSCRASQSVR GRYLAWYQQK PGQAPRLLIY 50
 GASRSRATGIP DRFGSGSCTD DFTLITISRLLE PEDFAVVFYCO QYGSSPRTFG 100
 QGTTKVEIKRT VAAEPSVFIFP PSDEQLKSGT ASVVCLLNNF YPREAKVQWK 150
 VDNALQSNS QESVTPQDSK DSTYSLSSTL TLSKADYEKH KVYACEVTHQ 200
 GLSSPVTKSF NRGECK 215

Post-translational modifications

Disulfide bridges location / Position des ponts disulfure / Posiciones de los puentes disulfuro

Intra-H (C23-C104) 22..96 149-205 263-323 369-427

22..96" 149"-205" 263"-323" 369"-427"

Intra-L (C23-C104) 23..89.. 135..195..

23..89" 135..195"

Inter-H-L (CH1 10-CL 126) 136-215" 136"-215"

Inter-H-H (h 8, h 11) 228-228" 231-231"

N-glycosylation sites / Sites de N-glycosylation / Posiciones de N-glicosilación

H CH2 N84.4: 299, 299"

Fucosylated complex bi-antennary CHO-type glycans / glycanes de type CHO bi-antennaires complexes fucosyles / glicanos de tipo CHO bi-antennarios complejos fucosilados.

C-terminal lysine clipping / Coupure de la lysine C-terminale / Recorte de lisina C-terminal
H CHS K2: 449, 449"**nasaruplasum gamma #**

nasaruplase gamma

human urokinase-type plasminogen activator (U-plasminogen activator, uPA, PLAU, EC:3.4.21.73), single-chain pro-protein (pro-urokinase), produced in Chinese hamster ovary (CHO) cells, cell line CHO-DG44, clone 8-93, glycoform gamma

nasaruplase gamma

activateur du plasminogène de type urokinase humain (activateur d'U-plasminogène, uPA, PLAU, EC:3.4.21.73), pro-protéine monocaténaire (pro-urokinase), produite dans des cellules ovarianas de hamster chino (CHO), lignée cellulaire CHO-DG44, clone 8-93, glycoforme gamma

nasaruplaza gamma

activador humano del plasminógeno de tipo urokinasa (activador del plasminógeno-U, uPA, PLAU, EC: 3.4.21.73), proproteína monocatenaria (prourokinasa), producida en células ováricas de hamster Chino (CHO), línea celular CHO-DG44, clon 8-93, glicoforma gamma

Sequence / Séquence / Secuencia

SNELHQVPSN	CDCLNGGTCV	SNKYFSNIHW	CNCPKKFQQQ	HCEIDKSKTC	50
YEGNQHFYRG	KASTDTMGRP	CLPWNSATVL	QQTYYHHRSD	ALQLGLGKHNN	100
YCRNPDNRRL	PWCYVQVGLK	PLVQECMVHD	CADGKKPSSP	PEELKFQCGQ	150
KTLRPRFKT	GGEFTTIEENQ	PWFAATYRRH	RGGSVTVVCC	GSLISPCWVI	200
SATHCIFIDYP	KKEDYDIVLG	RSRLNSNTGQ	EMKFEEVENLT	LHKDYSADTL	250
AHHNDIALLK	IRSKERGRCAQ	PSRTIQTICL	PSMYNDPQFG	TSCEAITGFGK	300
ENSTDLYPE	QLKMTVVVKLI	SHRECQCPHY	YGSEVTTKML	CAADPQWKTD	350
SCCGDSGGPL	VCSLQGRMTL	TGIVSWGRGC	ALKDKPGVYT	RVSHFLPWIR	400
			SHTKEENGLA	L	411

Plasmin cleavage site / Site du clivage par la plasmine / Sitio de la escisión por plasmina
K¹⁵⁸-I¹⁵⁹

Post-translational modifications

Disulfide bridges location / Position des ponts disulfure / Posiciones de los puentes disulfuro
11-19, 13-31, 33-42, 50-131, 71-113, 102-126, 148-279, 189-205, 197-268, 293-362,
325-341, 352-380

Glycosylation sites / Sites de glycosylation / Posiciones de glicosilación
T18 (*O*-fucosyl), N302 (CHO type glycans)

navepegritidum

navepegritide

C-type natriuretic peptide (CNP), human, (89-126)-fragment (1-38) (CNP-38), conjugated at *N*⁶ of Lys26 with four O-methylpoly(ethylene glycol) chains (approx. 10 kDa each) via a cleavable tetra-antennary linker; L-leucyl-L-glutaminyl-L- α -glutamyl-L-histidyl-L-prolyl-L-asparaginyl-L-alanyl-L-arginyl-L-lysyl-L-tyrosyl-L-lysylglycyl-L-alanyl-L-asparaginyl-L-lysyl-L-lysylglycyl-L-leucyl-L-seryl-L-lysylglycyl-L-cysteinyl-L-phenylalanylglycyl-L-leucyl-N⁶-{N²,N⁶-bis(6-{[(3RS)-1-{3-[(3-(2RS)-2,3-bis[α -methylpoly(oxyethylene)- ω -oxy]propoxy}propyl)amino]-3-oxopropyl}-2,5-dioxopyrrolidin-3-yl)sulfanyl}hexanoyl)-L-lysyl]-N²-methyl-N¹-[2-(methylamino)ethyl]-L-isoasparaginyl]-L-lysyl-L-leucyl-L- α -aspartyl-L-arginyl-L-isoleucylglycyl-L-seryl-L-methionyl-L-serylglycyl-L-leucylglycyl-L-cysteine (22-38)-disulfide

navépégritide

fragment 89-126 du peptide natriurétique de type C (CNP) humain (CNP-38) (1-38), conjugué à *N*⁶ de Lys26 avec quatre chaînes O-méthylpoly(éthylène glycol) (environ 10 kDa chacune) via un linker tétra-antennaire clivable; L-leucyl-L-glutaminyl-L- α -glutamyl-L-histidyl-L-prolyl-L-asparaginyl-L-alanyl-L-arginyl-L-lysyl-L-tyrosyl-L-lysylglycyl-L-alanyl-L-asparaginyl-L-lysyl-L-lysylglycyl-L-leucyl-L-séryl-L-lysylglycyl-L-cysteinyl-L-phénylalanylglycyl-L-leucyl-N⁶-{N²,N⁶-bis(6-{[(3RS)-1-{3-[(2RS)-2,3-bis[α -méthylpoly(oxyéthylène)- ω -oxy]propoxy}propyl)amino]-3-oxopropyl}-2,5-dioxopyrrolidin-3-yl)sulfanyl}hexanoyl)-L-lysyl]-N²-méthyl-N¹-[2-(méthylamino)éthyl]-L-isoasparaginyl]-L-lysyl-L-leucyl-L- α -aspartyl-L-arginyl-L-isoleucylglycyl-L-séryl-L-méthionyl-L-sérylglycyl-L-leucylglycyl-L-cystéine (22-38)-disulfure

navepegritida

fragmento 89-126 del péptido natriurético de tipo C (CNP) humano (CNP-38) (1-38), conjugado en *N*⁶ de Lys26 con cuatro cadenas de O-metilpoli(etilenglicol) (aproximadamente 10 kDa cada una) a través de un enlace tetra-antenario escindible;

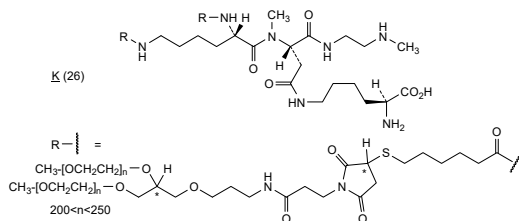
L-leucil-L-glutaminil-L- α -glutamil-L-histidil-L-prolil-L-asparaginil-L-alanil-L-arginil-L-lisil-L-tirosil-L-lisilglicil-L-alanil-L-asparaginil-L-lisil-L-lisilglicil-L-leucil-L-seril-L-lisilglicil-L-cisteinil-L-fenilalanilglicil-L-leucil-N⁶-[N²,N⁶-bis(6-{[(3RS)-1-{3-[(3-{(2RS)-2,3-bis[α -metilpoli(oxietileno)- ω -oxi]propoxi}propil)amino]-3-oxopropil}-2,5-dioxopirolidin-3-yl}sulfanil)hexanoil]-L-lisil]-N²-metil-N¹-[2-(metilamino)etil]-L-isoasparaginil]-L-lisil-L-leucil-L- α -aspartil-L-arginil-L-isoleucilglicil-L-seril-L-metionil-L-serilglicil-L-leucilglicil-L-cisteina (22-38)-disulfuro

$C_{231}H_{386}N_{64}O_{67}S_5$ (C_2H_4O)_{4n} with n ≈ 200-250

LQEHPNARKY KGANKGKLSK GCFGLKLDRI GSMSGLG C 38

Disulfide bridges location / Position des ponts disulfure / Posiciones de los puentes disulfuro
22-38

Modified residues / Résidus modifiés / Restos modificados



neltependocel

neltependocel

allogenic corneal endothelial cells derived from human corneal tissue (Descemet's membrane) and obtained by enzymatic digestion. The endothelial cells are seeded onto collagen type I-coated plates and expanded in media containing foetal bovine serum, calcium chloride, chondroitin sulfate, epidermal growth factor (EGF), a p38 mitogen-activated protein (MAP) kinase inhibitor, ascorbic acid, and a Rho-associated protein kinase (ROCK)-inhibitor. The cells are positive for CD166 (activated leukocyte cell adhesion molecule; >90%) and negative for CD24, CD105 (endoglin), CD44, CD26 (dipeptidyl peptidase 4), and CD200, display a healthy corneal cell morphology, and show expression at the cell periphery for sodium potassium pumps (Na^+/K^+ -ATPase) and tight cell junctions (ZO-1).

cellules endothéliales cornéennes allogéniques dérivées du tissu cornéen humain (membrane de Descemet) et obtenues par digestion enzymatique. Les cellules endothéliales sont ensemencées sur des plaques recouvertes de collagène de type I et amplifiées dans un milieu contenant du sérum bovin fetal, du chlorure de calcium, du sulfate de chondroïtine, du facteur de croissance épidermique (EGF), un inhibiteur de la protéine kinase activée par le mitogène (MAP) p38, de l'acide ascorbique et un inhibiteur de la protéine kinase associée à Rho

neltépendocel

(ROCK). Les cellules sont positives pour le CD166 (molécule d'adhésion cellulaire des leucocytes activés; >90%) et négatives pour le CD24, le CD105 (endogline), le CD44, le CD26 (dipeptidyl peptidase 4) et le CD200, présentent une morphologie de cellules cornéennes saines, et présentent à la périphérie cellulaire une expression de pompes à sodium-potassium (Na^+/K^+ -ATPase) et de jonctions cellulaires serrées (ZO-1).

neltependocel

células del endotelio corneal alogénicas derivadas de tejido corneal humano (membrana de Descemet) y obtenidas mediante digestión enzimática. Las células endoteliales se siembran en placas forradas de colágeno tipo I y se expanden en medio que contiene suero bovino fetal, cloruro cálcico, condroitín sulfato, factor de crecimiento epidérmico (EGF), un inhibidor de la proteína quinasa activada por el mitógeno p38 (MAP), ácido ascórbico y un inhibidor de la proteína quinasa asociada a Rho (ROCK). Las células son positivas para CD166 (molécula de adhesión de leucocitos activados; >90%) y negativas para CD24, CD105 (endogлина), CD44, CD26 (dipeptidil peptidasa 4) y CD200, ofrecen una morfología de célula corneal sana y muestran expresión en la periferia celular de bombas de sodio y potasio (Na^+/K^+ -ATPasa) y uniones celulares estrechas (ZO-1).

nelutroctivum

nelutroctiv

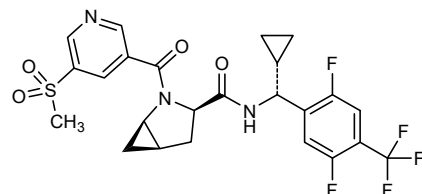
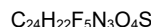
$(1R,3R,5R)$ - N -{(R)-cyclopropyl[2,5-difluoro-4-(trifluoromethyl)phenyl]methyl}-2-[5-(methanesulfonyl)pyridine-3-carbonyl]-2-azabicyclo[3.1.0]hexane-3-carboxamide

nélutroctiv

$(1R,3R,5R)$ - N -{(R)-cyclopropyl[2,5-difluoro-4-(trifluorométhyl)phényl]méthyl}-2-[5-(méthanesulfonfonyl)pyridine-3-carbonyl]-2-azabicyclo[3.1.0]hexane-3-carboxamide

nelutroctiv

$(1R,3R,5R)$ - N -{(R)-ciclopropil[2,5-difuoro-4-(trifluorometil)fenil]metil}-2-[5-(metanosulfonil)piridina-3-carbonil]-2-azabiciclo[3.1.0]hexano-3-carboxamida



nenocorilantum

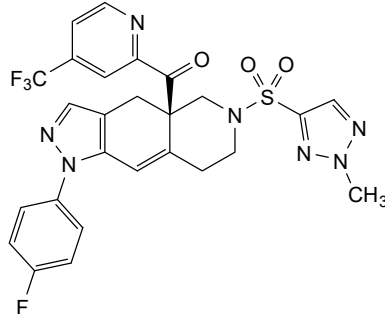
nenocorilant

[$(4aR)$ -1-(4-fluorophenyl)-6-(2-methyl-2*H*-1,2,3-triazole-4-sulfonyl)-1,4,5,6,7,8-hexahydro-4*aH*-pyrazolo[3,4-*g*]isoquinolin-4*a*-yl][4-(trifluoromethyl)pyridin-2-yl]methanone

nénocorilant [(4aR)-1-(4-fluorophényl)-6-(2-méthyl-2H-1,2,3-triazole-4-sulfonyl)-1,4,5,6,7,8-hexahydro-4aH-pyrazolo[3,4-g]isoquinoléin-4a-yl][4-(trifluorométhyl)pyridin-2-yl)méthanone

nenocorilant [4aR]-1-(4-fluorofenil)-6-(2-metil-2H-1,2,3-triazol-4-sulfonil)-1,4,5,6,7,8-hexahidro-4aH-pirazolo[3,4-g]isoquinolein-4a-il][4-(trifluorometil)piridin-2-il]metanona

C₂₆H₂₁F₄N₇O₃S



nexiguranum

nexiguran

(3'-5')Am=Am=Am=G-G-C-U-G-C-U-G-A-U-G-A-C-A-C-C-U-G-U-U-U-U-A-G-A-Gm-Cm-Um-Am-Gm-Am-Am-Um-Am-Gm-Cm-A-A-G-U-U-A-A-A-U-A-A-G-G-C-U-A-G-U-C-C-G-U-U-A-U-C-A-Am-Cm-Um-Um-Gm-Am-Am-Am-Am-Gm-Um-Gm-Gm-Cm-Am-Cm-Cm-Gm-Am-Gm-Um-Cm-Gm-Um-Gm-Cm-Um=Um=Um=Um

N : A, C, G, U
 Nm : 2'-O-methyl-N / 2'-O-méthyl-N / 2'-O-metil-N
 - : -PO(OH)- = : -PO(SH)-

ninsipapogenum sibarnarepvecum

ninsipapogene sibarnarepvec

recombinant replication-competent attenuated arenavirus (Pichinde virus [PICV]) vector with two copies of the small (S) genome segment (S RNA segment) with one encoding the viral membrane glycoprotein (GP) and one encoding the viral nucleocapsid protein (NP), and both encoding a synthetic human papillomavirus type 16 E7E6 fusion protein (with mutations of C24G, E26G and C91G in E7, and C69G and C112G in E6), and with a wild type large (L) genome segment (L RNA segment). Expression of the E7E6 fusion protein is under control of the viral expression mechanism.

ninsipapogène sibarnarepvec

vecteur d'arénavirus atténué (virus de Pichindé [PICV]) recombinant, compétent à la réPLICATION, comportant deux copies du petit segment génomique (S) (segment ARN S), l'une codant la glycoprotéine (GP) de la membrane virale et l'autre codant la protéine de nucléocapside (NP) virale, et les deux codant une protéine de fusion synthétique E7E6 du papillomavirus humain de type 16 (avec les mutations C24G, E26G et C91G dans E7, et C69G et C112G dans E6), et avec un segment du grand génome (L) de type sauvage (segment d'ARN L). L'expression de la protéine de fusion E7E6 est sous le contrôle du mécanisme d'expression virale.

ninsipapogén sibarnarepvec

Un vector de arenavirus (virus Pichindé [PICV]) recombinante, competente para replicación, atenuado, con dos copias del segmento genómico pequeño (segmento RNA S), una que codifica para la glicoproteína (GP) viral de membrana y otra que codifica para la proteína de la nucleocápsida (NP) viral, y ambas codifican para una proteína de fusión E7E6 sintética del virus del papiloma humano tipo 16 (con mutaciones de C24G, E26G y C91G en E7, y C69G y C112G en E6), y con un segmento genómico grande (segmento RNA L) de tipo silvestre. La expresión de la proteína de fusión E7E6 está bajo el control del mecanismo de expresión viral.

nisevokitugum

nisevokitug

immunoglobulin G2-lambda1, anti-[*Homo sapiens* TGFB1 (transforming growth factor beta-1) and TGFB2 (transforming growth factor beta-2)], monoclonal antibody; gamma2 heavy chain (1-447) [VH (*Homo sapiens*IGHV1-69*01 (100%) -(IGHD)-IGHJ4*01 (100%), CDR-IMGT [8.8.14] (26-33.51-58.97-110)) (1-121) -*Homo sapiens*IGHG2*02 (100%) G2m23 (CH1 T92 (194) (122-219), hinge 1-12 (220-231), CH2 M45.1 (283) (232-340), CH3 (341-445), CHS (446-447)) (122-447)], (135-213')-disulfide with lambda1

light chain (1'-214') [V-LAMBDA (*Homo sapiens* IGLV3-21*02 (87.5%) - IGLJ1*01 (100%)) CDR-IMGT [6.3.11] (26-31.49-51.88-98)) (1'-108') - *Homo sapiens* IGLC1*02 (100%) (109'-214')]; dimer (223-223":224-224":227-227":230-230")-tetrakisdisulfide, produced in Chinese hamster ovary (CHO) cells, derived from the cell line CHO-K1, glycoform alfa

nisévokitug	immunoglobuline G2-lambda1, anti-[<i>Homo sapiens</i> TGFB1 (facteur de croissance transformant bêta-1) et TGFB2 (facteur de croissance transformant bêta-2, G-TsF)], anticorps monoclonal; chaîne lourde gamma2 (1-447) [VH (<i>Homo sapiens</i> IGHV1-69*01 (100%) -(IGHD) -IGHJ4*01 (100%), CDR-IMGT [8.8.14] (26-33.51-58.97-110)) (1-121) - <i>Homo sapiens</i> IGHG2*02 (100%) G2m23 (CH1 T92 (194) (122-219), bisagra 1-12 (220-231), CH2 M45.1 (283) (232-340), CH3 (341-445), CHS (446-447)) (122-447)], (135-213')-disulfure avec la chaîne légère lambda1 (1'-214') [V-LAMBDA (<i>Homo sapiens</i> IGLV3-21*02 (87.5%) -IGLJ1*01 (100%)) CDR-IMGT [6.3.11] (26-31.49-51.88-98)) (1'-108') - <i>Homo sapiens</i> IGLC1*02 (100%) (109'-214')]; dimère (223-223":224-224":227-227":230-230")-tétrakisdisulfure, produit dans des cellules ovariennes de hamster chinois (CHO), dérivant de la lignée cellulaire CHO-K1, glycoforme alfa
nisevokitug	inmunoglobulina G2-lambda1, anti-[<i>Homo sapiens</i> TGFB1 (factor de crecimiento transformante transformante beta-1) y TGFB2 (factor de crecimiento transformante beta-2, G-TsF)], anticuerpo monoclonal; cadena pesada gamma2 (1-447) [VH (<i>Homo sapiens</i> IGHV1-69*01 (100%) -(IGHD) -IGHJ4*01 (100%), CDR-IMGT [8.8.14] (26-33.51-58.97-110)) (1-121) - <i>Homo sapiens</i> IGHG2*02 (100%) G2m23 (CH1 T92 (194) (122-219), bisagra 1-12 (220-231), CH2 M45.1 (283) (232-340), CH3 (341-445), CHS (446-447)) (122-447)], (135-213')-disulfuro con la cadena ligera lambda1 (1'-214') [V-LAMBDA (<i>Homo sapiens</i> IGLV3-21*02 (87.5%) -IGLJ1*01 (100%)) CDR-IMGT [6.3.11] (26-31.49-51.88-98)) (1'-108') - <i>Homo sapiens</i> IGLC1*02 (100%) (109'-214')]; dímero (223-223":224-224":227-227":230-230")-tetraakisdisulfuro, producido en las células ováricas de hámster chino (CHO), línea celular derivada de CHO-K1, forma glicosilada alfa

Heavy chain / Chaîne lourde / Cadena pesada
 QVQLVQSGAE VKRPGGSVKV SKCASGGTFS SYAISWVRQA PGQQGLEWMGG 50
 IIPIFGTANY AQKFQGRVTI TADESTSTAY MELSLRSED TAVYYCARGL 100
 WEVRALPSVY WGQGTLLTVTS SASTKGPSTVF PLAPCSRSTS ESTAAALGCLV 150
 KDYFPEPVTV SWNSGALTSG VHTFFPAVLQS SGLYSLSSVV TVTSSNFGTQ 200
 TYTFCNVDHKP SNTKVDKVTKE RKCVCVECPQC PAPFPVAGPSV FLFPFPKPKDT 250
 LMISRTPETV CVVUDVSHED PEVQFNWYVD GMEVHNNAKT PREQEFSNFT 300
 RVVSVLTVHH QDWLNKGKEYK CVKSNSKGLPA PIEKTTSKL GQPREGPVYT 350
 LPSPREEMTK NQVSITCLVK GFYFPSDIAVE WESNGQPEENN YKTTPPMLDS 400
 DGSFFLYSKL TVDKSEWQQG NVFSCSYMHE ALHNHYTQKS LSLSPGK 447

Light chain / Chaîne légère / Cadena ligera
 SYELTQPSPV SVAGPOTARI TCGANDIGSK SVHWYQOKAG QAPVLVUSED 50
 IIRPSGIPER ISSGSNSGNTA TTGCGNDIGSK VDQYQWVQW DRDSDQVYFG 100
 TGTGKVTLQG PKANPTVTLF PPSEELQAN KATLVLCLSD FYPGAVTVAW 150
 KADGSPVKAQ VETTKPSKQSN NNKYAASSYL SLTPEQWKSH RSYSQCVTHE 200
 GSTVEKTVAP TECS 214

Post-translational modifications

Disulfide bridges location / Position des ponts disulfure / Posiciones de los puentes disulfuro

Intra-H (C23-C104) 22-96 148-204 261-321 367-425

22"-96" 148"-204" 261"-321" 367"-425"

Intra-L (C23-C104) 22-87 136"-195"

22"-87" 136"-195"

Inter-H-L (CH1 10-CL 126) 135-213" 135"-213"

Inter-H-H (h 4, h 5, h 8, h 11) 223-223" 224-224" 227-227" 230-230"

N-terminal glutaminyl cyclization / Cyclisation du glutaminyle N-terminal / Ciclación del glutamínico N-terminal

Q > pyroglutamyl (pE, 5-oxoprolyl) / pyroglutamyle (pE, 5-oxoprolyle) / piroglutamilo (pE, 5-oxoprolilo)

H VH Q1: 1, 1"

N-glycosylation sites / Sites de N-glycosylation / Posiciones de N-glicosilación

H CH2 N84: 297, 297"

Fucosylated complex bi-antennary CHO-type glycans / glycanes de type CHO bi-antennaires complexes fucosyles / glicanos de tipo CHO biantennarios complejos fucosilados.

C-terminal lysine clipping / Coupure de la lysine C-terminale / Recorte de lisina C-terminal

H CHS K2: 447, 447"

nisfevitugum #

nisfevitug

immunoglobulin G1-kappa, anti-[*Homo sapiens* severe acute respiratory syndrome coronavirus 2 (SARS-CoV-2) spike (S) protein, receptor binding domain (RBD)], *Homo sapiens* antibody; gamma1 heavy chain *Homo sapiens* (1-449) [VH (*Homo sapiens*IGHV3-53*01 (92.8%) -(IGHD) -IGHJ4*01 (92.9%), CDR-IMGT [8.7.13] (26-33.51-57.96-108)) (1-119) -*Homo sapiens*IGHG1*03v, G1m3>G1m17, nG1m1 (CH1 R120 (216) (120-217), hinge 1-15 (218-232), CH2 (233-342), CH3 D12 (358), L14 (360) (343-447), CHS (448-449)) (120-449)], (222-214')-disulfide with kappa light chain *Homo sapiens* (1'-214') [V-KAPPA (*Homo sapiens*IGKV1-39*01 (95.8%) -IGKJ4*01 (91.7%), CDR-IMGT [6.3.9] (27-32.50-52.89-97)) (1'-107') -*Homo sapiens*IGKC*01 (100%), Km3, A45.1 (153), V101 (191) (108'-214')]; dimer (228-228":231-231")-bisdisulfide, produced in Chinese hamster ovary (CHO) cells, cell line CHO-K1, glycoform alfa

nisfévitug

immunoglobuline G1-kappa, anti-[domaine de liaison au récepteur (RBD) de la glycoprotéine spike (S) du coronavirus 2 du syndrome respiratoire aigu sévère (SARS-CoV-2)], anticorps monoclonal *Homo sapiens*; chaîne lourde gamma1 *Homo sapiens* (1-449) [VH (*Homo sapiens*IGHV3-53*01 (92.8%) -(IGHD) -IGHJ4*01 (92.9%), CDR-IMGT [8.7.13 (26-33.51-57.96-108)) (1-119) -*Homo sapiens*IGHG1*03v, G1m3>G1m17, nG1m1 (CH1 R120 (216) (120-217), charnière 1-15 (218-232), CH2 (233-342), CH3 D12 (358), L14 (360) (343-447), CHS (448-449)) (120-449)], (222-214')-disulfure avec la chaîne légère kappa *Homo sapiens* (1'-214') [V-KAPPA (*Homo sapiens*IGKV1-39*01 (95.8%) -IGKJ4*01 (91.7%), CDR-IMGT [6.3.9] (27-32.50-52.89-97)) (1'-107') -*Homo sapiens*IGKC*01 (100%), Km3, A45.1 (153), V101 (191) (108'-214')]; dimère (228-228":231-231")-bisdisulfure, produit dans des cellules ovarianes de hamster chinois (CHO), lignée cellulaire CHO-K1, glycoforme alfa

nisfevitug

imunoglobulina G1-kappa, anti-[dominio de unión al receptor (RBD) de la glicoproteína de espícula (S) del coronavirus 2 del síndrome respiratorio agudo severo (SARS-CoV-2)], anticuerpo monoclonal *Homo sapiens*; cadena pesada gamma1 *Homo sapiens* (1-449) [VH (*Homo sapiens*IGHV3-53*01 (92.8%) -(IGHD) -IGHJ4*01 (92.9%), CDR-IMGT [8.7.13 (26-33.51-57.96-108)) (1-119) -*Homo sapiens*IGHG1*03v, G1m3>G1m17, nG1m1 (CH1 R120 (216) (120-217), bisagra 1-15 (218-232), CH2 (233-342), CH3 D12 (358), L14 (360) (343-447), CHS (448-449)) (120-449)], (222-214')-disulfuro con la cadena ligera kappa *Homo sapiens* (1'-214') [V-KAPPA (*Homo sapiens*IGKV1-39*01 (95.8%) -IGKJ4*01 (91.7%), CDR-IMGT [6.3.9] (27-32.50-52.89-97)) (1'-107') -*Homo sapiens*IGKC*01 (100%), Km3, A45.1 (153), V101 (191) (108'-214')]; dímero (228-228":231-231")-bisdisulfuro, producido en las células ováricas de hámster chino (CHO), línea celular CHO-K1, forma glicosilada alfa

Heavy chain / Chaîne lourde / Cadena pesada
 EVOLVQSGGG LIQPGSGLRL SCAASFFIVS SNYMTWVRQA PGKGLEWVSI 50
 IYPGGSPTYA DSVKGRTFIS RDNSKNTLYL RMNSLRADDT AVVYCARDLP 100
 LTGTLLDLYWG QCTLVTVSAG STKGPCVFPL APSSKSTGSG TAALGCLVKD 150
 YFPEPVTVSM NSGALTSGVH TFPALVQSSG LYSLSVVTVT PSSSLGTQYI 200
 ICNVNHHKPSN TRKVDRVEPK SCDKTHTCPP CFAPELLGGP SVFLFPKPK 250
 DTLMISRTPE VTCVVVDVSH EDPEVKFNWY VGDEVHNAK TKPREEQYN 300
 TYRVLVSVLTV LHQDWLNKE YKCKVSNKAL PAPIEKTIK ARGGQPREPQV 350
 YTLPFPSRDEL TRNQVSLTCL VRGFYPSDIA VEWEESNGQPE NNYKTTTPVLI 400
 DSDGSFFLYA KLTVDKSRWQ QGNVFSCSVH HEALHNHYTQ KSLSLSPGK 449

Light chain / Chaîne légère / Cadena ligera
 ELVLTQSPSS LSAVSGDRVT ITCRASQIS SYLNWYQQKP GKAPKLEWVSI 50
 ASSLQSGVPS RFSGSGSGTD FTLTISLQP EDFATYYCQQ SYSTPLTFGG 100
 GTKLEIKRTV AAPSVFIFPP SDEQLKSGT A SVVCLNNFY PREAKVQWV 150
 DNALQSGNSQ ESVTEQDSKD STYSLSSLT LSKADYEKHK VYACEVTHQG 200
 LSSPVTKSFN RGECE 214

Post-translational modifications
 Disulfide bridges location / Position des ponts disulfure / Posiciones de los puentes disulfuro
 Intra-H (C23-C104) 22-95 146-202 263-323 369-427
 22"-95" 146"-202" 263"-323" 369"-427"
 Intra-L (C23-C104) 23-88' 134"-194'
 23"-88"' 134"-194'''
 Inter-H-L (h-5-CL 126) 222-214' 222"-214"
 Inter-H-H (h 11, h 14) 228-228" 231-231"

N-glycosylation sites / Sites de N-glycosylation / Posiciones de N-glicosilación
 H CH2 N84.4; 299, 299"
 Fucosylated complex bi-antennary CHO-type glycans / glycanes de type CHO bi-antennaires complexes fucosylés / glicanos de tipo CHO biantenarios complejos fucosilados.

C-terminal lysine clipping / Coupe de la lysine C-terminale / Recorte de lisina C-terminal
 H CHS K2: 449, 489"

nivasorexantum

nivasorexant

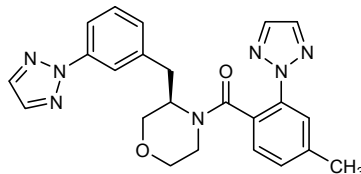
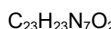
(4^3R)-6⁴-methyl-4(3,4)-morpholina-1,7(2)-di[1,2,3]triazola-2(1,3),6(1,2)-dibenzenaheptaphan-5-one

nivasorexant

(4^3R)-6⁴-méthyl-4(3,4)-morpholina-1,7(2)-di[1,2,3]triazola-2(1,3),6(1,2)-dibenzenaheptaphan-5-one

nivasorexant

(4^3R)-6⁴-métيل-4(3,4)-morfolina-1,7(2)-di[1,2,3]triazola-2(1,3),6(1,2)-dibencenaheptafan-5-ona



obeldesivirum

obeldesivir

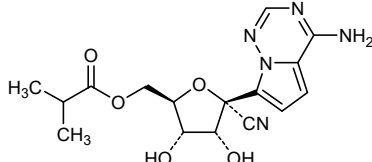
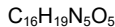
2-C-(4-aminopyrrolo[2,1-f][1,2,4]triazin-7-yl)-2,5-anhydro-D-altrononitrile 6-(2-methylpropanoate)

obeldésivir

6-(2-méthylpropanoato) de 2-C-(4-aminopyrrolo[2,1-f][1,2,4]triazin-7-yl)-2,5-anhydro-D-altrononitrile

obeldesivir

6-(2-metilpropanoato) de 2-C-(4-aminopirrolo[2,1-f][1,2,4]triazin-7-il)-2,5-anhidro-D-altrononitrilo



ocifisertibum

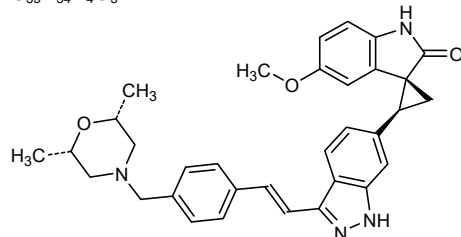
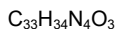
ocifisertib

(1*R*,2*S*)-2-{3-[*(E*)-2-(4-[(2*R*,6*S*)-2,6-dimethylmorpholin-4-yl]methyl)phenyl]ethen-1-yl}-1*H*-indazol-6-yl]-5'-methoxyspiro[cyclopropane-1,3'-indol]-2'(1'*H*)-one

ocifisertib

(1*R*,2*S*)-2-{3-[*(E*)-2-(4-[(2*R*,6*S*)-2,6-diméthylmorpholin-4-yl]métihyl)phényl]éthén-1-yl}-1*H*-indazol-6-yl]-5'-méthoxyspiro[cyclopropane-1,3'-indol]-2'(1'*H*)-one

ocifisertib

(1*R*,2*S*)-2-{3-[*(E*)-2-(4-[(2*R*,6*S*)-2,6-dimetilmorfolin-4-il]metil)fenil]eten-1-il}-1*H*-indazol-6-il]-5'-metoxispiro[ciclopropano-1,3'-indol]-2'(1'*H*)-ona**odetiglucanum**

odetiglucan

(1→3),(1→6)-β-D-glucan of the cell wall of a selected mutated strain of *Saccharomyces cerevisiae*, partially degraded by acid-catalysed hydrolysis to low molecular mass molecules consisting of a (1→3)-β-D-glucan principal chain (about 84 glucose units) and about four 6-O-linked (1→3)-β-D-glucan branches of about 4 glucose units each

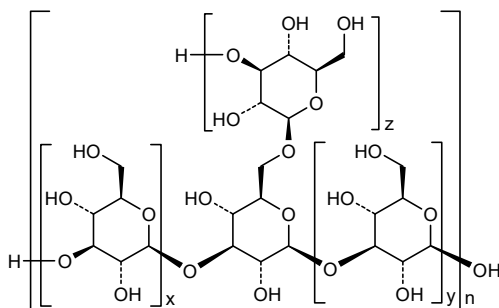
odétiglucane

(1→3),(1→6)-β-D-glucane de la paroi cellulaire d'une souche mutée sélectionnée de *Saccharomyces cerevisiae*, partiellement dégradée par hydrolyse catalysée par un acide en molécules de faible masse moléculaire constituées d'une chaîne principale de (1→3)-β-D-glucane (environ 84 unités de glucose) et environ quatre branches de (1→3)-β-D-glucane (environ 4 unités du glucose chacune) liées aux positions 6-O

odetiglucano

(1→3),(1→6)-β-D-glucano de la pared celular de una cepa mutada seleccionada de *Saccharomyces cerevisiae*, parcialmente degradada por hidrólisis catalizada por ácido a moléculas de bajo peso molecular que consistentes en cadena principal de (1→3)-β-D-glucano (aproximadamente 84 unidades de glucosa) y aproximadamente cuatro ramas de (1→3)-β-D-glucano (aproximadamente 4 unidades de glucosa cada una) unidas a posiciones 6-O

$(C_6H_{10}O_5)_n(H_2O)$; $n \approx 100$; $M \approx 16$ kDa



$$x = y \sim 10; z \sim 4; n \sim 4; (x + y + z + 1) \times n \sim 100$$

omesdafexorum

omesdafexor

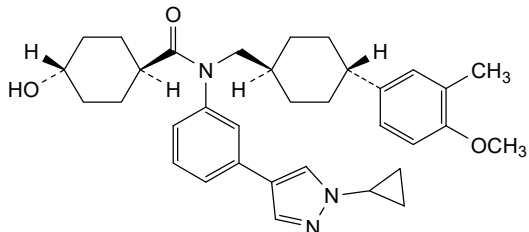
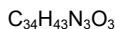
trans-N-[3-(1-cyclopropyl-1*H*-pyrazol-4-yl)phenyl]-4-hydroxy-N-[[*trans*-4-(4-methoxy-3-methylphenyl)cyclohexyl]methyl]cyclohexane-1-carboxamide

omesdafexor

trans-N-[3-(1-cyclopropyl-1*H*-pyrazol-4-yl)phényl]-4-hydroxy-N-[[*trans*-4-(4-méthoxy-3-méthylphényle)cyclohexyl]méthyl]cyclohexane-1-carboxamide

omesdafexor

trans-N-[3-(1-ciclopropil-1*H*-pirazol-4-il)fenil]-4-hidroxi-N-[[*trans*-4-(3-metil-4-metoxifenil)ciclohexil]metil]ciclohexano-1-carboxamida



ompenaclidum

ompenaclid

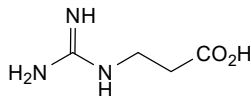
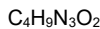
N-carbamimidoyl-β-alanine,
3-(carbamimidoylamino)propanoic acid

ompénaclid

N-carbamimidoyl-β-alanine,
acide 3-(carbamimidoylamino)propanoïque

ompenaclid

N-carbamimidoyl-β-alanina,
ácido 3-(carbamimidoylamino)propanoico



pegozafermin #

pegozafermin

L-methionyl-human fibroblast growth factor 21 (FGF-21), variant (S¹⁷²>T, R¹⁷⁵>A), enzymatically glycosylated at T¹⁷² with subsequent pegylation (20 kDa PEG) on the attached carbohydrate, produced in *Escherichia coli*; L-methionyl-[S¹⁷²>T, R¹⁷⁵>A]-human fibroblast growth factor 21 (FGF-21), produced in *Escherichia coli*, O-glycosylated at threonine 172 with an N-(N-[(α-methylpoly(oxyethylene)-ω-oxy]carbonyl)glycyl)-α-neuraminosylic acid-(2→6)-2-acetamido-2-deoxy-α-D-galactopyranosyl group

pégozafermine

facteur 21 de croissance des fibroblastes humains L-méthionyl (FGF-21), variant (S¹⁷²>T, R¹⁷⁵>A), glycosylé enzymatiquement en T¹⁷² avec pégylation subséquente (PEG 20 kDa) sur l'hydrate de carbone attaché, produit chez *Escherichia coli*; L-méthionyl-[S¹⁷²>T, R¹⁷⁵>A]-facteur 21 de croissance des fibroblastes (FGF-21) humain, produit chez *Escherichia coli*, O-glycosylé à la thréonine 172 avec un groupe acide N-(N-[(α-méthylpoly(oxyéthylène)-ω-oxy]carbonyl)glycyl)-α-neuraminosylique-(2→6)-2-acétamido-2-désoxy-α-D-galactopyranosyle

pegozafermina

L-metionil-humano factor 21 de crecimiento de fibroblastos (FGF-21), variante (S¹⁷²>T, R¹⁷⁵>A), glicosilada enzimáticamente en T¹⁷² con pegilación subsecuente (20 kDa PEG) en el carbohidrato adjunto, producido por *Escherichia coli*; L-metionil-[S¹⁷²>T, R¹⁷⁵>A]-factor 21 de crecimiento de fibroblastos (FGF-21) humano, producido por *Escherichia coli*, O-glicosilado en treonina 172 con un grupo ácido N-(N-[(α-metilpoli(oxietileno)-ω-oxy]carbonil)glicil)-α-neuraminosílico-(2→6)-2-acetamido-2-desoxi-α-D-galactopiranósilo

Sequence / Séquence / Secuencia

M	0
HPIPDSSPLI QFGGGVQRY LYTTDAQQTE AHLEIREDTG VGGAAADQSP	50
SLQLKALKP GVIVQILGVKT SRFICQRPDG ALYGSILHDP EACSFRELL	100
EDGYNVYQSE AHGLPLHLPG NKSPPHRDPAP RGPARFLPLP GLPPALPEPP	150
GILAPQPFDV GSSDPLSMVG P QQ A PSYAS	181

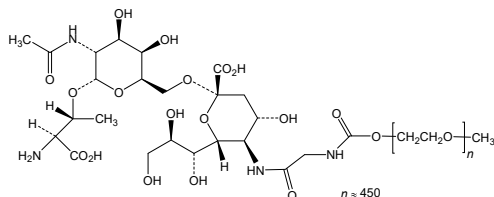
Mutation / Mutation / Mutación

M0, S172>**T**, R175>**A**

Post-translational modifications

Disulfide bridge locations / Position des ponts disulfure / Posiciones de los puentes disulfuro 75-93

Chemical modification / Modification chimique / Modificación química

O-glycosylation and pegylation: **T**172:N-(mPEG-OCONHCH₂CO)-αNeu-(2→6)-GalNac-Thr172

pegsebrenatidum #

pegsebrenatide

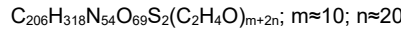
exendin-4-oyl-L-cysteinamide, conjugated at Cys⁴⁰ via a 1-O-(3-[O'-[3-(3-maleimidopropanamido)propyl]polyethylene glycol-O-yl]propylaminocarbonyl)glycerol linker with two O-methylpoly(ethylene glycol) chains:
 L-histidylglycyl-L-α-glutamylglycyl-L-threonyl-L-phenylalanyl-L-threonyl-L-seryl-L-α-aspartyl-L-leucyl-L-seryl-L-lysyl-L-glutaminyl-L-methionyl-L-α-glutamyl-L-α-glutamyl-L-α-glutamyl-L-alanyl-L-valyl-L-arginyl-L-leucyl-L-phenylalanyl-L-isoleucyl-L-α-glutamyl-L-tryptophyl-L-leucyl-L-lysyl-L-asparaginylglycylglycyl-L-prolyl-L-seryl-L-serylglycyl-L-alanyl-L-prolyl-L-prolyl-L-seryl-S-((3RS)-1-[3-(3-[α-{3-[{(2RS)-2,3-bis[α-methylpoly(oxyethylene)-ω-oxy]propoxy}carbonyl]amino]propyl]poly(oxyethylene)-ω-oxy]propyl]amino)-3-oxopropyl]-2,5-dioxopyrrolidin-3-yl]-L-cysteinamide

pegsébrénatide

exendin-4-oyl-L-cystéinamide, conjuguée en Cys⁴⁰ via un lieu 1-O-(3-[O'-[3-(3-maléimidopropanamido)propyl]polyéthylène glycol-O-yl]propylaminocarbonyl)glycérol avec deux chaînes de O-méthylpoly(éthylène glycol):
 L-histidylglycyl-L-α-glutamylglycyl-L-thréonyl-L-phénylalanyl-L-thréonyl-L-séryl-L-α-aspartyl-L-leucyl-L-séryl-L-lysyl-L-glutaminyl-L-méthionyl-L-α-glutamyl-L-α-glutamyl-L-α-glutamyl-L-alanyl-L-valyl-L-arginyl-L-leucyl-L-phénylalanyl-L-isoleucyl-L-α-glutamyl-L-tryptophyl-L-leucyl-L-lysyl-L-asparaginylglycylglycyl-L-prolyl-L-séryl-L-sérylglycyl-L-alanyl-L-prolyl-L-prolyl-L-séryl-S-((3RS)-1-[3-(3-[α-{3-[{(2RS)-2,3-bis[α-méthylpoly(oxyéthylène)-ω-oxy]propoxy}carbonyl]amino]propyl]poly(oxyéthylène)-ω-oxy]propyl]amino)-3-oxopropyl]-2,5-dioxopyrrolidin-3-yl]-L-cystéinamide

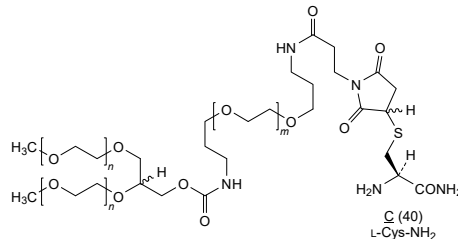
pegsebrenatida

exendin-4-oil-L-cisteinamida, conjugada en Cys⁴⁰ mediante un conector 1-O-(3-[O'-[3-(3-maleimidopropanamido)propil]polietilene glicol-O-il]propilaminocarbonil)glicerol con dos cadenas de O-metilpoli(etileno glicol):
 L-histidilglicil-L-α-glutamilmalic-L-treonil-L-fenilalanil-L-treonil-L-seril-L-α-aspartil-L-leucil-L-seril-L-lisil-L-glutaminil-L-metionil-L-α-glutamil-L-α-glutamil-L-alanil-L-valil-L-arginil-L-leucil-L-fenilalanil-L-isoleucil-L-α-glutamil-L-triptofil-L-leucil-L-lisil-L-asparaginilglicilglicil-L-profil-L-seril-L-serilglicil-L-alanil-L-profil-L-profil-L-seril-L-S-((3RS)-1-[3-(3-[α-{3-[{(2RS)-2,3-bis[α-metilpoli(oxietileno)-ω-oxi]propoxi}carbonil]amino]propil]poli(oxietileno)-ω-oxi]propil]amino)-3-oxopropil]-2,5-dioxopirrolidin-3-il]-L-cisteinamida



HGEGTFTSDL SKQMEEEAVR LFIEWLKNGG PSSGAPPSC 40

Modified residues / Résidus modifiés / Restos modificados



$m = 200 \sim 250, n = 450 \sim 520$, total polymer part $\approx (10 + 2 \times 20)$ kDa = 50 kDa (48~57 kDa)

pegtarvilius #

pegtarviliase

human cystathionine γ -lyase (CGL, cysteine-protein sulfhydrase, γ -cystathionase, CTH, EC:4.4.1.1) variant ($E^{59}>I$, $S^{63}>L$, $L^{91}>M$, $R^{119}>D$, $K^{268}>R$, $T^{311}>G$, $E^{339}>V$, $I^{353}>S$), conjugated at N^2 of M¹ and at the N^6 of K⁴, K⁷³, K¹⁴¹, K¹⁷⁸, K²⁸⁸, K³³⁰ with [α -methylpoly(oxyethylene)- ω -oxy]acetyl groups (~50% or >50% at each site, about 120 oxyethylene units per chain on average) (~50% or >50% per site, about 120 oxyethylene units per chain on average), tetramer, produced in *Escherichia coli*; [$E^{59}>I$, $S^{63}>L$, $L^{91}>M$, $R^{119}>D$, $K^{268}>R$, $T^{311}>G$, $E^{339}>V$, $I^{353}>S$]-human cystathionine γ -lyase (CGL, cysteine-protein sulfhydrase, γ -cystathionase, CTH, EC:4.4.1.1), non-covalent homotetramer, substituted at N^2 of Met 1 and N^6 of Lys 4, 73, 141, 178, 288, and 330 with [α -methylpoly(oxyethylene)- ω -oxy]acetyl groups (~50% or >50% at each site, about 120 oxyethylene units per chain on average), produced in *Escherichia coli*

pegtarviliase

variant de la cystathionine γ -lyase humaine (CGL, cystéine-protéine sulfhydrase, γ -cystathionase, CTH, EC:4.4.1.1) ($E^{59}>I$, $S^{63}>L$, $L^{91}>M$, $R^{119}>D$, $K^{268}>R$, $T^{311}>G$, $E^{339}>V$, $I^{353}>S$), conjugué au N^2 de M¹ et au N^6 de K⁴, K⁷³, K¹⁴¹, K¹⁷⁸, K²⁸⁸, K³³⁰ par des groupes [α -méthylpoly(oxyéthylène)- ω -oxy]acétyles (~50% ou >50% à chaque site, environ 120 motifs d'oxyéthylène par chaîne, en moyenne), tétramère, produit chez *Escherichia coli*; [$E^{59}>I$, $S^{63}>L$, $L^{91}>M$, $R^{119}>D$, $K^{268}>R$, $T^{311}>G$, $E^{339}>V$, $I^{353}>S$]-cystathionine γ -lyase humaine (CGL, cystéine-protéine sulfhydrase, γ -cystathionase, CTH, EC:4.4.1.1), homotétramère non-covalent, substitué à N^2 de Met1 et N^6 de Lys 4, 73, 141, 178, 288 et 330 par des groupes [α -méthylpoly(oxyéthylène)- ω -oxy]acétyles (~50% ou >50% à chaque site, environ 120 motifs d'oxyéthylène par chaîne, en moyenne), produit chez *Escherichia coli*

pegtarviliasa

cistationina humana γ -liasa (CGL,sulfhidrasa proteína cisteína, γ -cistationasa, CTH, EC:4.4.1.1) variante ($E^{59}>I$, $S^{63}>L$, $L^{91}>M$, $R^{119}>D$, $K^{268}>R$, $T^{311}>G$, $E^{339}>V$, $I^{353}>S$), conjugado en N^2 de M¹ y en el N^6 de K⁴, K⁷³, K¹⁴¹, K¹⁷⁸, K²⁸⁸, K³³⁰ con grupos [α -metilpoli(oxitileno)- ω -oxijacetilo (~50% o >50% por sitio, sobre las 120 unidades de oxitileno por cadena en promedio), tétramerico, producido por *Escherichia coli*; [$E^{59}>I$, $S^{63}>L$, $L^{91}>M$, $R^{119}>D$, $K^{268}>R$, $T^{311}>G$, $E^{339}>V$, $I^{353}>S$]-cistationina γ -liasa humana (CGL, proteína cisteína sulfhidrasa, γ -cistationasa, CTH, EC:4.4.1.1), homotetrámero no covalente, sustituido en N^2 de Met1 y N^6 de Lys 4, 73, 141, 178, 288 y 330 con grupos [α -metilpoli(oxitileno)- ω -oxijacetilo (~50% o >50% en cada sitio, aproximadamente 120 unidades de oxitileno por cadena en promedio), producido por *Escherichia coli*

Sequence / Séquence / Secuencia

MQPFQASSQQ PFLPHQFHAT QAIHVGDPE QWTSRAVVPP ISLSTTFKQG 50
 APGQHSGFIV SRLGNPNTRNC LEKAVAAVLGD AKYCLAFASG M₁ATVTITHL 100
 LKAGDQIICM DDVYGGTIDP₂ FRQVASEFGL KISFVDCSKI K₁LLEARAITPL 150
 TKLWIETPTP NTQTKVIDIN GCAHIVKH₃ DILUVVDNTF MSPFYQRPLA 200
 LGADISMYS A TKYMNHGSDV VMGLVSVNCI SLHNRLRFLQ NSLGAVESP₄ 250
 DCYCLCNRGILK TLHVRMEHF KNGMAVAQFL ESNIPWVEKVI YPGLPSHPHQH 300
 ELVKRQCTGG G₅MFTFYIKO TLQRAEFLK NLKLFTLAVS LGGFESIAEL 350
 PAS₆THASVIL KNDRDVGLIS DTLIRLSVGL EDEEDLLED DQAALKAAHEP 400
 SGSHS 405

Mutation / Mutation / Mutación

E⁵⁰>**I**, S⁶³>**L**, L⁹¹>**M**, R¹¹⁹>**D**, K²⁶⁸>**R**, T³¹¹>**G**, E³³⁹>**V**, I³⁵³>**S**

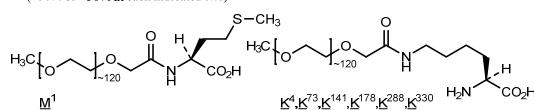
Post-translational modifications

Disulfide bridge locations / Position des ponts disulfure / Posiciones del puentes disulfuro
 none / aucune / ninguna
 Glycosylation sites / Sites de glycosylation / Posiciones de glicosilación
 none / aucun / ninguna

Cofactor binding site / Site de liaison de cofacteur / Sitio de unión de cofactor
 pyridoxal 5'-phosphate (PLP) bound to N⁶ of K²¹²

Chemical modification / Modification chimique / Modificación química

-COCH₂O[CH₂CH₂O]_nCH₃ (n ~ 120)
 at N² of M¹ and N⁶ of K¹, K⁷³, K¹⁴¹, K¹⁷⁸, K²⁸⁸, and K³³⁰
 (-50% or >50% at each indicated site)

**pelecopanum**

pelecopan

[2-(7-[2-(aminomethyl)-3-fluoropyridin-4-yl]-1-benzofuran-5-yl)methoxy]acetic acid

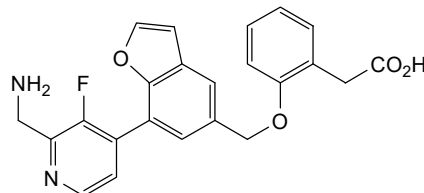
pélecopan

acide [2-(7-[2-(aminométhyl)-3-fluoropyridin-4-yl]-1-benzofuran-5-yl)méthoxy]phénylacétique

pelecopán

ácido [2-(7-[2-(aminometil)-3-fluoropiridin-4-il]-1-benzofuran-5-il)metoxi]fenil]acético

C₂₃H₁₉FN₂O₄

**perenostobartum #**

perenostobart

immunoglobulin G4-kappa, anti-[ENTPD1 (ectonucleoside triphosphate diphosphohydrolase 1, NTPDase-1, ATPDase, SPG64, CD39)], *Homo sapiens* monoclonal antibody; gamma4 heavy chain *Homo sapiens* (1-448) [VH (*Homo sapiens*IGHV1-69*01 (95.9%) -(IGHD) -IGHJ2*01 (94.1%), CDR-IMGT [8.8.14] (26-33.51-58.97-110)) (1-121)-*Homo sapiens*IGHG4*01, G4v5 h P10, nG4m(a) CH2 L92 (CH1 (122-219), hinge 1-12 S10>P (229) (220-231), CH2 L92 (310) (232-341), CH3 (342-446), CHS (447-448)) (122-448)], (135-214')-disulfide with kappa light chain *Homo sapiens*

	(1'-214') [V-KAPPA (<i>Homo sapiens</i> IGKV3-15*01 (96.8%) -IGKJ4*01 (100%), CDR-IMGT [6.3.9] (27-32.50-52.89-97)) (1'-107') - <i>Homo sapiens</i> IGKC*01 (100%), Km3 A45.1 (153), V101 (191) (108'-214')]; dimer (227-227":230-230")-bisdisulfide, produced in Chinese hamster ovary (CHO) cells, cell line CHO-DG44, glycoform alfa
pérénostobart	immunoglobuline G4-kappa, anti-[ENTPD1 (ectonucléoside triphosphate diphosphohydrolase 1, NTPDase-1, ATPDase, SPG64, CD39)], anticorps monoclonal <i>Homo sapiens</i> ; chaîne lourde gamma4 <i>Homo sapiens</i> (1-448) [VH (<i>Homo sapiens</i> IGHV1-69*01 (95.9%) -(IGHD) -IGHJ2*01 (94.1%), CDR-IMGT [8.8.14] (26-33.51-58.97-110)) (1-121)- <i>Homo sapiens</i> IGHG4*01, G4v5 h P10, nG4m(a) CH2 L92 (CH1 (122-219), charnière 1-12 S10>P (229) (220-231), CH2 L92 (310) (232-341), CH3 (342-446), CHS (447-448)) (122-448)], (135-214')-disulfure avec la chaîne légère kappa <i>Homo sapiens</i> (1'-214') [V-KAPPA (<i>Homo sapiens</i> IGKV3-15*01 (96.8%) -IGKJ4*01 (100%), CDR-IMGT [6.3.9] (27-32.50-52.89-97)) (1'-107') - <i>Homo sapiens</i> IGKC*01 (100%), Km3 A45.1 (153), V101 (191) (108'-214')]; dimère (227-227":230-230")-bisdisulfure, produit dans des cellules ovaries de hamster chinois (CHO), lignée cellulaire CHO-DG44, glycoforme alfa
perenostobart	inmunoglobulina G4-kappa, anti-[ENTPD1 (ectonucleósido trifosfato difosfohidrolasa 1, NTPDase-1, ATPDase, SPG64, CD39)], anticuerpo monoclonal <i>Homo sapiens</i> ; cadena pesada gamma4 <i>Homo sapiens</i> (1-448) [VH (<i>Homo sapiens</i> IGHV1-69*01 (95.9%) -(IGHD) -IGHJ2*01 (94.1%), CDR-IMGT [8.8.14] (26-33.51-58.97-110)) (1-121)- <i>Homo sapiens</i> IGHG4*01, G4v5 h P10, nG4m(a) CH2 L92 (CH1 (122-219), bisagra 1-12 S10>P (229) (220-231), CH2 L92 (310) (232-341), CH3 (342-446), CHS (447-448)) (122-448)], (135-214')-disulfuro con la cadena ligera kappa <i>Homo sapiens</i> (1'-214') [V-KAPPA (<i>Homo sapiens</i> IGKV3-15*01 (96.8%) -IGKJ4*01 (100%), CDR-IMGT [6.3.9] (27-32.50-52.89-97)) (1'-107') - <i>Homo sapiens</i> IGKC*01 (100%), Km3 A45.1 (153), V101 (191) (108'-214')]; dímero (227-227":230-230")-bisdisulfuro, producido en las células ováricas de hámster chino (CHO), línea celular CHO-DG44, forma glicosilada alfa
	Heavy chain / Chaîne lourde / Cadena pesada QVQLVQSGAE VKKPGPSVKV SCKASGGTFS SEGISWVRQA PGQQGLEWMGS 50 ILPLVFGTANY AQKFQGRVTI TADESTSTAY MELSSLRSED TAVYVCAREA 100 GYRYRYRFLD WGRGTLVTVS SASTKGPSVF PLAPCSRSTS ESTAAALGCLV 150 KDYPFPEPVTV SWNSGALTSG VHTFPVALQS SGLYSSLSSVV TVPSSSLGTK 200 TYTCNVNDHKP SNTKVDKVRVS SKYGPVCPFC PAPEFLGLGPS VFVFFPKPKD 250 TLMISRTPEV TCVVVVDVSQE DPEVQFNWVY DGEVEVHNART KPREEQFNST 300 YRVVSVLTVL HQDWLNKGKE KCKVSNKGLP SSIEKTISKA KGQPREGPOVY 350 TLPPSQEEMT KNQVSLTCLV KGFPYPSDIAV EWESNGOPEN NYKTTTPVLD 400 SDGSFFLYSR LTVDKSRWQE GNVFTSCSVMH EALHNHYTQK SLSLSLKG 448
	Light chain / Chaîne légère / Cadena ligera EIVMTQSPAT LSVPGERAT LSCRASQSVS SNLAWYQOKP GQAPRPLLIG 50 ASTRATGIPA RFSGSGSGSTE FLTITLISSLQS EDFAVYVCCQ HALWPLTFFG 100 GTKVEIKRTV AAPSVFIPPP SDEQLKSGTA SVVCLLNNFY PREAKVQMVK 150 DNAIQSGNSNSQ ESVTEQDSKD STYSLLSILT LSKADYEKHK VYACEVTHQG 200 LSSPVTKSFN RGEC 214
	Post-translational modifications Disulfide bridges location / Position des ponts disulfure / Posiciones de los puentes disulfuro Intra-H (C23-C104) 22-96 148-204 262-322 368-426 22"-96" 148"-204" 262"-322" 368"-426" Intra-L (C23-C104) 23"-88" 134"-194" 23"-88" 134"-194" Inter-H-L (CH1 10-CL 126) 135-214' 135"-214" Inter-H-H (h 8, h 11) 227-227" 230-230"
	N-terminal glutaminyl cyclization / Cyclisation du glutaminyle N-terminal / Ciclación del glutamínico N-terminal Q > pyroglutamyl (pE, 5-oxoprolyl) / pyroglutamyl (pE, 5-oxoprolyl) / piroglutamilo (pE, 5-oxoprolico) H VH Q1: 1, 1"
	N-glycosylation sites / Sites de N-glycosylation / Posiciones de N-glicosilación H CH2 N84.4: 298, 298" Fucosylated complex bi-antennary CHO-type glycans / glycanes de type CHO bi-antennaires complexes fucosylés / glicanos de tipo CHO biantenarios complejos fucosilados.
	C-terminal lysine clipping / Coupe de la lysine C-terminale / Recorte de lisina C-terminal H CHS K2: 448, 448"

pifusertibum

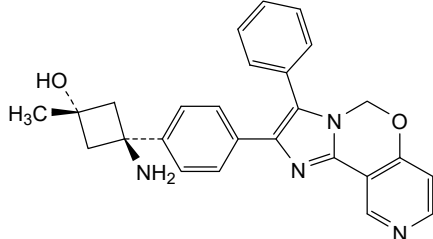
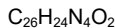
pifusertib

(1*r*,3*r*)-3-amino-1-methyl-3-[4-(3-phenyl-5*H*-imidazo[1,2-*c*]pyrido[3,4-*e*][1,3]oxazin-2-yl)phenyl]cyclobutan-1-ol

pifusertib

(1*r*,3*r*)-3-amino-1-méthyl-3-[4-(3-phényle-5*H*-imidazo[1,2-*c*]pyrido[3,4-*e*][1,3]oxazin-2-yl)phényle]cyclobutan-1-ol

pifusertib

(1*r*,3*r*)-3-amino-3-[4-(3-fenil-5*H*-imidazo[1,2-*c*]pirido[3,4-*e*][1,3]oxazin-2-il)fenil]-1-metilciclobutan-1-ol**pimroctakinum (bovinum) #**

pimroctakin (bovine)

bovine interleukin 8 (*Bos taurus*) (IL-8, C-X-C motif chemokine ligand 8) (1-79, 40-118 in the current sequence) fused with an N-terminal peptide (1-39) consisting of a fragment of the *Tumebacillus flagellates* EL26_24220 protein (2-21) containing an hexahistidine tag (4-9) and a fragment of the *Virgibacillus pantothenticus* amine transaminase (21-39), produced in *Escherichia coli*; interleukin 8 (*Bos taurus*, bovine) (IL-8, IL8, C-X-C motif chemokine 8, C-X-C motif chemokine ligand 8, CXCL8) (1-79, 40-118 in the actual sequence) fused with an N-terminal leader peptide (1-39) containing a hexahistidine tag (4-9) and consisting of the (2-21)-peptide of protein EL26_24220 of *Tumebacillus flagellatus* (1-20) and the (2-20)-peptide of amine transaminase of *Virgibacillus pantothenticus* (21-39), produced in *Escherichia coli*

pimroctakine (bovine)

interleukine bovine 8 (*Bos taurus*) (IL-8, ligand 8 de la chimiokine à motif C-X-C) (1-79, 40-118 dans la séquence actuelle) fusionnée avec un peptide N-terminal (1-39) consistant en un fragment de la protéine EL26_24220 de *Tumebacillus flagellates* (2-21) contenant un marqueur hexahistidine (4-9) et un fragment de l'amine transaminase de *Virgibacillus pantothenticus* (21-39), produit chez *Escherichia coli*; interleukine 8 (*Bos taurus*, bovine) (IL-8, IL8, chimiokine 8 à motif C-X-C, ligand 8 de la chimiokine à motif C-X-C, CXCL8) (1-79, 40-118 dans la séquence actuelle) fusionnée avec un peptide de tête en N-terminal (1-39) contenant un marqueur hexahistidine (4-9) et constitué du (2-21)-peptide de la protéine EL26_24220 de *Tumebacillus flagellatus* (1-20) et du (2-20)-peptide de l'amine transaminase de *Virgibacillus pantothenticus* (21-39), produite chez *Escherichia coli*

pimroctakina (bovina)

interleukina 8 bovina (*Bos taurus*) (IL-8, ligando 8 con químiocina con motivo CXC) (1-79, 40-118 en la secuencia actual) fusionado con un péptido N-terminal (1-39) que consta de un fragmento del *Tumebacillus flagellates* EL26_24220 proteína (2-21) que contiene una etiqueta de hexahistidina (4-9) y un fragmento de la amina transaminasa *Virgibacillus pantothenticus* (21-39), producido por *Escherichia coli*; interleukina 8 (*Bos taurus*, bovina) (IL-8, IL8, químiocina 8 con motivo CXC, ligando 8 con químiocina con motivo CXC, CXCL8) (1-79, 40-118 en la secuencia real) fusionada con un péptido líder N-terminal (1-39) que contiene una etiqueta de hexahistidina (4-9) y que consta del péptido (2-21) de la proteína EL26_24220 de *Tumebacillus flagellatus* (1-20) y el péptido (2-20) de la amina transaminasa de *Virgibacillus pantothenticus* (21-39), producida por *Escherichia coli*

Sequence / Séquence / Secuencia

GSSHHHHHS SGLVPRGS	SHM ASMTGGQQMG RDLYDDDKA VLSRMSTELR	50
CQCICKTHSTP FHPKFIKELR VIESGPHCEN SEIIVKLNTG NEVCLNPKEK	100	
WVQKVVQVFV KRAEKQDP	118	

Hexahistidine tag / marqueur hexahistidine / etiqueta de hexahistidina
H⁴-H⁹

Post-translational modifications

Disulfide bridge locations / Position des ponts disulfure / Posiciones del puentes disulfuro 51-78, 53-94

Glycosylation sites / Sites de glycosylation / Posiciones de glicosilación none / aucun / ninguna

plogosertibum

plogosertib

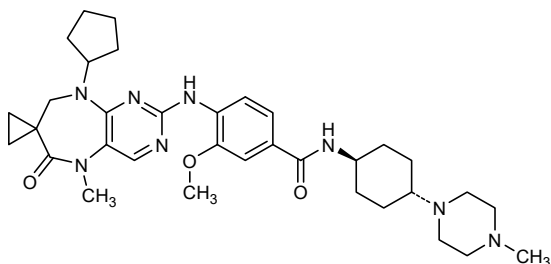
4-[(9'-cyclopentyl-5'-methyl-6'-oxo-5',6',8',9'-tetrahydrospiro[cyclopropane-1,7'-pyrimido[4,5-*b*][1,4]diazepin]-2'-yl)amino]-3-methoxy-N-[*trans*-4-(4-methylpiperazin-1-yl)cyclohexyl]benzamide

plogosertib

4-[(9'-cyclopentyl-5'-métihyl-6'-oxo-5',6',8',9'-tétrahydrospiro[cyclopropane-1,7'-pyrimido[4,5-*b*][1,4]diazépin]-2'-yl)amino]-3-méthoxy-N-[*trans*-4-(4-méthylpipérazin-1-yl)cyclohexyl]benzamide

plogosertib

4-[(9'-ciclopentil-5'-metil-6'-oxo-5',6',8',9'-tetrahidrospiro[ciclopropano-1,7'-pirimido[4,5-*b*][1,4]diazepin]-2'-il)amino]-N-[*trans*-4-(4-metilpiperazin-1-il)ciclohexil]-3-metoxibenzamida

C₃₄H₄₈N₈O₃

pociredirum

pociredir

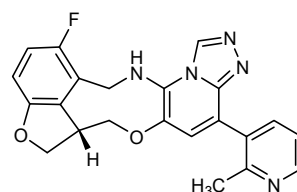
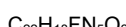
(7a*R*)-12-fluoro-4-(2-methylpyridin-3-yl)-7a,8,13,14-tetrahydro-7*H*-furo[4,3,2-*gh*][1,2,4]triazolo[4',3':1,6]pyrido[2,3-c][5,2]benzoxazonine

pocirédir

(7a*R*)-12-fluoro-4-(2-méthylpyridin-3-yl)-7a,8,13,14-tétrahydro-7*H*-furo[4,3,2-*gh*][1,2,4]triazolo[4',3':1,6]pyrido[2,3-c][5,2]benzoxazonine

pociredir

(7a*R*)-12-fluoro-4-(2-méthylpiridin-3-il)-7a,8,13,14-tetrahidro-7*H*-furo[4,3,2-*gh*][1,2,4]triazolo[4',3':1,6]pirido[2,3-c][5,2]benzoxazonina

**polzastobartum #**

polzastobart

immunoglobulin G4-kappa, anti-[*Homo sapiens* LILRB2 (leukocyte immunoglobulin like receptor B2, ILT4, LIR-2, MIR10, CD85d)], humanized monoclonal antibody; gamma4 heavy chain humanized (1-450) [VH humanized (*Homo sapiens*IGHV2-5*01 (86,9%) - (IGHD)-IGHJ1*01 (100%), CDR-IMGT [10.7.15] (26-35.53-59.98-112)) (1-123)-*Homo sapiens*IGHG4*01, IGHG4v5 h P10, nG4m(a) CH2 L92 (CH1 (124-221), hinge 1-12 S10>P (231) (222-233), CH2 L92 (312) (234-343), CH3 (344-448), CHS (449-450)) (124-450)], (137-214')-disulfide with kappa light chain *Homo sapiens* (1'-214') [V-KAPPA *Homo sapiens* IGKV1-33*01 (83.2%)-IGKJ2*01 (100%), CDR-IMGT [6.3.9] (27-32.50-52.89-97)) (1'-107')-*Homo sapiens* IGKC*01 (100%), Km3 A45.1 (153), V101 (191) (108-214')]; dimer (229-229":232-232")-bisdisulfide, produced in Chinese hamster ovary (CHO) cells, glycoform alfa

polzastobart

immunoglobuline G4-kappa, anti-[*Homo sapiens* LILRB22 (récepteur B2 de type immunoglobuline leucocytaire, ILT4, LIR-2, MIR10, CD85d)], anticorps monoclonal humanisé; chaîne lourde gamma4 humanisée (1-450) [VH humanisé (*Homo sapiens*IGHV2-5*01 (86,9%) - (IGHD)-IGHJ1*01 (100%), CDR-IMGT [10.7.15] (26-35.53-59.98-112)) (1-123)-*Homo sapiens*IGHG4*01, IGHG4v5 h P10, nG4m(a) CH2 L92 (CH1 (124-221), charnière 1-12 S10>P (231) (222-233), CH2 L92 (312) (234-343), CH3 (344-448), CHS (449-450)) (124-450)], (137-214')-disulfure avec la chaîne légère kappa *Homo*

sapiens (1'-214') [V-KAPPA *Homo sapiens* IGKV1-33*01 (83.2%) -IGKJ2*01 (100%), CDR-IMGT [6.3.9] (27-32.50-52.89-97)) (1'-107') -*Homo sapiens* IGKC*01 (100%), Km3 A45.1 (153), V101 (191) (108'-214')]; dimère (229-229":232-232")-bisdisulfure, produit dans des cellules ovariennes de hamster chinois (CHO), glycoformée alfa

polzastobart

inmunoglobulina G4-kappa, anti-[*Homo sapiens* LILRB22 (receptor B2 tipo inmunoglobulina de los leucocitos, ILT4, LIR-2, MIR10, CD85d)], anticuerpo monoclonal humanizado; cadena pesada gamma4 humanizada (1-450) [VH humanizado (*Homo sapiens*IGHV2-5*01 (86,9%) - (IGHD) -IGHJ1*01 (100%), CDR-IMGT [10.7.15] (26-35.53-59.98-112)) (1-123)-*Homo sapiens*IGHG4*01,IGHG4v5 h P10, nG4m(a) CH2 L92 (CH1 (124-221), bisagra 1-12 S10>P (231) (222-233), CH2 L92 (312) (234-343), CH3 (344-448), CHS (449-450)) (124-450)], (137-214')-disulfuro con la cadena ligera kappa *Homo sapiens* (1'-214') [V-KAPPA *Homo sapiens* IGKV1-33*01 (83.2%) -IGKJ2*01 (100%), CDR-IMGT [6.3.9] (27-32.50-52.89-97)) (1'-107') -*Homo sapiens* IGKC*01 (100%), Km3 A45.1 (153), V101 (191) (108'-214')]; dímero (229-229":232-232")-bisdisulfuro, producido en las células ováricas de hámster chino (CHO), forma glicosilada alfa

Heavy chain / Chaîne lourde / Cadena pesada

QITLKESGPT LVKPTQTLTL TCTFSGFSSLN TYAMGVSWIR QPPGKALEWL 50
ASTWWNGNKY NNPNSLKSRLT VTKDTSKNQV VLTMTNMDPV DTATYYCAHS 100
RILRFTDVMM DAWGGGLVLT VSSAASKTGPV VFPLAFCSRS TSESTAYCALG 150
LVKDYFPEPV TVSNWNSGALT SVHTTPFAVL QSSGLYSLSS VVTVESSSLG 200
TKTYTCNVDH KPSNITKUDKR VESKYGPPCP PCPAPEFLGG PSVFLFPK 250
KDTLMISRTP EVCVWVVDVS QDPEVQFNW YVDGVEVHNNA KTKPREEQFN 300
SITTRVSVLTL VLHQDWLNGK EYCKCWSNRKG LPSSIEKTIS KAKGQPREQP 350
VYTLPFSQEE MTKNQVSLTC LVKGFTPSDI AVEWESENQQP ENNYKTTTPV 400
LDSDGSSFFLE SRLTVDKRSRW QEGNVFSFCSV MHEALHNHYT QRQLSLSLGLK 450

Light chain / Chaîne légère / Cadena ligera

DIGMTQSFS LSTSGVDRVT ITCRASEDIY NDLAWSYQQKP GKAPKLILYN 50
ANSLWHTGVAS RFSGSGSGTD QFTFISSLQP EDVATYFCQQ YYDGPLTFQG 100
GTKLEIKRTV AAPSVFIFPP SDEQLSKSGTA SVVCLINNFY PREAKVQWKV 150
DNALQSGSNSQ ESVTEQDSDK STYSLSSTLT LSKADYEKHK VVACEVTHQG 200
LSSPVTKFSFN RGECE 214

Post-translational modifications

Disulfide bridges location / Position des ponts disulfure / Posiciones de los puentes disulfuro

Intra-H (C23-C104) 22-97 150-206 264-324 370-428

22"-97" 150"-206" 264"-324" 370"-428"

Intra-L (C23-C104) 23"-88" 134"-194"

23""-88"" 134""-194""

Inter-H-L (CH1 10-CL 126) 137-214" 137"-214"

229-229" 232-232"

N-terminal glutaminyl cyclization / Cyclisation du glutaminyle N-terminal / Ciclación del glutamínico N-terminal

Q > pyroglutamyl (pE, 5-oxopropyl) / pyroglutamyle (pE, 5-oxopropile) / piroglutamilo

(pE, 5-oxopropilo)

H VH Q1: 1, 1"

N-glycosylation sites / Sites de N-glycosylation / Posiciones de N-glicosilación

H CH2 N84:4, 300, 300"

Fucosylated complex bi-antennary CHO-type glycans / glycanes de type CHO bi-antennaires

complexes fucosylés / glicanos de tipo CHO bianténarios complejos fucosilados.

C-terminal lysine clipping / Coupe de la lysine C-terminale / Recorte de lisina C-terminal
H CHS K2: 450, 450"

pomlucabtagenum autoleucelum #
pomlucabtagene autoleucel

autologous T lymphocytes obtained from peripheral blood mononuclear cells by leukapheresis, transduced with a self-inactivating, non-replicating murine stem cell virus (MSCV) vector, encoding a chimeric antigen

receptor (CAR) targeting human ganglioside GM2. The expressed CAR transgene comprises a leader sequence derived from a human immunoglobulin heavy chain, a human GM2-specific single-chain variable fragment (scFv), a human CD8 transmembrane domain, CD28, 4-1BB and CD3 ζ intracellular signal motif. The vector genome also contains transgenes encoding human interleukin-7 (IL-7), human C-C motif chemokine 19 (CCL19) and herpes simplex virus-derived thymidine kinase transgene (HSV-tk), with each transgene separated by sequences encoding a foot and mouth disease 2A self-cleaving peptide. The construct is flanked by 5' and 3' long terminal repeats (LTRs) and expression is under the control of the 5' LTR promoter.

The leukapheresis material is enriched for CD3 T lymphocytes by positive immunoselection, and cultured in bags coated with anti-CD3 and recombinant human fibronectin, in media containing interleukin 2 (IL-2). The activated cells are transduced with the vector before further culture expansion in growth media containing IL-2. The cell suspension consists of T lymphocytes (>80%), with greater than 5% of the T lymphocytes expressing the anti-GM2 transgene. The T lymphocytes secrete interferon gamma (IFN- γ) and also transgene-derived IL-7 and CCL19 following co-culture with GM2-expressing cells.

pomlucabtagène autoleucel

lymphocytes T autologues obtenus à partir de cellules mononucléaires de sang périphérique par leucaphérèse, transduits avec un vecteur du virus de cellules souches murines (MSCV) auto-inactivant et non répliquant, codant un récepteur antigénique chimérique (CAR) ciblant le ganglioside GM2 humain. Le transgène CAR exprimé comprend une séquence de tête, un fragment variable à chaîne unique (scFv) spécifique de GM2 humain, un domaine transmembranaire CD8 humain, un motif de signal intracellulaire CD28, 4-1BB et CD3 ζ . Le génome du vecteur contient également des transgènes codant l'interleukine-7 humaine (IL-7), la chimiokine 19 humaine à motif C-C (CCL19) et le transgène de la thymidine kinase dérivée du virus de l'herpès simplex (HSV-tk), chaque transgène étant séparé par des séquences codant un peptide auto-sécable de la fièvre aphteuse 2A. La construction est flanquée de longues répétitions terminales (LTR) en 5' et 3' et l'expression est sous le contrôle du promoteur LTR 5'.

Le matériel de leucaphérèse est enrichi en lymphocytes T CD3 par immuno-sélection positive, et des sacs de culture recouverts d'anti-CD3 et de fibronectine humaine recombinante, dans un milieu contenant de l'interleukine 2 (IL-2). Les cellules activées sont transduites avec le vecteur avant de poursuivre la culture et l'expansion dans un milieu de croissance contenant de l'IL-2. La suspension cellulaire consiste de lymphocytes T (>80%), avec plus de 5% des lymphocytes T exprimant le transgène anti-GM2. Les lymphocytes T sécrètent de l'interféron gamma (IFN- γ) après une co-culture avec des cellules exprimant GM2, et sécrètent également de l'IL-7 et du CCL19 dérivés du transgène.

pomlucabtagén autoleucel

linfocitos T autólogos obtenidos de células mononucleares de sangre periférica mediante leucaféresis, transducidos con un vector de virus de células madre murino (MSCV) auto inactivante, no replicativo, que codifica para un receptor de antígenos quimérico (CAR) dirigido al gangliósido GM2 humano. El transgén CAR expresado contiene una secuencia líder, un fragmento variable de cadena sencilla (scFv) específico de GM2 humano, un dominio transmembrana de CD8 humano y un motivo de señalización intracelular CD28, 4-1BB y CD3ζ. El genoma del vector también contiene transgenes que codifican para la interleuquina-7 (IL-7) humana, la quimioquina con motivo C-C 19 (CCL19) humana y el transgén de la timidina quinasa derivada del virus del herpes simplex (HSV-tk), con cada transgén separado por secuencias que codifican para un péptido de autoescisión 2A del virus de la fiebre aftosa. El constructo está flanqueado por repeticiones terminales largas (LTRs) en 5' y 3' y la expresión está bajo el control de un promotor LTR en 5'. El material de leucaféresis se enriquece para linfocitos T CD3 mediante inmunoselección positiva y se cultiva en bolsas forradas de anti-CD3 y fibronectina humana recombinante, en medio que contiene interleuquina 2 (IL-2). Las células activadas se transducen con el vector antes de ser cultivadas de nuevo y expandidas en medio de crecimiento que contiene IL-2. La suspensión celular consiste en linfocitos T (> 80%), con más del 5% de los linfocitos T que expresan el transgén anti-GM2. Los linfocitos T secretan interferón gamma (IFN-γ) tras el co-cultivo con células que expresan GM2, y también secretan IL-7 y CCL19 derivadas de los transgenes.

pomotrelvirum

pomotrelvir

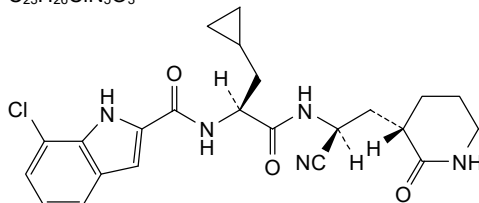
7-chloro-N-[(2S)-1-((1S)-1-cyano-2-[(3S)-2-oxopiperidin-3-yl]ethyl)amino)-3-cyclopropyl-1-oxopropan-2-yl]-1H-indole-2-carboxamide

pomotrelvir

7-chloro-N-[(2S)-1-((1S)-1-cyano-2-[(3S)-2-oxopiperidin-3-yl]ethyl)amino)-3-cyclopropyl-1-oxopropan-2-yl]-1H-indole-2-carboxamide

pomotrelvir

7-cloro-N-[(2S)-1-((1S)-1-ciano-2-[(3S)-2-oxopiperidin-3-yl]ethyl)amino)-3-ciclopropil-1-oxopropan-2-il]-1H-indole-2-carboxamida



porustobartum #

porustobart

immunoglobulin gamma1 VH-h-CH2-CH3 dimer, anti-[CTLA4 (cytotoxic T-lymphocyte-associated antigen 4, cytotoxic T-lymphocyte-associated protein 4, CTLA-4, CD152)], *Homo sapiens* heavy-chain only monoclonal antibody, bivalent; gamma1 VH-h-CH2-CH3 chain *Homo sapiens* (1-351) [VH (*Homo sapiens*IGHV3-53*01 (94.8%) -(IGHD) -IGHJ3*02 (93.3%), CDR-IMGT [8.7.13] (26-33.51-57.96-108)) (1-119)] [-h-CH2-CH3 (*Homo sapiens*IGHG1*03 nG1m1, CH3 E12, M14, G1v7 CH2 D3, E117 (hinge 1-15 (120-134), CH2 S3>D (143), I117>E (236) (135-244), CH3 E12 (260), M14 (262) (245-349), CHS (350-351)) (120-351)], dimer(124-124":130-130":133-133")-trisdisulfide, produced in Chinese hamster ovary (CHO) cells, cell line CHO-K1, glycoform alfa

porustobart

immunoglobuline gamma1 VH-h-CH2-CH3 dimère, anti-CTLA4 [antigène 4 associé aux lymphocytes T cytotoxiques, protéine 4 associée aux lymphocytes T cytotoxiques, CTLA-4, CD152]], anticorps monoclonal *Homo sapiens* à chaîne lourde uniquement, bivalent; gamma1 VH-h-CH2-CH3 chaîne *Homo sapiens* (1-351) [VH (*Homo sapiens*IGHV3-53*01 (94.8%) -(IGHD) -IGHJ3*02 (93.3%), CDR-IMGT [8.7.13] (26-33.51-57.96-108)) (1-119)] [-h-CH2-CH3 (*Homo sapiens*IGHG1*03 nG1m1, CH3 E12, M14, G1v7 CH2 D3, E117 (charnière 1-15 (120-134), CH2 S3>D (143), I117>E (236) (135-244), CH3 E12 (260), M14 (262) (245-349), CHS (350-351)) (120-351)], dimère (124-124":130-130":133-133")-trisdisulfure, produit dans des cellules ovarielles de hamster chinois (CHO), lignée cellulaire CHO-K1, glycoforme alfa

porustobart

inmunoglobulina gamma1 VH-h-CH2-CH3 dímero, anti-CTLA4 [antígeno 4 asociado a los linfocitos T citotóxicos, proteína 4 asociada a los linfocitos T citotóxicos, CTLA-4, CD152]], anticuerpo monoclonal *Homo sapiens* con cadena pesada únicamente, bivalente; gamma1 VH-h-CH2-CH3 cadena *Homo sapiens* (1-351) [VH (*Homo sapiens*IGHV3-53*01 (94.8%) -(IGHD) -IGHJ3*02 (93.3%), CDR-IMGT [8.7.13] (26-33.51-57.96-108)) (1-119)] [-h-CH2-CH3 (*Homo sapiens*IGHG1*03 nG1m1, CH3 E12, M14, G1v7 CH2 D3, E117 (bisagra 1-15 (120-134), CH2 S3>D (143), I117>E (236) (135-244), CH3 E12 (260), M14 (262) (245-349), CHS (350-351)) (120-351)], dímero (124-124":130-130":133-133")-trisdisulfuro, producido en las células ováricas de hámster chino (CHO), línea celular CHO-K1, forma glicosilada alfa

Heavy chain / Chain, lourde / Cadena pesada
 EVQI¹VESGGG L²QPFGSSLRL SCAVSGFTVS KNYMSWVRQA PGKGLEWVSV 50
 VYSGGSKTYA D³VKGRFTIS RDNSKNTLYL QMNSLRAEDT AVYCARAVP 100
 HSPSSFDING QGTMVTVVSE⁴ PRKSCDKTHTC P⁵PPCPAPELLG GPDVFLFFPK 150
 PKDTLMISRT⁶ PEVTVCVVVD⁷ SHDEPEVKFN WYVDGVEVHN AKTKPREEQY 200
 NSTYRVVSVL⁸ TVLHQDWLNG⁹ KEYKCKVSNK ALPAPEEKTI SKAKGQPREP 250
 QVYTLP¹⁰PSRE EMTKNQVSLT CLVKGFYPSD IAVEWESENQ¹¹ PENNYKTPP 300
 VLDSDGSFFL YSKLTV¹²DKSR WQQGNVFCSK VMHEALHNHY TQKSLSLSPG 350
 K 351

Post-translational modifications

Disulfide bridges location / Position des ponts disulfure / Posiciones de los puentes disulfuro
 Intra-V (C23-C104) 22-95
 22"-95"

Intra-C (C23-C104) 165-225 271-329

165"-225" 271"-329"

Inter-H-H (h 5, h 11, h 14) 124-124" 130-130" 133-133"

N-glycosylation sites / Sites de N-glycosylation / Posiciones de N-glicosilación

H CH2 N84.4: 201, 201"

Fucosylated complex bi-antennary CHO-type glycans / glycanes de type CHO bi-antennaires complexes fucosylés / glicanos de tipo CHO biantenarios complejos fucosilados.

C-terminal lysine clipping / Coupure de la lysine C-terminale / Recorte de lisina C-terminal
 H CHS K2: 351, 351"

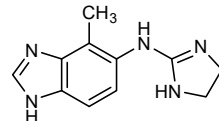
povafonidinum

povafonidine *N*-(4,5-dihydro-1*H*-imidazol-2-yl)-4-methyl-1*H*-benzimidazol-5-amine

povafonidine *N*-(4,5-dihydro-1*H*-imidazol-2-yl)-4-méthyl-1*H*-benzimidazol-5-amine

povafonidina *N*-(4,5-dihidro-1*H*-imidazol-2-il)-4-metil-1*H*-benzimidazol-5-amina

C₁₁H₁₃N₅

**povetaciceptum #**

povetacicept

human TACI (transmembrane activator and CAML interactor, tumor necrosis factor receptor superfamily member 13B, CD267) receptor domain, fragment 68-110 (1-43 in the current sequence) variant (K⁷⁷>E¹⁰, F⁷⁸>Y¹¹, Y¹⁰²>D³⁵), fused via the peptide linker ⁴⁴GSGGGGS⁵⁰ to a human immunoglobulin G1 C-terminal Fc fragment (51-281) variant (C⁵⁵>S, L⁶⁹>A, L⁷⁰>E, G⁷²>A, C-terminal K²⁸² deleted), disulfide bridged dimer, produced in Chinese hamster ovary (CHO) cells, cell line CHO-K1 GS⁻, glycoform alfa; human TACI (transmembrane activator and CAML interactor, tumor necrosis factor receptor superfamily member 13B, TNFRSF13B, CD267) receptor domain 68-110 fragment (K⁷⁷>E¹⁰, F⁷⁸>Y¹¹, Y¹⁰²>D³⁵)-mutant (1-43), fused via a GSG_nS peptide linker (44-50) with 232 C-terminal residues of a mutated human immunoglobulin G1 gamma1 heavy chain (51-281) [*Homo sapiens*IGHG1*01, hinge C⁵⁵>S (51-65), CH2 L⁶⁹>A, L⁷⁰>E, G⁷²>A (66-175), CH3 (176-280), CHS K²⁸²del (281)], (61-61':64-64')-bisdisulfide dimer, produced in Chinese hamster ovary (CHO) cells, cell line CHO-K1 GS⁻, glycoform alfa

povétacicept

domaine du récepteur TACI humain (activateur transmembranaire interagissant avec CAML, membre 13B de la superfamille des récepteurs du facteur de nécrose tumorale, CD267), fragment 68-110 (1-43 dans la séquence actuelle) variant (K⁷⁷>E¹⁰, F⁷⁸>Y¹¹, Y¹⁰²>D³⁵), fusionné via la liaison peptidique ⁴⁴GSGGGGS⁵⁰ à un variant (51-281) du fragment FcC-terminal de l'immunoglobuline G1 humaine (C⁵⁵>S, L⁶⁹>A, L⁷⁰>E, G⁷²>A, C-terminal K²⁸² déletion), dimère à pont disulfure, produit dans des cellules ovarianes de hamster chinois (CHO), lignée cellulaire CHO-K1 GS⁻, glycoforme alfa;

TACI humain (activateur transmembranaire et interagissant avec CAML, membre 13B de la superfamille de récepteurs de facteur de nécrose tumorale, TNFRSF13B, CD267), fragment 68-110 du récepteur du domaine, [$K^{77}>E^{10}$, $F^{78}>Y^{11}$, $Y^{102}>D^{35}$]-mutant (1-43), fusionné via une liaison peptidique GSG₄S (44-50) avec 232 résidus C-terminaux d'une chaîne lourde gamma1 mutée de l'immunoglobuline G1 humaine (51-281) [*Homo sapiens*IGHG1*01, charnière C⁵⁵>S (51-65), CH2 L⁶⁹>A, L⁷⁰>E, G⁷²>A (66-175), CH3 (176-280), CHS K²⁸²>del (281)], dimère (61-61':64-64')-bisdisulfure, produit dans des cellules ovarianes de hamster chinois (CHO), lignée cellulaire CHO-K1 GS⁻, glicoforme alfa

povetacicept

TACI humano (activador transmembrane y que interacciona con CAML, miembro 13B de la superfamilia de receptores del factor de necrosis tumoral, TNFRSF13B, CD267) dominio del receptor, fragmento 68-110 (1-43 en la secuencia actual) variante ($K^{77}>E^{10}$, $F^{78}>Y^{11}$, $Y^{102}>D^{35}$), fusionado a través del enlace peptídico ⁴⁴GSGGGGS⁵⁰ a la inmunoglobulina humana G1 C-terminal Fc fragmento (51-281) variante (C⁵⁵>S, L⁶⁹>A, L⁷⁰>E, G⁷²>A, C-terminal K²⁸² eliminada), dímero unido al disulfuro, producido en células ováricas de hámster Chino (CHO), línea celular CHO-K1 GS⁻, glicoforma alfa; TACI humano (activador transmembrana y que interacciona con CAML, miembro 13B de la superfamilia de receptores del factor de necrosis tumoral, TNFRSF13B, CD267), fragmento 68-110 del dominio del receptor, [$K^{77}>E^{10}$, $F^{78}>Y^{11}$, $Y^{102}>D^{35}$]-mutante (1-43), fusionado a través de un enlace peptídico GSG₄S (44-50) con 232 residuos C-terminales de una cadena pesada gamma1 mutada de inmunoglobulina G1 humana (51-281) [*Homo sapiens*IGHG1*01, bisagra C⁵⁵>S (51-65), CH2 L⁶⁹>A, L⁷⁰>E, G⁷²>A (66-175), CH3 (176-280), CHS K²⁸²>del (281)], dímero (61-61':64-64')-bisdisulfuro, producido en células ováricas de hámster Chino (CHO), línea celular CHO-K1 GS⁻, glicoforma alfa

Sequence / Séquence / Secuencia

SLSCRKEQ E	Y DHLLRDCI	SCASICGQHP	KQC A DFCENK	LRSGGSGGGG	50
EPKSS D KTHT	CPCPAPE A E	CAPSVFLFPP	KPKDTLMISR	TPEVTCVVVD	100
VSHE D EVVKF	NWVYDGVEVH	NAKTKPREEQ	YNSTYRVVSV	LTVLHQDWLN	150
GKEYCKVSN	KALPAPIEK T	ISKAKGQQPRE	PQVYTLPPSR	DELTKNQVSL	200
TCLVKGFYPS	DIAVEWESENQ	QPENNYKTTP	PVLDSDGFF	LYSKLTVDKS	250
RWQQGNVFSC	SVMHEALHNH	YTQKSLSLSP	G		281

Mutation / Mutation / Mutación

K10, K10'**E**, F11, F11'**Y**, Y35, Y35'**D**, C55, C55'**S**, L69, L69'**A**, L70, L70'**E**, G72, G72'**A**, K282, K282'**del**

Peptide linker / Peptide liant / Péptido de unión
44-50 GSGGGGS

Post-translational modifications

Disulfide bridge locations / Position des ponts disulfure / Posiciones del puentes disulfuro
Intra-chain 4-19, 22-33, 26-37, 96-156, 202-260,
4'-19', 22'-33', 26'-37', 96'-156', 202'-260'

Inter-chain 61-61', 64-64'

N-glycosylation sites / Sites de N-glycosylation / Posiciones de N-glicosilación
H CH2 N84.4: N132, N132'

pradusinstobartum

pradusinstobart

immunoglobulin G4-kappa, anti-[*Homo sapiens* PDCD1 (programmed cell death 1, PD1, PD-1, CD279)], humanized monoclonal antibody;

gamma4 heavy chain humanized (1-448) [VH humanized (*Homo sapiens* IGHV2-5*08 (89.0%) - (IGHD)-IGHJ5*01 (86.7%), CDR-IMGT [10.7.13] (26-35.53-59.98-110)) (1-121)-*Homo sapiens* IGHG4*01, IGHG4v5 h P10, nG4m(a) CH2 L92 (CH1 (122-219), hinge 1-12 S10>P (229) (220-231), CH2 L92 (310) (232-341), CH3 (342-446), CHS (447-448)) (122-448)], (135-213')-disulfide with kappa light chain *Homo sapiens* (1'-213') [V-KAPPA *Homo sapiens* IGKV1-16*01 (86.2%) -IGKJ4*01 (100%), CDR-IMGT [6.3.8] (27-32.50-52.89-96)) (1'-106') -*Homo sapiens* IGKC*01 (100%), Km3A45.1 (152), V101 (190) (107'-213')]; dimer (227-227":230-230")-bisdisulfide, produced in Chinese hamster ovary (CHO) cells, derived from CHO-K1 cell line, lacking the glutamine synthetase (GS-KO) gene, glycoform alfa

pradusinstobart

immunoglobuline G4-kappa, anti-[*Homo sapiens* PDCD1 (protéine 1 de mort cellulaire programmée, PD-1, PD1, CD279)], anticorps monoclonal humanisé; chaîne lourde gamma4 humanisée (1-448) [VH humanisé (*Homo sapiens* IGHV2-5*08 (89.0%) - (IGHD)-IGHJ5*01 (86.7%), CDR-IMGT [10.7.13] (26-35.53-59.98-110)) (1-121)-*Homo sapiens* IGHG4*01, IGHG4v5 h P10, nG4m(a) CH2 L92 (CH1 (122-219), charnière 1-12 S10>P (229) (220-231), CH2 L92 (310) (232-341), CH3 (342-446), CHS (447-448)) (122-448)], (135-213')-disulfure avec la chaîne légère kappa *Homo sapiens* (1'-213') [V-KAPPA *Homo sapiens* IGKV1-16*01 (86.2%) -IGKJ4*01 (100%), CDR-IMGT [6.3.8] (27-32.50-52.89-96)) (1'-106') -*Homo sapiens* IGKC*01 (100%), Km3 A45.1 (152), V101 (190) (107'-213')]; dimère (227-227":230-230")-bisdisulfure, produit dans des cellules ovaries de hamster chinois (CHO), dérivant de la lignée cellulaire CHO-K1, ne présentant pas le gène de la glutamine synthétase (GS-KO), glycoforme alfa

pradusinstobart

inmunoglobulina G4-kappa, anti-[*Homo sapiens* PDCD1 (proteína 1 de muerte celular programada, PD-1, PD1, CD279)], anticuerpo monoclonal humanizado; cadena pesada gamma4 humanizada (1-448) [VH humanizado (*Homo sapiens* IGHV2-5*08 (89.0%) - (IGHD)-IGHJ5*01 (86.7%), CDR-IMGT [10.7.13] (26-35.53-59.98-110)) (1-121)-*Homo sapiens* IGHG4*01, IGHG4v5 h P10, nG4m(a) CH2 L92 (CH1 (122-219), bisagra 1-12 S10>P (229) (220-231), CH2 L92 (310) (232-341), CH3 (342-446), CHS (447-448)) (122-448)], (135-213')-disulfuro con la cadena ligera kappa *Homo sapiens* (1'-213') [V-KAPPA *Homo sapiens* IGKV1-16*01 (86.2%) -IGKJ4*01 (100%), CDR-IMGT [6.3.8] (27-32.50-52.89-96)) (1'-106') -*Homo sapiens* IGKC*01 (100%), Km3 A45.1 (152), V101 (190) (107'-213')]; dímero (227-227":230-230")-bisdisulfuro, producido en las células ováricas de hámster chino (CHO), línea celular derivada de CHO-K1, en ausencia del gen glutamina sintetasa (GS-KO), forma glicosilada alfa

Heavy chain / Chaîne lourde / Cadena pesada

QVILKESGPAA LVKPTQTLLT TCFIFSGFSLSS TSGTCVSWIR QPPGKALEWL 50
 ATICWEDSKG YNPSLKSRLT ISKDTSKNQA VLTMNNDPV DTATYVCAR 100
 EDSGYFWSPPY WQGTLVTVS SASTKCPVSE PLAPCSRSTS ESTAAALGCLV 150
 KDYFPPEPVTV SWNSCALTEC VHFSPAVLQS SCLYLSLSSVV TVPBSSLCTK 200
 TYTCNVNDHKP SNTVKUDKRVE SKYKPPCCPC PAPEFLGGPS VFLFPKKPKD 250
 TLMISRRTPEV TCVVVVDVSQE DPEVQFNYYV DGVEVHNNAKT KPREEQFNST 300
 YRVVSVLTVL HQDWLNKEYK KCKVSNKGLP SSIIEKTISKA KGQFREPQVY 350
 TLPPSQEEMT KRNQVSLTLCIV KGFFPSDIAV EWESNGQOPEN NYKTFPFVLD 400
 SDGSFFLYSR LTVDKSRWQ GNVFSCSVMH EALHNHYTQR SLSLSLGK 448

Light chain / Chaîne légère / Cadena ligera

NIQMQTQSPFS LSASVGDWRVIT ITCKAGQVNWN NYLAWYQQKF GKAKPVLIIFN 50
 ANSLQTGVPS RFSGSGSGTD FFLTIISSLQP EDFATYYCQQ YNSWTTFFGG 100
 TKVEIKRIVTA APSVFIIFFPS DEQLIKSGTAS VVCLLNNFYF REAKVQWRVD 150
 NALQSGNSQEE SUTEQDSKDS TYSLSSLTTL SKADYEKHKRV YACEVTHHQL 200
 SSFVTKSFNR GEC 213

Post-translational modifications

Disulfide bridges location / Position des ponts disulfure / Posiciones de los puentes disulfuro

Intra-H (C23-C104)	22"-97"	148"-204"	262"-322"	368"-426"
	22"-97"	148"-204"	262"-322"	368"-426"
Intra-L (C23-C104)	23"-88"	133"-193"		
	23"-88"	133"-193"		
Inter-H-L (CH1 10-CL 126)	135-213"	135"-213"		
Inter-H-H (h 8, h 11)	227-227"	230-230"		

N-terminal glutamyl cyclization / Cyclisation du glutaminyle N-terminal / Ciclación del glutamínico N-terminal
 Q> pyroglutamyl (pE, 5-oxoprolyl) / pyroglutamyle (pE, 5-oxoprolyle) / piroglutamilo (pE, 5-oxoprolilo)
 VH Q1: 1, 1"

N-glycosylation sites / Sites de N-glycosylation / Posiciones de N-glicosilación
 H CH2 N84.4:298, 298"
 Fucosylated complex bi-antennary CHO-type glycans / glycanes de tipo CHO bi-antennares complejos fucosilados / glicanos de tipo CHÓ biantenarios complejos fucosilados.

C-terminal lysine clipping / Coupe de la lysine C-terminale / Recorte de lisina C-terminal
 H CHS K2: 448, 448"

prafnosbartum

prafnosbart

immunoglobulin G1-kappa, anti-[*Homo sapiens* ACVR1 (activin A receptor type 1, ACVRLK2, ALK2, ACVR1A, SKR1)], humanized monoclonal antibody;
 gamma1 heavy chain humanized (1-451) [VH humanized (*Homo sapiens* IGHV3-21*01 (88.7%) -(IGHD) -IGHJ4*01 (93.3%), CDR-IMGT [8.8.14] (26-33.51-58.97-110)) (1-121) - *Homo sapiens* IGHG1*03, G1m3, nG1m1, G1v14 CH2 A1.3, A1.2 (CH1 R120 (218) (122-219), hinge 1-15 (220-234), CH2 L1.3>A (238), L1.2>A (239) (235-344), CH3 E12 (360), M14 (362) (345-449), CHS (450-451))(122-451)], (224-214")-disulfide with kappa light chain humanized (1'-214') [V-KAPPA (*Homo sapiens* IGKV3-20*01 (81.2%) -IGKJ2*01 (91.7%), CDR-IMGT [5.3.10] (27-31.49-51.88-97)) (1'-107') - *Homo sapiens* IGKC*01, Km3, T1.3>A (109), A45.1 (153), V101 (191) (108'-214')]; dimer (230-230":233-233")-bisdisulfide, produced in Chinese hamster ovary (CHO) cells, cell line CHO-S, glycoform alfa

prafnosbart

immunoglobuline G1-kappa, anti-[*Homo sapiens* ACVR1 (récepteur de type 1 de l'activine A, ACVRLK2, ALK2, ACVR1A, SKR1)], anticorps monoclonal humanisé; chaîne lourde gamma1 humanisée (1-451) [VH humanisé (*Homo sapiens* IGHV3-21*01 (88.7%) -(IGHD) -IGHJ4*01 (93.3%), CDR-IMGT [8.8.14](26-33.51-58.97-110)) (1-121) - *Homo sapiens* IGHG1*03, G1m3, nG1m1, G1v14 CH2 A1.3, A1.2 (CH1 R120 (218) (122-219), charnière 1-15 (220-234), CH2 L1.3>A (238), L1.2>A (239) (235-344), CH3 E12 (360), M14(362) (345-449), CHS (450-451)) (122-451)], (224-214")-disulfure avec la chaîne légère kappa humanisée (1'-214') [V-KAPPA (*Homo sapiens* IGKV3-20*01 (81.2%) -IGKJ2*01 (91.7%), CDR-IMGT [5.3.10](27-31.49-51.88-97))(1'-107') - *Homo sapiens* IGKC*01, Km3, T1.3>A (109), A45.1 (153), V101(191) (108'-214')]; dimère (230-230":233-233")-bisdisulfure, produit dans des cellules ovarianes de hamster chinois (CHO), lignée cellulaire CHO-S, glycoforme alfa

prafnosbart

inmunoglobulina G1-kappa, anti-[*Homo sapiens* ACVR1 (receptor de tipo 1 de la activina A, ACVRLK2, ALK2, ACVR1A, SKR1)], anticuerpo monoclonal humanizado; cadena pesada gamma1 humanizada (1-451) [VH humanizado (*Homo sapiens*IGHV3-21*01 (88.7%) -(IGHD)-IGHJ4*01 (93.3%), CDR-IMGT [8.8.14](26-33.51-58.97-110)) (1-121) - *Homo sapiens*IGHG1*03, G1m3, nG1m1, G1v14 CH2 A1.3, A1.2 (CH1 R120 (218) (122-219), bisagra 1-15 (220-234), CH2 L1.3>A (238), L1.2>A (239) (235-344), CH3 E12 (360), M14(362) (345-449), CHS (450-451)) (122-451)], (224-214')-disulfuro con la cadena ligera kappa humanizada (1'-214')-KAPPA (*Homo sapiens*IGKV3-20*01 (81.2%) -IGKJ2*01 (91.7%), CDR-IMGT [5.3.10](27-31.49-51.88-97)) (1'-107') - *Homo sapiens*IGKC*01, Km3, T1.3>A (109), A45.1 (153), V101(191) (108'-214')]; dímero (230-230":233-233")-bisdisulfuro, producido en las células ováricas de hámster chino (CHO), línea celular CHO-S, forma glicosilada alfa

Heavy chain / Chaîne lourde / Cadena pesada

```

EVQLVESGGG LVOPGSSLRL SCAASGSTFS NYGMKWIRQA PGKGLEWVSS 50
ISRSSTIYQQ ADTVKGRTFI SRDNISKNTLY LQMNLSRAED TAVYYCAAAI 100
STPFYWYDFD WGGQTLLVTVS SASTKGPSPVE PLAPSSKSTS GGTAALGCLV 150
KDYPPEPVTV SWNSGALTSG VHTTPEAVLQS SGYLSLSVSV TVPSSSLQTV 200
TYICNVNHRP SNTKVVDKRVN PKSCDKTHTC PPCPAPEAAG GPSVFLFPKK 250
PKDTLMISR PFEVTCVVVDV SHEDPEVKFN WYVVGVEVHN AKTKPREEQY 300
NSTXRVVSVL TVLHQDWLNG KEYKCKVSNK ALPAPIEKTI SKAKGQPREP 350
QVYTLPFSRE EMTKKNQVSLT CLVKGFYPSD IAVEWESNGQ PENNYKTTPP 400
VLDSDGSSFL YSKLTVDKSR WQQGNVFSCS VMHEALHNHY TQKSLSLSPG 450
K                                         451

```

Light chain / Chaîne légère / Cadena ligera

```

EIVLTQSPGT LSLSPLGERAT LSCLASSVS YMTWYQQKPG QSPRLWIYGT 50
SNLASGVPRD FSQSGSGGTDF TLTIISRLPE DFAQVYCLHL TSYPYPTFGQ 100
GTRKEITKRAV AAPSFVIIFFP SDEQLKSGTA SVVCLLNHFY PREAKVQWKV 150
DNALQSGNSQ ESVTEQDSKD STYSLSSTLT LSKADYEKHK VYACEVTHQG 200
LSSFVTKSFN RGEC                                         214

```

Post-translational modifications

Disulfidic bridges location / Position des ponts disulfure / Posiciones de los puentes disulfuro
 Intra-H (C23-C104) 22"-96" 148"-204" 265"-325" 371"-429"
 22"-96" 148"-204" 265"-325" 371"-429"
 Intra-L (C23-C104) 23"-87" 134"-194"
 23"-87" 134"-194"
 Inter-H-L (h 5-CL 126) 224"-214" 224"-214"
 Inter-H-H (h 11, h 14) 230"-230" 233"-233"

N-glycosylation sites / Sites de N-glycosylation / Posiciones de N-glicosilación

H ČH2 N84.4: 301, 301"

Fucosylated complex bi-antennary CHO-type glycans / glycans de type CHO bi-antennaires complexes fucosylés / glicanos de tipo CHO biantenarios complejos fucosilados.

C-terminal lysine clipping / Coupe de la lysine C-terminale / Recorte de lisina C-terminal
 H CHS K2: 451, 451"

puginuradum

puginurad

3-[4-(4-cyanophenyl)thieno[2,3-c]pyridin-2-yl]-2,2-dimethylpropanoic acid

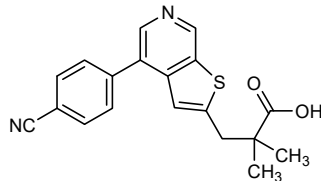
puginurad

acide 3-[4-(4-cyanophénol)thiéno[2,3-c]pyridin-2-yl]-2,2-diméthylpropanoïque

puginurad

ácido 3-[4-(4-cianofenil)tieno[2,3-c]piridin-2-il]-2,2-dimetilpropanoico

C₁₉H₁₆N₂O₂S



raludotatugum #

- raludotatug immunoglobulin G1-kappa, anti-[*Homo sapiens* CDH6 (cadherin 6, K-cadherin (foetal kidney), cadherin 6 type 2)], humanized monoclonal antibody; gamma1 heavy chain humanized (1-452) [VH (*Homo sapiens* IGHV1-3*01 (86.7%) -(IGHD) -IGHJ4*01 (93.3%), CDR-IMGT [8.8.15] (26-33.51-58.97-111))(1-122) -*Homo sapiens* IGHG1*03, G1m3, nG1m1 (CH1 R120 (219) (123-220), hinge 1-15 (221-235), CH2 (236-345), CH3 E12 (361), M14 (363) (346-450), CHS (451-452)) (123-452)], (225-213')-disulfide with kappa light chain humanized (1'-213') [V-KAPPA (*Homo sapiens* IGKV1-39*01 (86%) -IGKJ1*01 (91.7%), CDR-IMGT [6.3.8] (27-32.50-52.89-96)) (1'-106') -*Homo sapiens* IGKC*01 (100%), Km3 A45.1 (152), V101 (190) (107'-213')]; dimer (231-231": 234-234")-bisdisulfide, produced in Chinese hamster ovary (CHO) cells, glycoform alfa
- raludotatug immunoglobuline G1-kappa, anti-[*Homo sapiens* CDH6 (cadhéline 6, K-cadhéline (rein foetal), cadhéline 6 type 2)], anticorps monoclonal humanisé; chaîne lourde gamma1 humanisée (1-452) [VH (*Homo sapiens* IGHV1-3*01 (86.7%) -(IGHD) -IGHJ4*01 (93.3%), CDR-IMGT [8.8.15] (26-33.51-58.97-111)) (1-122) -*Homo sapiens* IGHG1*01, G1m3, nG1m1 (CH1 R120 (219) (123-220), charnière 1-15 (221-235), CH2 (236-345), CH3 E12 (361), M14 (363) (346-450), CHS (451-452)) (123-452)], (225-213')-disulfure avec la chaîne légère kappa humanisée (1'-213') [V-KAPPA (*Homo sapiens* IGKV1-39*01 (86%) -IGKJ1*01 (91.7%), CDR-IMGT [6.3.8] (27-32.50-52.89-96)) (1'-106') -*Homo sapiens* IGKC*01 (100%), Km3 A45.1 (152), V101 (190) (107'-213')]; dimère (231-231": 234-234")-bisdisulfure, produit dans des cellules ovariennes de hamster chinois (CHO), glycoforme alfa
- raludotatug inmunoglobulina G1-kappa, anti-[*Homo sapiens* CDH6 (cadherina 6, K-cadherina (riñón fetal), cadherina 6 tipo 2)], anticuerpo monoclonal humanizado; cadena pesada gamma1 humanizada (1-452) [VH (*Homo sapiens* IGHV1-3*01 (86.7%) -(IGHD) -IGHJ4*01 (93.3%), CDR-IMGT [8.8.15] (26-33.51-58.97-111)) (1-122) -*Homo sapiens* IGHG1*01, G1m3, nG1m1 (CH1 R120 (219) (123-220), bisagra 1-15 (221-235), CH2 (236-345), CH3 E12 (361), M14 (363) (346-450), CHS (451-452)) (123-452)], (225-213')-disulfuro con la cadena ligera kappa humanizada (1'-213') [V-KAPPA (*Homo sapiens* IGKV1-39*01 (86%) -IGKJ1*01 (91.7%), CDR-IMGT [6.3.8] (27-32.50-52.89-96)) (1'-106') -*Homo sapiens* IGKC*01 (100%), Km3 A45.1 (152), V101 (190) (107'-213')]; dímero (231-231": 234-234")-bisdisulfuro, producido en las células ováricas de hámster chino (CHO), forma glicosilada alfa

Heavy chain / Chaîne lourde / Cadena pesada

```

EVQLVQSGAE VKKPGASVKV SKCAGSYFTF RNFMMHWVRQA PGQGLEWMGW 50
IYPGDGETEY AQQFGQRVTI TADTSTSTAY MELSSLRSED TAVYCYARGVR 100
YGGFAGGYED FWQGCTLVTF SSASTKGPSV FPLAPSST SGCTAALGLC 150
VKDVFPEPVTF WSNSNGALTS GVHTFPAVLQ SSGLYSLSSV VTVPSSLLGT 200
QTYICVNHHK PSNTKVKDKRV EPKSCDKTHT CPCCPAPELL GGPSVFLPEPP 250
KPKDTLMISR TPEVTCVVVD VSHEDEPKVF NWYVDGVEHV NAKTKPREEQ 300
YNSTYTRVSV LTVLHQDWLN GKEYKCKVSN KALPAPIEKT ISKAGQPRE 350
POVVTLPSSR EEMTKNQVSL TCLVKGFYPS DIAVEWESNG QPENNYKTP 400
PVLDSDGSFF LYSKLTVDKS RWQQGNVFSC SVMHEALHNH YTQKSLSLSP 450
GK                                         452

```

Light chain / Chaîne légère / Cadena ligera

```

DIQMTQSPSS LSASVGRVTE ITCKASQNIY KNLAWYQOKP GKAPKLLIYD 50
ANTLQTGVPS RFSGSGSGSD FTTLTISSQF EDPATYFCQQ YYSGWAFQGG 100
TKVEIKRTVA APSPVIFIPPS DEQLKSGFATAS VVCLLNNFYF REAKVQWKVD 150
NALQSGNSOE SVTEQDSKSD TYSLSSTLTL SHADYEKHVK YACEVTHQGL 200
SSPVTKSFNR GEC                                         213

```

Post-translational modifications

Disulfide bridges location / Position des ponts disulfure / Posiciones de los puentes disulfuro
 Intra-H (C23-C104) 22-96 149-205 266-326 372-430
 22"-96" 149"-205" 266"-326" 372"-430"
 Intra-L (C23-C104) 23"-88" 133"-193"
 23"-88" 133"-193"
 Inter-H-L (h 5-CL 126) 225-213' 225"-213"
 Inter-H-H (h 11, h 14) 231-231" 234-234"

N-glycosylation sites / Sites de N-glycosylation / Posiciones de N-glicosilación

H CH2 N84 4: 302, 302"

Fucosylated complex bi-antennary CHO-type glycans / glycanes de type CHO bi-antennaires complexes fucosylés / glicanos de tipo CHO biantenarios complejos fucosilados.

C-terminal lysine clipping / Coupure de la lysine C-terminale / Recorte de lisina C-terminal
 H CHS K2: 452, 452"

raludotatugum deruxtecanum #

raludotatug deruxtecan

immunoglobulin G1-kappa, anti-[*Homo sapiens* CDH6 (cadherin 6, K-cadherin (fetal kidney), cadherin 6 type 2)], humanized monoclonal antibody conjugated to *deruxtecan*, comprising a linker and a camptothecin derivative; gamma1 heavy chain humanized (1-452) [VH (*Homo sapiens* IGHV1-3*01 (86.7%) -(IGHD) -IGHJ4*01 (93.3%), CDR-IMGT [8.8.15] (26-33.51-58.97-111)) (1-122) -*Homo sapiens*IGHG1*03, G1m3, nG1m1 (CH1 R120 (219)(123-220), hinge 1-15 (221-235), CH2 (236-345), CH3 E12 (361), M14 (363) (346-450), CHS (451-452)) (123-452)), (225-213')-disulfide with kappa light chain humanized ('1-213') [V-KAPPA (*Homo sapiens* IGKV1-39*01 (86%) -IGKJ1*01 (91.7%), CDR-IMGT [6.3.8] (27-32.50-52.89-96)) (1'-106') -*Homo sapiens* IGKC*01 (100%), Km3 A45.1 (152), V101 (190) (107'-213')]; dimer (231-231": 234-234")-bisdisulfide, produced in Chinese hamster ovary (CHO) cells, glycoform alfa; conjugated, on an average of 8 cysteinyl, to *deruxtecan*, comprising a linker and a camptothecin derivative

For the *deruxtecan* part, please refer to the proposed INN List 116, published in the WHO Drug Information, Vol.30, No.4, 2016.

raludotatug déruxtécan

immunoglobuline G1-kappa, anti-[*Homo sapiens* CDH6 (cadhéline 6, K-cadhéline (rein foetal), cadhéline 6 type 2)], anticorps monoclonal humanisé conjugué au *déruxtécan*, comprenant un linker et un dérivé de la camptothécine; chaîne lourde gamma1 humanisée (1-452) [VH (*Homo sapiens* IGHV1-3*01 (86.7%) -(IGHD) -IGHJ4*01 (93.3%), CDR-IMGT [8.8.15] (26-33.51-58.97-111)) (1-122) -*Homo sapiens*IGHG1*01, G1m3, nG1m1 (CH1 R120 (219) (123-220), charnière 1-15 (221-235), CH2 (236-345), CH3 E12 (361), M14 (363) (346-450), CHS (451-452)) (123-452)), (225-213')-disulfure avec la chaîne légère kappa humanisée('1-213') [V-KAPPA (*Homo sapiens* IGKV1-39*01 (86%) -IGKJ1*01 (91.7%), CDR-IMGT [6.3.8] (27-32.50-52.89-96)) (1'-106') -*Homo sapiens* IGKC*01 (100%), Km3 A45.1 (152), V101 (190) (107'-213')]; dimère (231-231": 234-234")- bisdisulfure, produit dans des cellules ovariennes de hamster chinois (CHO), glycoforme alfa; conjugué, sur une moyenne de 8 cystéinyl, au *déruxtécan*, comprenant un linker et un dérivé de la camptothécine Pour la partie *déruxtécan*, veuillez-vous référer à la Liste 116 des DCI proposées, publiée dans le WHO Drug Information, Vol.30, No.4, 2016.

raludotatug deruxtecán

inmunoglobulina G1-kappa, anti-[*Homo sapiens* CDH6 (cadherina 6, K-cadherina (riñón fetal), cadherina 6 tipo 2)], anticuerpo monoclonal humanizado; conjugado con *deruxtecán*, que comprende un enlace y un derivado de la camptotecina; cadena pesada gamma1 humanizada (1-452) [VH (*Homo sapiens* IGHV1-3*01 (86.7%) -(IGHD) -IGHJ4*01 (93.3%), CDR-IMGT [8.8.15] (26-33.51-58.97-111)) (1-122) -*Homo sapiens*IGHG1*01, G1m3, nG1m1 (CH1 R120 (219) (123-220), bisagra 1-15 (221-235), CH2 (236-345), CH3 E12 (361), M14 (363) (346-450), CHS (451-452)) (123-452)), (225-213')-disulfuro con la cadena ligera kappa humanizada ('1-213') [V-KAPPA (*Homo sapiens* IGKV1-39*01 (86%) -IGKJ1*01 (91.7%), CDR-IMGT [6.3.8] (27-32.50-52.89-96)) (1'-106') -*Homo sapiens* IGKC*01 (100%), Km3 A45.1 (152), V101 (190) (107'-213')]; dímero (231-231": 234-234")-bisdisulfuro, producido en las células ováricas de hámster chino (CHO), forma glicosilada alfa; conjugado, en 8 restos cisteinil por término medio, al *deruxtecán*, que consta de un enlace y un derivado de la camptotecina

Para la parte *deruxtecán*, por favor vaya a la Lista 116 de las DCI propuestas, publicadas en la WHO Drug Information, Vol.30, No.4, 2016.

Heavy chain / Chaîne lourde / Cadena pesada
 EVQLVQSGAE VKPGASVKV SCKASGYIFT RNFMHWVRQA PGQGLEWMGW 50
 IYQGDGTEY AQQKFQGRVTI TADTSTSTAY MELSSLRSED TAVYYCARGV 100
 YGGFAGGYFD FWGQGTIVTV SSASTKGPBV FPLAPSSKST SGCTAALGCL 150
 VKDYPFPVPT VSWNSGALT S GVHTPPAVLQ SSGLYSLSVV TVTPSSSLGT 200
 QTYICNVNHHK PSNTVKDVKRV EFKPSCDTKHT CPCPCPAPELL GGGSVFLFPP 250
 KPKDTLMISR TPEVTCVVDV VSHEPDEVKE NYWYDGVVEH NAKTPKPREQ 300
 YNSTYRUVVS LTVLHQDWLN GKEYKCKVSN KALPAPIEKT ISKAKGQPRE 350
 PQVYTLPSPR EEMTKNQVSL TCLVKGFYPS DIAVEWESNG QSPENNYKTPP 400
 PVLDSDGSFF LYSKLTVDKS RWQQGNVFSC SVMHEALTHNH YTQKSLSLSP 450
 GK

Light chain / Chaîne légère / Cadena ligera
 DIQMTQSPSS LSASVGDRVT ITCKASQNIY KNLAQWYQQKP GKAPKLIIYD 50
 ANTLQTGVPS RFSSGSSGSD FTLLTISLQP EDFATYFCQO YYSGWAFQGQ 100
 TKVEIKRTVA APSVFIFPPFS DEQLKSGTAS VVCLLNNNFYP REAKVQWKVD 150
 NALQSGNSQE SVTEQDSKDS TYSLSSSTLTL SKADYEKKHV YACEVTHQGL 200
 SSPVTKSFNR GEC

Post-translational modifications

Disulfide bridges location / Position des ponts disulfure / Posiciones de los puentes disulfuro

Intra-H (C23-C104) 22°-96° 149°-205° 266°-326° 372°-430°
 22°-96° 149°-205° 266°-326° 372°-430°

Intra-L (C23-C104) 23°-88° 133°-193°

23°-88° 133°-193°

Inter-H-L (h 5-CL 126)* 225-213° 225°-213°

Inter-H-H (h 11, h 14)* 231-231° 234-234°

*The four inter-chain disulfide bridges are not present, an average of 8 cysteinyl being conjugated each via a thioether bond to a drug linker.

*Les quatre ponts disulfures inter-chaines ne sont pas présents, 8 cystéinyl en moyenne étant chacun conjugué via une liaison thioéther à un linker-principe actif.

*Faltan los cuatro puentes disulfuro inter-catenarios, una media de 8 cisteínil está conjugada a conctores de principio activo.

N-glycosylation sites / Sites de N-glycosylation / Posiciones de N-glicosilación

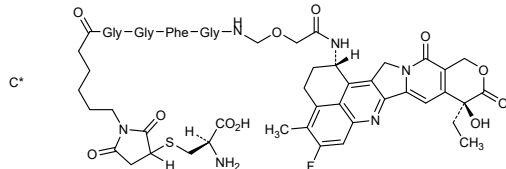
H CH2 N84:4: 302, 302*

Fucosylated complex bi-antennary CHO-type glycans / glycanes de type CHO bi-antennaires complexes fucosyles / glicanos de tipo CHO biantenarios complejos fucosilados.

C-terminal lysine clipping / Coupure de la lysine C-terminale / Recorte de lisina C-terminal

H CHS K2: 452, 452*

Potential modified residues / résidus modifiés potentiels / restos modificados potenciales



ralzapastotugum

ralzapastotug

immunoglobulin G1-kappa, anti-[*Homo sapiens* TIGIT (T-cell immunoreceptor with Ig domain and ITIM, V-set Ig member 9, VSIG9, V-set and transmembrane member 3, VSTM3)], humanized monoclonal antibody; gamma1 heavy chain humanized (1-451) [VH (*Homo sapiens*IGHV4-4*10 (90.8%) - (IGHD) -IGHJ4*01 (100%), CDR-IMGT [9.7.14] (26-34.52-58.97-110)) (1-121) -*Homo sapiens*IGHG1*01, G1m17,1 (CH1 K120 (218) (122-219), hinge 1-15 (220-234), CH2 (235-344), CH3 D12 (360), L14 (362) (345-449), CHS (450-451)) (122-451)], (224-214')-disulfide with kappa light chain humanized (1'-214') [V-KAPPA (*Homo sapiens* IGKV3-15*01 (86.5%) -IGKJ4*01 (100%), CDR-IMGT [6.3.9] (27-32.50-52.89-97)) (1'-107') -*Homo sapiens* IGKC*01 (100%), Km3 A45.1 (153), V101 (191) (108'-214')]; dimer (230-230": 233-233")-bisdisulfide, produced in Chinese hamster ovary (CHO) cells, cell line CHO-K1, glycoform alfa

ralzapastotug

immunoglobuline G1-kappa, anti-[*Homo sapiens* TIGIT (immunorécepteur des lymphocytes T avec domaine Ig et ITIM, membre 9 de l'Ig V-set, VSIG9, membre 3 de l'Ig V-set et région transmembranaire, VSTM3)], anticorps monoclonal humanisé;

chaîne lourde gamma1 humanisée (1-451) [VH (*Homo sapiens* IGHV4-4*10 (90.8%) -(IGHD) - IGHJ4*01 (100%), CDR-IMGT [9.7.14] (26-34.52-58.97-110)) (1-121) -*Homo sapiens* IGHG1*01, G1m17,1 (CH1 K120 (218) (122-219), charnière 1-15 (220-234), CH2 (235-344), CH3 D12 (360), L14 (362) (345-449), CHS (450-451)) (122-451)], (224-214')-disulfure avec la chaîne légère kappa humanisée (1'-214') [V-KAPPA (*Homo sapiens* IGKV3-15*01 (86.5%) -IGKJ4*01 (100%), CDR-IMGT [6.3.9] (27-32.50-52.89-97)) (1'-107') -*Homo sapiens* IGKC*01 (100%), Km3 A45.1 (153), V101 (191) (108-214')]; dimère (230-230": 233-233")-bisdisulfure, produit dans des cellules ovarianes de hamster chinois (CHO), lignée cellulaire CHO-K1, glycoforme alfa

ralzapastotug

inmunoglobulina G1-kappa, anti-[*Homo sapiens* TIGIT (inmunorreceptor de linfocitos T con dominio Ig e ITIM, miembro 9 de la Ig V-set, VSIG9, miembro 3 de la Ig V-set y región transmembranaria, VSTM3)], anticuerpo monoclonal humanizado; cadena pesada gamma1 humanizada (1-451) [VH (*Homo sapiens* IGHV4-4*10 (90.8%) -(IGHD) - IGHJ4*01 (100%), CDR-IMGT [9.7.14] (26-34.52-58.97-110)) (1-121) -*Homo sapiens* IGHG1*01, G1m17,1 (CH1 K120 (218) (122-219), bisagra 1-15 (220-234), CH2 (235-344), CH3 D12 (360), L14 (362) (345-449), CHS (450-451)) (122-451)], (224-214')-disulfuro con la cadena ligera kappa humanizada (1'-214') [V-KAPPA (*Homo sapiens* IGKV3-15*01 (86.5%) -IGKJ4*01 (100%), CDR-IMGT [6.3.9] (27-32.50-52.89-97)) (1'-107') -*Homo sapiens* IGKC*01 (100%), Km3 A45.1 (153), V101 (191) (108-214')]; dímero (230-230": 233-233")-bisdisulfuro, producido en las células ováricas de hámster chino (CHO), línea celular CHO-K1, forma glicosilada alfa

Heavy chain / Chaîne lourde / Cadena pesada

QVQLQEESGPQ LVKPSGTLSL TCAVSGYSIT SGYSWHWVRQ PPGKGLEWIG 50
YVHYSGSTNY NPSLKSRRVTI SVDKSQNSFQ LKLLSSVTAAD TAVYYCARMD 100
YGNYGGMADY WGQGTILTVTS SASTKGPSVF PLAPLSKSTS GGTAALGCLV 150
KDYFPEPVTV SWNSGALTSG VHTFFPAVLQS SGLYSLSSVU TVPSSSLQTQ 200
TYICNVNHHKP SNTKVKDKVKE PKSCDKHTC PPCPAPELLG GPSVFLFPK 250
PKDTLMISRT PEVTFPVVDFV SHDEQLKSGTVA WVVDGVEVIN AKTKPREEQY 300
NSTYRVVSVL VLHQDWLNG KEYKCKVSNK ALPAPIEKTI SKAKGQPREP 350
QVYTLPPSFR ELTKNQVSLT CLVKGFYPSD IAVEWESENQG PENNYKTTTP 400
VLDSDGSFFL YSKLTVDKSR WQQGNVFSCS VMHEALHNHY TQKSLSLSPG 450

Light chain / Chaîne légère / Cadena ligera

EIVMTQSPAT LSVPGERAT LSKCASQDVR TAWAVYQQKQP QQAPRLLIYS 50
ASRYRTGIPA RFSGSGSGTE FTLTISSLQS EDFAVYYCQQ YYSTQWTFGG 100
GTKVEIKRTV AAPSVFIFPP SDEQLKSGTVA SVWCLNNFY PREAKVQNKV 150
DNALQSGNSQ ESVTEQDSKD STYSILSSTLT LSKADYEKHK VYACEVTHQG 200
LSSPVTKFSN RGEC 214

Post-translational modifications

Disulfide bridges location / Position des ponts disulfure / Posiciones de los puentes disulfuro
Intra-H (C23-C104) 22-96" 148-204" 265-325" 371-429"
22"-96" 148"-204" 265"-325" 371"-429"

Intra-L (C23-C104) 23"-88" 134"-194"

Inter-H-L (h 5-CL 126) 224-214" 224"-214"

Inter-H-H (h 11, h 14) 230-230" 233-233"

N-terminal glutaminyl cyclization / Cyclisation du glutaminyle N-terminal / Ciclación del glutamínico N-terminal

Q > pyroglutamyl (pE, 5-oxoprolyl) / pyroglutamyl (pE, 5-oxoprolyle) / piroglutamilo (pE, 5-oxoprolilo)

H VH Q: 1, 1"

N-glycosylation sites / Sites de N-glycosylation / Posiciones de N-glicosilación

H CH2 N84: 301, 301"

Fucosylated complex bi-antennary CHO-type glycans / glycane de type CHO bi-antennaires complexes fucosyles / glicanos de tipo CHO biantenarios complejos fucosilados.

C-terminal lysine clipping / Coupe de la lysine C-terminale / Recorte de lisina C-terminal

H CHS K2: 451, 451"

raxorulimogenum belzovacirepvecum #

raxorulimogene belzovacirepvec

recombinant replication-competent oncolytic vaccinia virus (VACV; strain Copenhagen) encoding three codon-optimised transgenes: (i) anti-cytotoxic T-lymphocyte-associated protein 4 (CTLA-4) immunoglobulin G1 γ 1-chain fused via a synthetic T2A peptide with human immunoglobulin kappa chain (anti-CTL4 antibody) under control of the VACV H5R promoter, (ii) human Fms-like receptor tyrosine kinase 3 ligand (FLT3L), isoform X7, under control of the VACV B19R promoter, and (iii) membrane bound human interleukin 12 subunit α (IL-12A, p35) under control of a synthetic VACV late promoter (pLate). The virus carries major genomic deletions at the 5' end (CopMD5p) and 3' end (CopMD3p) of the genome with the anti-hCTLA-4 transgene inserted into the CopMD5p region. In addition, insertion of the FLT3L and IL-12p35 transgenes leads to disruption of the B8R locus.

raxorulimogène belzovacirepvec

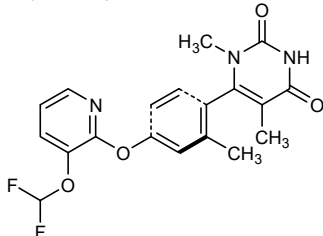
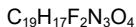
virus de la vaccine (VACV; souche Copenhague) oncolytique, recombinant et compétent à la réplication codant trois transgènes aux codons optimisés: (i) la chaîne γ 1 de l'immunoglobuline G1 anti-protéine 4 associée aux lymphocytes T cytotoxiques (CTLA-4) fusionnée via un peptide synthétique T2A avec la chaîne kappa de l'immunoglobuline humaine (anticorps anti-CTL4) sous le contrôle du promoteur H5R du VACV, (ii) le ligand du récepteur de la tyrosine kinase 3 humaine de type Fms (FLT3L), isoforme X7 sous le contrôle du promoteur B19R du VACV, et (iii) la sous-unité α de l'interleukine 12 humaine liée à la membrane (IL-12A, p35) sous le contrôle d'un promoteur synthétique tardif du VACV (pLate). Le virus porte des délétions génomiques majeures à l'extrémité 5' (CopMD5p) et à l'extrémité 3' (CopMD3p) du génome, le transgène anti-hCTLA-4 a été inséré dans la région CopMD5p. En outre, l'insertion des transgènes FLT3L et IL-12p35 entraîne la perturbation du locus B8R.

raxorulimogén belzovacirepvec

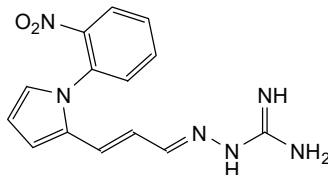
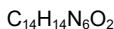
virus vaccinia (VACV; cepa Copenhague) recombinante oncolítico, competente para la replicación que codifica tres transgenes con codones optimizados: (i) la cadena γ 1 de la inmunoglobulina G1 anti-proteína asociada a linfocitos T citotóxicos 4 (CTLA-4) fusionada a través de un péptido 2A sintético con la cadena kappa de la inmunoglobulina humana (anticuerpo anti-CTLA4) bajo el control del promotor VACV H5R, (ii) el ligando del receptor de tirosina quinasa 3 similar a Fms (FLT3L), isoforma X7 bajo el control del promotor VACV B19R y (iii) la subunidad α de la interleuquina 12 (IL-12A, p35) humana unida a membrana bajo el control de un promotor sintético tardío (pLate) de VACV. El virus tiene grandes delecciones genómicas en los extremos 5' (CopMD5p) y 3' (CopMD3p) del genoma, con el transgén de anti-hCTLA-4 insertado en la región CopMD5p. Además, la inserción de los transgenes de FLT3L e IL-12p35 conduce a la rotura del locus B8R.

razpipadonum

- razpipadon ($(-)(6P)$ -6-(4-[[3-(difluoromethoxy)pyridin-2-yl]oxy]-2-methylphenyl)-1,5-dimethylpyrimidine-2,4(1H,3H)-dione
razpipadon ($(-)(6P)$ -6-(4-[[3-(difluorométhoxy)pyridin-2-yl]oxy]-2-méthylphényl)-1,5-diméthylpyrimidine-2,4(1H,3H)-dione
razpipadón ($(-)(6P)$ -6-(4-[[3-(difluorometoxi)piridin-2-il]oxi]-2-metilfenil)-1,5-dimetilpirimidina-2,4(1H,3H)-diona

**resomelagonum**

- resomelagon ($(2E)$ -2-{{(2E)}-3-[1-(2-nitrophenyl)-1*H*-pyrrol-2-yl]prop-2-en-1-ylidene}hydrazine-1-carboximidamide
résomélagon ($(2E)$ -2-{{(2E)}-3-[1-(2-nitrophényle)-1*H*-pyrrol-2-yl]prop-2-én-1-ylidène}hydrazine-1-carboximidamide
resomelagón ($(2E)$ -2-{{(2E)}-3-[1-(2-nitrofenil)-1*H*-pirrol-2-il]prop-2-en-1-ilideno}hidrazina-1-carboximidamida

**resugosbartum #**

- resugosbart immunoglobulin G4-kappa, anti-[*Homo sapiens* SOST (sclerostin)], monoclonal antibody; gamma4 heavy chain (1-444) [VH (*Homo sapiens* IGHV1-18*01 (79,6%) -(IGHD) -IGHJ4*01 (93,3%), CDR-IMGT [8.8.10] (26-33.51-58.97-106)) (1-117)-*Homo sapiens* IGHG4*01, IGHG4v5 h P10, nG4m(a) CH2 L92 (CH1 (118-215), hinge 1-12 S10>P (225) (216-227), CH2 L92 (306) (228-337), CH3 (338-442), CHS (443-444)) (118-444)], (131-214')-disulfide with kappa light chain (1'-214') [V-KAPPA (*Mus musculus* IGKV6-32*01 (81,9%) -IGKJ1*01 (90,9%)/*Homo sapiens* IGKV1-39*01 (81,1%) -IGKJ4*01 (91,7%), CDR-IMGT [6.3.9] (27-32.50-52.89-97)) (1'-107') -*Homo sapiens* IGKC*01 (100%), Km3 A45.1 (153), V101 (191) (108'-214')]; dimer (223-223"-226-226")-bisdisulfide, produced in Chinese hamster ovary (CHO) cells, cell line CHO-K1SV lacking the glutamine synthetase (GS-KO) gene, glycoform alfa

résugosbart

immunoglobuline G4-kappa, anti-[*Homo sapiens* SOST (sclérostone)], anticorps monoclonal; chaîne lourde gamma4 (1-444) [VH (*Homo sapiens* IGHV1-18*01 (79,6%) -(IGHD) -IGHJ4*01 (93,3%), CDR-IMGT [8.8.10] (26-33.51-58.97-106)) (1-117)-*Homo sapiens*IGHG4*01, IGHG4v5 h P10, nG4m(a) CH2 L92 (CH1 (118-215), charnière 1-12 S10>P (225) (216-227), CH2 L92 (306) (228-337), CH3 (338-442), CHS (443-444)) (118-444)], (131-214')-disulfure avec la chaîne légère kappa (1'-214') [V-KAPPA (*Mus musculus* IGKV6-32*01 (81.9%) -IGKJ1*01 90,9%)/*Homo sapiens* IGKV1-39*01 (81.1%) -IGKJ4*01 (91,7%), CDR-IMGT [6.3.9] (27-32.50-52.89-97)) (1'-107') -*Homo sapiens* IGKC*01 (100%), Km3 A45.1 (153), V101 (191) (108'-214')]; dimère (223-223":226-226")-bisdisulfure, produit dans des cellules ovarianes de hamster chinois (CHO), lignée cellulaire CHO-K1SV ne présentant pas le gène de la glutamine synthétase (GS-KO), glycoforme alfa

resugosbart

inmunoglobulina G4-kappa, anti-[*Homo sapiens* SOST (esclerostina)], anticuerpo monoclonal; cadena pesada gamma4 (1-444) [VH (*Homo sapiens* IGHV1-18*01 (79,6%) -(IGHD) -IGHJ4*01 (93,3%), CDR-IMGT [8.8.10] (26-33.51-58.97-106)) (1-117)-*Homo sapiens*IGHG4*01, IGHG4v5 h P10, nG4m(a) CH2 L92 (CH1 (118-215), bisagra 1-12 S10>P (225) (216-227), CH2 L92 (306) (228-337), CH3 (338-442), CHS (443-444)) (118-444)], (131-214')-disulfuro con la cadena ligera kappa (1'-214') [V-KAPPA (*Mus musculus* IGKV6-32*01 (81.9%) -IGKJ1*01 90,9%)/*Homo sapiens* IGKV1-39*01 (81.1%) -IGKJ4*01 (91,7%), CDR-IMGT [6.3.9] (27-32.50-52.89-97)) (1'-107') -*Homo sapiens* IGKC*01 (100%), Km3 A45.1 (153), V101 (191) (108'-214')]; dímero (223-223":226-226")-bisdisulfuro, producido en las células ováricas de hámster chino (CHO), línea celular CHO-K1SV en ausencia del gen glutamina sintetasa (GS-KO), forma glicosilada alfa

Heavy chain / Chaîne lourde / Cadena pesada

EVQLVQSGAE VKRGKGAVKV SKCAGSYFDT DYNLDWLQRQA FGEGLEWIGD 50
IDPNQGDILY NQKFRDRVTM TTDTSSTAY MELRSLSRSDD TAVVYCARWR 100
AYYFDYWGQQ TTVTWSAST KGPVSFVLAP CSRSTSESTA ALGCLVKDYF 150
PEPVTVWSNS GALTSGVHTF PAVLQSSGLY SLSSVVTPS SSLGTLKTYTC 200
NVDHKPSNTW DTKRVESEKYG PPCPCPAPE FLGGPSVLF PPKPKDTIMI 250
SRTPEVTCVV VDVSKQDPEV QFNWYVGDVE VHNAKTKPQE EQFNWYVGDVE 300
SVLTVLHDW LNKGREYKCKV SNKGILSSSTIE KTISKARGQP REPOVTTLP 350
SQEEMTKNQV SLTCLVKGFY PSDIAVEWES NGQPENNYKT TPPVLDSDGS 400
FLYLSRLLTVF KSRNQEBGNVF SCSVMHEALH NHYTQKSLSL SLGK 444

Light chain / Chaîne légère / Cadena ligera

DIVMTQSPSS LSASVGRVRT ITLCKASQSVS NDVAWYQQKP GKSPKLIIY 50
TSNRTQGPSS RFSGGSGSGTD ITLCKASQSVS NDVAWYQQKP GKSPKLIIY 50
GTVKEIKRTV AAPSFVIFPPP SDEQLKSGTA SVUCLINNFY PREAKVQNKV 150
DNAIQSGNSC ESVTEQDSKD STYSLSSTLT LSKADYEKKH VYACEVTHQG 200
LSSPVTKSFN RGE 214

Post-translational modifications

Disulfide bridges location / Position des ponts disulfure / Posiciones de los puentes disulfuro
Intra-H (C23-C104) 22.96° 144°-200° 258°-318° 364°-422°
22°-96° 144°-200° 258°-318° 364°-422"
Inter-L (C23-C104) 23°-88° 134°-194°
23°-88° 134°-194°
Inter-H-L (CH1 10-CL 126) 131°-214° 131°-214°
Inter-H-H (h 8, h 11) 223°-223" 226-226"

N-glycosylation sites / Sites de N-glycosylation / Posiciones de N-glicosilación

H CH2 N84.4: 294, 294"
Fucosylated complex bi-antennary CHO-type glycans / glycanes de tipo CHO bi-antennarios complejos fucosilados.

C-terminal lysine clipping / Coupe de la lysine C-terminale / Recorte de lisina C-terminal
H CHS K2: 444, 444"

rezpegaldesleukinum

rezpegaldesleukin

human interleukin-2 (IL-2, IL2, T-cell growth factor, TCGF), variant (Ala¹ deleted, Cys¹²⁵>Ser), conjugated at N⁶ of 2-3 lysine residues (on average) with 4-[(1,3-bis[α -methylpoly(oxyethylene)- ω -carbamoyl]oxy)propan-2-yl]oxy]butanoyl groups, produced in *Escherichia coli*; human interleukin-2 (IL-2, IL2, T-cell growth factor, TCGF), variant (Ala¹>del, Cys¹²⁵>Ser), non-glycosylated, produced in *Escherichia coli*, substituted at N⁶ of 2-3 lysine residues on average with 4-[(1,3-bis[α -methylpoly(oxyethylene)- ω -carbamoyl]oxy)propan-2-yl]oxy]butanoyl groups

rezpégaldesleukine

interleukine-2 humaine (IL-2, IL2, facteur de croissance des cellules T, TCGF), variant (Ala¹ supprimé, Cys¹²⁵>Ser), conjuguée en N⁶ de 2-3 résidus lysine (en moyenne) avec des groupes 4-[(1,3-bis[α -méthylpoly(oxyéthylène)- ω -carbamoyl]oxy)propan-2-yl]oxy]butanoyle, produite chez *Escherichia coli*; interleukine-2 humaine (IL-2, IL2, facteur de croissance des cellules T, TCGF), variant (Ala¹>del, Cys¹²⁵>Ser), non glycosylée, produite chez *Escherichia coli*, substituée en N⁶ de 2-3 résidus lysine en moyenne par des groupes 4-[(1,3-bis[α -méthylpoly(oxyéthylène)- ω -carbamoyl]oxy)propan-2-yl]oxy]butanoyle

rezpegaldesleukina

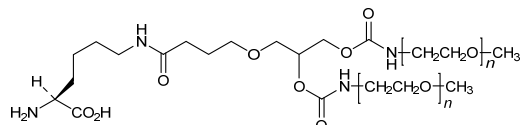
interleukina 2 humana (IL-2, IL2, factor de crecimiento de células T, TCGF), variante (Ala¹ eliminada, Cys¹²⁵>Ser), conjugada en N⁶ de 2-3 residuos de lisina (de promedio) con grupos 4-[(1,3-bis[α -metilpoli(oxietileno)- ω -carbamoi]oxi]propan-2-il]oxi]butanoil, producidos por *Escherichia coli*; interleukina-2 humana (IL-2, IL2, factor de crecimiento de células T, TCGF), variante (Ala¹>del, Cys¹²⁵>Ser), no glicosilado, producida por *Escherichia coli*, sustituida en N⁶ de 2-3 residuos de lisina en promedio con grupos 4-[(1,3-bis[α -metilpoli(oxietileno)- ω -carbamoi]oxi]propan-2-il]oxi]butanoilo

Sequence (132 residues) / Séquence (132 résidus) / Secuencia (132 restos)
 -PTSSSTKKT QLQLEHLLID LQMLINGINN YKNPKLTBRML TFKFYMPKKA 50
 TELKHLQCLE EELKPLEEVL NLAQSKNFHL RPRDLISNIN VIVLELGSE 100
 TTFMCEYADE TATIVEFLNR WITFSQSII S 133

Mutation / Mutation / Mutación
 A1>del, C125>S

Post-translational modifications
 Disulfide bridge locations / Position des ponts disulfure / Posiciones del puentes disulfuro 58-105
 Glycosylation sites / Sites de glycosylation / Posiciones de glicosilación
 none / aucune / ninguna

Pegylated residues / Résidus pegylés / Restos pegilados
 K⁶, K⁹, K³², K⁷⁶ (two-three residues substituted)



rifaquizinonum

rifaquizinone

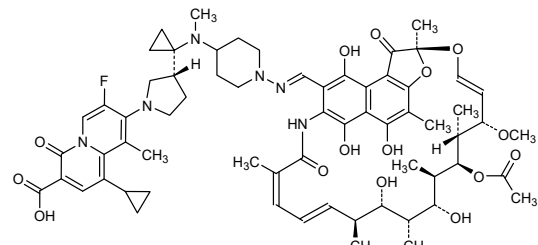
1-cyclopropyl-7-fluoro-9-methyl-8-[(3*R*)-3-{1-[methyl(1-*(E*)-[(rifamycin-3-yl)methyldene]amino]piperidin-4-yl)amino]cyclopropyl]pyrrolidin-1-yl]-4-oxo-4*H*-quinolizine-3-carboxylic acid;
 8-[(3*R*)-3-{1-{1-[(*E*)-{[(1²S,3*E*,5*S*,6*R*,7*S*,8*R*,9*R*,10*R*,11*S*,12*S*,13*E*,15*Z*)-7-(acetoxy)-1⁵,1⁶,1⁹,9,11-pentahydroxy-5-methoxy-1²,1⁴,6,8,10,12,16-heptamethyl-1¹,17-dioxo-1¹,1²-dihydro-2-oxa-18-aza-1(2,7)-(naphtho[2,1-*b*]furana)cyclooctadecaphane-3,13,15-trien-1⁸-yl]methylidene]amino]piperidin-4-yl]{(methyl)amino}cyclopropyl]pyrrolidin-1-yl]-1-cyclopropyl-7-fluoro-9-methyl-4-oxo-4*H*-quinolizine-3-carboxylic acid

rifaquizinone

acide 1-cyclopropyl-7-fluoro-9-méthyl-8-[(3*R*)-3-{1-[méthyl(1-[(*E*)-[(rifamycin-3-yl)méthylidène]amino)pipéridin-4-yl)amino]cyclopropyl]pirrolidin-1-yl]-4-oxo-4*H*-quinolizine-3-carboxylique;
 acide 8-[(3*R*)-3-{1-{1-[(*E*)-{[(1²S,3*E*,5*S*,6*R*,7*S*,8*R*,9*R*,10*R*,11*S*,12*S*,13*E*,15*Z*)-7-(acétyloxy)-1⁵,1⁶,1⁹,9,11-pentahydroxy-5-méthoxy-1²,1⁴,6,8,10,12,16-heptaméthyl-1¹,17-dioxo-1¹,1²-dihydro-2-oxa-18-aza-1(2,7)-(naphto[2,1-*b*]furana)cyclooctadécaphe-3,13,15-trié-1⁸-yl]méthylidène]amino]pipéridin-4-yl]{(méthyl)amino}cyclopropyl]pyrrolidin-1-yl]-1-cyclopropyl-7-fluoro-9-méthyl-4-oxo-4*H*-quinolizine-3-carboxylique

rifaquizinona

ácido 1-ciclopropil-7-fluoro-9-metil-8-[(3*R*)-3-{1-[metil(1-[(*E*)-[(rifamicin-3-il)metylideno]amino)piperidin-4-il)amino]ciclopripil]pirrolidin-1-il]-4-oxo-4*H*-quinolizina-3-carboxílico;
 ácido 8-[(3*R*)-3-{1-{1-[(*E*)-{[(1²S,3*E*,5*S*,6*R*,7*S*,8*R*,9*R*,10*R*,11*S*,12*S*,13*E*,15*Z*)-7-(acetiloxy)-1⁵,1⁶,1⁹,9,11-pentahidroxi-1²,1⁴,6,8,10,12,16-heptametil-5-metoxi-1¹,17-dioxo-1¹,1²-dihidro-2-oxa-18-aza-1(2,7)-(nafto[2,1-*b*]furana)ciclooctadecafano-3,13,15-trien-1⁸-il]metylideno]amino]piperidin-4-il]{(metil)amino}ciclopripil]pirrolidin-1-il]-1-ciclopripil-7-fluoro-9-metil-4-oxo-4*H*-quinolizina-3-carboxílico



rifasutenizolum

rifasutenizol

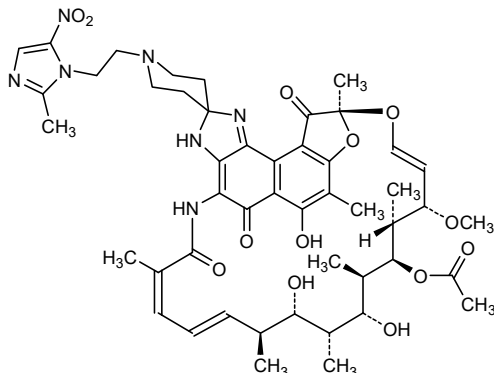
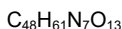
1-[2-(2-methyl-5-nitro-1*H*-imidazol-1-yl)ethyl]-*O¹,N¹*-didehydro-3"*H*-spiro[piperidine-4,2"-rifamycin XII]; (¹⁹S,4Z,6E,8S,9S,10R,11R,12R,13S,14R,15S,16E)-¹₆,9,11-trihydroxy-15-methoxy-1⁷,1⁹,4,8,10,12,14-heptamethyl-1'-[2-(2-methyl-5-nitro-1*H*-imidazol-1-yl)ethyl]-1⁵,1¹⁰,3-trioxo-1³,1⁵,1⁹,1¹⁰-tetrahydrospiro[18-oxa-2-aza-1(4,9)-(furo[2',3':7,8]naphtho[1,2-d]imidazola)cyclooctadecaphane-1²,4'-piperidine]-4,6,16-trien-13-yl acetate

rifasuténizol

1-[2-(2-méthyl-5-nitro-1*H*-imidazol-1-yl)éthyl]-*O¹,N¹*-didéshydro-3"*H*-spiro[pipéridine-4,2"-rifamycine XII]; acétate de (¹⁹S,4Z,6E,8S,9S,10R,11R,12R,13S,14R,15S,16E)-¹₆,9,11-trihydroxy-15-méthoxy-1⁷,1⁹,4,8,10,12,14-heptaméthyl-1'-[2-(2-méthyl-5-nitro-1*H*-imidazol-1-yl)éthyl]-1⁵,1¹⁰,3-trioxo-1³,1⁵,1⁹,1¹⁰-tétrahydrospiro[18-oxa-2-aza-1(4,9)-(furo[2',3':7,8]naphto[1,2-d]imidazola)cyclooctadécaphané-1²,4'-pipéridine]-4,6,16-trién-13-yle

rifasutenizol

1-[2-(2-metil-5-nitro-1*H*-imidazol-1-il)etil]-*O¹,N¹*-dideshidro-3"*H*-spiro[piperidina-4,2"-rifamicina XII]; acetato de (¹⁹S,4Z,6E,8S,9S,10R,11R,12R,13S,14R,15S,16E)-¹₆,9,11-trihidroxi-1⁷,1⁹,4,8,10,12,14-heptametil-1'-[2-(2-metil-5-nitro-1*H*-imidazol-1-il)etil]-15-metoxi-1⁵,1¹⁰,3-trioxo-1³,1⁵,1⁹,1¹⁰-tetrahidrospiro[18-oxa-2-aza-1(4,9)-(furo[2',3':7,8]nafto[1,2-d]imidazola)ciclooctadecafano-1²,4'-piperidina]-4,6,16-trien-13-ilo

**riparencelum**

riparencel

autologous renal epithelial cells derived from renal cortical tissue via kidney biopsy. The cells are dissociated from the kidney biopsy using enzymatic digestion and then cultured in medium supplemented with several growth factors and cytokines, including epidermal growth factor (EGF), hepatocyte growth

factor (HGF) and insulin. Prior to harvesting, cells are placed under hypoxic conditions (2% oxygen). Density gradient is used to select the desired renal cell population. The final cell population expresses epithelial cell markers cytokeratin 18 (CK18, >80%), gamma glutamyl transferase 1 (GGT1, >18%) and contains a low percentage of other renal cell types (aquaporin 2 (AQP2), ≤28%). There are few or no endothelial cell present (lack of CD146 expression). The cells secrete vascular endothelial growth factor (VEGF), and demonstrate γ -glutamyl transpeptidase (GGT) and leucine aminopeptidase (LAP) enzymatic activity.

rilparencl

cellules épithéliales rénales autologues dérivées de tissu cortical rénal par biopsie rénale. Les cellules sont dissociées de la biopsie rénale par digestion enzymatique, puis cultivées dans un milieu complémenté avec plusieurs facteurs de croissance et de cytokines, dont le facteur de croissance épidermique (EGF), le facteur de croissance hépatocytaire (HGF) et l'insuline. Avant d'être récoltées, les cellules sont placées sous condition hypoxique (2% d'oxygène). Un gradient de densité est utilisé pour sélectionner la population de cellules rénales souhaitée. La population cellulaire finale exprime les marqueurs de cellules épithéliales cytothérapie 18 (CK18, >80%), gamma glutamyl transpeptidase 1 (GGT1, >18%) et contient un faible pourcentage d'autres types de cellules rénales (aquaporine 2 (AQP2), ≤28%). Les cellules endothéliales sont peu ou pas présentes (absence d'expression de CD146). Les cellules sécrètent le facteur de croissance endothélio vasculaire (VEGF), et présentent une activité enzymatique γ -glutamyl transpeptidase (GGT) et leucine aminopeptidase (LAP).

rilparencl

células epiteliales renales autólogas derivadas de tejido cortical renal mediante biopsia de riñón. Las células se disocian de la biopsia de riñón usando digestión enzimática y después se cultivan en medio suplementado con varios factores de crecimiento- y citoquinas, incluyendo factor de crecimiento epidérmico (EGF), factor de crecimiento de hepatocitos (HGF) e insulina. Antes de cosecharlas, las células se colocan en condiciones de hipoxia (2% de oxígeno). Se utiliza un gradiente de densidad para seleccionar la población de células renales deseada. La población final de células expresa los marcadores de células epiteliales citoqueratina 18 (CK18, >80%), gamma glutamyl transferasa 1 (GGT1, >18%) y contiene un bajo porcentaje de otros tipos de células renales (acuaporina 2 (AQP2), ≤28%). Hay pocas o ninguna célula endotelial presente (ausencia de expresión de CD146). Las células secretan factor de crecimiento del endotelio vascular (VEGF) y demuestran actividad enzimática γ -glutamil transpeptidasa (GGT) y leucina aminopeptidasa (LAP).

riltovetbartum #

riltovetbart

immunoglobulin G2-kappa, anti-[*Canis lupus familiaris* IL31 (interleukin 31)], caninized monoclonal antibody; gamma2 heavy chain caninized (1-453) [VH (*Canis lupus familiaris* IGHV3-35*01 (89.6%) -(IGHD) - IGHJ4*01 (100%), CDR-IMGT [8.8.11] (26-33.51-58.97-107)) (1-118) -*Canis lupus familiaris* IGHG2*02, G2v2 CH3 H114 (CH1 (119-215), hinge 1-19 (216-234), CH2 (235-344), CH3 N114>H (440) (345-451), CHS (452-453)) (119-453)], (133-217')-disulfide with kappa light chain caninized (1'-217')[V-KAPPA (*Canis lupus familiaris* IGKV3-18*02 (85.1%) -IGKJ3*01 (91.7%), CDR-IMGT [10.3.9] (27-36.54-56.93-101)) (1'-111') -*Canis lupus familiaris* IGKC*01 (100%) (112'-217')]; dimer (230-230":233-233")-bisdisulfide, produced in a Chinese hamster ovary (CHO)-derived cell line transfected with the glutamine synthetase (GS) gene, glycoform alfa

riltovetbart

immunoglobuline G2-kappa, anti-[*Canis lupus familiaris* IL31 (interleukine 31)], anticorps monoclonal caninisé; chaîne lourde gamma2 caninisée (1-453) [VH (*Canis lupus familiaris* IGHV3-35*01 (89.6%) -(IGHD) - IGHJ4*01 (100%), CDR-IMGT [8.8.11] (26-33.51-58.97-107)) (1-118) -*Canis lupus familiaris* IGHG2*02, G2v2 CH3 H114 (CH1 (119-215), charnière 1-19 (216-234), CH2 (235-344), CH3 N114>H (440) (345-451), CHS (452-453)) (119-453)], (133-217')-disulfure avec la chaîne légère kappa caninisée (1'-217') [V-KAPPA (*Canis lupus familiaris* IGKV3-18*02 (85.1%) -IGKJ3*01 (91.7%), CDR-IMGT [10.3.9] (27-36.54-56.93-101)) (1'-111') -*Canis lupus familiaris* IGKC*01 (100%) (112'-217')]; dimère (230-230":233-233")-bisdisulfure, produite dans une lignée cellulaire dérivée des cellules ovaries de hamster chinois (CHO) transfectée avec le gène de la glutamine synthétase (GS), glycoforme alfa

riltovetbart

inmunoglobulina G2-kappa, anti-[*Canis lupus familiaris* IL31 (interleukina 31)], anticuerpo monoclonal caninizado; cadena pesada gamma2 caninizada (1-453) [VH (*Canis lupus familiaris* IGHV3-35*01 (89.6%) -(IGHD) - IGHJ4*01 (100%), CDR-IMGT [8.8.11] (26-33.51-58.97-107)) (1-118) -*Canis lupus familiaris* IGHG2*02, G2v2 CH3 H114 (CH1 (119-215), bisagra 1-19 (216-234), CH2 (235-344), CH3 N114>H (440) (345-451), CHS (452-453)) (119-453)], (133-217')-disulfuro con la cadena ligera kappa caninizada (1'-217') [V-KAPPA (*Canis lupus familiaris* IGKV3-18*02 (85.1%) -IGKJ3*01 (91.7%), CDR-IMGT [10.3.9] (27-36.54-56.93-101)) (1'-111') -*Canis lupus familiaris* IGKC*01 (100%) (112'-217')]; dímero (230-230":233-233")-bisdisulfuro, producido en una línea celular derivada de las células ováricas de hámster chino (CHO) transfectada con el gen de la glutamina sintetasa (GS), forma glicosilada alfa

Heavy chain / Chaîne lourde / Cadena pesada	
EVQLVESGGD LVKPGSLRL SCVAGSFTS NYGMSWVRQA PGKGLQWVAT	50
ISYGGSYTYY PDNKGRTFI SRDNARKNTLY LQMNNSLRAED TAMYCVCRGY	100
GVDTMDYWGQ GTLVTVSSA TTAPSVPFLA PSCGSTSGST VALACLVSQY	150
FPEPVTVWSN SGSITSGVHT FPPSVLQSSGQ YSLSSMVTVE SSRWPSETTF	200
CNAVAHPASKT KVDPKVKEK NGRVPRPPDQ PKCFAPEMLO GPSVFIFPPK	250
PKDTLLIART PEVTCVVVDL DPEDPPEVQIS WFVDGKQMQQT AKTPQPREQF	300
NGTYRVRVSLV PIGHQDWLKG KQFTCKVNKK ALPSPIERTI SKARGQAHQP	350
SVYVLPPSRE ELSKNTVSLT CLIKDFFPD IDVEWQSNGQ QEPESKYRTT	400
PQOLDEEDGSY FLYSKLSQLDK ERWQRGDTFI CAVMHEALHH HYTQESELSHS	450
PGK	
Light chain / Chaîne légère / Cadena ligera	
EIVMTQSPAS LSLSQBEEKVT ITCKASQSVS FAGTGLMHWY QOKPGQQAPKL	50
LIYRASNLEA GPVPSRFSGSG SGTDTSFTIS SLEPEDDVAVY YCQQSREYPW	100
TFGQGTKLEI KRNDAQPAVY LFQPSFDQLH TGSASVVCNL NSFYPKDINV	150
KWKVVDGVIQD TGIGESEVTEQ DKDSTSLSL TLTMSSTEYL SHELYSCEIT	200
HRSLPSTLIR SFQRSEC	217
Post-translational modifications	
Disulfide bridges location / Position des ponts disulfure / Posiciones de los puentes disulfuro	
Intra-H (C23-C104) 22-96 145-201 265-325 371-431	
22"-96" 145"-201" 265"-325" 371"-431"	
Intra-L (C23-C104) 23"-92" 138"-197"	
23"-92" 138"-197"	
Inter-H-L (CH1 11-CL 126) 133-217" 133"-217"	
Inter-H-H (h 15, h 18) 230-230" 233-233"	
N-glycosylation sites / Sites de N-glycosylation / Posiciones de N-glicosilación	
H CH2 N84.4: 301, 301"	
Fucosylated complex bi-antennary CHO-type glycans / glycanes de type CHO bi-antennaires	
complexes fucosyles / glicanos de tipo CHO biantenarios complejos fucosilados.	
C-terminal lysine clipping / Coupage de la lysine C-terminale / Recorte de lisina C-terminal	
H CHS K2: 453, 453"	

rilbegostomig #

rilbegostomig

immunoglobulin G1-kappa/lambda, anti-[*Homo sapiens*

PDCD1(programmed cell death 1, PD1, PD-1, CD279)] and anti-[*Homo sapiens* TIGIT (T-cell immunoreceptor with Ig domain and ITIM, V-set Ig member 9, VSIG9, V-set and transmembrane member 3, VSTM3)], humanized and *Homo sapiens* monoclonal antibody, bispecific; gamma1 heavy chain anti-PDCD1 (1-452) [VH humanized (*Homo sapiens* IGHV3-48*01 (92.9%) -(IGHD) -IGHJ4*01 (93.3%) L123>T (117), CDR-IMGT [8.8.15] (26-33.51-58.97-111)) (1-122) -*Homo sapiens* IGHG1*03, G1m3, nG1m1, G1v39 CH2 F1.3, E1.2, S116, G1v33 CH3 S22, A24, V86 (hole) (CH1 R120 (219) (123-220), hinge 1-15 (221-235), CH2 L1.3>F (239), L1.2>E (240), P116>S (336) (236-345), CH3 Y5>C (354), E12 (361), M14 (363), T22>S (371), L24>A (373), Y86>V (412) (346-450), CHS (451-452)) (123-452)], (225-219')-disulfide with kappa light chain anti-PDCD1 (1"-219') [V-KAPPA humanized (*Homo sapiens* IGKV3D-7*01 (81.1%) -IGKJ2*02 (100%), CDR-IMGT [11.3.9] (27-37.55-57.94-102)) (1"-112') -*Homo sapiens* IGKC*01 (100%), Km3 A45.1 (158), V101 (196) (113"-219')]; gamma1 heavy chain anti-TIGIT (1"-451") *Homo sapiens* [VH (*Homo sapiens* IGHV3-30*01 (96.9%) -(IGHD) -IGHJ6*01 (94.4%), CDR-IMGT [8.8.14] (26-33.51-58.97-110)) (1"-121") -*Homo sapiens* IGHG1*03, G1m3, nG1m1, G1v39 CH2 F1.3, E1.2, S116, G1v32 CH3 W22 (knob) (CH1 F5>C (130), R120 (218) (122"-219"), hinge 1-15 C5>V (224) (220"-234"), CH2 L1.3>F (238), L1.2>E (239), P116>S (335) (235"-344"), CH3 S10>C (358), E12 (360), M14 (362), T22>W (370) (345"-449"), CHS (450"-451") (122"-451")], (130"-125")-disulfide with lambda light chain anti-TIGIT (1"-219") *Homo sapiens* [V-LAMBDA (*Homo sapiens* IGLV1-44*01 (92.6%) -IGLJ7*01 (90%) F118>L (101) , CDR-IMGT [8.3.11] (26-33.51-53.90-100)) (1"-110") -*Homo sapiens* IGLC2*01 (98.1%) S10>C (125), C126>V (215) (111"-216")]; heterodimer (231-230":234-233": 354-358")-trisdisulfide, produced in Chinese hamster ovary (CHO) cells, cell line CHO-CAT-S, glycoform alfa

rilvégostomig	immunoglobuline G1-kappa/lambda, anti-[<i>Homo sapiens</i> PDCD1 (protéine 1 de mort cellulaire programmée, PD-1, PD1, CD279)] et anti-[<i>Homo sapiens</i> TIGIT (immunorécepteur des lymphocytes T avec domaine Ig et ITIM, membre 9 de l'Ig V-set, VSIG9, membre 3 de l'Ig V-set et région transmembranaire, VSTM3)], anticorpo monoclonal humanizado y <i>Homo sapiens</i> , biespecífico; cadena pesada gamma1 anti-PDCD1 (1-452) [VH humanizado (<i>Homo sapiens</i> IGHV3-48*01 (92.9%) -(IGHD) -IGHJ4*01 (93.3%) L123>T (117), CDR-IMGT [8.8.15] (26-33.51-58.97-111)) (1'-122') - <i>Homo sapiens</i> IGHG1*03, G1m3, nG1m1, G1v39 CH2 F1.3, E1.2, S116, G1v33 CH3 S22, A24, V86 (hole) (CH1 R120 (219) (123-220), bisagra 1-15 (221-235), CH2 L1.3>F (239), L1.2>E (240), P116>S (335) (236-345), CH3 Y5>C (354), E12 (361), M14 (363), T22>S (371), L24>A (373), Y86>V (412) (346-450), CHS (451-452)] (123-452)], (225-219')-disulfuro con la cadena ligera kappa anti-PDCD1 (1'-219') [V-KAPPA humanizada (<i>Homo sapiens</i> IGKV3D-7*01 (81.1%) -IGKJ2*02 (100%), CDR-IMGT [11.3.9] (27-37.55-57.94-102)) (1'-112') - <i>Homo sapiens</i> IGKC*01 (100%), Km3 A45.1 (158), V101 (196) (113'-219')]; cadena pesada gamma1 anti-TIGIT (1"-451") <i>Homo sapiens</i> [VH (<i>Homo sapiens</i> IGHV3-30*01 (96.9%) -(IGHD) -IGHJ6*01 (94.4%), CDR-IMGT [8.8.14] (26-33.51-58.97-110)) (1"-121") - <i>Homo sapiens</i> IGHG1*03, G1m3, nG1m1, G1v39 CH2 F1.3, E1.2, S116, G1v32 CH3 W22 (knob) (CH1 F5>C (130), R120 (218) (122"-219"), bisagra 1-15 C5>V (224) (220"-234"), CH2 L1.3>F (238), L1.2>E (239), P116>S (335) (235"-344"), CH3 S10>C (358), E12 (360), M14 (362), T22>W (370) (345"-449"), CHS (450"-451")) (122"-451")], (130"-125")-disulfuro con la cadena ligera lambda anti-TIGIT (1"-219") <i>Homo sapiens</i> [V-LAMBDA (<i>Homo sapiens</i> IGLV1-44*01 (92.6%) -IGLJ7*01 (90%) F118>L (101), CDR-IMGT [8.3.11] (26-33.51-53.90-100)) (1""-110") - <i>Homo sapiens</i> IGLC2*01 (98.1%) S10>C (125), C126>V (215) (111""-216"]); heterodímero (231-230":234-233": 354-358")-trisdisulfuro, producido en las células ováricas de hamster chino (CHO), línea celular CHO-CAT-S, forma glicosilada alfa
rilvegostomig	inmunoglobulina G1-kappa/lambda, anti-[<i>Homo sapiens</i> PDCD1 (proteína 1 de muerte celular programada, PD-1, PD1, CD279)] y anti-[<i>Homo sapiens</i> TIGIT (inmunoreceptor de los linfocitos T con dominio Ig e ITIM, miembro 9 de la Ig V-set, VSIG9, miembro 3 de la Ig V-set y región transmembranaria, VSTM3)], anticuerpo monoclonal humanizado y <i>Homo sapiens</i> , biespecífico; cadena pesada gamma1 anti-PDCD1 (1-452) [VH humanizado (<i>Homo sapiens</i> IGHV3-48*01 (92.9%) -(IGHD) -IGHJ4*01 (93.3%) L123>T (117), CDR-IMGT [8.8.15] (26-33.51-58.97-111)) (1'-122') - <i>Homo sapiens</i> IGHG1*03, G1m3, nG1m1, G1v39 CH2 F1.3, E1.2, S116, G1v33 CH3 S22, A24, V86 (hole) (CH1 R120 (219) (123-220), bisagra 1-15 (221-235), CH2 L1.3>F (239), L1.2>E (240), P116>S (335) (236-345), CH3 Y5>C (354), E12 (361), M14 (363), T22>S (371), L24>A (373), Y86>V (412) (346-450), CHS (451-452)] (123-452)], (225-219')-disulfuro con la cadena ligera kappa anti-PDCD1 (1'-219') [V-KAPPA humanizada (<i>Homo sapiens</i> IGKV3D-7*01 (81.1%) -IGKJ2*02 (100%), CDR-IMGT [11.3.9] (27-37.55-57.94-102)) (1'-112') - <i>Homo sapiens</i> IGKC*01 (100%), Km3 A45.1 (158), V101 (196) (113'-219')]; cadena pesada gamma1 anti-TIGIT (1"-451") <i>Homo sapiens</i> [VH (<i>Homo sapiens</i> IGHV3-30*01 (96.9%) -(IGHD) -IGHJ6*01 (94.4%), CDR-IMGT [8.8.14] (26-33.51-58.97-110)) (1"-121") - <i>Homo sapiens</i> IGHG1*03, G1m3, nG1m1, G1v39 CH2 F1.3, E1.2, S116, G1v32 CH3 W22 (knob) (CH1 F5>C (130), R120 (218) (122"-219"), bisagra 1-15 C5>V (224) (220"-234"), CH2 L1.3>F (238), L1.2>E (239), P116>S (335) (235"-344"), CH3 S10>C (358), E12 (360), M14 (362), T22>W (370) (345"-449"), CHS (450"-451")) (122"-451")], (130"-125")-disulfuro con la cadena ligera lambda anti-TIGIT (1"-219") <i>Homo sapiens</i> [V-LAMBDA (<i>Homo sapiens</i> IGLV1-44*01 (92.6%) -IGLJ7*01 (90%) F118>L (101), CDR-IMGT [8.3.11] (26-33.51-53.90-100)) (1""-110") - <i>Homo sapiens</i> IGLC2*01 (98.1%) S10>C (125), C126>V (215) (111""-216"]); heterodímero (231-230":234-233": 354-358")-trisdisulfuro, producido en las células ováricas de hamster chino (CHO), línea celular CHO-CAT-S, forma glicosilada alfa

Heavy chain / Chaîne lourde / Cadena pesada: anti-PDCD1 (H)
 EVQLVESGGG LVQPGGSLRL SCAASGFTFS DYGHHWVRQA PGKGLEWVAY 50
 ISSSGSYTIYS ADSVKGRFTI SRDNAKNSLY LQMNSLRAED TAVYYCARRA 100
 PNSFYEYYFD YWGQGTVTV SSASTKGPSV FPLAPSSKST SGGAALGCL 150
 VKDYPPEPVY VSWNSGALT SGVHTFPVAVLQ SSGLYSLSV VTVPSSSLGT 200
 QTYICVNHNK PSNTKVDKRV EPKSCDKTHQ CPCCPAPEFE GGPSVFLFP 250
 KPKDTLMISR TPEVTCVVVD VSHEDEPVKF NWYVDGVEVH NAKTKPREEQ 300
 YNSTYRVVSV LTVLHQDWLN GKEYCKVSN KALPASIEKT ISKAKGQPREG 350
 PQVCTLPPSR EEMTKNQVSL SCAVKGFYPS DIAVEWESNQ QPENNYKTPP 400
 PVLDSDGSFF LVSKLTVDKS RWQQGNVFSC SVMHEALHNH YTQKSLSLSP 450
 GK

Light chain / Chaîne légère / Cadena ligera: anti-PDCD1 kappa (L')
 QIVLTQSPAT LSLSGERAT LSCSASSKHT NLYWSRHMW YQQKPGQAPR 50
 LLIYLTSNRA TGIPARFSGS GSGTDFTLTI SSLEPEDFAV YYCQQWSSN 100
 FTFGGGTKE IKRTVAAPSV FIFPPSDEQL KSGTASVCL LNNFYPREAK 150
 VQWKVDNALQ SGNSQESVTE QDSKDSTYSL SSTLTLKAD YEKHKVYACE 200
 VTHQGLSSPV TKSFRNRGEC 219

Heavy chain / Chaîne lourde / Cadena pesada: anti-TIGIT (H")
 QVQLVESGGG VVQPGGSLRL SCAASGFTFS SYAMHHWVRQA PGKGLEWVAY 50
 ISYAGEVKYY ADSVKGRFTI SRDNISKNTLY LQMNSLRAED TAVYYCARDP 100
 LPLHYYGMDV WQCGTTVTVS SASTKGPSVC PLAPSSKSTS GGTAALGCLV 150
 KDYFPEPVTVY SWNSGALTSG VHTFPAVLQS SGLYSLSSV TVPSSLGTQ 200
 TYICVNHNKP SNTKVDKRVE PKSVDKTHTC PPCPAPEFEG GPSVFLFPK 250
 PKDTLMISRPT PEVTCVVVDV SHDEDEPVKF WYWDGVEVH AAKTKPREEQY 300
 NSTYRVVSVL TVLHQDWLNG KEYCKKVSN ALPASIEKTI SKAKQPREP 350
 QVYTLLPCRE EMTKNQVSLW CLVKGFYPSD DIAVEWESNQ PENNYKTPP 400
 VLSDSDGSFFL YSKLTVDKS RWQQGNVFSCS VMHEALHNH YTQKSLSLSPG 450
 K

Light chain / Chaîne légère / Cadena ligera: anti-TIGIT lambda (L")
 QSVLQTQPPSA SGTPGQRVTI SCSSGSSSNIG RRPVNWYQQL PGTAPKLIIY 50
 SQNQERSGVP DRFGSQSGT SASLAISGQLQ SEDEADYFCA VWDIDGRVLQ 100
 LGGGTQLTVAL GQPKAAAPSVT LFPPCSEELQ ANKATLVLCLI SDFYPGAVTV 150
 AWKADDSPVK AGVETTTPSK QSNNKYAASS YLSLTPEQWK SHRSYSCQVT 200
 HEGSTVEKVKV ATEVS 216

Post-translational modifications

Disulfide bridges location / Position des ponts disulfure / Posiciones de los puentes disulfuro
 Intra-H (C23-C104) 22"-96" 149"-205" 266"-326" 372"-430"
 22"-96" 148"-204" 265"-325" 371"-429"
 Intra-L (C23-C104) 22"-93" 139"-199"
 22"-89" 138"-197"
 Inter-H-L (h-5-CL 126) 225"-219" (CH1 5-CL 10)* 130"-125"
 Inter-H-H (h 11, h 14) 231"-230" 234"-233" (CH3 5-CH3 10)* 354"-358"
 *Engineered alternative Inter-H-L (instead of 224"-215") and additional Inter-H-H,
 owing to 4 amino acid changes to cysteinyl.

N-terminal glutaminyl cyclization / Cyclisation du glutaminyle N-terminal / Ciclación del
 glutamínico N-terminal
 Q > pyroglutamyl (pE, 5-oxoprolyl) / pyroglutamyle (pE, 5-oxoprolyle) / piroglutamilo
 (pE, 5-oxoproliolo)
 H VH Q1: 1"
 V VL Q1: 1', 1"

C-terminal lysine clipping / Coupe de la lysine C-terminale / Recorte de lisina C-terminal
 H CHS K2:
 452, 451"

N-glycosylation sites / Sites de N-glycosylation / Posiciones de N-glicosilación
 H CH2 N84.4:
 302, 301"
 Fucosylated complex bi-antennary CHO-type glycans / glycanes de type CHO bi-antennaires
 complexes fucosylés / glicanos de tipo CHO biantenarios complejos fucosilados.

rivunatpagenum miziparvovectum

rivunatpagene miziparvovect recombinant, non-replicating adeno-associated virus serotype 9 (rAAV9) vector encoding ATPase copper-transporting beta gene (ATP7B, copper transporting ATPase 2), modified to encode the last three of the six metal-binding domains (ATP7B-MBD456), under control of a murine transthyretin enhancer/human transthyretin promoter, with a simian virus 40 (SV40) intron, terminated with an SV40 polyadenylation signal, and flanked by adeno-associated virus 2 (AAV2) inverted terminal repeats (ITRs).

rivunatpagène miziparvovec

vecteur recombinant et non répliquant du virus adéno-associé de sérotype 9 (rAAV9) codant le gène bêta de l'ATPase transportant le cuivre (ATP7B, ATPase 2 transportant le cuivre), modifié pour coder les trois derniers des six domaines de liaison aux métaux (ATP7B-MBD456), sous le contrôle d'un promoteur de la transthyréotide humaine/amplificateur de la transthyréotide murine, avec un intron du virus simien 40 (SV40), terminé par un signal de polyadénylation du SV40, et flanqué de répétitions terminales inversées (ITR) du virus adéno-associé 2 (AAV2).

rivunatpagén miziparvovec

vector de virus adenoasociado recombinante del serotipo 9 (rAAV9), no replicativo, que codifica el gen de la ATPasa beta transportadora de cobre (ATP7B, ATPasa transportadora de cobre 2), modificado para codificar los últimos tres de los seis dominios de unión a metal (ATP7B-MBD456), bajo el control de un potenciador de transtiretina murina/promotor de transtiretina humana, con un intrón del virus de simio 40 (SV40), terminado con una señal de poliadenilación de SV40 y flanqueado por las repeticiones terminales invertidas (ITRs) del virus adenoasociado 2 (AAV2).

ruserontinibum

ruserontinib

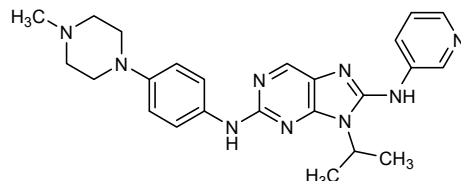
*N*²-[4-(4-methylpiperazin-1-yl)phenyl]-9-(propan-2-yl)-*N*⁸-(pyridin-3-yl)-9*H*-purine-2,8-diamine

rusérontinib

*N*²-[4-(4-méthylpipérazin-1-yl)phényl]-9-(propan-2-yl)-*N*⁸-(pyridin-3-yl)-9*H*-purine-2,8-diamine

ruserontinib

*N*²-[4-(4-metilpiperazin-1-il)fenil]-*N*⁸-(piridin-3-il)-9-(propan-2-il)-9*H*-purina-2,8-diamina

C₂₄H₂₉N₉**sacibertinibum**

sacibertinib

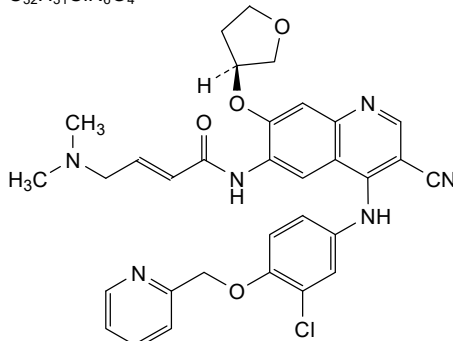
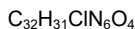
(2*E*)-*N*-[(1³S)-5³-chloro-3³-cyano-2,6-dioxa-4-aza-3(7,4)-quinolina-8(2)-pyridina-1(3)-oxolana-5(1,4)-benzenaoctaphan-3⁶-yl]-4-(dimethylamino)but-2-enamide

sacibertinib

(2*E*)-*N*-[(1³S)-5³-chloro-3³-cyano-2,6-dioxa-4-aza-3(7,4)-quinoléina-8(2)-pyridina-1(3)-oxolana-5(1,4)-benzénaoctaphan-3⁶-yl]-4-(diméthylamino)but-2-enamide

sacibertinib

(2*E*)-*N*-[(1³S)-3³-ciano-5³-cloro-2,6-dioxa-4-aza-3(7,4)-quinoleina-8(2)-piridina-1(3)-oxolana-5(1,4)-bencenaoctafan-3⁶-il]-4-(dimetilamino)but-2-enamida


satricabtagen autoleucel #

satricabtagene autoleucel

autologous T lymphocytes obtained from peripheral blood mononuclear cells by leukapheresis, transduced with a self-inactivating, non-replicating lentiviral vector, encoding a chimeric antigen receptor (CAR) targeting human claudin 18.2 (also known as claudin 18 isoform A2, CLDN18.2). The expressed transgene comprises anti-human CLDN18.2 single-chain variable fragment (scFv), derived from humanized monoclonal IgG1 antibody hu8E5-2I, human CD8α hinge, CD28 transmembrane and co-stimulatory domain and CD3ζ signalling domain and is under control of the elongation factor 1 alpha (EF1α) promoter. The construct is flanked by 5' and 3' long terminal repeats (LTRs) and also contains a ψ packaging signal, a Rev response element (RRE), a central polypurine tract (cPPT) sequence and a Woodchuck hepatitis virus posttranscriptional regulatory element (WPRE). The leukapheresis material is activated by CD3 and CD28 agonists and transduced with the lentiviral vector. The cells are then expanded in media supplemented with autologous serum and interleukin 2 (IL-2). The cell suspension consists of T lymphocytes (>70%), with greater than 10% of the T lymphocytes expressing the CAR transgene and secreting interferon gamma (IFN-γ) following co-culture with claudin 18.2-expressing cells.

satricabtagène autoleucel

lymphocytes T autologues obtenus à partir de cellules mononucléaires de sang périphérique par leucaphérèse, transduits avec un vecteur lentiviral auto-inactivant et non répliquant, codant un récepteur antigénique chimérique (CAR) ciblant la claudine 18.2 humaine (également connue sous le nom d'isoforme A2 de la claudine 18, CLDN18.2). Le transgène exprimé comprend un fragment variable à chaîne unique (scFv) anti-claudine 18.2 humaine, dérivé de l'anticorps monoclonal humanisé IgG1 hu8E5-2I, de la charnière CD8α humaine, des domaines transmembranaires et co-stimulateur CD28 et le domaine de signalisation CD3ζ, qui est sous le contrôle du promoteur du facteur d'elongation 1 alpha (EF1α). La construction est flanquée de répétitions terminales longues (LTR) en 5' et 3' et contient également un signal d'encapsidation ψ, un élément de réponse Rev (RRE), une séquence du tractus polypurine central (cPPT) et un élément de régulation post-transcriptionnel du virus de l'hépatite de marmotte (WPRE).

Le matériel de leucaphérèse est activé par des agonistes CD3 et CD28 et transduit par le vecteur lentiviral. Les cellules sont ensuite développées dans un milieu complémenté par du sérum autologue et de l'interleukine 2 (IL-2). La suspension cellulaire est constituée de lymphocytes T (>70%), plus de 10% des lymphocytes T exprimant le transgène CAR et sécrétant de l'interféron gamma (IFN-γ) après co-culture avec des cellules exprimant la claudine 18.2.

satricabtagén autoleucel

linfocitos T autólogos obtenidos de células mononucleares de sangre periférica mediante leucaféresis, transducidos con un vector lentiviral auto inactivante, no replicativo, que codifica para un receptor de antígenos quimérico (CAR) dirigido a la claudina 18.2 humana (también conocida como isoforma A2 de la claudina 18, CLDN18.2). El transgén expresado contiene un fragmento variable de cadena sencilla (scFv) anti-CLDN18.2 humana derivado del anticuerpo monoclonal IgG1 humanizado hu8E5-2I, una región bisagra de CD8α, un dominio transmembrana y co-estimulador de CD28 y un dominio de señalización CD3ζ, y está bajo el control del promotor del factor de elongación 1 alfa (EF1α). El constructo está flanqueado por repeticiones terminales largas (LTRs) en 5' y 3' y también contiene una señal de empaquetamiento ψ, un elemento de respuesta Rev (RRE), una secuencia de tracto de poli-purina central (cPPT) y un elemento regulador post-transcripcional del virus de la hepatitis de la marmota (WPRE).

El material de leucoaféresis se activa mediante agonistas de CD3 y CD28 y se transduce con el vector lentiviral. Las células son después expandidas en medio suplementado con suero autólogo e interleuquina 2 (IL-2). La suspensión celular consiste en linfocitos T (>70%), con más del 10% de los linfocitos T que expresan el transgén del CAR y secretan interferón gamma (IFN-γ) tras el co-cultivo con células que expresan claudina 18.2.

seglebegagenum dasniparvovecum #

seglobegagene dashiparvovec

recombinant, non-replicating adeno-associated virus serotype hu68 (rAAVhu68) vector encoding codon-optimised human β-galactosidase (GLB1), under control of the human ubiquitin C promoter plus a chimeric intron, consisting of human β-globin splice donor and immunoglobulin G splice acceptor elements, terminated with the simian virus 40 (SV40) late polyadenylation signal, flanked by adeno-associated virus 2 (AAV2) inverted terminal repeats (ITRs).

seglébégagène dasniparvovec

vecteur recombinant et non répliquant du virus adéno-associé de sérotype hu68 (rAAVhu68) codant la β-galactosidase (GLB1) humaine aux codons optimisés, sous le contrôle du promoteur de l'ubiquitine C humaine plus un intron chimérique consistant

d'éléments donneurs d'épissage de la β -globine humaine et d'éléments accepteurs d'épissage de l'immunoglobuline G humaine, terminé par le signal de polyadénylation tardive du virus simien 40 (SV40), flanqué de répétitions terminales inversées (ITR) du virus adéno-associé 2 (AAV2).

seglebegagén dasniparvovec vector de virus adenoasociado recombinante del serotipo hu68 (rAAVhu68), no replicativo, que codifica, con codones optimizados, para la β -galactosidasa humana (GLB1), bajo el control del promotor de la ubiquitina C humana más un intrón quimérico que consta del sitio donante del procesamiento de la β -globina humana y los elementos aceptores del procesamiento de la inmunoglobulina G, terminado con una señal de poliadenilación del virus de simio 40 (SV40), flanqueado por las repeticiones terminales invertidas (ITRs) del virus adenoasociado 2 (AAV2).

selvigaltilum

selvigaltin

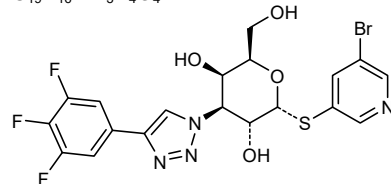
5-bromopyridin-3-yl 3-deoxy-1-thio-3-[4-(3,4,5-trifluorophenyl)-1*H*-1,2,3-triazol-1-yl]- α -D-galactopyranoside

selvigaltine

3-désoxy-1-thio-3-[4-(3,4,5-trifluorophényl)-1*H*-1,2,3-triazol-1-yl]- α -D-galactopyranoside de 5-bromopyridin-3-yle

selvigaltina

3-desoxi-1-tio-3-[4-(3,4,5-trifluorofenil)-1*H*-1,2,3-triazol-1-il]- α -D-galactopiranósido de 5-bromopiridin-3-ilo



simaravibartum #

simaravibart

immunoglobulin G1-kappa, anti-[*Homo sapiens* severe acute respiratory syndrome coronavirus 2 (SARS-CoV-2) spike (S) protein, receptor binding domain (RBD)], *Homo sapiens* monoclonal antibody; gamma1 heavy chain *Homo sapiens* (1-455) [VH (*Homo sapiens*IGHV1-69*08 (95.9%) -(IGHD) -IGHJ4*01 (93.3%), CDR-IMGT [8.8.18] (26-33.51-58.97-114)) (1-125) -*Homo sapiens*IGHG1*03, G1m3, nG1m1, G1v14-49 CH2 A1.3, A1.2, G114, G1v24 CH3 L107, S114 (CH1 R120 (222) (126-223), hinge 1-15 (224-238), CH2 L1.3>A (242), L1.2>A (243), P114>G (337) (239-348), CH3 E12 (364), M14 (366), M107>L (436), N114>S (349-453), CHS (454-455)) (126-455)], (228-210')-disulfide with kappa light chain *Homo sapiens* (1'-210') [VKAPPA (*Homo sapiens*IGKV3-11*01 (97.8%) -IGKJ4*01 (100%), CDR-IMGT [6.3.5] (27-32.50-52.89-93)) (1'-103') -*Homo sapiens*IGKC*01 (100%), Km3, A45.1 (149), V101 (187) (104'-210')]; dimer (234-234"-237-237")-bisdisulfide, produced in Chinese hamster ovary (CHO) cells, glycoform alfa

simaravibart	immunoglobuline G1-kappa, anti-[domaine de liaison au récepteur (RBD) de la glycoprotéine spike (S) du coronavirus 2 du syndrome respiratoire aigu sévère (SARS-CoV-2)], anticorps monoclonal <i>Homo sapiens</i> ; chaîne lourde gamma1 <i>Homo sapiens</i> (1-455) [VH (<i>Homo sapiens</i> IGHV1-69*08 (95.9%) -(IGHD) -IGHJ4*01 (93.3%), CDR-IMGT [8.8.18](26-33.51-58.97-114)) (1-125) - <i>Homo sapiens</i> IGHG1*03, G1m3, nG1m1, G1v14-49 CH2 A1.3, A1.2, G114, G1v24 CH3 L107, S114 (CH1 R120 (222) (126-223), charnière 1-15 (224-238), CH2 L1.3>A (242), L1.2>A (243), P114>G (337) (239-348), CH3 E12 (364), M14 (366), M107>L (436), N114>S (349-453), CHS (454-455)) (126-455)], (228-210')-disulfure avec la chaîne légère kappa <i>Homo sapiens</i> (1'-210') [V-KAPPA (<i>Homo sapiens</i> IGKV3-11*01 (97.8%) -IGKJ4*01 (100%), CDR-IMGT [6.3.5] (27-32.50-52.89-93)) (1'-103') - <i>Homo sapiens</i> IGKC*01 (100%), Km3, A45.1 (149), V101 (187) (104'-210')]; dimère (234"-237"-237")-bisdisulfure, produit dans des cellules ovarianes de hamster chinois (CHO), glycoforme alfa
simaravibart	inmunoglobulina G1-kappa, anti-[dominio de unión al receptor (RBD) de la glicoproteína de espícula (S) del coronavirus 2 del síndrome respiratorio agudo severo (SARS-CoV-2)], anticuerpo monoclonal <i>Homo sapiens</i> ; cadena pesada gamma1 <i>Homo sapiens</i> (1-455) [VH (<i>Homo sapiens</i> IGHV1-69*08 (95.9%) -(IGHD) -IGHJ4*01 (93.3%), CDR-IMGT [8.8.18] (26-33.51-58.97-114)) (1-125) - <i>Homo sapiens</i> IGHG1*03, G1m3, nG1m1, G1v14-49 CH2 A1.3, A1.2, G114, G1v24 CH3 L107, S114 (CH1 R120 (222) (126-223), bisagra 1-15 (224-238), CH2 L1.3>A (242), L1.2>A (243), P114>G (337) (239-348), CH3 E12 (364), M14 (366), M107>L (436), N114>S (349-453), CHS (454-455)) (126-455)], (228-210')-disulfuro con la cadena ligera kappa <i>Homo sapiens</i> (1'-210') [V-KAPPA (<i>Homo sapiens</i> IGKV3-11*01 (97.8%) -IGKJ4*01 (100%), CDR-IMGT [6.3.5] (27-32.50-52.89-93)) (1'-103') - <i>Homo sapiens</i> IGKC*01 (100%), Km3, A45.1 (149), V101 (187) (104'-210')]; dímero (234-234"-237-237")-bisdisulfuro, producido en las células ováricas de hámster chino (CHO), forma glicosilada alfa

Heavy chain / Chaîne lourde / Cadena pesada

```

QVQLVQSGAE VKKPGSSVKV SCKASGGTFS SYTISWVRQA PCQQGLEWMGR 50
IIPILDRLRVMY AQKFQGRVTI TADKSTSTAY MEISSLRLSED TAVYYCARRA 100
IDSPTTYVEQS HFIDYWQGQTLT VTIVSSASTKG PSVFPLAFLS KSTSGGTAA 150
GCLVKDYFPEP FVTVWSNSGAA LTSGVHTFFA VLQSGSGLYSL SSVVTVFESS 200
LGCTQTYICNV NHKPSNTKVD KRVPEPKSCDK THTCPPCFAP EAAGGPSVFL 250
FPFPKPKDTLM ISRTPEVTCV VVDVSHEDPE VKPNWVQGV EVHNNAKTFPR 300
EEQNYSTYRV VSVLTVLHQD WLNGKEYKCK VSNKALGAPI ERTISKAKQ 350
PREPVQVTLP PSREEMTRNQ VSFLCLVKGF YPSDIAVEWE SNGQPENNYK 400
TPPPVLDSDG SFFLYSKLTV DKRSRWQQGNV FSCSVLHEAL HSHYQTQKLS 450
LSPGK

```

Light chain / Chaîne légère / Cadena ligera

```

EIVMTQSPAT LSLSPGERAT LSCRASQSVS SYLAZYQQKP QGAPSLLIYD 50
ASNRTATGIPA RFSGSGSQTDF FTFTISSLPEP EDFAVYVQQ PLTFFGGTKV 100
EIKRTVAAPS VFIFPPSDEQ LKSRTASAVVC LLNNPFYPREA KVQWKVDNAL 150
QSGNSQESVT EQISDKDSTS LSSTLTLKS DYEKHHKVAC EVTHQGLSSP 200
VTKSFNRNGEC

```

Post-translational modifications

Disulfide bridges location / Position des ponts disulfure / Posiciones de los puentes disulfuro
Intra-H (C23-C104) 22-96 152-208 269-329 375-433
22"-96" 252"-208" 269"-329" 375"-433"
Intra-L (C23-C104) 23"-88" 130"-190"
23"-88" 130"-190"
Inter-H-L (h 5-CL 126) 228-210" 228"-210"
Inter-H-H (h 1, h 14) 234-234" 237-237"

N-terminal glutaminyl cyclization / Cyclisation du glutaminyle N-terminal / Ciclación del glutamínico N-terminal
Q > pyroglutamyl (pE, 5-oxoprolyl) / pyroglutamyl (pE, 5-oxoprolyle) / piroglutamilo (pE, 5-oxoprolilo)
H VH Q1: 1, 1"

N-glycosylation sites / Sites de N-glycosylation / Posiciones de N-glicosilación
H CH2 N84.4: 305, 305"
Fucosylated complex bi-antennary CHO-type glycans / glycanes de type CHO bi-antennaires complexes fucosylés / glicanos de tipo CHO biantenarios complejos fucosilados.

C-terminal lysine clipping / Coupe de la lysine C-terminale / Recorte de lisina C-terminal
H CHS K2: 455, 455"

sipagladenantum

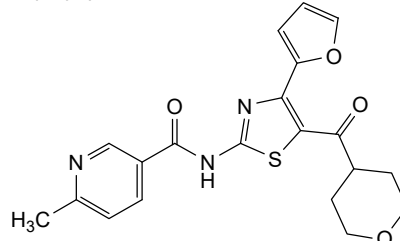
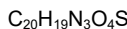
sipagladenant

N-[4-(furan-2-yl)-5-(oxane-4-carbonyl)-1,3-thiazol-2-yl]-6-methylpyridine-3-carboxamide

sipagladénant

N-[4-(furan-2-yl)-5-(oxane-4-carbonyl)-1,3-thiazol-2-yl]-6-méthylpyridine-3-carboxamide

sipagladenant

N-[4-(furan-2-il)-5-(oxano-4-carbonil)-1,3-tiazol-2-il]-6-metilpiridina-3-carboxamida**sitagliptinum fenilalanilum**

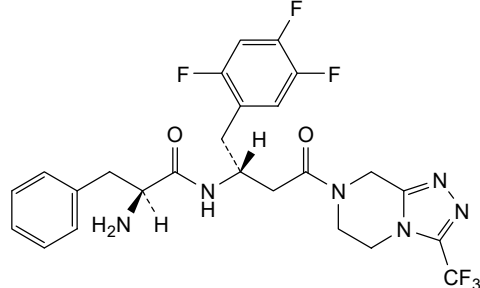
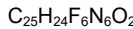
sitagliptin fenilalanil

(2*S*)-2-amino-*N*-{(2*R*)-4-oxo-4-[3-(trifluoromethyl)-5,6-dihydro[1,2,4]triazolo[4,3-a]pyrazin-7(8*H*)-yl]-1-(2,4,5-trifluorophenyl)butan-2-yl}-3-phenylpropanamide

sitagliptine fénilalanil

(2*S*)-2-amino-*N*-{(2*R*)-4-oxo-4-[3-(trifluorométhyl)-5,6-dihydro[1,2,4]triazolo[4,3-a]pyrazin-7(8*H*)-yl]-1-(2,4,5-trifluorophényl)butan-2-yl}-3-phénylpropanamide

sitagliptina fenilalanilo

(2*S*)-2-amino-3-fenil-*N*-{(2*R*)-4-oxo-4-[3-(trifluorometil)-5,6-dihidro[1,2,4]triazolo[4,3-a]pirazin-7(8*H*)-il]-1-(2,4,5-trifluorofenil)butan-2-il}propanamida**tamnorzatinibum**

tamnorzatinib

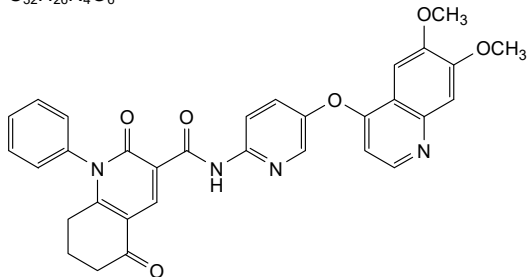
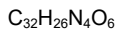
N-{5-[(6,7-dimethoxyquinolin-4-yl)oxy]pyridin-2-yl}-2,5-dioxo-1-phenyl-1,2,5,6,7,8-hexahydroquinoline-3-carboxamide

tamnorzatinib

N-{5-[(6,7-diméthoxyquinoléin-4-yl)oxy]pyridin-2-yl}-2,5-dioxo-1-phényl-1,2,5,6,7,8-hexahydroquinoléine-3-carboxamide

tamnorzatinib

N-{5-[(6,7-dimetoxiquinolein-4-il)oxi]piridin-2-il}-1-fenil-2,5-dioxo-1,2,5,6,7,8-hexahidroquinoleina-3-carboxamida

**taragarestrantum**

taragarestrant

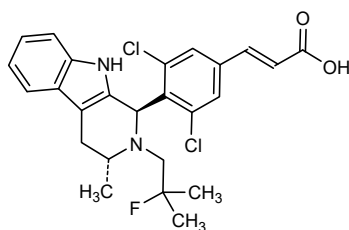
(2E)-3-{3,5-dichloro-4-[(1R,3R)-2-(2-fluoro-2-methylpropyl)-3-methyl-2,3,4,9-tetrahydro-1H-pyrido[3,4-b]indol-1-yl]phenyl}prop-2-enoic acid

taragarestrant

acide (2E)-3-{3,5-dichloro-4-[(1R,3R)-2-(2-fluoro-2-méthylpropyl)-3-méthyl-2,3,4,9-tétrahydro-1H-pyrido[3,4-b]indol-1-yl]phényl}prop-2-énoïque

taragarestrant

ácido (2E)-3-{3,5-dicloro-4-[(1R,3R)-2-(2-fluoro-2-metilpropil)-3-metil-2,3,4,9-tetrahidro-1H-pirido[3,4-b]indol-1-il]fenil}prop-2-enoico

**tarperprumig #**

tarperprumig

immunoglobulin single chain VH-VH', anti-[*Homo sapiens* CFP (complement factor properdin, properdin)] and anti-[*Homo sapiens* ALB (albumin, human serum albumin, HAS)], humanized monoclonal antibody, bispecific, bivalent; single chain (sc) VH-VH' (1-256) [humanized VH anti-CFP (*Vicugna pacos* IGHV3-3*01 (81.6%) -(IGHD) -IGHJ3*01 (92.3%)/*Homo sapiens* IGHV3-11*05 (80.4%) -(IGHD) -IGHJ4*01 (92.9%), CDR-IMGT [8.7.17] (26-33.51-57.96-112) (1-123)) -15-mer tris(tetraglycyl-glutamyl) linker (124-138)-humanized VH anti-ALB (*Vicugna pacos* 3S3*01 (82.3%) -(IGHD) -IGHJ4*01, Q123>L (92.3%)/*Homo sapiens* IGHV3-23*01 (80.0%) -(IGHD) -IGHJ4*01 (100%), CDR-IMGT [8.7.13] (163-170.188-194.233-245) (139-256))], produced in Chinese hamster ovary (CHO) cells, cell line CHO-K1SV, non-glycosylated

tarperprumig

immunoglobuline simple chaîne VH-VH', anti-[*Homo sapiens* CFP (facteur du complément properdine, properdine)] et anti-[*Homo sapiens* ALB (albumine, sérum albumine humaine, SAH)], anticorps monoclonal humanisé, bispécifique, bivalent; simple chaîne (sc) VH-VH' (1-256) [VH anti-CFP humanisé (*Vicugna pacos* IGHV3-3*01 (81.6%) - (IGHD) -IGHJ3*01 (92.3%)/*Homo sapiens* IGHV3-11*05 (80.4%) -(IGHD) -IGHJ4*01 (92.9%), CDR-IMGT [8.7.17] (26-33.51-57.96-112) (1-123) -15-mer tris(tétraglycyl-glutamyl) linker (124-138)-VH anti-ALB humanisé (*Vicugna pacos* 3S3*01 (82.3%) -(IGHD) -IGHJ4*01, Q123>L (92.3%)/*Homo sapiens* IGHV3-23*01 (80.0%) -(IGHD) -IGHJ4*01 (100%), CDR-IMGT [8.7.13] (163-170.188-194.233-245) (139-256)]], produit dans des cellules ovarianes de hamster chinois (CHO), lignée cellulaire CHO-K1SV, non-glycosylé

tarperprumig

imunoglobulina cadena única VH-VH', anti-[*Homo sapiens* CFP (factor complemento properdina, properdina)] y anti-[*Homo sapiens* ALB (albúmina, albumina sérica humana, SAH)], anticuerpo monoclonal humanizado, biespecífico, bivalente; cadena única (sc) VH-VH' (1-256) [VH anti-CFP humanizado (*Vicugna pacos* IGHV3-3*01 (81.6%) - (IGHD) -IGHJ3*01 (92.3%)/*Homo sapiens* IGHV3-11*05 (80.4%) -(IGHD) -IGHJ4*01 (92.9%), CDR-IMGT [8.7.17] (26-33.51-57.96-112) (1-123) -15-mer tris(tetraglicil-glutamyl) linker (124-138)-VH anti-ALB humanizado (*Vicugna pacos* 3S3*01 (82.3%) -(IGHD) -IGHJ4*01, Q123>L (92.3%)/*Homo sapiens* IGHV3-23*01 (80.0%) -(IGHD) -IGHJ4*01 (100%), CDR-IMGT [8.7.13] (163-170.188-194.233-245) (139-256)]], producido en las células ováricas de hámster chino (CHO), línea celular CHO-K1SV, no glicosilado

Chain scVH-VH' / Chaîne scVH-VH' / Cadena scVH-VH'
 QVQLVESGG LVKPGSRL SCASERPVs NYAAAWFRQA PGKEREFSVA 50
 INWQKTATYA DSVKGRTIS RDNAKNNSLYL QMNSLRAEDT AVYYCAAVFR 100
 VVAPKPTQVDY DYWGQGTLVT VSSGGGGEGG GGEGGGGEVQ LLESGGGLVQ 150
 PGGSRLSCA ASGRRISSIH MAWFQAPGR ERELVSSEISR VGTVVYADSV 200
 KGRFTISRDN SKNTLYLQMN SLKPDTADAV YCNALQEYKH GGADYWGQGT 250
 LVTVSS 256

Post-translational modifications

Disulfide bridges location / Position des ponts disulfure / Posiciones de los puentes disulfuro Intra-single chain (sc) VH-VH' (C23-C104) 22-95 159-232

N-terminal glutaminyl cyclization / Cyclisation du glutaminylique N-terminal / Ciclación del glutamínico N-terminal
 Q > pyroglutamyl (pE, 5-oxoprolil) / pyroglutamyle (pE, 5-oxoprolilo) / piroglutamilo (pE, 5-oxoprolilo)
 sc VH Q1: 1

No N-glycosylation sites / pas de sites de N-glycosylation / ningún sitio de N-glicosilación

tebideutorexantum

tebideutorexant

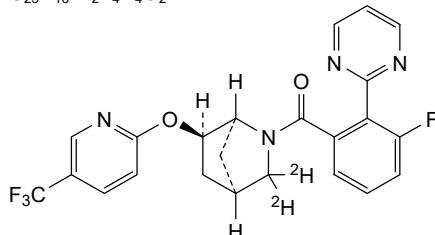
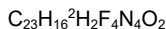
[3-fluoro-2-(pyrimidin-2-yl)phenyl][(1*S,4R,6R*)-6-[(5-(trifluoromethyl)pyridin-2-yl)oxy](3,3-²H₂)-2-azabicyclo[2.2.1]heptan-2-yl]methanone

tébideutorexant

[3-fluoro-2-(pyrimidin-2-yl)phényle][(1*S,4R,6R*)-6-[(5-(trifluorométhyl)pyridin-2-yl)oxy](3,3-²H₂)-2-azabicyclo[2.2.1]heptan-2-yl)méthanone

tebideutorexant

[3-fluoro-2-(pirimidin-2-il)fénile][(1*S,4R,6R*)-6-[(5-(trifluorometil)piridin-2-il)oxi](3,3-²H₂)-2-azabiciclo[2.2.1]heptan-2-il]metanona



tezemlimogene daxadenorepvec #

tezemlimogene daxadenorepvec recombinant conditionally replication-competent oncolytic adenovirus type 5 (Ad5) encoding human immune modulatory protein OX40 ligand (OX40L, CD252, tumor necrosis factor ligand superfamily member 4) under control of the cytomegalovirus (CMV) immediate-early promoter-enhancer and terminated with the bovine growth hormone (bGH) polyadenylation sequence. The OX40L sequence along with the CMV immediate-early promoter and bGH polyadenylation signal is inserted into the Ad5 E3 region, displacing approximately 2.69 kb of the E3 region. Genetic modification also includes a 24 bp deletion in the E1A gene and a 27 bp insertion into the fiber gene which introduces an RGD (Arg-Gly-Asp) motif.

tézemlimogène daxadénorepvec

adénovirus oncolytique de type 5 (Ad5) recombinant, conditionnellement compétent à la réplication, codant le ligand de la protéine modulatrice immunitaire humaine OX40 (OX40L, CD252, membre 4 de la superfamille du ligand du facteur de nécrose tumorale) sous le contrôle du promoteur-amplificateur précoce immédiat du cytomégalovirus (CMV) et terminé par la séquence de polyadénylation de l'hormone de croissance bovine (bGH). La séquence OX40L ainsi que le promoteur précoce immédiat du CMV et le signal de polyadénylation de la bGH sont insérés dans la région E3 d'Ad5, déplaçant environ 2,69 kb de la région E3. La modification génétique comprend également une délétion de 24 pb dans le gène E1A et une insertion de 27 pb dans le gène fibre introduisant un motif RGD (Arg-Gly-Asp).

tezemlimogén daxadenorepvec

adenovirus tipo 5 (Ad5) recombinante oncolítico condicionalmente competente para replicación que codifica para el ligando de la proteína inmunomoduladora OX40 humana (OX40L, CD52, ligando del miembro 4 de la superfamilia del factor de necrosis tumoral) bajo el control del promotor-potenciador inmediato-temprano del citomegalovirus (CMV) y terminado con la secuencia de poliadenilación de la hormona de crecimiento bovina (bGH). La secuencia de OX40L junto con el promotor inmediato-temprano de CMV y la secuencia de poliadenilación bGH están insertados en la región Ad5 E3, desplazando aproximadamente 2,69 kb de la región E3. La modificación genética también incluye una delección de 24 bp en el gen E1A y una inserción de 27 bp en el gen de la fibra que introduce un motivo RGD (Arg-Gly-Asp).

tidagixagenum derxeparvovec #

tidagixagene derxeparvovec

recombinant, self-complementary (dimeric), non-replicating adeno-associated virus serotype 9 (scAAV9) vector encoding codon-optimised human gigaxonin (giant axonal neuropathy [GAN] gene, Kelch-like protein 16) under the control of the artificial JeT promoter (built from fragments of the viral simian virus 40 [SV40] early promoter and the human beta-actin and ubiquitin C promoters), terminated by a synthetic polyadenylation sequence, and flanked by AAV2 inverted terminal repeats (ITRs).

tidagixagène derxéparvovec

vecteur recombinant, auto-complémentaire (dimère), non répliquant, du virus adéno-associé de sérotype 9 (scAAV9) codant la gigaxonine humaine aux codons optimisés (gène de la neuropathie axonale géante [GAN], protéine 16 de type Kelch) sous le contrôle du promoteur artificiel JeT (construit à partir de fragments du promoteur précoce du virus simien 40 [SV40] et des promoteurs humains de la bêta-actine et de l'ubiquitine C), terminé par une séquence de polyadénylation synthétique et flanqué de répétitions terminales inversées (ITR) d'AAV2.

tidagixagén derxeparvovec

vector de virus adenoasociado del serotipo 9 recombinante, autocomplementario (dimérico) (scAAV9), no replicativo, que codifica, con codones optimizados, para la gigaxonina humana (gen de la neuropatía axonal gigante (GAN), proteína 16 similar a Kelch) bajo el control del promotor artificial JeT (construido con fragmentos del promotor viral temprano del virus de simio 40 [SV40] y los promotores de la beta-actina humana y la ubiquitina C), terminado con una secuencia de poliadenilación sintética y flanqueado por las repeticiones terminales invertidas (ITRs) del AAV2.

tilpisertib fosmecarbilum

tilpisertib fosmecarbil

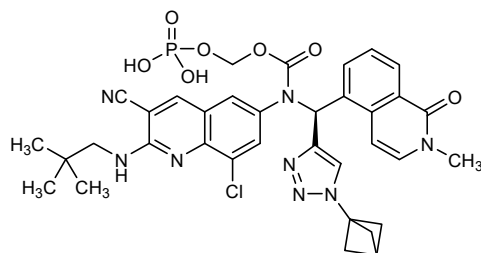
(phosphonoxy)methyl *N*-(*S*)-[1-(bicyclo[1.1.1]pentan-1-yl)-1*H*-1,2,3-triazol-4-yl](2-methyl-1-oxo-1,2-dihydroisoquinolin-5-yl)methyl]-*N*-(8-chloro-3-cyano-4-[(2,2-dimethylpropyl)amino]quinolin-6-yl)carbamate

tilpisertib fosmécarbil

N-[*(S*)-[1-(bicyclo[1.1.1]pentan-1-yl)-1*H*-1,2,3-triazol-4-yl](2-méthyl-1-oxo-1,2-dihydroisoquinoléin-5-yl)méthyl]-*N*-(8-chloro-3-cyano-4-[(2,2-diméthylpropyl)amino]quinoléin-6-yl)carbamate de (phosphonoxy)méthyle

tilpisertib fosmecarbilo

N-[*(S*)-[1-(biciclo[1.1.1]pentan-1-il)-1*H*-1,2,3-triazol-4-il](2-metil-1-oxo-1,2-dihidroisoquinolein-5-il)metil]-*N*-(3-ciano-8-cloro-4-[(2,2-dimetilpropil)amino]quinolein-6-il)carbamato de (fosfonooxi)metilo



tinlorafenib

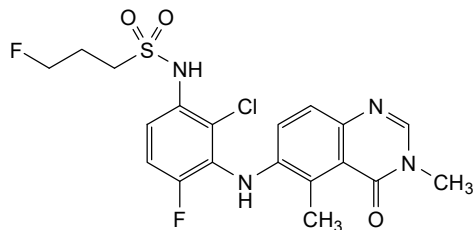
tinlorafenib *N*-(2-chloro-3-[(3,5-dimethyl-4-oxo-3,4-dihydroquinazolin-6-yl)amino]-4-fluorophenyl)-3-fluoropropane-1-sulfonamide

tinlorafénib

N-(2-chloro-3-[(3,5-diméthyl-4-oxo-3,4-dihydroquinazolin-6-yl)amino]-4-fluorophényl)-3-fluoropropane-1-sulfonamide

tinlorafenib

N-(2-cloro-3-[(3,5-dimetil-4-oxo-3,4-dihidroquinazolin-6-il)amino]-4-fluorofenil)-3-fluoropropano-1-sulfonamida



tobermstomigum #

tobemstomig

immunoglobulin G1-kappa with crossed domains, anti-[*Homo sapiens* PDCD1 (programmed cell death 1, PD1, PD-1, CD279)] and anti-[*Homo sapiens* LAG3 (lymphocyte activating 3, lymphocyte-activation 3, CD223)], humanized monoclonal antibody, bispecific; gamma1 heavy chain with crossed V-kappa anti-PDCD1 (1-443) [V-KAPPA humanized (*Homo sapiens* IGKV4-1*01 (82.2%) -IGKJ1*01 (100%), CDR-IMGT) [10.3.9] (27-36.54-56.93-101) (1-111) -2-mer biseryl linker (112-113) -*Homo sapiens* IGHG1*01, G1m17.1, G1v14-49 CH2 A1.3, A1.2, G114, G1v32 CH3 W22 (knob) (CH1 K120 (210) (114-211), hinge 1-15 (212-226), CH2 L1.3>A (230), L1.2>A (231), P114>G (325) (227- 336), CH3 D12 (352), L14 (354), S10>C (350), T22>W (362) (337- 441), CHS (442-443)) (112-443)], (216-227')-disulfide with kappa light chain with crossed VH anti-PDCD1 (1'-227') [VH humanized (*Homo sapiens*IGHV3-23*01 (90.6%) -(IGHD) -IGHJ5*01 (92.9%), CDR-IMGT [8.8.13] (26-33.51-58.97-109)) (1'-120') -*Homo sapiens* IGKC*01 (99.1%), R1.5>A (121), T1.4>S (122), Km3 A45.1 (166), V101 (204) (121'-227')]; gamma1 heavy chain

		anti-LAG3 (1"-451") [VH humanized (<i>Homo sapiens</i> IGHV3-23*01 (86.7%) -(IGHD) -IGHJ4*01 (100%), CDR-IMGT [8.8.14] (26-33.51-58.97-110)) (1"-121") - <i>Homo sapiens</i> IGHG1*01, G1m17,1, G1v14-49 CH2 A1.3, A1.2, G114, G1v33 CH3 S22, A24, V86 (hole) (CH1 K26>E (151), K119>E (217), K120 (218) (122"-219"), hinge 1-15 (220"-234"), CH2 L1.3>A (238), L1.2>A (239), P114>G (333) (235"-344"), CH3 D12 (360), L14 (362), Y5>C (353), T22>S (370), L24>A (372), Y86>V (411) (345"-449"), CHS (450"-451")) (122"-451")], (224"-214")-disulfide with kappa light chain anti-LAG3 (1"-214") [<i>Homo sapiens</i> V-KAPPA (IGKV1D-39*01 (96.8%) -IGKJ4*01 (100%)) [6.3.9], CDR-IMGT (27-32.50-52.89-97) (1"-107") - <i>Homo sapiens</i> IGKC*01 (98.1%), E12>R (123), Q13>K (124) (108"-214")]; dimer (222-230":225-233":350-353")-trisdisulfide, produced in Chinese hamster ovary (CHO) cells, derived from the cell line CHO-K1, glycoform alfa
tobemstomig		immunoglobuline G1-kappa avec domaines croisés, anti-[<i>Homo sapiens</i> PDCD1 (protéine 1 de mort cellulaire programmée, PD-1, PD1, CD279)] et anti-[<i>Homo sapiens</i> LAG3 (activateur 3 des lymphocytes, lymphocyte-activation 3, CD223)], anticorps monoclonal humanisé, biespécifique; chaîne lourde gamma1 à V-kappa croisé anti-PDCD1 (1-443) [V-KAPPA humanisé (<i>Homo sapiens</i> IGKV4-1*01 (82.2%) -IGKJ1*01 (100%), CDR-IMGT [10.3.9] (27-36.54-56.93-101)) (1-111) -2-mer biséryl linker (112-113) - <i>Homo sapiens</i> IGHG1*01, G1m17,1, G1v14-49 CH2 A1.3, A1.2, G114, CH2 G1v32 CH3 W22 (knob) (CH1 K120 (210) (114-211), charnière 1-15 (212-226), CH2 L1.3>A (230), L1.2>A (231), P114>G (325) (227- 336), CH3 D12 (352), L14 (354), S10>C (350), T22>W (362)] (337- 441), CHS (442-443)) (112-443)], (216-227")-disulfure avec la chaîne légère kappa à VH croisé anti-PDCD1 (1"-227') [VH humanisé (<i>Homo sapiens</i> IGHV3-23*01 (90.6%) -(IGHD) -IGHJ5*01 (92.9%), CDR-IMGT [8.8.13] (26-33.51-58.97-109)) (1'-120') - <i>Homo sapiens</i> IGKC*01 (99.1%), R1.5>A (121), T1.4>S (122), Km3 A45.1 (166), V101 (204) (121"-227")]; chaîne lourde gamma1 anti-LAG3 (1"-451") [VH humanisé (<i>Homo sapiens</i> IGHV3-23*01 (86.7%) -(IGHD) -IGHJ4*01 (100%), CDR-IMGT [8.8.14] (26-33.51-58.97-110)) (1"-121") - <i>Homo sapiens</i> IGHG1*01, G1m17,1, G1v14-49 CH2 A1.3, A1.2, G114, G1v33 CH3 S22, A24, V86 (hole) (CH1 K26>E (151), K119>E (217), K120 (218) (122"-219"), charnière 1-15 (220"-234"), CH2 L1.3>A (238), L1.2>A (239), P114>G (333) (235"-344"), CH3 D12 (360), L14 (362), Y5>C (353), T22>S (370), L24>A (372), Y86>V (411)] (345"-449"), CHS (450"-451")) (122"-451")], (224"-214")-disulfure avec la chaîne légère kappa anti-LAG3 (1"-214") [<i>Homo sapiens</i> V-KAPPA (IGKV1D-39*01 (96.8%) -IGKJ4*01 (100%)) [6.3.9], CDR-IMGT (27-32.50-52.89-97) (1"-107") - <i>Homo sapiens</i> IGKC*01 (98.1%), E12>R (123), Q13>K (124) (108"-214")]; dimère (222-230":225-233":350-353")-trisdisulfure, produit dans des cellules ovarianas de hamster chino (CHO), derivando de la lignée celular CHO-K1, glycoform alfa
tobemstomig		inmunoglobulina G1-kappa con dominios cruzados, anti-[<i>Homo sapiens</i> PDCD1 (proteína 1 de muerte celular programada, PD-1, PD1, CD279)] y anti-[<i>Homo sapiens</i> LAG3 (activador 3 de los linfocitos, linfocito-activación 3, CD223)], anticuerpo monoclonal humanizado, biespecífico; cadena pesada gamma1 con V-kappa cruzada anti-PDCD1 (1-443) [V-KAPPA humanizado (<i>Homo sapiens</i> IGKV4-1*01 (82.2%) -IGKJ1*01 (100%), CDR-IMGT [10.3.9] (27-36.54-56.93-101)) (1-111) -2-mer biséryl linker (112-113) - <i>Homo sapiens</i> IGHG1*01, G1m17,1, G1v14-49 CH2 A1.3, A1.2, G114, CH2 G1v32 CH3 W22 (knob) (CH1 K120 (210) (114-211), bisagra 1-15 (212-226), CH2 L1.3>A (230), L1.2>A (231), P114>G (325) (227- 336), CH3 D12 (352), L14 (354), S10>C (350), T22>W (362)] (337- 441), CHS (442-443)) (112-443)], (216-227")-disulfuro con la

cadena ligera kappa con VH cruzado anti-PDCD1 (1'-227') [VH humanizado (*Homo sapiens* IGHV3-23*01 (90.6%) -(IGHD) -IGHJ5*01 (92.9%), CDR-IMGT [8.8.13] (26-33.51-58.97-109)) (1'-120') -*Homo sapiens* IGKC*01 (99.1%), R1.5>A (121), T1.4>S (122), Km3 A45.1 (166), V101 (204) (121'-227')]; cadena pesada gamma1 anti-LAG3 (1"-451") [VH humanizado (*Homo sapiens* IGHV3-23*01 (86.7%) -(IGHD) -IGHJ4*01 (100%), CDR-IMGT [8.8.14] (26-33.51-58.97-110)) (1"-121") -*Homo sapiens* IGHG1*01, G1m17.1, G1v14-49 CH2 A1.3, A1.2, G114, G1v33 CH3 S22, A24, V86 (hole) (CH1 K26>E (151), K119>E (217), K120 (218) (122"-219"), bisagra 1-15 (220"-234"), CH2 L1.3>A (238), L1.2>A (239), P114>G (333) (235"-344"), CH3 D12 (360), L14 (362), Y5>C (353), T22>S (370), L24>A (372), Y86>V (411) (345"-449"), CHS (450"-451")) (122"-451")], (224"-214")-disulfuro con la cadena ligera kappa anti-LAG3 (1""-214") [*Homo sapiens* V-KAPPA (IGKV1D-39*01 (96.8%) -IGKJ4*01 (100%)) [6.3.9], CDR-IMGT (27-32.50-52.89-97) (1""-107") -*Homo sapiens* IGKC*01 (98.1%), E12>R (123), Q13>K (124) (108"-214")]; dímero (222-230":225-233":350-353")-tridisulfuro, producido en las células ováricas de hámster chino (CHO), línea celular derivada de CHO-K1, forma glicosilada alfa

Heavy chain / Chaîne lourde / Cadena pesada : anti-PDCD1 crossed V-kappa (H)
 DIVMTQSPDLS LAVSGLERAT INCKAESVTD SDNSFIHWY QQKPGGSPKL 50
 LIYRSSTLES GVPDREFGSSG SGTDEFTLIS SLQAEDAVY YCQONYDWPW 100
 TFGGGTKEI KSSASTKGPSV VFPLPSSKS TSGGTAALGC LVKDYFPEV 150
 TVSNNSGALT SGVHTPAVL QSSGLYSLSS VTVTPESSLG TOTYICNVNH 200
 KPSNTKVDKKE VEPKSCDKTH TCCPCPAPEA AGGSPVLFPP PKPKDTLPMIS 250
 RTEPVTCVVV DVSHEDPEVW FNWYVDDGVEV HNARTKPREEE QYNSTYRVVS 300
 VLTVLHQDWL NGKEYKCKVSV ASVAASPVFI FFPSPDEQLKS GTASVUCLIN 350
 RDELTKNQVS LWCLVKGFYPP SDIAVENEWSN QOPENNYKTT PPVLDSDFG 400
 FLYSKLTVDK SRWNQGNVFS CSVMHEALHN HYTQKSLSLS PGK 443

Light chain / Chaîne légère / Cadena ligera : anti-PDCD1 crossed VH (L')
 EVQILLESGGG LVQPQGSSLRL SCAASGFFSD SYTMSWWRQA PGKGLEWVAT 50
 ISGGGRDIYV PDSVKGRFTI SRDNNSKNTLY LQMNSLRAED TAVIYCVLLT 100
 GRVYFALDSW GQGTLVTVS ASVAASPVFI FFPSPDEQLKS GTASVUCLIN 150
 NFYFREAKVQ WKVNDAALQSG NSQESVTEQD SKDSTYSLSS TTLSLRADYE 200
 HQKVYACEVQF HQGLSSPVT SFRNGEC 227

Heavy chain / Chaîne lourde / Cadena pesada : anti-LAG3 (H")
 EVQILLESGGG LVQPQGSSLRL SCAASGFFSD DYTMMNWWRQA PGKGLEWVAV 50
 ISWDGGGTYY TDWSVKGRFTI SRDFFKNTLY LQMNSLRAED TAVIYCAKGL 100
 TDTTLGYSDW WGGTTLVTVS SASTKGPSV PLAPSKSTS GGTAALGCLV 150
 EDYFPEPVTV SNWSGALTSG VHTTFPAVLQG SGLYSLSSV TFVFSSSLTG 200
 TYICNVNHKRP SNTVKDEKVKW PKSCDKTHTC PFCPAAEAG GPSVFLFPFK 250
 PKDTLMISR T PEVTCVVVDV SHDEPEVKFN WYVDGVEVHN AKTKPREEQY 300
 NSTYRVVSVL TVLHQDWLNG KEYKCKVSNK ALGAPIEKTI SKAKGPREP 350
 QVCLPFSRD ELTKNQVSL CAVKGFYPSD IAWEWESNGO PENNYKTTTP 400
 VLDSDGSSFL VSKLTVTDKSR WQQGNVFSCS VMHEALHNHY TQKSLSLSPG 450
 K 451

Light chain / Chaîne légère / Cadena ligera : anti-LAG-3 (L") [6]:
 DJQMTQSPSS LSASVGDRVT ITCRASQSI SYLNWYQKQP GKAPKLLIYA 50
 ASTLQSGVPSS RFSGSGSSGTD FTLTISLQP EDFATYYCQQ TYSSPLTFGG 100
 GTKVBIKRTV AAESPVFIFPP SDRKLKSGTA SVVCLLNNFI PREAKVQWKV 150
 DNAIQLQGSNSQ ESVTEQDSKD STYSLSLT LSKADYEHKK VYACEVTHQG 200
 LSSEFVTKSFE RGECE 214

Post-translational modifications

Disulfide bridges location / Position des ponts disulfure / Posiciones de los puentes disulfuro
 Intra-H (C23-C104) 23-92 140-196 257-317 363-421
 22"-96" 148"-204" 265"-325" 371"-429"
 Intra-L (C23-C104) 22"-96" 147-207
 23"-88" 134"-194"
 Inter-H-L (h 5-CL 126) 216-227" 224"-214"
 Inter-H-H (h 11, h 14) 222-230" 225-233" (engineered) 350-353"

N-glycosylation sites / Sites de N-glycosylation / Posiciones de N-glicosilación
 H CH2 N84.4: 293, 301"
 Fucosylated complex bi-antennary CHO-type glycans / glycanes de type CHO bi-antennaires complexes fucosylés / glicanos de tipo CHO biantenarios complejos fucosilados.

tobevibartum #

tobevibart

immunoglobulin G1-lambda, anti-[HBV (hepatitis B virus) surface envelope protein], *Homo sapiens* monoclonal antibody; gamma1 heavy chain *Homo sapiens* (1-449) [VH (*Homo sapiens* IGHV3-7*01 (85.6%) -(IGHD) - IGHJ6*01 (93.3%)) [8.8.12] (26-33.51-58.97-108) (1-119) -*Homo sapiens* IGHG1*01, G1m17,1, G1v45 CH2 A1.1, L115, E117, G1v24 CH3 L107, S114 (CH1 K120 (216) (120-217), hinge 1-15 (218-232), CH2 G1.1>A (238), A115>L (332), I117>E (334) (233-342), CH3 D12 (358), L14 (360), M107>L (430), N114>S (436) (343-447), CHS (448-449)) (120-449)], (222-211')-disulfide with lambda light chain *Homo sapiens* (1'-212') [V-LAMBDA (*Homo sapiens* IGLV3-1*01 (81.9%) -IGLJ2*01 (91.7%)) [6.3.9] (26-31.49-51.88-96) (1'-106') -*Homo sapiens* IGLC2*01 (100%) (107'-212')]; dimer (228-228":231-231")-bisdisulfide, produced in Chinese hamster ovary (CHO) cells, cell line CHO-K1, glycoform alfa

tobévibart

immunoglobuline G1-lambda, anti-[protéine d'enveloppe de surface du HBV (virus de l'hépatite B)], anticorps monoclonal *Homo sapiens*; chaîne lourde gamma1 *Homo sapiens* (1-449) [VH (*Homo sapiens* IGHV3-7*01 (85.6%) -(IGHD) - IGHJ6*01 (93.3%)) [8.8.12] (26-33.51-58.97-108) (1-119) -*Homo sapiens* IGHG1*01, G1m17,1, G1v45 CH2 A1.1, L115, E117, G1v24 CH3 L107, S114 (CH1 K120 (216) (120-217), charnière 1-15 (218-232), CH2 G1.1>A (238), A115>L (332), I117>E (334) (233-342), CH3 D12 (358), L14 (360), M107>L (430), N114>S (436) (343-447), CHS (448-449)) (120-449)], (222-211')-disulfure avec la chaîne légère lambda *Homo sapiens* (1'-212') [V-LAMBDA (*Homo sapiens* IGLV3-1*01 (81.9%) -IGLJ2*01 (91.7%)) [6.3.9] (26-31.49-51.88-96) (1'-106') -*Homo sapiens* IGLC2*01 (100%) (107'-212')]; dimère (228-228":231-231")-bisdisulfure, produit dans des cellules ovariennes de hamster chinois (CHO), lignée cellulaire CHO-K1, glycoforme alfa

tobevibart

inmunoglobulina G1-lambda, anti-[proteína de envoltura de superficie del HBV (virus de la hepatitis B)], anticuerpo monoclonal *Homo sapiens*; cadena pesada gamma1 *Homo sapiens* (1-449) [VH (*Homo sapiens* IGHV3-7*01 (85.6%) -(IGHD) - IGHJ6*01 (93.3%)) [8.8.12] (26-33.51-58.97-108) (1-119) -*Homo sapiens* IGHG1*01, G1m17,1, G1v45 CH2 A1.1, L115, E117, G1v24 CH3 L107, S114 (CH1 K120 (216) (120-217), bisagra 1-15 (218-232), CH2 G1.1>A (238), A115>L (332), I117>E (334) (233-342), CH3 D12 (358), L14 (360), M107>L (430), N114>S (436) (343-447), CHS (448-449)) (120-449)], (222-211')-disulfuro con la cadena ligera lambda *Homo sapiens* (1'-212') [V-LAMBDA (*Homo sapiens* IGLV3-1*01 (81.9%) -IGLJ2*01 (91.7%)) [6.3.9] (26-31.49-51.88-96) (1'-106') -*Homo sapiens* IGLC2*01 (100%) (107'-212')]; dímero (228-228":231-231")-bisdisulfuro, producido en las células ováricas de hámster chino (CHO), línea celular CHO-K1, forma glicosilada alfa

Heavy chain / Chaîne lourde / Cadena pesada
 ELQLVESGG WVQPGGSQRL SCAASGRIFR SFYMSWVRQA PGKGLEWVAT 50
 INQDGSEKLY VDSVKGRFTI SRDNANRSLF LQMNNLREVD TAVVYCAAWA 100
 GNSGGMDWVG QGTTVSVSSA STGCPSPVFL APFSKSTSGG TAALGCLVKD 150
 YFFPEPVTVS NSGALTSGVH TTFPAVLTQSSA LYSLLSVVTV PSSSLGTQTY 200
 ICNVNHHKPSN TKVDKVPKP SCDFKTHTCP CPAPPELLAGP SVFLFPKPK 250
 DTMISIRTP E VCVCVVVDSH EDEPEVKFNWVY VGVEVHNAK TKPREEQYNH 300
 TYRPPSVLTV LHQDWLNKE YKCKVSNKAL PLPEEKTIKSK AKQGPREPOV 350
 YTLPPSRDEL TKNQVSLTCL VKGFYPSDIA VEWESENQPE NYKTTTPPV 400
 DSDGSFFFLYS KLTVDKSRWQ QGNVFSCVSL HEALHSHYTQ KSLSLSPKG 449

Light chain / Chaîne légère / Cadena ligera
 SYELTQPPSV SVSPGQTWSI PCGGLDKGNK NVAWFQHQHPG QSPVLVIYEV 50
 KYRPSPGIPER FSGNSNGNTA TLITISGTQAM DEAAYFCQTF DSTTVVFGGG 100
 TRLTVLGQPPE AAPSVTLFPF SSEELQANKA TLVCLISDFY PGAVTVANKA 150
 DSSPVKAGVTE TTTPSKQSNN KYAASSYLSL TPEQWKSHRS YSCQVTHEGS 200
 TEVEKTVPATE CS 212

Post-translational modifications

Disulfide bridges location / Position des ponts disulfure / Posiciones de los puentes disulfuro

Intra-H (C23-C104) 22.-96 146.-202 263.-323 369.-427
22"-96" 146"-202" 263"-323" 369"-427"

Intra-L (C23-C104) 22.-87 134.-193"

22"-87" 134"-193"

Inter-H-L (h 5-CL 126) 222.-211" 222"-211"

Inter-H-H (h 11, h 14) 228.-228" 231.-231"

N-glycosylation sites / Sites de N-glycosylation / Posiciones de N-glicosilación

H CH₂ N84:4; 299, 299"

Fucosylated complex bi-antennary CHO-type glycans / glycanes de tipo CHO bi-antennarios complejos fucosilados

C-terminal lysine clipping / Coupure de la lysine C-terminale / Recorte de lisina C-terminal
H CHS K2: 449, 449"**tonlamarsenum**
tonlamarsen

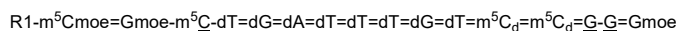
all-P-ambo-5'-O-(28-[(2-acetamido-2-deoxy-β-D-galactopyranosyl)oxy]-16,16-bis{[3-((6-[(2-acetamido-2-deoxy-β-D-galactopyranosyl)oxy]hexyl)amino)-3-oxopropoxy)methyl}-1-hydroxy-1,10,14,21-tetraoxo-2,18-dioxa-9,15,22-triaza-1λ⁵-phosphoactacosan-1-yl]-2'-O-(2-methoxyethyl)-5-methyl-P-thiocytidylyl-(3'→5')-2'-O-(2-methoxyethyl)guanylyl-(3'→5')-2'-O,4'-C-[(1S)-ethane-1,1-diyl]-5-methylcytidylyl-(3'→5')-P-thiothymidylyl-(3'→5')-2'-deoxy-P-thioguanlyl-(3'→5')-2'-deoxy-P-thioadenylyl-(3'→5')-P-thiothymidylyl-(3'→5')-P-thiothymidyl-(3'→5')-2'-deoxy-P-thioguanlyl-(3'→5')-P-thiothymidyl-(3'→5')-2'-deoxy-5-methyl-P-thiocytidylyl-(3'→5')-2'-O,4'-C-[(1S)-ethane-1,1-diyl]guanylyl-(3'→5')-2'-O,4'-C-[(1S)-ethane-1,1-diyl]-P-thioguanlyl-(3'→5')-2'-O-(2-methoxyethyl)guanosine

tonlamarsen

tout-P-ambo-5'-O-(28-[(2-acétamido-2-désoxy-β-D-galactopyranosyl)oxy]-16,16-bis{[3-((6-[(2-acétamido-2-désoxy-β-D-galactopyranosyl)oxy]hexyl)amino)-3-oxopropoxy)méthyl}-1-hydroxy-1,10,14,21-tetraoxo-2,18-dioxa-9,15,22-triaza-1λ⁵-phosphoactacosan-1-yl]-2'-O-(2-méthoxyéthyl)-5-méthyl-P-thiocytidylyl-(3'→5')-2'-O-(2-méthoxyéthyl)guanylyl-(3'→5')-2'-O,4'-C-[(1S)-éthane-1,1-diyl]-5-méthylcytidylyl-(3'→5')-P-thiothymidylyl-(3'→5')-2'-désoxy-P-thioguanlyl-(3'→5')-2'-désoxy-P-thioadényl-(3'→5')-P-thiothymidyl-(3'→5')-P-thiothymidyl-(3'→5')-2'-désoxy-P-thioguanlyl-(3'→5')-P-thiothymidyl-(3'→5')-2'-désoxy-5-méthyl-P-thiocytidylyl-(3'→5')-2'-O,4'-C-[(1S)-éthane-1,1-diyl]guanylyl-(3'→5')-2'-O,4'-C-[(1S)-éthane-1,1-diyl]-P-thioguanlyl-(3'→5')-2'-O-(2-méthoxyéthyl)guanosine

tonlamarsén

todo-P-ambo-5'-O-(28-[(2-acetamido-2-desoxi-β-D-galactopiranosil)oxi]-16,16-bis[[3-[(6-[(2-acetamido-2-desoxi-β-D-galactopiranosil)oxi]hexil)amino)-3-oxopropoxi]metil]-1-hidroxi-1,10,14,21-tetraoxo-2,18-dioxa-9,15,22-triaza-1λ⁵-fosfaoctacosan-1-il)-5-metil-2'-O-(2-metoxietil)-P-tiocitidilil-(3'→5')-2'-O-(2-metoxietil)guanilil-(3'→5')-2'-O,4'-C-[(1S)-etano-1,1-diil]-5-metilcitidilil-(3'→5')-P-tiotimidilil-(3'→5')-2'-desoxi-P-tioguanilil-(3'→5')-2'-desoxi-P-tioadenilil-(3'→5')-P-tiotimidilil-(3'→5')-P-tiotimidilil-(3'→5')-2'-desoxi-5-metil-P-tiocitidilil-(3'→5')-2'-O,4'-C-[(1S)-etano-1,1-diil]guanilil-(3'→5')-2'-O,4'-C-[(1S)-etano-1,1-diil]-P-tioguanilil-(3'→5')-2'-O-(2-metoxietil)guanosine

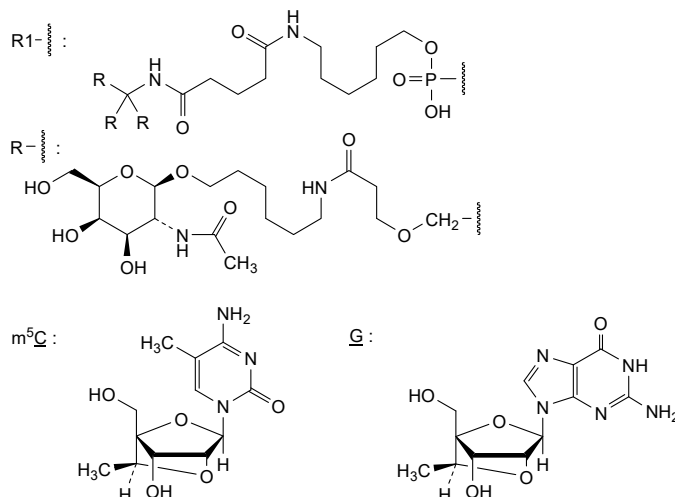


N : nucleoside / nucléoside / nucleósido

 $m^5\text{N}$: 5-methyl-N / 5-méthyl-N / 5-metil-N dN & N_d : 2'-deoxy-N / 2'-désoxy-N / 2'-desoxi-N

Nmoe : 2'-O-(2-methoxyethyl)-N / 2'-O-(2-méthoxyéthyl)-N / 2'-O-(2-metoxietil)-N

- : -PO(OH)- ; = : -PS(OH)-

**torulimogenum lonferencelum #**

torulimogene lonferencel

irradiated human embryonic kidney cells (cell line HEK293) transfected with three self-inactivating, non-replicating lentiviral vectors individually expressing (i) codon-optimised Wilms tumour protein 1 (WT1) isoform D, (ii) codon-optimised cluster of differentiation 1d (CD1d), and (iii) a codon-optimised reverse tetracycline-controlled transactivator (rtTA), a fusion protein of the TetR repressor and the herpes simplex virus VP16 transactivation domain. Expression of both CD1d and rtTA is controlled by the cytomegalovirus immediate early (CMV IE) promoter; expression of WT1 is controlled by an inducible Tet responsive promoter (TRE). Each lentivirus vector also contains a packaging signal (Ψ), a Rev-response element (RRE), a central polypurine tract/central termination sequence (cPPT/CTS) and a Woodchuck hepatitis virus posttranscriptional regulatory element (WPRE), and are flanked by a 5' long terminal repeat (LTR) and a 3' self-inactivating long

terminal repeat (SIN-LTR). Colonies of transfected cells (expression of CD1d) were established as a Master cell bank (MCB). For the drug substance, cells are expanded and then doxycycline added to induce WT1 in the presence of α -galactosylceramide (α -GalCer), which binds to CD1d forming a CD1d/ α -GalCer complex on the cell surface. Finally, the cells are subject to X-ray irradiation. The cells express CD1d (>90%) and intracellular WT1 and the ratio of Cd1d to α -GalCer is determined.

torulimogène lonférencel

cellules rénales embryonnaires humaines irradiées (lignée cellulaire HEK293) transfectées avec trois vecteurs lentiviraux auto-inactivants et non répliquants exprimant individuellement (i) l'isoforme D de la protéine 1 de la tumeur de Wilms (WT1) aux codons optimisés, (ii) le cluster (groupe) de différenciation 1d (CD1d) aux codons optimisés, et (iii) un transactivateur inverse contrôlé par la tétracycline (rtTA) aux codons optimisés, une protéine de fusion du répresseur TetR et le domaine de transactivation VP16 du virus de l'herpès simplex. L'expression de CD1d et de rtTA est contrôlée par le promoteur immédiat précoce du cytomégalovirus (CMV IE); l'expression de WT1 est contrôlée par un promoteur inducible répondant à Tet (TRE). Chaque vecteur lentivirus contient également un signal d'encapsulation (Ψ), un élément de réponse Rev (RRE), un tractus polypurine central/séquence de terminaison centrale (cPPT/CTS) et un élément de régulation post-transcriptionnel du virus de l'hépatite de marmotte (WPRE), et est flanqué d'une longue répétition terminale en 5' (LTR) et d'une longue répétition terminale auto-inactivante en 3' (SIN-LTR). Des colonies de cellules transfectées (expression de CD1d) ont été établies en tant que banque cellulaire primaire (MCB). Pour la substance médicamenteuse, les cellules sont amplifiées, puis de la doxycycline est ajoutée pour induire WT1 lors de la présence de α -galactosylceramide (α -GalCer), qui se lie à CD1d en formant un complexe CD1d/ α -GalCer à la surface des cellules. Enfin, les cellules sont soumises à une irradiation aux rayons X. Les cellules expriment CD1d (>90%) et WT1 intracellulaire et le rapport de Cd1d à α -GalCer est déterminé.

torulimogén lonferencel

células de riñón embrionario humano (línea celular HEK293) irradiadas, transfectadas con tres vectores lentivirales auto-inactivantes, no replicativos que individualmente expresan (i) la isoforma D de la proteína 1 del tumor de Wilms (WT1), con codones optimizados, (ii) el grupo de diferenciación 1d (CD1d), con codones optimizados y (iii) un transactivador controlado por tetraciclina inverso (rtTA), con codones optimizados, una proteína de fusión del represor TetR y el dominio de transactivación VP16 del virus del herpes simplex. La expresión de CD1d y rtTA está controlada por el promotor inmediato temprano del citomegalovirus (CMV IE); la expresión de WT1 está controlada por un promotor inducible que responde a Tet (TRE). Cada vector de lentivirus contiene también una señal de empaquetamiento (Ψ), un elemento de respuesta Rev (RRE), una secuencia de tracto de poli-purina central /secuencia de terminación central (cPPT/CTS) y un elemento regulador post-transcripcional del virus de la hepatitis de la marmota (WPRE), y está flanqueado por una repetición terminal larga en 5' (LTR) y una repetición terminal larga auto-inactivante en 3' (SIN-LTR).

Se establecieron colonias de células transfectadas (con expresión de CD1d) como un banco de células maestro (MCB). Para el principio activo, las células se expanden y después se añade doxiciclina para inducir WT1 en presencia de α -galactosilceramida (α -GalCer), que se une a CD1d para formar el complejo CD1d/ α -GalCer en la superficie celular. Finalmente, las células se someten a irradiación con rayos X. Las células expresan CD1d (>90%) y WT1 intracelular y se determina la ratio de Cd1D a α -GalCer.

trastuzumab imbotolimod #

trastuzumab imbotolimod

immunoglobulin G1-kappa, anti-[*Homo sapiens* ERBB2 (epidermal growth factor receptor 2, receptor tyrosine-protein kinase erbB-2, EGFR2, HER2, HER-2, p185c-erbB2, NEU, CD340)], humanized monoclonal antibody, conjugated to *imbotolimod*, comprising a linker and a derivative of *telratolimod*; gamma1 heavy chain humanized (1-449) [VH (*Homo sapiens*IGHV3-66*01 (81.6%) -(IGHD)-IGHJ4*01 (100%), CDR-IMGT [8.8.13] (26-33.51-58.97-109)) (1-120) -*Homo sapiens*IGHG1*03v, G1m3>G1m17, nG1m1 (CH1 R120>K (217) (121-218), hinge 1-15 (219-233), CH2 (234-343), CH3 E12 (359), M14 (361) (344-448), CHS K2>del (449)) (223-214')-disulfide with kappa light chain humanized (1'-214') [V-KAPPA (*Homo sapiens*IGKV1-39*01 (86.3%) -IGKJ1*01 (100%), CDR-IMGT [6.3.9] (27-32.50-52.89-97)) (1'-107') -*Homo sapiens*IGKC*01 (100%), Km3 A45.1 (153), V101 (191) (108'-214')]; dimer (229-229":232-232")-bisdisulfide, produced in Chinese hamster ovary (CHO) cells, glycoform alfa, conjugated at N⁶ of an average of 2.5 lysyl residues with 1-[4-(4-amino-2-butyl-1*H*-imidazo[4,5-*c*]quinolin-8-yl)piperazin-1-yl]-3,6,9,12,15,18,21,24,27,30-decaoxatritriacontan-33-oyl (*imbotolimod*) groups

trastuzumab imbotolimod

immunoglobuline G1-kappa, anti-[*Homo sapiens* ERBB2 (récepteur 2 du facteur de croissance épidermique, récepteur tyrosine-protéine kinase erbB-2, EGFR2, HER2, HER-2, p185c-erbB2, NEU, CD340)], anticorps monoclonal humanisé, conjugué à l'*imbotolimod*, comprenant un linker et un dérivé du *telratolimod*; chaîne lourde gamma1 humanisée (1-449) [VH (*Homo sapiens*IGHV3-66*01 (81.6%) -(IGHD)-IGHJ4*01 (100%), CDR-IMGT [8.8.13] (26-33.51-58.97-109)) (1-120) -*Homo sapiens*IGHG1*03v, G1m3>G1m17, nG1m1 (CH1 R120>K (217) (121-218), charnière 1-15 (219-233), CH2 (234-343), CH3 E12 (359), M14 (361) (344-448), CHS K2>del (449)) (223-214')-disulfure avec la chaîne légère kappa humanisée (1'-214') [V-KAPPA (*Homo sapiens*IGKV1-39*01 (86.3%) -IGKJ1*01 (100%), CDR-IMGT [6.3.9] (27-32.50-52.89-97)) (1'-107') -*Homo sapiens*IGKC*01 (100%), Km3 A45.1 (153), V101 (191) (108'-214')]; dimère (229-229":232-232")-bisdisulfure, produit dans des cellules ovarianes de hamster chinois (CHO), glycoforme alfa, conjugué en N⁶ d'une moyenne de 2,5 résidus lysyle avec des groupes 1-[4-(4-amino-2-butyl-1*H*-imidazo[4,5-*c*]quinoléin-8-yl)piperazin-1-yl]-3,6,9,12,15,18,21,24,27,30-décaoxatritriacontan-33-oyle (*imbotolimod*)

trastuzumab imbotolimod

inmunoglobulina G1-kappa, anti-[*Homo sapiens* ERBB2 (receptor 2 del factor de crecimiento epidémico, receptor tirosina-proteína kinasa erbB-2, EGFR2, HER2, HER-2, p185c-erbB2, NEU, CD340)], anticuerpo monoclonal humanizado, conjugado con *imbotolimod*, que comprende un linker y un derivado del *telratolimod*;

cadena pesada gamma1 humanizada (1-449) [VH (*Homo sapiens* IGHV3-66*01 (81.6%) -(IGHD) - IGHJ4*01 (100%), CDR-IMGT [8.8.13] (26-33.51-58.97-109)) (1-120) -*Homo sapiens* IGHG1*03v, G1m3>G1m17, nG1m1 (CH1 R120>K (217) (121-218), bisagra 1-15 (219-233), CH2 (234-343), CH3 E12 (359), M14 (361) (344-448), CHS K2>del (449)) (121-449)], (223-214')-disulfuro con la cadena ligera kappa humanizada (1'-214') [V-KAPPA (*Homo sapiens* IGKV1-39*01 (86.3%) -IGKJ1*01 (100%), CDR-IMGT [6.3.9] (27-32.50-52.89-97)) (1'-107') -*Homo sapiens* IGKC*01 (100%), Km3 A45.1 (153), V101 (191) (108-214')]; dimère (229-229":232-232")-bisdisulfuro, producido en las células ováricas de hámster chino (CHO), forma glicosilada alfa, conjugado en N° de un promedio de 2,5 residuos de lisilo con grupos 1-[4-(4-amino-2-butil-1*H*-imidazo[4,5-*c*]quinolein-8-il)piperazin-1-il]-3,6,9,12,15,18,21,24,27,30-decaoxatritriacontan-33-oilo (*imbotolimod*)

Heavy chain / Chaîne lourde / Cadena pesada
 EVQLVESGGG LVQPGGSLRL SCAASGFNIK DTYIHWVRQA PGKGLEWVAR 50
 IYPTNGYTRY ADSDKGRFTI SADTSKNTAY LQMNLSLRAED TAVYVCSWRG 100
 GDGFYAMDWY QGGTLVTVSS ASTKGSVFP LAPSSKSTSG GTAALCCLVK 150
 DYFFPEPVTVS WNSGALTSGV HTFPVAQLSS GLYSLSSSVVT VPSSSLGTQT 200
 YICNVNNHKPS NTKVDDKKVEP KSCDKTHTCP PCPAPELLGG PSVFLFPKP 250
 KDTLMISRTP ETVCVVVDVS HEDPEVKFNW YVDGVEVHNA KTKPREEQYN 300
 STYRVRVSVLT VLHQDWLNGK EYCKVKSNAKA LPAPIEKITIS KAKGQPREQP 350
 VYTLPSPSREE MTKNQVSLTC LVKGFPYPSDI AVEWEWSNGQP ENNYKTTTPV 400
 LDSDGSFFLY SKLTVDKSRW QQGNVFSCSV MHEALHNHYT QKSLSLSPG 449

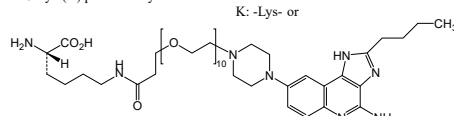
Light chain / Chaîne légère / Cadena ligera
 DIQMTQSPSS LSASVGDVRTV ITCRASQDVN TAVAWEQQKP GKAPKLIIYS 50
 ASFLYSGVPS RFSGSRSGTD FTILTISLQGP EDFATYYCCQH HYTTPPTFQG 100
 GTKVEIKRTV AAPSVFIFPP SDEQLKSQTA SVVCLLNFFY PREAKVQWKV 150
 DNALQSGNSQ ESVTEQDSKD STYSLSSLT LSKADYEKHK VYACEVTHQG 200
 LSSPVTKSFN RGEC 214

Post-translational modifications

Disulfide bridge location / Position des ponts disulfure / Posiciones de los puentes disulfuro
 Intra-H (C23-C104) 22-96 147-203 264-324 370-428
 22"-96" 147"-203" 264"-324" 370"-428"
 Intra-L (C23-C104) 23"-88" 134"-194"
 23"-88" 134"-194"
 Inter-H-L (h 5-CL 126) 223-214" 223"-214"
 Inter-H-H (h 11, h 14) 229-229" 232-232"

N-glycosylation sites / Sites de N-glycosylation / Posiciones de N-glicosilación
 H CH2 N84.4:
 300, 300"
 Fucosylated complex bi-antennary CHO-type glycans / glycanes de type CHO bi-antennaires complexes fucosylés / glicanos de tipo CHO biantenarios complejos fucosilados

Conjugation sites / Sites de conjugaison / Posiciones de coniugación
 ~2.5 Lys (K) per antibody:



trastuzumab rezeptecanum

trastuzumab rezetecan

immunoglobulin G1-kappa, anti-[*Homo sapiens* ERBB2 (epidermal growth factor receptor 2, receptor tyrosine-protein kinase erbB-2, EGFR2, HER2, HER-2, p185c-erbB2, NEU, CD340)], humanized monoclonal antibody, conjugated via a cleavable linker with a camptothecin derivative;

gamma1 heavy chain humanized (1-450) [VH (*Homo sapiens* IGHV3-66*01 (81.6%) -(IGHD) -IGHJ4*01 (100%), CDR-IMGT [8.8.13] (26-33.51-58.97-109)) (1-120) -*Homo sapiens*IGHG1*03v, G1m3>G1m17, nG1m1 (CH1 R120>K (217) (121-218), hinge 1-15 (219-233), CH2 (234-343), CH3 E12 (359), M14 (361) (344-448), CHS (449-450)) (121-450)], (223-214')-disulfide with kappa light chain humanized (1'-214') [V-KAPPA (*Homo sapiens* IGKV1-39*01 (86.3%) -IGKJ1*01 (100%), CDR-IMGT [6.3.9] (27-32.50-52.89-97)) (1'-107') -*Homo sapiens* IGKC*01 (100%), Km3 A45.1 (153), V101 (191) (108'-214')]; dimer (229-229":232-232")-bisdisulfide, produced in Chinese hamster ovary (CHO) cells, cell line CHO-K1SV lacking the glutamine synthetase (GS-KO) gene, glycoform alfa, conjugated on an average of 5.3 to 6.4 cysteinyl, with (3RS)-1-[(2R,10S)-10-benzyl-2-cyclopropyl-1-[(1S,9S)-9-ethyl-5-fluoro-9-hydroxy-4-methyl-10,13-dioxo-2,3,9,10,13,15-hexahydro-1H,12H-benzo[de]pyrano[3',4':6,7]indolizino[1,2-b]quinolin-1-yl]amino]-1,6,9,12,15,18-hexaoxo-3-oxa-5,8,11,14,17-pentaazatricosan-23-yl]-2,5-dioxopyrrolidin-3-yl (*rezetecan*) groups

trastuzumab rézétécan

immunoglobuline G1-kappa, anti-[*Homo sapiens* ERBB2 (récepteur 2 du facteur de croissance épidermique, récepteur tyrosine-protéine kinase erbB-2, EGFR2, HER2, HER-2, p185c-erbB2, NEU, CD340)], anticorps monoclonal humanisé, conjugué via un lieu clivable avec un dérivé de camptothécine; chaîne lourde gamma1 humanisée (1-450) [VH (*Homo sapiens* IGHV3-66*01 (81.6%) -(IGHD) -IGHJ4*01 (100%), CDR-IMGT [8.8.13] (26-33.51-58.97-109)) (1-120) -*Homo sapiens*IGHG1*03v, G1m3>G1m17, nG1m1 (CH1 R120>K (217) (121-218), charnière 1-15 (219-233), CH2 (234-343), CH3 E12 (359), M14 (361) (344-448), CHS (449-450)) (121-450)], (223-214')-disulfure avec la chaîne légère kappa humanisée (1'-214') [V-KAPPA (*Homo sapiens* IGKV1-39*01 (86.3%) -IGKJ1*01 (100%), CDR-IMGT [6.3.9] (27-32.50-52.89-97)) (1'-107') -*Homo sapiens* IGKC*01 (100%), Km3 A45.1 (153), V101 (191) (108'-214')]; dimère (229-229":232-232")-bisdisulfure, produit dans des cellules ovarianes de hamster chinois (CHO), lignée cellulaire CHO-K1SV ne présentant pas le gène de la glutamine synthétase (GS-KO), glycoforme alfa, conjugué en moyenne de 5,3 à 6,4 résidus cystéinylique, avec des groupes (3RS)-1-[(2R,10S)-10-benzyl-2-cyclopropyl-1-[(1S,9S)-9-éthyl-5-fluoro-9-hydroxy-4-méthyl-10,13-dioxo-2,3,9,10,13,15-hexahydro-1H,12H-benzo[de]pyrano[3',4':6,7]indolizino[1,2-b]quinoléin-1-yl]amino]-1,6,9,12,15,18-hexaoxo-3-oxa-5,8,11,14,17-pentaazatricosan-23-yl]-2,5-dioxopyrrolidin-3-yle (*rézétécan*)

trastuzumab rezetecán

imunoglobulina G1-kappa, anti-[*Homo sapiens* ERBB2 (receptor 2 del factor de crecimiento epidémico, receptor tirosina-proteína kinasa erbB-2, EGFR2, HER2, HER-2, p185c-erbB2, NEU, CD340)], anticuerpo monoclonal humanizado, conjugado mediante un enlace escindible con un derivado de camptotecina;

cadena pesada gamma1 humanizada (1-450) [VH (*Homo sapiens* IGHV3-66*01 (81.6%) -(IGHD) -IGHJ4*01 (100%), CDR-IMGT [8.8.13] (26-33.51-58.97-109)) (1-120) -*Homo sapiens* IGHG1*03v, G1m3>G1m17, nG1m1 (CH1 R120>K (217) (121-218), bisagra 1-15 (219-233), CH2 (234-343), CH3 E12 (359), M14 (361) (344-448), CHS (449-450)) (121-450)], (223-214')-disulfuro con la cadena ligera kappa humanizada (1'-214') [V-KAPPA (*Homo sapiens* IGKV1-39*01 (86.3%) -IGKJ1*01 (100%), CDR-IMGT [6.3.9] (27-32.50-52.89-97)) (1'-107') -*Homo sapiens* IGKC*01 (100%), Km3 A45.1 (153), V101 (191) (108'-214')]; dímero (229-229":232-232")-bisdisulfuro, producido en las células ováricas de hámster chino (CHO), línea celular CHO-K1SV en ausencia del gen glutamina sintetasa (GS-KO), forma glicosilada alfa, conjugado, en un promedio de 5,3 a 6,4 residuos de cisteinilo, con grupos (3RS)-1-[(2R,10S)-10-bencil-2-ciclopropil-1-[(1S,9S)-9-etil-5-fluoro-9-hidroxi-4-metil-10,13-dioxo-2,3,9,10,13,15-hexahidro-1*H*,12*H*-benzo[de]pirano[3',4':6,7]indolizino[1,2-*b*]quinolein-1-il]amino]-1,6,9,12,15,18-hexaoxo-3-oxa-5,8,11,14,17-pentaazatricosan-23-il]-2,5-dioxopirrolidin-3-ilo (*rezetecán*)

Heavy chain / Chaîne lourde / Cadena pesada

```

EVQLEVESGG LVQPGGSLRL SCAASGFNIK DTYIHWRVQA PGKGLEWVAR 50
IYPTNGYTRV ADSVKGRFTI SAUTSKNTAY LQMNLSLRAED TAVYYCSRG 100
GDGFYAMDYV QGGTLVTVSS ASTKGPSVFE LAPFSKSTSG GTAAALGCLVK 150
DGFPPEVTYS WNSGALTSGV HTPFPAVLQSS GLYSLSSVVT VPSSLLQTQ 200
YICNVNHHKPS NTKVUDKKVKEP KSCDKTHTCF PCPAPELILGQ PSVFLFPKR 250
KDTLMISRTP EVTCVVVVDS HEDPEVKENW YVDGVEVHNNA KTKPREEQIN 300
STYRVVSVLT VLHQDWIINGK EYKCKVSNSKA LPAPIKTIS KAKQGPREPQ 350
VYTLPSSREK MTKNQVSLTLC LVKGFYYPSDI AVEWESENQP ENNYKTTPPV 400
LDSDGFFFL SKLTVDKRSW QQGNVFSCSV MHEALHNHYT QKSLSLSPKG 450

```

Light chain / Chaîne légère / Cadena ligera

```

DIQMTQSPSS LSASVGRVT ITCRASQDVN TAVAWYQQKP GKAPKLLIYS 50
ASFLYSGWPQ RFSGSRSGTD FIFTISLQP EDFATVYQQY HYTTPPFQG 100
GTVKEIKRTV AAPSVFIFPP SDEQLKSGTA SVVCLNNFY PREAKVQWKR 150
DNALQSGNSC ESVTEQDSKD STYSLSSTLT LSKADYEKKH VYACEVTHQG 200
LSSPVTKSFV RGECD 214

```

Post-translational modifications

Disulfide bridges location / Position des ponts disulfure / Posiciones de los puentes disulfuro

Intra-H (C23-C104) 22-96 147-203 264-324 370-428

22"-96" 147"-203" 264"-324" 370"-428"

Intra-L (C23-C104) 23-88" 134"-194"

23"-88" 134"-194"

Inter-H-L (h5-CL 126) 223-214" 223"-214"

Inter-H-H (h11, h14)" 229-229" 232-232"

*Three to four inter-chain disulfide bridges are not present, an average of 5 to 6 cysteinyl being conjugated each via a thioether bond to a drug linker.

N-glycosylation sites / Sites de N-glycosylation / Posiciones de N-glicosilación

H CH2 N84.4:

300, 300"

Fucosylated complex bi-antennary CHO-type glycans / glycanes de type CHO bi-antennaires complexes fucosylés / glicanos de tipo CHO biantenarios complejos fucosilados

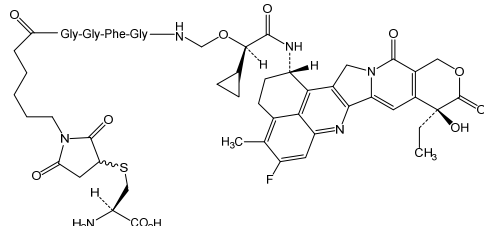
C-terminal lysine clipping / Coupe de la lysine C-terminale / Recorte de lisina C-terminal

H CHS K2:

450, 450"

Conjugation sites / Sites de conjugaison / Posiciones de coniugación

5.3-6.4 Cys (among C223, C229, C232, C214", C223", C229", C232", C214") per antibody:



tremtelectogenum empogeditemcelum #

tremtelectogene empogeditemcel allogeneic human CD34⁺ hematopoietic stem and progenitor cells (HSPC) obtained from peripheral blood by leukapheresis from human leukocyte antigen (HLA)-matched healthy donors, genetically modified *ex vivo* by CRISPR/Cas9 (clustered regularly interspaced short palindromic repeats (CRISPR)-associated protein-9 (Cas9)) nuclease, complexed with a guide RNA (gRNA) that binds to a 20-base pair target DNA sequence at the intron 2/exon 3 boundary of the sialic acid binding Ig-like lectin 3 (Siglec-3, CD33) gene, which introduces a premature stop codon and degradation of the mRNA such that no functional CD33 is expressed. The cell suspension is enriched for CD34+ cells using magnetic bead separation. Following electroporation, the cells are cultured in media containing stem cell factor (SCF), Fms-related tyrosine kinase 3 ligand (FLT-3L), and thrombopoietin (TPO). The substance consists of cells with ≥90% CD34 purity and ≥50% on-target editing of CD33.

tremtélectogène empogéditemcel

cellules souches et progénitrices hématopoïétiques humaines CD34+ allogéniques (HSPC) obtenues à partir de sang périphérique par leucaphérèse de donneurs sains dont le HLA est compatible, génétiquement modifiées *ex vivo* par la nucléase CRISPR/Cas9 (courtes répétitions palindromiques groupées et régulièrement espacées associées à la protéine 9 (Cas9)) complexée avec un ARN guide (gRNA) qui se lie à une séquence d'ADN cible de 20 paires de bases à la limite de l'intron 2/exon 3 du gène Ig-like lectine 3 (Siglec-3, CD33) qui introduit un codon stop prématûré et une dégradation de l'ARNm de sorte qu'aucun CD33 fonctionnel n'est exprimé. La suspension cellulaire est enrichie en cellules CD34+ par séparation avec billes magnétiques. Après électroporation, les cellules sont cultivées dans un milieu contenant le facteur des cellules souches (SCF), le ligand de la tyrosine kinase 3 lié au Fms (FLT-3L) et la thrombopoïétine (TPO). La substance est constituée de cellules présentant une pureté de CD34 ≥90% et une édition atteignant l'objectif de CD33 ≥50%.

tremtelectogén empogeditemcel

células madre y precursores hematopoyéticos (HSPC) CD34+ humanas, alogénicas, obtenidas de sangre periférica mediante leucaféresis de donantes sanos con compatibilidad HLA, modificadas genéticamente *ex vivo* mediante CRISPR/Cas9 (proteína nucleasa-9 asociada a repeticiones palindrómicas cortas agrupadas y espaciadas regularmente (CRISPR) (Cas9)) en complejo con un ARN guía (ARNg) que se une a una secuencia diana de ADN de 20 pares de bases en la frontera del intrón 2/exón 3 del gen de la lectina 3 de unión a ácido siálico similar a Ig (Siglec-3, CD33) que introduce un codón de terminación prematuro resultando en la degradación del ARNm de forma que no se expresa un CD33 funcional. La suspensión celular se enriquece en células CD34+ usando separación por bolas magnéticas. Tras la electroporación, las células se cultivan en medio que contiene factor de células madre (SCF), ligando de tirosina quinasa 3 similar a FMS (Flt3L) y trombopoyetina (TPO). La substancia consiste en células con una pureza de ≥90% para CD34 y ≥50% con edición en el sitio deseado (*on-target*) de CD33.

tulisokibartum #

tulisokibart

immunoglobulin G1-kappa, anti-[*Homo sapiens* TNFSF15 (tumor necrosis factor (TNF) superfamily member 15, TL1A, vascular endothelial cell growth inhibitor 192-A, VEGI192A), membrane and soluble], humanized monoclonal antibody; gamma1 heavy chain humanized (1-446) [VH (*Homo sapiens*IGHV1-46*02 (80.6%) -(IGHD) -IGHJ6*01 (100%), CDR-IMGT [8.8.9](26-33.51-58.97-105)) (1-116) -*Homo sapiens*IGHG1*01, G1m17.1, G1v14 CH2 A1.3, A1.2, G1v4 CH2 A114 (CH1 K120 (213) (117-214), hinge 1-15 (215-229), CH2L1.3>A (233), L1.2>A (234), P114>A(328) (230-339), CH3 D12 (355), L14 (357) (340-444), CHS (445-446)) (117-446)], (219-213')-disulfide with kappa light chain humanized (1'-213') [V-KAPPA (*Homo sapiens*IGKV3D-11*02 (85.6%) -IGKJ4*01 (90.9%), CDR-IMGT [5.3.9] (27-31.49-51.88-96)) (1'-106') -*Homo sapiens*IGKC*01 (100%), Km3 A45.1 (152), V101 (190) (107-213')]; dimer (225-225": 228-228")-bisdisulfide, produced in Chinese hamster ovary (CHO) cells, cell line CHO-DG44, glycoform alfa

tulisokibart

immunoglobuline G1-kappa, anti-[*Homo sapiens* TNFSF15 (membre 15 de la superfamille TNFSF des facteurs de nécrose tumorale, TL1A, inhibiteur 192-A de la croissance des cellules de l'endothélium vasculaire, VEGI192A), membrane et soluble], anticorps monoclonal humanisé; chaîne lourde gamma1 humanisée (1-446) [VH (*Homo sapiens*IGHV1-46*02 (80.6%) -(IGHD) -IGHJ6*01 (100%), CDR-IMGT [8.8.9] (26-33.51-58.97-105)) (1-116) -*Homo sapiens*IGHG1*01, G1m17.1, G1v14 CH2 A1.3, A1.2, G1v4 CH2 A114 (CH1 K120 (213) (117-214), charnière 1-15 (215-229), CH2 L1.3>A (233), L1.2>A (234), P114>A (328) (230-339), CH3 D12 (355), L14 (357) (340-444), CHS (445-446)) (117-446)], (219-213')-disulfure avec la chaîne légère kappa humanisée (1'-213') [V-KAPPA (*Homo sapiens*IGKV3D-11*02 (85.6%) -IGKJ4*01 (90.9%), CDR-IMGT [5.3.9] (27-31.49-51.88-96)) (1'-106') -*Homo sapiens*IGKC*01 (100%), Km3 A45.1 (152), V101 (190) (107-213')]; dimère (225-225": 228-228")-bisdisulfure, produit dans des cellules ovariennes de hamster chinois (CHO), lignée cellulaire CHO-DG44, glycoforme alfa

tulisokibart

inmunoglobulina G1-kappa, anti-[*Homo sapiens* TNFSF15 (miembro 15 de la superfamilia TNFSF de los factores de necrosis tumoral, TL1A, inhibidor 192-A del crecimiento de las células del endotelio vascular, VEGI192A), membrana y soluble], anticuerpo monoclonal humanizado; cadena pesada gamma1 humanizada (1-446) [VH (*Homo sapiens*IGHV1-46*02 (80.6%) -(IGHD) -IGHJ6*01 (100%), CDR-IMGT [8.8.9] (26-33.51-58.97-105)) (1-116) -*Homo sapiens*IGHG1*01, G1m17.1, G1v14 CH2 A1.3, A1.2, G1v4 CH2 A114 (CH1 K120 (213) (117-214), bisagra 1-15 (215-229), CH2 L1.3>A (233), L1.2>A (234), P114>A (328) (230-339), CH3 D12 (355), L14 (357) (340-444), CHS (445-446)) (117-446)], (219-213')-disulfuro con la cadena ligera kappa humanizada (1'-213') [V-KAPPA (*Homo sapiens*IGKV3D-11*02 (85.6%) -IGKJ4*01 (90.9%), CDR-IMGT [5.3.9] (27-31.49-51.88-96)) (1'-106') -*Homo sapiens*IGKC*01 (100%), Km3 A45.1 (152), V101 (190) (107-213')]; dímero (225-225": 228-228")-bisdisulfuro, producido en las células ováricas de hámster chino (CHO), línea celular CHO-DG44, forma glicosilada alfa

Heavy chain / Chaîne lourde / Cadena pesada
 QVQLVQSGAE VKPGASVKV SCKASGFDIQ DTYMHWVKQR PGQGLEWMGR 50
 IDPASGHTKY DPKFQVRVTI TRDTSTSTV LELSSLRSED TAVYYCARG 100
 GLPDVWGGQT TVTVSSASTK GPSVFVFLAPS SKTSGGTTA LGCLVKDYP 150
 EPVTVSWNSG ALTSGVHFTP AVLQSSGLYS LSSVVTVPPS SLGTQTYICN 200
 VNHKPSNTKV DKEVEPKSD KTHTCPCPA PEAAGGPSV LFPPPKDTL 250
 MISRTPEVTC VVVDVDSHED EVKFNWYVDA VEVHNNAKTP REEQYNSTYR 300
 VVSVLTVLHLB DWLNKEKEYKC KVSNKALAAP IKTISKAKG QPREPOVYTL 350
 PPSRDELTKN QVSLTCLVKG FYPSPDIAVEW ESNQFENNY KTPPPVLDSD 400
 GSFFLISKLT VDKSRWQQQN VFSCSVMHEA LHNHYTQKSL SISPGK 446

Light chain / Chaîne légère / Cadena ligera
 EIVLTQSPGT LSLSPGERAT LSCRASSVS YMYWYQQKPG QAPRPLIYAT 50
 SNLASGIPDR FGSGSGTDF TTLISRLPE DFAVYCCQW EGNPRPLFGGG 100
 TKLEIKRTVA APSVFFPPS DEQLKSGTAS VVCLINNFYR REAKVQWKVD 150
 NALQSGNSQE SVTEQDSKDS TYSLSSLTTL SKADYEKHVK YACEVTHQGL 200
 SSPVTKSFRN GEC 213

Post-translational modifications

Disulfide bridges location / Position des ponts disulfure / Posiciones de los puentes disulfato-H (C23-C104) 22-96 143-199 260-320 366-424

Intra-L (C23-C104) 23"-96" 143"-199" 260"-320" 366"-424"

Intra-H (C23-C104) 23"-87"

23"-193" 133"-193"

Inter-H-L (h 5-CL 126) 219-213" 219"-213"

Inter-H-H (h 11, h 14) 225-225" 228-228"

N-terminal glutaminyl cyclization / Cyclisation du glutaminyle N-terminal / Ciclación de glutaminilo N-terminal
 O > pyroglutamyl (pE, 5-oxoprolyl) / pyroglutamyle (pE, 5-oxoprolyle) / piroglutamilo (pE, 5-oxoprolilo)
 H VH Q1: 1, 1"

N-glycosylation sites / Sites de N-glycosylation / Posiciones de N-glicosilación
 H CH2 N84.4: 296, 296"
 Fucosylated complex bi-antennary CHO-type glycans / glycanes de tipo CHO bi-antennariales complejos fucosylados / glicanos de tipo CHO biantenarios complejos fucosilados.

C-terminal lysine clipping / Coupure de la lysine C-terminale / Recorte de lisina C-terminal
 H CHS K2: 446, 446"

tunodafilm

tunodafil

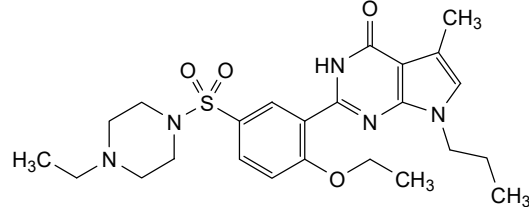
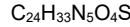
2-[2-ethoxy-5-(4-ethylpiperazine-1-sulfonyl)phenyl]-5-methyl-7-propyl-3,7-dihydro-4H-pyrrolo[2,3-d]pyrimidin-4-one

tunodafil

2-[2-éthoxy-5-(4-éthylpipérazine-1-sulfonyl)phényl]-5-méthyl-7-propyl-3,7-dihydro-4H-pyrrolo[2,3-d]pyrimidin-4-one

tunodafilo

2-[5-(4-etylpirerazina-1-sulfonil)-2-etoxifenil]-5-metil-7-propil-3,7-dihidro-4H-pirrolo[2,3-d]pirimidin-4-ona



tuparstobartum

tuparstobart

immunoglobulin G1-kappa, anti-[*Homo sapiens* LAG3 (lymphocyte activating 3, lymphocyte-activation 3, CD223)], humanized monoclonal antibody;

gamma1 heavy chain humanized (1-450) [VH (*Homo sapiens* IGHV1-46*02 (80.4%) -(IGHD) -IGHJ4*01 (100%), CDR-IMGT[8.8.14] (26-33.51-58.97-110)) (1-121) -*Homo sapiens*IGHG1*03, G1m3, nG1m1, G1v29 CH2 A84.4 (CH1 R120 (218) (122-219), hinge 1-15 (220-234), CH2 N84.4>A (301) (235-344), CH3 E12 (360), M14 (362) (345-449), CHS K2>del (450)) (122-450)], (224-215')-disulfide with kappa light chain humanized (1'-215') [V-KAPPA (*Homo sapiens* IGKV3-20*01 (86.5%) -IGKJ1*01 (91.7%), CDR-IMGT [7.3.9] (27-33.51-53.90-98)) (1'-108') -*Homo sapiens* IGKC*01 (100%), Km3 A45.1 (154), V101 (192) (109'-215')]; dimer (230-230": 233-233")-bisdisulfide, produced in Chinese hamster ovary (CHO) cells, cell line CHO-K1SV lacking the glutamine synthetase (GS-KO) gene, non-glycosylated

tuparstobart

immunoglobuline G1-kappa, anti-[*Homo sapiens* LAG3 (activateur 3 des lymphocytes, lymphocyte-activation 3, CD223)], anticorps monoclonal humanisé; chaîne lourde gamma1 humanisée (1-450) [VH (*Homo sapiens* IGHV1-46*02 (80.4%) -(IGHD) -IGHJ4*01 (100%), CDR-IMGT [8.8.14] (26-33.51-58.97-110)) (1-121) -*Homo sapiens*IGHG1*03, G1m3, nG1m1, G1v29 CH2 A84.4 (CH1 R120 (218) (122-219), charnière 1-15 (220-234), CH2 N84.4>A (301) (235-344), CH3 E12 (360), M14 (362) (345-449), CHS K2>del (450)) (122-450)], (224-215')-disulfure avec la chaîne légère kappa humanisée (1'-215') [V-KAPPA (*Homo sapiens* IGKV3-20*01 (86.5%) -IGKJ1*01 (91.7%), CDR-IMGT [7.3.9] (27-33.51-53.90-98)) (1'-108') -*Homo sapiens* IGKC*01 (100%), Km3 A45.1 (154), V101 (192) (109'-215')]; dimère (230-230": 233-233")-bisdisulfure, produit dans des cellules ovariennes de hamster chinois (CHO), lignée cellulaire CHO-K1SV ne présentant pas le gène de la glutamine synthétase (GS-KO), non-glycosylé

tuparstobart

inmunoglobulina G1-kappa, anti-[*Homo sapiens* LAG3 (activador 3 de los linfocitos, activación de linfocito 3, CD223)], anticuerpo monoclonal humanizado; cadena pesada gamma1 humanizada (1-450) [VH (*Homo sapiens* IGHV1-46*02 (80.4%) -(IGHD) -IGHJ4*01 (100%), CDR-IMGT [8.8.14] (26-33.51-58.97-110)) (1-121) -*Homo sapiens*IGHG1*03, G1m3, nG1m1, G1v29 CH2 A84.4 (CH1 R120 (218) (122-219), bisagra 1-15 (220-234), CH2 N84.4>A (301) (235-344), CH3 E12 (360), M14 (362) (345-449), CHS K2>del (450)) (122-450)], (224-215')-disulfuro con la cadena ligera kappa humanizada (1'-215') [V-KAPPA (*Homo sapiens* IGKV3-20*01 (86.5%) -IGKJ1*01 (91.7%), CDR-IMGT [7.3.9] (27-33.51-53.90-98)) (1'-108') -*Homo sapiens* IGKC*01 (100%), Km3 A45.1 (154), V101 (192) (109'-215')]; dímero (230-230": 233-233")-bisdisulfuro, producido en las células ováricas de hámster chino (CHO), línea celular CHO-K1SV en ausencia del gen glutamina sintetasa (GS-KO), no glicosilado

Heavy chain / Chaîne lourde / Cadena pesada
 QVQMVQSGAE VKKEGASGVK SCKASGNNIK DTYIHWWVRQG PGQGLEWMGE 50
 IDPDANDNTKV DPKEPGRVTI TADTSTSTVY MELSSLRSED TAVYYCATVY 100
 YKYDVUGFEDV WGQCTLTVTS SASTKGPSVF PLAPSSKSTS GCTAALGCLV 150
 KDVYFEPVTW SWNSGAIATSG VHTFPAVILQS SGCLYSSSVV TVPSSLGLGQ 200
 TYICCNVNHHK P SNTKVDVKRVE PKSCDKTHTC PPCPAPELIG GDSVFLPPK 250
 PKDTLMISRT PEVTVCVVDBV SHEDFPEVKFN WYVDGVEVHN AKTPKPREQY 300
 ASTYRVVSVL TVLHQDWLNG KEYKCKVSNK ALPAPIEKTI SKAKGQREP 350
 QVVTLPSSRE EMTKNQVSLT CLVKGFYFVPSD IAVEWESNGQ PENNYKTTPP 400
 VLSDSGSFV YSKLTVDKST WQQGNVFSCS VMHEALHNHY TQKSLSLSPG 450

Light chain / Chaîne légère / Cadena ligera
 EIVLTQSSGGT LSISPGERAT LSCSUVSSIS SSNLHWWYQKQ PGQAPRLLIY 50
 GTSNLASCIP DRFGSGSGST DFTLTISRLP PEDPAVYYCQ QWSSYPPETFG 100
 QGTKEVIKR7 VAAESVFIFP PSDEQLKSQT ASVVCLLNNF YREAKWQNK 150
 DVNALQSGNS QEVTIQQDSK DSTYSLSSTL TLSKADYEHK KVYACEVTHQ 200
 GLSSPVTKSF NRGECA 215

Post-translational modifications

Disulfide bridges location / Position des ponts disulfure / Posiciones de los puentes disulfuro
 Intra-H (C23- \bar{C} 104) 22-96 148-204 265-325 371-429
 22"-96" 148"-204" 265"-325" 371"-429"
 Intra-L (C23-C104) 23-89 135"-195"
 23"-89" 135"-195"
 Inter-H-L (h 5-CL 120) 224-215" 224"-215"
 Inter-H-H (h 11, h 14) 230-230" 233-233"

N-terminal glutaminyl cyclization / Cyclisation du glutaminyle N-terminal / Ciclación del glutamínilo N-terminal
 O> pyroglutamyl (pE, 5-oxoprolil) / pyroglutamyl (pE, 5-oxoprolil) / piroglutamato
 (pE, 5-oxoprolil)
 H VH Q1: 1, 1"

No N-glycosylation sites / pas de sites de N-glycosylation / ningùm posición de N-glicosilación
 H CH2 N84.4>A (G1v29): 301, 301"

tuspetinibum

tuspetinib

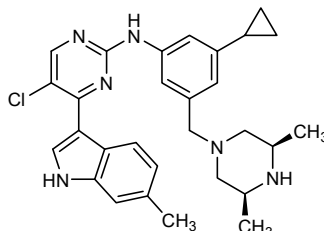
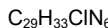
5-chloro-N-(3-cyclopropyl-5-[(3R,5S)-3,5-dimethylpiperazin-1-yl]methyl}phenyl)-4-(6-methyl-1*H*-indol-3-yl)pyrimidin-2-amine

tuspétinib

5-chloro-N-(3-cyclopropyl-5-[(3R,5S)-3,5-diméthylpipérazin-1-yl]méthyl}phényl)-4-(6-méthyl-1*H*-indol-3-yl)pyrimidin-2-amine

tuspetinib

N-(3-ciclopropil-5-[(3R,5S)-3,5-dimetilpiperazin-1-il]metil}fenil)-5-cloro-4-(6-metil-1*H*-indol-3-il)pirimidin-2-amina

**tuvusertibum**

tuvusertib

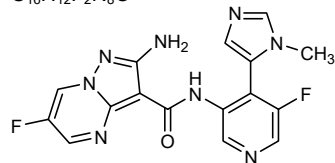
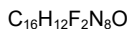
2-amino-6-fluoro-N-[5-fluoro-4-(1-methyl-1*H*-imidazol-5-yl)pyridin-3-yl]pyrazolo[1,5-a]pyrimidine-3-carboxamide

tuvusertib

2-amino-6-fluoro-N-[5-fluoro-4-(1-méthyl-1*H*-imidazol-5-yl)pyridin-3-yl]pyrazolo[1,5-a]pyrimidine-3-carboxamide

tuvusertib

2-amino-6-fluoro-N-[5-fluoro-4-(1-metil-1*H*-imidazol-5-il)piridin-3-il]pirazolo[1,5-a]pirimidina-3-carboxamida

**ufrenmeranum**

ufrenmeran

messenger RNA (mRNA), 5'-capped, encoding the codon-optimized receptor binding domain (RBD) of the severe acute respiratory syndrome coronavirus 2 (SARS-CoV-2, Wuhan-Hu-1 isolate, GenBank: MN908947.3) spike (S) glycoprotein, expressed as a fusion protein with the S glycoprotein signal peptide, flanked by 5' and 3' untranslated regions (UTRs) derived from the human β -globin gene (GenBank ID: NM_000518.5) and a 3' polyadenylation (polyA) tail; contains 5-methyluridine instead of uridine (*all*-U>5-Me-U) and 5-methylcytidine instead of cytidine (*all*-C>5-Me-C).

ufrenméran

ARN messager (ARNm), coiffé en 5', codant le domaine de liaison au récepteur (RBD) aux codons optimisées du coronavirus 2 du syndrome respiratoire aigu sévère (SARS-CoV-2, isolat Wuhan-Hu-1, GenBank: MN908947. 3) la glycoprotéine de spicule (S), exprimée sous la forme d'une protéine de fusion 5' avec le peptide signal de la glycoprotéine S, flanquée des régions non traduites (UTR) en 5' et 3' dérivées du gène de la β -globine humaine (GenBank ID: NM_000518. 5) et une queue de polyadénylation (polyA) en 3'; contient de la 5-méthyluridine au lieu de l'uridine (*all*-U>5-Me-U) et de la 5-méthylcytidine au lieu de la cytidine (*all*-C>5-Me-C).

ufrenmerán

ARN mensajero (ARNm), protegido en 5', que codifica, con codones optimizados, para el dominio de unión al receptor (RBD)) de la glicoproteína de la espícula (S) del coronavirus 2 del síndrome respiratorio agudo severo (SARS-CoV-2, aislado Wuhan-Hu-1, GenBank: MN908947.3), expresado como una proteína de fusión 5' con el péptido señal de la glicoproteína S, flanqueado por regiones no traducidas (UTRs) en 5' y 3' derivadas del gen de la β -globina humana (GenBank ID: NM_000518.5) y una cola de poliadenilación (polyA) en 3'; contiene 5-metiluridina en lugar de uridina (*all*-U>5-Me-U) y 5-metilcitrina en lugar de citidina (*all*-C>5-Me-C).

ulecaciclibum

ulecaciclib

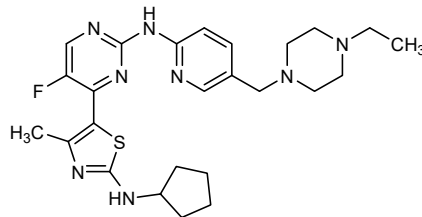
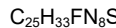
4-[2-(cyclopentylamino)-4-methyl-1,3-thiazol-5-yl]-N-{5-[(4-ethylpiperazin-1-yl)methyl]pyridin-2-yl}-5-fluoropyrimidin-2-amine

ulécaciclib

4-[2-(cyclopentylamino)-4-méthyl-1,3-thiazol-5-yl]-N-{5-[(4-éthylpipérazin-1-yl)méthyl]pyridin-2-yl}-5-fluoropyrimidin-2-amine

ulecaciclib

4-[2-(ciclopentilamino)-4-metil-1,3-tiazol-5-il]-N-{5-[(4-etylpirazin-1-il)metil]piridin-2-il}-5-fluoropirimidin-2-amina



ulefnersenum

ulefnersen

all-P-Ambo-2'-O-(2-methoxyethyl)-P-thioguanyl-(3'→5')-2'-O-(2-methoxyethyl)-5-methylcytidyl-(3'→5')-2'-O-(2-methoxyethyl)adenyl-(3'→5')-2'-O-(2-methoxyethyl)adenyl-(3'→5')-2'-deoxy-P-thioguanyl-(3'→5')-P-methyluridyl-(3'→5')-2'-deoxy-P-thiocytidyl-(3'→5')-P-thiorthymidyl-(3'→5')-2'-deoxy-5-methyl-P-thiocytidyl-(3'→5')-2'-deoxy-P-thiaadenyl-(3'→5')-2'-deoxy-5-methyl-P-thiocytidyl-(3'→5')-2'-deoxy-5-methyl-P-thiocytidyl-(3'→5')-2'-deoxy-5-methyl-P-thiocytidyl-(3'→5')-P-thiothymidyl-(3'→5')-P-thiothymidyl-(3'→5')-P-thiothymidyl-(3'→5')-2'-deoxy-5-methyl-P-thiocytidyl-(3'→5')-2'-deoxy-5-methyl-P-thiocytidyl-(3'→5')-2'-O-(2-methoxyethyl)adenyl-(3'→5')-2'-O-(2-methoxyethyl)-5-methyluridyl-(3'→5')-2'-O-(2-methoxyethyl)-P-thiaadenyl-(3'→5')-2'-O-(2-methoxyethyl)-5-methyl-P-thiocytidyl-(3'→5')-2'-O-(2-methoxyethyl)-5-methylcytidine

uléfnersen

tout-P-ambo-2'-O-(2-méthoxyéthyl)-P-thioguanyl-(3'→5')-2'-O-(2-méthoxyéthyl)-5-méthylcytidyl-(3'→5')-2'-O-(2-méthoxyéthyl)adényl-(3'→5')-2'-O-(2-méthoxyéthyl)adényl-(3'→5')-2'-O-(2-méthoxyéthyl)-5-méthyluridyl-(3'→5')-2'-désoxy-P-thioguanyl-(3'→5')-P-thiothymidyl-(3'→5')-2'-désoxy-5-méthyl-P-thiocytidyl-(3'→5')-2'-désoxy-P-thioadényl-(3'→5')-2'-désoxy-5-méthyl-P-thiocytidyl-(3'→5')-2'-désoxy-5-méthyl-P-thiocytidyl-(3'→5')-P-thiothymidyl-(3'→5')-P-thiothymidyl-(3'→5')-P-thiothymidyl-(3'→5')-P-thiothymidyl-(3'→5')-2'-désoxy-5-méthyl-P-thiocytidyl-(3'→5')-2'-O-(2-méthoxyéthyl)adényl-(3'→5')-2'-O-(2-méthoxyéthyl)-5-méthyluridyl-(3'→5')-2'-O-(2-méthoxyéthyl)-P-thioadényl-(3'→5')-2'-O-(2-méthoxyéthyl)-5-méthyl-P-thiocytidyl-(3'→5')-2'-O-(2-méthoxyéthyl)-5-méthylcytidine

ulefnarsén

todo-P-amb-2'-O-(2-metoxietil)-P-tioguanilil-(3'→5')-5-metil-2'-O-(2-metoxietil)citidilil-(3'→5')-2'-O-(2-metoxietil)adenilil-(3'→5')-2'-O-(2-metoxietil)adenilil-(3'→5')-5-metil-2'-O-(2-metoxietil)uridilil-(3'→5')-2'-desoxi-P-tioguanilil-(3'→5')-P-tiotimidilil-(3'→5')-2'-desoxi-5-metil-P-tiocitidilil-(3'→5')-2'-desoxi-P-tioadenilil-(3'→5')-2'-desoxi-5-metil-P-tiocitidilil-(3'→5')-2'-desoxi-5-metil-P-tiocitidilil-(3'→5')-P-tiotimidilil-(3'→5')-2'-desoxi-5-metil-P-tiocitidilil-(3'→5')-2'-desoxi-5-metil-P-tiocitidilil-(3'→5')-2'-O-(2-metoxietil)adenilil-(3'→5')-5-metil-2'-O-(2-metoxietil)uridilil-(3'→5')-2'-O-(2-metoxietil)-P-tioadenilil-(3'→5')-5-metil-2'-O-(2-metoxietil)-P-tiocitidilil-(3'→5')-5-metil-2'-O-(2-metoxietil)citidina



Gmoe=m⁵Cmoe-Amoe-Amoe-m⁵Umoe-dG=dT=m⁵C_d=dT=m⁵C_d=m⁵C_d=dT=dT=m⁵C_d=Amoe-m⁵Umoe-Amoe=m⁵Cmoe=m⁵Cmoe

$$-\text{PO(OH)}-\text{;} = \text{PS(OH)}-$$

N : nucleoside / nucléoside / nucleósido

dN & N_d : 2'-deoxy-N / 2'-désoxy-N / 2'-desoxi-N

Nmoe : 2'-O-(2-methoxyethyl)-N / 2'-O-(2-méthoxy

m^5N : 5-methyl-N / 5-méthyl-N / 5-metil-N

ulonivirine

ulonivirine

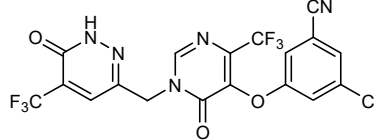
3-chloro-5-{{[6-oxo-1-{{[6-oxo-5-(trifluoromethyl)-1,6-dihydropyridazin-3-yl]methyl}-4-(trifluoromethyl)-1,6-dihydropyrimidin-5-yl]oxy}benzonitrile

ulonivirine

3-chloro-5-[[6-oxo-1-[[6-oxo-5-(trifluorométhyl)-1,6-dihdropyridazin-3-yl]méthyl]-4-(trifluorométhyl)-1,6-dihdropyrimidin-5-yl]oxy]benzonitrile

ulonivirina

3-cloro-5-{{[6-oxo-1-[{[6-oxo-5-(trifluorometil)-1,6-dihidropiridazin-3-il]metil}-4-(trifluorometil)-1,6-dihidropirimidin-5-il]oxi}benzonitrilo



ultevursenum

ultevursen

all-P-ambo-2'-O-(2-methoxyethyl)-P-thioadenyllyl-(3'→5')-2'-O-(2-methoxyethyl)-P-thioguananyl-(3'→5')-2'-O-(2-methoxyethyl)-5-methyl-P-thiocytidyl-(3'→5')-2'-O-(2-methoxyethyl)-5-methyl-P-thiouridyl-(3'→5')-2'-O-(2-methoxyethyl)-5-methyl-P-thiouridyl-(3'→5')-2'-O-(2-methoxyethyl)-5-methyl-P-thiocytidyl-(3'→5')-2'-O-(2-methoxyethyl)-P-thioguananyl-(3'→5')-2'-O-(2-methoxyethyl)-P-thioguananyl-(3'→5')-2'-O-(2-methoxyethyl)-P-thiadenyllyl-(3'→5')-2'-O-(2-methoxyethyl)-P-thioguananyl-(3'→5')-2'-O-(2-methoxyethyl)-P-thiadenyllyl-(3'→5')-2'-O-(2-methoxyethyl)-P-thiadenyllyl-(3'→5')-2'-O-(2-methoxyethyl)-5-methyl-P-thiouridyl-(3'→5')-2'-O-(2-methoxyethyl)-5-methyl-P-thiouridyl-(3'→5')-2'-O-(2-methoxyethyl)-P-thiadenyllyl-(3'→5')-2'-O-(2-methoxyethyl)-P-thiadenyllyl-(3'→5')-2'-O-(2-methoxyethyl)-5-methyl-P-thiouridyl-(3'→5')-2'-O-(2-methoxyethyl)-5-methylcytidine

ultévursen

cadena pesada gamma1 humanizada (1-449) [VH humanizado (*Homo sapiens* IGHV1-8*01 (81.6%) -(IGHD) -IGHJ5*01 (86.7%), CDR-IMGT [8.8.12] (26-33.51-58.97-108)) (1-119) -*Homo sapiens*IGHG1*03v, G1m3>G1m17, nG1m1 (CH1 R120>K (216) (120-217), bisagra 1-15 (218-232), CH2 (233-342), CH3 E12 (358), M14 (360) (343-447), CHS (448-449)) (120-449)], (222-219')-disulfuro con la cadena ligera kappa humanizada (1'-219') [V-KAPPA (*Homo sapiens* IGKV4-1*01 (94.1%) -IGKJ4*01 (100%), CDR-IMGT [12.3.8] (27-38.56-58.95-102)) (1'-112') -*Homo sapiens* IGKC*01 (100%), Km3, A45.1 (158), V101 (196) (113'-219')]; dímero (228-228":231-231")-bisdisulfuro, producido en una línea celular derivada de las células ováricas de hámster chino (CHO), forma glicosilada alfa

Heavy chain / Chaîne lourde / Cadena pesada

QVQLVQSGAE	VVKPGASKV	SCKASGYIFT	DHNHMHWVKQA	TGQGLEWF	50
INPNTNGVTRY	NQKFQGRVTL	TINKAISTAY	LELSSLRSED	TAVYYCARDY	100
YGSAAFWAYG	VGTLTVTSSA	STKGPSVFPY	APSSKSTSGG	TAALGCLVRKD	150
YFPPEPVTVSW	NSGALTSGVH	TFFAVLQSSC	LYSLSVVTT	PFSSSLGTQTY	200
ICNVNHPKSN	TKVDKKKVEPK	SCDKTHTCPE	CAPAPELLGGP	SVFLLFPKPK	250
DTFLMSRTPF	TCVCDVVDVSH	EDPEVKFNWY	VDGVEVNINAK	TKPRPEEQYNS	300
TYRVRVSVLT	LHQDWLNGKE	YCKCVSNKAL	PAPIEKTIISK	AKGQPREGPV	350
YTLPPSRREEM	TKNQVSLSLCL	VKGFYPSDI	VEWESNQCP	NNYKTTTPV	400
DSDGSSFLYLS	KLTVDKSRWQ	QGNVFTCSMV	HEALHNHYTQ	KSLSLSPGK	449

Light chain / Chaîne légère / Cadena ligera

DIVMTQSPDS	LAWSLGGERAT	INCKSSQTLL	YSSDQKNYLA	WYQQKPGQPP	50
KLLVWASTR	ESGVPPDRFSG	SGSGTDFTLT	ISSLQAEADVA	VYYCQQYNY	100
PTFGGGTGVKE	IKRTVVAAPSV	FIPPPSDEQL	KSGTASVUCL	LNNFYPREAK	150
VQWKVDNAIQ	SQNSQESVTE	QDSKSTDTSVL	SSTITLSSKAD	YEKKHVYACE	200
VTHQGLSSPV	TKSFNRGE				219

Post-translational modifications

Disulfide bridges location / Position des ponts disulfure / Posiciones de los puentes disulfuro

Intra-H (C23-C104)	22"-96"	146"-202"	263"-323"	369"-427"	
	22"-96"	146"-202"	263"-323"	369"-427"	
Intra-L (C23-C104)	23"-94"	139"-199"			
	23"-94"	139"-199"			
Inter-H-L (h 5-CL 126)	222-219"	222"-219"			
Inter-H-H (h 11, h 14)	228-228"	231-231"			

N-terminal glutaminyl cyclization / Cyclisation du glutaminyle N-terminal / Ciclación del glutamínico N-terminal
Q > pyroglutamyl (pE, 5-oxoprolyl) / pyroglutamyle (pE, 5-oxoprolyle) / piroglutamilo (pE, 5-oxoprolilo)
H VH Q1: 1, 1"

N-glycosylation sites / Sites de N-glycosylation / Posiciones de N-glicosilación
H CH2 N84.4: 299, 299"
Fucosylated complex bi-antennary CHO-type glycans / glycanes de tipo CHÓ bi-antennaires complexes fucosylés / glicanos de tipo CHÓ biantenarios complejos fucosilados.

C-terminal lysine clipping / Coupe de la lysine C-terminale / Recorte de lisina C-terminal
H CHS K2: 449, 449"

umesolerbartum

umesolerbart

immunoglobulin G4-kappa, anti-[Bet v 1 (*Betula alleghaniensis* (yellow birch) pollen allergen 1], *Homo sapiens* monoclonal antibody;

gamma4 heavy chain *Homo sapiens* (1-446) [VH (*Homo sapiens* IGHV3-48*03 (92.9%) -(IGHD) -IGHJ5*01 (92.9%), CDR-IMGT [8.8.12] (26-33.51-58.97-108)) (1-119)-*Homo sapiens*IGHG4*01, G4v5 h P10, nG4m(a) CH2 L92 (CH1 (120-217), hinge 1-12 S10>P (227) (218-229), CH2 L92 (308) (230-339), CH3 (340-444), CHS (445-446)) (120-446)], (133-214')-disulfide with kappa light chain *Homo sapiens* (1'-214') [V-KAPPA (*Homo sapiens* IGKV3-15*01 (94.7%) -IGKJ4*01 (100%), CDR-IMGT [6.3.9] (27-32.50-52.89-97)) (1'-107') -*Homo sapiens* IGKC*01 (100%), Km3 A45.1 (153), V101 (191) (108'-214')]; dimer (225-225":228-228")-bisdisulfide, produced in Chinese hamster ovary (CHO) cells, glycoform alfa

umésolerbart

immunoglobuline G4-kappa, anti-[Bet v 1 (allergène 1 du pollen de *Betula alleghaniensis* (bouleau jaune)], anticorps monoclonal *Homo sapiens*; chaîne lourde gamma4 *Homo sapiens* (1-446) [VH (*Homo sapiens*IGHV3-48*03 (92.9%) -(IGHD)-IGHJ5*01 (92.9%), CDR-IMGT [8.8.12] (26-33.51-58.97-108)) (1-119)-*Homo sapiens*IGHG4*01, G4v5 h P10, nG4m(a) CH2 L92 (CH1 (120-217), charnière 1-12 S10>P (227) (218-229), CH2 L92 (308) (230-339), CH3 (340-444), CHS (445-446)) (120-446)], (133-214')-disulfure avec la chaîne légère kappa *Homo sapiens* (1'-214') [V-KAPPA (*Homo sapiens*IGKV3-15*01 (94.7%) -IGKJ4*01 (100%), CDR-IMGT [6.3.9] (27-32.50-52.89-97)) (1'-107') -*Homo sapiens*IGKC*01 (100%), Km3 A45.1 (153), V101 (191) (108'-214')]; dimère (225-225":228-228")-bisdisulfure, produit dans des cellules ovariennes de hamster chinois (CHO), glycoforme alfa

umesolerbart

inmunoglobulina G4-kappa, anti-[Bet v 1 (alérgeno 1 del polen de *Betula alleghaniensis* (abedul amarillo)], anticuerpo monoclonal *Homo sapiens*; cadena pesada gamma4 *Homo sapiens* (1-446) [VH (*Homo sapiens*IGHV3-48*03 (92.9%) -(IGHD)-IGHJ5*01 (92.9%), CDR-IMGT [8.8.12] (26-33.51-58.97-108)) (1-119)-*Homo sapiens*IGHG4*01, G4v5 h P10, nG4m(a) CH2 L92 (CH1 (120-217), bisagra 1-12 S10>P (227) (218-229), CH2 L92 (308) (230-339), CH3 (340-444), CHS (445-446)) (120-446)], (133-214')-disulfuro con la cadena ligera kappa *Homo sapiens* (1'-214') [V-KAPPA (*Homo sapiens*IGKV3-15*01 (94.7%) -IGKJ4*01 (100%), CDR-IMGT [6.3.9] (27-32.50-52.89-97)) (1'-107') -*Homo sapiens*IGKC*01 (100%), Km3 A45.1 (153), V101 (191) (108'-214')]; dímero (225-225":228-228")-bisdisulfuro, producido en las células ováricas de hámster chino (CHO), forma glicosilada alfa

Heavy chain / Chaîne lourde / Cadena pesada
 EVLVVESGGD LVQPGGSLRL SCAASGFTFS SYEMMNWVRQA PGKGLEWVSF 50
 ISDSSNNIYY ADSVKGRFTI SRDNAAKSLLY LQMSTSRAED TAVYYCAREA 100
 IGTSFSFDNWG QGTLVTVSSA STKGPSVFPFL APCSRSTSES TAALGCLVKD 150
 YFPEPVITVSW NSGALTSGVH TFFPAVLQSSG YLSSLSSVTVT PSSSLGTRKY 200
 TCNVDHKPSPN TKVDKRVESK YGFPCPCCPA PEFLGGPSVF LFPPPKPKDTL 250
 MISRTPEVTC VVVDVSQEDP EVQFNWYVVG VEVHNAKTKP REEQFNSTYR 300
 VVSVLTVLHQ DWLNGKEYKC KVSNKGKLPS SIEKTISKAKG QPREPOVVTL 350
 FPSQEEMTKN QVSLTCLVKG FYFSDIAVEW ESNGQPENNY KITTPVPLDSD 400
 GSFFLYSRTK VDKSKRWQEGN VFSCSVMHEA LHNHYTQKSL SLSLGK 446

Light chain / Chaîne légère / Cadena ligera
 EIVMTQSPAT LSVPSGERAT LSCRASQSVS SSLAWYQOKP GQAPRRLIYS 50
 ASTRATGIPA RFSGSGGSTGE FTILTISQLQS EDFAIYYCHQ YNNWPLTFGG 100
 GTKVEIKRTV AAPSVFIFPP SDEQLKSGTA SVVCLLNNFY PREAKVQWKV 150
 DNALQSGNSQ ESVTEQDSKD STYSLSSTLT LSKADYEKHK VYACEVTHQG 200
 LSSFPVTKS FN RGE C 214

Post-translational modifications

Disulfide bridges location / Position des ponts disulfure / Posiciones de los puentes disulfuro
 Intra-H (C23-C104) 22-96 146-202 260-320 366-424
 22"-96" 146"-202" 260"-320" 366"-424"
 Intra-L (C23-C104) 23"-88" 134"-194"
 23"-88"" 134"-194""
 Inter-H-L (CH1 10-CL 126) 133-214" 133"-214"
 Inter-H-H (h 8, h 11) 225-225" 228-228"

N-glycosylation sites / Sites de N-glycosylation / Posiciones de N-glicosilación
 H CH2 N84.4: 296, 296"
 Fucosylated complex bi-antennary CHO-type glycans / glycanes de type CHO bi-antennaires complexes fucosyles / glicanos de tipo CHO biantenarios complejos fucosilados.

C-terminal lysine clipping / Coupe de la lysine C-terminale / Recorte de lisina C-terminal
 H CHS K2: 446, 446"

umitrelimorgenum autodencel #

umitrelimogene autodencel

autologous dendritic cells (DCs) derived from peripheral blood mononuclear cells (PBMCs) obtained from newly diagnosed glioblastoma multiforme patients by apheresis, loaded with two messenger ribonucleic acids (mRNA) encoding (i) human lysosome-associated membrane protein 1 (LAMP 1) fused in frame to codon-optimised human cytomegalovirus (hCMV) 65 kDa matrix protein (pp65) (LAMP:pp65) and (ii) amino acids 21-261 of codon-optimised CD-40 ligand (CD-40L M21). Each mRNA also contains a 5' cap (cap 0), a Kozak sequence and a 3' polyadenylation tail.

The cells are expanded in selective growth media containing granulocyte-macrophage colony-stimulating factor (GM-CSF) and interleukin 4 (IL-4). Prior to the electroporation, the cells are briefly cultured in a maturation media containing TNF-alpha, interferon-gamma (IFN- γ) and prostaglandin E₂ (PGE2). The cell suspension contains $\geq 60\%$ dendritic cells (HLA-DR) and $\leq 10\%$ each of T lymphocytes (CD3), B lymphocytes (CD19), natural killer cells (CD56) and monocytes (CD14). In a co-culture assay with T lymphocytes from the same patient the cells release IFN- γ .

umitrélimorgène autodencel

cellules dendritiques (DC) autologues dérivées de cellules mononucléaires de sang périphérique (PBMC) obtenues par aphérèse de patients atteints de glioblastome multiforme récemment diagnostiqués, chargées avec deux acides ribonucléiques messagers (mRNA) codant (i) la protéine 1 membranaire associée au lysosome humain (LAMP 1) fusionnée sans décalage du cadre de lecture à la protéine de matrice 65 kDa (pp65) du cytomégalovirus humain (hCMV) aux codons optimisés (LAMP:pp65) et (ii) les acides aminés 21-261 du ligand CD-40 aux codons optimisés (CD-40L M21). Chaque ARNm contient également un cap (cap 0) en 5', un promoteur T7, une séquence Kozak et une queue de polyadénylation en 3'. Les cellules sont amplifiées dans un milieu de croissance sélectif contenant du facteur de stimulation des colonies de granulocytes-macrophages (GM-CSF) et de l'interleukine 4 (IL-4), puis avant l'électroporation, les cellules sont brièvement cultivées dans un milieu de maturation contenant du TNF-alpha, de l'interféron-gamma (IFN- γ) et de la prostaglandine E₂ (PGE2). La suspension cellulaire contient $\geq 60\%$ de cellules dendritiques (HLA-DR) et $\leq 10\%$ de lymphocytes T (CD3), lymphocytes B (CD19), cellules tueuses naturelles (CD56) et monocytes (CD14). Dans un essai de co-culture avec des lymphocytes T du même patient, les cellules libèrent de l'IFN- γ .

umitrelimorgén autodencel

células dendríticas autólogas derivadas de células mononucleares de sangre periférica obtenidas mediante aféresis de pacientes diagnosticados de glioblastoma múltiple, cargadas con dos ácidos ribonucleicos mensajeros (ARNm) que codifican para (i) la proteína 1 de membrana asociada al lisosoma (LAMP-1) fusionada, en el mismo marco de lectura, con la proteína de la matriz de 65 kDa (pp65) del citomegalovirus humano (hCMV), con codones optimizados (LAMP:pp65) y (ii) los amino ácidos 21-261 del ligando de CD-40 con codones optimizados (CD40L M21). Cada ARNm también contiene una caperuza (cap 0) en 5', un promotor T7, una secuencia Kozak y una cola de poliadenilación.

Las células se expanden en medio de crecimiento selectivo que contiene factor estimulante de colonias de granulocitos-macrófagos (GM-CSF) e interleuquina 4 (IL-4), y después, antes de la electroporación, las células se cultivan brevemente en un medio de maduración que contiene TNF-alfa, interferón-gamma (IFN- γ) y prostaglandina E₂ (PEG2). La suspensión celular contiene $\geq 60\%$ de células dendríticas (HLA-DR) y $\leq 10\%$ de cada una de estas poblaciones celulares, linfocitos T (CD3), linfocitos B (CD19), células natural killer (CD56) y monocitos (CD14). En un ensayo de co-cultivo con linfocitos T del mismo paciente, las células liberan IFN- γ .

umizortamig

umizortamig

immunoglobulin scFv-G1-scFv-scFv_L-kappa, anti-[*Homo sapiens* EGFRvIII (epidermal growth factor receptor (receptor tyrosine-protein kinase erbB-1, ERBB1, HER1, HER-1, ERBB) variant III)], anti-[*Homo sapiens* CD3E (CD3 epsilon, Leu-4) and CD3G], anti-[*Homo sapiens* CD274 (programmed cell death 1 ligand 1, B7H1, B7-H1, PDL1, PD-L1, PDCD1L1, B7 homolog 1, B7 homologue 1)] and anti-[*Homo sapiens* TNFRSF9 (tumor necrosis factor receptor (TNFR) superfamily member 9, 4-1BB, T cell antigen ILA, CD137 (4-1BB, CD137), 41BB)], humanized and chimeric monoclonal antibody, tetraspecific, tetravalent; scFv-G1-scFv-scFv fused heavy chain humanized and chimeric (1-1231) [scFv kappa-heavy anti-CD3E and CD3G humanized (1-252) [V-KAPPA (*Homo sapiens* IGKV1-5*01 (90.1%) -IGKJ4*01 (90.9%), CDR-IMGT [6.3.14] (27-32.50-52.89-102)) (1-112) -20-mer tetrakis(tetraglycyl-seryl) linker (113-132) -VH (*Homo sapiens*IGHV3-66*01 (86.6%) -(IGHD) -IGHJ1*01 (100%), CDR-IMGT [8.7.14] (158-165.183-189.228-241)) (133-252)] -10-mer bis(tetraglycyl-seryl) linker (253-262) -gamma-1 heavy chain anti-EGFRvIII chimeric (263-707) [VH Musmus/Homsap (*Mus musculus* IGHV3-2*02 (94.82%) -(IGHD) -IGHJ3*01 (92.9%)/*Homo sapiens* IGHV4-30-4*01 (72.9%) -(IGHD) -IGHJ4*01 (85.7%), CDR-IMGT [9.7.9] (288-296.314-320.359-367)) (263-378) -*Homo sapiens*IGHG1*01v, G1m17, 1>G1m3,1, G1v14-1 CH2 A1.3, A1.2, A1, G1v20 CH2 A105 (CH1 R120 (475) (379-476), hinge 1-15 (477-491), CH2 L1.3>A (495), L1.2>A (496), G1>A (498), K105>A (583) (492-601), CH3 D12 (617), L14 (619) (602-706), CHS K2>del (707)) (379-707)] -10-mer bis(tetraglycyl-seryl) linker (708-717) -scFv heavy-kappa anti-CD274 humanized (718-969) [VH (*Homo sapiens* IGHV3-23*01 (84.0%) -(IGHD) -IGHJ1*01 (100%), CDR-IMGT [9.9.13] (743-751.769-777.816-828)) (718-839) -20-mer tetrakis(tetraglycyl-seryl) linker (840-859) -V-KAPPA (*Homo sapiens* IGKV1-5*03 (91.5%) -IGKJ4*01 (100%), CDR-IMGT [6.3.12] (886-891.909-911.948-959)) (860-969)] -10-mer bis(tetraglycyl-seryl) linker (970-979) -scFv heavy-kappa anti-TNFRSF9 humanized (980-1231) [VH (*Homo sapiens* IGHV3-66*01 (85.6%) -(IGHD) -IGHJ4*01 (100%), CDR-IMGT [9.9.12] (1004-1012.1030-1038.1077-1088)) (980-1099) -20-mer tetrakis(tetraglycyl-seryl) linker (1100-1119) -V-KAPPA (*Homo sapiens* IGKV1-5*03 (87.2%) -IGKJ4*01 (100%), CDR-IMGT [6.3.14] (1146-1151.1169-1171.1208-1221)) (1120-1231)]; (481-214') disulfide with kappa light chain anti-EGFRvIII chimeric (1'-214') [V-KAPPA Musmus/Homsap (*Mus musculus* IGKV14-100*01 (93.7%) -IGKJ1*01 (100%)/*Homo sapiens* IGKV1-12*01 (63.2%) -IGKJ4*01 (90.9%), CDR-IMGT [6.3.9] (27-32.50-52.89-97)) (1'-107') -*Homo sapiens* IGKC*01 (100%), Km3 A45.1 (153), V101 (191) (108'-214')]; dimer (487-487":490-490")-bisdisulfide, produced in Chinese hamster ovary (CHO) cells, glycoform alfa

umizortamig	immunoglobuline scFv-G1-scFv-scFv_L-kappa, <i>Homo sapiens</i> EGFRvIII (variante III del receptor del factor de crecimiento epidérmico (receptor tirosina-proteína kinasa erB-1, ERBB1, HER1, HER-1, ERBB)), anti-[<i>Homo sapiens</i> anti-CD3E (CD3 epsilon, Leu-4) y CD3G], anti-[<i>Homo sapiens</i> CD274 (ligando 1 de muerte programada, PDL1, PD-L1, homólogo 1 de B7, B7H1)] y anti-TNFRSF9 (miembro 9 de la superfamilia de los receptores del factor de necrosis tumoral, 4-1BB, CD137)], anticuerpo monoclonal humanizado y químérico, tetraespecífico, tetravalente; cadena pesada fusionada scFv-G1-scFv-scFv humanizada y química (1-1231) [scFv kappa-pesado anti-CD3E y CD3G humanizada (1-252) [V-KAPPA (<i>Homo sapiens</i> IGKV1-5*01 (90.1%) -IGKJ4*01 (90.9%), CDR-IMGT [6.3.14] (27-32.50-52.89-102)) (1-112) -20-mer tétrakis(tetraglicil-seril) linker (113-132) -VH (<i>Homo sapiens</i> IGHV3-66*01 (86.6%) -(IGHD) -IGHJ1*01 (100%), CDR-IMGT [8.7.14] (158-165.183-189.228-241)) (133-252)] -10-mer bis(tetraglicil-seril) linker (253-262) -
umizortamig	inmunoglobulina scFv-G1-scFv-scFv_L-kappa, <i>Homo sapiens</i> EGFRvIII (variante III del receptor del factor de crecimiento epidérmico (receptor tirosina-proteína kinasa erB-1, ERBB1, HER1, HER-1, ERBB)), anti-[<i>Homo sapiens</i> anti-CD3E (CD3 epsilon, Leu-4) y CD3G], anti-[<i>Homo sapiens</i> CD274 (ligando 1 de muerte programada, PDL1, PD-L1, homólogo 1 de B7, B7H1)] y anti-TNFRSF9 (miembro 9 de la superfamilia de los receptores del factor de necrosis tumoral, 4-1BB, CD137)], anticuerpo monoclonal humanizado y químérico, tetraespecífico, tetravalente; cadena pesada fusionada scFv-G1-scFv-scFv humanizada y química (1-1231) [scFv kappa-pesado anti-CD3E y CD3G humanizada (1-252) [V-KAPPA (<i>Homo sapiens</i> IGKV1-5*01 (90.1%) -IGKJ4*01 (90.9%), CDR-IMGT [6.3.14] (27-32.50-52.89-102)) (1-112) -20-mer tétrakis(tetraglicil-seril) linker (113-132) -VH (<i>Homo sapiens</i> IGHV3-66*01 (86.6%) -(IGHD) -IGHJ1*01 (100%), CDR-IMGT [8.7.14] (158-165.183-189.228-241)) (133-252)] -10-mer bis(tetraglicil-seril) linker (253-262) -

cadena pesada gamma-1 anti-EGFRvIII químérica (263-707) [VH Musmus/Homsap (*Mus musculus*) IGHV3-2*02 (94.82%) -(IGHD) -IGHJ3*01 (92.9%)/*Homo sapiens* IGHV4-30-4*01 (72.9%) -(IGHD) -IGHJ4*01 (85.7%), CDR-IMGT [9.7.9] (288-296.314-320.359-367)) (263-378) -*Homo sapiens* IGHG1*01v, G1m17,1>G1m3,1, G1v14-1 CH2 A1.3, A1.2, A1, G1v20 CH2 A105 (CH1 R120 (475) (379-476), bisagra 1-15 (477-491), CH2 L1.3>A (495), L1.2>A (496), G1>A (498), K105>A (583) (492-601), CH3 D12 (617), L14 (619) (602-706), CHS K2>del (707)) (379-707)] -10-mer bis(tetraglicil-seril) linker (708-717) -scFv pesado-kappa anti-CD274 humanizada (718-969) [VH (*Homo sapiens* IGHV3-23*01 (84.0%) -(IGHD) -IGHJ1*01 (100%), CDR-IMGT [9.9.13] (743-751.769-777.816-828)) (718-839) -20-mer tetrakis(tetraglicil-seril) linker (840-859) -V-KAPPA (*Homo sapiens* IGKV1-5*03 (91.5%) -IGKJ4*01 (100%), CDR-IMGT [6.3.12] (886-891.909-911.948-959) (860-969)) -10-mer bis(tetraglicil-seril) linker (970-979) -scFv pesado-kappa anti-TNFRSF9 humanizada (980-1231) [VH (*Homo sapiens* IGHV3-66*01 (85.6%) -(IGHD) -IGHJ4*01 (100%), CDR-IMGT [9.9.12] (1004-1012.1030-1038.1077-1088)) (980-1099) -20-mer tetrakis(tetraglicil-seril) linker (1100-1119) -V-KAPPA (*Homo sapiens* IGKV1-5*03 (87.2%) -IGKJ4*01 (100%), CDR-IMGT [6.3.14] (1146-1151.1169-1171.1208-1221)) (1120-1231)); (481-214')-disulfuro con la cadena ligera kappa anti-EGFRvIII químérica (1'-214') [V-KAPPA Musmus/Homsap (*Mus musculus* IGKV14-100*01 (93.7%) -IGKJ1*01 (100%)/*Homo sapiens* IGKV1-12*01 (63.2%) -IGKJ4*01 (90.9%), CDR-IMGT [6.3.9] (27-32.50-52.89-97)) (1'-107') -*Homo sapiens* IGKC*01 (100%), Km3 A45.1 (153), V101 (191) (108'-214')]; dímero (487-487":490-490")-bisdisulfuro, producido en las células ováricas de hámster chino (CHO), forma glicosilada alfa

Heavy chain / Chaîne lourde / Cadena pesada:

[scFv (anti-CD3E)-G1 (anti-EGFRvII)-scFv (anti-CD274)-scFv (anti-TNFRSF9)]

DVVMTQPST	LSASVGDRTV	INQASESIS	SWLAWYQQKP	GKAKPILLIYE	50
ASKLASGVFS	RFGSGSSGTE	FTLTISLLQP	DDFAFYQQG	YFYFISRTYV	100
NSFGGGTKE	IKGGGGGGGG	GSGGGGGGG	GSEVQLVLESG	GGLVQPGGSL	150
RLSCLAASTG	ISTNAMSWSR	QAFQKGLEWI	GVITGRDITY	YASWAKGRFT	200
ISRDNSKNTL	YLQMNNSLRAP	DTAVYCCARD	GGSAAITSNN	IWGQGTIVTV	250
SSGGGGGGGG	GSDVNLQLESG	PSLVVKPSQS	SLTCTVTVGYS	ITSDFAWNW	300
RQFPGNKLEW	MGYIISYSQNT	RYNPSLKSRI	SITRDRTSKNQ	FFLQLNNSVTI	350
EDTATYYCVT	AGRGFPTWYQG	GTLVTVSAAS	TKGPSPVFPLA	PSSKSTSGGT	400
AALGLCKVLD	FPEPFVTWSNT	SAGALTSGVHT	FPAVQLQSSGL	YSSLSSVTVTP	450
SSSLGTQTYI	CNVNHKPSNT	KVDKRVPEPKS	CDKTHTCPC	PAPEAAAGAPS	500
VLFPPPKPKD	TLMISRTPEV	TCVVDFVSHE	DPEVKFNVVY	DGVEVHNNAKT	550
KPREEQYNST	YRVVSVLTVI	HQDWLNKBEY	KCAVSNKALP	APIERKTISSKA	600
KQPREPVQY	TLPFPSRDEL	KNQVSLTCLV	KGFYFSIDIAV	EWEWSNCOPEN	650
NYKQTPPVLD	SDGSGFLYSE	LTVDKRSRWWQ	GNVFSCSVMH	EALHNHYTQK	700
SLSLSPGGGG	GSGGGGGSEVO	LLESGGGGLVQ	PGGSLRLSCA	ASGFSFSSGY	750
DMCWVRQAPG	KGLEWIAIC	AGSAGITDYDA	NWAKGRCFTIS	RDNSKNTLYL	800
QMNSLRAEDT	AAYYCARSAF	SFDYAMDLNG	QGTIVTVSSG	GGGSGGGGGSG	850
GGGGGGGGSD	IQMTPSPSTL	SASVGDRVTI	TCQASQSISS	HLNWyQKPG	900
KAPKLIIYKA	STLASGVPSR	FGSGGGTGF	TLTISIQLPD	DFATYYQQQG	950
YSWGNVDNFV	GGGTKEVIKG	GGGGGGGGQ	SLVEGGGLV	QPGGSILRSLC	1000
AASGFWFSSN	YWICWVRQAPG	GKLEWIAICI	YVGSSGDYYY	ASSAKGRFTI	1050
SRDNSKNTLYL	LQMNNSLRAD	TAVYCCARD	SSYMFNLWG	QGTIVTVSSG	1100
GGGGGGGGSG	GGGGGGGGSA	LVMTQSPSTL	SASVGDRVTI	NQCASEDIDT	1150
YLAWYQKPG	KAPKLIIYFA	SDLASGVPSR	FGSGGGTGF	TLTISIQLPD	1200
DFATYYCCQG	YTTSSADTR	AFGGTKVIE	K		1231

Light chain / Chaîne légère / Cadena ligera

DILMTQPSS	MSVSLGDTVS	ITCHSSQDIN	SNIGWLQQRP	GKSFKGLIYH	50
GTNLDEEVPS	RFGSGGGGAD	YSLTISLLQP	EDFDADYYCQV	YAQFPWTFGG	100
GTKLIEKRTV	AAPSVFIFPP	SDEQLSKGTA	SVVLCLNNFY	PREAKVQWKV	150
DNALQSGNSQ	ESVTEQDSKD	STYSLSSLT	LSKADYEKKH	VYACEVTHQG	200
LSSPVTKSFN	R GEC				214

Post-translational modifications

Disulfide bridges location / Position des ponts disulfure / Posiciones de los puentes disulfuro

Intra-H (C23-C104) 23-88 154-227 284-358 405-461 522-582
 23"-88" 154"-227" 284"-358" 405"-461" 522"-582"
 628-686 739-815 882-947 1000-1076 1142-1207
 628"-686" 739"-815" 882"-947" 1000"-1076" 1142"-1207"
 Intra-L (C23-C104) 23-88" 134"-194"
 23"-88" 134"-194"
 Inter-H-L (h 5-CL 126) 481-214" 481"-214"
 Inter-H-H (h 11, h 14) 487-487" 490-490"

N-glycosylation sites / Sites de N-glycosylation / Posiciones de N-glicosilación

H CH2 N84.4: 558, 558"

Fucosylated complex bi-antennary CHO-type glycans / glycanes de type CHO bi-antennaires complexes fucosylés / glicanos de tipo CHO biantenarios complejos fucosilados.

unekritinibum

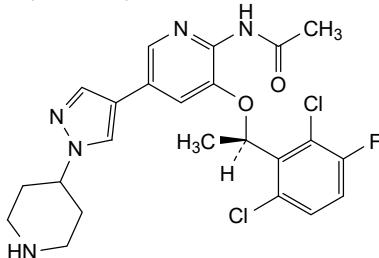
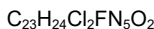
unekritinib

N-{3-[(1*R*)-1-(2,6-dichloro-3-fluorophenyl)ethoxy]-5-[1-(piperidin-4-yl)-1*H*-pyrazol-4-yl]pyridin-2-yl}acetamide

unécritinib

N-{3-[(1*R*)-1-(2,6-dichloro-3-fluorophényl)éthoxy]-5-[1-(pipéridin-4-yl)-1*H*-pyrazol-4-yl]pyridin-2-yl}acetamide

unekritinib

N-{3-[(1*R*)-1-(2,6-dicloro-3-fluorofenil)etoxi]-5-[1-(piperidin-4-il)-1*H*-pirazol-4-il]piridin-2-il}acetamida**vamotinibum**

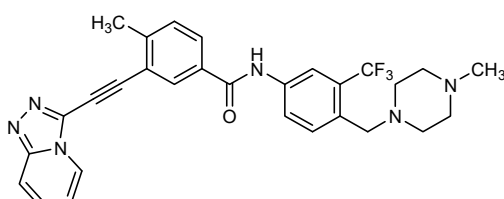
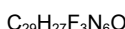
vamotinib

4-methyl-*N*-{4-[(4-methylpiperazin-1-yl)methyl]-3-(trifluoromethyl)phenyl}-3-[(1,2,4-triazolo[4,3-*a*]pyridin-3-yl)ethynyl]benzamide

vamotinib

4-méthyl-*N*-{4-[(4-méthylpipérazin-1-yl)méthyl]-3-(trifluorométhyl)phényl}-3-[(1,2,4-triazolo[4,3-*a*]pyridin-3-yl)éthynil]benzamide

vamotinib

4-metil-*N*-{4-[(4-metilpiperazin-1-il)metil]-3-(trifluorometil)fenil}-3-[(1,2,4-triazolo[4,3-*a*]piridin-3-il)etinil]benzamide**varnimcabtagenum autoleucelum #**

varnimcabtagene autoleucel

autologous T lymphocytes obtained from peripheral blood lymphocytes by leukapheresis, transduced with a self-inactivating, non-replicating lentiviral vector, encoding a chimeric antigen receptor targeting CD19. The expressed transgene comprises a CD8α leader sequence, a murine anti-CD19 single chain variable fragment (scFv) derived from clone A3B1, a CD8α hinge and transmembrane region, and a 4-1BB (CD137) and CD3ζ (CD247) signaling domain and is under control of the elongation factor 1 alpha (EF1α) promoter. The construct is flanked by 5' and 3' long terminal repeats (LTRs) and also contains a ψ packaging signal, a Rev response element (RRE), a central polypurine tract (cPPT) sequence, a Woodchuck hepatitis virus posttranscriptional regulatory element (WPRE) and a remnant of a deleted nef gene.

varnimcabtagène autoleucel

lymphocytes T autologues obtenus à partir de lymphocytes de sang périphérique par leucaphérèse, transduits avec un vecteur lentiviral auto-inactivant et non répliquant, codant un récepteur antigénique chimérique ciblant CD19. Le transgène exprimé comprend une séquence de tête CD8α, un fragment variable à chaîne unique (scFv) anti-CD19 murin dérivé du clone A3B1, une région charnière et transmembranaire CD8α, et un domaine de signalisation 4-1BB (CD137) et CD3ζ (CD247) qui est sous le contrôle du promoteur du facteur d'elongation 1 alpha (EF1α). La construction est flanquée de longues répétitions terminales (LTR) en 5' et 3' et contient également un signal d'encapsidation ψ, un élément de réponse Rev (RRE), une séquence du tractus polypurine central (cPPT), un élément de régulation post-transcriptionnel (WPRE) du virus de l'hépatite de marmotte et un reste du gène *nef* supprimé. Le matériel de leucaphérèse est enrichi en lymphocytes T CD4/CD8 par immunoélection positive, activé par des agonistes CD3 et CD28 et transduit par le vecteur. Les cellules sont ensuite développées dans un milieu complété par du sérum AB humain provenant de donneurs mâles sains, de l'interleukine (IL) 7 et de l'IL-15. La suspension cellulaire est constituée de lymphocytes T (>70%), avec plus de 20% des lymphocytes T exprimant le transgène CAR, et le pouvoir cytotoxique est mesuré contre une lignée de cellules leucémiques CD19+.

varnimcabtagén autoleucel

linfocitos T autólogos obtenidos de linfocitos de sangre periférica mediante leucaféresis, transducidos con un vector lentiviral auto inactivante, no replicativo, que codifica para un receptor de antígenos químérico (CAR) dirigido a CD19. El transgén expresado contiene una secuencia líder de CD8α, un fragmento variable de cadena sencilla (scFv) murino anti-CD19 derivado del clon A3B1, una región bisagra y transmembrana de CD8α, y un dominio de señalización 4-1BB (CD137) y CD3ζ (CD247), y está bajo el control del promotor del factor de elongación 1 alfa (EF1α). El constructo está flanqueado por repeticiones terminales largas (LTRs) en 5' y 3' y también contiene una señal de empaquetamiento ψ, un elemento de respuesta Rev (RRE), una secuencia de trato de poli-purina central (cPPT), un elemento regulador post-transcripcional del virus de la hepatitis de la marmota (WPRE) y los restos de un gen *nef* delecionado.

El material de leucoaféresis se enriquece para linfocitos T CD4/CD8 mediante inmunoselección positiva, se activa mediante agonistas de CD3 y CD28 y se transduce con el vector. Las células son después expandidas en medio suplementado con suero humano AB de donantes varones sanos, interleuquina (IL) 7 e IL-15. La suspensión celular consiste en linfocitos T (>70%), con más del 20% de los linfocitos T que expresan el transgén del CAR, y con potencia citotóxica medida frente a una línea celular CD19+ de leucemia.

varokibartum #

varokibart

immunoglobulin G4-lambda, anti-[*Homo sapiens* IL5 (interleukin 5, IL-5)], *Homo sapiens* monoclonal antibody; gamma4 heavy chain *Homo sapiens* (1-443) [VH (*Homo sapiens*IGHV4-31*02 (99%) -(IGHD) - IGHJ5*01 (93.8%)) [10.7.9](26-35.53-59.98-106) (1-117) -*Homo sapiens*IGHG4*01, nG4m(a) CH2 L92, G4v5 h P10, G4v21 CH2 Y15.1, T16, E18 (CH1 (118-215), hinge 1-12 S10>P (225) (216-227), CH2 L92 (312), M>Y15.1 (249), S>T16 (251), T>E18 (253) (228-337), CH3 (338-442), CHS K2>del (443)) (118-443)], (131-213')-disulfide with lambda light chain *Homo sapiens* (1'-214') [V-LAMBDA (*Homo sapiens* IGLV1-21*02 (94.8%) -IGLJ2*01 (100%)) [6.3.11] (26-31.49-51.88-98) (1'-108') -*Homo sapiens* IGLC2*01 (100%) (109'-214')]; dimer(223-223":226-226")-bisdisulfide, produced in Chinese hamster ovary (CHO) cells, cell line CHO-K1SV, glycoform alfa

varokibart

immunoglobuline G4-lambda, anti-[*Homo sapiens* IL5 (interleukine 5, IL-5)], anticorps monoclonal *Homo sapiens*; chaîne lourde gamma1 *Homo sapiens* (1-443 [VH (*Homo sapiens*IGHV4-31*02 (99%) -(IGHD) - IGHJ5*01 (93.8%)) [10.7.9] (26-35.53-59.98-106) (1-117) -*Homo sapiens*IGHG4*01, nG4m(a) CH2 L92, G4v5 h P10, G4v21 CH2 Y15.1, T16, E18 (CH1 (118-215), charnière 1-12 S10>P (225) (216-227), CH2 L92 (312), M>Y15.1 (249), S>T16 (251), T>E18 (253) (228-337), CH3 (338-442), CHS K2>del (443)) (118-443)], (131-213')-disulfure avec la chaîne légère lambda *Homo sapiens* (1'-214') [V-LAMBDA (*Homo sapiens* IGLV1-21*02 (94.8%) -IGLJ2*01 (100%)) [6.3.11] (26-31.49-51.88-98) (1'-108') -*Homo sapiens* IGLC2*01 (100%) (109'-214')]; dimère (223-223":226-226")-bisdisulfure, produit dans des cellules ovariennes de hamster chinois (CHO), lignée cellulaire CHO-K1SV, glycoforme alfa

varokibart

inmunoglobulina G4-lambda, anti-[*Homo sapiens* IL5 (interleukina 5, IL-5)], anticuerpo monoclonal *Homo sapiens*; cadena pesada gamma1 *Homo sapiens* (1-443 [VH (*Homo sapiens*IGHV4-31*02 (99%) -(IGHD) - IGHJ5*01 (93.8%)) [10.7.9] (26-35.53-59.98-106) (1-117) -*Homo sapiens*IGHG4*01, nG4m(a) CH2 L92, G4v5 h P10, G4v21 CH2 Y15.1, T16, E18 (CH1 (118-215), bisagra 1-12 S10>P (225) (216-227), CH2 L92 (312), M>Y15.1 (249), S>T16 (251), T>E18 (253) (228-337), CH3 (338-442), CHS K2>del (443)) (118-443)], (131-213')-disulfuro con la cadena ligera lambda *Homo sapiens* (1'-214') [V-LAMBDA (*Homo sapiens* IGLV1-21*02 (94.8%) -IGLJ2*01 (100%)) [6.3.11] (26-31.49-51.88-98) (1'-108') -*Homo sapiens* IGLC2*01 (100%) (109'-214')]; dímero (223-223":226-226")-bisdisulfuro, producido en las células ováricas de hámster chino (CHO), línea celular CHO-K1SV, forma glicosilada alfa

Heavy chain / Chaîne lourde / Cadena pesada
 QVOLQESCPG LVKPSQTLSL TCTVSGCGSIS NGGYYWWSIR QHPGKGLEWI 50
 GYLYYSSGTY YNPGLSKRVT ISVDTSKNQF SLKLSVSITAA DTAIVYCASI 100
 GNWFDYWQCGQ TLTVTSSAST KGPSPVPLAP CSRSTSESTA ALGCLVKDVF 150
 PEPVTUWSNS GNLTCGUWHTP PAVLQGSSLY SLSUVUTPS SSSLTKTYTC 200
 NVDHKPSNTK VDKRVEKSYG PPCPPCPAPE FLGGPSVFLF PPKEPKDLYI 250
 TREPEVTCVV VDVSQEDPEV QFNWYVUDGV VRNARTKPRE EQPNSTYRVV 300
 SVLTVLHQDM LNGKEYKCKV SNKGLESSIE KTISKARGQF REPVQVTLPP 350
 SQEEMTRKNQF SLTCLVRGFY PSDIAWEWES NGQPENNYKT TPPVLDSDG 400
 FFLYSRLTQV KSRMQEGNVF SCSVMHEALH NHYTQKSLSL SLG 443

Light chain / Chaîne légère / Cadena ligera
 SYVLTQPPSV SVAPGQTARI TCGGNNIGSK NVYWWQQKPG QAPVVLVHHHD 50
 SDRPGSIPER FGSGNSGNTA TTLTSRVEVG DEADYSQCQW DSDDSHVVG 100
 GTKLKLTVLGQ PKAAPSVTLF PPSSSELQAN KATLVCLLSD FYPGAVTVAW 150
 KADSSPVKAG VETTPPSKQS NNKYAASSYL SLTPEQWKSH RSYSQCQVTHE 200
 GSTVEKTVAP TECS 214

Post-translational modifications
 Disulfide bridges location / Position des ponts disulfure / Posiciones de los puentes disulfuro
 Intra-H (C23-C104) 22-97 144-200 258-318 364-422
 22"-97" 144"-200" 258"-318" 364"-422"
 Intra-L (C23-C104) 22-87 136"-195"
 22"-87" 136"-195"
 Inter-H-L (CH1 10-CL 126) 131-213 131"-213"
 Inter-H-H (h 8, h 11) 223-223" 226-226"

N-terminal glutaminyl cyclization / Cyclisation du glutaminylique N-terminal / Ciclación del glutamínico N-terminal
 Q > pyroglutamyl (pE, 5-oxoprolyl) / pyroglutamyle (pE, 5-oxoprolyle) / piroglutamilo (pE, 5-oxoprolilo)
 H VH Q1: 1, 1"

N-glycosylation sites / Sites de N-glycosylation / Posiciones de N-glicosilación
 H CH2 N84: 294, 294"
 Fucosylated complex bi-antennary CHO-type glycans / glycanes de tipo CHO bi-antennaires complexes fucosyles / glicanos de tipo CHO biantenarios complejos fucosilados

vepdegestrantum

vepdegestrant

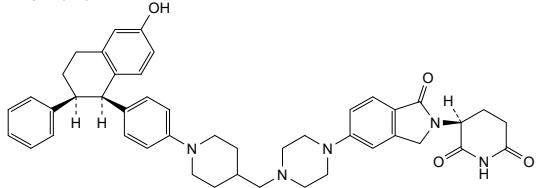
($2^1R,2^2S,8^3S$)-2⁶-hydroxy-2¹,2²,2³,2⁴-tetrahydro-7(5,2)-isoindola-6(1,4)-piperazina-4(1,4),8(3)-dipiperidina-2(2,1)-naphthalena-1(1),3(1,4)-dibenzenoctaphane-7¹,8²,8⁶(7^3H)-trione

vepdégestrant

($2^1R,2^2S,8^3S$)-2⁶-hydroxy-2¹,2²,2³,2⁴-tétrahydro-7(5,2)-isoindola-6(1,4)-pipérázina-4(1,4),8(3)-dipipérídina-2(2,1)-naphtaléna-1(1),3(1,4)-dibenzénoctaphane-7¹,8²,8⁶(7^3H)-trione

vepdegestrant

($2^1R,2^2S,8^3S$)-2⁶-hidroxi-2¹,2²,2³,2⁴-tetrahidro-7(5,2)-isoindola-6(1,4)-piperazina-4(1,4),8(3)-dipiperidina-2(2,1)-naftalena-1(1),3(1,4)-dibencenoctafano-7¹,8²,8⁶(7^3H)-triona



vidoflufolastatum (^{18}F)

vidoflufolastat (^{18}F)

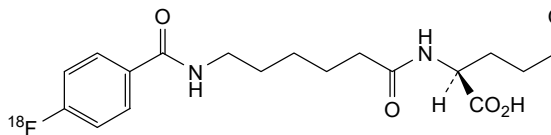
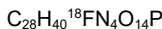
(10S,15S,22S)-1-[4-(^{18}F)fluorophenyl]-20-hydroxy-1,8,13,20-tetraoxo-19-oxa-2,9,14,21-tetraaza-20 λ^5 -phosphatetraacosane-10,15,22,24-tetracarboxylic acid

vidoflufolastat (^{18}F)

acide (10S,15S,22S)-1-[4-(^{18}F)fluorophényle]-20-hydroxy-1,8,13,20-tétraoxo-19-oxa-2,9,14,21-tétraza-20 λ^5 -phosphatétracosane-10,15,22,24-tétracarboxylique

vidoflufolastat (^{18}F)

ácido (10S,15S,22S)-1-[4-(^{18}F)fluorofenil]-20-hidroxi-1,8,13,20-tetraoxo-19-oxa-2,9,14,21-tetraaza-20 λ^5 -fosfatetraicosano-10,15,22,24-tetracarboxílico

**vilamakitug #**

vilamakitug

immunoglobulin G4-kappa, anti-[*Homo sapiens* IL1A (interleukin 1 alpha)], monoclonal antibody; gamma4 heavy chain (1-445) [VH (*Homo sapiens*IGHV1-69*01 (80.4%) -(IGHD) -IGHJ4*01 (100%), CDR-IMGT [8.8.11] (26-33.51-58.97-107)) (1-118) - *Homo sapiens* IGHG4*01 (100%), nG4m(a) CH2 L92 (CH1 (119-216), hinge 1-12 (217-228), CH2 L92 (307) (229-338), CH3 (339-443), CHS (444-445)) (119-445)], (132-220')-disulfide with kappa light chain (1'-220') [V-KAPPA (*Homo sapiens* IGKV4-1*01 (100%) -IGKJ1*01 (100%), CDR-IMGT [12.3.9] (27-38.56-58.95-103)) (1'-113') -*Homo sapiens* IGKC*01 (100%), Km3 A45.1 (159), V101 (197) (114'-220')]; dimer (224-224":227-227")-bisdisulfide, produced in Chinese hamster ovary (CHO) cells, cell line CHO-K1SV, glycoform alfa

vilamakitug

immunoglobuline G4-kappa, anti-[*Homo sapiens* IL1A (interleukine 1 alpha)], anticorps monoclonal; chaîne lourde gamma4 (1-445) [VH (*Homo sapiens*IGHV1-69*01 (80.4%) -(IGHD) -IGHJ4*01 (100%), CDR-IMGT [8.8.11] (26-33.51-58.97-107)) (1-118) - *Homo sapiens* IGHG4*01 (100%), nG4m(a) CH2 L92 (CH1 (119-216), charnière 1-12 (217-228), CH2 L92 (307) (229-338), CH3 (339-443), CHS (444-445)) (119-445)], (132-220')-disulfure avec la chaîne légère kappa (1'-220') [V-KAPPA (*Homo sapiens* IGKV4-1*01 (100%) -IGKJ1*01 (100%), CDR-IMGT [12.3.9] (27-38.56-58.95-103))(1'-113') -*Homo sapiens* IGKC*01 (100%), Km3 A45.1 (159), V101 (197) (114'-220')]; dimère (224-224":227-227")-bisdisulfure, produit dans des cellules ovariennes de hamster chinois (CHO), lignée cellulaire CHO-K1SV, glycoforme alfa

vilamakitug

immunoglobulina G4-kappa, anti-[*Homo sapiens* IL1A (interleukina 1 alfa)], anticuerpo monoclonal; cadena pesada gamma4 (1-445) [VH (*Homo sapiens*IGHV1-69*01 (80.4%)-(IGHD)-IGHJ4*01 (100%), CDR-IMGT [8.8.11] (26-33.51-58.97-107)) (1-118) - *Homo sapiens* IGHG4*01 (100%), nG4m(a) CH2 L92 (CH1 (119-216), bisagra 1-12 (217-228), CH2 L92 (307) (229-338), CH3 (339-443), CHS (444-445)) (119-445)], (132-220')-disulfuro con la cadena ligera kappa (1'-220') [V-KAPPA (*Homo sapiens* IGKV4-1*01 (100%)-IGKJ1*01 (100%), CDR-IMGT [12.3.9] (27-38.56-58.95-103))(1'-113') -*Homo sapiens* IGKC*01 (100%), Km3 A45.1 (159), V101 (197) (114'-220')]; dímero (224-224":227-227")-bisdisulfuro, producido en las células ováricas de hámster chino (CHO), línea celular CHO-K1SV, forma glicosilada alfa

Heavy chain / Chaîne lourde / Cadena pesada
 QVQLVQSGAE VRKPGSSVKV SCKASGGRT NYAILWVRQA PGQGLQWLGG 50
 IPIFDETDQ AQDFQDRLTI TVDESMTTAY MELSSLRPED TAIYYCAGTS 100
 NSYYGLYWGQ GTLVTVSSA S FGKPSVFFLA PCSRSRSTSEST AALGCLVKRDY 150
 FPEPVTVWSW SGAITSGVHT FPAAVLSQVFLA YSLSSVVTVF SSSLGKTYT 200
 CNVDHKPSNT KVDRKRVESVKY GPPCPSPCAP EFLGGPSVFL FPPPKPKDTIM 250
 ISRTPEVTCV VVDVSNQEDPE VQFNFWVPGV EVHNAKTPR EEQFNSTYRV 300
 VSVLTVLHQD WLNGKEYKCK VSNKGLPSSI EKTISAKAQGQ PREPQVYTL 350
 PSQEEMTQNQ VSLTCVKGF YPSDIAMEWV SNGQPENNYK TTPPVLDSDG 400
 SFLFLYSRLTV DKSRWQEGNV FSCSVMHEAL HNNHYTQKSLS LSLGK 445

Light chain / Chaîne légère / Cadena ligera
 DIVMTQSPDS LAVSLGERAT INCKSSQSVL YSSNNKNYLA WYQQKPGQPP 50
 KLLIYWASTR ESGVPDRFSG SGSGTDFLT ISSLQAEDVA VYYCQQYYST 100
 PSTFGQGKTV EIKRTVVAAPS VFIFPESDEQ LKSGTASVVC LLNNFYPREA 150
 KVQWKVDNAL QSGNSQESVT EQDSKDSTYS LSSTLTLSKA DYEKHKVYAC 200
 EVTHQGLSSP VTFSRNLRC 220

Post-translational modifications
 Disulfide bridges location / Position des ponts disulfure / Posiciones de los puentes disulfuro
 Intra-H (C23-C104) 22-96 145-201 259-319 365-423
 22"-96" 145"-201" 259"-319" 365"-423"
 Intra-L (C23-C104) 23-94" 140"-200"
 23"-94" 140"-200"
 Inter-H-L (CHI 10-CL 126) 132-220" 132"-220"
 Inter-H-H (h.5, h.11) 224-224" 227-227"

N-terminal glutaminyl cyclization / Cyclisation du glutaminyle N-terminal / Ciclación del glutamínile N-terminal
 Q> pyroglyutamyl (pE, 5-oxoprolil) / pyroglutamyle (pE, 5-oxoprolile) / piroglutamilo (pE, 5-oxoprolilo)
 HVH Q1: 1, 1"

N-glycosylation sites / Sites de N-glycosylation / Posiciones de N-glicosilación
 H CH2 N84:4: 295, 295"
 Fucosylated complex bi-antennary CHO-type glycans / glycanes de tipo CHO bi-antennarios complejos fucosilados.

C-terminal lysine clipping / Coupe de la lysine C-terminale / Recorte de lisina C-terminal
 H CHS K2: 445, 445"

vimnerixinum

vimnerixin

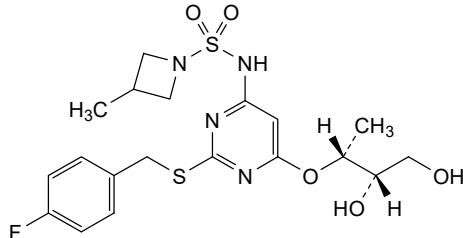
N-(6-{[(2*R*,3*S*)-3,4-dihydroxybutan-2-*y*l]oxy}-2-{[(4-fluorophenyl)methyl]sulfanyl}pyrimidin-4-*y*l)-3-methylazetidine-1-sulfonamide

vimnérixine

N-(6-{[(2*R*,3*S*)-3,4-dihydroxybutan-2-*y*l]oxy}-2-{[(4-fluorophényl)méthyl]sulfanyl}pyrimidin-4-*y*l)-3-méthylazétidine-1-sulfonamide

vimnerixina

N-(6-{[(2*R*,3*S*)-3,4-dihidroxibutan-2-*y*l]oxi}-2-{[(4-fluorofenil)metyl]sulfanil}pirimidin-4-*y*l)-3-metilazetidina-1-sulfonamida



vipoglanstatum

vipoglanstat

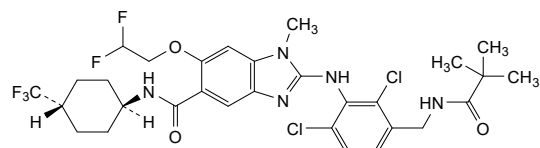
2-{2,6-dichloro-3-[(2,2-dimethylpropanamido)methyl]janilino}-6-(2,2-difluoroethoxy)-1-methyl-*N*-[*trans*-4-(trifluoromethyl)cyclohexyl]-1*H*-benzimidazole-5-carboxamide

vipoglanstat

2-{2,6-dichloro-3-[(2,2-diméthylpropanamido)méthyl]anilino}-6-(2,2-difluoroéthoxy)-1-méthyl-N-[*trans*-4-(trifluorométhyl)cyclohexyl]-1*H*-benzimidazole-5-carboxamide

vipoglanstat

2-{2,6-dicloro-3-[(2,2-dimetilpropanamido)metil]anilino}-6-(2,2-difluoroetoxi)-1-metil-N-[*trans*-4-(trifluorometil)ciclohexil]-1*H*-benzimidazol-5-carboxamida

**vociprotafibum**

vociprotafib

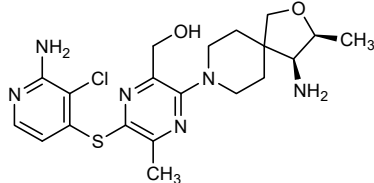
{6-[(2-amino-3-chloropyridin-4-yl)sulfanyl]-3-[(3*S*,4*S*)-4-amino-3-methyl-2-oxa-8-azaspiro[4.5]decan-8-yl]-5-methylpyrazin-2-yl}methanol

vociprotafib

{6-[(2-amino-3-chloropyridin-4-yl)sulfanyl]-3-[(3*S*,4*S*)-4-amino-3-méthyl-2-oxa-8-azaspiro[4.5]décan-8-yl]-5-méthylpyrazin-2-yl}methanol

vociprotafib

{6-[(2-amino-3-cloropiridin-4-il)sulfanil]-3-[(3*S*,4*S*)-4-amino-3-metil-2-oxa-8-azaspiro[4.5]decan-8-il]-5-metilpirazin-2-il}methanol

**vodoreutentanum**

vodoreutentan

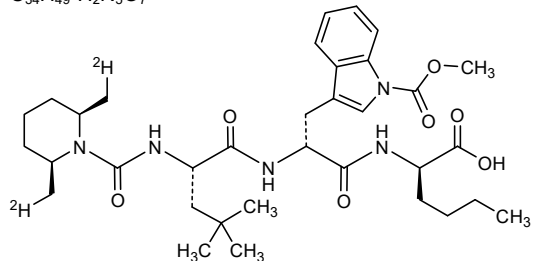
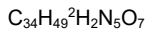
N-{[(2*R*,6*S*)-2,6-di[({²H}_1)méthyl]piperidine-1-carbonyl]-4-méthyl-L-leucyl-1-(méthoxycarbonyl)-D-tryptophyl-(2*R*)-2-aminohexanoic acid

vodoreutentan

acide *N*-{[(2*R*,6*S*)-2,6-di[({²H}_1)méthyl]pipéridine-1-carbonyl]-4-méthyl-L-leucyl-1-(méthoxycarbonyl)-D-tryptophyl-(2*R*)-2-aminohexanoïque

vodoreutentán

ácido *N*-{[(2*R*,6*S*)-2,6-di[({²H}_1)metil]piperidina-1-carbonil]-4-metil-L-leucil-1-(metoxicarbonil)-D-triptofil-(2*R*)-2-aminohexanoico

**volrustomig #**

volrustomig

immunoglobulin G1-kappa/kappa-lambda, anti-[*Homo sapiens* PDCD1 (programmed cell death 1, PD1, PD-1, CD279)] and anti-[*Homo sapiens* CTLA4 (cytotoxic T-lymphocyte-associated antigen 4, cytotoxic T-lymphocyte-associated protein 4, CTLA-4, CD152)], humanized and *Homo sapiens* monoclonal antibody, bispecific, bivalent; gamma1 heavy chain anti-PDCD1 humanized (1-452) [VH anti-PDCD1 humanized (*Homo sapiens* IGHV3-48*01 (92.9%) -(IGHD)-IGHJ4*01, L123>T (117) (93.3%), CDR-IMGT [8.8.15] (26-33.51-58.97-111) (1-122) -*Homo sapiens* IGHG1*03, G1m1, nG1m1, G1v39 CH2 F1.3, E1.2, S116, G1v33 CH3 S22, A24, V86 (hole) (CH1 R120 (219) (123-220), hinge 1-15 (221-235), CH2 L1.3>F (239), L1.2>E (240), P116>S (336) (236-345), CH3 Y5>C (354), E12 (361), M14 (363), T22>S (371), L24>A (373), Y86>V (412) (346-450), CHS (451-452)) (123-452)], (225-219')-disulfide with kappa light chain anti- PDCD1 humanized (1'-219') [V-KAPPA (*Homo sapiens* IGKV3-11*01 (81.0%) -IGKJ2*02 (100%)) CDR-IMGT [11.3.9] (27-37.55-57.94-102) (1'-112') -*Homo sapiens* IGKC*01 (100%) A45.1 (158), V101 (196) (113'-219') (113'-219')]; gamma1 heavy chain anti-CTLA4 *Homo sapiens* (1"-455") [VH anti-CTLA4 (*Homo sapiens* IGHV3-33*01 (100%) -(IGHD)-IGHJ6*01 (100%)) CDR-IMGT [8.8.18] (26-33.51-58.97-114) (1"-125") -*Homo sapiens* IGHG1*03, G1m1, nG1m1, G1v39 CH2 F1.3, E1.2, S116, G1v32 CH3 W32 (knob) (CH1 F5>C (134), R120 (222) (126"-223"), hinge 1-15, C5>V (228) (224"-238"), CH2 L1.3>F (242), L1.2>E (243), P116>S (339) (239"-348"), CH3 S10>C (362), E12 (364), M14 (366), T22>W (374) (349"-453"), CHS (454-455)) (126"-455")], (134"-122")-disulfide with kappa-lambda light chain anti-CTLA4 *Homo sapiens* (1"-213") [V-KAPPA anti-CTLA4 (*Homo sapiens* IGKV1-39*01 (96.8%) -IGKJ3*01, D125>E (91.7%), CDR-IMGT [6.3.7] (27-32.50-52.89-95) (1"-107") -*Homo sapiens* IGLC2*01, S10>C (122), C126>V (212) (98.1%) (108""-213"")]; heterodimer (231-234":234-237":354-362")-trisdisulfide, produced in a cell line derived from Chinese hamster ovary (CHO) cells, glycoform alfa

volrustomig

immunoglobuline G1-kappa/kappa-lambda, anti-[*Homo sapiens* PDCD1 (protéine 1 de mort cellulaire programmée, PD-1, PD1, CD279)] et anti-[*Homo sapiens* CTLA4 (antigène 4 associé aux lymphocytes T cytotoxiques, protéine 4 associée aux lymphocytes T cytotoxiques, CTLA-4, CD152)], anticorps monoclonal humanisé et *Homo sapiens*, bispécifique, bivalent;

	<p>chaîne lourde gamma1 anti-PDCD1 humanisée (1-452) [VH anti-PDCD1 humanisé (<i>Homo sapiens</i> IGHV3-48*01 (92.9%) -(IGHD) -IGHJ4*01, L123>T (117) (93.3%), CDR-IMGT [8.8.15] (26-33.51-58.97-111) (1-122) -<i>Homo sapiens</i> IGHG1*03, G1m3, nG1m1, G1v39 CH2 F1.3, E1.2, S116, G1v33 CH3 S22, A24, V86 (hole) (CH1 R120 (219) (123-220), charnière 1-15 (221-235), CH2 L1.3>F (239), L1.2>E (240), P116>S (336) (236-345), CH3 Y5>C (354), E12 (361), M14 (363), T22>S (371), L24 >A (373), Y86>V (412) (346-450), CHS (451-452)) (123-452)], (225-219')-disulfide with kappa light chain anti- PDCD1 humanized (1'-219') [V-KAPPA (<i>Homo sapiens</i> IGKV3-11*01 (81.0%) -IGKJ2*02 (100%)) CDR-IMGT [11.3.9] (27-37.55-57.94-102) (1'-112') -<i>Homo sapiens</i> IGKC*01 (100%) A45.1 (158), V101 (196) (113'-219')]; chaîne lourde gamma1 anti-CTLA4 <i>Homo sapiens</i> (1"-455") [VH anti-CTLA4 (<i>Homo sapiens</i> IGHV3-33*01 (100%) -(IGHD) -IGHJ6*01 (100%)) CDR-IMGT [8.8.18] (26-33.51-58.97-114) (1"-125") -<i>Homo sapiens</i> IGHG1*03, G1m3, nG1m1, G1v39 CH2 F1.3, E1.2, S116, G1v32 CH3 W32 (knob) (CH1 F5>C (134), R120 (222) (126"-223"), charnière 1-15, C5>V (228) (224"-238"), CH2 L1.3>F (242), L1.2>E (243), P116>S (339) (239"-348"), CH3 S10>C (362), E12 (364), M14 (366), T22>W (374) (349"-453"), CHS (454-455) (126"-455")], (134"-122")-disulfure avec la chaîne légère kappa-lambda anti-CTLA4 <i>Homo sapiens</i> (1"-213") [V-KAPPA anti-CTLA4 (<i>Homo sapiens</i> IGKV1-39*01 (96.8%) -IGKJ3*01, D125>E (91.7%), CDR-IMGT [6.3.7] (27-32.50-52.89-95) (1"-107") -<i>Homo sapiens</i> IGLC2*01, S10>C (122), C126>V (212) (98.1%) (108"-213")]; hétérodimère (231-234":234-237":354-362")-trisdisulfure, produite dans une lignée cellulaire dérivée des cellules ovarianes de hamster chinois (CHO), glycoforme alfa</p>
volrustomig	<p>inmunoglobulina G1-kappa/kappa-lambda, anti-[<i>Homo sapiens</i> PDCD1 (proteína 1 de muerte celular programada, PD-1, PD1, CD279)] y anti-[<i>Homo sapiens</i> CTLA4 (antígeno 4 asociado con los linfocitos T citotóxicos, proteína 4 asociada con los linfocitos T citotóxicos, CTLA-4, CD152)], anticuerpo monoclonal humanizado y <i>Homo sapiens</i>, biespecífico, bivalente; cadena pesada gamma1 anti-PDCD1 humanizada (1-452) [VH anti-PDCD1 humanizado (<i>Homo sapiens</i> IGHV3-48*01 (92.9%) -(IGHD) -IGHJ4*01, L123>T (117) (93.3%), CDR-IMGT [8.8.15] (26-33.51-58.97-111) (1-122) -<i>Homo sapiens</i> IGHG1*03, G1m3, nG1m1, G1v39 CH2 F1.3, E1.2, S116, G1v33 CH3 S22, A24, V86 (hole) (CH1 R120 (219) (123-220), bisagra 1-15 (221-235), CH2 L1.3>F (239), L1.2>E (240), P116>S (336) (236-345), CH3 Y5>C (354), E12 (361), M14 (363), T22>S (371), L24 >A (373), Y86>V (412) (346-450), CHS (451-452)) (123-452)], (225-219')-disulfuro com cadeira ligera kappa anti- PDCD1 humanizado (1'-219') [V-KAPPA (<i>Homo sapiens</i> IGKV3-11*01 (81.0%) -IGKJ2*02 (100%)) CDR-IMGT [11.3.9] (27-37.55-57.94-102) (1'-112') -<i>Homo sapiens</i> IGKC*01 (100%) A45.1 (158), V101 (196) (113'-219') (113'-219')]; cadeira pesada gamma1 anti-CTLA4 <i>Homo sapiens</i> (1"-455") [VH anti-CTLA4 (<i>Homo sapiens</i> IGHV3-33*01 (100%) -(IGHD) -IGHJ6*01 (100%)) CDR-IMGT [8.8.18] (26-33.51-58.97-114) (1"-125") -<i>Homo sapiens</i> IGHG1*03, G1m3, nG1m1, G1v39 CH2 F1.3, E1.2, S116, G1v32 CH3 W32 (knob) (CH1 F5>C (134), R120 (222) (126"-223"), bisagra 1-15, C5>V (228) (224"-238"), CH2 L1.3>F (242), L1.2>E (243), P116>S (339) (239"-348"), CH3 S10>C (362), E12 (364), M14 (366), T22>W (374) (349"-453"), CHS (454-455) (126"-455")], (134"-122")-disulfuro con la cadeira ligera kappa-lambda anti-CTLA4 <i>Homo sapiens</i> (1"-213") [V-KAPPA anti-CTLA4 (<i>Homo sapiens</i> IGKV1-39*01 (96.8%) -IGKJ3*01, D125>E (91.7%), CDR-IMGT [6.3.7] (27-32.50-52.89-95) (1"-107") -<i>Homo sapiens</i> IGLC2*01, S10>C (122), C126>V (212) (98.1%) (108"-213")]; heterodímero (231-234":234-237":354-362")-trisdisulfuro, producido en una línea celular derivada de las células ováricas de hámster chino (CHO), forma glicosilada alfa</p>

Heavy chain / Chaîne lourde / Cadena pesada: anti-PDCCD1 (H)
EVQLVESGGG LVQPGGSRLR SCAASGFTFS DYGMHWRQA PGKGLEWVAY 50
TSSGTYTIYS ADSVKGRFTI SRDNAKNSLY LQMNNSLRAED TAVYVCARRA 100
PNSFYEEYDF YWGQGTFTV SSASTKGPSV FPLAPSSKST SGHTAALGCL 150
VKDYFPEPVY VSWNSGALT GS VHTFPAVLQ SSGLYSLLSSV VTVESSLGLT 200
QTYICVNHHK PSNTKVDKRV EPKSCDKTHT CPCPAPEFE GGPSPVFLFP 250
KPKDITLMISR TPEVTCVVVD VSHEDPEVKEF NWYWDGVEVH NAKTKPREEQ 300
YNSTYRVSVS LTVLHQDWLN KEYKCKVNSN KALPASIEKT ISKAKGQPRE 350
PQVCTLPPSR EEMTKNQVSL SCAVKGFTPS DIAWEWSNQ QPENNYKTP 400
PVLDSQDSFF LVSKLTVQDKS RWQQGNVESC SVMHEALHNH YTQKSLSLSP 450
GK 452

Light chain / Chaîne légère / Cadena ligera: anti-PDCCD1 (L')
QIVLTQSPAT LSLSLSPGERAT LSCSASSKHT NLWWSRHMYW YQQKPGQAPR 50
LLIYLTSNRA TGIFPARFSGS RGSQDTFLTI SSLEPEDFAV YYCQQQWSNSP 100
FTFGQGKTLE IKTRTVAAPSV FIFPPSDQEL KSGTASVVL LNNFYFREAK 150
VQWKVNDNALQ SGNSQESVTE QDSKDSTYSL SSTLTLSKAD YEKHKVYACE 200
VTHQGLSSPV TKSFNRGEC 219

Heavy chain / Chaîne lourde / Cadena pesada: anti-CTLA4 (H')
QVQLVESGGG VVQPGRSRLR SCAASGFTFS SYGMHWVRQA PGKGLEWVAV 50
IWYDGSNKYY ADSVKGRFTI SRDNNSKNTLY LQMNNSLRAED TAVYVCARDP 100
RGATLYYYYY GMDVWGGGTT VTVSSASTKG PSVCP LAPSS KTSIGGTAAL 150
GCLVKDYYFPE PVTWSWNSGA LTSGVHTFPV VLQSSGLYSL SSVVTPVSS 200
LGQTQYICNV NHKPSNTKVD KREVEPKSVDK THTCPPCPAP EFEQGPPVSFL 250
FPPKPDITLM ISRTPEVTCV VVVDHSDEPE VKENWVVDGV EVHNAKTKPR 300
EEQYNSTYRV VSVLTVLHQD WLNGKEYKCK VSNKALPASI EKTISAKGQ 350
PREPQVYTLIP PCREEMTKNQ VSLWCLVKG YPSDIAWEVE SNGQPENNYK 400
LTPPVLDSDG SFFLYSKLTV DKSRWQQGNV FCSCVMHEAL HNHYTQKSL 450
LSPKG 455

Light chain / Chaîne légère / Cadena ligera: anti-CTLA4 (L'')
DIQMTQSPSS LSASVGRVRT ITCRASQSN SYLDWYQQKQP GKAKPLLIYA 50
ASSLQSGVPSS RFSGSGSGTD FTLTISNLQP EDFATYQCQ YYSTPFTFGP 100
GTKVEIKGQ KAAPSVTLFPC SEELQANK ATLVCILSDF YPGAVTVAWK 150
ADSSPVKAGV ETTPPSRQSN NYKAASSYLS LTPEQWKSHR SYSCQVTHEG 200
STVEKTVAPT EVS 213

Post-translational modifications

Disulfide bridges location / Position des ponts disulfure / Posiciones de los puentes disulfuro

Intra-H (C23-C104) 22"-96" 149"-205" 266"-326" 372"-430"

22"-96" 152"-208" 269"-329" 375"-433"

Intra-L (C23-C104) 23"-93" 139"-199"

23"-88"" 135"-194""

Inter-H-L (h 5-CL 126) 225"-219" (CH1 5-CL10)* 134"-122"

Inter-H-H (h 11, h 14) 231"-234" 234"-237" (CH3 5-CH3 10)* 354"-362"

*Engineered alternative Inter-H-L (instead of 228"-212") and additional Inter-H-H, owing

to 4 amino acid changes to cysteiny.

N-terminal glutaminyl cyclization / Cyclisation du glutaminyle N-terminal / Ciclación del glutamínico N-terminal

Q>pyroglutamyl (pE, 5-oxopropyl) / pyroglutamyle (pE, 5-oxopropyle) / piroglutamilo (pE, 5-oxopropilo)

L VL Q1: 1'

H VH Q1: 1"

N-glycosylation sites / Sites de N-glycosylation / Posiciones de N-glicosilación

H CH2 N84.4: 302, 305"

Fucosylated complex bi-antennary CHO-type glycans / glycanes de tipo CHO bi-antennaires

complexes fucosylés / glicanos de tipo CHO biantenarios complejos fucosilados

C-terminal lysine clipping / Coupe de la lysine C-terminale / Recorte de lisina C-terminal

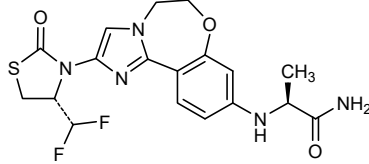
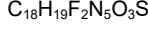
H CHS K2: 452, 455"

vulolisibum

vulolisib (2S)-2-((2-[(4*R*)-4-(difluoromethyl)-2-oxo-1,3-thiazolidin-2-yl]-5,6-dihydroimidazo[1,2-*d*][1,4]benzoxazepin-9-yl)amino)propenamide

vulolisib (2S)-2-((2-[(4*R*)-4-(difluorométhyl)-2-oxo-1,3-thiazolidin-2-yl]-5,6-dihydroimidazo[1,2-*d*][1,4]benzoxazépin-9-yl)amino)propenamide

vulolisib (2S)-2-((2-[(4*R*)-4-(difluorometil)-2-oxo-1,3-tiazolidin-2-il]-5,6-dihidroimidazo[1,2-*d*][1,4]benzoxazepin-9-il)amino)propanamide



xaluritamig #

xaluritamig

immunoglobulin G1-scFv-CH/G1-kappa, anti-[*Homo sapiens* STEAP1 (STEAP family member 1, six transmembrane epithelial antigen of the prostate 1, STEAP1 metalloreductase) and anti-[*Homo sapiens* CD3, bispecific, trivalent; gamma1 heavy chain VH-CH1-scFv-CH2-CH3, bispecific (1-723) [VH anti-STEAP1 (*Homo sapiens*IGHV1-3*01 (80.6%) -(IGHD) -IGHJ4*01 (86.7%), CDR-IMGT [8.8.14] (26-33.51-58.97-110))](1-121) -*Homo sapiens* IGHG1*03v CH1-h (CH1 G1m3>G1m17, R120>K (218) (122-219), hinge 1-5 (220-224)) (122-224)-10-mer bis(tetraglycyl-seryl) linker (225-234) -scFv anti-CD3 [VH (*Homo sapiens*IGHV3-73*01 (87.0%) -(IGHD) -IGHJ6*01 (90.9%), CDR-IMGT [8.8.16] (260-267.285-294.333-348)) (235-359)-20-mer tetra(glycyl-lysyl-prolyl-glycyl-seryl) (360-379) -V-LAMBDA (IGLV7-46*01 (76.8%) -(IGHD) -IGHJ3*02 (100%), CDR-IMGT [9.3.9] (405-413.431-433.470-478)) (380-488)-10-mer bis(tetraglycyl-seryl) linker (489-498) -IGHG1*03v h-CH2-CH3 (hinge 7-15 (499-507), CH2 G1v30 G84.4 (92.7%), ELLG>PVA (G2-like) (510,511,512), S29>K (543), R83>C (568), N84.4>G (573), V85>C (578) (508-616), CH3 nG1m1 (98.1%) E12 (632), E13>Q (633), M14 (634), S20>K (640) (617-721), CHS (722-723)) (499-723)], (224-213')-disulfide with kappa light chain anti-STEAP1 *Homo sapiens* (1'-213') [V-KAPPA (*Homo sapiens* IGKV3-11*01 (86.3%) -IGKJ2*01 (100%), CDR-IMGT [5.3.9] (27-31.49-51.88-96)) (1'-106') -*Homo sapiens* IGKC*01 (100%), Km3, A45.1 (152), V101 (190) (107'-213')]; gamma1 heavy chain anti-STEAP1 (1"-450") [VH (*Homo sapiens*IGHV1-3*01 (80.6%) -(IGHD) -IGHJ4*01 (86.7%), CDR-IMGT [8.8.14] (26-33.51-58.97-110)) (1"-121") -*Homo sapiens* IGHG1*03v, G1m3>G1m17, nG1m1, G1v30 G84.4 (CH1 N114>D (212), R120>K (218) (122"-219"), hinge 1-5 (220"-234"), CH2 (91.8%) ELLG>PVA (G2-like)(237,238,239), S29>K (270), R83>C (295), Q84.2>E (298), N84.4>G (300), V85>C (305) (235"-343"), CH3 (95.2%) E12 (359), M14 (361), L24>D (371), K26>S (373), N44>D (387), Q97>E (421), N100>D (424) (344"-448"), CHS (449"-450"))], (224"-213")-disulfide with kappa light chain anti-STEAP1 *Homo sapiens* (1""-213"") [V-KAPPA (*Homo sapiens* IGKV3-11*01 (86.3%) -IGKJ2*01 (100%), CDR-IMGT [5.3.9] (27-31.49-51.88-96)) (1""-106"") -*Homo sapiens* IGKC*01 (100%), Km3, A45.1 (152), V101 (190) (107""-213"")]; dimer (230-230"-233-233")-bisdisulfide, produced in Chinese hamster ovary (CHO) cells, non-glycosylated

xaluritamig

immunoglobuline G1-scFv-CH/G1-kappa, anti-[*Homo sapiens* STEAP1 (membre 1 de la famille STEAP, antigène 1 épithéial six transmembrane de la prostate, métalloréductase STEAP1)] and anti-[*Homo sapiens* CD3, anticorps monoclonal, bispécifique, trivalent; chaîne lourde gamma1 VH-CH1-scFv-CH2-CH3, bispécifique (1-723) [VH anti-STEAP1 (*Homo sapiens*IGHV1-3*01 (80.6%) -(IGHD) -IGHJ4*01 (86.7%), CDR-IMGT [8.8.14] (26-33.51-58.97-110))](1-121) -*Homo sapiens* IGHG1*03v CH1-h (CH1 G1m3>G1m17, R120>K (218) (122-219), charnière 1-5 (220-224)) (122-224)-10-mer bis(tétraglycyl-séryl) linker (225-234) -scFv anti-CD3 [VH (*Homo sapiens*IGHV3-73*01 (87.0%) -(IGHD) -IGHJ6*01 (90.9%), CDR-IMGT [8.8.16] (260-267.285-294.333-348)) (235-488)-20-mer tétra(glycyl-lysyl-prolyl-glycyl-séryl) (360-379) -V-LAMBDA (IGLV7-46*01 (76.8%) -(IGHD) -IGHJ3*02 (100%), CDR-IMGT [9.3.9] (405-413.431-433.470-478)) (380-488)-10-mer bis(tétraglycyl-séryl) linker (489-498) -IGHG1*03v h-CH2-CH3 (charnière 7-15 (499-507), CH2 G1v30 G84.4 (92.7%), ELLG>PVA (G2-like) (510,511,512), S29>K (543), R83>C (568), N84.4>G (573), V85>C (578) (508-616), CH3 nG1m1 (98.1%) E12 (632), E13>Q (633), M14 (634), S20>K (640) (617-721), CHS (722-723)) (499-723)], (224-213')-disulfure avec la chaîne légère kappa anti-STEAP1 (1'-213') [V-KAPPA (*Homo sapiens* IGKV3-11*01 (86.3%) -IGKJ2*01 (100%), CDR-IMGT [5.3.9] (27-31.49-51.88-96)) (1'-106') -*Homo sapiens* IGKC*01 (100%), Km3, A45.1 (152), V101 (190) (107-213')];

chaîne lourde gamma1 anti-STEAP1, (1"-450") [VH (*Homo sapiens* IGHV1-3*01 (80.6%) -(IGHD) -IGHJ4*01 (86.7%), CDR-IMGT [8.8.14] (26-33.51-58.97-110)) (1"-121") -*Homo sapiens* IGHG1*03v, G1m3>G1m17, nG1m1, G1v30 G84.4 (CH1 N114>D (212), R120>K (218) (122"-219"), charnière 1-15 (220"-234"), CH2 (91.8%) ELLG>PVA (G2-like)(237,238,239), S29>K (270), R83>C (295), Q84.2>E (298), N84.4>G (300), V85>C (305) (235"-343"), CH3 (95.2%) E12 (359), M14 (361), L24>D (371), K26>S (373), N44>D (387), Q97>E (421), N100>D (424) (344"-448"), CHS (449"-450")],(224"-213")-disulfure avec la chaîne légère kappa anti-STEAP1 (1"-213") [V-KAPPA (*Homo sapiens* IGKV3-11*01 (86.3%) -IGKJ2*01 (100%), CDR-IMGT [5.3.9] (27-31.49-51.89-96)) (1"-106") -*Homo sapiens* IGKC*01 (100%), Km3, A45.1 (152), V101 (190) (107"-213")]; dimère (230-230":233-233")-bisdisulfure, produit dans des cellules ovariennes de hamster chinois (CHO), non-glycosylé

xaluritamig

inmunoglobulina G1-scFv-CH/G1-kappa, anti-[*Homo sapiens* STEAP1 (miembro 1 de la familia STEAP, antígeno 1 epitelial seis transmembrana de la próstata, metaloreductasa STEAP1)] y anti-[*Homo sapiens* CD3, anticuerpo monoclonal, biespecífico, trivalente;

cadena pesada gamma1 VH-CH1-scFv-CH2-CH3, biespecífica (1-723) [VH anti-STEAP1 (*Homo sapiens* IGHV1-3*01 (80.6%) -(IGHD) -IGHJ4*01 (86.7%), CDR-IMGT [8.8.14] (26-33.51-58.97-110)) (1-121") -*Homo sapiens* IGHG1*03v CH1-h (CH1 G1m3>G1m17, R120>K (218) (122-219), bisagra 1-5 (220-224)) (122-224) -20-mer bis(tetraglicil-seril) linker (225-234) -scFv anti-CD3 [VH (*Homo sapiens* IGKV3-73*01 (87.0%) -(IGHD) -IGHJ6*01 (90.9%), CDR-IMGT [8.8.16] (260-267.285-294.333-348)] (235-488) -20-mer tetra(glicil-lisil-prolil-glicil-seril) (360-379) -V-LAMBDA (IGLV7-46*01 (76.8%) -(IGHD) -IGHJ3*02 (100%), CDR-IMGT [9.3.9] (405-413.431-433.470-478)) (380-488) -10-mer bis(tetraglicil-seril) linker (489-498) -IGHG1*03v h-CH2-CH3 (bisagra 7-15 (499-507), CH2 G1v30 G84.4 (92.7%), ELLG>PVA (G2-like) (510,511,512), S29>K (543), R83>C (568), N84.4>G (573), V85>C (578) (508-616), CH3 nG1m1 (98.1%) E12 (632), E13>Q (633), M14 (634), S20>K (640) (607-721), CHS (722-723)) (499-723)],(224"-213")-disulfuro con la cadena ligera kappa anti-STEAP1 (1"-213") [V-KAPPA (*Homo sapiens* IGKV3-11*01 (86.3%) -IGKJ2*01 (100%), CDR-IMGT [5.3.9](27-31.49-51.88-96)) (1"-106") -*Homo sapiens* IGKC*01 (100%), Km3, A45.1 (152), V101 (190) (107"-213")];

cadena pesada gamma1 anti-STEAP1, (1"-450") [VH (*Homo sapiens* IGHV1-3*01 (80.6%) -(IGHD) -IGHJ4*01 (86.7%), CDR-IMGT [8.8.14] (26-33.51-58.97-110)) (1"-121") -*Homo sapiens* IGHG1*03v, G1m3>G1m17, nG1m1, G1v30 G84.4 (CH1 N114>D (212), R120>K (218) (122"-219"), bisagra 1-15 (220"-234"), CH2 (91.8%) ELLG>PVA (G2-like)(237,238,239), S29>K (270), R83>C (295), Q84.2>E (298), N84.4>G (300), V85>C (305) (235"-343"), CH3 (95.2%) E12 (359), M14 (361), L24>D (371), K26>S (373), N44>D (387), Q97>E (421), N100>D (424) (344"-448"), CHS (449"-450")],(224"-213")-disulfuro con la cadena ligera kappa anti-STEAP1 (1"-213") [V-KAPPA (*Homo sapiens* IGKV3-11*01 (86.3%) -IGKJ2*01 (100%), CDR-IMGT [5.3.9] (27-31.49-51.89-96)) (1"-106") -*Homo sapiens* IGKC*01 (100%), Km3, A45.1 (152), V101 (190) (107"-213")]; dímero (230-230":233-233")-bisdisulfuro, producido en las células ováricas de hámster chino (CHO), no glicosilado

Heavy chain / Chaîne lourde / Cadena pesada: VH-CH-scFv-CH2-CH3 (H)

QVQLVQSGAE VKKPGAVKV SCKASGYTFS TYWIEWVRQA PGQRLEWMGE 50
 ILPGSGQTDF NEKFQGRVTF TADTSSDTAY MELSSLSRSD TAVYVCTRWG 100
 YYGTRGYFNV WGQGTILTVTS SASTKGPVSF PLAPSSKSTS GGTAALGCLV 150
 KDVFPEPVTV SWNSGAITSQ VHTPEPAVIQS SGLYSLSVV TVPSSSLGTO 200
 TYICNVNHHKP SNTKVDVKVE PKSCGGGGSG GGGSEVOLVE SGGLVLQPFG 250
 SLRLSCAASC TTFTSYAMNN VRQAPGKGLE WYGRIRS SKYN NYATYYADSV 300
 KGRFTISRDD SKNTLVLSQML SLRAEDTAVY YCVRHGNFGD SYVSNFAYWG 350
 QGTILTVSGC KPGSGKPGSG KPGSGKPGSQ AVVTQEPLST VSPEGTVLTL 400
 CGSSTGAVTT SNYANWVQOD PKGSKPRGLIG GTNKRAPGVQ ARFSSGLLGG 450
 KAALITISQAQ PEDEADYCA LWYSNHWVEG GGTKLTVLGG GGSGGGGSKT 500
 HTPCPCAFPP VAGPSVFLFP PFKPKDTLMIS RTPEVTCVUV VKHEDPEVK 550
 FNWYVGDGVEV HNAKTKPCPE QYGSYSTYRCVS VLTVLHQHDW NGKEYCKVKS 600
 NKALAPAPIEK TISKAKGQPR EFQVYTLPPS RQEMTKNQVK LTCLVKGFYD 650
 SDIAVEWESN QOPENNYKTT PPVLDSDGSF FLYSKLTVDK SRWQQGNVFS 700
 CSVMHEALHN HYTQKSLSL 723

Heavy chain / Chaîne lourde / Cadena pesada: (H")

QVQLVQSGAE VKKPGAVKV SCKASGYTFS TYWIEWVRQA PGQRLEWMGE 50
 ILPGSGQTDF NEKFQGRVTF TADTSSDTAY MELSSLSRSD TAVYVCTRWG 100
 YYGTRGYFNV WGQGTILTVTS SASTKGPVSF PLAPSSKSTS GGTAALGCLV 150
 KDVFPEPVTV SWNSGAITSQ VHTPEPAVIQS SGLYSLSVV TVPSSSLGTO 200
 TYICNVNHHKP SDTKVDVKVE PKSCDKTHTC PCPAPPPVAG PSVLFPPKF 250
 KDTLMISRTP EVTCTVVVDBE HDPEVKFNW YVDGVEVHNA KTPCEEEYEG 300
 STYRCVSVLT VLHQDWLNGE EYKCKVSNKA LFPIEKETIS KAKGQPREQ 350
 VYTLPSSREE MTKNQVSLTC DVSGFYPSDI AWEVESDQQP ENNYRTTPV 400
 LDDS DGSFFYL SKLTVDKSRQ EQGDDVFCSCV MHEALHHNHYT QKSLSLSPKG 450

Light chain / Chaîne légère / Cadena ligera: (L', L")

EIVLQSPATL LSLSPLGERAT LSCRASSSVS YMHWFQQKPG QAPRLIYST 50
 SNLASSGIPAR FGSGSGGTIDY TLTISLLEFE DFAVYYCQQR RSEPYTFFGQ 100
 TKLEIKRTVA APSVFIFPPS DEQLKSGTDS VCVLNNNFYP REAKVQWKVD 150
 NALQSGNSQEE SVTEQDQSKRS TYSSLSTL SKADYEKHKV YACEVTHQGL 200
 SSFVTKSFNR GEC 213

Post-translational modifications

Disulfide bridges location / Position des ponts disulfure / Posiciones de los puentes disulfuro
 Intra-H (C23-C104) 22-96 148-204 256-332 401-469 537-597 (568-578)* 643-701
 22"-96" 148"-204" 256"-332" (295"-305")* 370"-428"

Intra-L (C23-C104) 23-87¹ 133"-193¹
 23"-87" 133"-193"

Inter-H-H (h 5-CL 126) 224-213¹ 224"-213"

Inter-H-H (h 11, h 14) 503-230¹ 506-233"

*Between parentheses, Intra-H engineered CH2 disulfide bridge C83-C85 (R83>C and V85>C) to stabilize the CH2 domain in the absence of N-glycosylation.

No N-glycosylation sites / pas de sites de N-glycosylation / ningún posición de N-glicosilación
 H CH2 N84.4>G (G1v30); 573, 300"

xelaglifamum

xelaglifam

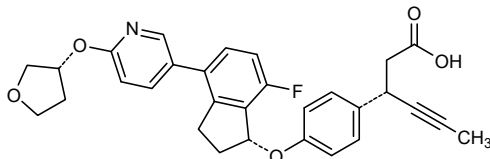
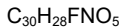
(3S)-3-(4-{[(1R)-7-fluoro-4-(6-[(3R)-oxolan-3-yl]oxy)pyridin-3-yl]-2,3-dihydro-1H-inden-1-yl}oxy)phenyl)hex-4-ynoic acid

xélaglifam

acide (3S)-3-(4-{[(1R)-7-fluoro-4-(6-[(3R)-oxolan-3-yl]oxy)pyridin-3-yl]-2,3-dihydro-1H-indén-1-yl}oxy)phényl)hex-4-ynoïque

xelaglifam

ácido (3S)-3-(4-{[(1R)-7-fluoro-4-(6-[(3R)-oxolan-3-il]oxi)piridin-3-il]-2,3-dihidro-1H-inden-1-il}oxi)fenil)hex-4-inoico



xempritolimodum

xempritolimod

Salmonella enterica subsp. *enterica* serotype Dublin (*S. enterica* Dublin) flagellin domain D0, fragment 2-176 (1-175 in the current sequence) fused via the peptide linker ¹⁷⁶SPGISGGGGILDMSG¹⁹¹ to *S. enterica* Dublin flagellin domain D1, fragment 402-505 (192-395 in the current sequence), produced in *Escherichia coli*; flagellin of *Salmonella enterica* subsp. *enterica* serotype Dublin (*S. enterica* Dublin), fragments 2-176 (1-175, domain D0) and 402-505 (192-395, domain D1) fused via the peptidic linker SPGISG₅ILDMSG (176-191), non-glycosylated, produced in *Escherichia coli*

xempritolimod domaine D0 de la flagelline de *Salmonella enterica* subsp. *enterica* de sérotype Dublin (*S. enterica* Dublin), fragment 2-176 (1-175 dans la séquence actuelle) fusionné via la liaison peptidique $^{176}\text{SPGISGGGGILDMSG}^{191}$ au domaine D1 de flagelline de *S. enterica* Dublin, fragment 402-505 (192-395 dans la séquence actuelle), produit chez *Escherichia coli*; flagelline de *Salmonella enterica* subsp. *enterica* de sérotype Dublin (*S. enterica* Dublin), fragments 2-176 (1-175, domaine D0) et 402-505 (192-395, domaine D1) fusionnés via la liaison peptidique $\text{SPGISG}_5\text{LDSMG}$ (176-191), non glycosylés, produit chez *Escherichia coli*

xempritolimod *Salmonella enterica* subsp. *enterica* serotipo Dublin (*S. enterica* Dublin) flagelina dominio D0, fragmento 2-176 (1-175 en la secuencia actual) fusionado a través del enlace peptídico $^{176}\text{SPGISGGGGILDMSG}^{191}$ a la *S. enterica* Dublin flagelina dominio D1, fragmento 402-505 (192-395 en la secuencia actual), producido por *Escherichia coli*; flagelina de *Salmonella enterica* subsp. *enterica* serotipo Dublin (*S. enterica* Dublin), fragmentos 2-176 (1-175, dominio D0) y 402-505 (192-395, dominio D1) fusionados mediante el enlace peptídico $\text{SPGISG}_5\text{LDSMG}$ (176-191), no glicosilado, producido por *Escherichia coli*

Sequence / Séquence / Secuencia

AQVINTNSLS LLTQNNLNKS QSSLSSAIE R LSSGLRINS A KDDAAGQAIA	50
NRTFTSNIKGL TQASRNANDG IISIAQTTEGA LNEINNNLQR VREL SVQATN	100
GTNSDSDLK S IQDEIQRORLE EIDRVSNQTO FNGVKVLSQD NQMKIQVGAN	150
DGETITIDLQ KIDVKS LGQL GFVN SPGIS GGGGGILDMSG GTLINE DAAA	200
AKKSTANPLA SIDALS KVD AVRSSLGAIQ NRFD SAI TNL GNTVTNLNSA	250
RSRIEDADYA TEVSNMSKAQ ILQQAGTSVL AQANQVPQNV LSLLR	295

Peptide linker / Peptide liant / Péptido de unión
176-191 **SPGISGGGGILDMSG**

Post-translational modifications

Disulfide bridges location / Position des ponts disulfure / Posiciones de los puentes disulfuro none / aucun / ninguna

Glycosylation sites / Sites de glycosylation / Posiciones de glicosilación
none / aucun / ninguna

xilmenolonom

xilmenolone

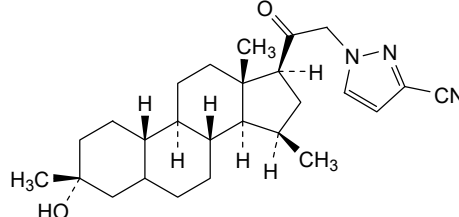
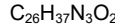
1-(3 α -hydroxy-3 β ,15 β -dimethyl-20-oxo-19-nor-5 β -pregnan-21-yl)-1*H*-pyrazole-3-carbonitrile

xilménolone

1-(3 α -hydroxy-3 β ,15 β -diméthyl-20-oxo-19-nor-5 β -prégnan-21-yl)-1*H*-pyrazole-3-carbonitrile

xilmenolona

1-(3 α -hidroxi-3 β ,15 β -dimetil-20-oxo-19-nor-5 β -pregnan-21-il)-1*H*-pirazol-3-carbonitrilo



xininuradum

xininurad

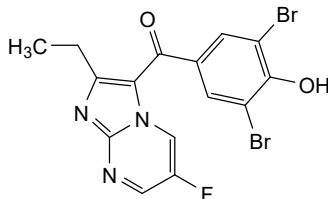
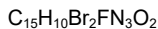
(3,5-dibromo-4-hydroxyphenyl)(2-ethyl-6-fluoroimidazo[1,2-a]pyrimidin-3-yl)methanone

xininurad

(3,5-dibromo-4-hydroxyphényle)(2-éthyl-6-fluoroimidazo[1,2-a]pyrimidin-3-yl)méthanone

xininurad

(3,5-dibromo-4-hidroxifenil)(2-étil-6-fluoroimidazo[1,2-a]pirimidin-3-il)metanona

**zabadinostatum**

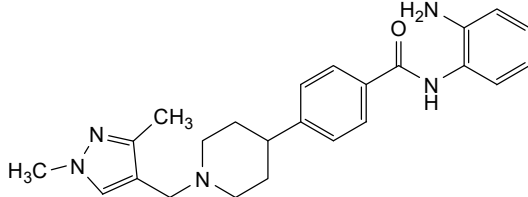
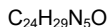
zabadinostat

N-(2-aminophenyl)-4-{1-[(1,3-dimethyl-1*H*-pyrazol-4-yl)methyl]piperidin-4-yl}benzamide

zabadinostat

N-(2-aminophényle)-4-{1-[(1,3-diméthyl-1*H*-pyrazol-4-yl)méthyl]pipéridin-4-yl}benzamide

zabadinostat

N-(2-aminofenil)-4-{1-[(1,3-dimetil-1*H*-pirazol-4-il)metyl]piperidin-4-il}benzamide**zandatrinium**

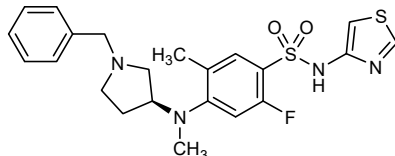
zandatrigine

4-{{(3*S*)-1-benzylpyrrolidin-3-yl}(methyl)amino}-2-fluoro-5-methyl-*N*-(1,3-thiazol-4-yl)benzeno-1-sulfonamide

zandatrigine

4-{{(3*S*)-1-benzylpyrrolidin-3-yl}(métihyl)amino}-2-fluoro-5-méthyl-*N*-(1,3-thiazol-4-yl)benzène-1-sulfonamide

zandatrigina

4-{{(3*S*)-1-bencipirrolidin-3-il}(metil)amino}-2-fluoro-5-metil-*N*-(1,3-tiazol-4-il)benceno-1-sulfonamida

zanzalintinibum

zanzalintinib

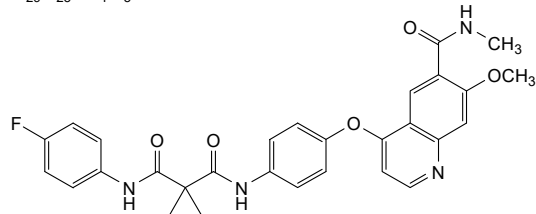
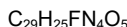
N-(4-fluorophenyl)-*N'*-(4-{{[7-methoxy-6-(methylcarbamoyl)quinolin-4-yl]oxy}phenyl)cyclopropane-1,1-dicarboxamide

zanzalintinib

N-(4-fluorophénol)-*N'*-(4-{{[7-méthoxy-6-(méthylcarbamoyl)quinoléin-4-yl]oxy}phénol)cyclopropane-1,1-dicarboxamide

zanzalintinib

N-(4-fluorofenil)-*N'*-(4-{{[6-(metilcarbamoi)-7-metoxiquinolein-4-il]oxi}fenil)ciclopropano-1,1-dicarboxamida

**zapomeranum #**

zapomeran

self-replicating messenger RNA (mRNA), 5'-capped, encoding codon-optimised Venezuelan equine encephalitis virus (VEEV) RNA-dependent RNA polymerase (VEEV proteins nsP1, nsP2, nsP3 and nsP4) and a full-length codon-optimised pre-fusion stabilised conformation variant (K986P and V987P) of the SARS-CoV-2 (severe acute respiratory syndrome coronavirus 2) spike (S) glycoprotein (derived from GenBank ID YP_009724390) containing furin cleavage-inactivating mutations (R682G, R683S, R685S) plus an additional mutation (D614G), flanked by 5' and 3' untranslated regions and a 3' polyadenylation (polyA) tail; generation of the capped S mRNA is under control of a VEEV subgenomic promoter.

zapoméran

ARN messager (ARNm) auto-répliquant, coiffé en 5', codant une ARN polymérase ARN-dépendante aux codons optimisés du virus de l'encéphalite équine vénézuélienne (VEEV) (protéines VEEV nsP1, nsP2, nsP3 et nsP4) et la séquence entière aux codons optimisés d'un variant à la conformation stabilisée avant pré-fusion (K986P et V987P) de la glycoprotéine de spicule (S) du SARS-CoV-2 (coronavirus du syndrome respiratoire aigu sévère 2) (dérivée de GenBank ID YP_009724390) contenant des mutations inactivant le clivage par la furine (R682G, R683S, R685S) plus une mutation supplémentaire (D614G), flanquée de régions non traduites en 5' et 3' et d'une queue de polyadénylation (polyA) en 3'; la génération de l'ARNm S coiffé est sous le contrôle d'un promoteur sous-génomique du VEEV.

zapomerán

ARN mensajero (ARNm) auto-replicativo, protegido en 5', que codifica, con codones optimizados, para la RNA polimerasa dependiente de RNA del virus de la encefalitis equina de Venezuela (VEEV) (proteínas nsP1, nsP2, nsP3 y nsP4 del VEEV) y una variante estabilizada en conformación pre-fusión (K986P and V987P) de la glicoproteína de la espícula (S) del SARS-CoV-2 (coronavirus 2 del síndrome respiratorio agudo severo) (derivada de GenBank ID YP_009724390) completa, con codones optimizados, que contiene mutaciones inactivantes del sitio de escisión de la furina (R682G, R683S, R685S) más una mutación adicional (D614G), flanqueado por regiones no traducidas en 5' y 3' y una cola de poliadenilación (polyA) en 3'; la generación del ARNm de S protegido está bajo el control de un promotor subgenómico del VEEV.

zegravirimatum

zegravirimat

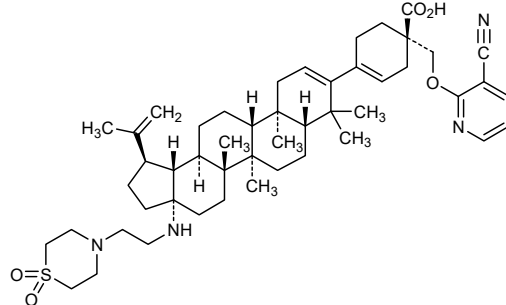
(1S)-1-{[(3-cyanopyridin-2-yl)oxy]methyl}-4-[17-{[2-(1,1-dioxo-1λ⁶-thiomorpholin-4-yl)ethyl]amino}-28-norlupa-2,20(29)-dien-3-yl]cyclohex-3-ene-1-carboxylic acid

zégruvirimat

acide (1S)-1-{[(3-cyanopyridin-2-yl)oxy]méthyl}-4-[17-{[2-(1,1-dioxo-1λ⁶-thiomorpholin-4-yl)éthyl]amino}-28-norlupa-2,20(29)-dién-3-yl]cyclohex-3-ène-1-carboxylique

zegravirimat

ácido (1S)-1-{[(3-cianopiridin-2-il)oxi]metil}-4-[17-{[2-(1,1-dioxo-1λ⁶-tiomorfolin-4-il)etil]amino}-28-norlupa-2,20(29)-dien-3-il]ciclohex-3-eno-1-carboxílico

C₄₉H₇₀N₄O₅S**zeldesmeranum #**

zeldesmeran

messenger RNA (mRNA), 5'-capped, encoding a full-length, codon-optimised version of the SARS-CoV-2 (severe acute respiratory syndrome coronavirus 2) spike (S) glycoprotein (based upon GenBank ID: MT270101.1), containing the D614G mutation, flanked by a 5' untranslated region (5'UTR) derived from the 5'UTR of tobacco etch virus and a 3' untranslated region (3'UTR) derived from the 3'UTR of *Xenopus laevis* beta globin mRNA, and terminated with a 3' polyadenylation (polyA) tail; contains N¹-methylpseudouridine instead of uridine (*all*-U>m¹Ψ).

zeldesmérán

ARN messager (ARNm), coiffé en 5', codant la séquence entière aux codons optimisés de la glycoprotéine de spicule (S) du SARS-CoV-2 (coronavirus 2 du syndrome respiratoire aigu sévère) (basé sur GenBank ID: MT270101. 1), contenant la mutation D614G, flanquée d'une région non traduite en 5' (UTR) dérivée de l'UTR 5' du virus de l'antrax du tabac et d'une région non traduite en 3' (UTR 3') dérivée de l'UTR 3' de l'ARNm de la bêta-globine de *Xenopus laevis*, et terminée par une queue de polyadénylation (polyA) en 3'; contient de la N¹-méthylpseudouridine au lieu de l'uridine (*all*-U>m¹Ψ).

zeldesmerán

ARN mensajero (ARNm), protegido en 5', que codifica, con codones optimizados, para una versión completa de la glicoproteína de la espícula (S) del SARS-CoV-2 (coronavirus 2 del síndrome respiratorio agudo severo) (basada en GenBank ID: MT270101.1) que contiene la mutación D614G, flanqueado por una región 5' no traducida (5' UTR) derivada de la 5' UTR del virus del grabado del tabaco y una región 3' no traducida (3' UTR) derivada de la 3' UTR del ARNm de la beta globina de *Xenopues laevis* y terminado con una cola de poliadénilación (polyA) en 3'; contiene N¹-metilpseudouridina en lugar de uridina (*all*-U>m¹Ψ).

zeripatamigum #

zeripatamig

immunoglobulin G1-kappa/lambda, anti-[*Homo sapiens* CD47 (integrin-associated protein, IAP, MER6, OA3) and anti-[*Homo sapiens* CD19 (B lymphocyte surface antigen B4, Leu-12)], *Homo sapiens* monoclonal antibody, bispecific; gamma1 heavy chain *Homo sapiens* (1-445) [VH (*Homo sapiens*IGHV3-23*01 (100%) -(IGHD) -IGHJ4*01 (100%)), CDR-IMGT [8.8.9] (26-33.51-58.97-105)(1-116) -*Homo sapiens*IGHG1*03, G1m3, nG1m1 (CH1 R120 (213) (117-214), hinge 1-15 (215-229), CH2 (230-339), CH3 E12 (355), M14 (357) (340-444), CHS K2>del (445)) (117-445)], (219-215')-disulfide with kappa light chain anti-CD47 *Homo sapiens* (1'-215') [V-KAPPA (*Homo sapiens* IGKV1-39*01 (100%) -IGKJ1*01 (100%)) CDR-IMGT [6.3.10] (27-32.50-52.89-98) (1'-108') -*Homo sapiens*IGKC*01 (100%), Km3 A45.1 (154), V101 (192) (109'-215')]; gamma1 heavy chain *Homo sapiens* (1"-445") [VH (*Homo sapiens*IGHV3-23*01 (100%) -(IGHD) -IGHJ4*01 (100%)) CDR-IMGT [8.8.9] (26-33.51-58.97-105) (1"-116") -*Homo sapiens*IGHG1*03, G1m3, nG1m1 (CH1 R120 (213) (117"-214"), hinge 1-15 (215"-229"), CH2 (230"-339"), CH3 E12 (355), M14 (357) (340"-444"), CHS K2>del (445)) (117"-445")], (219"-217")-disulfide with lambda light chain anti-CD19 *Homo sapiens* (1"-218") [V-LAMBDA (*Homo sapiens* IGLV6-57*01 (91.8%) -IGLJ3*02 (100%)) CDR-IMGT [8.3.11] (26-33.51-53.92-102) (1""-112"") -*Homo sapiens* IGLC2*01 (100%) (113""-218"")]; dimer (225-225":228-228")-bisdisulfide, produced in Chinese hamster ovary (CHO) cells, glycoform alfa

zéripatamig

immunoglobuline G1-kappa/lambda, anti-[*Homo sapiens* CD47 (protéine associée à l'intégrine, IAP, MER6, OA3) and anti-[*Homo sapiens* CD19 (antigène de surface B4 des lymphocytes B, Leu-12)], anticorps monoclonal *Homo sapiens*, bispécifique; chaîne lourde gamma1 *Homo sapiens* (1-445) [VH (*Homo sapiens*IGHV3-23*01 (100%) -(IGHD)-IGHJ4*01 (100%)), CDR-IMGT [8.8.9] (26-33.51-58.97-105)(1-116) -*Homo sapiens*IGHG1*03, G1m3, nG1m1 (CH1 R120 (213) (117-214), charnière 1-15 (215-229), CH2 (230-339), CH3 E12 (355), M14 (357) (340-444), CHS K2>del (445)) (117-445)], (219-215')-disulfure avec la chaîne légère kappa anti-CD47 *Homo sapiens* (1'-215') [V-KAPPA (*Homo sapiens*IGKV1-39*01 (100%) -IGKJ1*01 (100%)) CDR-IMGT [6.3.10] (27-32.50-52.89-98) (1'-108') -*Homo sapiens*IGKC*01 (100%), Km3 A45.1 (154), V101 (192) (109'-215')]; chaîne lourde gamma1 *Homo sapiens* (1"-445") [VH (*Homo sapiens*IGHV3-23*01 (100%) -(IGHD)-IGHJ4*01 (100%)) CDR-IMGT [8.8.9] (26-33.51-58.97-105) (1"-116") -*Homo sapiens*IGHG1*03, G1m3, nG1m1 (CH1 R120 (213) (117-214"), charnière 1-15 (215"-229"), CH2 (230"-339"), CH3 E12 (355), M14 (357) (340"-444"), CHS K2>del (445)) (117"-445")], (219"-217")-disulfure avec la chaîne légère lambda anti-CD19 *Homo sapiens* (1""-218"") V-LAMBDA (*Homo sapiens*IGLV6-57*01 (91.8%) -IGLJ3*02 (100%)) CDR-IMGT [8.3.11] (26-33.51-53.92-102) (1""-112"") -*Homo sapiens*IGLC2*01 (100%) (113""-218""); dimère (225-225":228-228")-bisisulfuro, produit dans des cellules ovarianes de hamster chinois (CHO), glycoforme alfa

zeripatamig

inmunoglobulina G1-kappa/lambda, anti-[*Homo sapiens* CD47 (proteína asociada a la integrina, IAP, MER6, OA3) y anti-[*Homo sapiens* CD19 (antígeno de superficie B4 de los linfocitos B, Leu-12)], anticuerpo monoclonal *Homo sapiens*, biespecífico; cadena pesada gamma1 *Homo sapiens*(1-445) [VH (*Homo sapiens*IGHV3-23*01 (100%) -(IGHD)-IGHJ4*01 (100%)), CDR-IMGT [8.8.9] (26-33.51-58.97-105)(1-116) -*Homo sapiens*IGHG1*03, G1m3, nG1m1 (CH1 R120 (213) (117-214), bisagra 1-15 (215-229), CH2 (230-339), CH3 E12 (355), M14 (357) (340-444), CHS K2>del (445)) (117-445)], (219-215')-disulfuro con la cadena ligera kappa anti-CD47 *Homo sapiens* (1'-215') [V-KAPPA (*Homo sapiens*IGKV1-39*01 (100%) -IGKJ1*01 (100%)) CDR-IMGT [6.3.10] (27-32.50-52.89-98) (1'-108') -*Homo sapiens*IGKC*01 (100%), Km3 A45.1 (154), V101 (192) (109'-215')]; cadena pesada gamma1 *Homo sapiens* (1"-445") [VH (*Homo sapiens*IGHV3-23*01 (100%) -(IGHD)-IGHJ4*01 (100%)) CDR-IMGT [8.8.9] (26-33.51-58.97-105) (1"-116") -*Homo sapiens*IGHG1*03, G1m3, nG1m1 (CH1 R120 (213) (117"-214"), bisagra 1-15 (215"-229"), CH2 (230"-339"), CH3 E12 (355), M14 (357) (340"-444"), CHS K2>del (445)) (117"-445")], (219"-217")-disulfuro con la cadena ligera lambda anti-CD19 *Homo sapiens* (1""-218"") V-LAMBDA (*Homo sapiens*IGLV6-57*01 (91.8%) -IGLJ3*02 (100%)) CDR-IMGT [8.3.11] (26-33.51-53.92-102) (1""-112"") -*Homo sapiens*IGLC2*01 (100%) (113""-218""); dímero (225-225":228-228")-bisisulfuro, producido en las células ováricas de hámster chino (CHO), forma glicosilada alfa

Heavy chain / Chaîne lourde / Cadena pesada : (H, H")

EVQILLESGGG LVOPGGSLRL SCAAAGFTFS SYAMMSWVRQA PGKGLEWVSA 50
 ISGSGCGTYY ADSVKGRFTI SRDNKNTLY LQMNNSRAED TAVVYCAKSY 100
 GAFDYWQCGT LTVTSSASTK GPSPVPLAPS SKSTSGCTAA LGCLVUDYFP 150
 EDVTWSHNCG ALTSCVHTFP AVLQSSCLYK SLSVSVTVPBS SLCTOTXICN 200
 VNHHPSNTKV DKRVEPKSCD KHTCPCPCA PELLGGPSVF LFPPPKDTL 250
 MISRTPEVTC VVVDVSHEDP EVKFNWIVDG VEVHNAKTKP REEQYNSTYR 300
 VVSVLTVLHQ DWLNGKEYK KVSNKALPAF IEKTIISKAGK QPREFQVTL 350
 PSREEMTRN QVSLTCLVKG FPTSDIAEVW ESNQGPENNY KTPPFVLDSD 400
 GSFFFLYSKLT VDKSRWQQGS VFSCSVMEHA LHNHNTQKSL SLSPG 445

Light chain / Chaîne légère / Cadena ligera : kappa, anti-CD47 (L")

DIQMTQSPSS LSASVGDRVT ITCRASQIS SYLNWYQQKRP GKAPKLLIYA 50
 ASSLGSGVPV RFSGSGSGTD FTFTLTISSLQF DEFATYQEQQ MHFRAPKTFG 100
 QGTKEVIEKRT VAAPSVFIFP PSEDEQLKSQT ASVVCCLNNN YPREAKVQWK 150
 VDNALQSQGSN QESVTEQDSK DSTYLSLSTL TLSRADYEKH KVYACEVTHQ 200
 GLSSPVTKSF NRGECA 218

Light chain / Chaîne légère / Cadena ligera : lambda, anti-CD19 (L")

NFMILTQPQHSV SESPGKVTI SCTRRSSGIE DKVYQWYQQR PGSSPTIVIY 50
 YDNERPSGVP DRFGSVIDSS RNSASALTSIG LKTEDEADYY CQTYDQSLYG 100
 WVFGGGTKLIT VLQOPKAAPS VTLFPVPSSEE LQANKATLVC LISDFYPGAV 150
 TVAWKADSSP VKAGVETTTP SKQSQSNKYAA SSYSLSLTPEQ WKSHRSYSCQ 200
 VTHEGSTVEK TVAPTECS

Post-translational modifications

Disulfide bridges location / Position des ponts disulfure / Posiciones de los puentes disulfuro
 Intra-H (C23-C104) 22-96 143-199 260-320 366-424
 22"-96" 143"-199" 260"-320" 366"-424"
 Intra-L (C23-C104) 23"-88" 135"-195"
 22"-91" 140"-199"
 Inter-H-L (h 5-CL 126) 219-215" 219"-217"
 Inter-H-H (h 11, h 14) 225-225" 228-228"

N-glycosylation sites / Sites de N-glycosylation / Posiciones de N-glicosilación

N CH₂ N84.4; 296, 296"
 Fucosylated complex bi-antennary CHO-type glycans / glycanes de tipo CHO bi-antennaires
 complejos fucosylés / glicanos de tipo CHO biantenarios complejos fucosilados

zerlasiranum

zerlasiran

*all-P-ambo-5'-O-[23-[(2-acetamido-2-deoxy-β-D-galactopyranosyl)oxy]-11,11-bis{12-[(2-acetamido-2-deoxy-β-D-galactopyranosyl)oxy]-7-hydroxy-7-sulfanylidene-2,6,8-trioxa-7Λ⁵-phosphadodecan-1-yl}-1,18-dihydroxy-1,18-bis(sulfanylidene)-2,9,13,17,19-pentaoxa-1Λ⁵,18Α⁵-diphosphatricosan-1-yl]-2'-O-methylcytidylyl-(3'→5')-2'-O-methylguanylyl-(3'→5')-2'-O-methylguanylyl-(3'→5')-2'-O-methyluridylyl-(3'→5')-2'-O-methyladenylyl-(3'→5')-2'-O-methyladenylyl-(3'→5')-2'-fluoro-2'-deoxyuridylyl-(3'→5')-2'-fluoro-2'-deoxyguanylyl-(3'→5')-2'-O-methyladenylyl-(3'→5')-2'-O-methylcytidylyl-(3'→5')-2'-O-methyladenylyl-(3'→5')-2'-O-methylguanylyl-(3'→5')-2'-O-methyluridylyl-(3'→5')-2'-O-methyl-P-thiouridylyl-(3'→5')-2'-O-methyl-P-thioadenylyl-(3'→5')-2'-O-methyluridine, duplex with *all-O-ambo-2'-O-methyl-P-thioguanlyl-(5'→3')-2'-fluoro-2'-deoxy-P-thiocytidyl-(5'→3')-2'-O-methylcytidyl-(5'→3')-2'-fluoro-2'-deoxyadenylyl-(5'→3')-2'-O-methyluridylyl-(5'→3')-2'-fluoro-2'-deoxyuridylyl-(5'→3')-2'-O-methyladenylyl-(5'→3')-2'-fluoro-2'-deoxycytidyl-(5'→3')-2'-O-methylcytidyl-(5'→3')-2'-fluoro-2'-deoxyuridylyl-(5'→3')-2'-O-methylguanylyl-(5'→3')-2'-fluoro-2'-deoxyuridylyl-(5'→3')-2'-O-methylcytidyl-(5'→3')-2'-fluoro-2'-deoxyadenylyl-(5'→3')-2'-O-methyl-P-thioadenylyl-(5'→3')-2'-fluoro-2'-deoxy-P-thiouridylyl-(5'→3')-2'-O-methyladenosine**

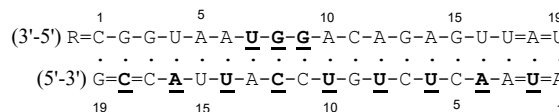
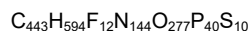
zerlasiran

tout-P-ambo-5'-O-[23-[(2-acétamido-2-désoxy-β-D-galactopyranosyl)oxy]-11,11-bis{12-[(2-acétamido-2-désoxy-β-D-galactopyranosyl)oxy]-7-hydroxy-7-sulfanylidène-2,6,8-trioxa-7Λ⁵-phosphadodécan-1-yl}-1,18-dihydroxy-1,18-bis(sulfanylidène)-2,9,13,17,19-pentaoxa-1Λ⁵,18Α⁵-diphosphatricosan-1-yl]-2'-O-méthylcytidylyl-(3'→5')-2'-O-méthylguanylyl-(3'→5')-2'-O-méthylguanylyl-(3'→5')-2'-O-méthyluridylyl-(3'→5')-2'-O-méthyladenylyl-(3'→5')-2'-O-méthyladenylyl-(3'→5')-2'-O-méthylguanylyl-(3'→5')-2'-O-méthyluridylyl-(3'→5')-2'-O-méthyladenylyl-(3'→5')-2'-O-méthylguanylyl-(3'→5')-2'-O-méthyluridylyl-(3'→5')-2'-O-méthyl-P-thiouridylyl-(3'→5')-2'-O-méthyl-P-thioadenylyl-(3'→5')-2'-O-méthyluridine,

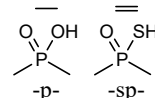
duplex avec *tout-O-ambo-2'-O-méthyl-P-thioguanilyl-(5'→3')-2'-fluoro-2'-désoxy-P-thiocytidyl-(5'→3')-2'-O-méthylcytidyl-(5'→3')-2'-fluoro-2'-désoxyadényl-(5'→3')-2'-O-méthyluridyl-(5'→3')-2'-fluoro-2'-désoxyuridyl-(5'→3')-2'-O-méthylcytidyl-(5'→3')-2'-désoxyuridyl-(5'→3')-2'-O-méthylguanilyl-(5'→3')-2'-désoxyadényl-(5'→3')-2'-O-méthyl-P-thioadenyl-(5'→3')-2'-désoxy-P-thiouridyl-(5'→3')-2'-O-méthyladénosine*

zerlasirán

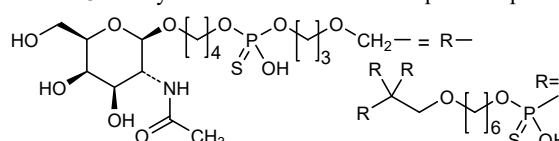
todo-P-ambo-5'-O-[23-[(2-acetamido-2-desoxi-β-D-galactopyranosil)oxi]-11,11-bis[12-[(2-acetamido-2-desoxi-β-D-galactopyranosil)oxi]-7-hidroxi-7-sulfanilidenzo-2,6,8-trioxa-7λ⁵-fosfadodecan-1-il]-1,18-dihidroxi-1,18-bis(sulfanilideno)-2,9,13,17,19-pentaoxa-1λ⁵,18λ⁵-difosfaticosan-1-il]-2'-O-metilcitidilil-(3'→5')-2'-O-metilguanilil-(3'→5')-2'-O-metiluridilil-(3'→5')-2'-O-metiladenilil-(3'→5')-2'-O-metiladenilil-(3'→5')-2'-fluoro-2'-desoxiuridilil-(3'→5')-2'-fluoro-2'-desoxiguanilil-(3'→5')-2'-fluoro-2'-desoxiguanilil-(3'→5')-2'-O-metiladenilil-(3'→5')-2'-O-metilcitidilil-(3'→5')-2'-O-metiladenilil-(3'→5')-2'-O-metilguanilil-(3'→5')-2'-O-metiladenilil-(3'→5')-2'-O-metilguanilil-(3'→5')-2'-O-metiluridilil-(3'→5')-2'-O-metil-P-tiouridilil-(3'→5')-2'-O-metil-P-tioadenilil-(3'→5')-2'-O-metiluridina,
dúplex con todo-O-ambo-2'-O-metil-P-tioguanilil-(5'→3')-2'-fluoro-2'-desoxi-P-tiocitidilil-(5'→3')-2'-O-metilcitidilil-(5'→3')-2'-fluoro-2'-desoxiadénilil-(5'→3')-2'-O-metiluridilil-(5'→3')-2'-fluoro-2'-desoxiuridilil-(5'→3')-2'-O-metiladenilil-(5'→3')-2'-fluoro-2'-desoxicitidilil-(5'→3')-2'-O-metilcitidilil-(5'→3')-2'-fluoro-2'-desoxiuridilil-(5'→3')-2'-O-metilguanilil-(5'→3')-2'-fluoro-2'-desoxiuridilil-(5'→3')-2'-O-metil-P-tioadenilil-(5'→3')-2'-fluoro-2'-desoxi-P-tiouridilil-(5'→3')-2'-O-metiladenosina

Legend

X : 2'-deoxy-2'-fluorouridine nucleotide



X : 2'-O-methyluridine nucleotide

**ziclumeranum #**

ziclumeran

messenger RNA (mRNA), 5' capped, encoding codon-optimised clustered regularly interspaced short palindromic repeats (CRISPR) associated protein 9 (Cas9), flanked by untranslated regions (UTR) with significant sequence homology to the *Xenopus* beta globin gene, and terminated with a polyadenylation (polyA) tail. A Kozak sequence precedes the open reading frame and the 5' cap is a synthetic anti-reverse cap analogue (ARCA); contains N¹-methylpsudouridine instead of uridine (*all-U>m¹Ψ*).

zicluméran

ARN messager (ARNm), coiffé en 5', codant la protéine 9 (Cas9) associée à des répétitions palindromiques courtes régulièrement espacées et groupées (CRISPR), flanqué de régions non traduites (UTR) présentant une homologie de séquence significative avec le gène de la bêta-globine de *Xenopus*, et terminé par une queue de polyadénylation (polyA). Une séquence de Kozak précède le cadre de lecture ouvert et la coiffe en 5' est un analogue synthétique de coiffe anti-reverse (ARCA); contient de la N¹-méthylpseudouridine au lieu de l'uridine (*tout-U>m¹Ψ*).

ziclumerán

ARN mensajero (ARNm), protegido en 5', que codifica, con codones optimizados, para la proteína 9 asociada a repeticiones palindrómicas cortas agrupadas y espaciadas regularmente (CRISPR) (Cas9), flanqueado por regiones no traducidas (UTR) con homología de secuencia significativa con el gen de la beta globina de *Xenopus* y terminado con una cola de poliadenilación (polyA). Una secuencia Kozak precede el marco de lectura abierto y la caperuza (*cap*) 5' es un análogo sintético de la caperuza anti-reverso (ARCA); contiene N¹-metilpseudouridina en lugar de uridina (*todo-U>m¹Ψ*).

zifcasiranum

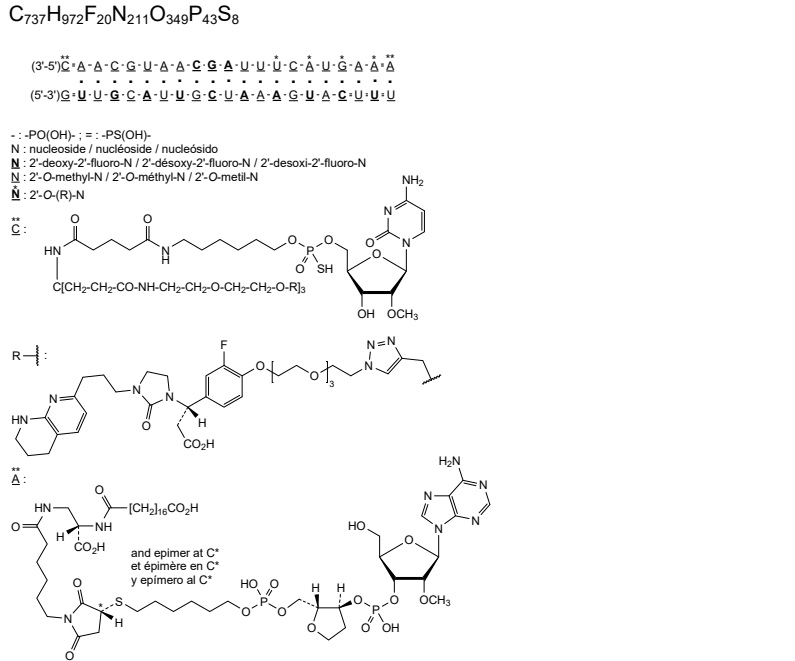
zifcasiran

all-P-ambo-(2R,3S)-2-[(6-[(3RS)-1-(6-[(2S)-2-carboxy-2-(17-carboxyheptadecanamido)ethyl]amino)-6-oxohexyl)-2,5-dioxopyrrolidin-3-yl]sulfanyl}oxy]hydroxyphosphoryloxy)methyl]oxolan-3-yl hydrogen 5'-O-[27-[(6S)-6-(carboxymethyl)-7³-fluoro-5²-oxo-1^{5,6,7,8}-tetrahydro-8,11,14,17-tetraoxa-1(2)-[1,8]naphthyridina-20(1)-[1,2,3]triazola-5(1,3)-imidazolidina-7(1,4)-benzenaicosaphan-20⁴-yl]-16,16-bis(3-[[2-(2-[(6S)-6-(carboxymethyl)-7³-fluoro-5²-oxo-1^{5,6,7,8}-tetrahydro-8,11,14,17-tetraoxa-1(2)-[1,8]naphthyridina-20(1)-[1,2,3]triazola-5(1,3)-imidazolidina-7(1,4)-benzenaicosaphan-20⁴-yl]methoxyethoxyethyl]amino)-3-oxopropyl]-1,10,14,19-tetraoxo-1-sulfanyl-2,23,26-trioxa-9,15,20-triaza-1⁵-phosphaheptacosan-1-yl]-2'-O-methyl-P-thiocytidylyl-(3'->5')-2'-O-methyladenylyl-(3'->5')-2'-O-methyladenylyl-(3'->5')-2'-O-methylcytidylyl-(3'->5')-2'-O-methylguanylyl-(3'->5')-2'-O-methyluridylyl-(3'->5')-2'-O-methyladenylyl-(3'->5')-2'-O-methyladenylyl-(3'->5')-2'-deoxy-2'-fluorocytidylyl-(3'->5')-2'-deoxy-2'-fluoroguanosyl-(3'->5')-2'-deoxy-2'-fluoroadenylyl-(3'->5')-2'-O-methyluridylyl-(3'->5')-2'-O-methyluridylyl-(3'->5')-2'-O-[(6S)-6-(carboxymethyl)-7³-fluoro-5²-oxo-1^{5,6,7,8}-tetrahydro-8,11,14,17-tetraoxa-1(2)-[1,8]naphthyridina-20(1)-[1,2,3]triazola-5(1,3)-imidazolidina-7(1,4)-benzenaicosaphan-20⁴-yl]methyl]uridylyl-(3'->5')-2'-O-methylcytidylyl-(3'->5')-2'-O-[(6S)-6-(carboxymethyl)-7³-fluoro-5²-oxo-1^{5,6,7,8}-tetrahydro-8,11,14,17-tetraoxa-1(2)-[1,8]naphthyridina-20(1)-[1,2,3]triazola-5(1,3)-imidazolidina-7(1,4)-benzenaicosaphan-20⁴-yl]methyl]adenylyl-(3'->5')-2'-O-methyluridylyl-(3'->5')-2'-O-[(6S)-6-(carboxymethyl)-7³-fluoro-5²-oxo-1^{5,6,7,8}-tetrahydro-8,11,14,17-tetraoxa-1(2)-[1,8]naphthyridina-20(1)-[1,2,3]triazola-5(1,3)-imidazolidina-7(1,4)-benzenaicosaphan-20⁴-yl]methyl]guanylyl-(3'->5')-2'-O-methyladenylyl-(3'->5')-2'-O-[(6S)-6-(carboxymethyl)-7³-fluoro-5²-oxo-1^{5,6,7,8}-tetrahydro-8,11,14,17-tetraoxa-1(2)-[1,8]naphthyridina-20(1)-[1,2,3]triazola-5(1,3)-imidazolidina-7(1,4)-benzenaicosaphan-20⁴-yl]methyl]uridylyl-(3'->5')-2'-O-methylcytidylyl-(3'->5')-2'-O-[(6S)-6-(carboxymethyl)-7³-fluoro-5²-oxo-1^{5,6,7,8}-tetrahydro-8,11,14,17-tetraoxa-1(2)-[1,8]naphthyridina-20(1)-[1,2,3]triazola-5(1,3)-imidazolidina-7(1,4)-benzenaicosaphan-20⁴-yl]methyl]P-thioadenylyl-(3'->5')-2'-O-methyl-3'-adenylate,

duplex with all-*P*-ambo-2'-O-methyl-*P*-thiouridyl-(3'→5')-2'-deoxy-2'-fluoro-*P*-thiouridyl-(3'→5')-2'-O-methyl-*P*-thiouridyl-(3'→5')-2'-deoxy-2'-fluorocytidyl-(3'→5')-2'-O-methyladenyl-(3'→5')-2'-deoxy-2'-fluorouridyl-(3'→5')-2'-O-methylguanylyl-(3'→5')-2'-deoxy-2'-fluoroadenyl-(3'→5')-2'-O-methyladenyl-(3'→5')-2'-deoxy-2'-fluoroadenyl-(3'→5')-2'-O-methyluridyl-(3'→5')-2'-deoxy-2'-fluorocytidyl-(3'→5')-2'-O-methylguanylyl-(3'→5')-2'-deoxy-2'-fluorouridyl-(3'→5')-2'-O-methyluridyl-(3'→5')-2'-deoxy-2'-fluoroadenyl-(3'→5')-2'-O-methylcytidyl-(3'→5')-2'-deoxy-2'-fluoroguananyl-(3'→5')-2'-O-methyluridyl-(3'→5')-2'-deoxy-2'-fluoro-*P*-thiouridyl-(3'→5')-2'-O-methylguanosine

*tout-P-ambo-5'-O-[27-[(6S)-6-(carboxyméthyl)-7³-fluoro-5²-oxo-1^{5,6,7,8}-tétrahydro-8,11,14,17-tétraoxa-1(2)-[1,8]naphthyridina-20(1)-[1,2,3]triazola-5(1,3)-imidazolidina-7(1,4)-benzénicosaphan-20⁴yl]-16,16-bis(3-[2-(2-[(6S)-6-(carboxyméthyl)-7³-fluoro-5²-oxo-1^{5,6,7,8}-tétrahydro-8,11,14,17-tétraoxa-1(2)-[1,8]naphthyridina-20(1)-[1,2,3]triazola-5(1,3)-imidazolidina-7(1,4)-benzénicosaphan-20⁴yl)méthoxy}éthoxy]éthyl]amino}-3-oxopropyl)-1,10,14,19-tétraoxo-1-sulfanyl-2,23,26-trioxa-9,15,20-triaza-1λ⁵-phosphaheptacosan-1-yl]-2'-O-méthyl-P-thiocytidyl-(3'→5')-2'-O-méthyladénylyl-(3'→5')-2'-O-méthyladénylyl-(3'→5')-2'-O-méthylcytidyl-(3'→5')-2'-O-méthylguanylyl-(3'→5')-2'-O-méthyluridyl-(3'→5')-2'-O-méthyladénylyl-(3'→5')-2'-O-méthyladénylyl-(3'→5')-2'-désoxy-2'-fluoroguanillyl-(3'→5')-2'-désoxy-2'-fluoroadénylyl-(3'→5')-2'-O-méthyluridyl-(3'→5')-2'-O-méthyluridyl-(3'→5')-2'-O-{[(6S)-6-(carboxyméthyl)-7³-fluoro-5²-oxo-1^{5,6,7,8}-tétrahydro-8,11,14,17-tétraoxa-1(2)-[1,8]naphthyridina-20(1)-[1,2,3]triazola-5(1,3)-imidazolidina-7(1,4)-benzénicosaphan-20⁴yl)méthyl]uridylyl-(3'→5')-2'-O-méthylcytidyl-(3'→5')-2'-O-{[(6S)-6-(carboxyméthyl)-7³-fluoro-5²-oxo-1^{5,6,7,8}-tétrahydro-8,11,14,17-tétraoxa-1(2)-[1,8]naphthyridina-20(1)-[1,2,3]triazola-5(1,3)-imidazolidina-7(1,4)-benzénicosaphan-20⁴yl)méthyl]adénylyl-(3'→5')-2'-O-méthyluridyl-(3'→5')-2'-O-{[(6S)-6-(carboxyméthyl)-7³-fluoro-5²-oxo-1^{5,6,7,8}-tétrahydro-8,11,14,17-tétraoxa-1(2)-[1,8]naphthyridina-20(1)-[1,2,3]triazola-5(1,3)-imidazolidina-7(1,4)-benzénicosaphan-20⁴yl)méthyl]guanylyl-(3'→5')-2'-O-méthyladénylyl-(3'→5')-2'-O-{[(6S)-6-(carboxyméthyl)-7³-fluoro-5²-oxo-1^{5,6,7,8}-tétrahydro-8,11,14,17-tétraoxa-1(2)-[1,8]naphthyridina-20(1)-[1,2,3]triazola-5(1,3)-imidazolidina-7(1,4)-benzénicosaphan-20⁴yl)méthyl]P-thioadénylyl-(3'→5')-hydrogéné-2'-O-méthyl-3'-adénylyate de (2R,3S)-2-[(6-[(3(R,S)-1-6-[(2S)-2-carboxy-2-(17-carboxyheptadécanamido)éthyl]amino)-6-oxohexyl)-2,5-dioxopyrrolidin-3-ylsulfanyl]hexyl]oxy]hydroxyphosphoryloxy)méthyl]oxolan-3-yle, duplex avec *tout-P-ambo-2'-O-méthyl-P-thiouridyl-(3'→5')-2'-désoxy-2'-fluoro-P-thiouridyl-(3'→5')-2'-O-méthyl-P-thiouridyl-(3'→5')-2'-désoxy-2'-fluorocytidyl-(3'→5')-2'-O-méthyladénylyl-(3'→5')-2'-désoxy-2'-fluorouridyl-(3'→5')-2'-O-méthylguanylyl-(3'→5')-2'-désoxy-2'-fluoroadénylyl-(3'→5')-2'-O-méthyladénylyl-(3'→5')-2'-désoxy-2'-fluoroadénylyl-(3'→5')-2'-O-méthyluridyl-(3'→5')-2'-désoxy-2'-fluorocytidyl-(3'→5')-2'-O-méthylguanylyl-(3'→5')-2'-désoxy-2'-fluorouridyl-(3'→5')-2'-O-méthyluridyl-(3'→5')-2'-désoxy-2'-fluoroadénylyl-(3'→5')-2'-O-méthylcytidyl-(3'→5')-2'-désoxy-2'-fluoroguanillyl-(3'→5')-2'-O-méthyluridyl-(3'→5')-2'-désoxy-2'-fluoroadénylyl-(3'→5')-2'-O-méthylquanosine**

zifcasirán *todo-P-ambo-5'-O-[27-[(6S)-6-(carboximetil)-7³-fluoro-5²-oxo-1^{5,6,7,8-tetrahidro-8,11,14,17-tetraoxa-1(2)-[1,8]naftiridina-20(1)-[1,2,3]triazola-5(1,3)-imidazolidina-7(1,4)-bencenaicosafan-20⁴-il]-16,16-bis(3-[2-(2-[(6S)-6-(carboximetil)-7³-fluoro-5²-oxo-1^{5,6,7,8-tetrahidro-8,11,14,17-tetraoxa-1(2)-[1,8]naftiridina-20(1)-[1,2,3]triazola-5(1,3)-imidazolidina-7(1,4)-bencenaicosafan-20⁴-il]metoxi)etoxi]etil]amino]-3-oxopropil}-1,10,14,19-tetraoxo-1-sulfanil-2,23,26-trioxa-9,15,20-triaza-1(5-fosfaheptacosan-1-il)-2'-O-metil-P-tiocitidilil-(3'->5')-2'-O-metiladenilil-(3'->5')-2'-O-metiladenilil-(3'->5')-2'-O-metilguanilil-(3'->5')-2'-O-metiluridilil-(3'->5')-2'-O-desoxi-2'-fluorocitidilil-(3'->5')-2'-desoxi-2'-fluoroguanilil-(3'->5')-2'-desoxi-2'-fluoroadenilil-(3'->5')-2'-O-metiluridilil-(3'->5')-2'-O-metiluridilil-(3'->5')-2'-O-[(6S)-6-(carboximetil)-7³-fluoro-5²-oxo-1^{5,6,7,8-tetrahidro-8,11,14,17-tetraoxa-1(2)-[1,8]naftiridina-20(1)-[1,2,3]triazola-5(1,3)-imidazolidina-7(1,4)-bencenaicosafan-20⁴-il]metil]uridilil-(3'->5')-2'-O-metilcitidilil-(3'->5')-2'-O-[(6S)-6-(carboximetil)-7³-fluoro-5²-oxo-1^{5,6,7,8-tetrahidro-8,11,14,17-tetraoxa-1(2)-[1,8]naftiridina-20(1)-[1,2,3]triazola-5(1,3)-imidazolidina-7(1,4)-bencenaicosafan-20⁴-il]metil]adenilil-(3'->5')-2'-O-metiluridilil-(3'->5')-2'-O-[(6S)-6-(carboximetil)-7³-fluoro-5²-oxo-1^{5,6,7,8-tetrahidro-8,11,14,17-tetraoxa-1(2)-[1,8]naftiridina-20(1)-[1,2,3]triazola-5(1,3)-imidazolidina-7(1,4)-bencenaicosafan-20⁴-il]metil]guanilil-(3'->5')-2'-O-metiladenilil-(3'->5')-2'-O-[(6S)-6-(carboximetil)-7³-fluoro-5²-oxo-1^{5,6,7,8-tetrahidro-8,11,14,17-tetraoxa-1(2)-[1,8]naftiridina-20(1)-[1,2,3]triazola-5(1,3)-imidazolidina-7(1,4)-bencenaicosafan-20⁴-il]metil]P-tiouridilil-(3'->5')-2'-O-metiluridilil-(3'->5')-2'-O-[(6S)-6-(carboximetil)-7³-fluoro-5²-oxo-1^{5,6,7,8-tetrahidro-8,11,14,17-tetraoxa-1(2)-[1,8]naftiridina-20(1)-[1,2,3]triazola-5(1,3)-imidazolidina-7(1,4)-bencenaicosafan-20⁴-il]metil]P-tioadenoilil-(3'->5')-2'-O-metil-3'-adenilato de (2R,3S)-2-[{[(6-[((3RS)-1-(6-[((2S)-2-carboxi-2-(17-carboxiheptadecanamido)etil]amino)-6-oxohexil)-2,5-dioxopirrolidin-3-il)sulfanil]hexil]oxi}hydroxifosforil]oxi}metil]oxolan-3-il], duplex con *todo-P-ambo-2'-O-metil-P-tiouridilil-(3'->5')-2'-desoxi-2'-fluoro-P-tiouridilil-(3'->5')-2'-O-metil-P-tiouridilil-(3'->5')-2'-desoxi-2'-fluorocitidilil-(3'->5')-2'-O-metiladenilil-(3'->5')-2'-desoxi-2'-fluorouridilil-(3'->5')-2'-O-metilguanilil-(3'->5')-2'-desoxi-2'-fluoroadenilil-(3'->5')-2'-O-metiladenilil-(3'->5')-2'-desoxi-2'-fluorouridilil-(3'->5')-2'-O-metiluridilil-(3'->5')-2'-desoxi-2'-fluorocitidilil-(3'->5')-2'-O-metilguanilil-(3'->5')-2'-desoxi-2'-fluorouridilil-(3'->5')-2'-O-metiluridilil-(3'->5')-2'-desoxi-2'-fluoroguanilil-(3'->5')-2'-O-metiluridilil-(3'->5')-2'-desoxi-2'-fluoro-P-tiouridilil-(3'->5')-2'-O-metilguanosina*}}}}}}}*



zifibancimig #

zifibancimig

immunoglobulin Fab G1-kappa, anti-[*Homo sapiens* ANGPT2 (angiopoietin 2, Ang2)] and anti-[*Homo sapiens* VEGFA (vascular endothelial growth factor A, VEGF-A, VEGF), monoclonal antibody, bispecific, biparatope monovalent; VH-(CH1-hinge) gamma1 heavy chain (1-223) [VH (*Homo sapiens*IGHV3-31*07 (74.0%) -(IGHD) -IGHJ4*01 (86.7%), CDR-IMGT [7.8.9] (26-32.50-57.96-104)) (1-115) -CH1-hinge (*Homo sapiens*IGHG1*01 (100%), G1m17 (CH1 K120 (212) (116-213), hinge 1-10 (214-223)) (116-223)], (218-214')-disulfide with kappa light chain (1'-214') [V-KAPPA (*Homo sapiens*IGKV1-5*01 (72.2%) -IGKJ4*01 (90.9%), CDR-IMGT [6.4.9] (27-32.50-53.89-97)) (1'-107') -*Homo sapiens* IGKC*01 (100%), Km3 A45.1 (153), V101 (191) (108'-214')]; bispecific, biparatope monovalent: anti-ANG2 paratope (VH CDR1 and CDR3, V-KAPPA CDR2) and anti-VEGFA paratope (V-KAPPA CDR1 and CDR3, VH CDR2), produced in Chinese hamster ovary (CHO) cells, cell line CHO-K1, non-glycosylated

zifibancimig

immunoglobuline Fab G1-kappa, anti-[*Homo sapiens* VEGFA (facteur A de croissance de l'endothélium vasculaire humain) et *Homo sapiens* ANGPT2 (angiopoïétine 2, Ang2)], anticorps monoclonal, bispécifique, biparatope monovalent; VH-(CH1-charnière) chaîne lourde gamma1 (1-223) [VH (*Homo sapiens*IGHV3-31*07 (74.0%) -(IGHD) -IGHJ4*01 (86.7%), CDR-IMGT [7.8.9] (26-32.50-57.96-104)) (1-115) -CH1-charnière (*Homo sapiens*IGHG1*01 (100%), G1m17 (CH1 K120 (212) (116-213), charnière 1-10 (214-223)) (116-223)], (218-214')-disulfure avec la chaîne légère kappa (1'-214') [V-KAPPA (*Homo sapiens*IGKV1-5*01 (72.2%) -IGKJ4*01 (90.9%), CDR-IMGT [6.4.9] (27-32.50-53.89-97)) (1'-107') -*Homo sapiens* IGKC*01 (100%), Km3 A45.1 (153), V101 (191) (108'-213')]; bispécifique, biparatope monovalent: anti-ANG2 paratope (VH CDR1 et CDR3, V-KAPPA CDR2) et anti-VEGFA paratope (V-KAPPA CDR1 et CDR3, VH CDR2), produit dans des cellules ovarienches de hamster chinois (CHO), lignée cellulaire CHO-K1, non-glycosylé

zifibancimig

imunoglobulina Fab G1-kappa, anti-[*Homo sapiens* VEGFA (factor A de crecimiento del endotelio vascular humano) y *Homo sapiens* ANGPT2 (angiopoetina 2, Ang2)], anticuerpo monoclonal, biespecífico, biparatopo monovalente; VH-(CH1-bisagra) cadena pesada gamma1 (1-223) [VH (*Homo sapiens*IGHV3-31*07 (74.0%) -(IGHD) -IGHJ4*01 (86.7%), CDR-IMGT [7.8.9] (26-32.50-57.96-104)) (1-115) -CH1-bisagra (*Homo sapiens*IGHG1*01 (100%), G1m17 (CH1 K120 (212) (116-213), bisagra 1-10 (214-223)) (116-223)], (218-214')-disulfuro con la cadena ligera kappa (1'-214') [V-KAPPA (*Homo sapiens*IGKV1-5*01 (72.2%) -IGKJ4*01 (90.9%), CDR-IMGT [6.4.9] (27-32.50-53.89-97)) (1'-107') -*Homo sapiens* IGKC*01 (100%), Km3 A45.1 (153), V101 (191) (108'-213')]; biespecífico, biparatopo monovalente: anti-ANG2 paratopo (VH CDR1 et CDR3, V-KAPPA CDR2) y anti-VEGFA paratopo (V-KAPPA CDR1 et CDR3, VH CDR2), producido en las células ováricas de hámster chino (CHO), línea celular CHO-K1, no glicosilado

Heavy chain / Chaîne lourde / Cadena pesada
 SEHLVESGGGVVLPKPGSLRL SCATADFFEY DDMSWVRQAP GKGLEWVGSI 50
 SPKGDHKYLN TKFIGRFTIS RDDSKNTLYL QMNSLRAEDT AVYYCARDVG 100
 FFDWVGCGTL VTVSSASTKG PSVFLAPSS KSTSGGTAAL GCLVKDVFPE 150
 PVTWSWNSGA LTSGVHFTPA VLQSSGLYSL SSVVTVPSSS LGTQTYICNV 200
 NHKPSNTKVD KKVEPKSCDK THT 223

Light chain / Chaîne légère / Cadena ligera
 AIYMHQEPPSS LASAVGDRVT ITCHGSYWLW SEVAWYQQKP GKAKPPLLIFD 50
 GDFKVKYEPPS RFSGSGSHED YLTLSISSLQP EDFATYCCQY YRYHPYTFGH 100
 GTKVEIKRTV AAPSVFIFPPP SDEQLKSGTA SVVCLLNNFY FREAKVQWKV 150
 DNALQSGNSQ ESEVTEQDSKD STYSLSSSLT LSKADYEKHK VYACEVTHQG 200
 LSSPVTKSFN RGECA 214

Post-translational modifications

Disulfids bridges location / Position des ponts disulfure / Posiciones de los puentes disulfuro
 Intra-H (C23-C104) 22-95 142-198
 Intra-L (C23-C104) 23-88' 134-194'
 Inter-H-L (h 5-CL 126) 218-214'

No N-glycosylation sites / pas de sites de N-glycosylation / ningún posición de N-glicosilación

zigakibartum #

zigakibart

immunoglobulin G4-kappa, anti-[*Homo sapiens* TNFSF13 (tumor necrosis factor (TNF) superfamily member 13, APRIL, CD256)], humanized monoclonal antibody; gamma4 heavy chain humanized (1-448) [VH humanized (*Homo sapiens*IGHV1-3*01 (83,7%) -(IGHD) -IGHJ4*01 (84,6%), CDR-IMGT [8.8.14] (26-33.51-58.97-110)) (1-121)-*Homo sapiens*IGHG4*01, G4v5 h P10, nG4m(a) CH2 L92 (CH1 (122-219), hinge 1-12 S10>P (229) (220-231), CH2 L92 (310) (232-341), CH3 (342-446), CHS (447-448)) (122-448)], (135-214')-disulfide with kappa light chain *Homo sapiens* (1'-214') [V-KAPPA *Homo sapiens* IGKV1-5*01 (84%) -IGKJ2*02 (100%), CDR-IMGT [6.3.9] (27-32.50-52.89-97)) (1'-107') -*Homo sapiens* IGKC*01 (100%), Km3 A45.1 (153), V101 (191) (108'-214')]; dimer (227-227':230-230")-bisdisulfide, produced in Chinese hamster ovary (CHO) cells, cell line CHO-DG44, glycoform alfa

zigakibart

immunoglobuline G4-kappa, anti-[*Homo sapiens* TNFSF13 (membre 13 de la superfamille du facteur de nécrose tumorale, APRIL, CD256)], anticorps monoclonal humanisé; chaîne lourde gamma4 humanisée (1-448) [VH humanisé (*Homo sapiens*IGHV1-3*01 (83,7%) -(IGHD) -IGHJ4*01 (84,6%), CDR-IMGT [8.8.14] (26-33.51-58.97-110)) (1-121)-*Homo sapiens*IGHG4*01, G4v5 h P10, nG4m(a) CH2 L92 (CH1 (122-219), charnière 1-12 S10>P (229) (220-231), CH2 L92 (310) (232-341), CH3 (342-446), CHS (447-448)) (122-448)], (135-214')-disulfure avec la chaîne légère kappa *Homo sapiens* (1'-214') [V-KAPPA *Homo sapiens* IGKV1-5*01 (84%) -IGKJ2*02(100%), CDR-IMGT [6.3.9] (27-32.50-52.89-97)) (1'-107') -*Homo sapiens* IGKC*01 (100%), Km3 A45.1 (153), V101 (191) (108'-214')]; dimère (227-227':230-230")-bisdisulfure, produit dans des cellules ovarianes de hamster chinois (CHO), lignée cellulaire CHO-DG44, glycoforme alfa

zigakibart

inmunoglobulina G4-kappa, anti-[*Homo sapiens* TNFSF13 (miembro 13 de la superfamilia del factor de necrosis tumoral, APRIL, CD256)], anticuerpo monoclonal humanizado;

cadena pesada gamma4 humanizada (1-448) [VH humanizado (*Homo sapiens* IGHV1-3*01 (83,7%) -(IGHD) -IGHJ4*01 (84,6%), CDR-IMGT [8.8.14] (26-33.51-58.97-110)) (1-121)-*Homo sapiens* IGHG4*01, G4v5 h P10, nG4m(a) CH2 L92 (CH1 (122-219), bisagra 1-12 S10>P (229) (220-231), CH2 L92 (310) (232-341), CH3 (342-446), CHS (447-448)) (122-448)], (135-214')-disulfuro con la cadena ligera kappa *Homo sapiens* (1'-214') [V-KAPPA *Homo sapiens* IGKV1-5*01 (84%) -IGKJ2*02 (100%), CDR-IMGT [6.3.9] (27-32.50-52.89-97)) (1'-107') -*Homo sapiens* IGKC*01 (100%), Km3 A45.1 (153), V101 (191) (108'-214')]; dímero (227-227':230-230")-bisdisulfuro, producido en las células ováricas de hámster chino (CHO), línea celular CHO-DG44, forma glicosilada alfa

Heavy chain / Chaîne lourde / Cadena pesada

```
QVQLVQSGAE VKKPAGASVKV SCKAGSYIFT SYVMHWVRQA PGQGLEWMGY 50
INPYNDAPKY NEKFKGKATV TSDTSASTAY MELSSLRSDD TAVYVCARGL 100
GYALYNADMY WGQGTTTWSV SASTKGPSVF PLAPCSRSRTS ESTAALGCILV 150
KDVFPEPVTVW SNNSGALTSG VHTFPALVLS SGCLYSLSVVV TVPSSSLGKQ 200
TYTCNCVNDHKP SNTKVDKRVE SKYQPFPCPFC PAPEFLGGPS VFLFPKKPKD 250
TLMISRTPEV TCVVVDVVSQE DPEVQFNWYV DCVVEHMAKT KPRBEQFNST 300
YRVVSVLTVL HQDWLNGKEY RCKVSNKGLP SSIEKTISKA KGQPREFQVY 350
TLPFSSEEMT KNQVSLTCLV KGFYPSDIAV EWESNGQOPEN NYKTTTPFVLD 400
SDGSFFLYSR LTWDKSRQW GNVFSCVMH EALHNHYTQK SLSLISLGK 448
```

Light chain / Chaîne légère / Cadena ligera

```
DIVMTQSPST LSASVGDVRT ITCKASQNVG NNVAWYQQKP GKAPKLLISS 50
ASNRRDSGVPS RFSGSGSGTE FTLTISSLQP DDFATYFCQQ YNIYPFTFGQ 100
GTLKLEIKRTV AAESVFIFPP SDEQLKSGTA SVVCLNNFY PREAKVQWKV 150
DNALQSGNSQ ESVTEQDSKD STYSLSSLTQ LSKADYEKHK VYACEVTHQG 200
LSSPVTKFSN RGEC
```

Post-translational modifications

Disulfide bridges location / Position des ponts disulfure / Posiciones de los puentes disulfuro
 Intra-H (C23-C104) 22-96 148-204 262-322 368-426
 22"-96" 148"-204" 262"-322" 368"-426"
 Intra-L (C23-C104) 23"-88" 134"-194"
 23"-88" 134"-194"
 Inter-H-L (CH1 10-CL 126) 135-214' 135"-214"
 Inter-H-H (h 8, h 11) 227-227" 230-230"

N-terminal glutaminyl cyclization / Cyclisation du glutaminyle N-terminal / Ciclación del glutamínilo N-terminal
 Q > pyroglutamyl (pE, 5-oxoprolilo) / pyroglutamyl (pE, 5-oxoprolilo) / piroglutamilo (pE, 5-oxoprolilo)
 H VH Q1: 1, 1"

N-glycosylation sites / Sites de N-glycosylation / Posiciones de N-glicosilación
 H CH2 N84.4: 298, 298"
 Fucosylated complex bi-antennary CHO-type glycans / glycanes de type CHO bi-antennaires
 complejos fucosylés / glicanos de tipo CHO biantenarios complejos fucosilados.

C-terminal lysine clipping / Coupure de la lysine C-terminale / Recorte de lisina C-terminal
 H CHS K2: 448, 448"

zirconium (⁸⁹Zr) cefmirlimab berdoxamum #

zirconium (⁸⁹Zr) cefmirlimab berdoxam

immunoglobulin scFv-kappa-heavy-G1h-CH3-CHS dimer, anti-[*Homo sapiens* CD8A (CD8a molecule, CD8)], monoclonal antibody conjugated to *berdoxam* chelated with ⁸⁹Zr;
 scFv-kappa-heavy-G1-h-linker-CH3-CHS chain (1-376) [V-KAPPA (*Homo sapiens* IGKV1-27*01 (87.4%) -IGKJ4*01 (100%), CDR-IMGT [6.3.9] (27-32.50-52.89-97)) (1-107) -18-mer glycyl-seryl-threonyl-tris(seryl-triglycyl)-glycyl-diseryl linker (108-125) -VH Musmus/Homsap (*Mus musculus* IGHV14-3*02 (73.5%) -(IGHD) -IGHJ3*01 (84.6%)/*Homo sapiens* IGHV3-66*01 (71.4%) -(IGHD) -IGHJ1*01 (92.3%), CDR-IMGT [8.8.11] (151-158.176-183.222-232)) (126-243) -*Homo sapiens* IGHG1*03 hinge 1-17 (244-260), 10-mer triglycyl-diseryl-triglycyl-seryl-glycyl linker (261-270), *Homo sapiens* IGHG1*03 nG1m1 CH3-CHS (CH3 E12 (286), M14 (288) (271-375), CHS K2>del (376)) (271-376)]; dimer (254-254":257-257":260-260")-tridisulfide, produced in Chinese hamster ovary (CHO) cells, non-glycosylated, conjugated at N⁶ of lysine residues with an average of 0.8-2.5 [4-(8,19,30-trihydroxy-9,12,20,23,31-pentaoxo-2,8,13,19,24,30-hexaazadotriacantane-1-thioly)phenyl]carbamothioly (berdoxam) groups and converted to (⁸⁹Zr) zirconium (4+) chelate complex salts

zirconium (⁸⁹Zr) cefmirlimab berdoxam

immunoglobuline scFv-kappa-lourde-G1h-CH3-CHS dimère, anti-[*Homo sapiens* CD8A (molécule CD8a, CD8)], anticorps monoclonal conjugué au *berdoxam* chélaté avec ⁸⁹Zr; chaîne scFv-kappa-lourde-G1-h-linker-CH3-CHS (1-376) [V-KAPPA (*Homo sapiens* IGKV1-27*01 (87.4%) -IGKJ4*01 (100%), CDR-IMGT [6.3.9] (27-32.50-52.89-97)) (1-107) -18-mer glycyl-séryl-thréonyl-tris(séryl-triglycyl)-glycyl-diséryl linker (108-125) -VH Musmus/Homsap (*Mus musculus* IGHV14-3*02 (73.5%) -(IGHD) -IGHJ3*01 (84.6%)/*Homo sapiens* IGHV3-66*01 (71.4%) -(IGHD) -IGHJ1*01 (92.3%), CDR-IMGT [8.8.11] (151-158.176-183.222-232)) (126-243) -*Homo sapiens* IGHG1*03 charnière 1-17 (244-260), 10-mer triglycyl-diséryl-triglycyl-séryl-glycyl linker (261-270), *Homo sapiens* IGHG1*03 nG1m1 CH3-CHS (CH3 E12 (286), M14 (288) (271-375), CHS K2>del (376)) (271-376)]; dimère (254-254":257-257":260-260")-trisdisulfure, produit dans des cellules ovariennes de hamster chinois (CHO), non-glycosylé, conjugué en N° de résidus lysine avec une moyenne de 0,8-2,5 groupes [4-(8,19,30-trihydroxy-9,12,20,23,31-pentaoxo-2,8,13,19,24,30-hexaazadotriaccontane-1-thioyl)phényl]carbamothioyl (*berdoxam*) et convertis en sels complexes de chélate de (⁸⁹Zr) zirconium (4+)

zirconium (⁸⁹Zr) cefmirlimab berdoxam

inmunoglobulina scFv-kappa-pesada-G1h-CH3-CHS dímero, anti-[*Homo sapiens* CD8A (molécula CD8a, CD8)], anticuerpo monoclonal conjugado con *berdoxam* quelato con ⁸⁹Zr; cadena scFv-kappa-heavy-G1-h-linker-CH3-CHS (1-376) [V-KAPPA (*Homo sapiens* IGKV1-27*01 (87.4%) -IGKJ4*01 (100%), CDR-IMGT [6.3.9] (27-32.50-52.89-97)) (1-107) -18-mer glicil-seril-treonil-tris(seril-triglicil)-glicil-diseril linker (108-125) -VH Musmus/Homsap (*Mus musculus* IGHV14-3*02 (73.5%) -(IGHD) -IGHJ3*01 (84.6%)/*Homo sapiens* IGHV3-66*01 (71.4%) -(IGHD) -IGHJ1*01 (92.3%), CDR-IMGT [8.8.11] (151-158.176-183.222-232)) (126-243) -*Homo sapiens* IGHG1*03 bisagra 1-17 (244-260), 10-mer triglicil-diseril-triglicil-seril-glicil linker (261-270), *Homo sapiens* IGHG1*03 nG1m1 CH3-CHS (CH3 E12 (286), M14 (288) (271-375), CHS K2>del (376)) (271-376)]; dímero (254-254":257-257":260-260")-trisdisulfuro, producido en las células ováricas de hámster chino (CHO), no glicosilado, conjugado en N° de residuos de lisina con un promedio de 0,8-2,5 grupos [4-(8,19,30-trihidroxí-9,12,20,23,31-pentaoxo-2,8,13,19,24,30-hexaazadotriaccontano-1-tiol)fenil]carbamotioílo (*berdoxam*) y se convierten en sales complejas de quelato de (⁸⁹Zr) zirconio (4+)

Sequence / Séquence / Secuencia

DVQITQSPSS LSASVGRDVT ITCRTSRSIS QYLAWYQQKP GKVPKLLIYS 50
 GSTLQSGVPS RFGSGSGTD FTI'TISSLQP EDVATYYCQQ HNNENPLTFCGG 100
 CTKVEIKGST SGCGSGGGSG GGGSSEVQLV ESGGGLVQPG GSRLRSCAAS 150
 GFNIKDTYIHK FVRQAPGKGL EWIGRIDPAN DNNTLYASKFQ GKATISADTS 200
 KNTAYLQMNS LRAEDTAVYY CGRGYGYVF DHWGGQTIVT VSSEPKSSDK 250
 THTCPCCPCGGGGGGGSQ QQPREGQVYT LPSSREEMTK NQVSLTCLVK 300
 GFYPSDIAVE WESNGQPEENN YKTPFPVLDs DGSFFFLYSKL TVDKSRWQQG 350
 NVFSCSVMHE ALHNHYTQKS LSLSPG 376

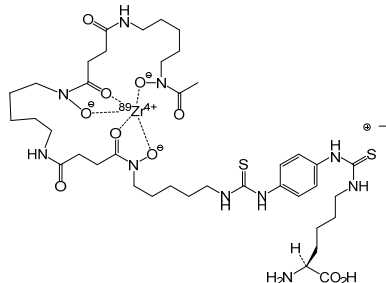
Post-translational modifications

Disulfide bridges location / Position des ponts disulfure / Posiciones de los puentes disulfuro
 Intra-H (C23-C104) 23-88 147-221 297-355
 23"-88" 147"-221" 297"-355"
 Inter-H-H (h 11, h 14, h 17) 254-254" 257-257" 260-260"

No N-glycosylation site / pas de site de N-glycosylation / ningún sitio de N-glicosilación
 Aglycosylated / aglycosyle / aglicosilado

Conjugation sites / Sites de conjugaison / Posiciones de coniugación

0.8-2.5 Lys (K) per antibody:

**zocaglusagenum nuzaparvovecum #**

zocaglusagene nuzaparvovect

recombinant, non-replicating adeno-associated virus serotype 8 (rAAV8) vector encoding codon-optimised human acid alpha-glucosidase (GAA), also called lysosomal α -glucosidase or acid maltase, under control of a mouse muscle creatine kinase (MCK) enhancer/promoter followed by a simian virus 40 (SV40) intron, terminated by the SV40 late polyadenylation sequence, and flanked by AAV2 inverted terminal repeats (ITRs).

zocaglusagène nuzaparvovect

vecteur de virus adéno-associé recombinant et non répliquant de sérotype 8 (rAAV8) codant l'alpha-glucosidase acide humaine (GAA) aux codons optimisés, également appelée α -glucosidase lysosomale ou maltase acide, sous le contrôle d'un amplicateur/promoteur de la créatine kinase (MCK) de muscle de souris, suivi d'un intron du virus simien 40 (SV40), terminé par la séquence de polyadénylation tardive du SV40, et flanqué de répétitions terminales inversées (ITR) de l'AAV2.

zocaglusagén nuzaparvovect

vector de virus adenoasociado recombinante del serotipo 8 (rAAV8), no replicativo, que codifica, con codones optimizados, para la alfa-glucosidasa ácida humana (GAA), también llamada α -glucosidasa lisosomal o maltasa ácida, bajo el control de un potenciador/promotor de la creatinina quinasa de músculo (MCK) de ratón seguido de un intrón del virus de simio 40 (SV40), terminado con la secuencia de poliadenilación tardía de SV40 y flanqueado por las repeticiones terminales invertidas (ITRs) del AAV2.

zolunicantum

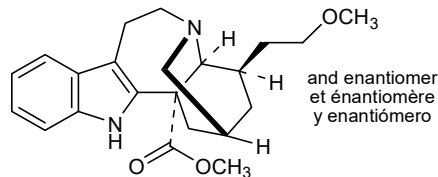
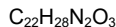
zolunicant

rac-methyl 21-methoxyibogamine-18-carboxylate

zolunicant

rac-21-méthoxyibogamine-18-carboxylate de méthyle

zolunicant

rac-21-metoxiibogamina-18-carboxilato de metilo**zosurabalpinum**

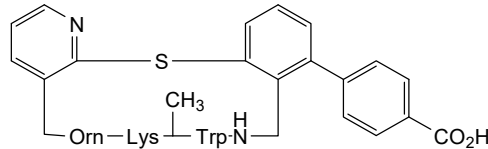
zosurabalpin

N^{2,2,2,1},3-anhydro{*N*²-[(2-{[2-(aminomethyl)-4'-carboxy[1,1'-biphenyl]-3-yl]sulfanyl}pyridin-3-yl)methyl]-L-ornithyl-L-lysyl-*N*-methyl-L-tryptophan}

zosurabalpine

N^{2,2,2,1},3-anhydro{*N*²-[(2-{[2-(aminométhyl)-4'-carboxy[1,1'-biphényl]-3-yl]sulfanyl}pyridin-3-yl)méthyl]-L-ornithyl-L-lysyl-*N*-méthyl-L-tryptophane}

zosurabalpina

N^{2,2,2,1},3-anhidro{*N*²-[(2-{[2-(aminometil)-4'-carboxi[1,1'-bifenil]-3-il]sulfanil}piridin-3-il)metil]-L-ornitil-L-lisil-*N*-metil-L-triptófano}

AMENDMENTS TO PREVIOUS LISTS
MODIFICATIONS APPORTÉES AUX LISTES ANTÉRIEURES
MODIFICACIONES A LAS LISTAS ANTERIORES

Recommended International Nonproprietary Names (Rec. INN): List 82
Dénominations communes internationales recommandées (DCI Rec.): Liste 82
Denominaciones Comunes Internacionales Recomendadas (DCI Rec.): Lista 82
(WHO Drug Information, Vol. 33, No. 3, 2019)

p.637	<i>supprimer</i> étranacogène dezaparovotec	<i>insérer</i> étranacogène dézaparovotec
p.700	<i>suprimáse</i> volrubigén ralaparovotec	<i>insertase</i> volrubigén ralaparovotec

Recommended International Nonproprietary Names (Rec. INN): List 83
Dénominations communes internationales recommandées (DCI Rec.): Liste 83
Denominaciones Comunes Internacionales Recomendadas (DCI Rec.): Lista 83
(WHO Drug Information, Vol. 34, No. 1, 2020)

p.64	<i>suprimáse</i> letetresgén autoleucel	<i>insertase</i> letetresgén autoleucel
------	--	--

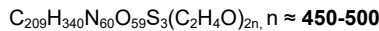
Recommended International Nonproprietary Names (Rec. INN): List 84
Dénominations communes internationales recommandées (DCI Rec.): Liste 84
Denominaciones Comunes Internacionales Recomendadas (DCI Rec.): Lista 84
(WHO Drug Information, Vol. 34, No. 3, 2020)

p.696	belzupacum sarotalocum belzupacap sarotalocan	<i>remplacer la description par la suivante</i>
-------	---	---

nanoparticule vide dérivée du virus du papillomavirus humain 16 (HPV) modifié, 55 nm de diamètre, conjuguée à approximativement 200 molécules d'un photosensibilisant à base de **phthalocyanine** (groupe *sarotalocan*). Chaque particule est composée de 72 capsomères, faits de 5 molécules de protéine de capside virale L1 modifiée [$P^{78}>R$, $T^{176}>N$, $D^{273}>T$, $N^{285}>T$, $S^{288}>N$, $T^{353}>P$, $T^{389}>S$] et d'une molécule de protéine de capside virale L2; capside du virus du papillomavirus humain 16 (HPV16), une coquille sphérique de 72 unités de capsomère pentagonal ($L1_5(L2)_1$) s'auto-assemblant comprenant les protéines recombinantes de capside virale L1 ([$P^{78}>R$, $T^{176}>N$, $D^{273}>T$, $N^{285}>T$, $S^{288}>N$, $T^{353}>P$, $T^{389}>S$]-modifiée) et L2, conjuguées à environ 200 groupes *sarotalocan* (colorant absorbant les proches **infrarouges**) en N^6 des résidus lysine; produite par des cellules rénales embryonnaires humaines (HEK293)

Recommended International Nonproprietary Names (Rec. INN): List 86
Dénominations communes internationales recommandées (DCI Rec.): Liste 86
Denominaciones Comunes Internacionales Recomendadas (DCI Rec.): Lista 86
(WHO Drug Information, Vol. 35, No. 3, 2021)

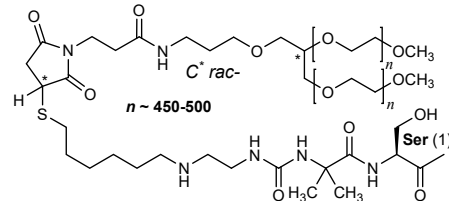
p.793 **palopegteriparatidum**
 palopegteriparotide replace the molecular formula and the structure by the following ones
 palopegtéripáratide remplacer la formule moléculaire brute et la structure par les suivants
 palopegteriparatida sustitúyase la fórmula molecular y la estructura por las siguientes



Sequence / Séquence / Secuencia

SVSEIQLMHN LGKHLNSMER VEWLRLKKLQD VHNF 34

Modified residue / Résidu modifié / Resto modificado



Recommended International Nonproprietary Names (Rec. INN): List 88
Dénominations communes internationales recommandées (DCI Rec.): Liste 88
Denominaciones Comunes Internacionales Recomendadas (DCI Rec.): Lista 88
(WHO Drug Information, Vol. 36, No. 3, 2022)

p.727 **efocipegrutidum #**
 efocipegrutide replace the structure by the following one
 éfocipégrutide remplacer la structure par la suivante
 efocipegrutida sustitúyase la estructura por la siguiente

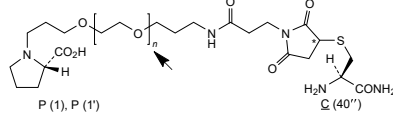
Conjugated peptide / peptide conjugué / péptido conjugado

YXQGTFTSDY SKYLDEKRAK EFVQWLLDHH PSSGQPPPSC 40^{..}

Monomer / Monomère / Monómero IgG4 Fc

PSCPAPEFLG GPFSPVELFFPK PKDTLMSRST PEVTCVVDVDF SQEDPEVQFN 50
 WYVDGVEVHN AKTKPREEQF NSTYRVVSVL TVLHQDWLNG KEYKCKVSNK 100
 GLPSIEKTI SKAKQGPREF QVYTLPPSQE EMTKNQVSILT CLVKGFYPSD 150
 IAVEWESNGQ PENNYKTTTP VLDSDGSSFL YSLRTVDKSR WQEGNVFSCS 200
 VMHEALHNHY TQKSLISLSLG K 221

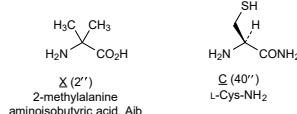
Linker / Linker / Conector



Conjugation sites / Sites de conjugaison / Posiciones de conjugación

1-40^{..} (Pro^{1..1}-Cys^{3,40^{..}) 1'-40^{..} (Pro^{1,1'}-Cys^{3,40^{..})}}

Modified residues / Résidus modifiés / Restos modificados



Amide bridge location / Position du pont amide / Posición del puente amido

16'-20^{..} (Glu^{5,16'}-Lys^{6,20'})

Disulfide bridges location / Position des ponts disulfure / Posiciones de los puentes disulfuro
 intra-chain: 35-95 141-199 35-95' 141'-199'
 inter-chain: 3-3'

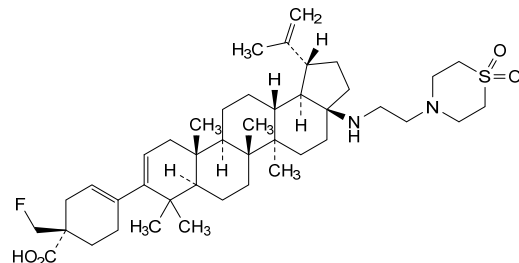
p.748 **fipravirimatum**
 fipravirimat
 fipravirimat
 fipravirimat

*replace the chemical name and structure by the following ones
 remplacer le nom chimique et la structure par les suivants
 sustitúyase el nombre químico y la estructura por los siguientes*

(*1R*)-4-(17*β*-{[2-(1,1-dioxo-1*λ*⁶-thiomorpholin-4-yl)ethyl]amino}-28-norlupa-2,20(29)-dien-3-yl)-1-(fluoromethyl)cyclohex-3-ene-1-carboxylic acid

acide (*1R*)-4-(17*β*-{[2-(1,1-dioxo-1*λ*⁶-thiomorpholin-4-yl)éthyl]amino}-28-norlupa-2,20(29)-dién-3-yl)-1-(fluorométhyl)cyclohex-3-ène-1-carboxylique

ácido (*1R*)-4-(17*β*-{[2-(1,1-dioxo-1*λ*⁶-tiomorfolin-4-il)etil]amino}-28-norlupa-2,20(29)-dien-3-il)-1-(fluorometil)ciclohex-3-eno-1-carboxílico



p.800 **nulabeglogenum autogedtemcelum**
 801 nulabeglogène autogedtemcel nulabéglogène autogedtemcel nulabeglogén autogedtemcel

*replace the description by the following one
 remplacer la description par la suivante
 sustitúyase la descripción por la siguiente*

autologous CD34+ hematopoietic stem and progenitor cells (HSPCs) obtained by apheresis from sickle cell patients, genetically modified *ex vivo* by CRISPR/Cas9 (clustered regularly interspaced short palindromic repeats/CRISPR-associated protein 9)-mediated gene editing consisting of a single guide RNA (sgRNA) targeting the first exon of the human β-globin (HBB) gene, and using a homology-directed repair mechanism to correct the nucleic acid sequence encoding the glutamic acid to valine mutation at position 6 in the HBB protein via an adeno-associated virus serotype 6 (AAV6) vector in which the *sgRNA targeting corrective* sequence is located between two HBB homology arms. Following genetic modification, each cell can have one of six combinations of HBB allele (WT/WT, INDEL/WT, INDEL/INDEL, INDEL/HR, WT/HR, HR/HR, where WT refers to the wild type sickle cell disease allele, INDEL refers to an insertion/deletion event but no correction of the HBB gene, and HR refers to a corrected HBB allele). On average 56% of the cells have at least one corrected HBB allele (HR). The final substance consists of cells with ≥ 20% alleles that are corrected of the E6V mutation, measured by the frequency of homologous recombination events. The cell suspension is enriched for CD34+ cells using magnetic bead separation. The substance consists of cells with the CD45+ and CD34+ phenotype, with ≥80% CD34+ purity. The functional characterization of the cells is based on the ability to form erythroid and myeloid colonies on semisolid methylcellulose-based medium

Cellules souches et progénitrices hématopoïétiques CD34+ autologues (HSPC) obtenues par aphérèse à partir de patients atteints de drépanocytose, génétiquement modifiées *ex vivo* par édition génique médiée par CRISPR/Cas9 (courtes répétitions palindromiques groupées et régulièrement espacées / protéine 9 associée à CRISPR) consistant d'un ARN guide unique (sgRNA) ciblant le premier exon du gène de la β-globine humaine (HBB), et en utilisant un mécanisme de réparation dirigé par homologie pour corriger la séquence d'acide nucléique codant la mutation en position 6 de l'acide glutamique en valine dans la protéine HBB via un vecteur du virus adéno-associé de sérotype 6 (AAV6) dans lequel la **séquence correctrice** est située entre deux bras d'homologie HBB. Après modification génétique, chaque cellule peut présenter l'une des six combinaisons de l'allèle HBB (WT/WT, INDEL/WT, INDEL/INDEL, INDEL/HR, WT/HR, HR/HR, où WT désigne l'allèle sauvage de la drépanocytose, INDEL désigne un événement d'insertion/délétion mais sans correction du gène HBB, et HR désigne un allèle HBB corrigé). La **substance finale est constituée de cellules avec ≥ 20 % d'allèles corrigés de la mutation E6V, mesurée par la fréquence des événements de recombinaison homologue**. La suspension cellulaire est enrichie en cellules CD34+ à l'aide d'une séparation par billes magnétiques. La substance est constituée de cellules présentant les phénotype CD45+ et CD34+, avec une pureté CD34+ de ≥80 %. La caractérisation fonctionnelle des cellules est basée sur la capacité à former des colonies érythroïdes et myéloïdes sur un milieu semi-solide à base de méthylcellulose.

Células madre y progenitoras hematopoyéticas (HSPCs) autólogas CD34+ obtenidas por aféresis de pacientes con anemia falciforme, modificadas genéticamente *ex vivo* mediante edición génica mediada por CRISPR/Cas9 (repeticiones palindrómicas cortas agrupadas y espaciadas regularmente /proteína asociada a CRISPR 9) consistente en un único RNA guía (sgRNA) dirigido al primer exón del gen de la b-globina humana (HBB) y usando un mecanismo de reparación dirigida por homología para corregir la mutación de ácido glutámico a valina en la posición 6 del gen HBB por medio de un vector de virus adenoasociado de serotipo 6 (AAV6) en el que la **secuencia correctora** se localiza entre dos brazos de homología en el HBB.

Tras la modificación genética, cada célula puede tener una de seis combinaciones de alelos HBB (WT/WT, INDEL/WT, INDEL/INDEL, INDEL/HR, WT/HR, HR/HR, donde WT se refiere al alelo del tipo silvestre de la anemia falciforme, INDEL se refiere a un evento de inserción/deleción, pero no corrección, del gen HBB, y HR se refiere a un alelo de HBB corregido). La **substancia final consiste en células con ≥20% de los alelos corregidos de la mutación E6V, medido por la frecuencia de eventos de recombinación homóloga**.

La suspensión celular se enriquece en células CD34+ usando una separación con bolas magnéticas. La substancia consiste en células con el fenotipo CD45+ y CD34+, con ≥70% de pureza. La caracterización funcional de las células se basa en la capacidad de formar colonias eritroides y mieloídes en medio semisólido basado en metilcelulosa.

Procedure and Guiding Principles / Procédure et Directives / Procedimientos y principios generales

The text of the *Procedures for the Selection of Recommended International Nonproprietary Names for Pharmaceutical Substances and General Principles for Guidance in Devising International Nonproprietary Names for Pharmaceutical Substances* will be reproduced in proposed INN lists only.

Les textes de la *Procédure à suivre en vue du choix de dénominations communes internationales recommandées pour les substances pharmaceutiques* et des *Directives générales pour la formation de dénominations communes internationales applicables aux substances pharmaceutiques* seront publiés seulement dans les listes des DCI proposées.

El texto de los *Procedimientos de selección de denominaciones comunes internacionales recomendadas para las sustancias farmacéuticas* y de los *Principios generales de orientación para formar denominaciones comunes internacionales para sustancias farmacéuticas* aparece solamente en las listas de DCI propuestas.